



Universidad  
Carlos III de Madrid

**Departamento de Ingeniería Mecánica**

**INGENIERÍA INDUSTRIAL**

**PROYECTO FIN DE CARRERA**

**ANÁLISIS FRECUENCIAL Y ESTADÍSTICO DE  
LA SEÑAL VIBRATORIA DE UNA REDUCTORA.  
EFECTO DE AÑADIR UNA CARCASA  
ANTIRUIDO**

**ANEXOS**

Autor: Jose Carlos Martín Cabanillas

Tutor: Higinio Rubio Alonso

Leganés, Septiembre de 2014



---

# ANEXOS

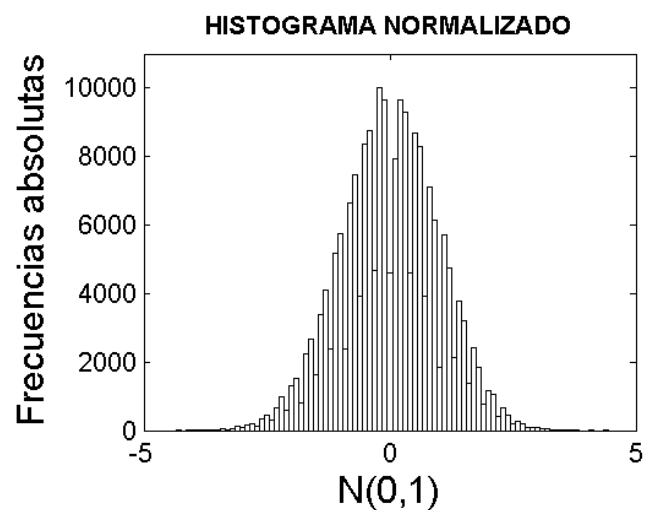
A Catálogo de fichas de parámetros estadísticos y gráficas frecuenciales.

## ANEXO A

Reductora Sin Carcasa

Punto 1

Velocidad (r.p.m) 0



Media 0.000445

Desviación Típica: 0.002316

Mediana: 0.000464

Valor Máximo: 0.008808

Valor Mínimo: -0.008962

Valor de Pico: 0.008962

Valor de Pico a Pico: 0.017770

Kurtosis: 2.933913

Sesgo: 0.006878

Valor Eficaz: 0.002358

Factor de Forma: 1.152969

Factor de Cresta: 3.800500

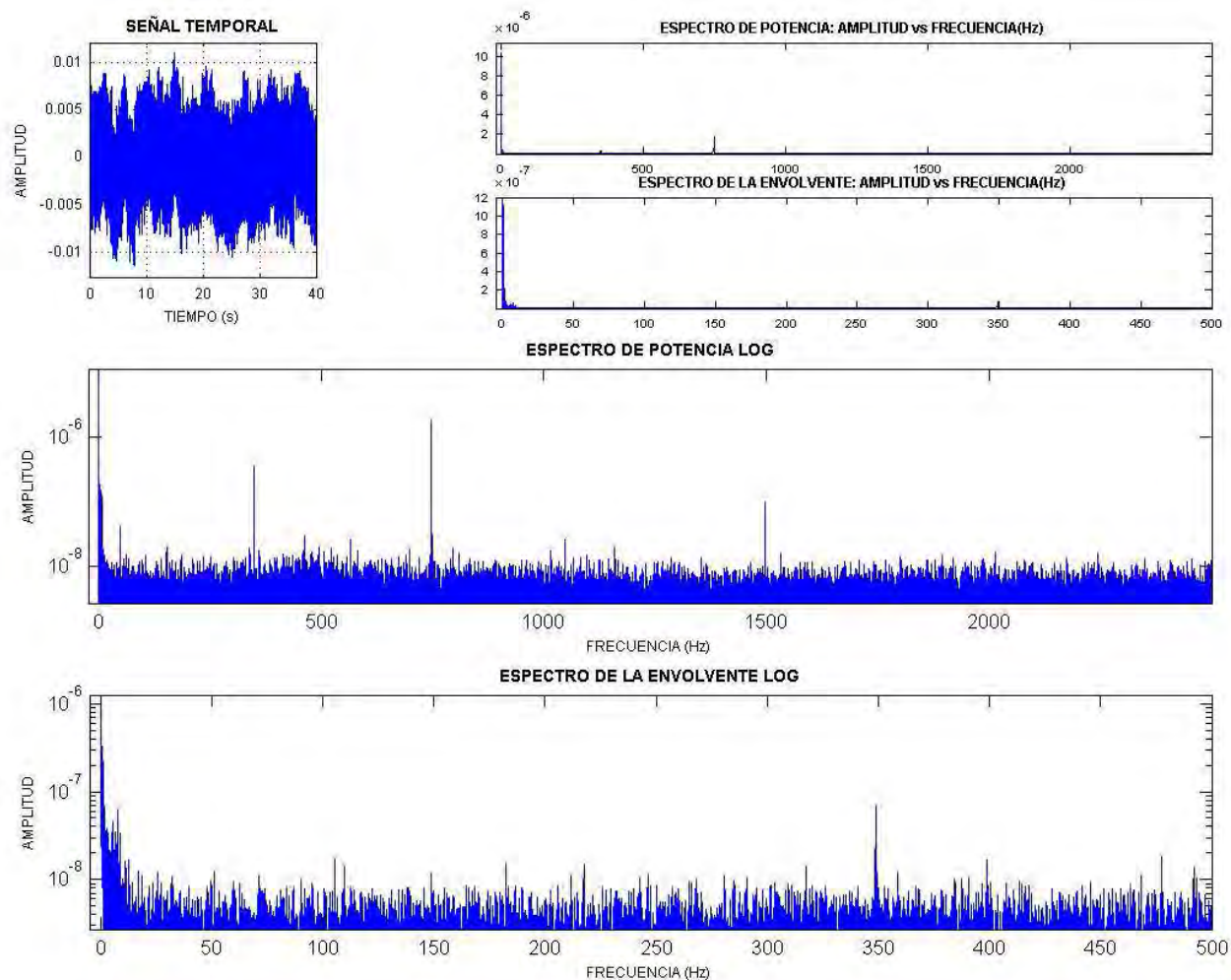
Varianza: 0.000005

Valor Medio: 0.002077

Moda: 0.000500

Potencia del Espectro: 0.000006

## ANEXO A



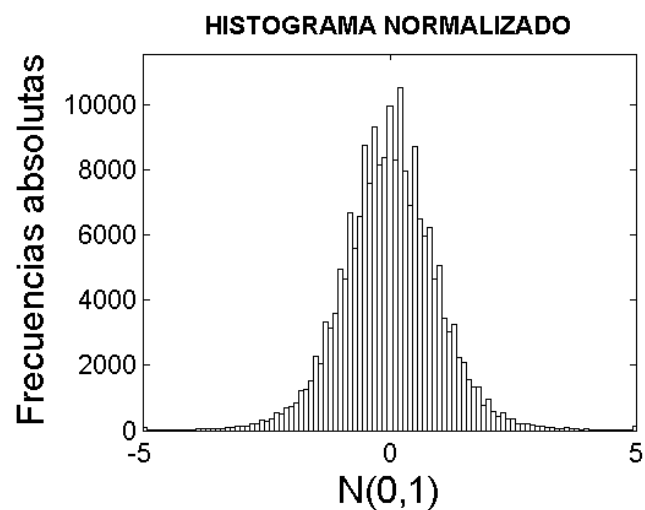


## ANEXO A

Reductora Sin Carcasa

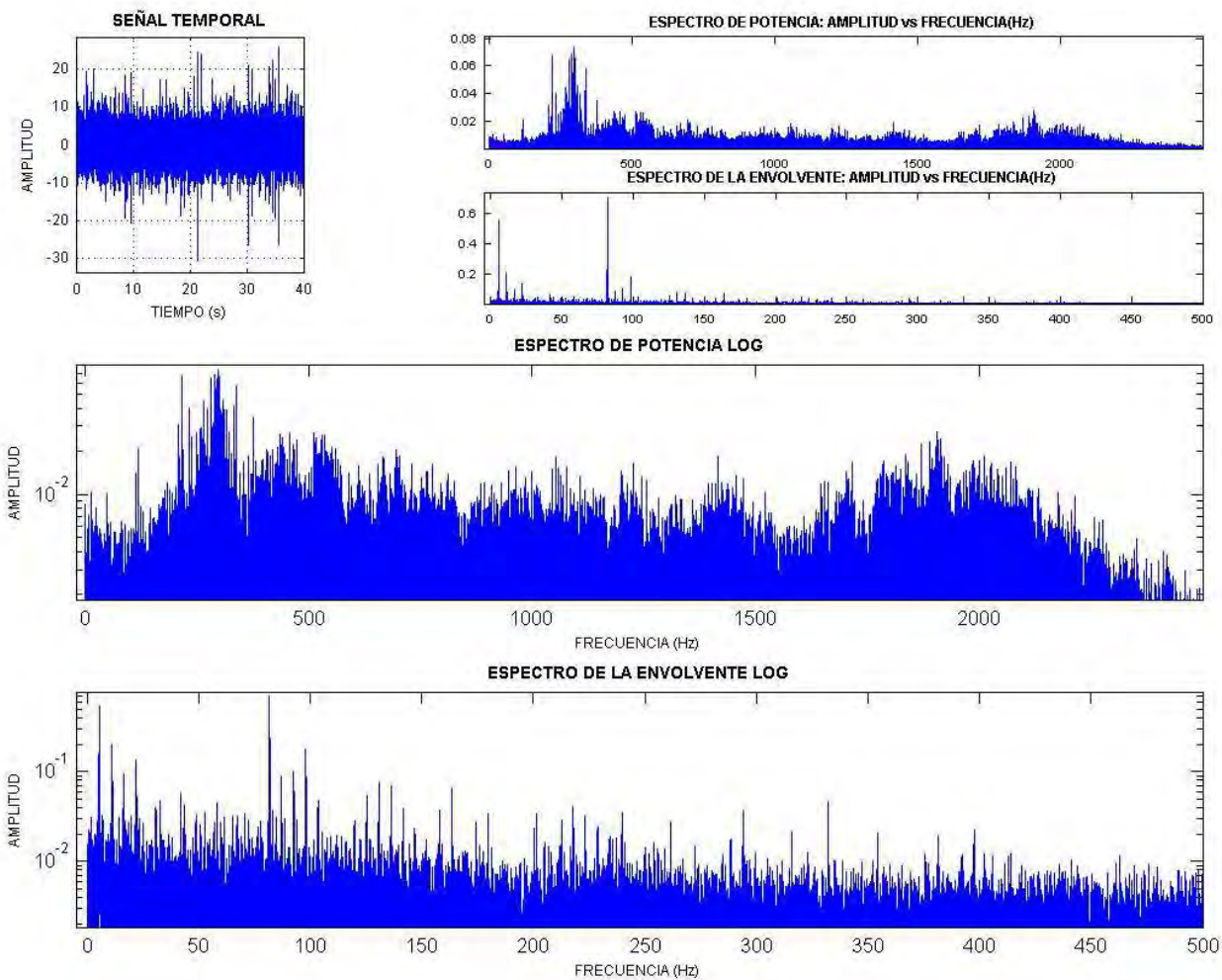
Punto 1

Velocidad (r.p.m) 300



Media	-0.154063
Desviación Típica:	2.149116
Mediana:	-0.195313
Valor Máximo:	20.068359
Valor Mínimo:	-11.621094
Valor de Pico:	20.068359
Valor de Pico a Pico:	31.689453
Kurtosis:	5.289516
Sesgo:	0.197781
Valor Eficaz:	2.154577
Factor de Forma:	1.333530
Factor de Cresta:	9.314291
Varianza:	4.618699
Valor Medio:	1.616383
Moda:	-0.277812
Potencia del Espectro:	4.642203

## ANEXO A

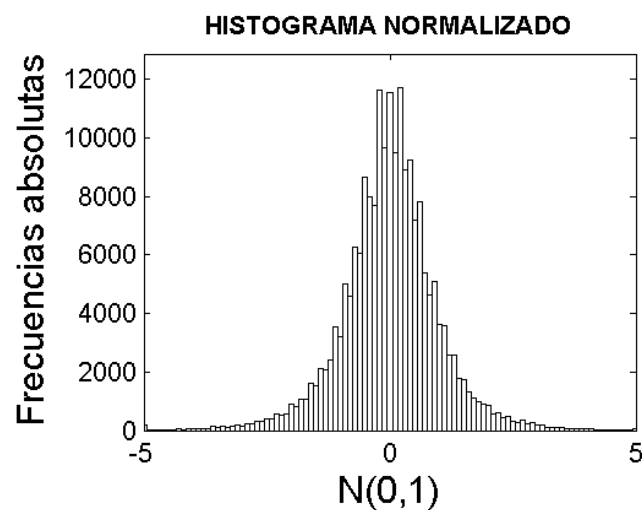


## ANEXO A

Reductora Sin Carcasa

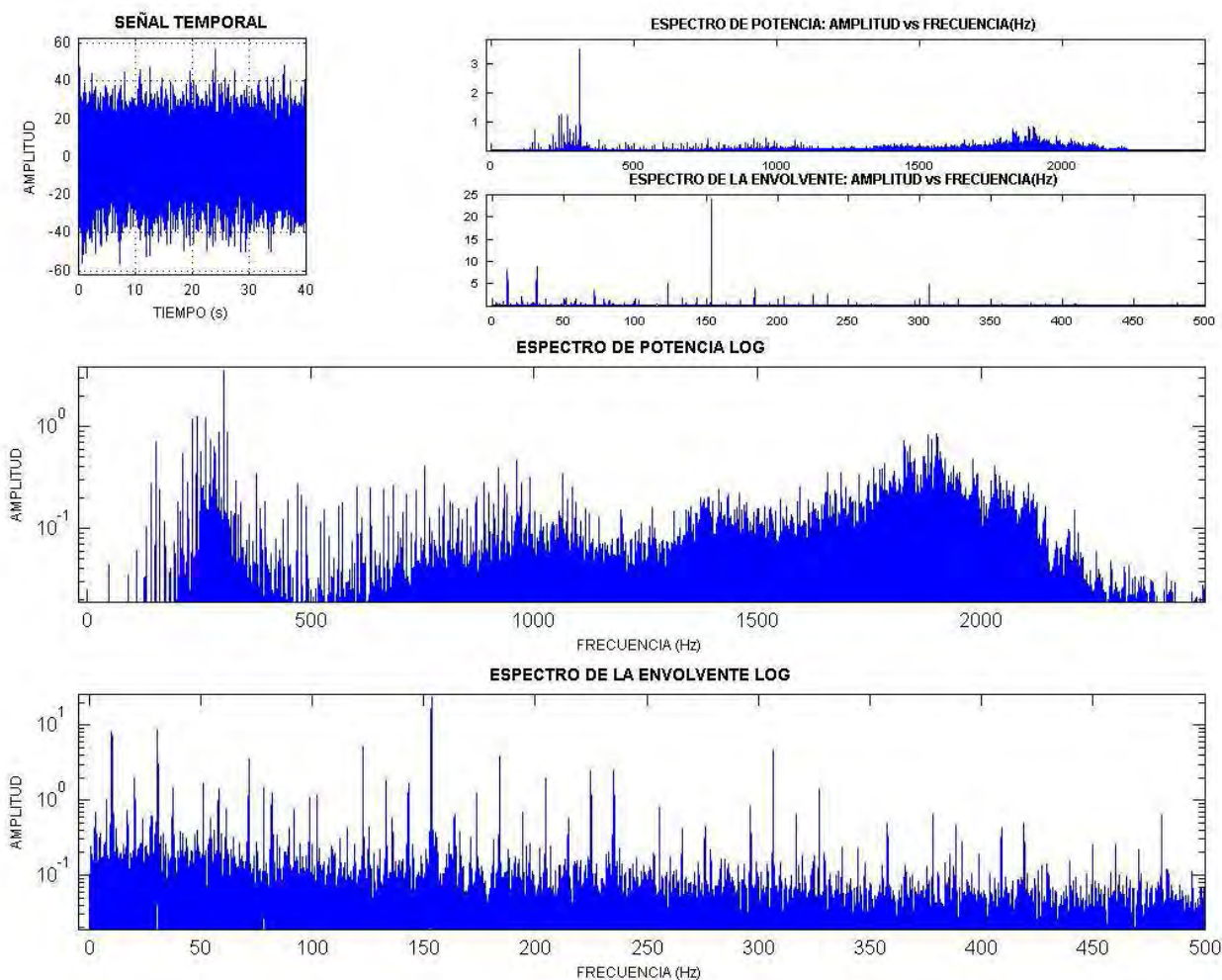
Punto 1

Velocidad (r.p.m) 600



Media	-0.445827
Desviación Típica:	6.987881
Mediana:	-0.463558
Valor Máximo:	47.282931
Valor Mínimo:	-55.781497
Valor de Pico:	55.781497
Valor de Pico a Pico:	103.064428
Kurtosis:	7.230585
Sesgo:	-0.214958
Valor Eficaz:	7.001914
Factor de Forma:	1.411733
Factor de Cresta:	7.966607
Varianza:	48.830485
Valor Medio:	4.960118
Moda:	-0.499020
Potencia del Espectro:	49.026806

## ANEXO A

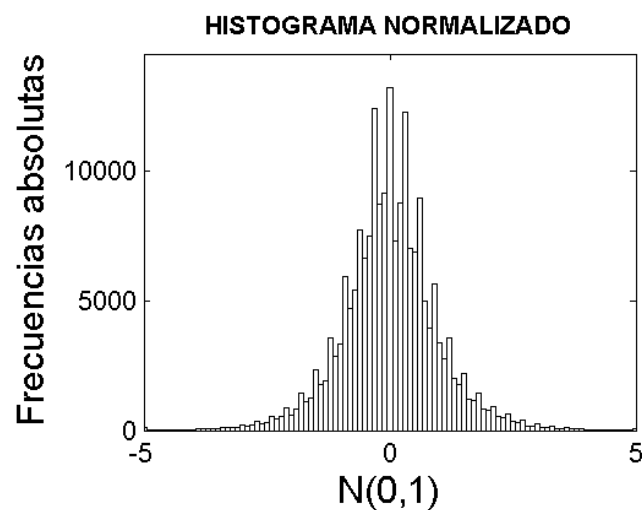


## ANEXO A

Reductora Sin Carcasa

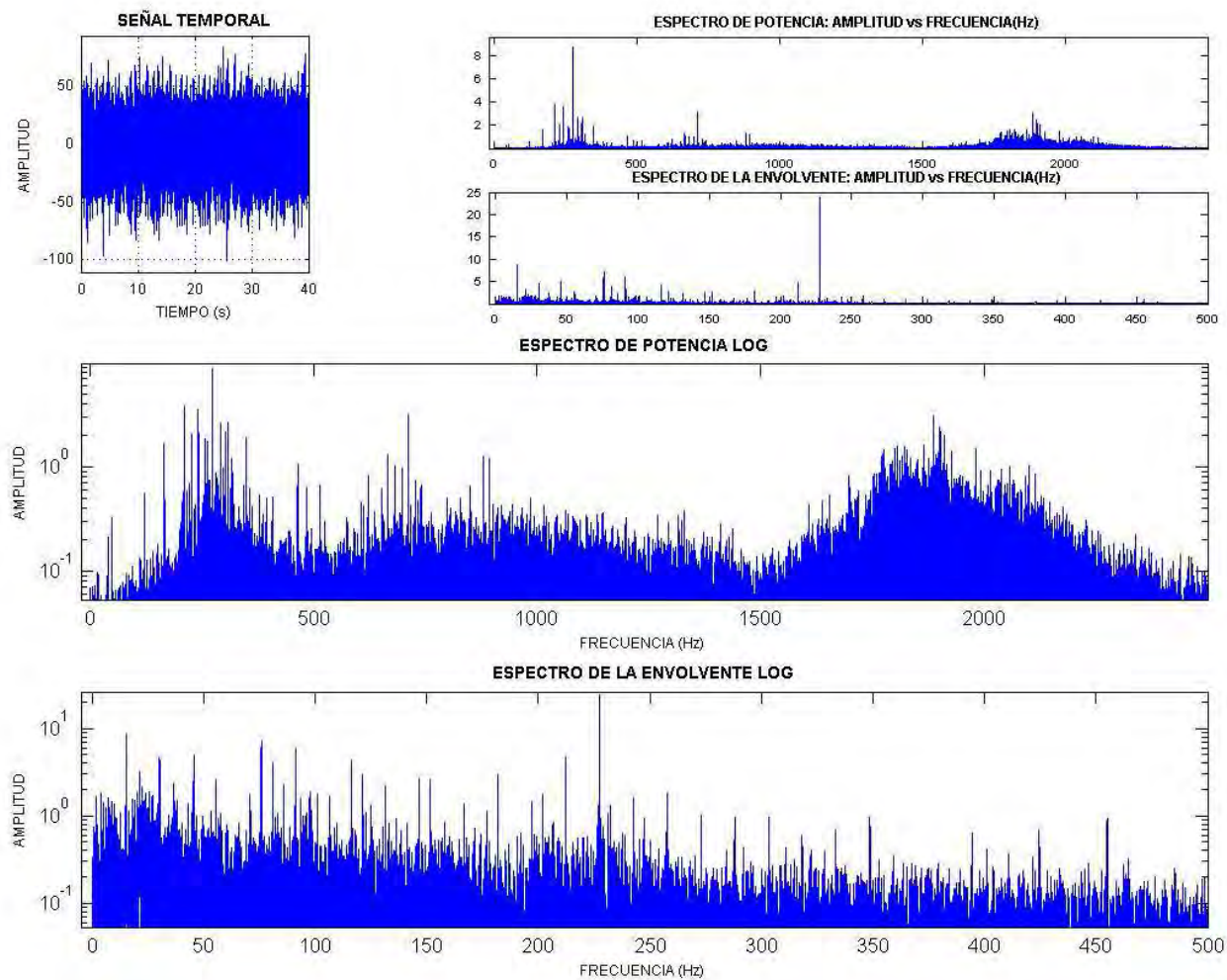
Punto 1

Velocidad (r.p.m) 900



Media	-1.432275
Desviación Típica:	11.317234
Mediana:	-1.464844
Valor Máximo:	70.800781
Valor Mínimo:	-84.960938
Valor de Pico:	84.960938
Valor de Pico a Pico:	155.761719
Kurtosis:	5.478890
Sesgo:	-0.010394
Valor Eficaz:	11.407225
Factor de Forma:	1.352603
Factor de Cresta:	7.447993
Varianza:	128.079776
Valor Medio:	8.433818
Moda:	-1.529981
Potencia del Espectro:	130.124785

## ANEXO A

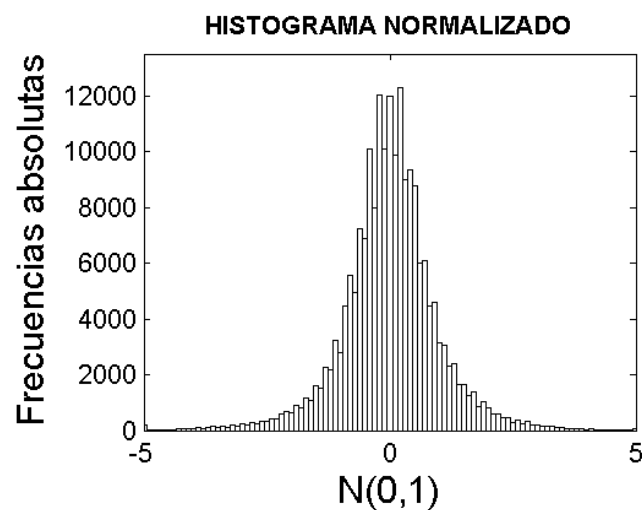


## ANEXO A

Reductora Sin Carcasa

Punto 1

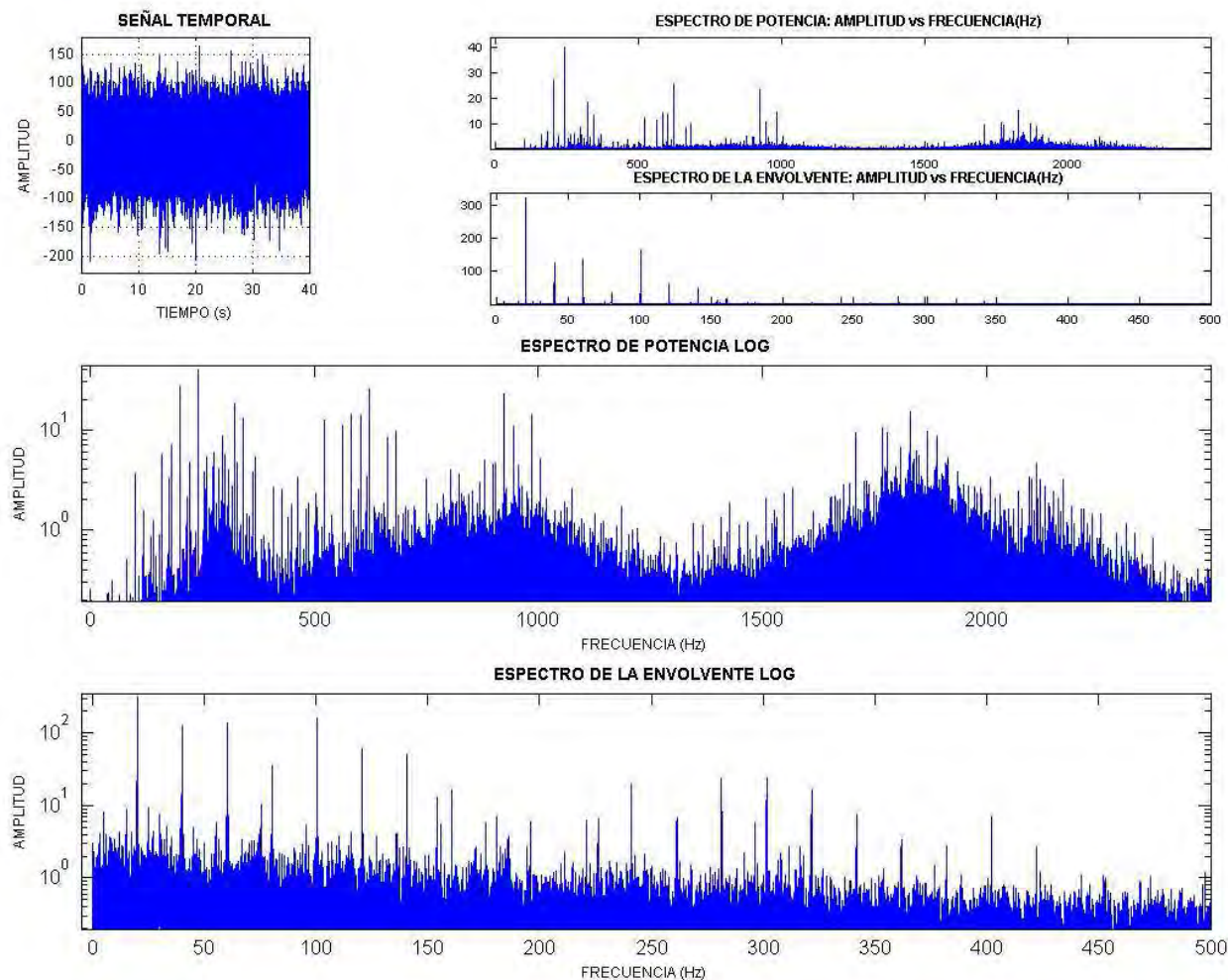
Velocidad (r.p.m) 1200



Media	-1.497144
Desviación Típica:	22.682525
Mediana:	-1.464844
Valor Máximo:	127.929690
Valor Mínimo:	-208.007810
Valor de Pico:	208.007810
Valor de Pico a Pico:	335.937500
Kurtosis:	6.960714
Sesgo:	-0.244742
Valor Eficaz:	22.731314
Factor de Forma:	1.451091
Factor de Cresta:	9.150716
Varianza:	514.496943
Valor Medio:	15.669153
Moda:	-1.400244
Potencia del Espectro:	516.712657



## ANEXO A



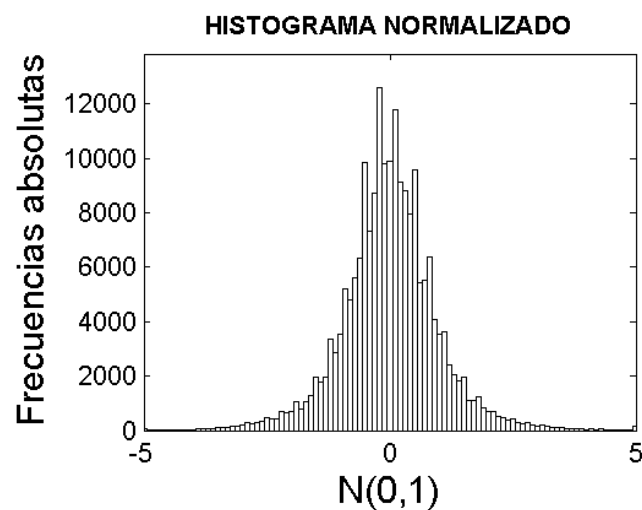


## ANEXO A

Reductora Sin Carcasa

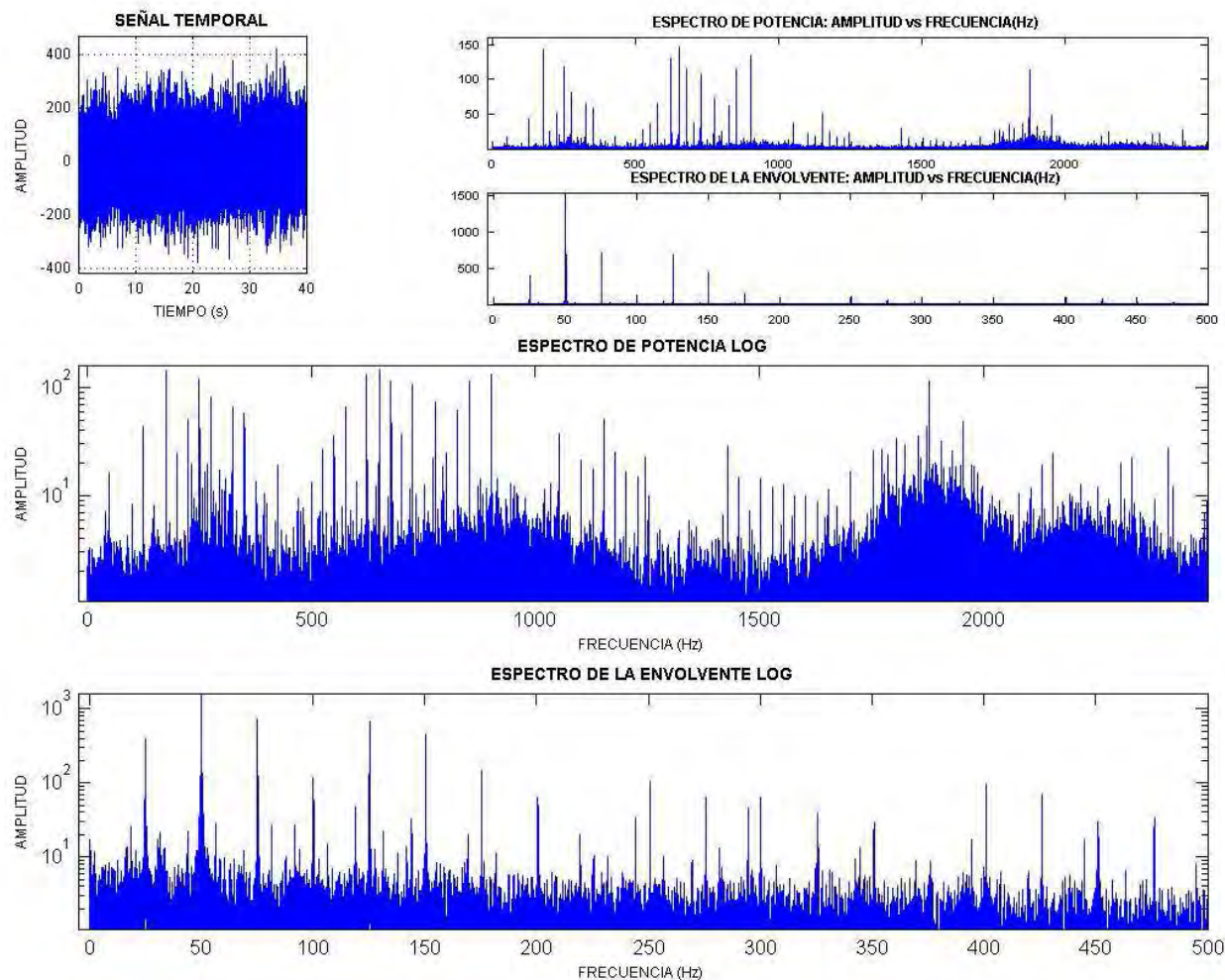
Punto 1

Velocidad (r.p.m) 1500



Media	-8.157387
Desviación Típica:	51.134480
Mediana:	-7.725969
Valor Máximo:	310.583960
Valor Mínimo:	-319.855120
Valor de Pico:	319.855120
Valor de Pico a Pico:	630.439080
Kurtosis:	5.870949
Sesgo:	-0.056529
Valor Eficaz:	51.779796
Factor de Forma:	1.385984
Factor de Cresta:	6.177219
Varianza:	2614.735007
Valor Medio:	37.378633
Moda:	-6.863133
Potencia del Espectro:	2681.147237

## ANEXO A

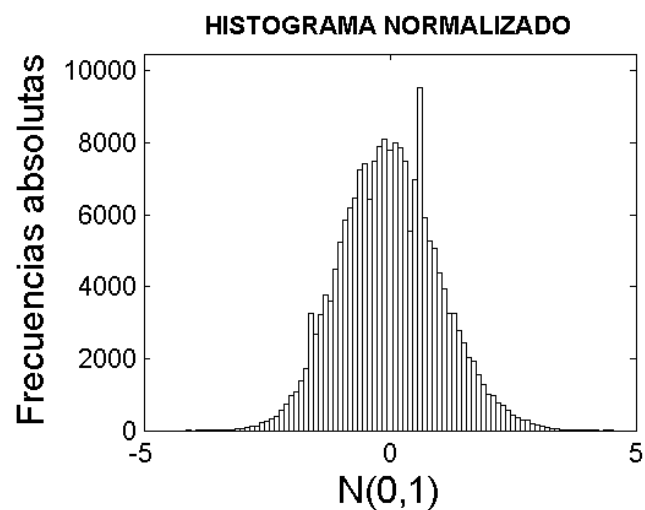


## ANEXO A

Reductora Sin Carcasa

Punto 2

Velocidad (r.p.m) 0



Media -0.000592

Desviación Típica: 0.002499

Mediana: -0.000618

Valor Máximo: 0.008808

Valor Mínimo: -0.010198

Valor de Pico: 0.010198

Valor de Pico a Pico: 0.019006

Kurtosis: 2.916817

Sesgo: 0.048982

Valor Eficaz: 0.002568

Factor de Forma: 1.049877

Factor de Cresta: 3.971491

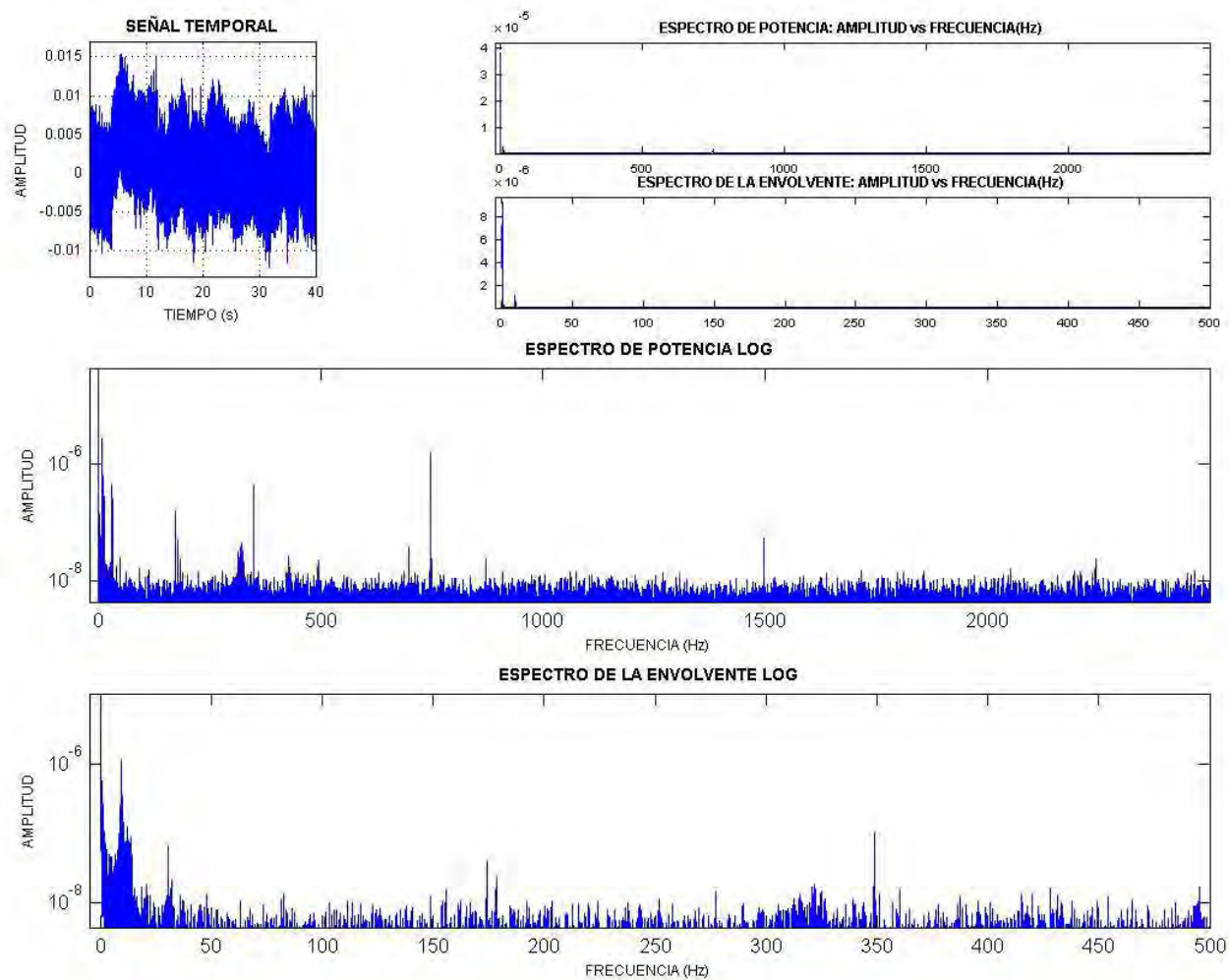
Varianza: 0.000006

Valor Medio: 0.002631

Moda: -0.000669

Potencia del Espectro: 0.000007

## ANEXO A

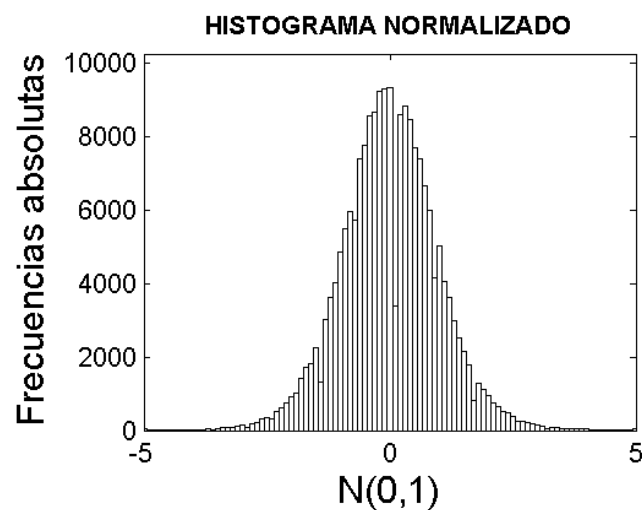


## ANEXO A

Reductora Sin Carcasa

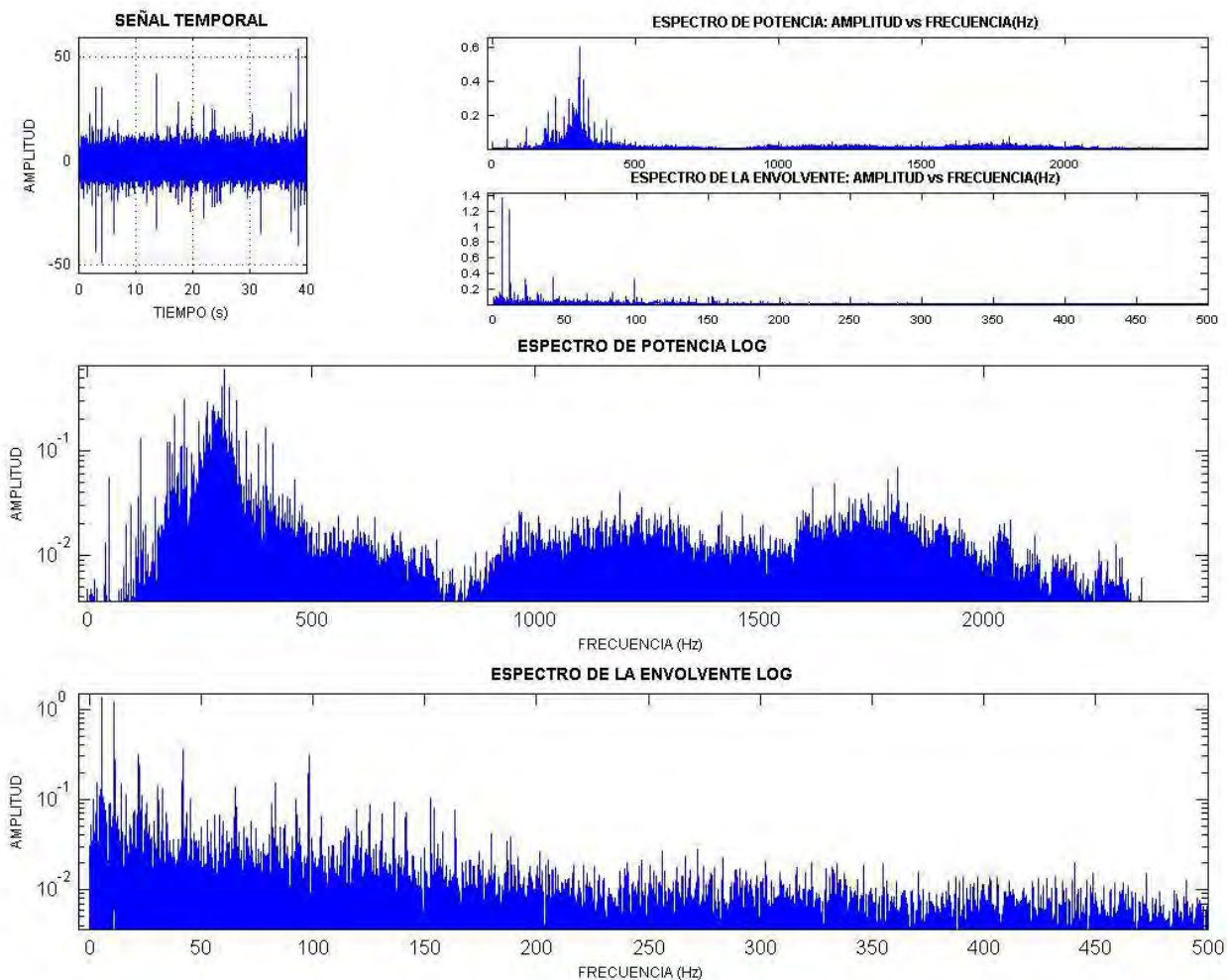
Punto 2

Velocidad (r.p.m) 300



Media	-0.443965
Desviación Típica:	2.905528
Mediana:	-0.463558
Valor Máximo:	35.693977
Valor Mínimo:	-43.419947
Valor de Pico:	43.419947
Valor de Pico a Pico:	79.113924
Kurtosis:	8.068562
Sesgo:	0.038175
Valor Eficaz:	2.939179
Factor de Forma:	1.266830
Factor de Cresta:	14.772814
Varianza:	8.442092
Valor Medio:	2.320656
Moda:	-0.502744
Potencia del Espectro:	8.638775

## ANEXO A

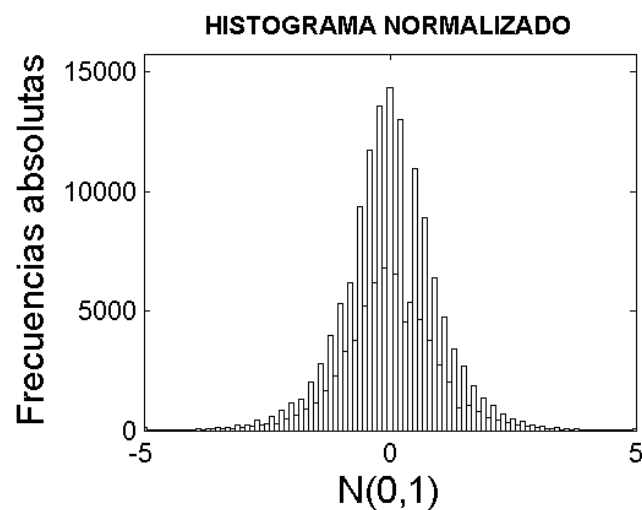


## ANEXO A

Reductora Sin Carcasa

Punto 2

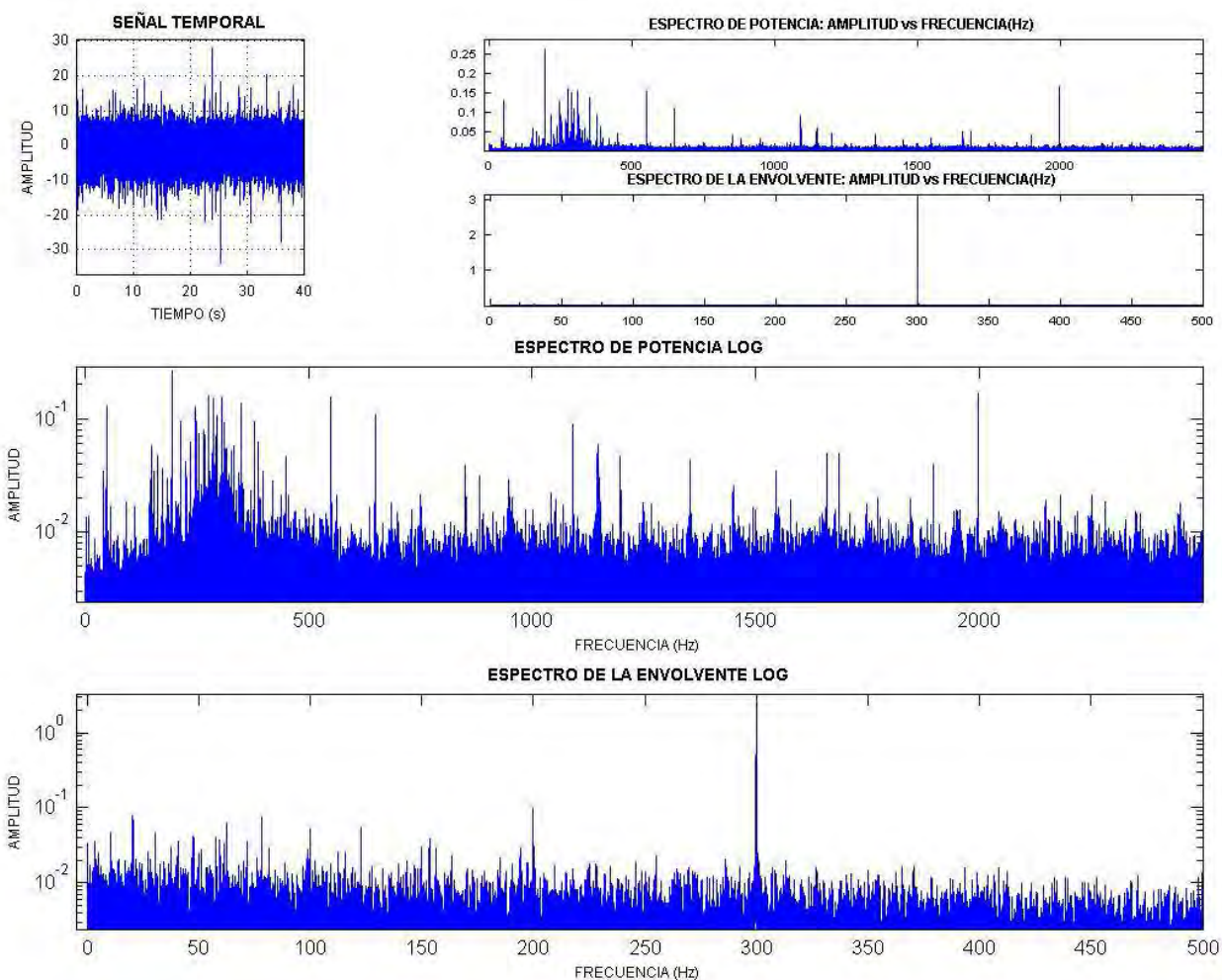
Velocidad (r.p.m) 600



Media	-0.890619
Desviación Típica:	2.329763
Mediana:	-0.927116
Valor Máximo:	16.070016
Valor Mínimo:	-18.233287
Valor de Pico:	18.233287
Valor de Pico a Pico:	34.303303
Kurtosis:	5.357472
Sesgo:	-0.158373
Valor Eficaz:	2.494138
Factor de Forma:	1.348862
Factor de Cresta:	7.310456
Varianza:	5.427795
Valor Medio:	1.849707
Moda:	-1.000111
Potencia del Espectro:	6.220725



## ANEXO A



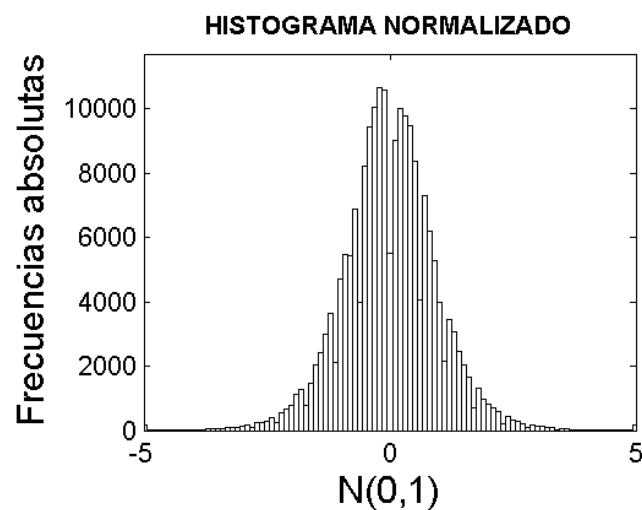


## ANEXO A

Reductora Sin Carcasa

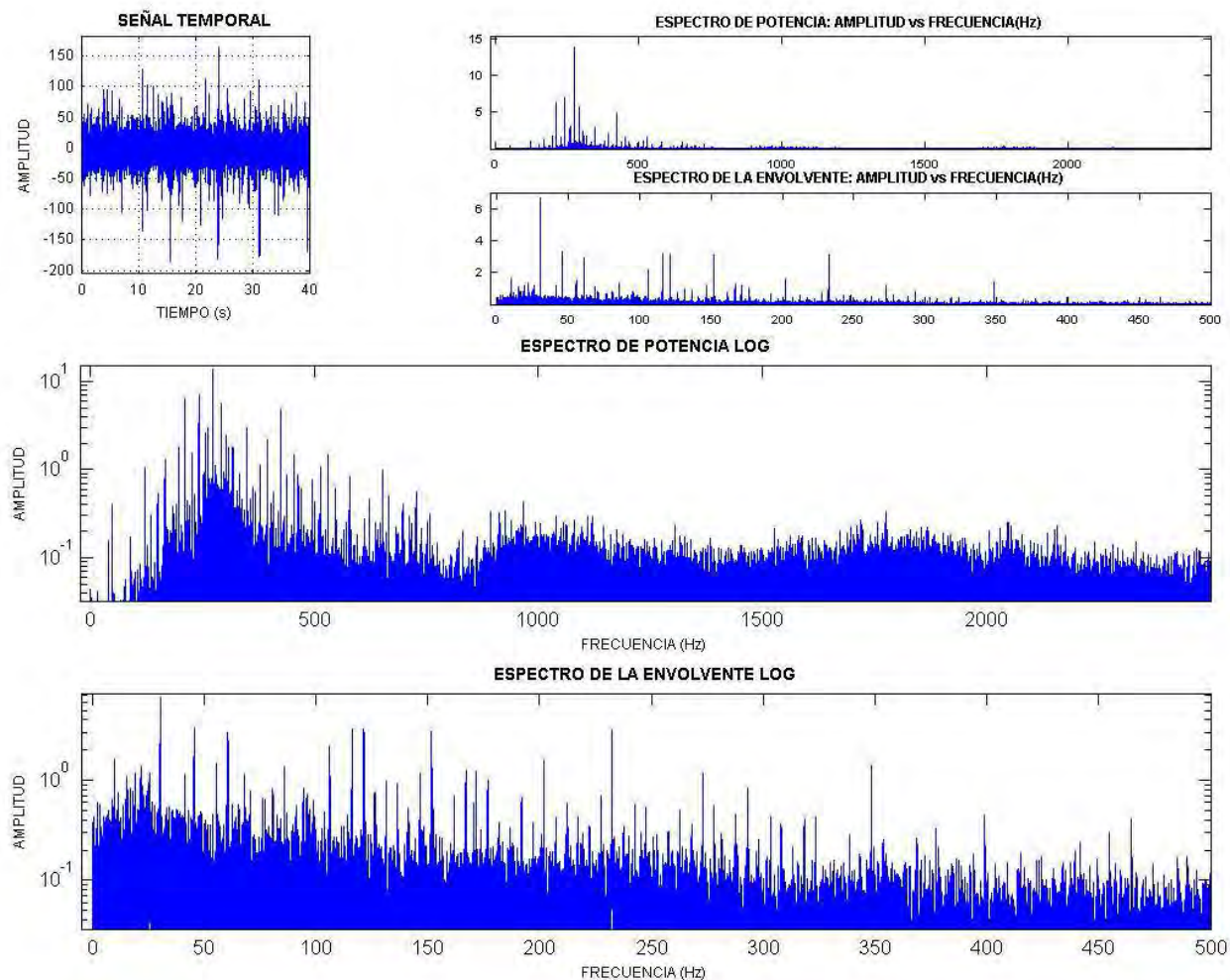
Punto 2

Velocidad (r.p.m) 900



Media	-1.489160
Desviación Típica:	8.929862
Mediana:	-1.464844
Valor Máximo:	95.214844
Valor Mínimo:	-77.148438
Valor de Pico:	95.214844
Valor de Pico a Pico:	172.363282
Kurtosis:	7.451636
Sesgo:	0.102437
Valor Eficaz:	9.052958
Factor de Forma:	1.362911
Factor de Cresta:	10.517539
Varianza:	79.742443
Valor Medio:	6.642896
Moda:	-1.416211
Potencia del Espectro:	81.956054

## ANEXO A

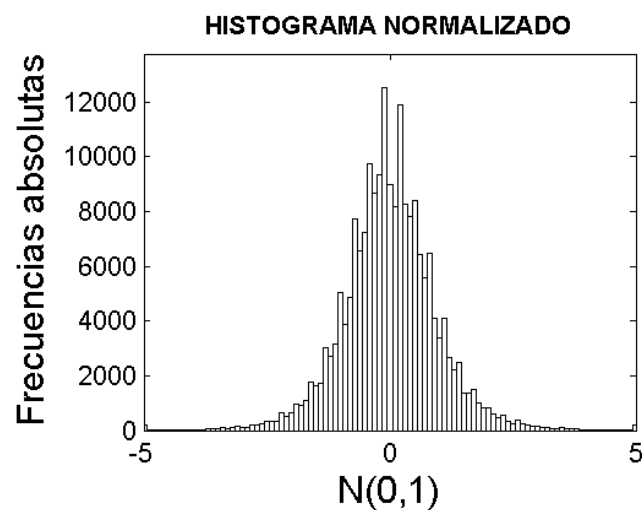


## ANEXO A

Reductora Sin Carcasa

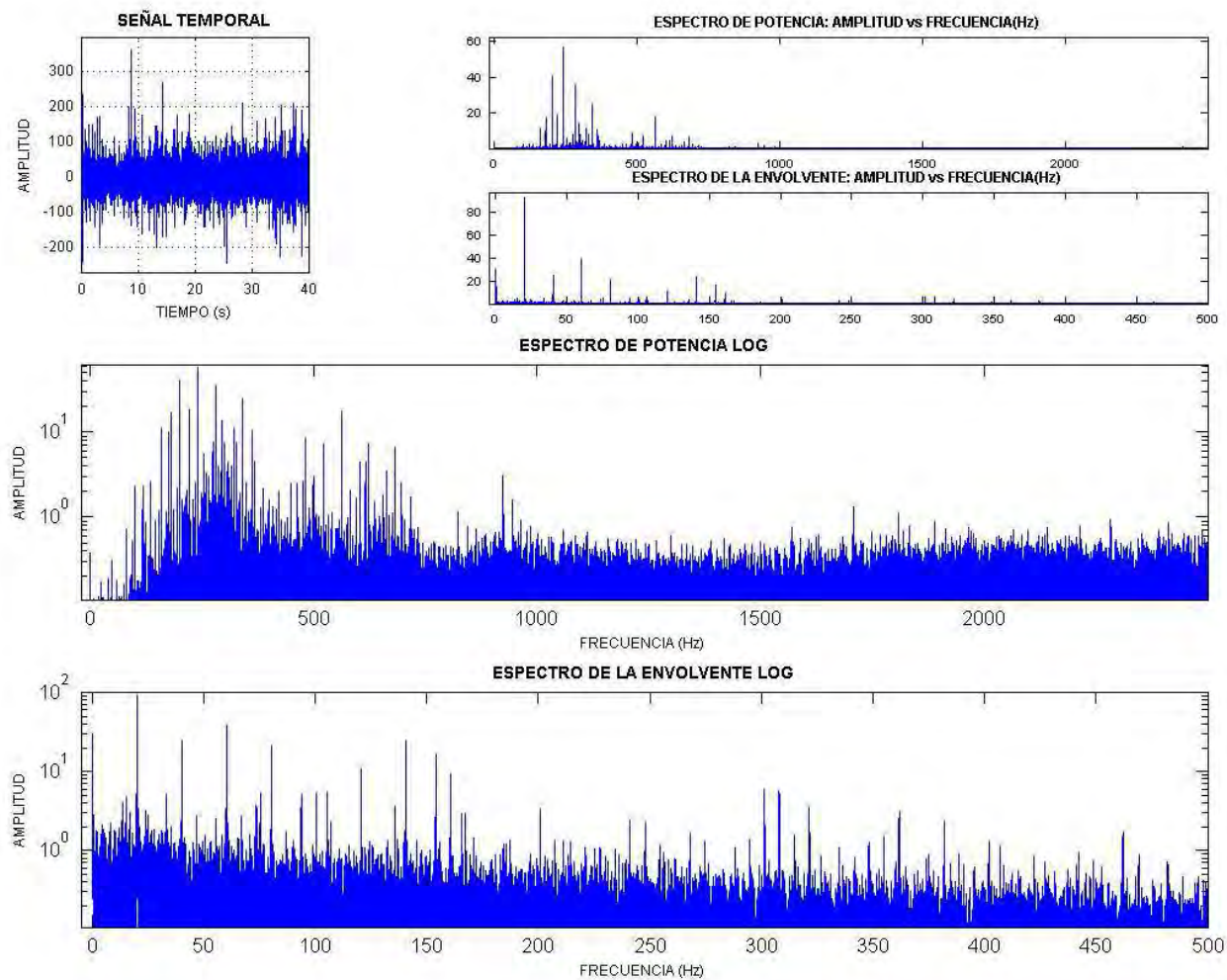
Punto 2

Velocidad (r.p.m) 1200



Media	-1.421460
Desviación Típica:	17.062126
Mediana:	-1.464844
Valor Máximo:	234.863280
Valor Mínimo:	-239.257810
Valor de Pico:	239.257810
Valor de Pico a Pico:	474.121090
Kurtosis:	13.670209
Sesgo:	0.183860
Valor Eficaz:	17.120810
Factor de Forma:	1.465571
Factor de Cresta:	13.974678
Varianza:	291.116146
Valor Medio:	11.809373
Moda:	-1.551611
Potencia del Espectro:	293.122139

## ANEXO A

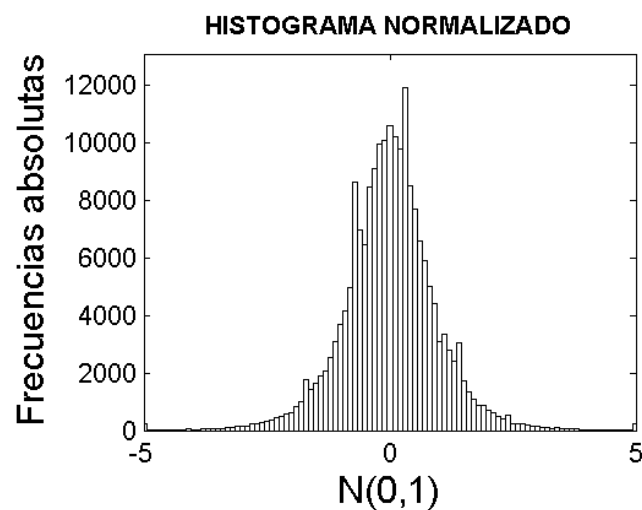


## ANEXO A

Reductora Sin Carcasa

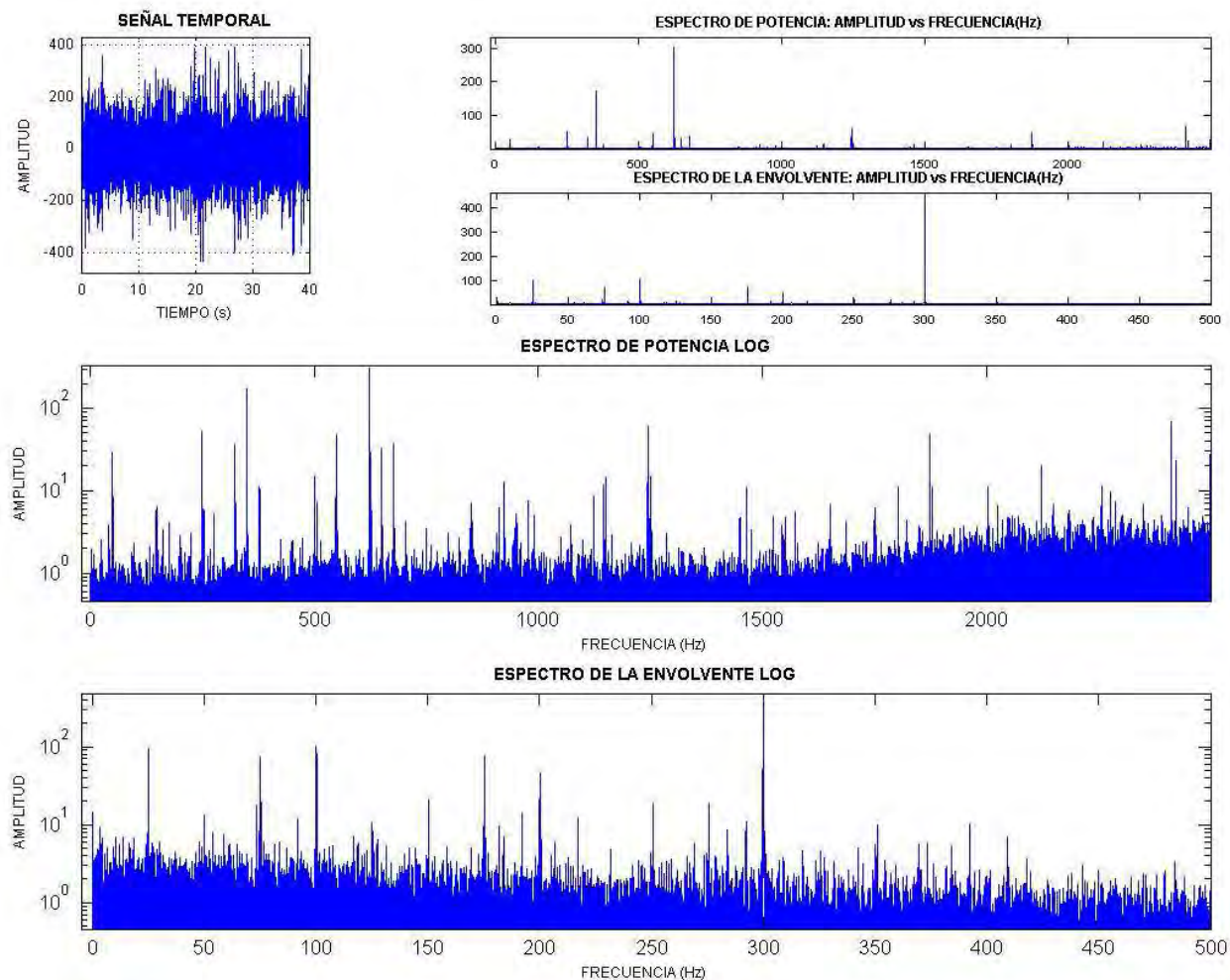
Punto 2

Velocidad (r.p.m) 1500



Media	-9.710693
Desviación Típica:	34.057580
Mediana:	-9.271163
Valor Máximo:	356.939770
Valor Mínimo:	-381.662880
Valor de Pico:	381.662880
Valor de Pico a Pico:	738.602650
Kurtosis:	11.187736
Sesgo:	-0.115311
Valor Eficaz:	35.414098
Factor de Forma:	1.439700
Factor de Cresta:	10.777145
Varianza:	1159.918775
Valor Medio:	24.610688
Moda:	-8.392102
Potencia del Espectro:	1254.158344

## ANEXO A

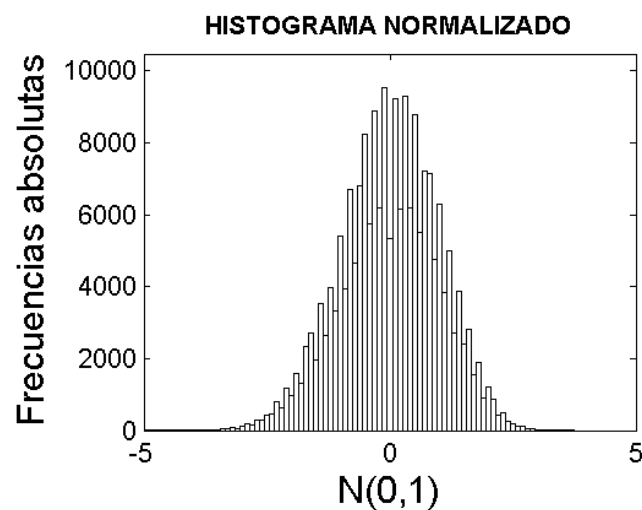


## ANEXO A

Reductora Sin Carcasa

Punto 3

Velocidad (r.p.m) 0



Media -0.001574

Desviación Típica: 0.004781

Mediana: -0.001545

Valor Máximo: 0.014216

Valor Mínimo: -0.021169

Valor de Pico: 0.021169

Valor de Pico a Pico: 0.035385

Kurtosis: 2.880597

Sesgo: -0.160659

Valor Eficaz: 0.005033

Factor de Forma: 1.746116

Factor de Cresta: 4.205994

Varianza: 0.000023

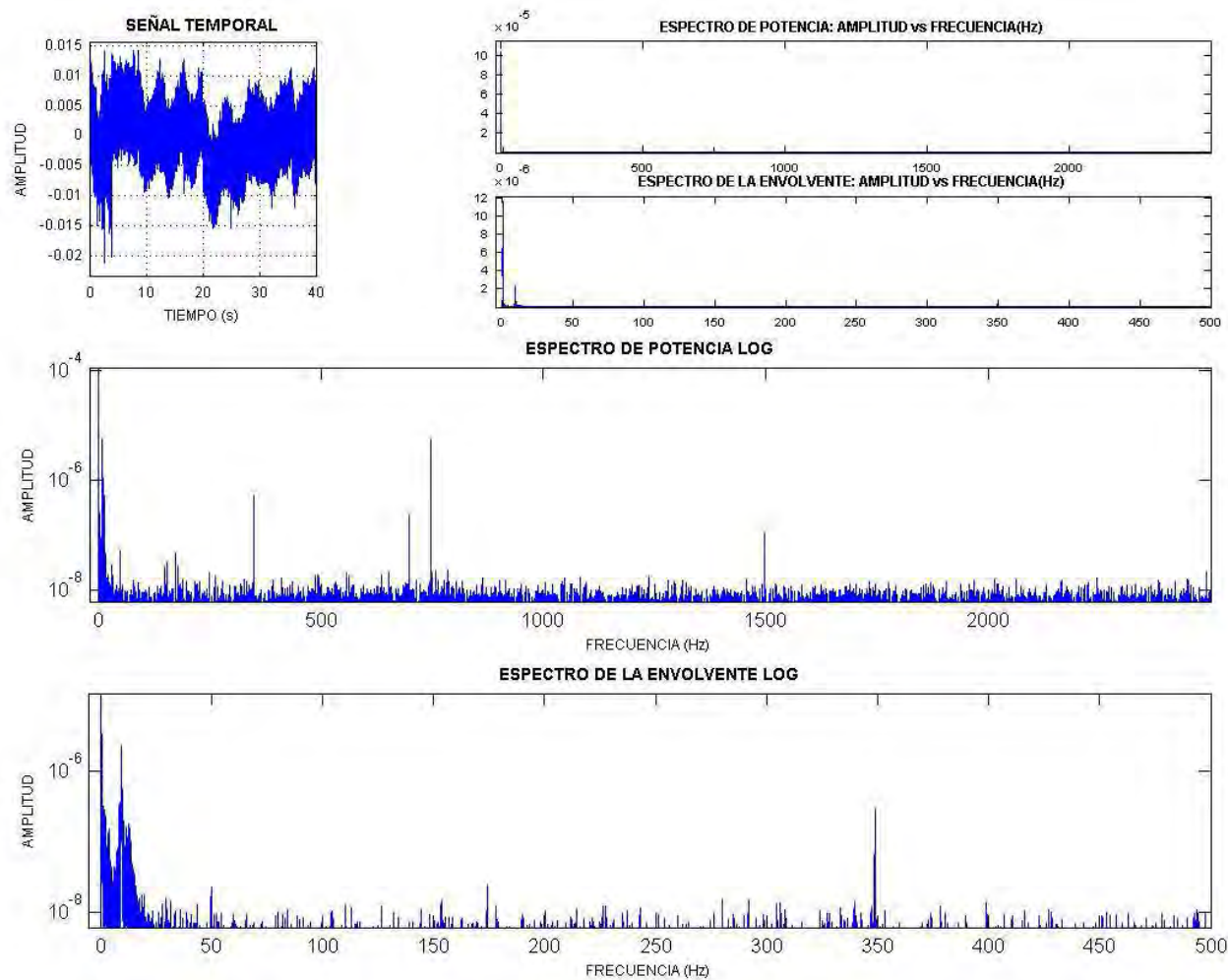
Valor Medio: 0.003146

Moda: -0.001488

Potencia del Espectro: 0.000025



## ANEXO A



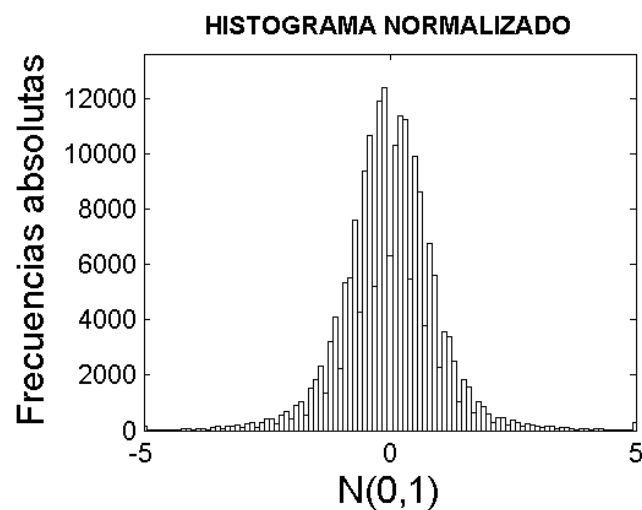


## ANEXO A

Reductora Sin Carcasa

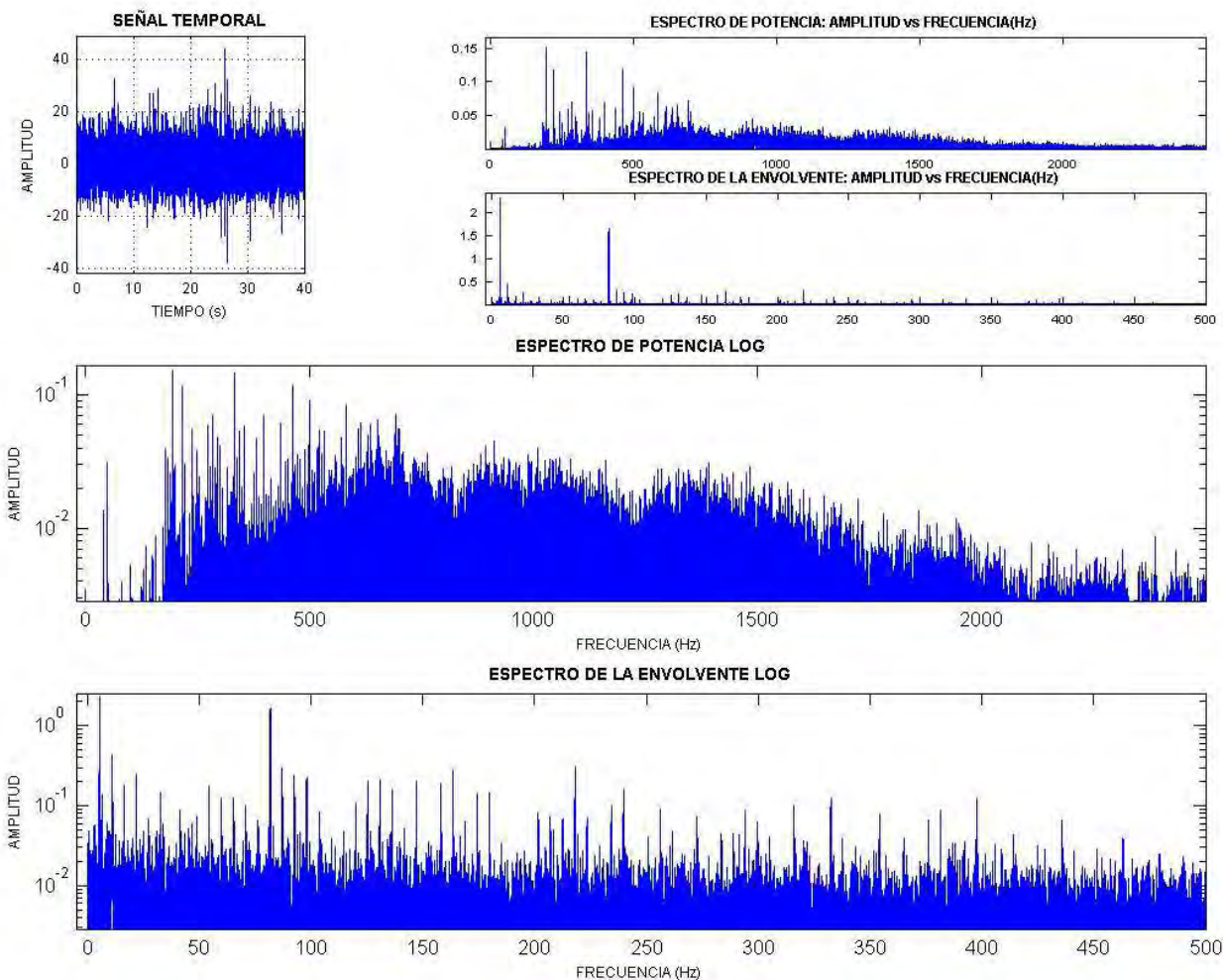
Punto 3

Velocidad (r.p.m) 300



Media	-0.455739
Desviación Típica:	2.630512
Mediana:	-0.463558
Valor Máximo:	19.005884
Valor Mínimo:	-18.233287
Valor de Pico:	19.005884
Valor de Pico a Pico:	37.239171
Kurtosis:	7.375736
Sesgo:	0.115219
Valor Eficaz:	2.669634
Factor de Forma:	1.393681
Factor de Cresta:	7.119284
Varianza:	6.919595
Valor Medio:	1.915727
Moda:	-0.479196
Potencia del Espectro:	7.126948

## ANEXO A

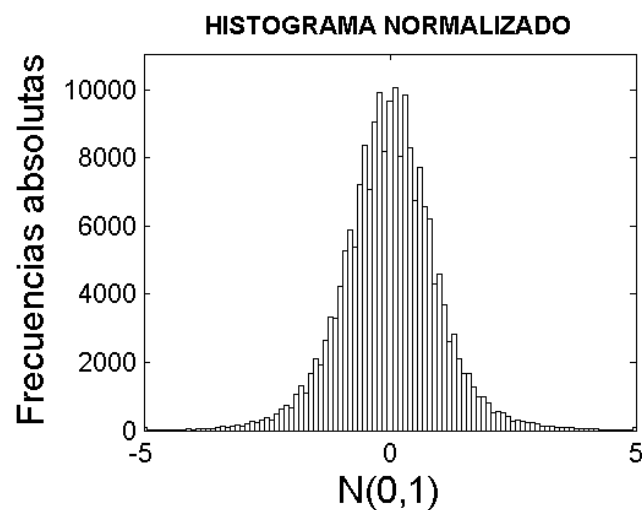


## ANEXO A

Reductora Sin Carcasa

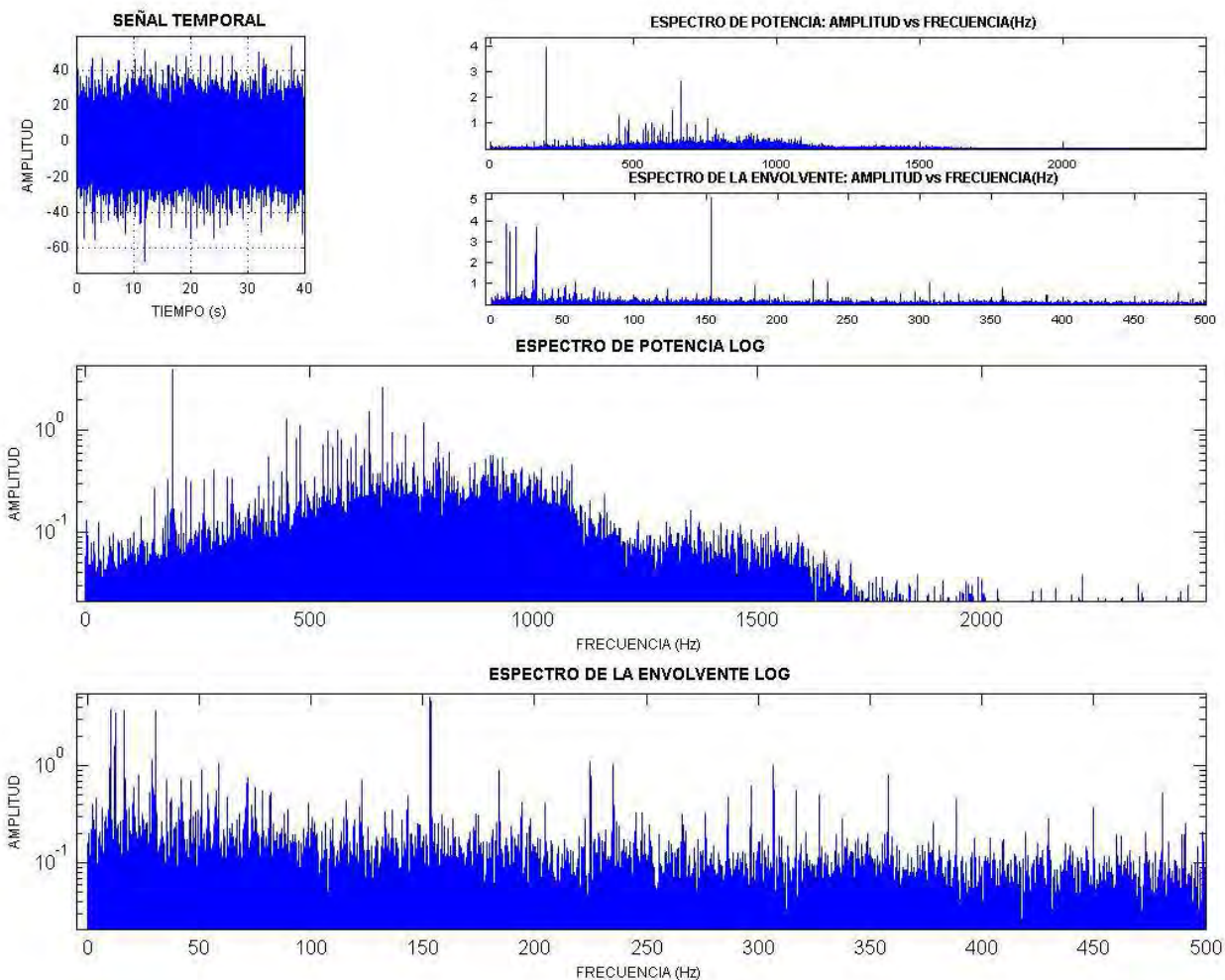
Punto 3

Velocidad (r.p.m) 600



Media	-0.494956
Desviación Típica:	7.165237
Mediana:	-0.540818
Valor Máximo:	47.282931
Valor Mínimo:	-55.008900
Valor de Pico:	55.008900
Valor de Pico a Pico:	102.291831
Kurtosis:	5.525612
Sesgo:	0.006553
Valor Eficaz:	7.182133
Factor de Forma:	1.327407
Factor de Cresta:	7.659131
Varianza:	51.340620
Valor Medio:	5.410989
Moda:	-0.632541
Potencia del Espectro:	51.583035

## ANEXO A

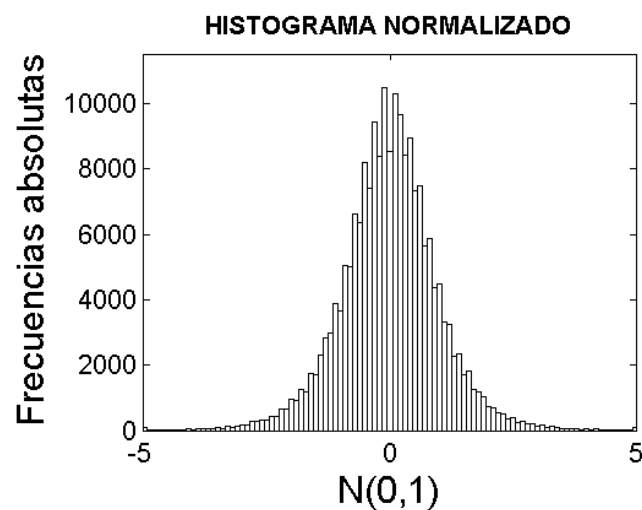


## ANEXO A

Reductora Sin Carcasa

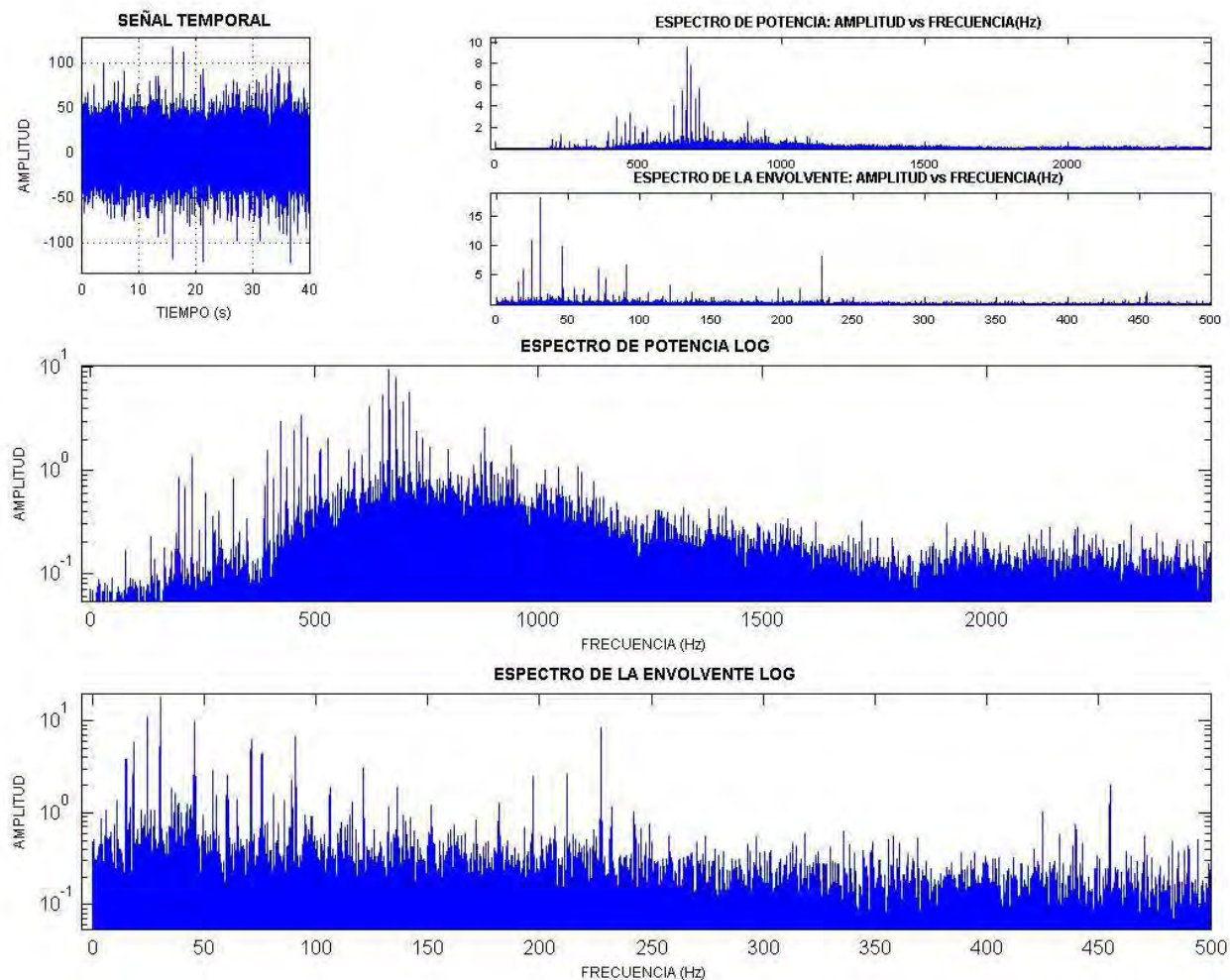
Punto 3

Velocidad (r.p.m) 900



Media	-0.441369
Desviación Típica:	11.465573
Mediana:	-0.463558
Valor Máximo:	99.355963
Valor Mínimo:	-65.670738
Valor de Pico:	99.355963
Valor de Pico a Pico:	165.026701
Kurtosis:	4.952291
Sesgo:	0.024614
Valor Eficaz:	11.473779
Factor de Forma:	1.325866
Factor de Cresta:	8.659393
Varianza:	131.459373
Valor Medio:	8.654179
Moda:	-0.507936
Potencia del Espectro:	131.647607

## ANEXO A

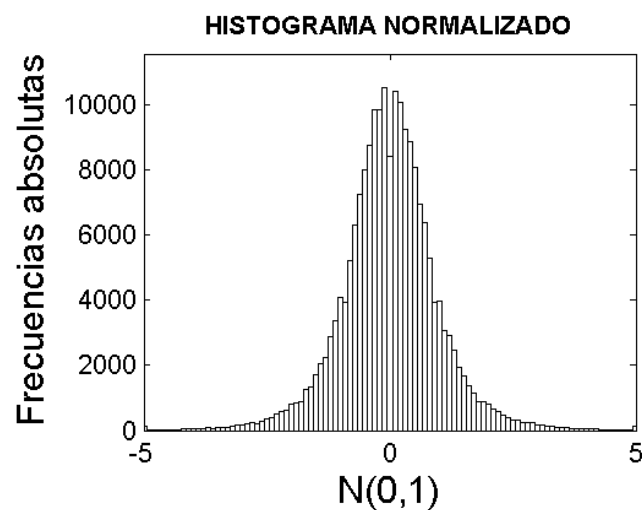


## ANEXO A

Reductora Sin Carcasa

Punto 3

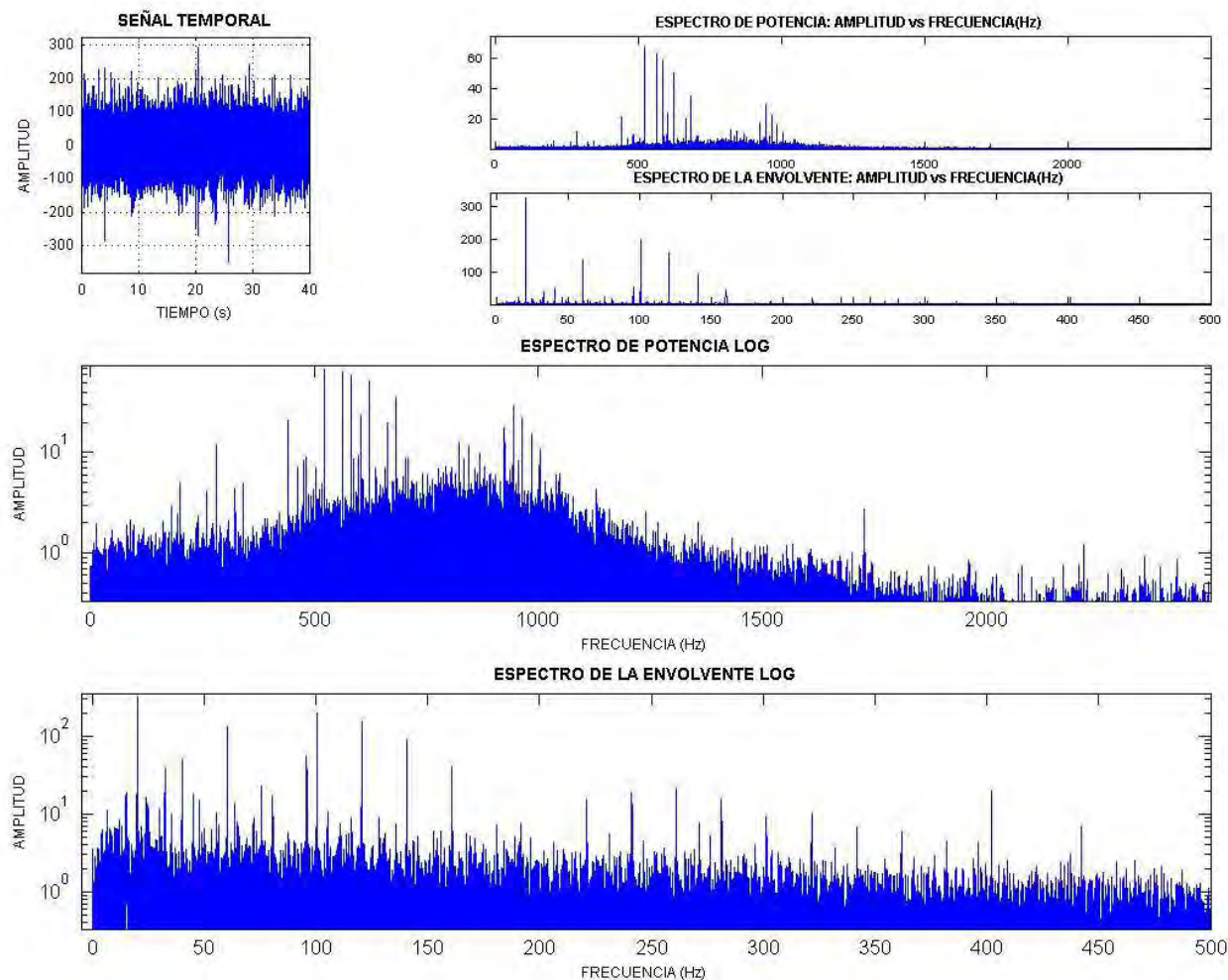
Velocidad (r.p.m) 1200



Media	-1.618970
Desviación Típica:	28.385860
Mediana:	-1.708984
Valor Máximo:	228.515630
Valor Mínimo:	-190.429690
Valor de Pico:	228.515630
Valor de Pico a Pico:	418.945320
Kurtosis:	6.398436
Sesgo:	0.087552
Valor Eficaz:	28.431283
Factor de Forma:	1.363046
Factor de Cresta:	8.037472
Varianza:	805.757074
Valor Medio:	20.861240
Moda:	-1.889014
Potencia del Espectro:	808.337849



## ANEXO A



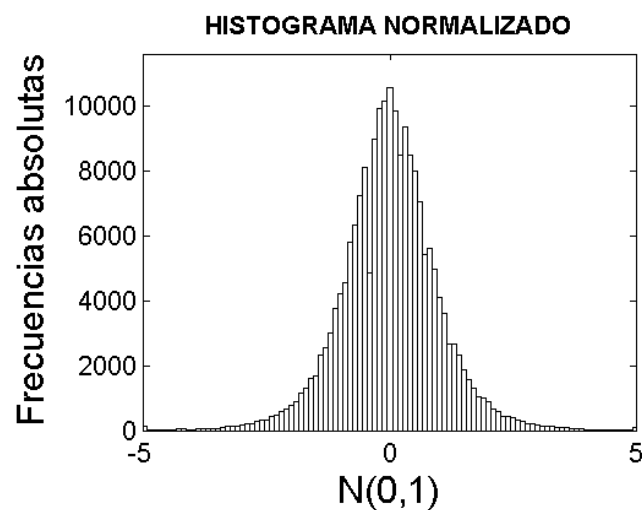


## ANEXO A

Reductora Sin Carcasa

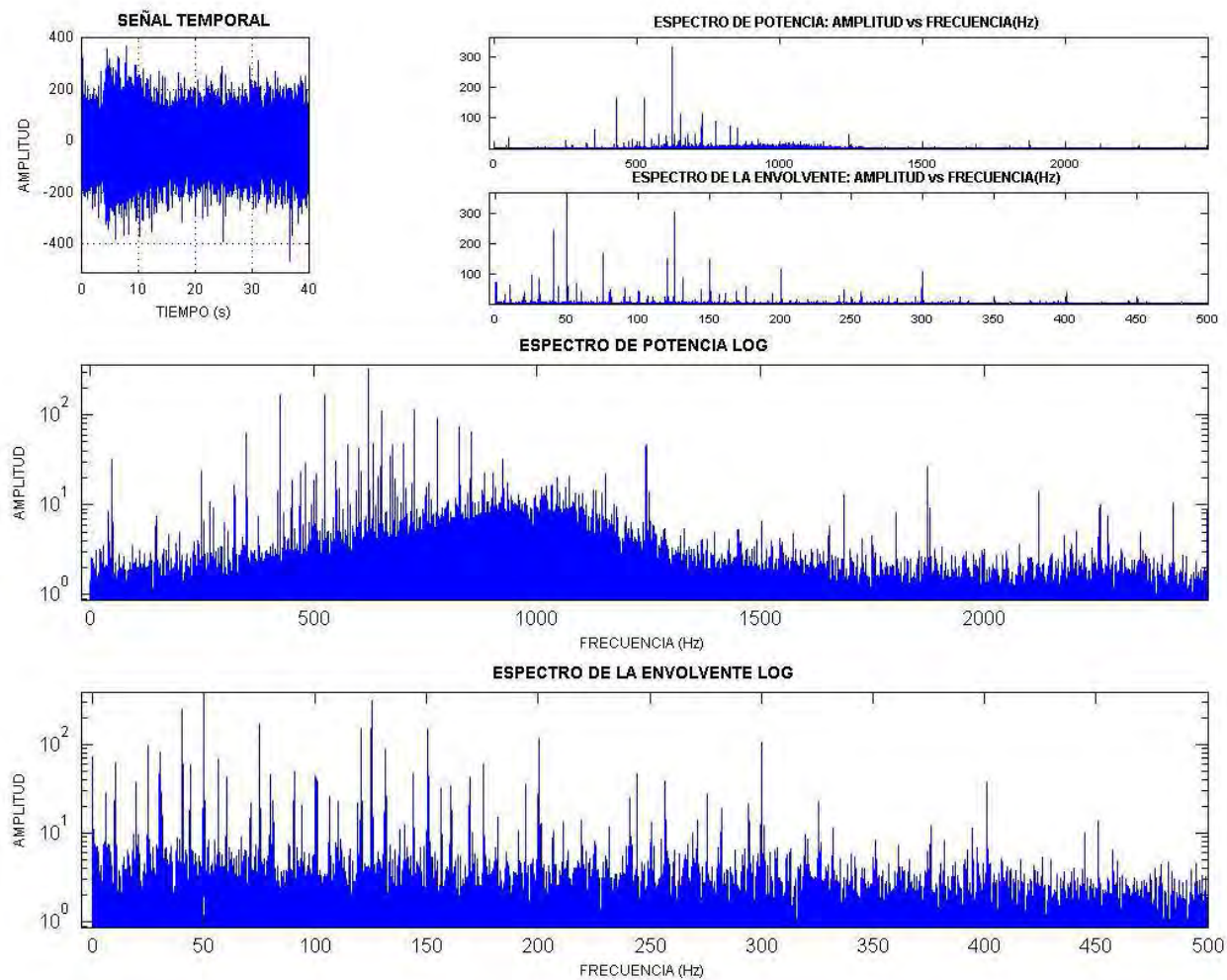
Punto 3

Velocidad (r.p.m) 1500



Media	-8.851643
Desviación Típica:	43.332765
Mediana:	-9.271163
Valor Máximo:	321.400320
Valor Mínimo:	-295.132020
Valor de Pico:	321.400320
Valor de Pico a Pico:	616.532340
Kurtosis:	5.100557
Sesgo:	-0.045643
Valor Eficaz:	44.226533
Factor de Forma:	1.280587
Factor de Cresta:	7.267138
Varianza:	1877.728510
Valor Medio:	34.798074
Moda:	-10.110203
Potencia del Espectro:	1955.986204

## ANEXO A

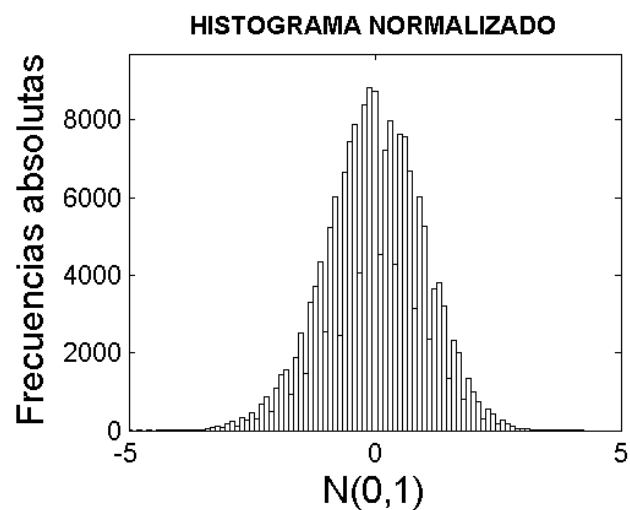


## ANEXO A

Reductora Sin Carcasa

Punto 4

Velocidad (r.p.m) 0



Media 0.000326

Desviación Típica: 0.002397

Mediana: 0.000309

Valor Máximo: 0.009580

Valor Mínimo: -0.008808

Valor de Pico: 0.009580

Valor de Pico a Pico: 0.018388

Kurtosis: 2.941783

Sesgo: -0.006035

Valor Eficaz: 0.002419

Factor de Forma: 1.156978

Factor de Cresta: 3.961139

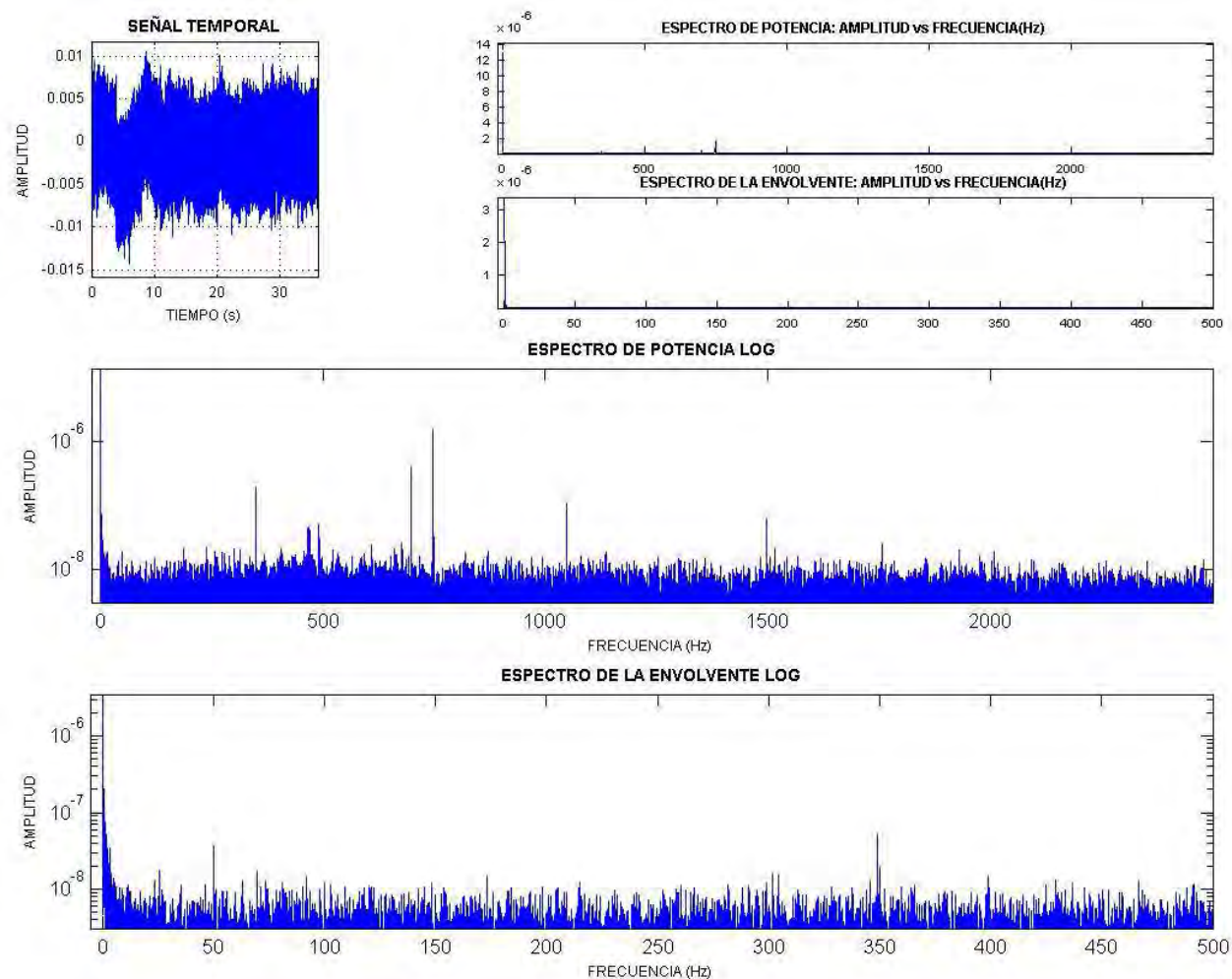
Varianza: 0.000006

Valor Medio: 0.002177

Moda: 0.000276

Potencia del Espectro: 0.000006

## ANEXO A

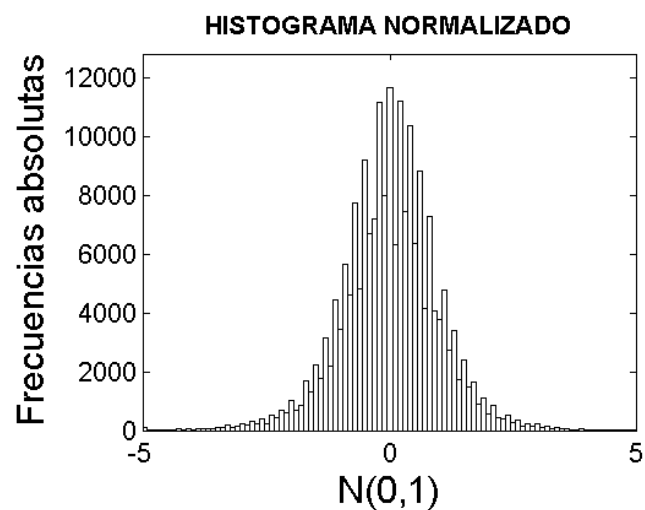


## ANEXO A

Reductora Sin Carcasa

Punto 4

Velocidad (r.p.m) 300



Media -0.140398

Desviación Típica: 1.200733

Mediana: -0.146484

Valor Máximo: 6.884766

Valor Mínimo: -7.421875

Valor de Pico: 7.421875

Valor de Pico a Pico: 14.306641

Kurtosis: 4.978885

Sesgo: -0.205391

Valor Eficaz: 1.208883

Factor de Forma: 1.332944

Factor de Cresta: 6.139447

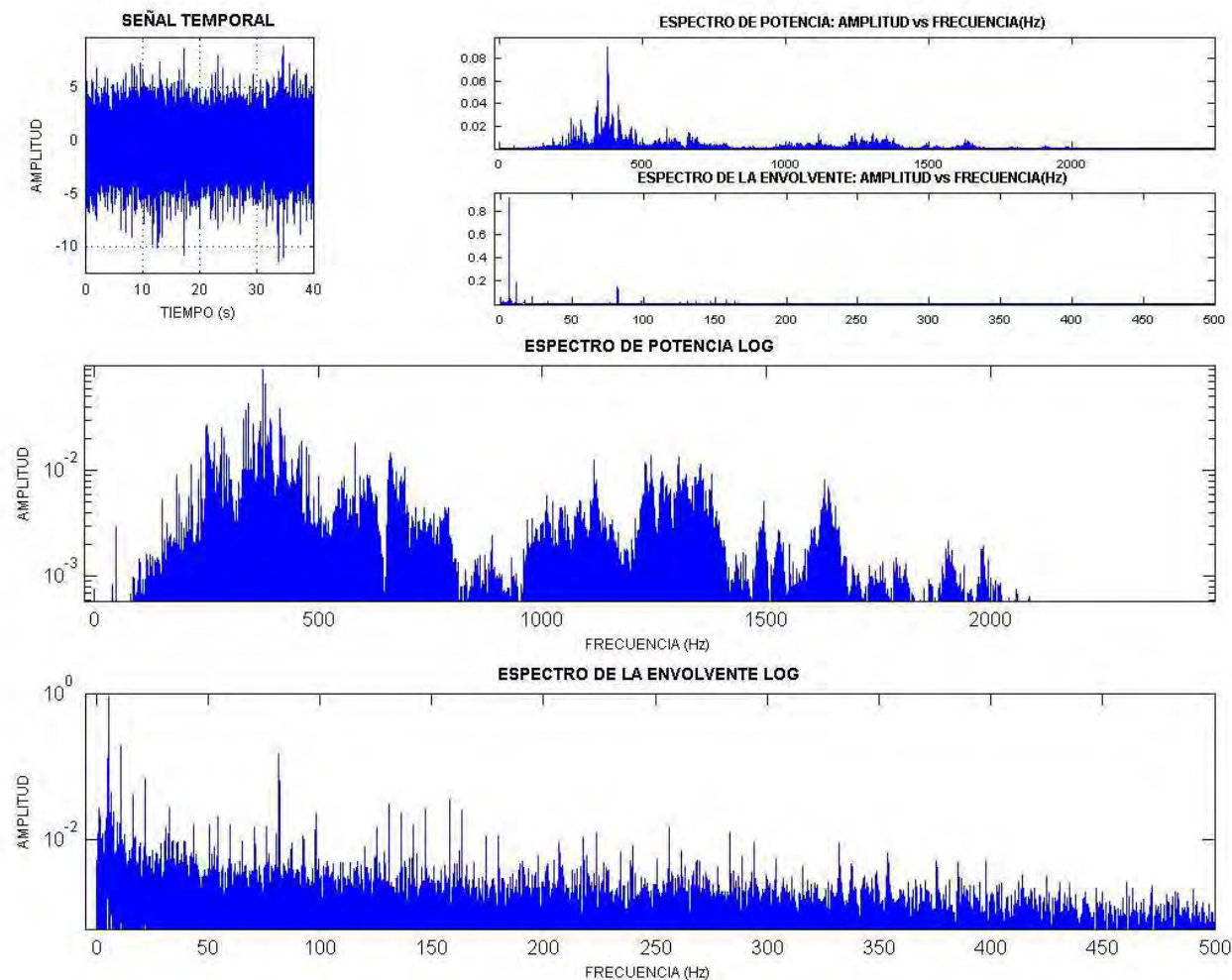
Varianza: 1.441759

Valor Medio: 0.907207

Moda: -0.158657

Potencia del Espectro: 1.461399

## ANEXO A

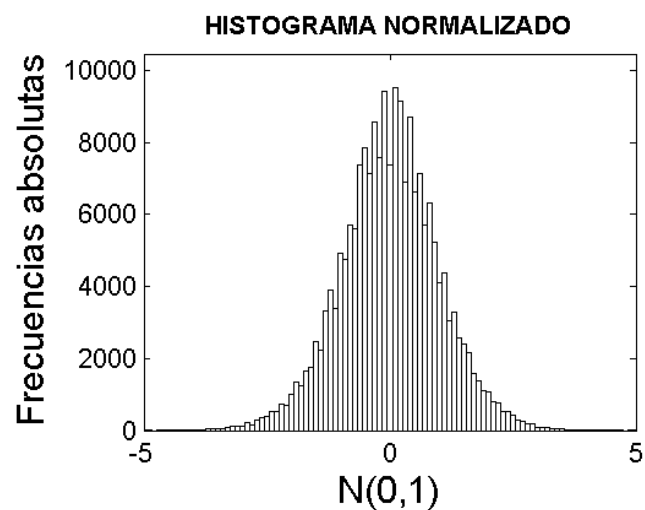


## ANEXO A

Reductora Sin Carcasa

Punto 4

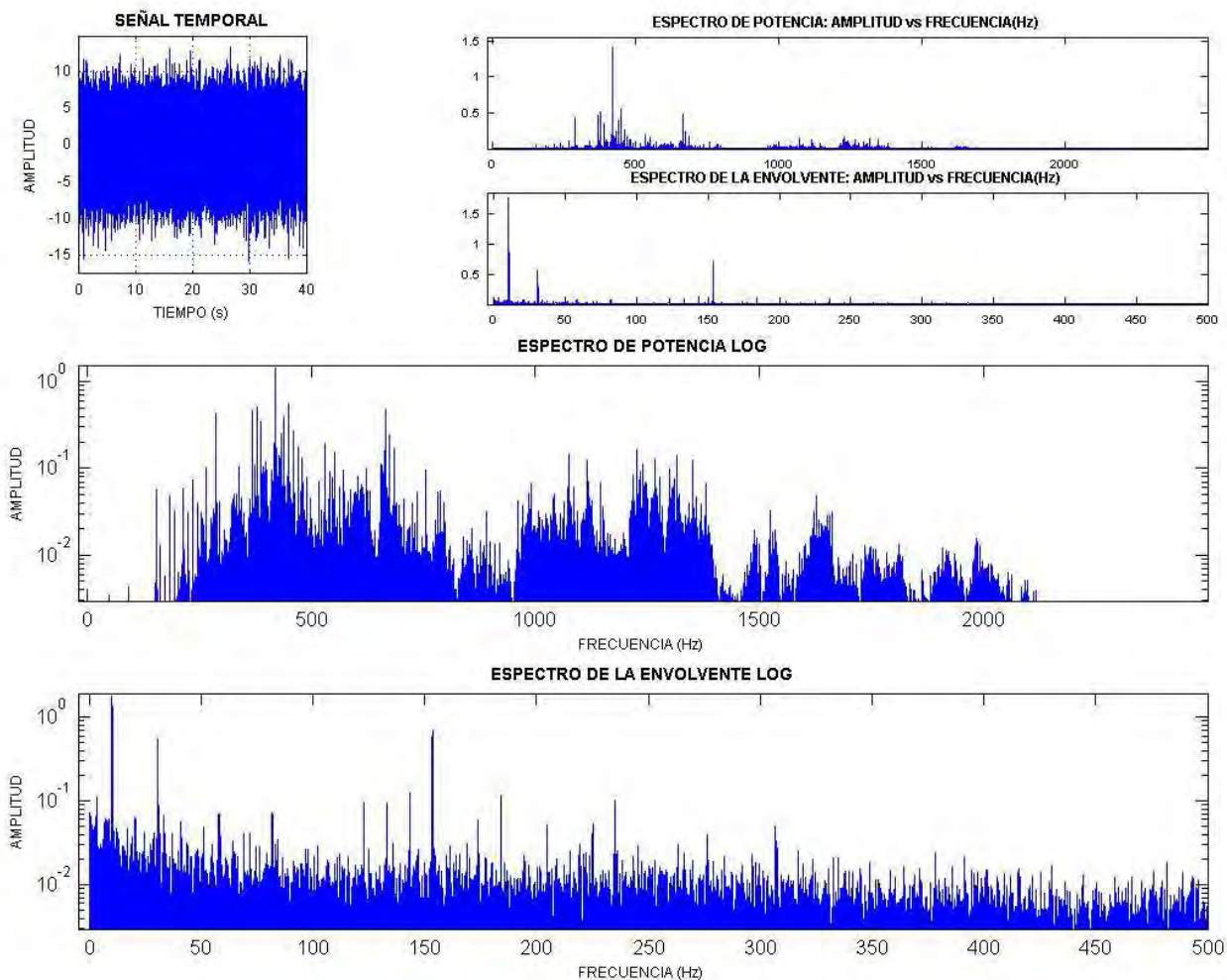
Velocidad (r.p.m) 600



Media	-0.139607
Desviación Típica:	2.740775
Mediana:	-0.146484
Valor Máximo:	11.718750
Valor Mínimo:	-15.429688
Valor de Pico:	15.429688
Valor de Pico a Pico:	27.148438
Kurtosis:	3.514886
Sesgo:	-0.054141
Valor Eficaz:	2.744260
Factor de Forma:	1.295192
Factor de Cresta:	5.622531
Varianza:	7.511848
Valor Medio:	2.119184
Moda:	-0.160239
Potencia del Espectro:	7.530963



## ANEXO A

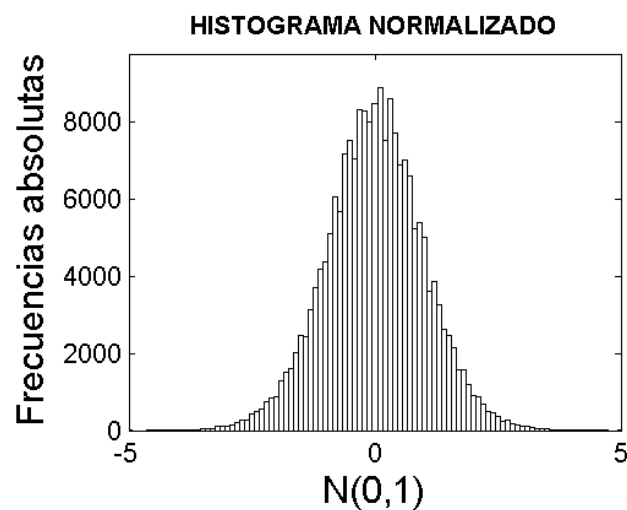


## ANEXO A

Reductora Sin Carcasa

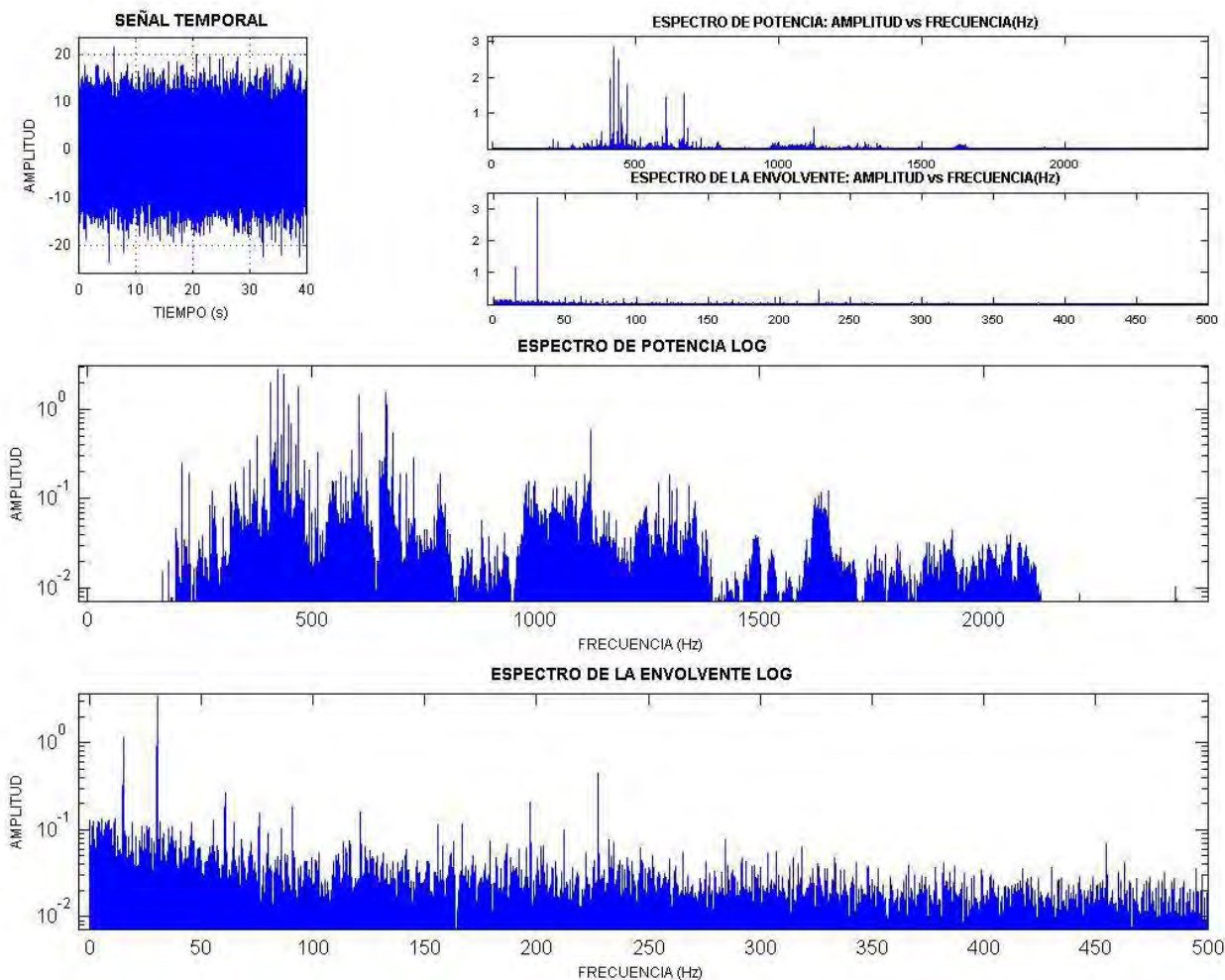
Punto 4

Velocidad (r.p.m) 900



Media	-0.138191
Desviación Típica:	4.290375
Mediana:	-0.195313
Valor Máximo:	17.724609
Valor Mínimo:	-18.847656
Valor de Pico:	18.847656
Valor de Pico a Pico:	36.572265
Kurtosis:	3.406599
Sesgo:	-0.014861
Valor Eficaz:	4.292493
Factor de Forma:	1.293304
Factor de Cresta:	4.390842
Varianza:	18.407319
Valor Medio:	3.319282
Moda:	-0.309556
Potencia del Espectro:	18.425495

## ANEXO A

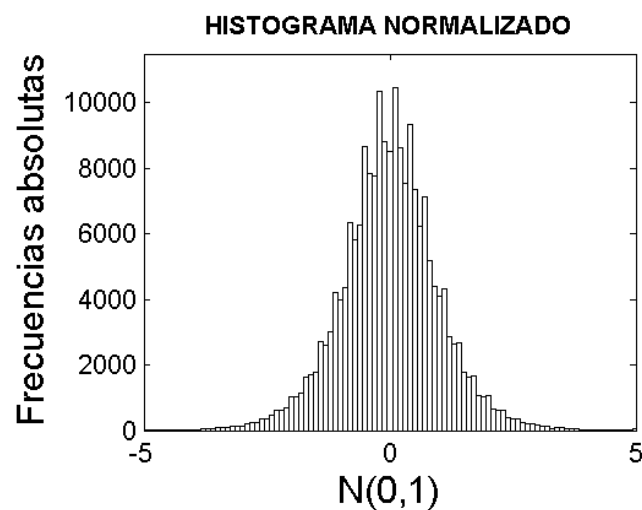


## ANEXO A

Reductora Sin Carcasa

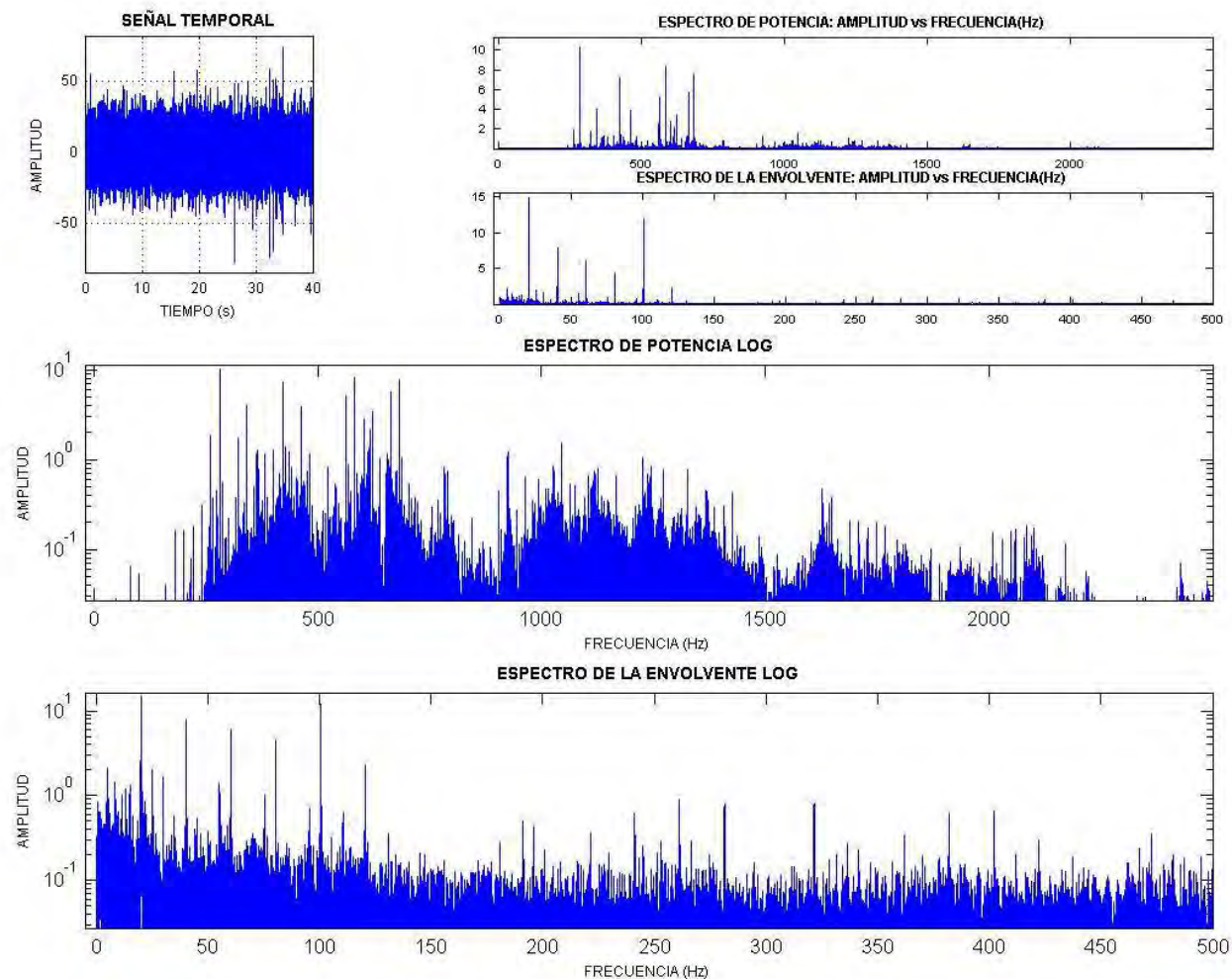
Punto 4

Velocidad (r.p.m) 1200



Media	-0.453453
Desviación Típica:	7.923603
Mediana:	-0.463558
Valor Máximo:	55.781497
Valor Mínimo:	-62.580350
Valor de Pico:	62.580350
Valor de Pico a Pico:	118.361847
Kurtosis:	4.844765
Sesgo:	0.051772
Valor Eficaz:	7.936370
Factor de Forma:	1.272807
Factor de Cresta:	7.885261
Varianza:	62.783489
Valor Medio:	6.237389
Moda:	-0.483769
Potencia del Espectro:	62.985969

## ANEXO A

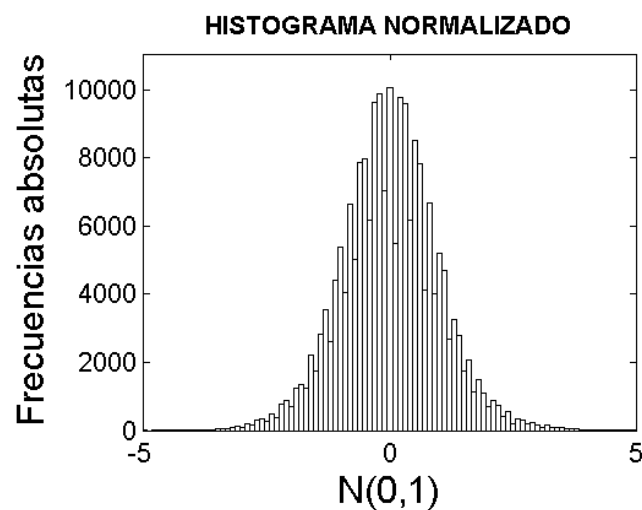


## ANEXO A

Reductora Sin Carcasa

Punto 4

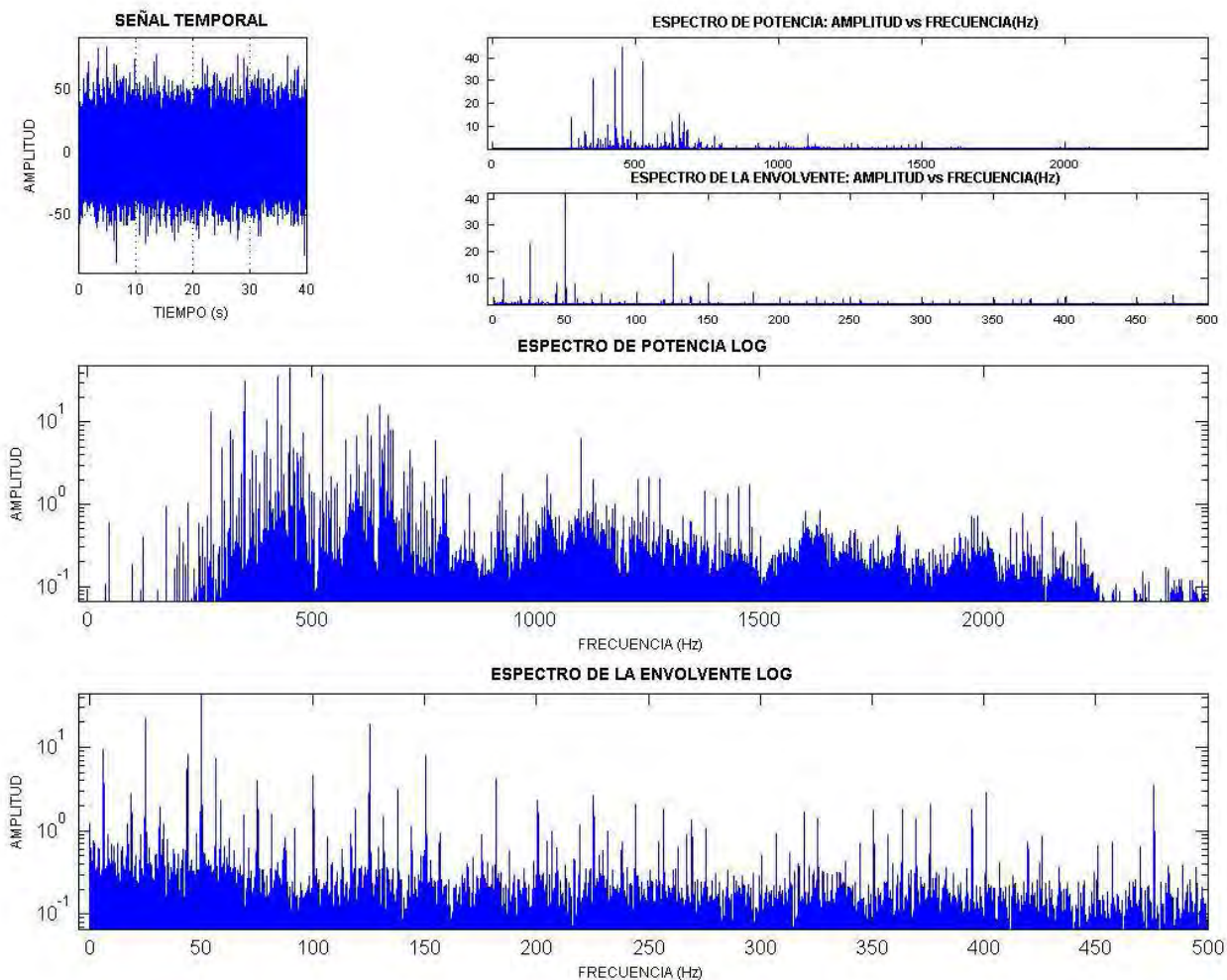
Velocidad (r.p.m) 1500



Media	-1.441455
Desviación Típica:	12.188170
Mediana:	-1.464844
Valor Máximo:	83.007813
Valor Mínimo:	-60.058594
Valor de Pico:	83.007813
Valor de Pico a Pico:	143.066407
Kurtosis:	3.975193
Sesgo:	0.066326
Valor Eficaz:	12.272809
Factor de Forma:	1.231993
Factor de Cresta:	6.763554
Varianza:	148.551480
Valor Medio:	9.967004
Moda:	-1.511621
Potencia del Espectro:	150.621845



## ANEXO A



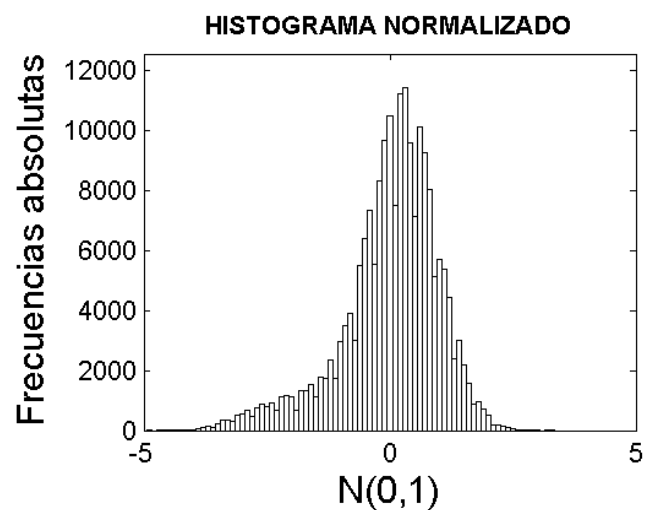


## ANEXO A

Reductora Sin Carcasa

Punto 5

Velocidad (r.p.m) 0



Media -0.003368

Desviación Típica: 0.002763

Mediana: -0.003399

Valor Máximo: 0.006644

Valor Mínimo: -0.014370

Valor de Pico: 0.014370

Valor de Pico a Pico: 0.021015

Kurtosis: 2.866036

Sesgo: 0.058006

Valor Eficaz: 0.004356

Factor de Forma: 1.672303

Factor de Cresta: 3.298960

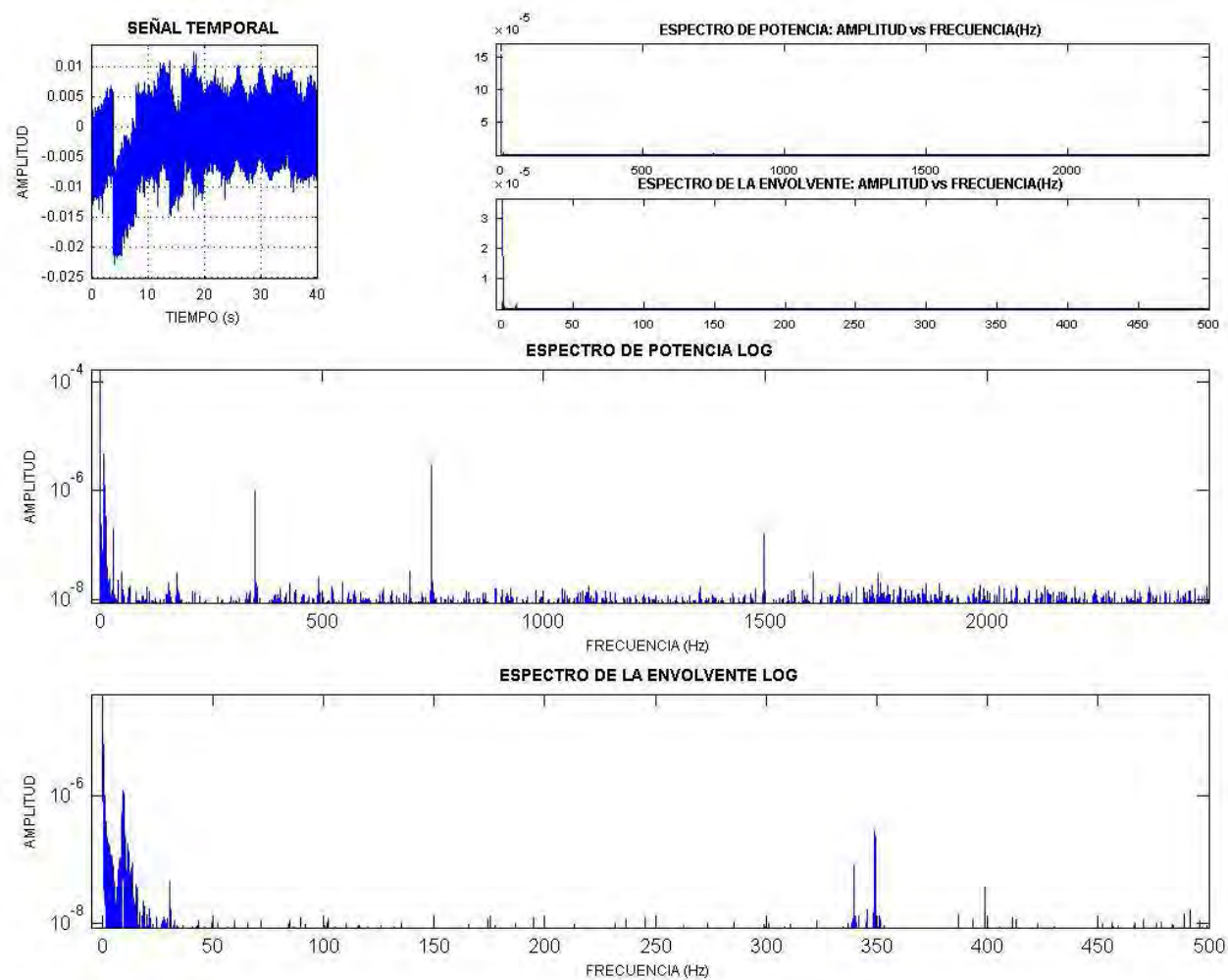
Varianza: 0.000008

Valor Medio: 0.003343

Moda: -0.003462

Potencia del Espectro: 0.000019

## ANEXO A

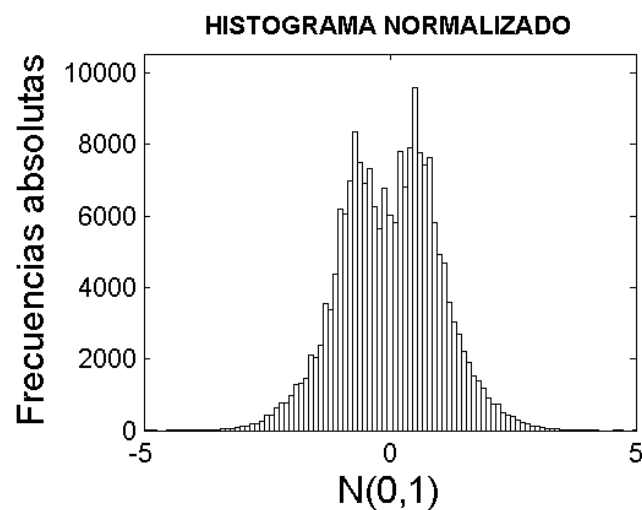


## ANEXO A

Reductora Sin Carcasa

Punto 5

Velocidad (r.p.m) 300



Media -0.031755

Desviación Típica: 0.304732

Mediana: -0.024414

Valor Máximo: 1.435547

Valor Mínimo: -1.533203

Valor de Pico: 1.533203

Valor de Pico a Pico: 2.968750

Kurtosis: 3.211566

Sesgo: -0.016235

Valor Eficaz: 0.306374

Factor de Forma: 1.221067

Factor de Cresta: 5.004345

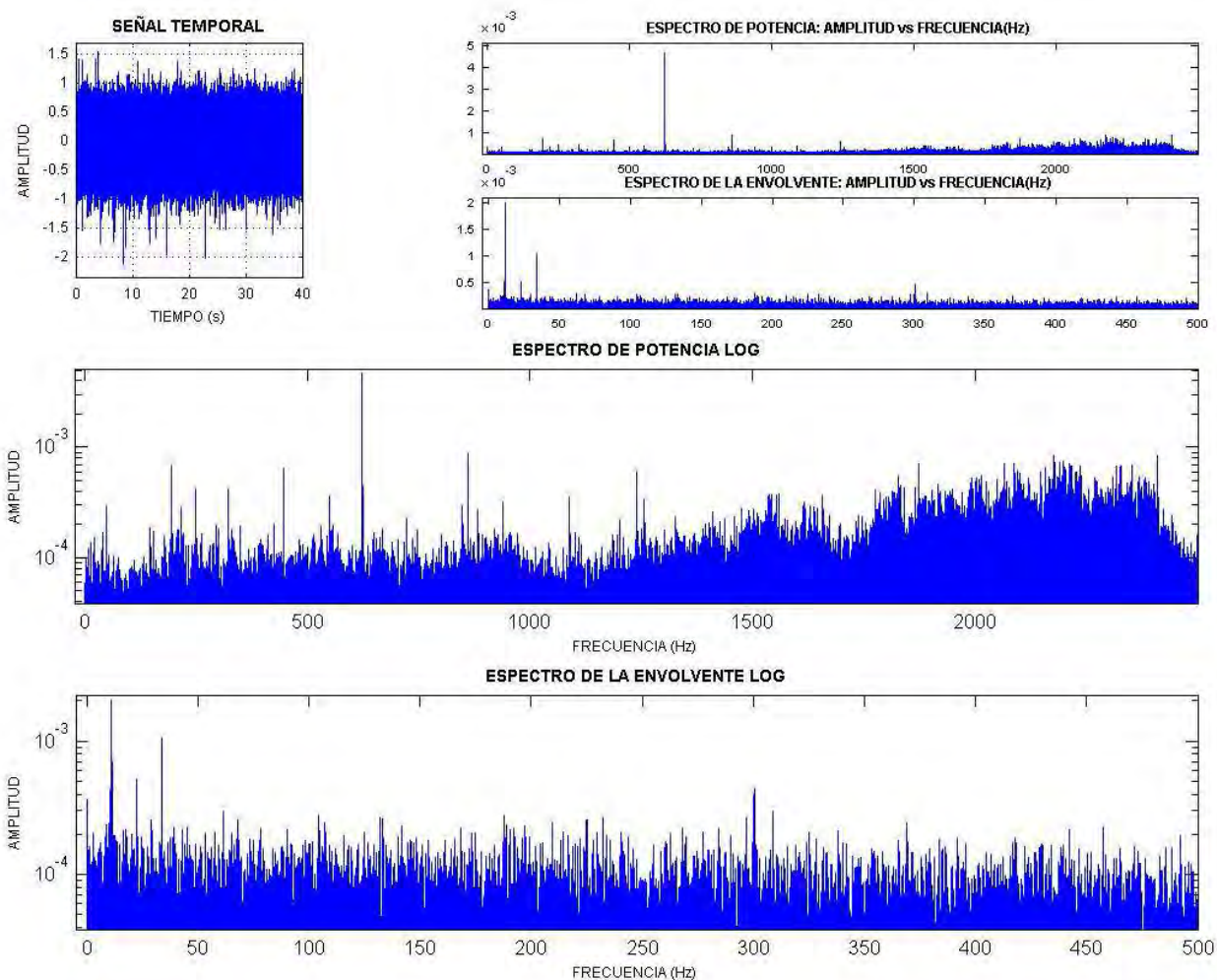
Varianza: 0.092861

Valor Medio: 0.250979

Moda: -0.009732

Potencia del Espectro: 0.093865

## ANEXO A

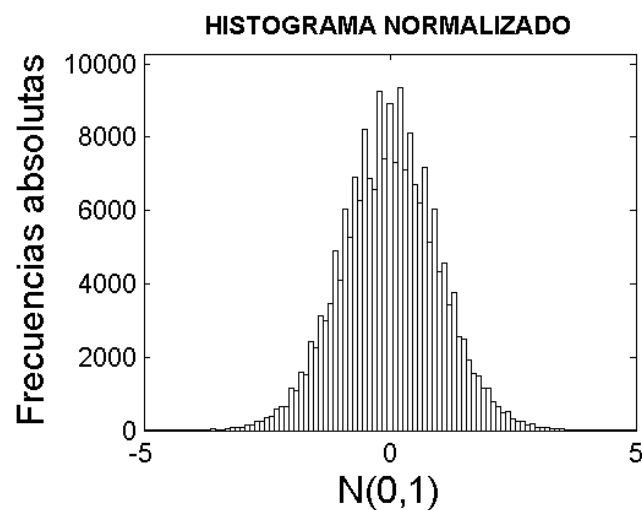


## ANEXO A

Reductora Sin Carcasa

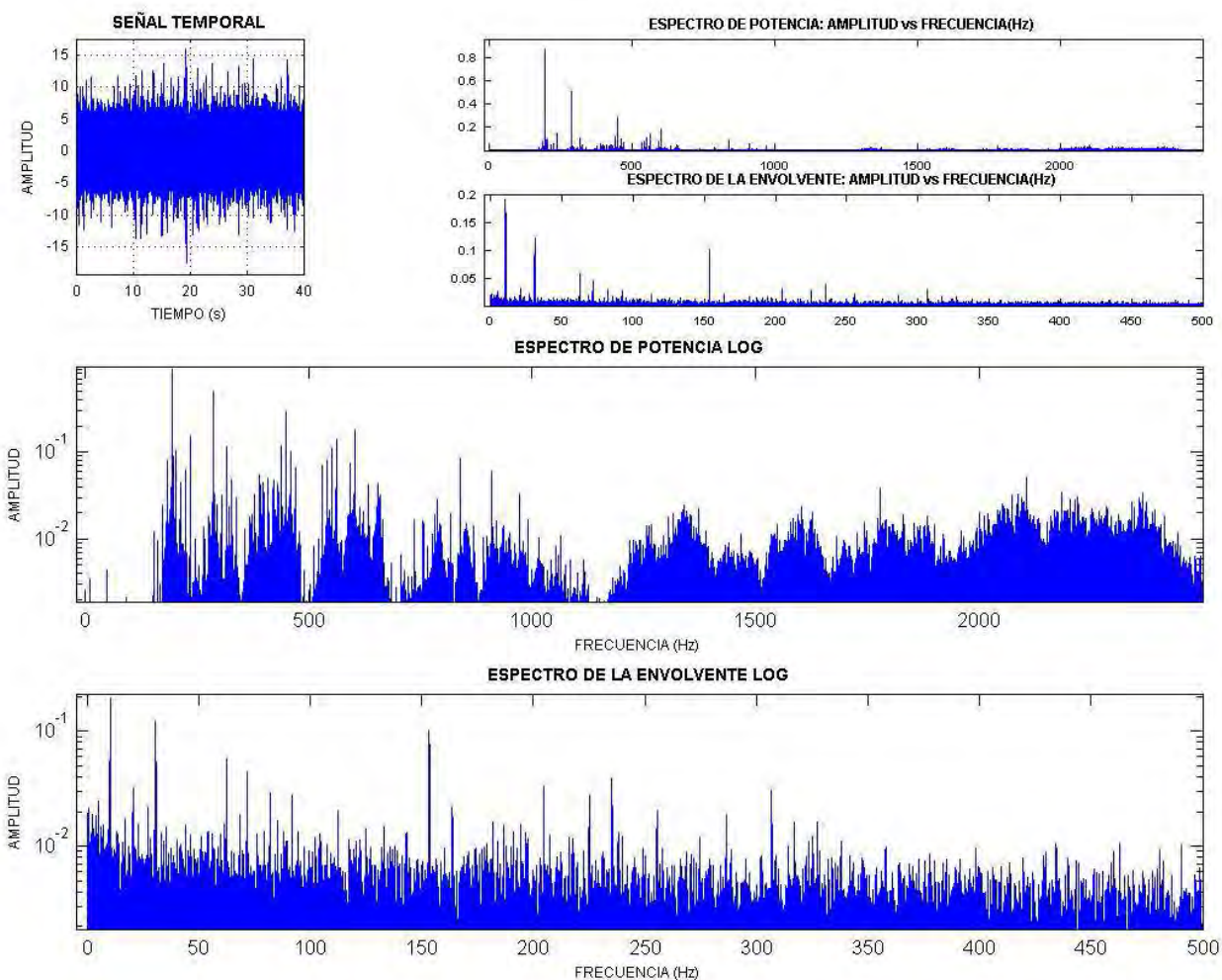
Punto 5

Velocidad (r.p.m) 600



Media	-0.142024
Desviación Típica:	2.178289
Mediana:	-0.146484
Valor Máximo:	12.646484
Valor Mínimo:	-12.402344
Valor de Pico:	12.646484
Valor de Pico a Pico:	25.048828
Kurtosis:	3.476523
Sesgo:	0.038088
Valor Eficaz:	2.182860
Factor de Forma:	1.274326
Factor de Cresta:	5.793540
Varianza:	4.744942
Valor Medio:	1.713457
Moda:	-0.155405
Potencia del Espectro:	4.764876

## ANEXO A

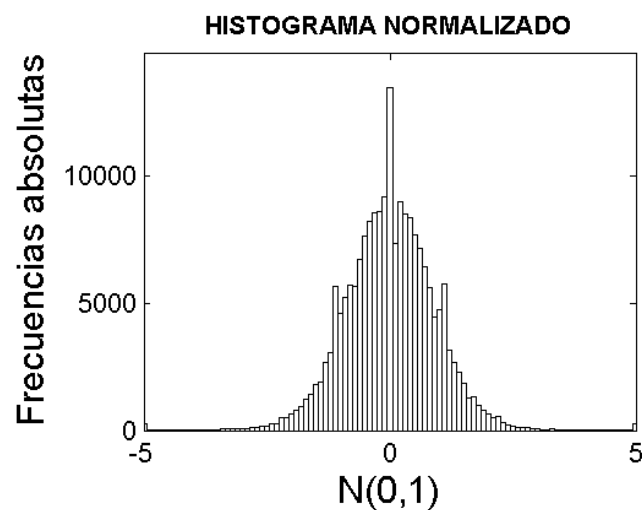


## ANEXO A

Reductora Sin Carcasa

Punto 5

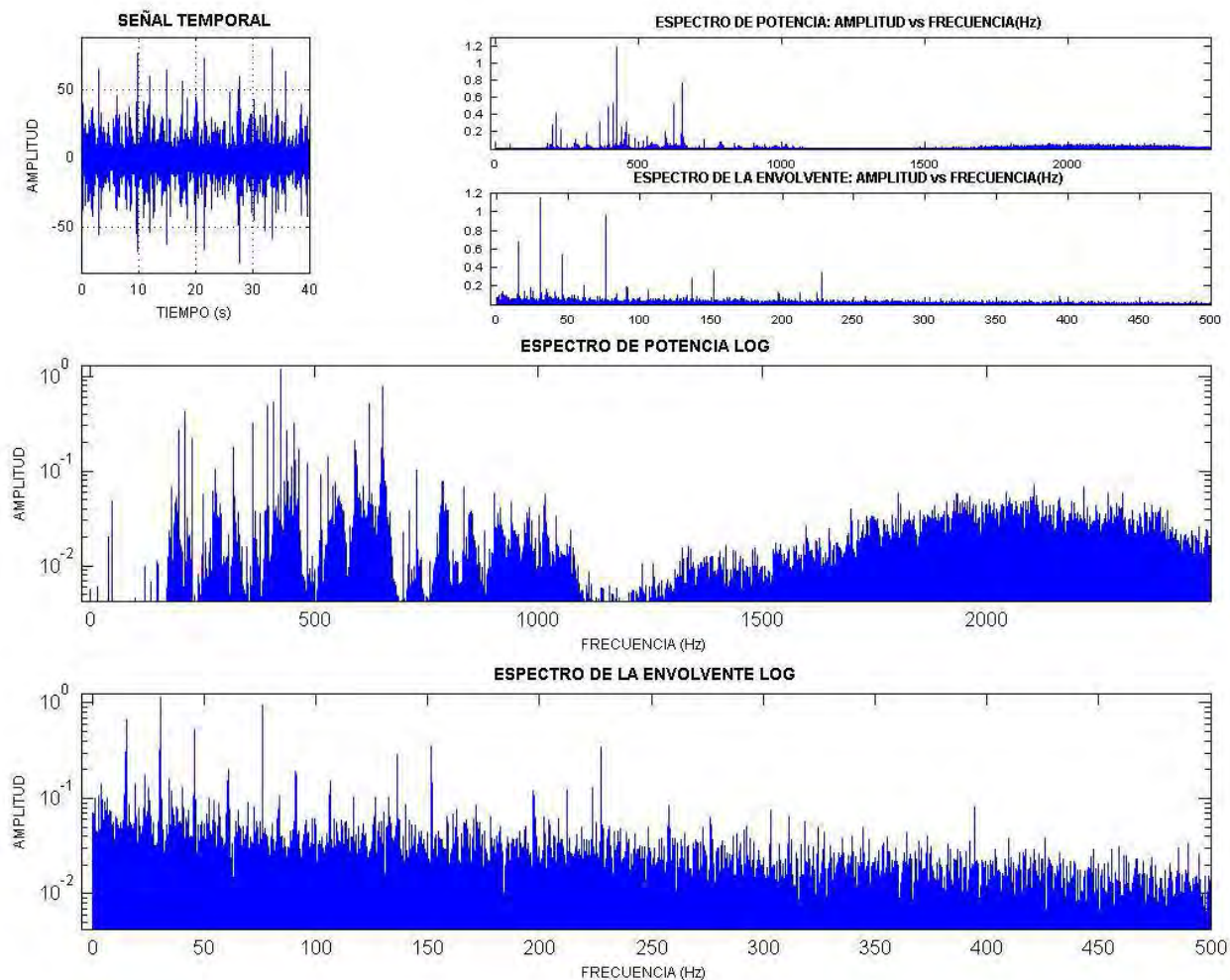
Velocidad (r.p.m) 900



Media	-0.457269
Desviación Típica:	3.338253
Mediana:	-0.463558
Valor Máximo:	65.361699
Valor Mínimo:	-55.472458
Valor de Pico:	65.361699
Valor de Pico a Pico:	120.834157
Kurtosis:	26.833199
Sesgo:	-0.003556
Valor Eficaz:	3.369343
Factor de Forma:	1.431168
Factor de Cresta:	19.398943
Varianza:	11.143936
Valor Medio:	2.354825
Moda:	-0.476136
Potencia del Espectro:	11.352474



## ANEXO A

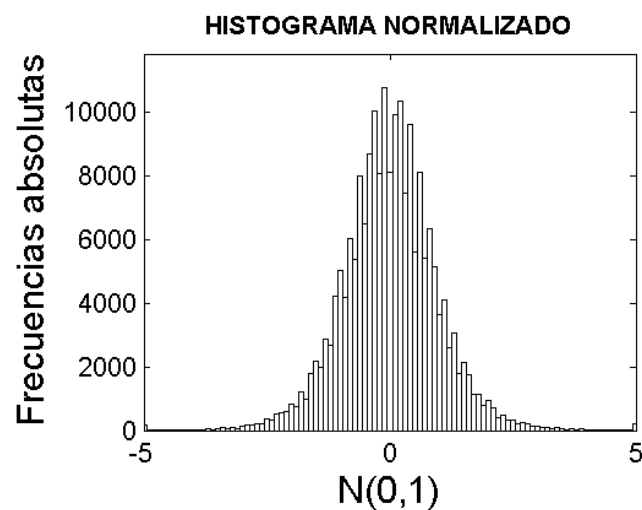


## ANEXO A

Reductora Sin Carcasa

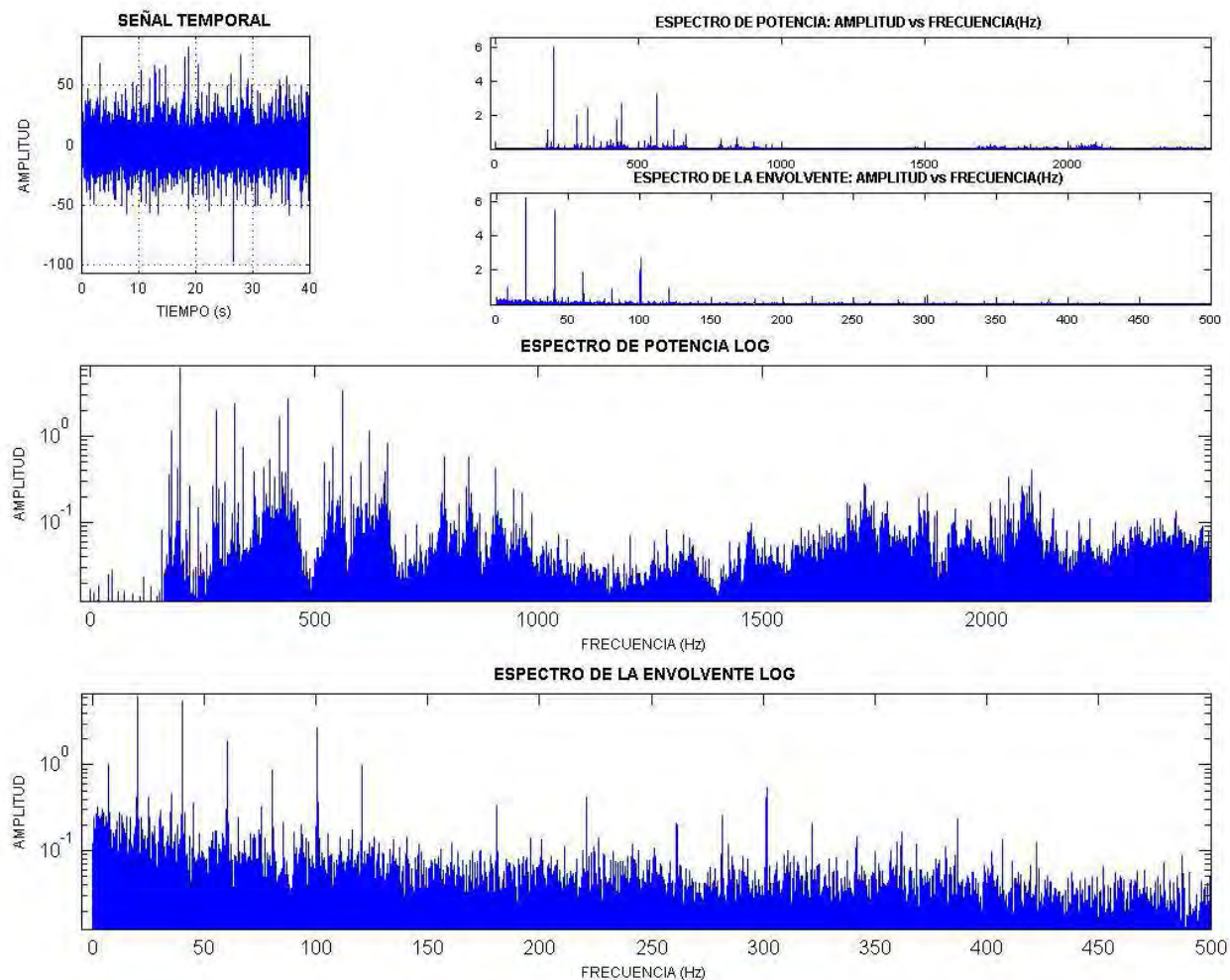
Punto 5

Velocidad (r.p.m) 1200



Media	-0.444220
Desviación Típica:	5.435016
Mediana:	-0.463558
Valor Máximo:	68.143048
Valor Mínimo:	-48.828125
Valor de Pico:	68.143048
Valor de Pico a Pico:	116.971173
Kurtosis:	8.442116
Sesgo:	0.152871
Valor Eficaz:	5.453004
Factor de Forma:	1.331824
Factor de Cresta:	12.496425
Varianza:	29.539394
Valor Medio:	4.094902
Moda:	-0.502234
Potencia del Espectro:	29.735248

## ANEXO A

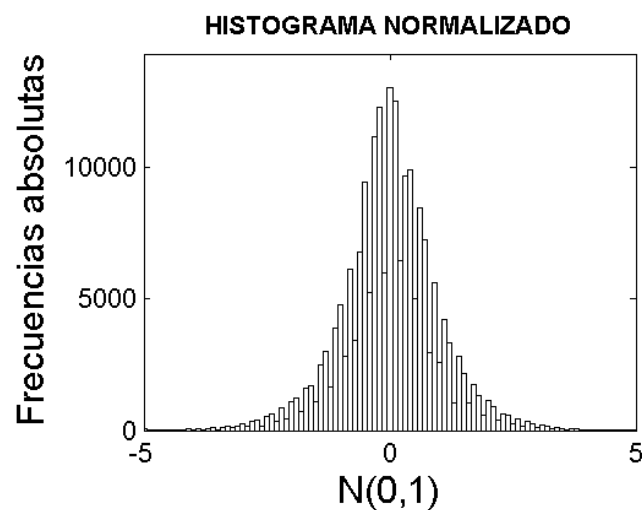


## ANEXO A

Reductora Sin Carcasa

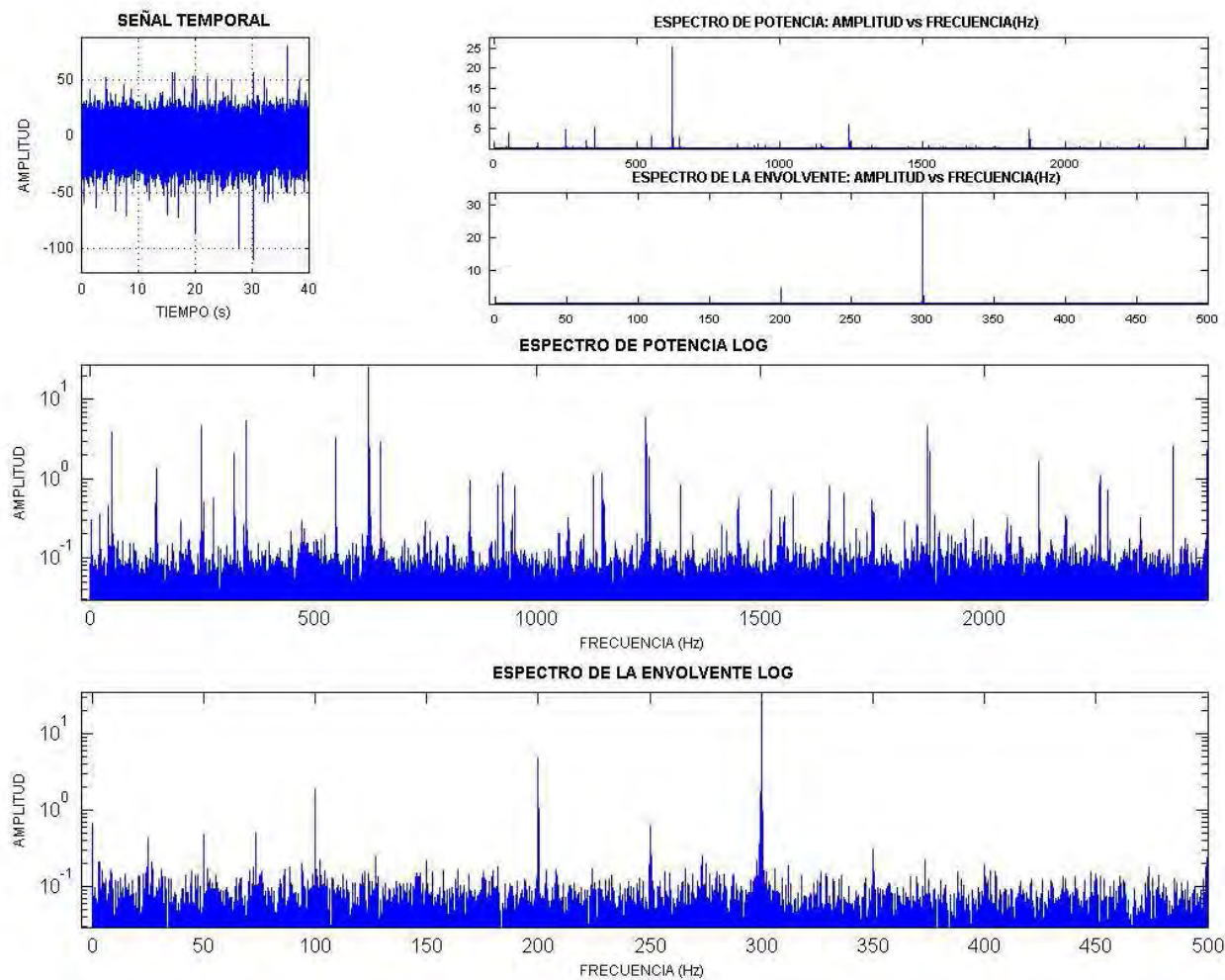
Punto 5

Velocidad (r.p.m) 1500



Media	-3.146851
Desviación Típica:	7.928209
Mediana:	-2.929688
Valor Máximo:	41.503906
Valor Mínimo:	-63.964844
Valor de Pico:	63.964844
Valor de Pico a Pico:	105.468750
Kurtosis:	5.174100
Sesgo:	-0.177096
Valor Eficaz:	8.529714
Factor de Forma:	1.314355
Factor de Cresta:	7.499061
Varianza:	62.856491
Valor Medio:	6.493394
Moda:	-2.495361
Potencia del Espectro:	72.756017

## ANEXO A

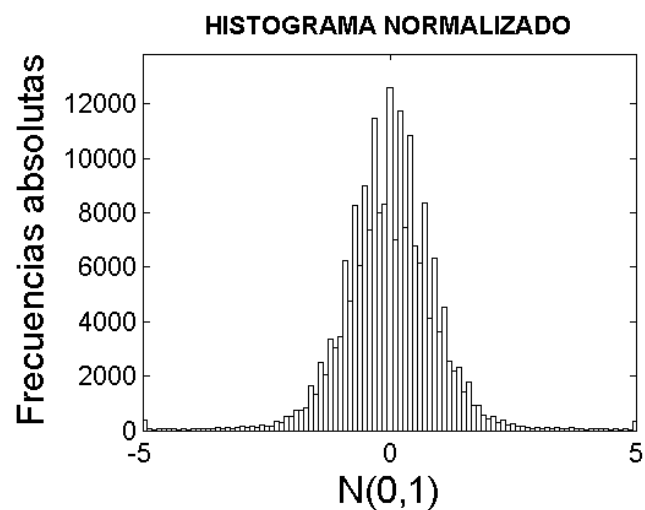


## ANEXO A

Reductora Sin Carcasa

Punto 6

Velocidad (r.p.m) 0



Media -0.000664

Desviación Típica: 0.002434

Mediana: -0.000618

Valor Máximo: 0.008344

Valor Mínimo: -0.010353

Valor de Pico: 0.010353

Valor de Pico a Pico: 0.018697

Kurtosis: 2.981275

Sesgo: -0.022668

Valor Eficaz: 0.002523

Factor de Forma: 1.020129

Factor de Cresta: 4.103452

Varianza: 0.000006

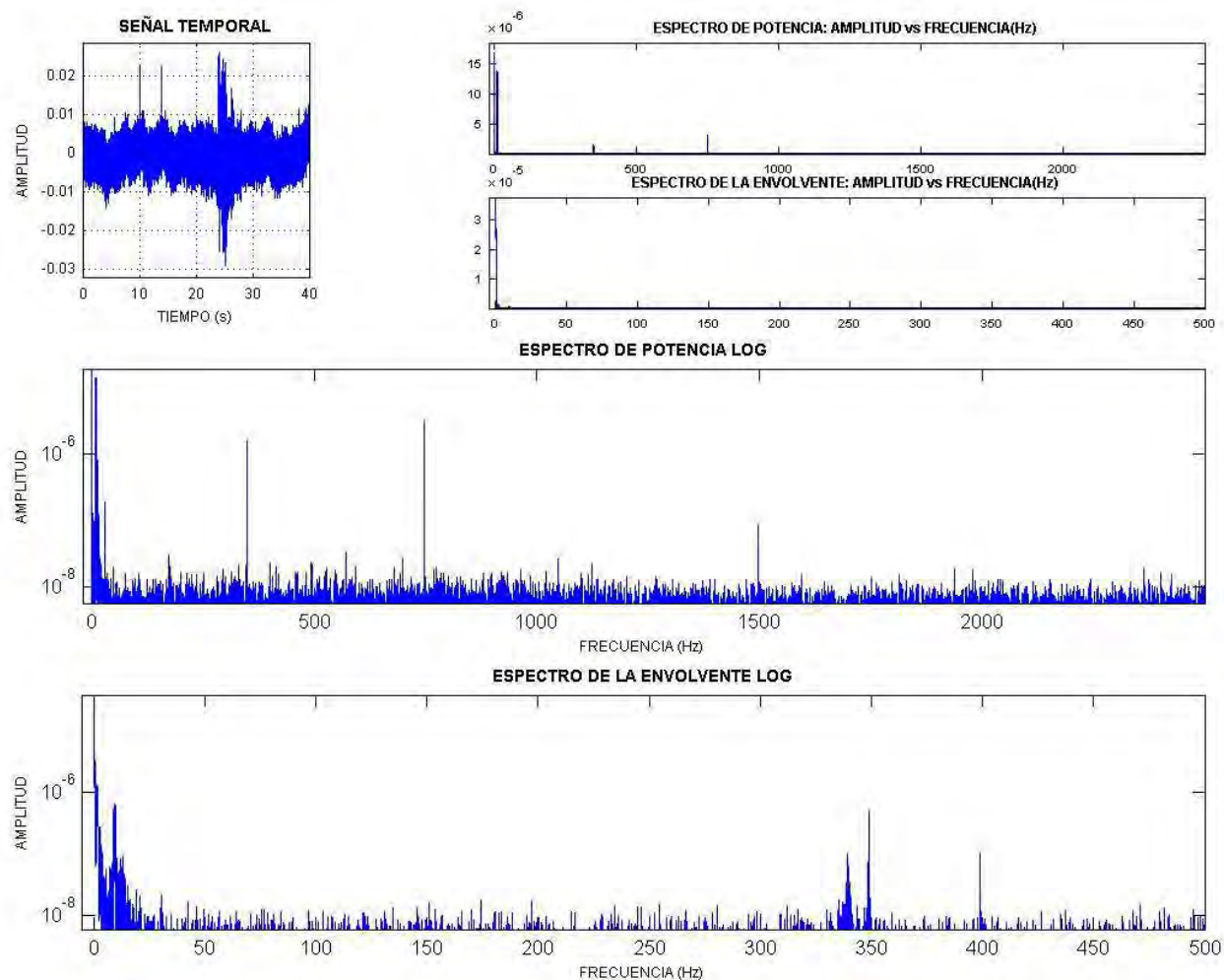
Valor Medio: 0.002737

Moda: -0.000527

Potencia del Espectro: 0.000006



## ANEXO A



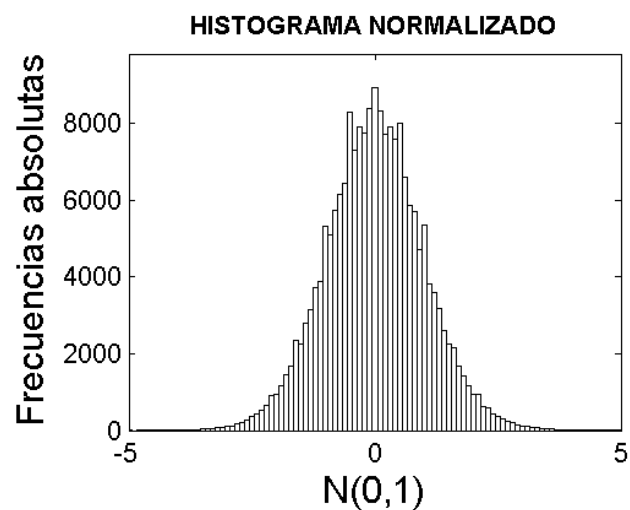


## ANEXO A

Reductora Sin Carcasa

Punto 6

Velocidad (r.p.m) 300



Media -0.034496

Desviación Típica: 1.145728

Mediana: -0.030904

Valor Máximo: 5.609054

Valor Mínimo: -5.717217

Valor de Pico: 5.717217

Valor de Pico a Pico: 11.326271

Kurtosis: 3.456444

Sesgo: 0.034972

Valor Eficaz: 1.146219

Factor de Forma: 1.315206

Factor de Cresta: 4.987893

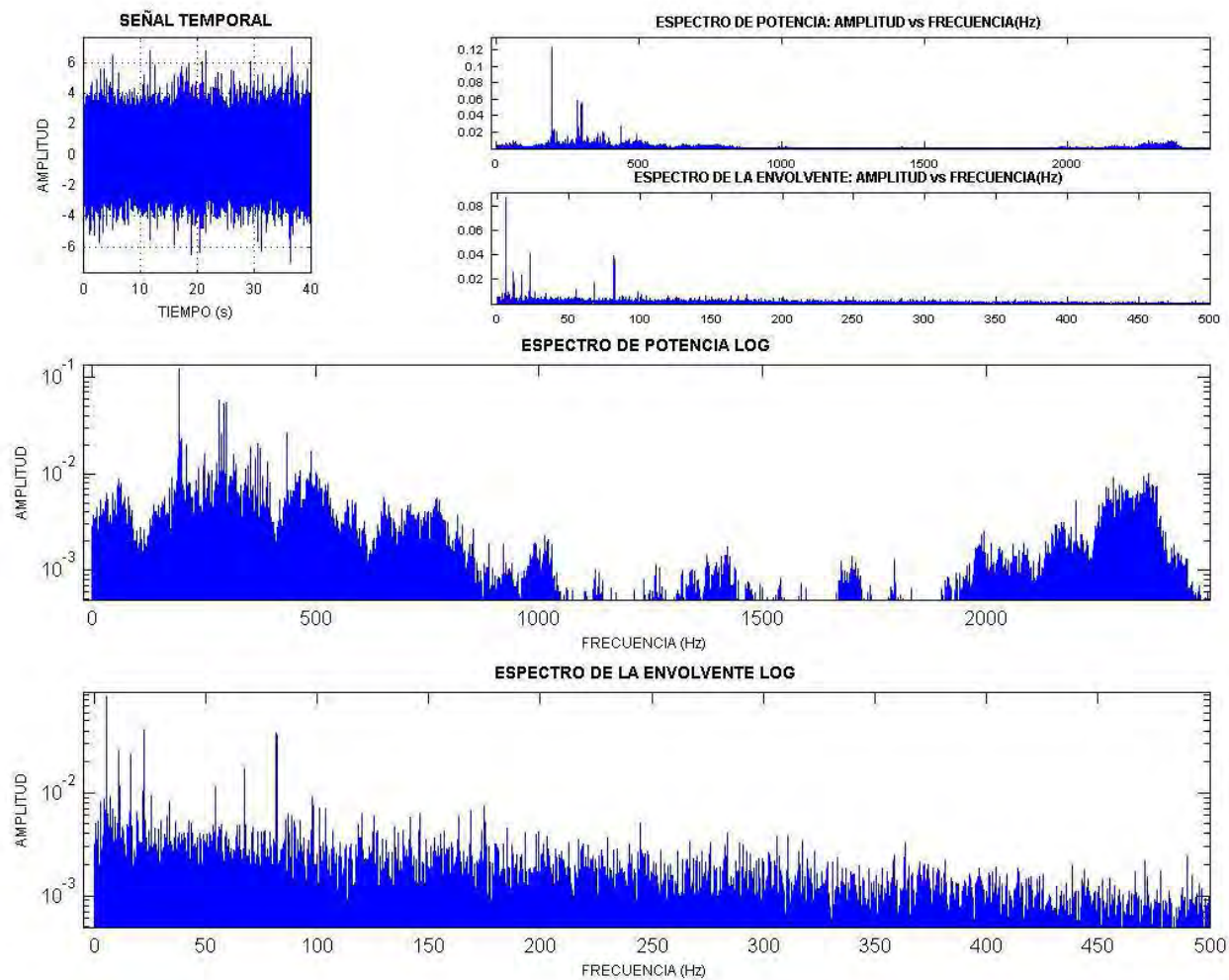
Varianza: 1.312694

Valor Medio: 0.871834

Moda: -0.023719

Potencia del Espectro: 1.313818

## ANEXO A

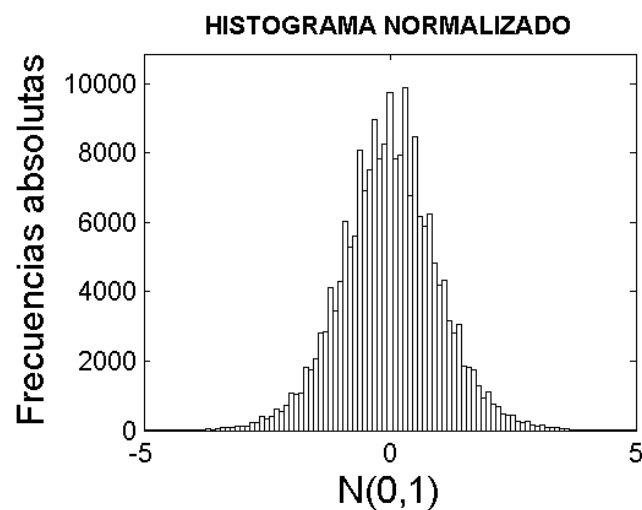


## ANEXO A

Reductora Sin Carcasa

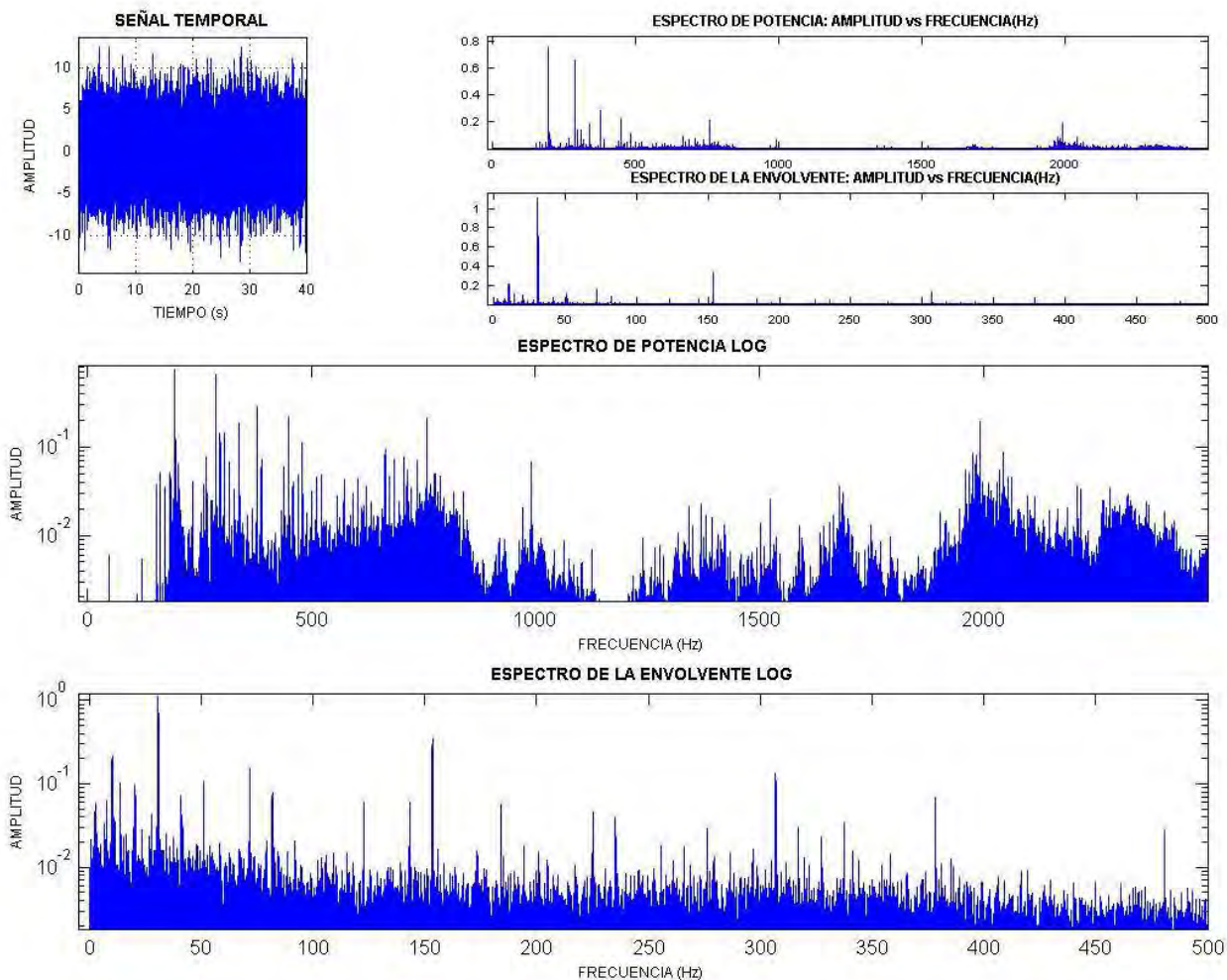
Punto 6

Velocidad (r.p.m) 600



Media	-0.143623
Desviación Típica:	2.088806
Mediana:	-0.146484
Valor Máximo:	12.451172
Valor Mínimo:	-11.767578
Valor de Pico:	12.451172
Valor de Pico a Pico:	24.218750
Kurtosis:	3.974248
Sesgo:	0.013079
Valor Eficaz:	2.093686
Factor de Forma:	1.271868
Factor de Cresta:	5.947010
Varianza:	4.363112
Valor Medio:	1.646454
Moda:	-0.152207
Potencia del Espectro:	4.383522

## ANEXO A

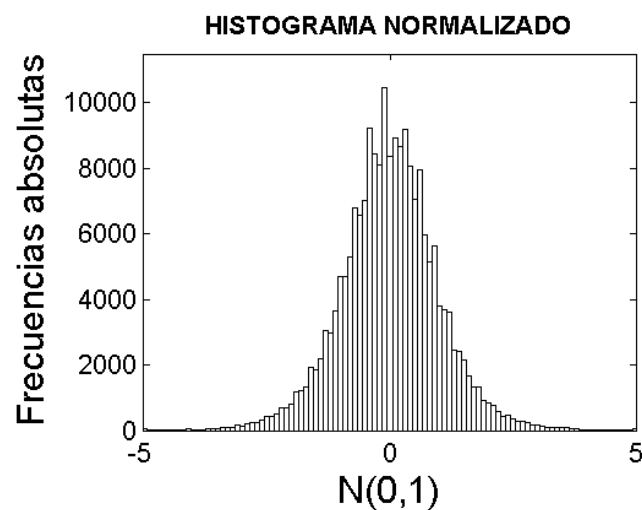


## ANEXO A

Reductora Sin Carcasa

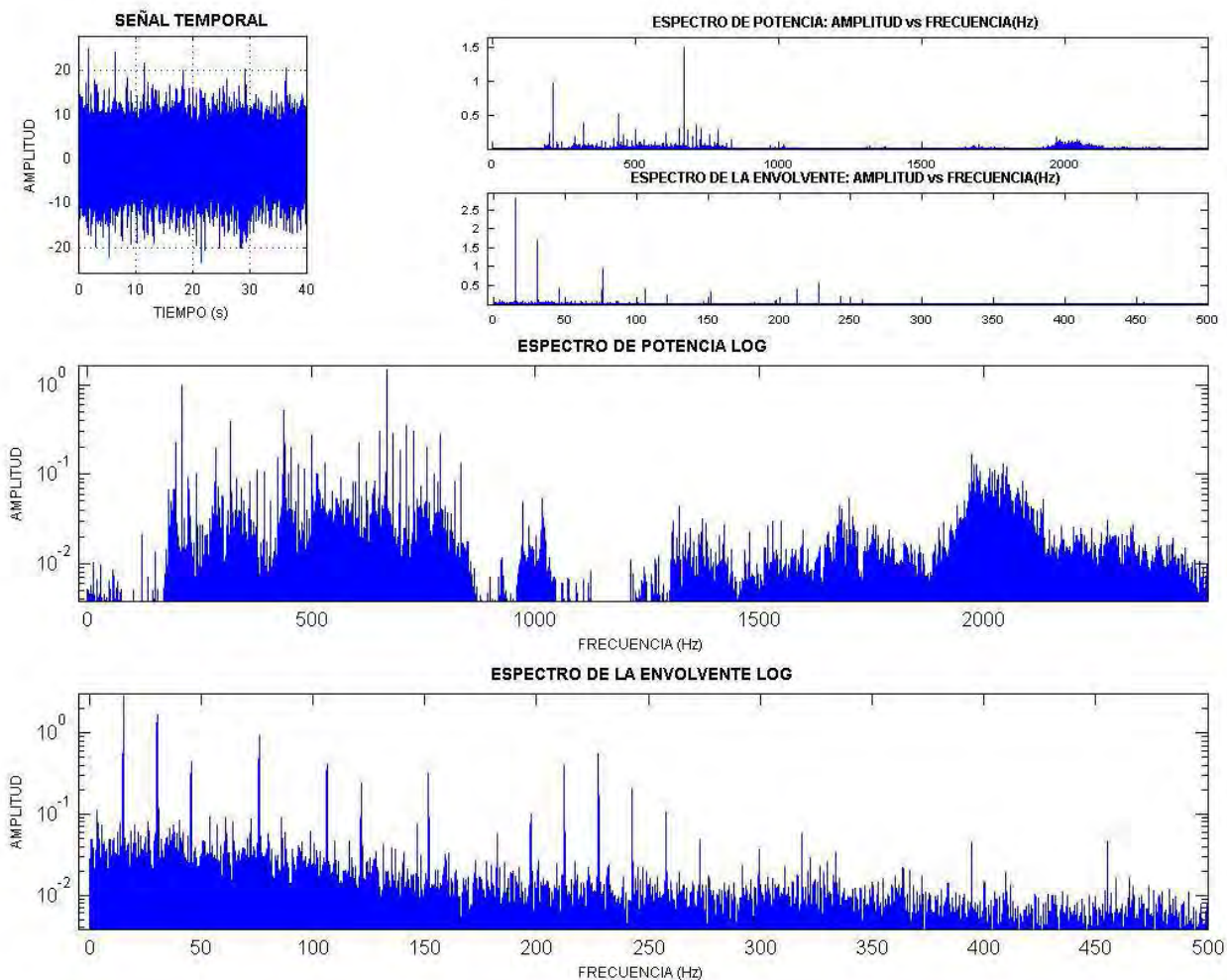
Punto 6

Velocidad (r.p.m) 900



Media	-0.121580
Desviación Típica:	3.183767
Mediana:	-0.146484
Valor Máximo:	25.195313
Valor Mínimo:	-19.726563
Valor de Pico:	25.195313
Valor de Pico a Pico:	44.921876
Kurtosis:	4.926038
Sesgo:	0.058248
Valor Eficaz:	3.186008
Factor de Forma:	1.363167
Factor de Cresta:	7.908114
Varianza:	10.136371
Valor Medio:	2.337664
Moda:	-0.196294
Potencia del Espectro:	10.150646

## ANEXO A

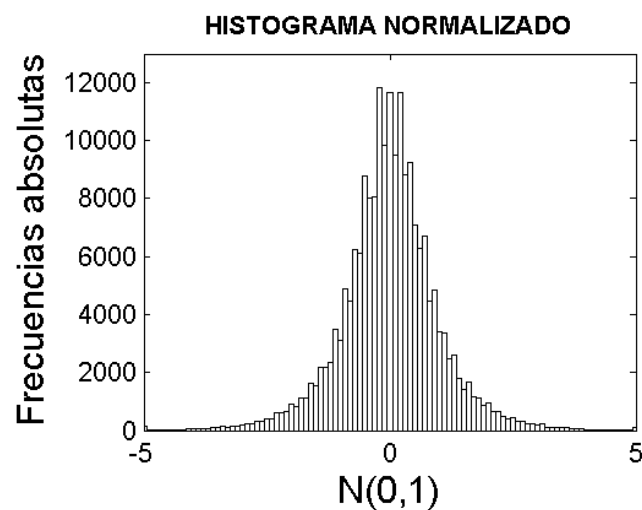


## ANEXO A

Reductora Sin Carcasa

Punto 6

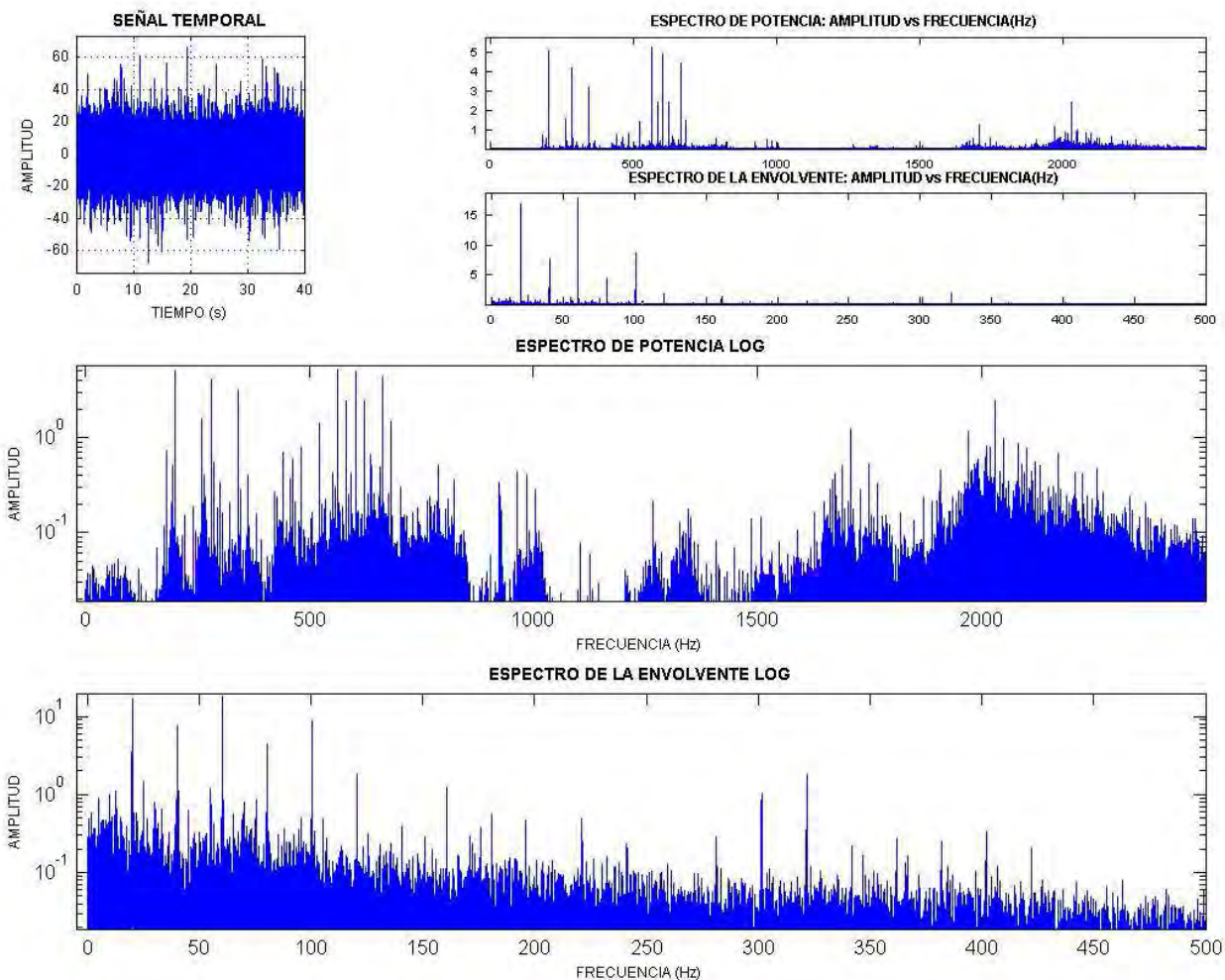
Velocidad (r.p.m) 1200



Media	-0.439847
Desviación Típica:	6.717696
Mediana:	-0.463558
Valor Máximo:	49.600722
Valor Mínimo:	-48.210047
Valor de Pico:	49.600722
Valor de Pico a Pico:	97.810769
Kurtosis:	5.812161
Sesgo:	-0.094429
Valor Eficaz:	6.731913
Factor de Forma:	1.356073
Factor de Cresta:	7.367998
Varianza:	45.127442
Valor Medio:	4.967641
Moda:	-0.510980
Potencia del Espectro:	45.318651



## ANEXO A

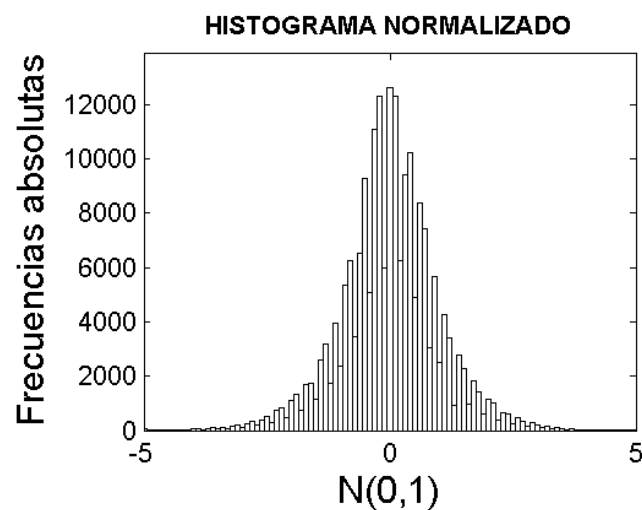


## ANEXO A

Reductora Sin Carcasa

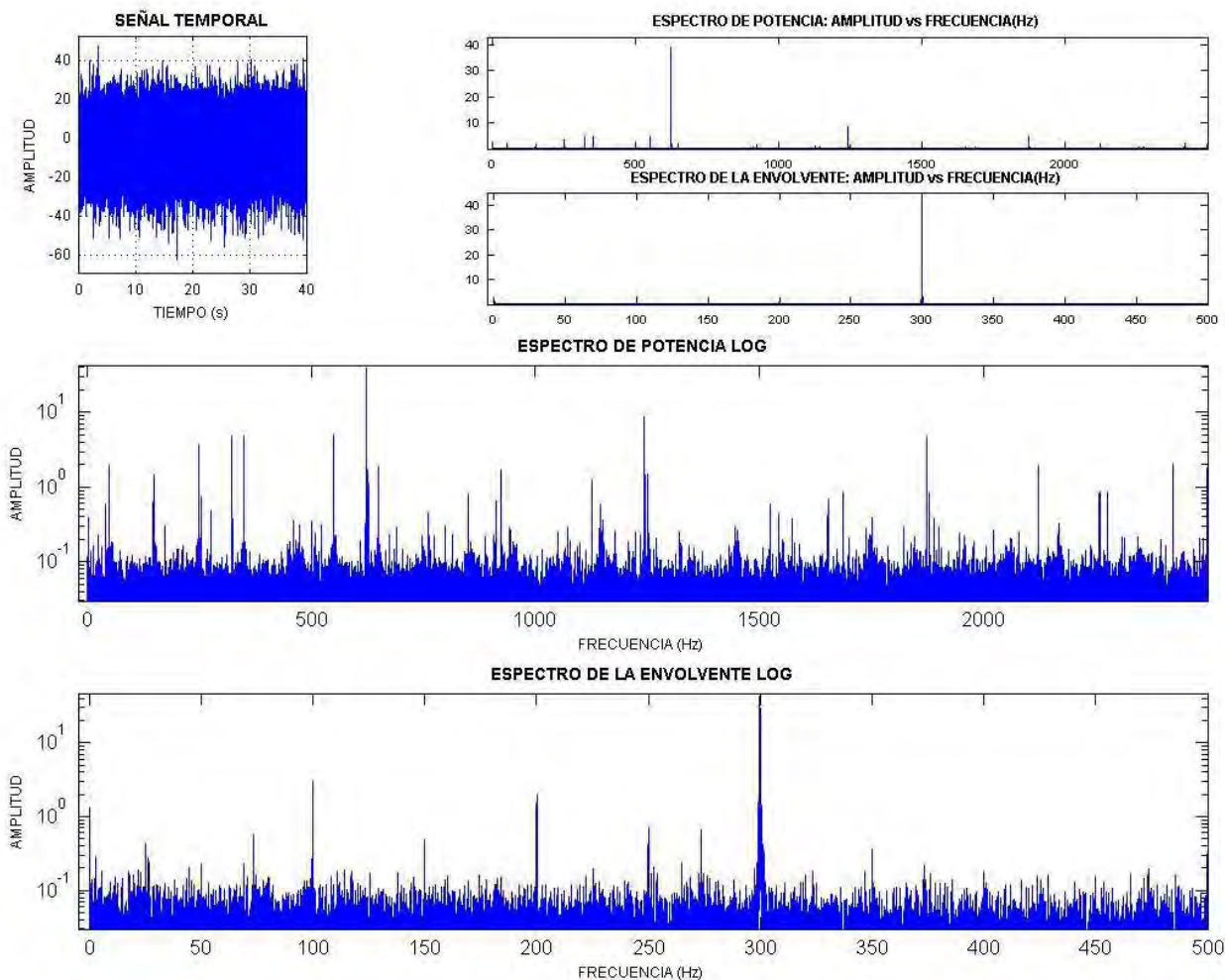
Punto 6

Velocidad (r.p.m) 1500



Media	-3.091919
Desviación Típica:	7.982488
Mediana:	-2.929688
Valor Máximo:	47.363281
Valor Mínimo:	-50.781250
Valor de Pico:	50.781250
Valor de Pico a Pico:	98.144531
Kurtosis:	4.753882
Sesgo:	-0.107334
Valor Eficaz:	8.560192
Factor de Forma:	1.309402
Factor de Cresta:	5.932256
Varianza:	63.720113
Valor Medio:	6.543513
Moda:	-2.605225
Potencia del Espectro:	73.276890

## ANEXO A

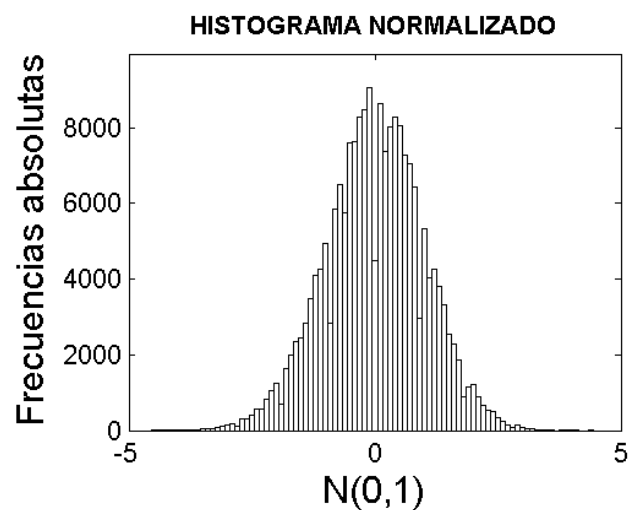


## ANEXO A

Reductora Sin Carcasa

Punto 7

Velocidad (r.p.m) 0



Media -0.000564

Desviación Típica: 0.002507

Mediana: -0.000618

Valor Máximo: 0.009889

Valor Mínimo: -0.010662

Valor de Pico: 0.010662

Valor de Pico a Pico: 0.020551

Kurtosis: 3.003051

Sesgo: -0.011321

Valor Eficaz: 0.002570

Factor de Forma: 1.137435

Factor de Cresta: 4.148719

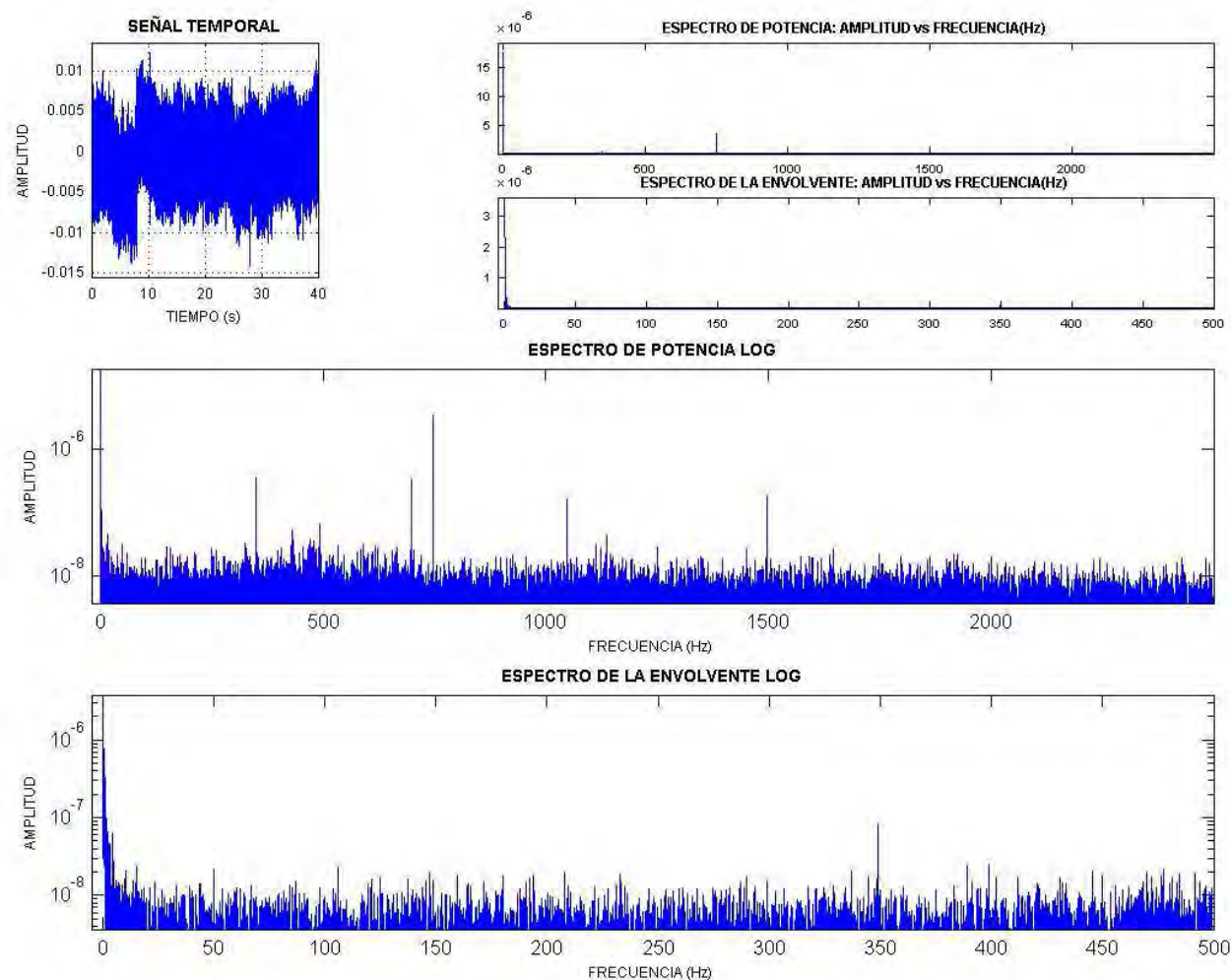
Varianza: 0.000006

Valor Medio: 0.002395

Moda: -0.000727

Potencia del Espectro: 0.000007

## ANEXO A

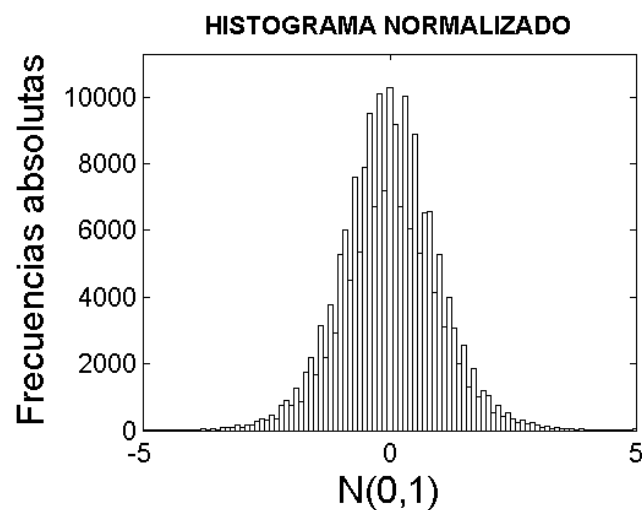


## ANEXO A

Reductora Sin Carcasa

Punto 7

Velocidad (r.p.m) 300



Media -0.143918

Desviación Típica: 1.282628

Mediana: -0.146484

Valor Máximo: 11.230469

Valor Mínimo: -7.812500

Valor de Pico: 11.230469

Valor de Pico a Pico: 19.042969

Kurtosis: 4.928769

Sesgo: 0.116434

Valor Eficaz: 1.290645

Factor de Forma: 1.320968

Factor de Cresta: 8.701436

Varianza: 1.645135

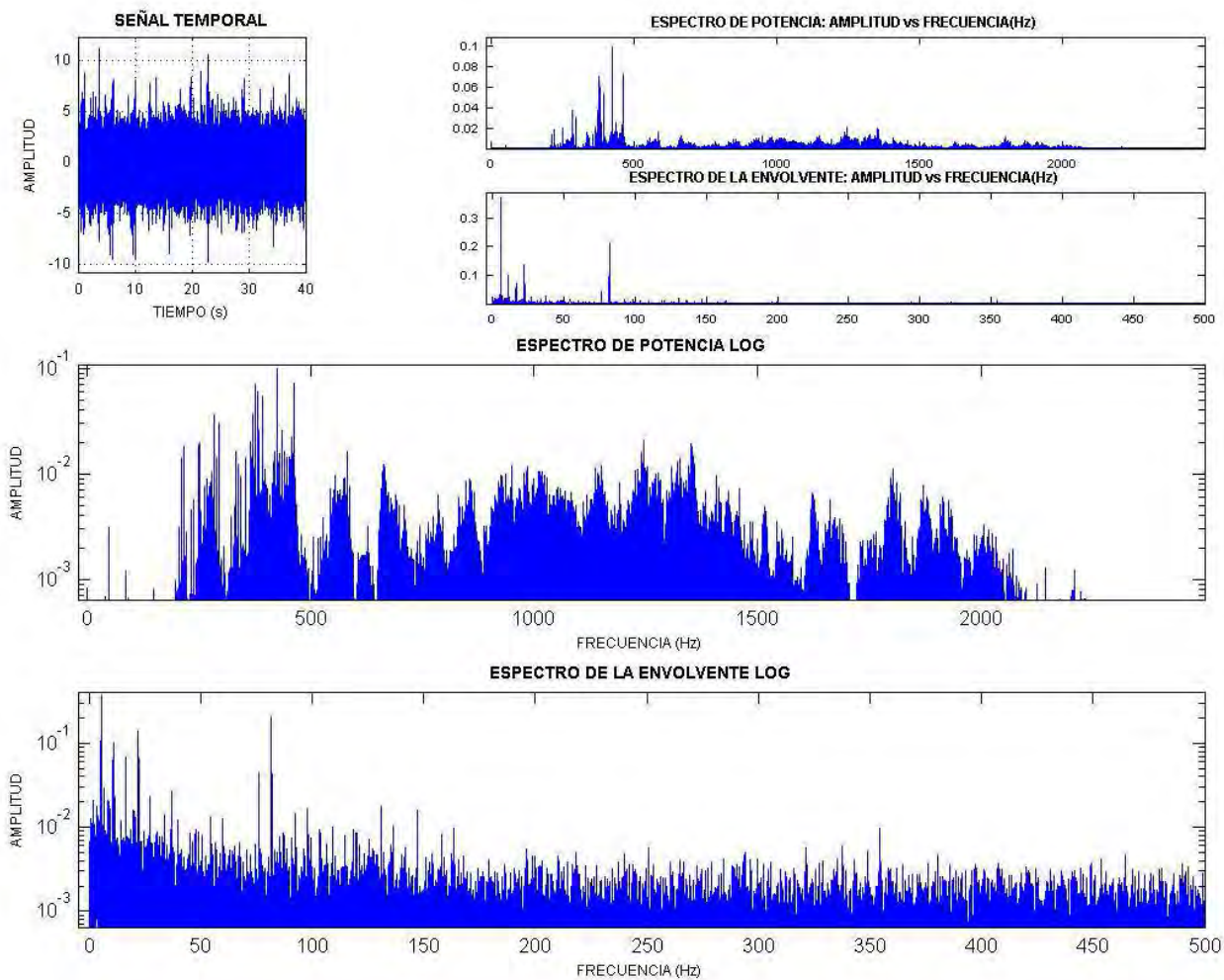
Valor Medio: 0.977168

Moda: -0.151616

Potencia del Espectro: 1.665766



## ANEXO A



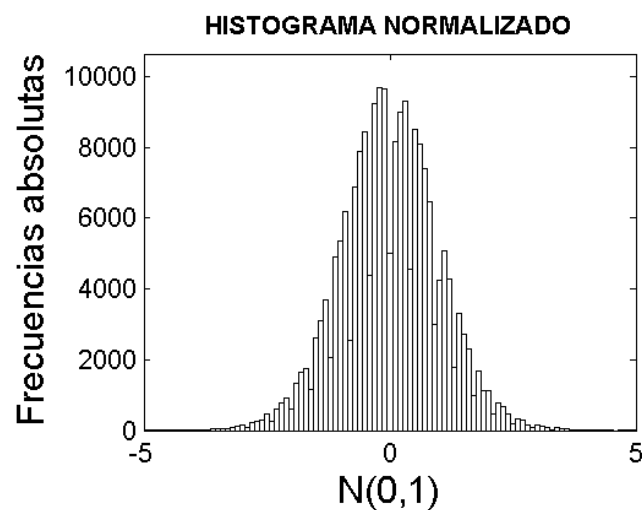


## ANEXO A

Reductora Sin Carcasa

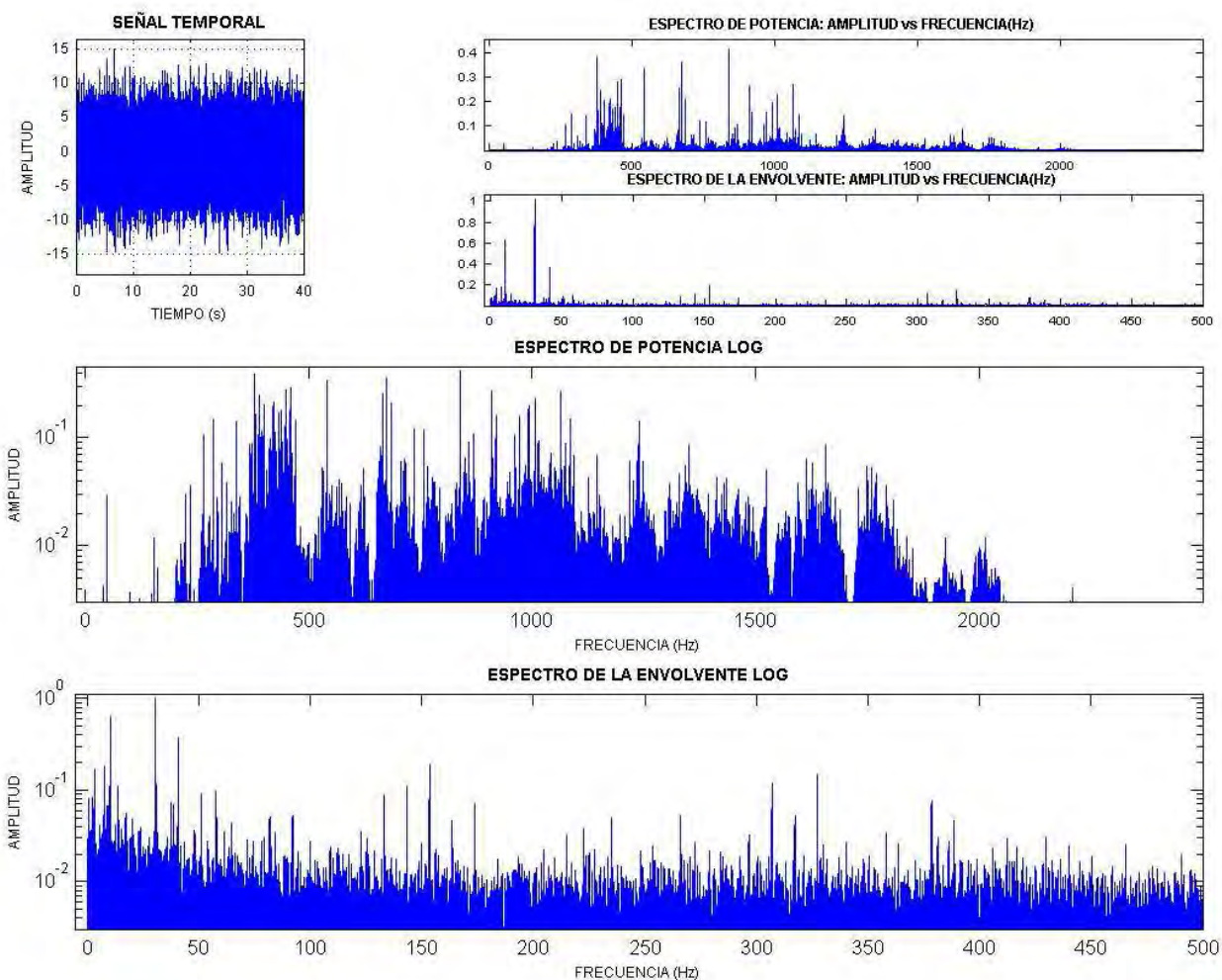
Punto 7

Velocidad (r.p.m) 600



Media	-0.448415
Desviación Típica:	2.740003
Mediana:	-0.463558
Valor Máximo:	11.434434
Valor Mínimo:	-16.224535
Valor de Pico:	16.224535
Valor de Pico a Pico:	27.658969
Kurtosis:	3.461049
Sesgo:	-0.051683
Valor Eficaz:	2.776385
Factor de Forma:	1.284628
Factor de Cresta:	5.843762
Varianza:	7.507614
Valor Medio:	2.161368
Moda:	-0.493844
Potencia del Espectro:	7.708315

## ANEXO A

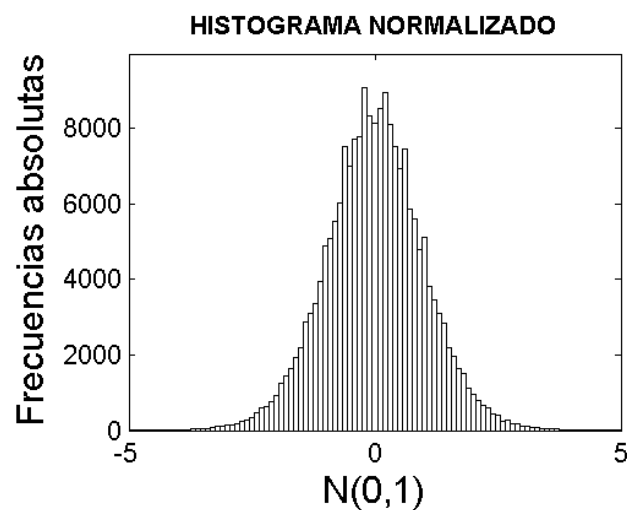


## ANEXO A

Reductora Sin Carcasa

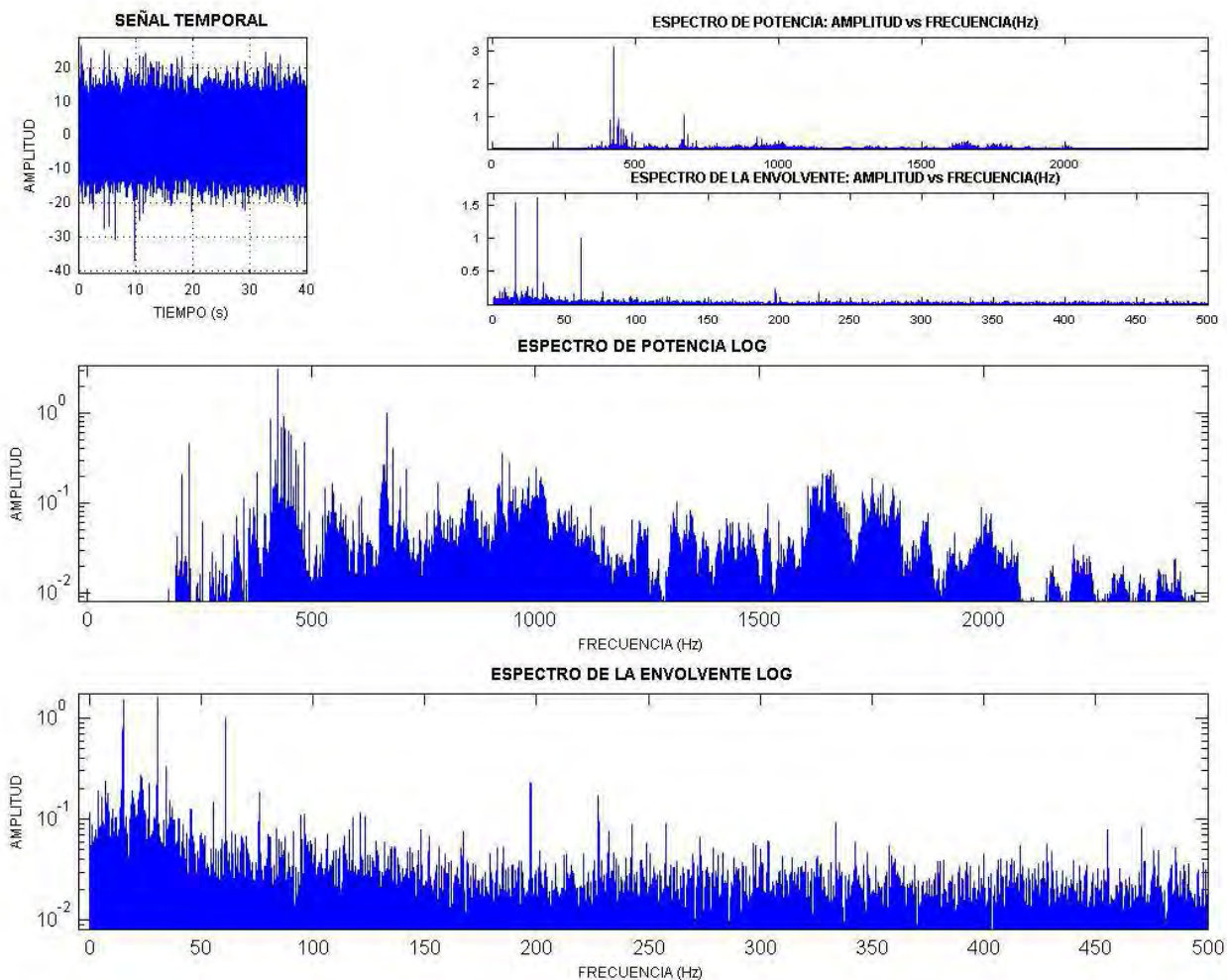
Punto 7

Velocidad (r.p.m) 900



Media	-0.134836
Desviación Típica:	4.632521
Mediana:	-0.195313
Valor Máximo:	26.464844
Valor Mínimo:	-21.875000
Valor de Pico:	26.464844
Valor de Pico a Pico:	48.339844
Kurtosis:	3.587261
Sesgo:	0.024001
Valor Eficaz:	4.634367
Factor de Forma:	1.318942
Factor de Cresta:	5.710563
Varianza:	21.460251
Valor Medio:	3.514696
Moda:	-0.316265
Potencia del Espectro:	21.477358

## ANEXO A

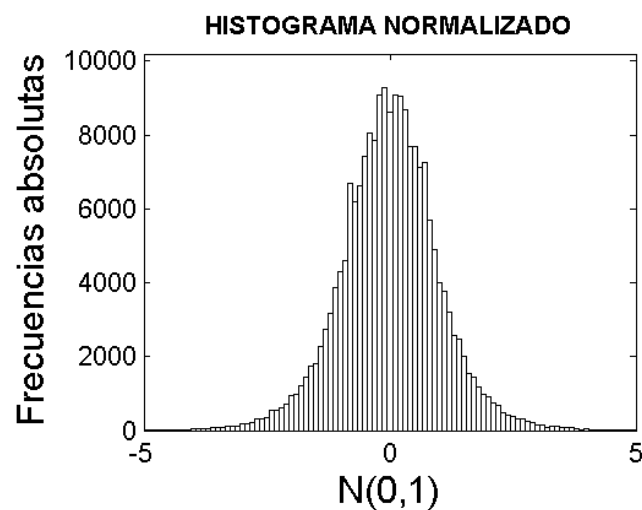


## ANEXO A

Reductora Sin Carcasa

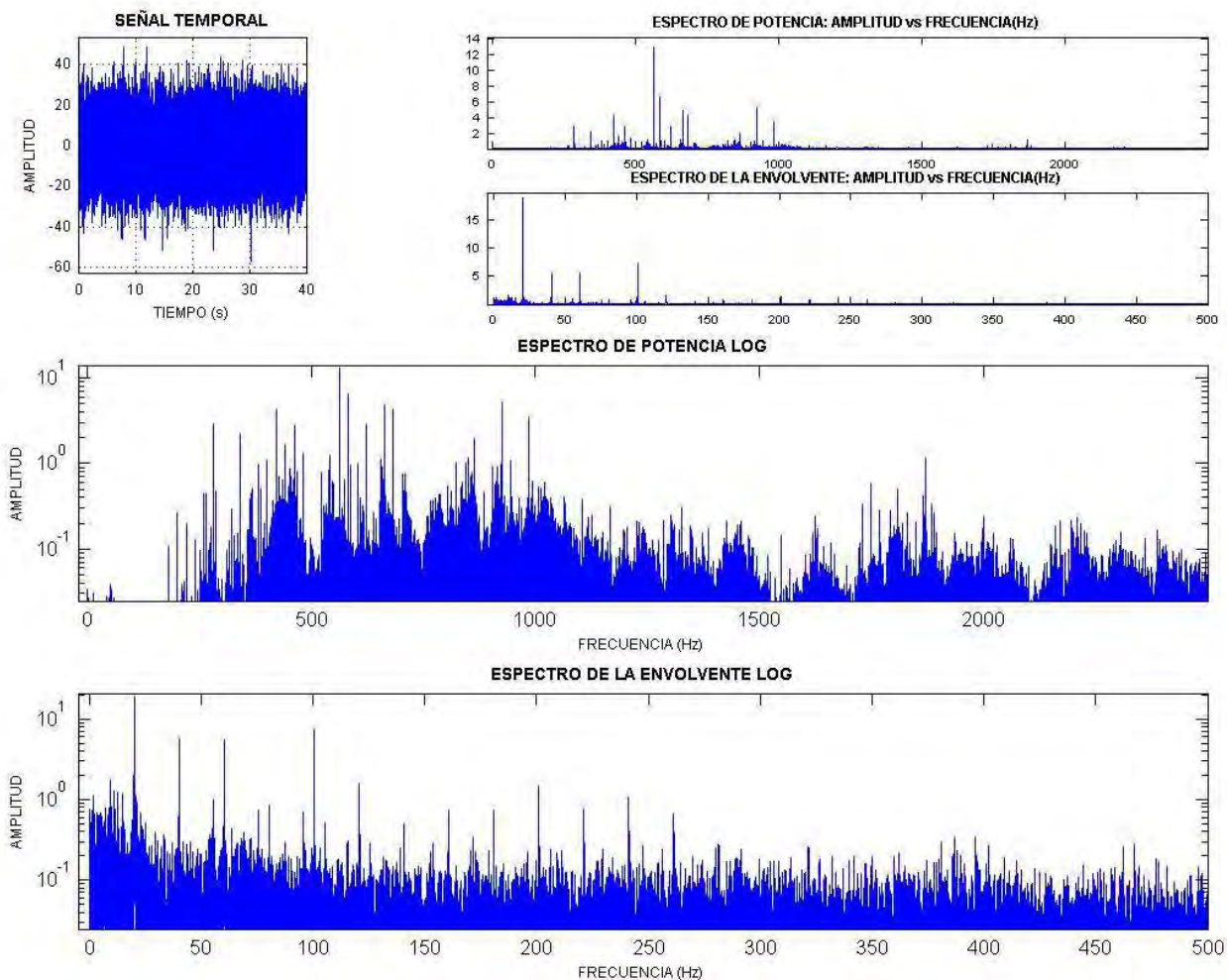
Punto 7

Velocidad (r.p.m) 1200



Media	-0.458196
Desviación Típica:	7.789319
Mediana:	-0.463558
Valor Máximo:	40.329559
Valor Mínimo:	-43.110908
Valor de Pico:	43.110908
Valor de Pico a Pico:	83.440467
Kurtosis:	4.332172
Sesgo:	0.013461
Valor Eficaz:	7.802589
Factor de Forma:	1.311474
Factor de Cresta:	5.525206
Varianza:	60.673485
Valor Medio:	5.950392
Moda:	-0.474282
Potencia del Espectro:	60.880395

## ANEXO A

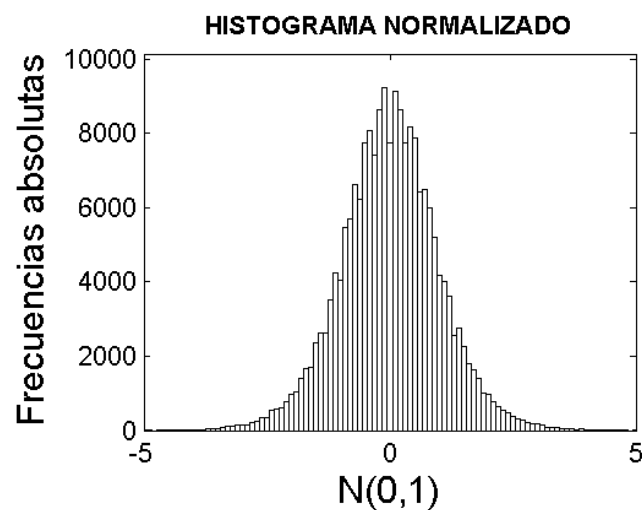


## ANEXO A

Reductora Sin Carcasa

Punto 7

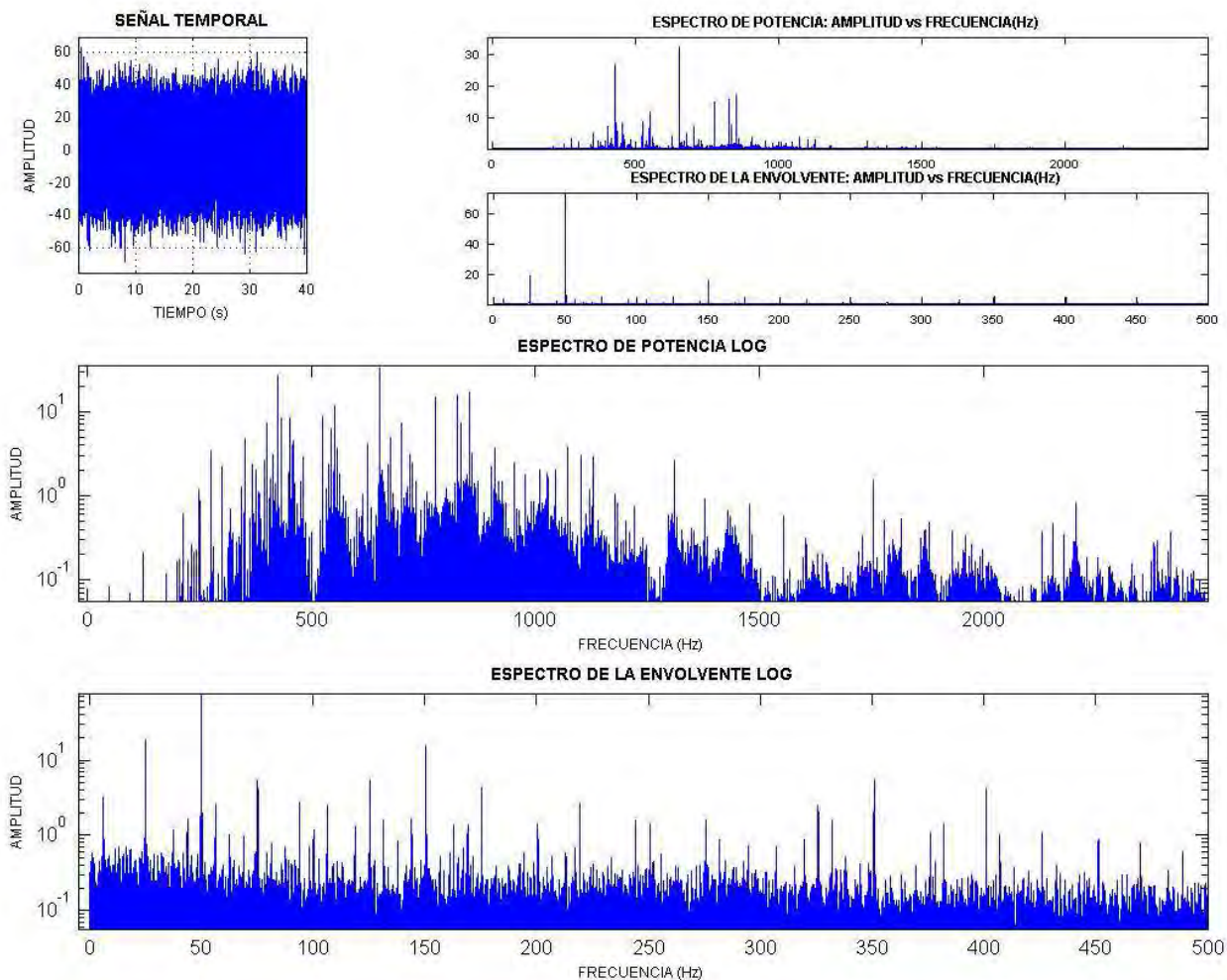
Velocidad (r.p.m) 1500



Media	-0.441292
Desviación Típica:	11.976357
Mediana:	-0.463558
Valor Máximo:	63.198428
Valor Mínimo:	-61.344195
Valor de Pico:	63.198428
Valor de Pico a Pico:	124.542623
Kurtosis:	3.794903
Sesgo:	0.003359
Valor Eficaz:	11.984185
Factor de Forma:	1.303537
Factor de Cresta:	5.273486
Varianza:	143.433117
Valor Medio:	9.194483
Moda:	-0.508091
Potencia del Espectro:	143.620684



## ANEXO A

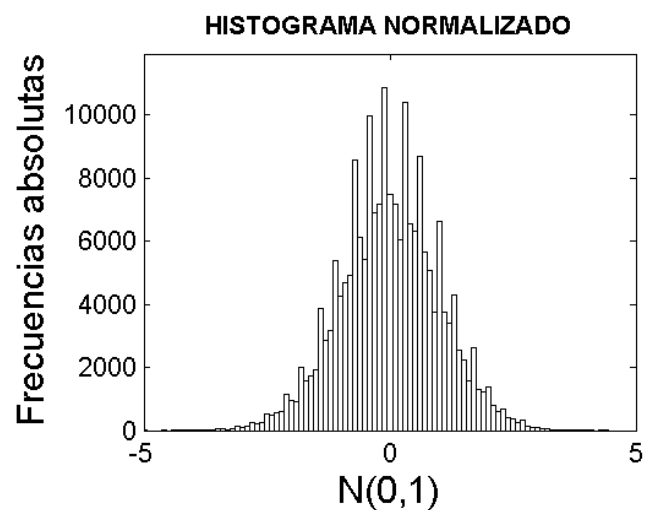


## ANEXO A

Reductora Sin Carcasa

Punto 8

Velocidad (r.p.m) 0



Media -0.000640

Desviación Típica: 0.004421

Mediana: -0.000618

Valor Máximo: 0.014679

Valor Mínimo: -0.015297

Valor de Pico: 0.015297

Valor de Pico a Pico: 0.029977

Kurtosis: 2.649896

Sesgo: -0.035699

Valor Eficaz: 0.004467

Factor de Forma: 1.591632

Factor de Cresta: 3.424851

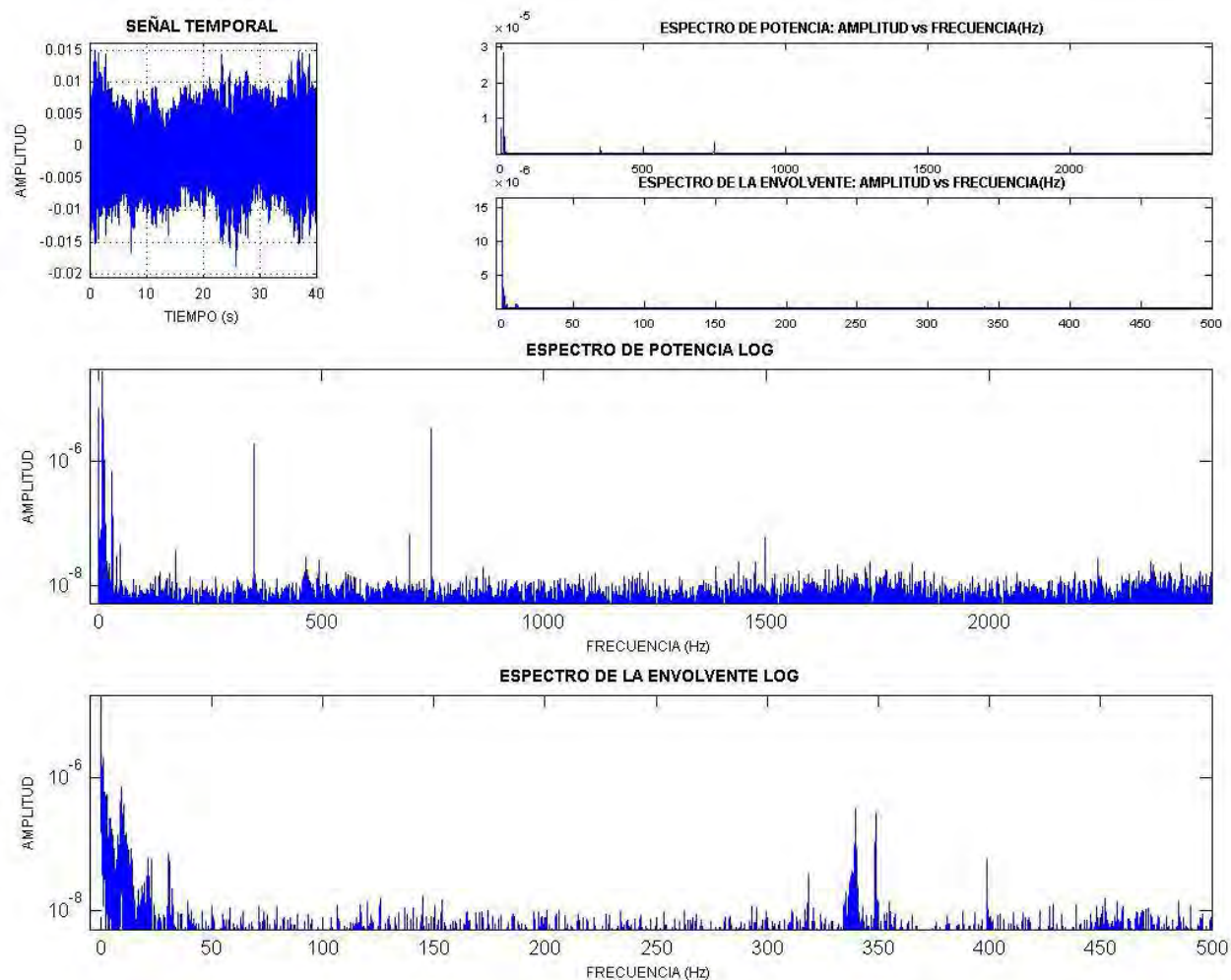
Varianza: 0.000020

Valor Medio: 0.002898

Moda: -0.000574

Potencia del Espectro: 0.000020

## ANEXO A

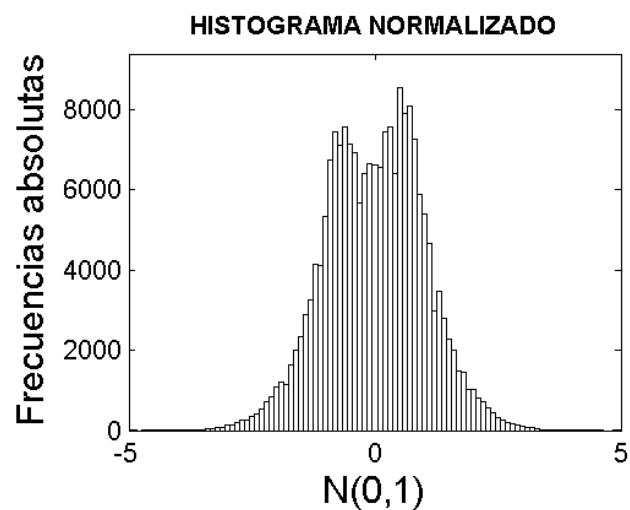


## ANEXO A

Reductora Sin Carcasa

Punto 8

Velocidad (r.p.m) 300



Media -0.029812

Desviación Típica: 0.282227

Mediana: -0.019531

Valor Máximo: 1.264648

Valor Mínimo: -1.372070

Valor de Pico: 1.372070

Valor de Pico a Pico: 2.636719

Kurtosis: 3.112172

Sesgo: -0.048338

Valor Eficaz: 0.283790

Factor de Forma: 1.220185

Factor de Cresta: 4.834806

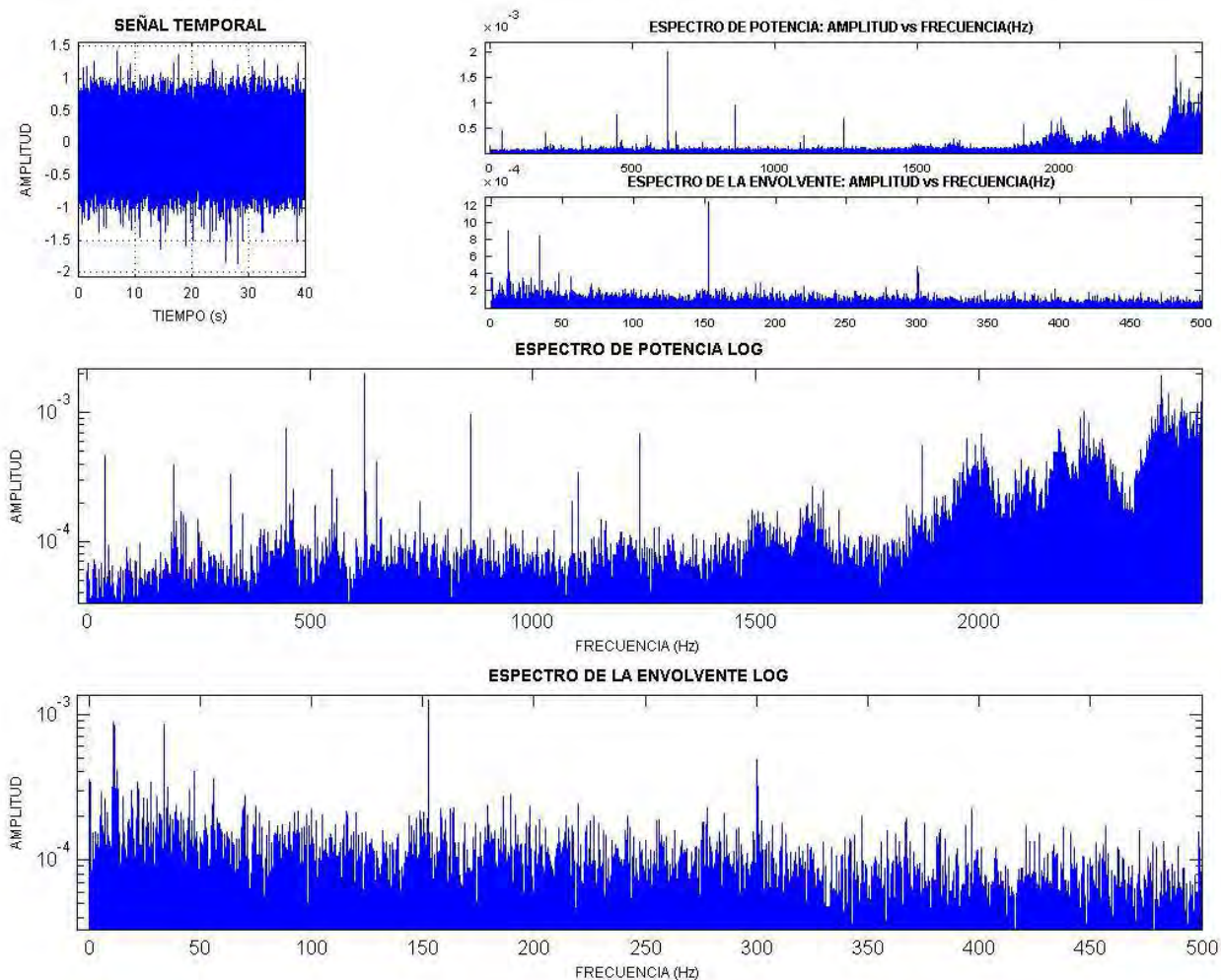
Varianza: 0.079652

Valor Medio: 0.232694

Moda: 0.001030

Potencia del Espectro: 0.080537

## ANEXO A

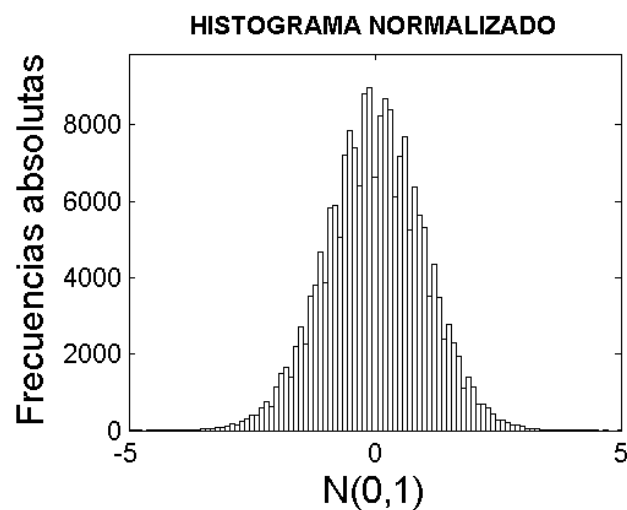


## ANEXO A

Reductora Sin Carcasa

Punto 8

Velocidad (r.p.m) 600



Media -0.140366

Desviación Típica: 1.801521

Mediana: -0.146484

Valor Máximo: 8.300781

Valor Mínimo: -7.958984

Valor de Pico: 8.300781

Valor de Pico a Pico: 16.259766

Kurtosis: 3.208703

Sesgo: -0.040352

Valor Eficaz: 1.806937

Factor de Forma: 1.254101

Factor de Cresta: 4.593842

Varianza: 3.245480

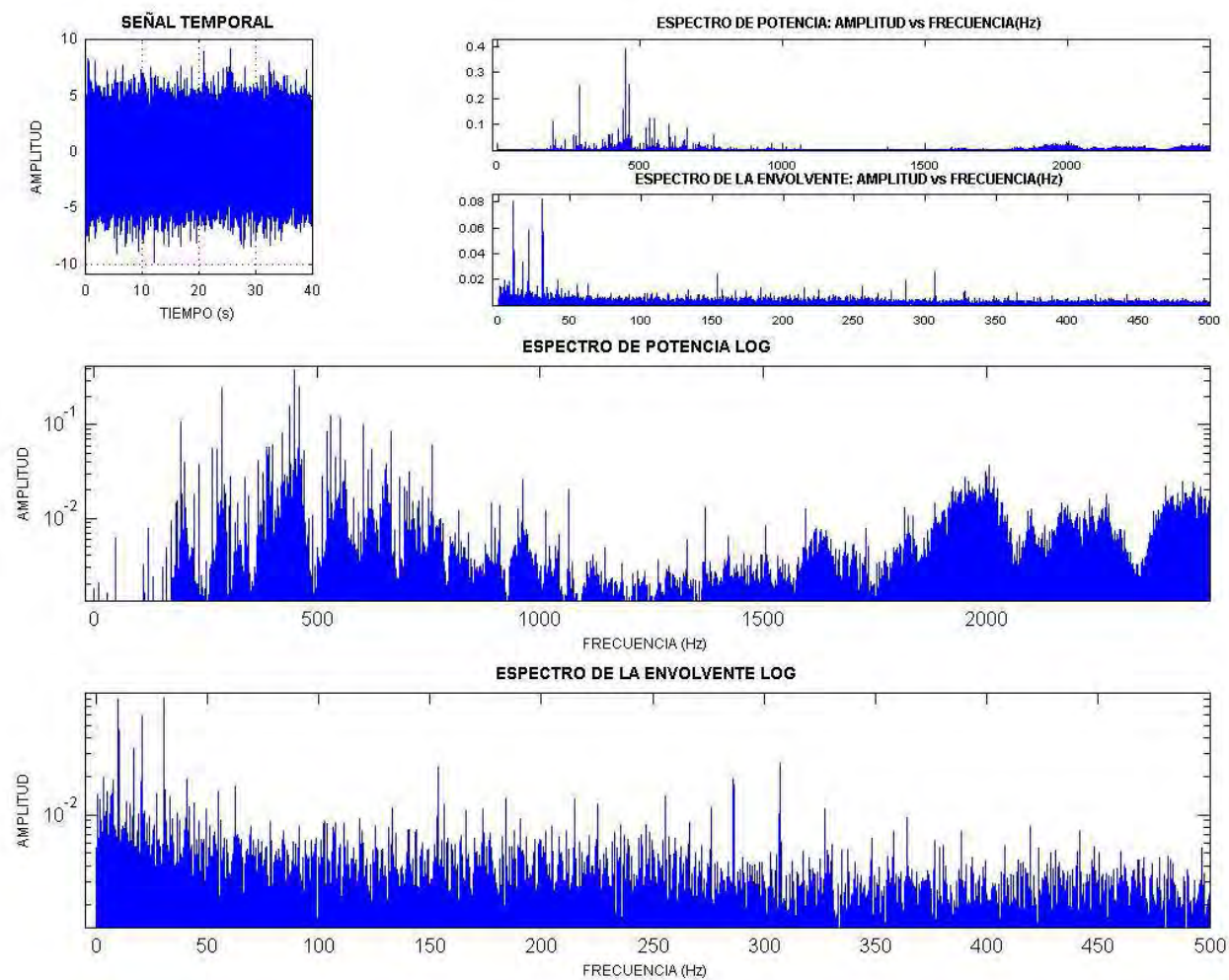
Valor Medio: 1.441000

Moda: -0.158721

Potencia del Espectro: 3.265020



## ANEXO A



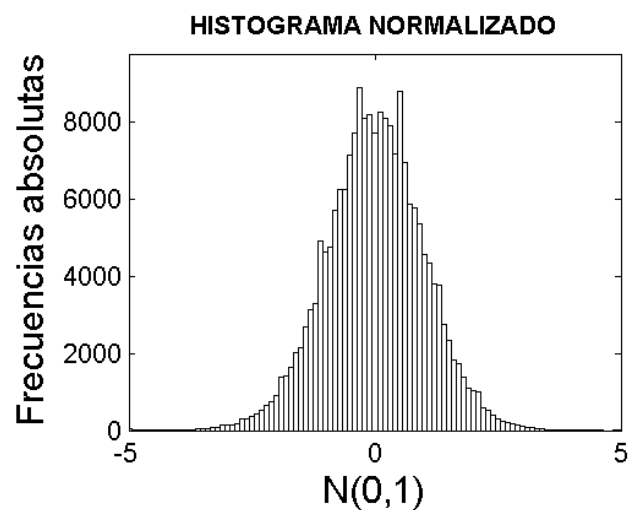


## ANEXO A

Reductora Sin Carcasa

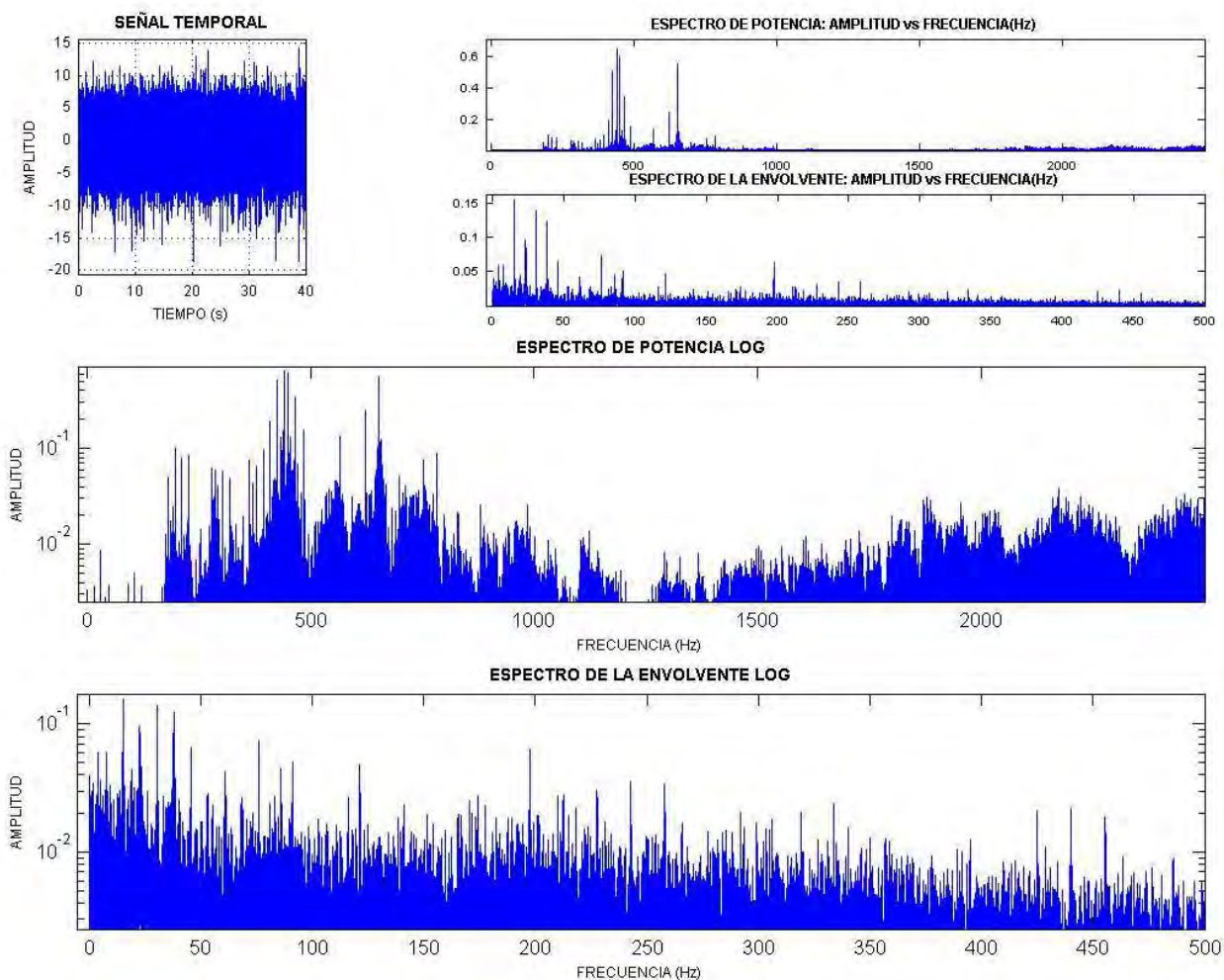
Punto 8

Velocidad (r.p.m) 900



Media	-0.152412
Desviación Típica:	2.503830
Mediana:	-0.146484
Valor Máximo:	12.255859
Valor Mínimo:	-14.208984
Valor de Pico:	14.208984
Valor de Pico a Pico:	26.464843
Kurtosis:	3.475110
Sesgo:	-0.088153
Valor Eficaz:	2.508402
Factor de Forma:	1.277221
Factor de Cresta:	5.664555
Varianza:	6.269166
Valor Medio:	1.964064
Moda:	-0.134629
Potencia del Espectro:	6.292082

## ANEXO A

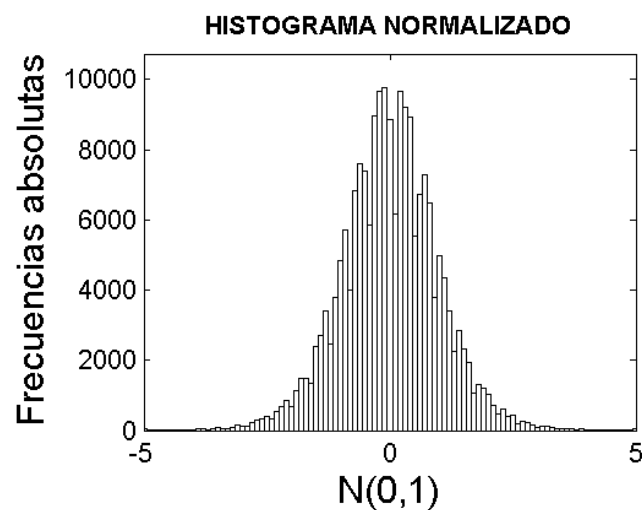


## ANEXO A

Reductora Sin Carcasa

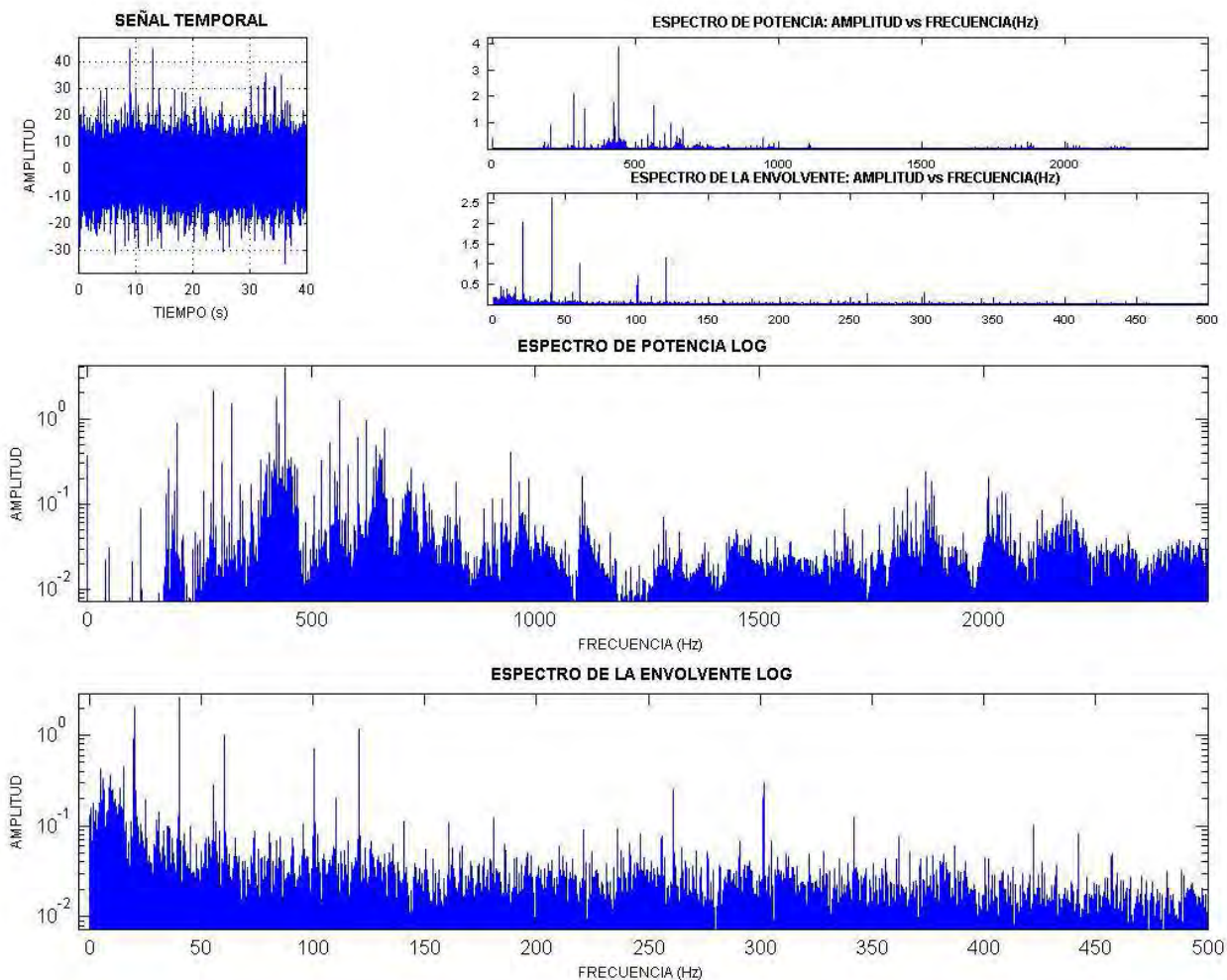
Punto 8

Velocidad (r.p.m) 1200



Media	-0.451367
Desviación Típica:	4.342556
Mediana:	-0.463558
Valor Máximo:	23.023388
Valor Mínimo:	-28.895125
Valor de Pico:	28.895125
Valor de Pico a Pico:	51.918513
Kurtosis:	4.260379
Sesgo:	-0.093947
Valor Eficaz:	4.365842
Factor de Forma:	1.330875
Factor de Cresta:	6.618454
Varianza:	18.857790
Valor Medio:	3.282736
Moda:	-0.487941
Potencia del Espectro:	19.060579

## ANEXO A

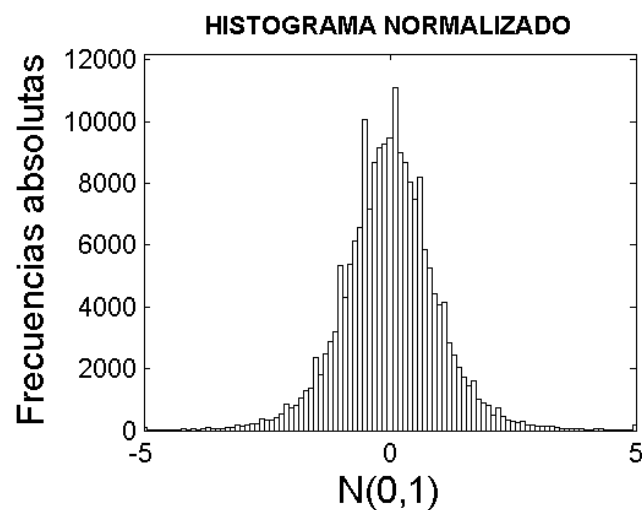


## ANEXO A

Reductora Sin Carcasa

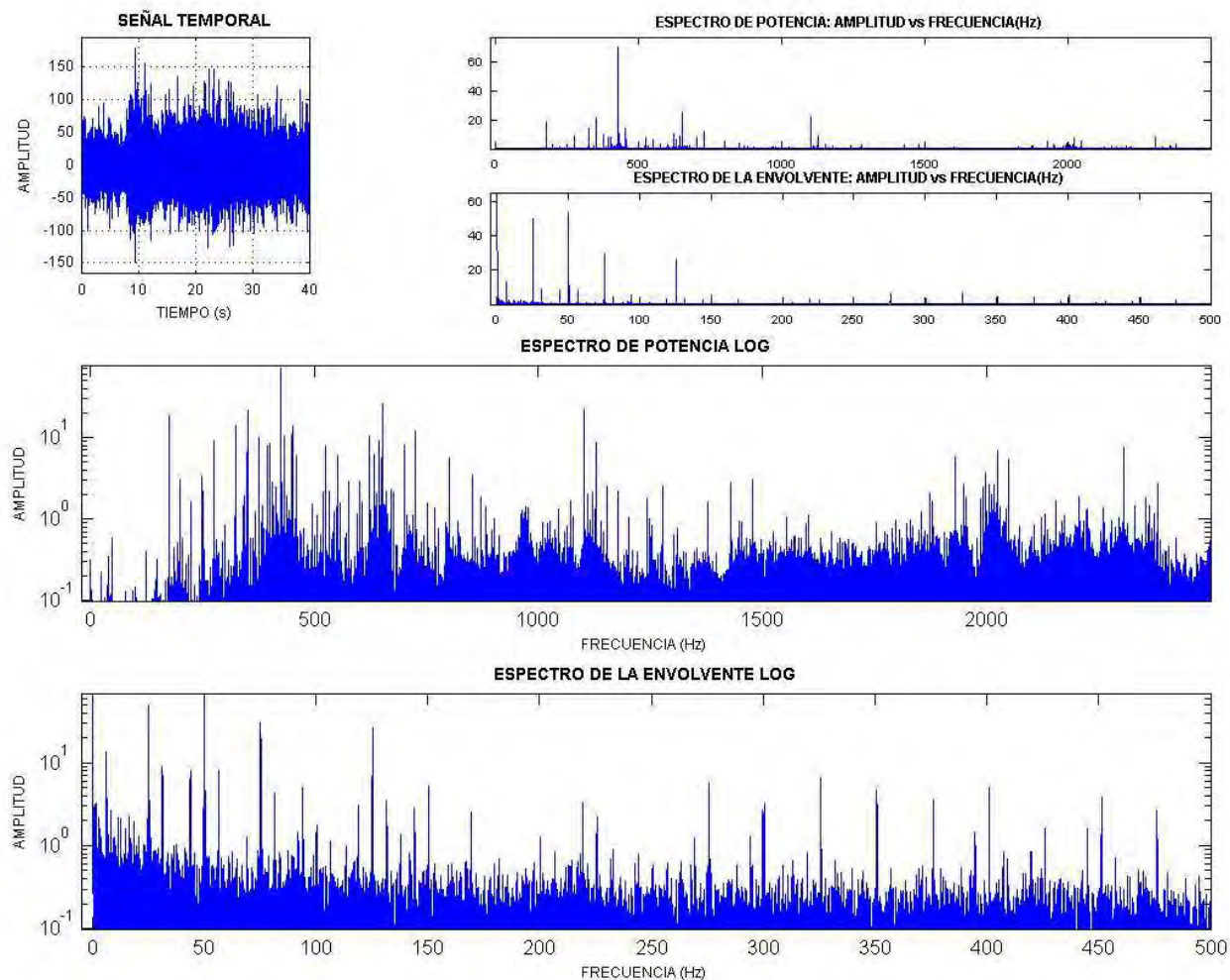
Punto 8

Velocidad (r.p.m) 1500



Media	-2.388232
Desviación Típica:	12.537501
Mediana:	-2.441406
Valor Máximo:	94.238281
Valor Mínimo:	-101.562500
Valor de Pico:	101.562500
Valor de Pico a Pico:	195.800781
Kurtosis:	5.394018
Sesgo:	0.144221
Valor Eficaz:	12.762631
Factor de Forma:	1.119003
Factor de Cresta:	7.957803
Varianza:	157.188943
Valor Medio:	11.638264
Moda:	-2.547754
Potencia del Espectro:	162.884738

## ANEXO A

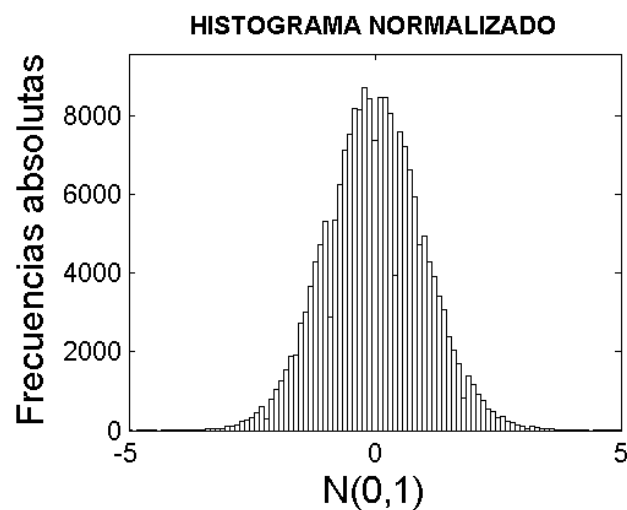


## ANEXO A

Reductora Sin Carcasa

Punto 9

Velocidad (r.p.m) 0



Media 0.000102

Desviación Típica: 0.003262

Mediana: 0.000000

Valor Máximo: 0.011898

Valor Mínimo: -0.011589

Valor de Pico: 0.011898

Valor de Pico a Pico: 0.023487

Kurtosis: 2.768730

Sesgo: 0.091488

Valor Eficaz: 0.003263

Factor de Forma: 1.422548

Factor de Cresta: 3.645978

Varianza: 0.000011

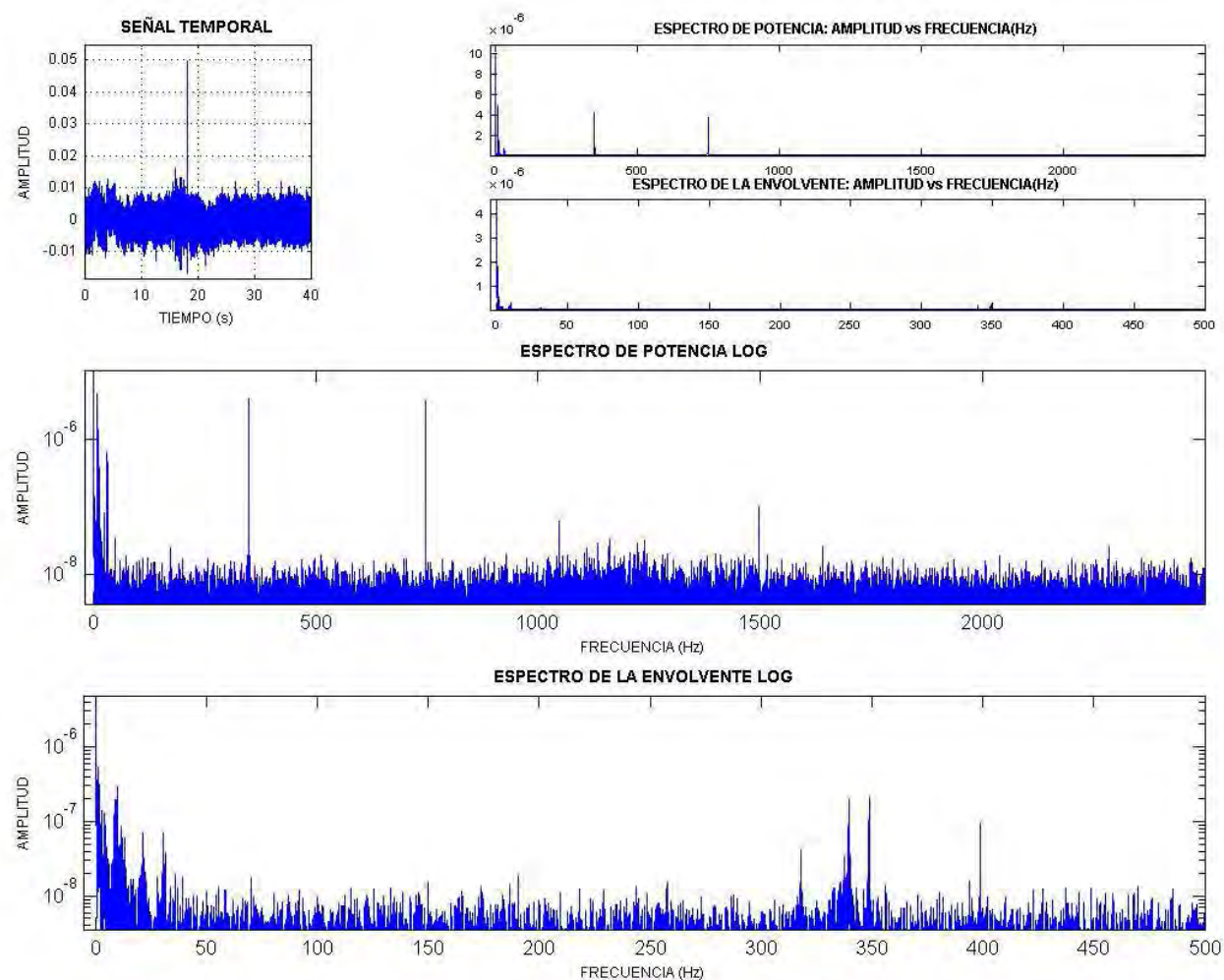
Valor Medio: 0.002363

Moda: -0.000204

Potencia del Espectro: 0.000011



## ANEXO A

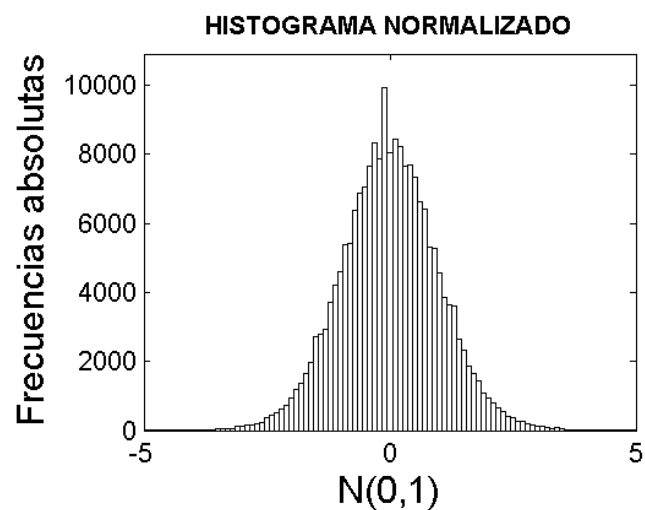


## ANEXO A

Reductora Sin Carcasa

Punto 9

Velocidad (r.p.m) 300



Media -0.047378

Desviación Típica: 0.937939

Mediana: -0.061808

Valor Máximo: 5.469986

Valor Mínimo: -6.706141

Valor de Pico: 6.706141

Valor de Pico a Pico: 12.176127

Kurtosis: 3.879898

Sesgo: 0.013974

Valor Eficaz: 0.939112

Factor de Forma: 1.283127

Factor de Cresta: 7.140940

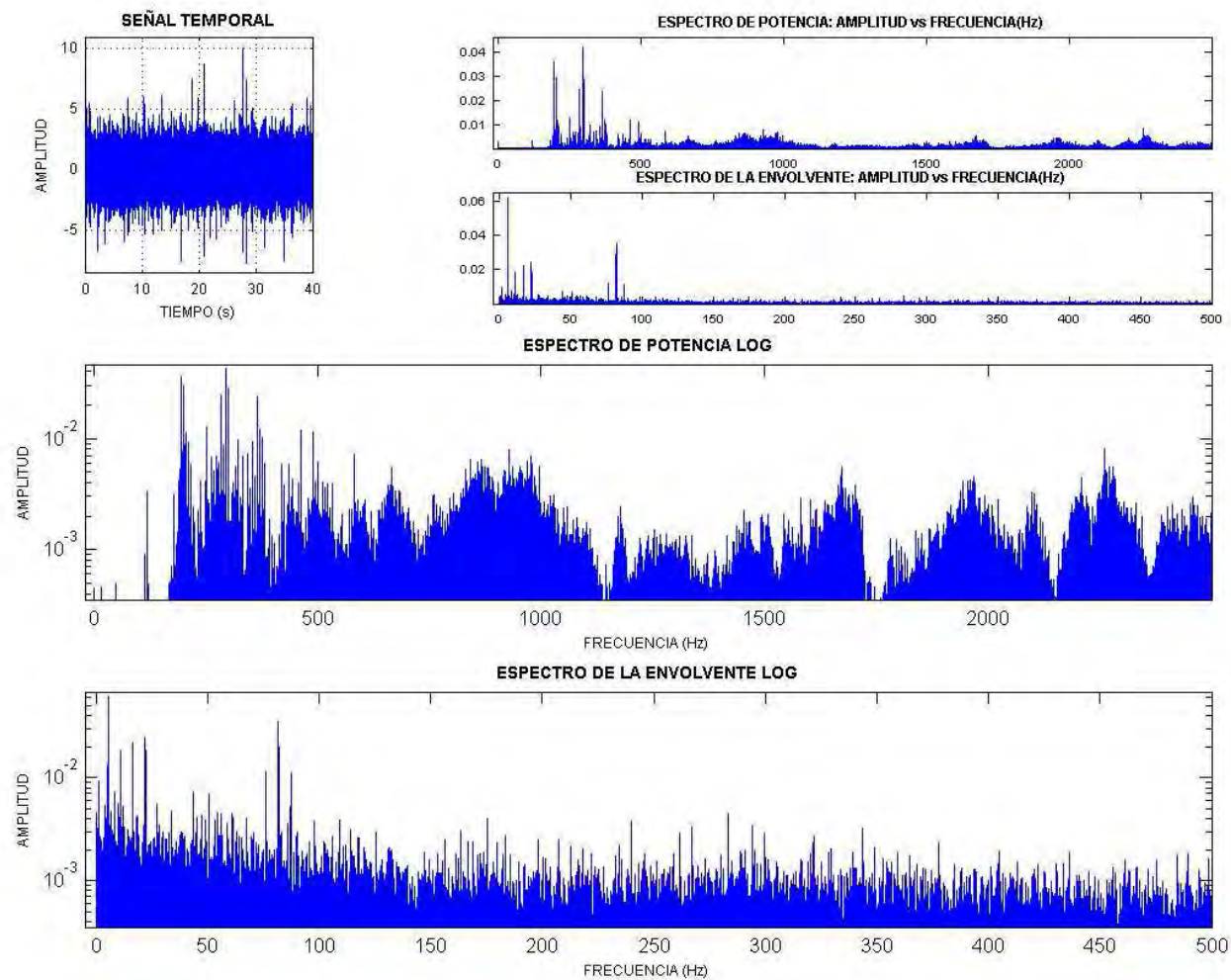
Varianza: 0.879730

Valor Medio: 0.731987

Moda: -0.090667

Potencia del Espectro: 0.881931

## ANEXO A

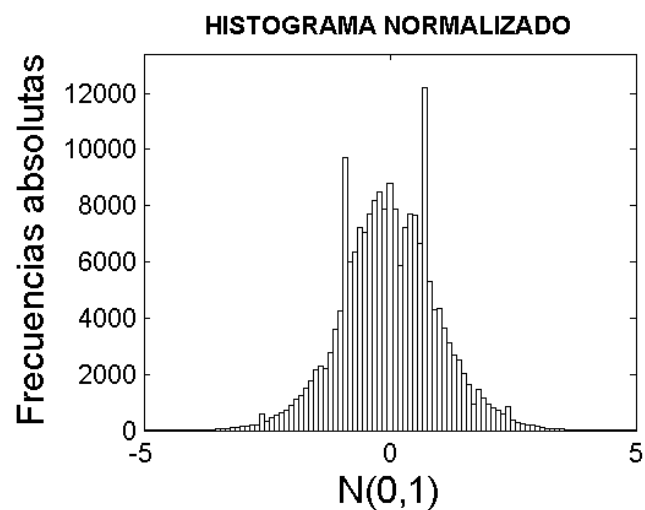


## ANEXO A

Reductora Sin Carcasa

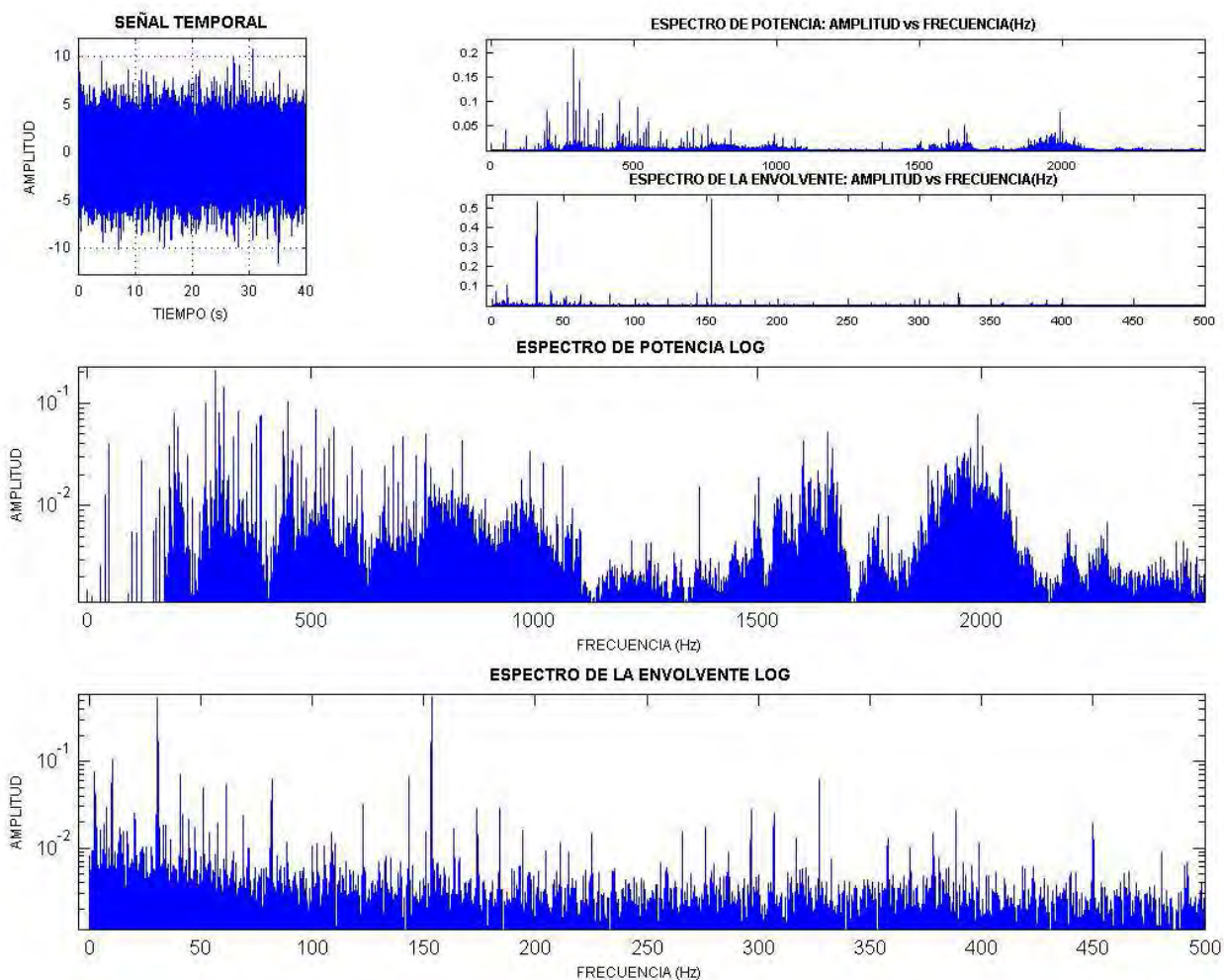
Punto 9

Velocidad (r.p.m) 600



Media	-0.448678
Desviación Típica:	1.622088
Mediana:	-0.463558
Valor Máximo:	8.344047
Valor Mínimo:	-8.189527
Valor de Pico:	8.344047
Valor de Pico a Pico:	16.533574
Kurtosis:	3.758521
Sesgo:	0.065344
Valor Eficaz:	1.682959
Factor de Forma:	1.269224
Factor de Cresta:	4.957963
Varianza:	2.631170
Valor Medio:	1.326058
Moda:	-0.493319
Potencia del Espectro:	2.832350

## ANEXO A

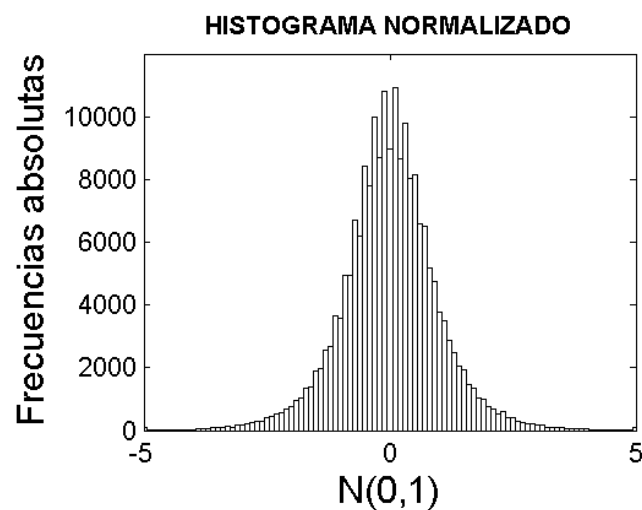


## ANEXO A

Reductora Sin Carcasa

Punto 9

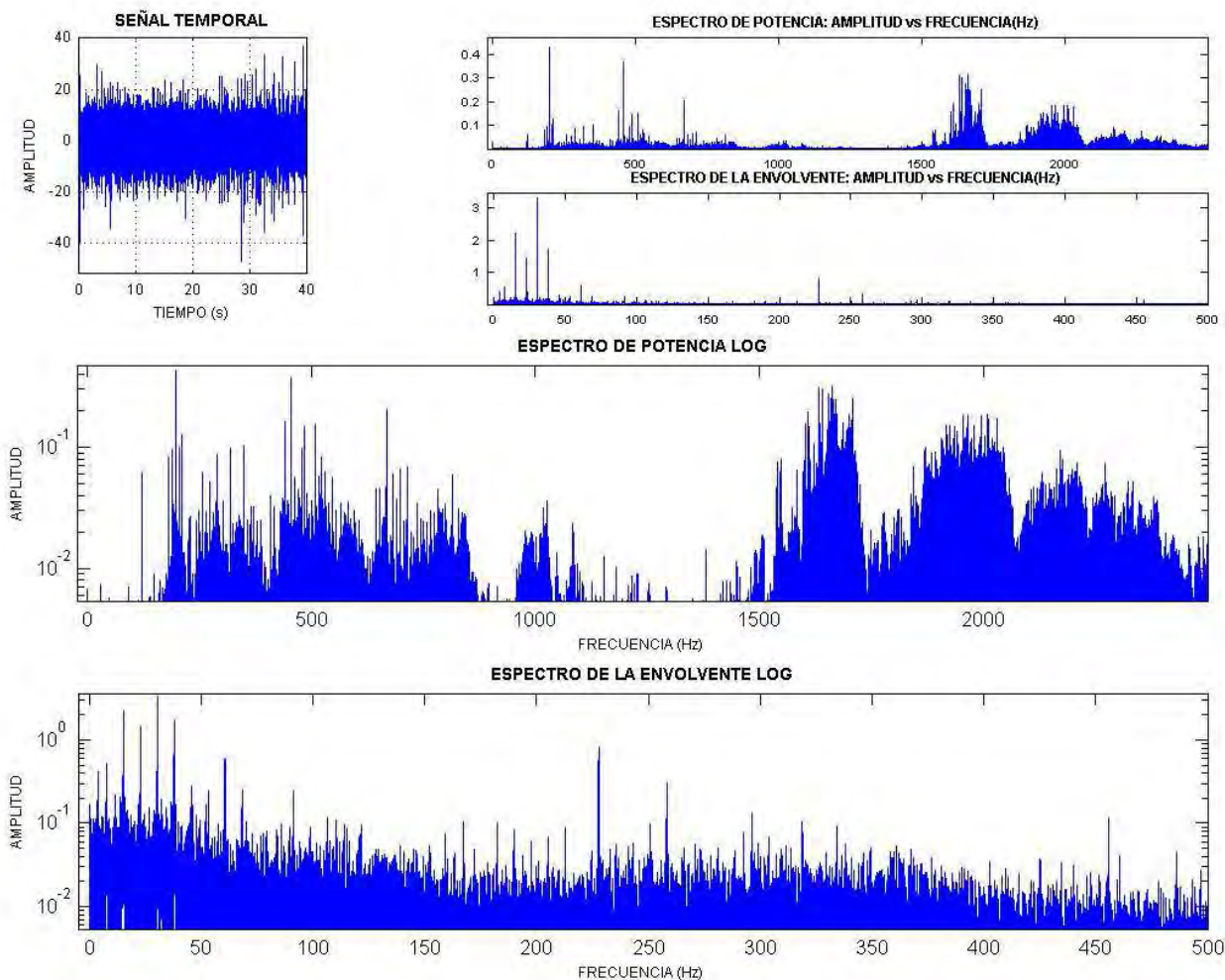
Velocidad (r.p.m) 900



Media	-0.135081
Desviación Típica:	3.628171
Mediana:	-0.097656
Valor Máximo:	29.589844
Valor Mínimo:	-39.648438
Valor de Pico:	39.648438
Valor de Pico a Pico:	69.238282
Kurtosis:	7.063583
Sesgo:	-0.149259
Valor Eficaz:	3.630595
Factor de Forma:	1.351234
Factor de Cresta:	10.920646
Varianza:	13.163628
Valor Medio:	2.689235
Moda:	-0.022808
Potencia del Espectro:	13.181217



# ANEXO A



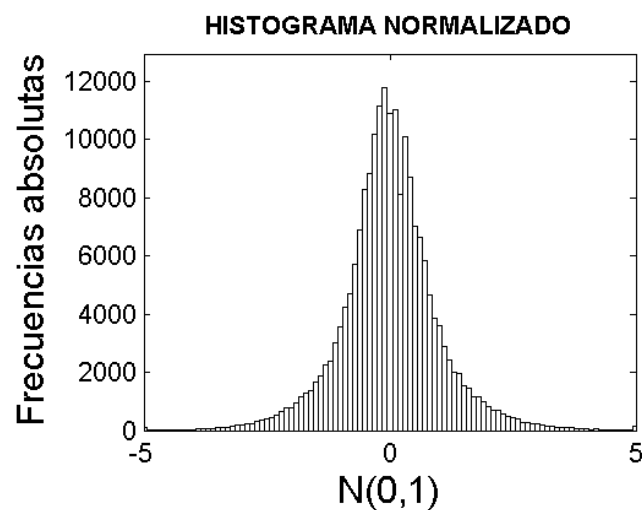


## ANEXO A

Reductora Sin Carcasa

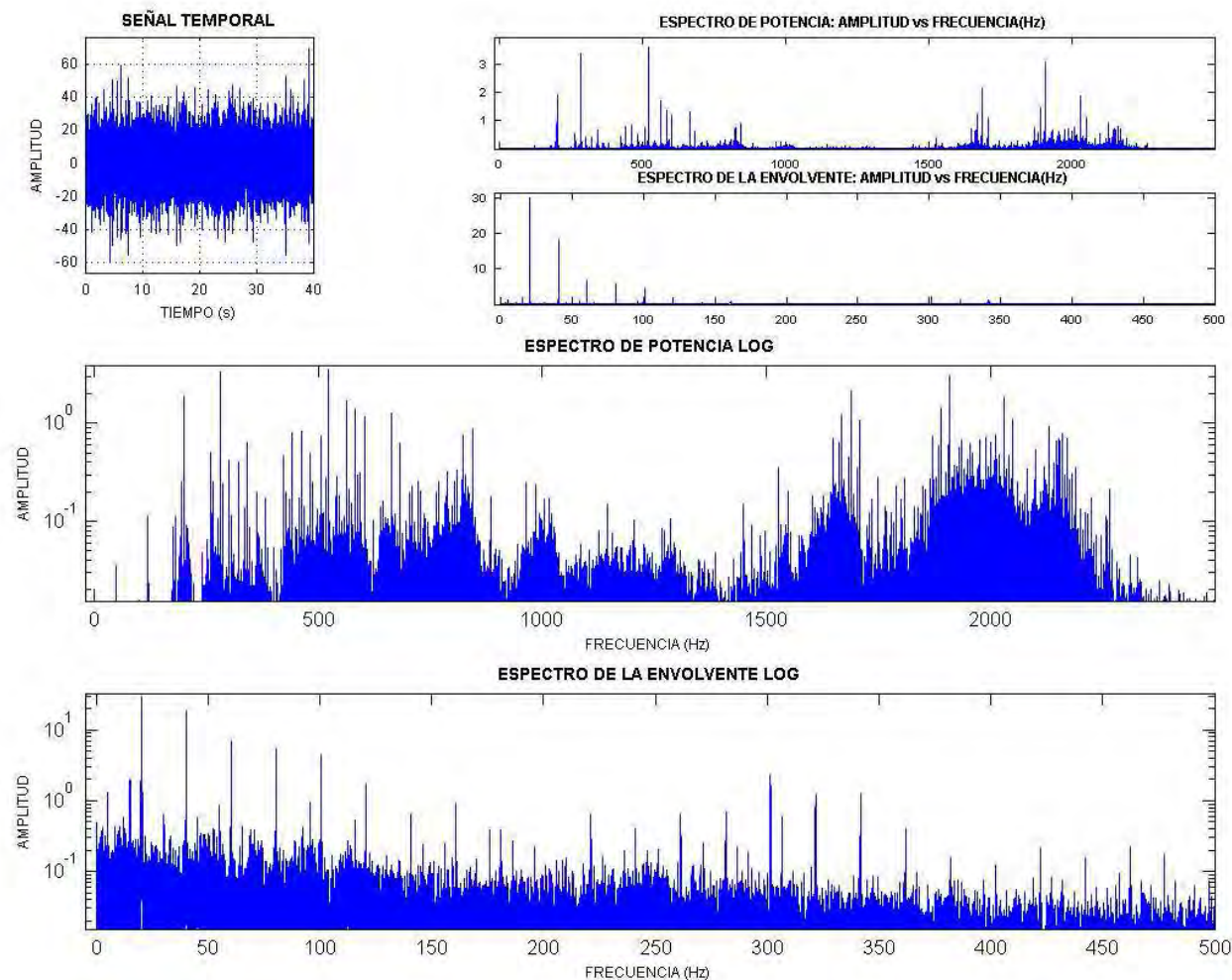
Punto 9

Velocidad (r.p.m) 1200



Media	-0.451761
Desviación Típica:	6.001424
Mediana:	-0.463558
Valor Máximo:	44.810621
Valor Mínimo:	-41.874753
Valor de Pico:	44.810621
Valor de Pico a Pico:	86.685374
Kurtosis:	6.422988
Sesgo:	0.117233
Valor Eficaz:	6.018253
Factor de Forma:	1.368233
Factor de Cresta:	7.445785
Varianza:	36.017087
Valor Medio:	4.399904
Moda:	-0.487153
Potencia del Espectro:	36.219373

## ANEXO A

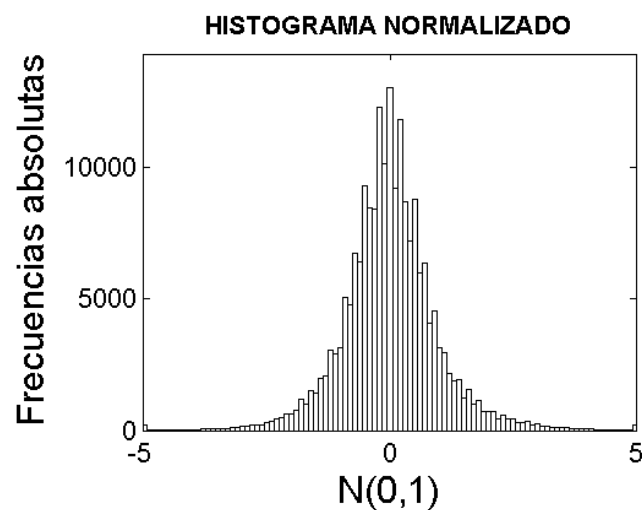


## ANEXO A

Reductora Sin Carcasa

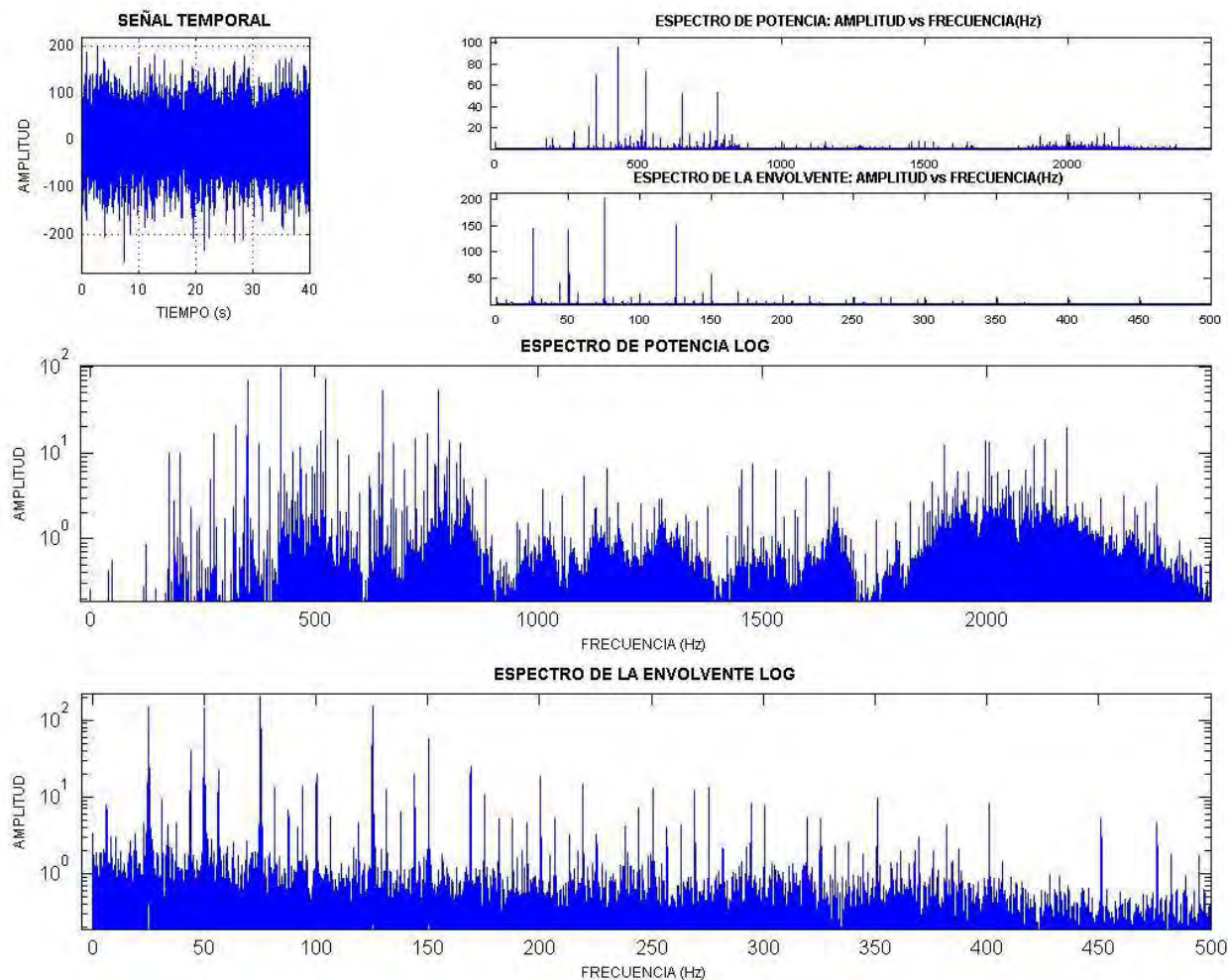
Punto 9

Velocidad (r.p.m) 1500



Media	-1.859961
Desviación Típica:	22.949342
Mediana:	-2.441406
Valor Máximo:	198.730470
Valor Mínimo:	-194.824220
Valor de Pico:	198.730470
Valor de Pico a Pico:	393.554690
Kurtosis:	7.740300
Sesgo:	0.252696
Valor Eficaz:	23.024019
Factor de Forma:	1.498549
Factor de Cresta:	8.631442
Varianza:	526.672307
Valor Medio:	15.384024
Moda:	-3.604297
Potencia del Espectro:	530.105428

## ANEXO A

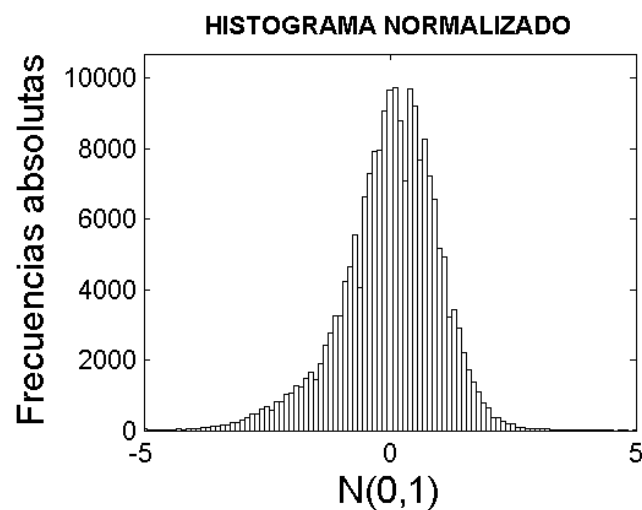


## ANEXO A

Reductora Sin Carcasa

Punto 10

Velocidad (r.p.m) 0



Media -0.001340

Desviación Típica: 0.005080

Mediana: -0.001391

Valor Máximo: 0.019778

Valor Mínimo: -0.024105

Valor de Pico: 0.024105

Valor de Pico a Pico: 0.043884

Kurtosis: 3.151204

Sesgo: 0.079838

Valor Eficaz: 0.005254

Factor de Forma: 1.310306

Factor de Cresta: 4.587981

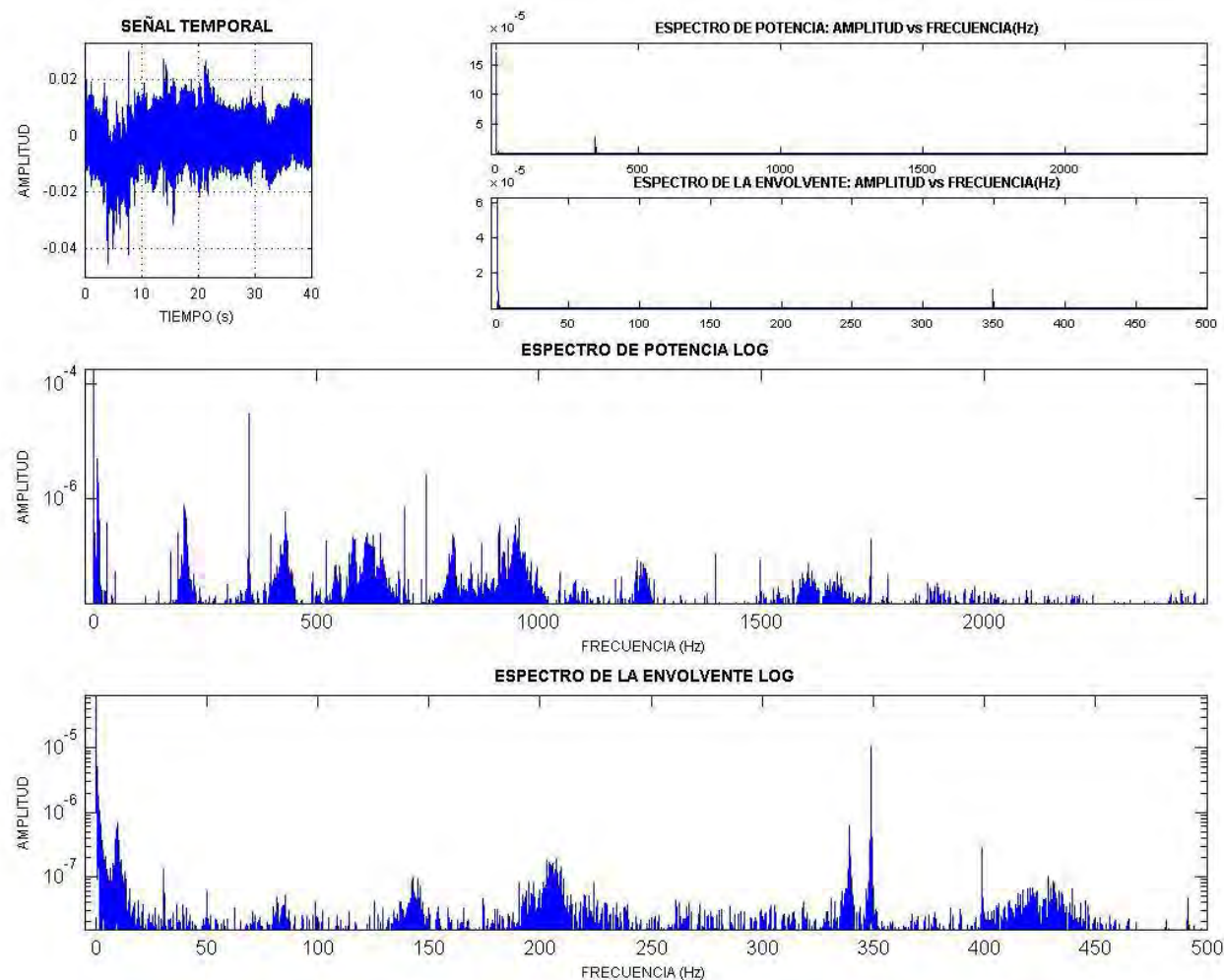
Varianza: 0.000026

Valor Medio: 0.004612

Moda: -0.001492

Potencia del Espectro: 0.000028

## ANEXO A

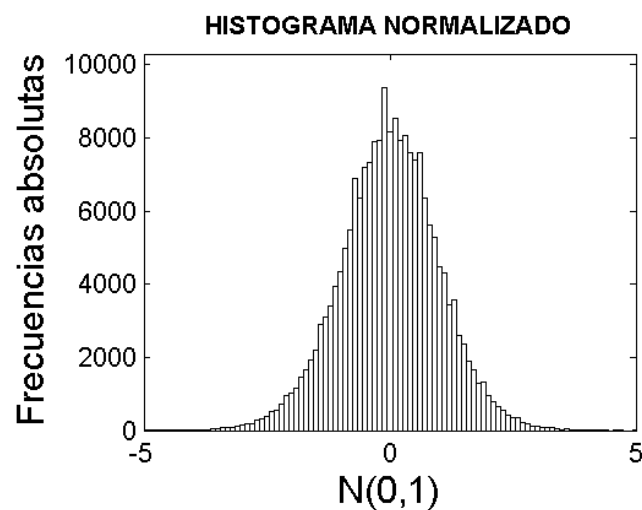


## ANEXO A

Reductora Sin Carcasa

Punto 10

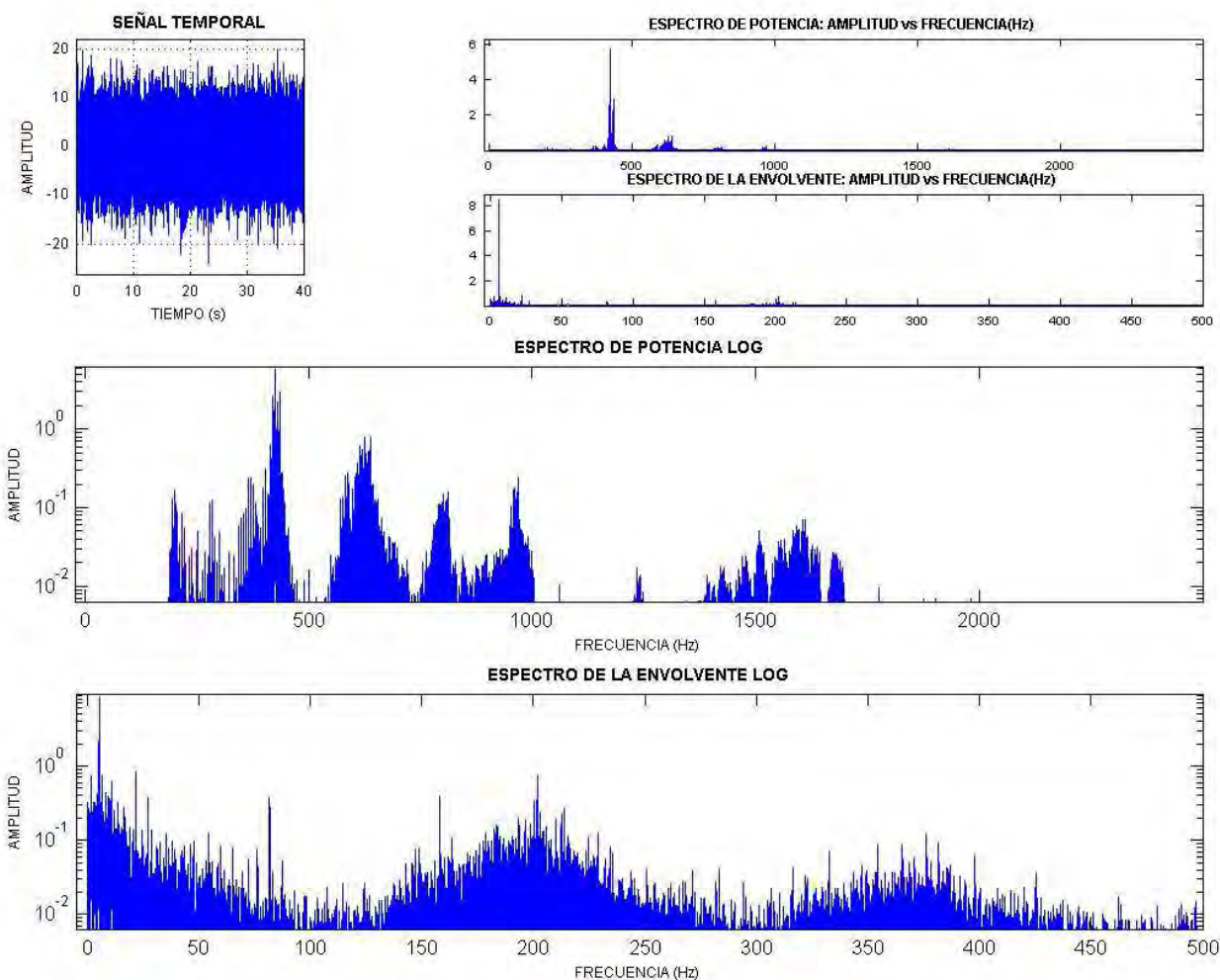
Velocidad (r.p.m) 300



Media	-0.138052
Desviación Típica:	4.091144
Mediana:	-0.097656
Valor Máximo:	19.677734
Valor Mínimo:	-20.117188
Valor de Pico:	20.117188
Valor de Pico a Pico:	39.794922
Kurtosis:	3.676522
Sesgo:	-0.050643
Valor Eficaz:	4.093370
Factor de Forma:	1.316504
Factor de Cresta:	4.914578
Varianza:	16.737456
Valor Medio:	3.110882
Moda:	-0.016865
Potencia del Espectro:	16.755678



## ANEXO A

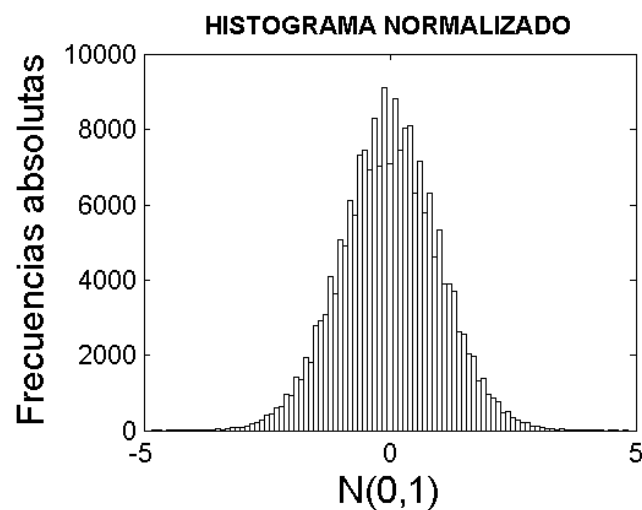


## ANEXO A

Reductora Sin Carcasa

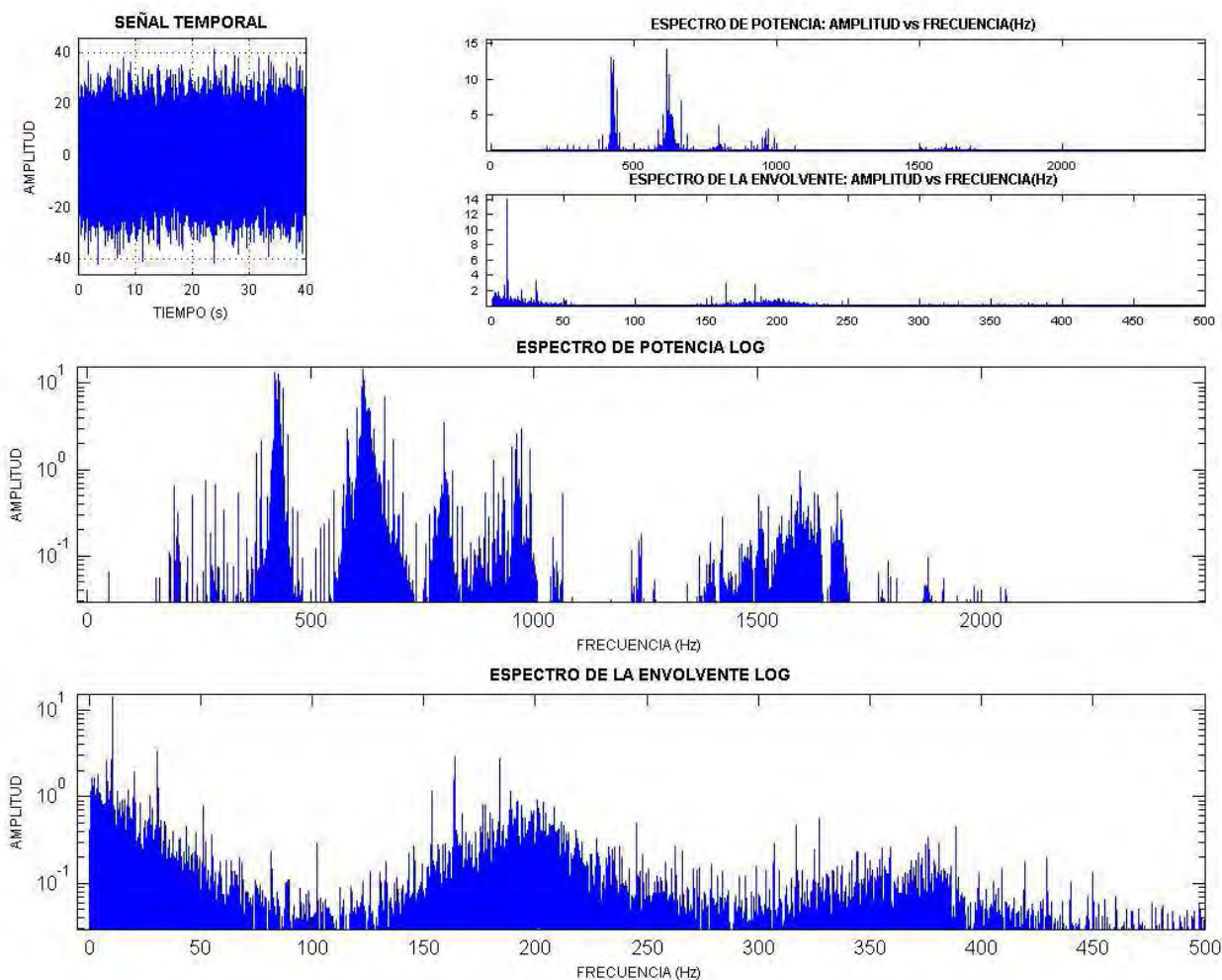
Punto 10

Velocidad (r.p.m) 600



Media	-0.453568
Desviación Típica:	8.714980
Mediana:	-0.463558
Valor Máximo:	36.621094
Valor Mínimo:	-41.565714
Valor de Pico:	41.565714
Valor de Pico a Pico:	78.186808
Kurtosis:	3.150368
Sesgo:	-0.032537
Valor Eficaz:	8.726557
Factor de Forma:	1.282500
Factor de Cresta:	4.763128
Varianza:	75.950878
Valor Medio:	6.805634
Moda:	-0.483538
Potencia del Espectro:	76.152805

## ANEXO A

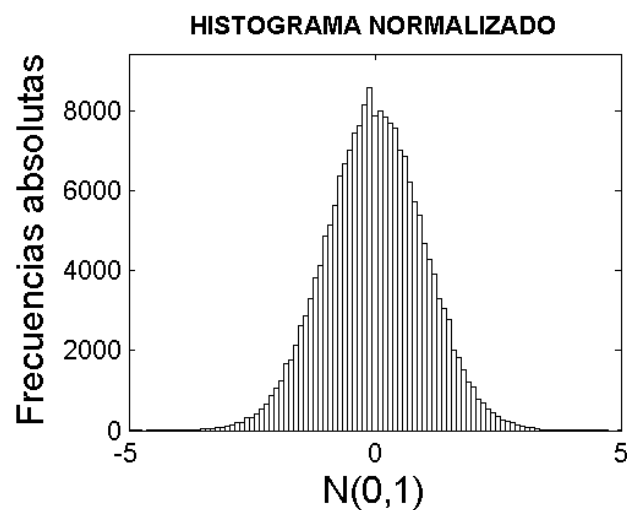


## ANEXO A

Reductora Sin Carcasa

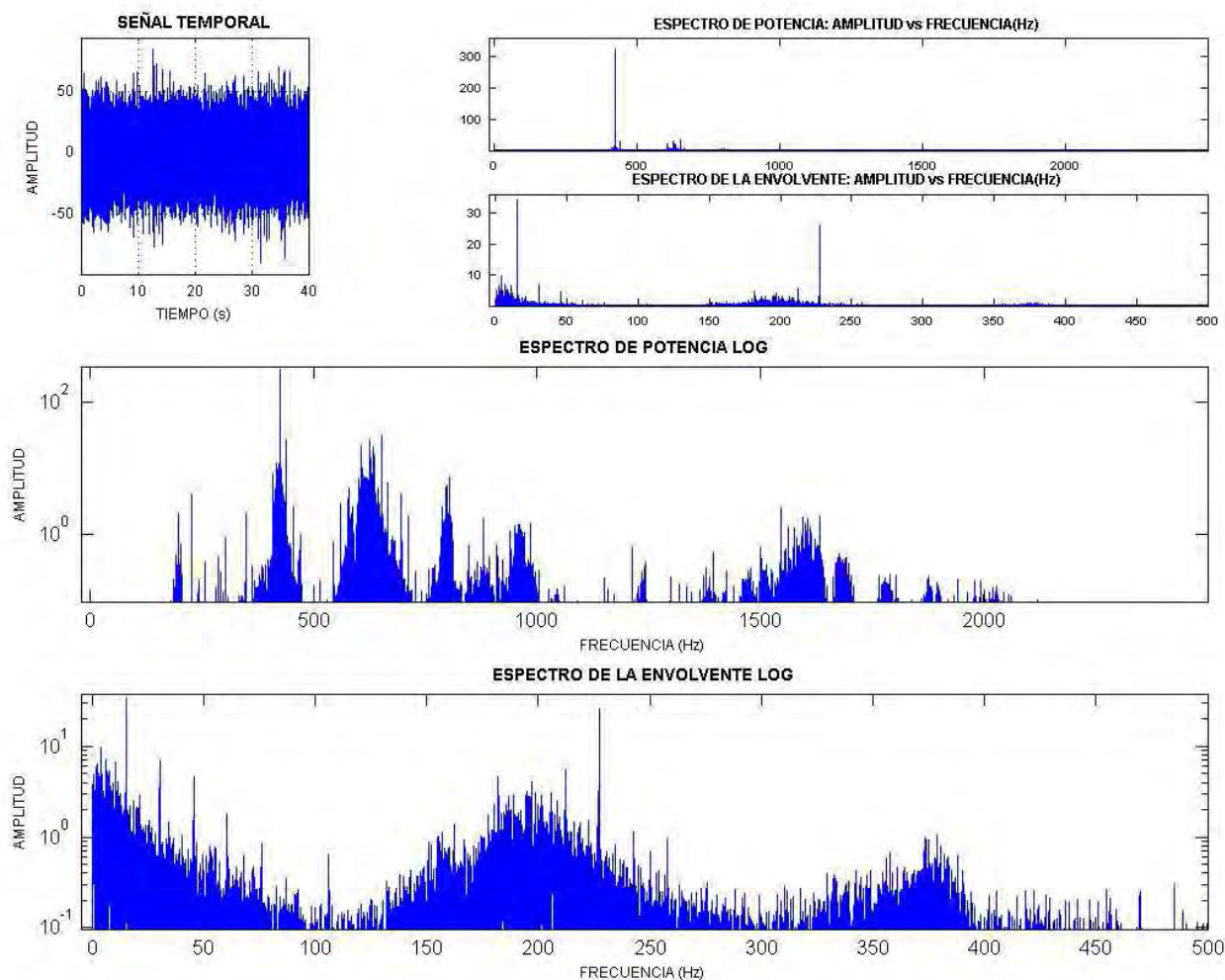
Punto 10

Velocidad (r.p.m) 900



Media	-0.450409
Desviación Típica:	16.108532
Mediana:	-0.463558
Valor Máximo:	64.898141
Valor Mínimo:	-64.280063
Valor de Pico:	64.898141
Valor de Pico a Pico:	129.178204
Kurtosis:	3.113040
Sesgo:	-0.021959
Valor Eficaz:	16.114425
Factor de Forma:	1.307357
Factor de Cresta:	4.027332
Varianza:	259.484811
Valor Medio:	12.339966
Moda:	-0.489857
Potencia del Espectro:	259.674705

## ANEXO A

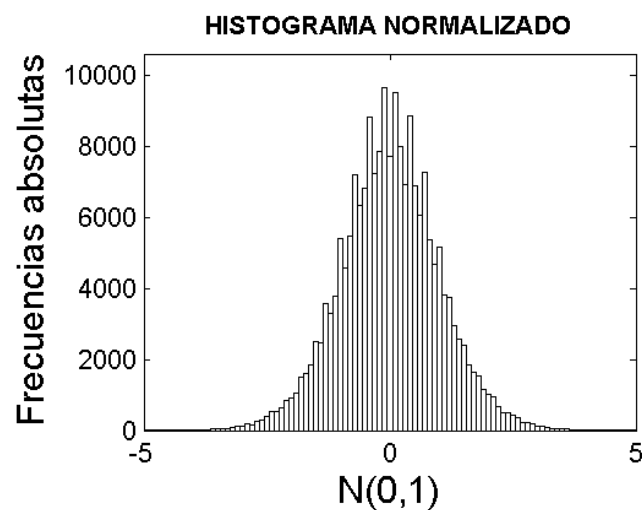


## ANEXO A

Reductora Sin Carcasa

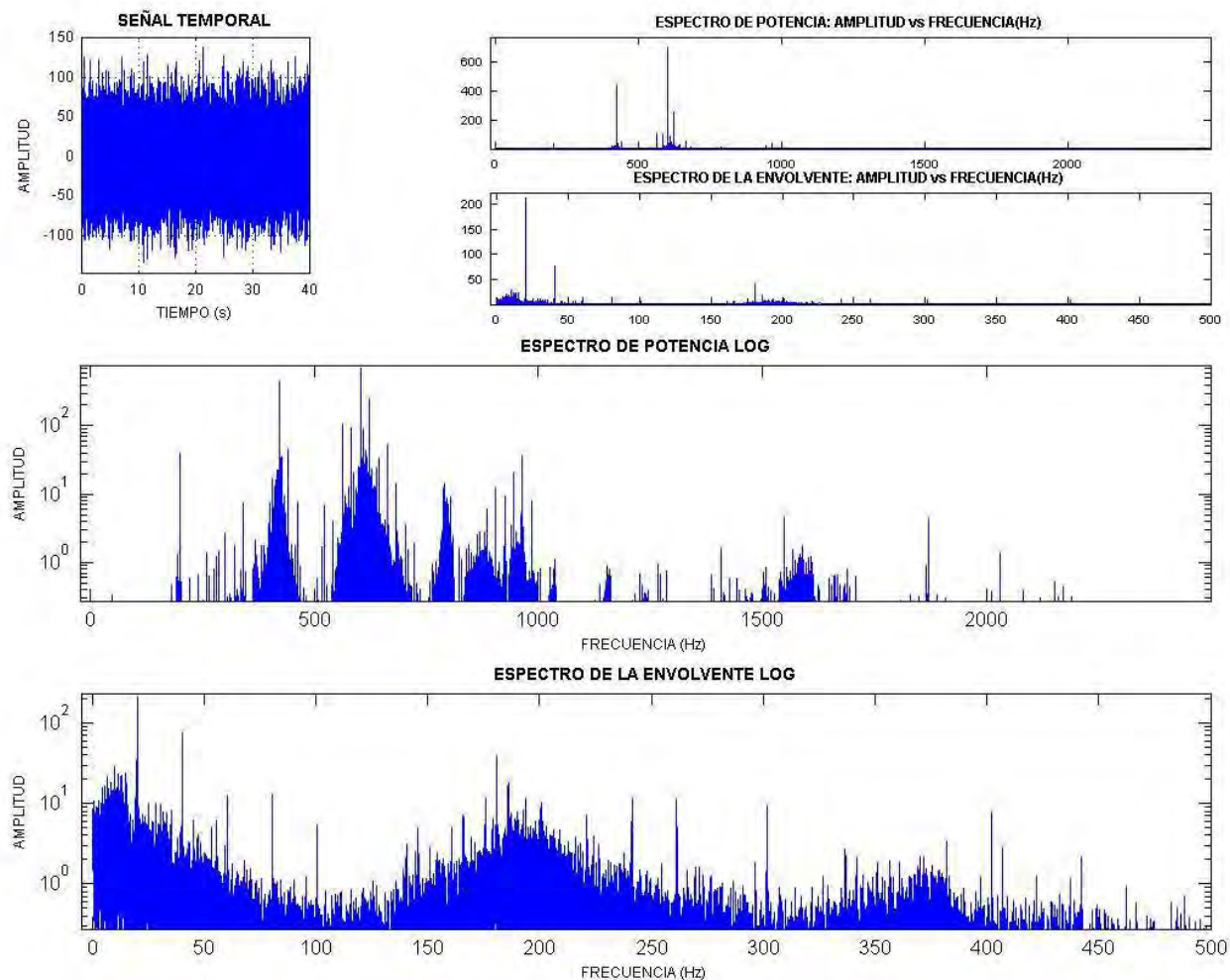
Punto 10

Velocidad (r.p.m) 1200



Media	-1.458008
Desviación Típica:	27.309664
Mediana:	-1.464844
Valor Máximo:	125.488280
Valor Mínimo:	-105.468750
Valor de Pico:	125.488280
Valor de Pico a Pico:	230.957030
Kurtosis:	3.220957
Sesgo:	-0.006403
Valor Eficaz:	27.347874
Factor de Forma:	1.337858
Factor de Cresta:	4.588594
Varianza:	745.817741
Valor Medio:	20.459707
Moda:	-1.478516
Potencia del Espectro:	747.906237

## ANEXO A



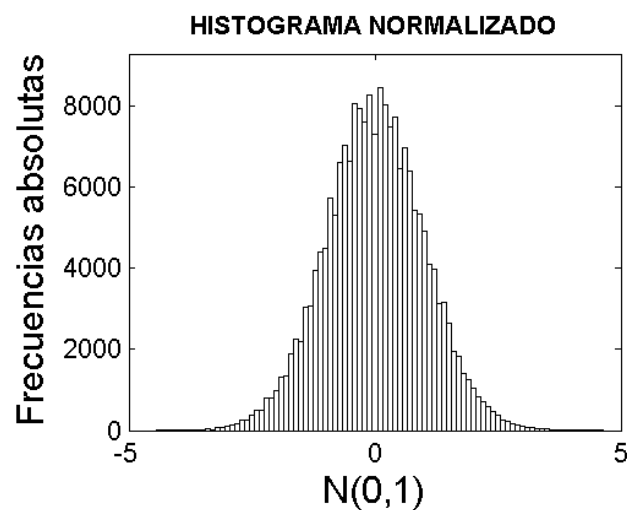


## ANEXO A

Reductora Sin Carcasa

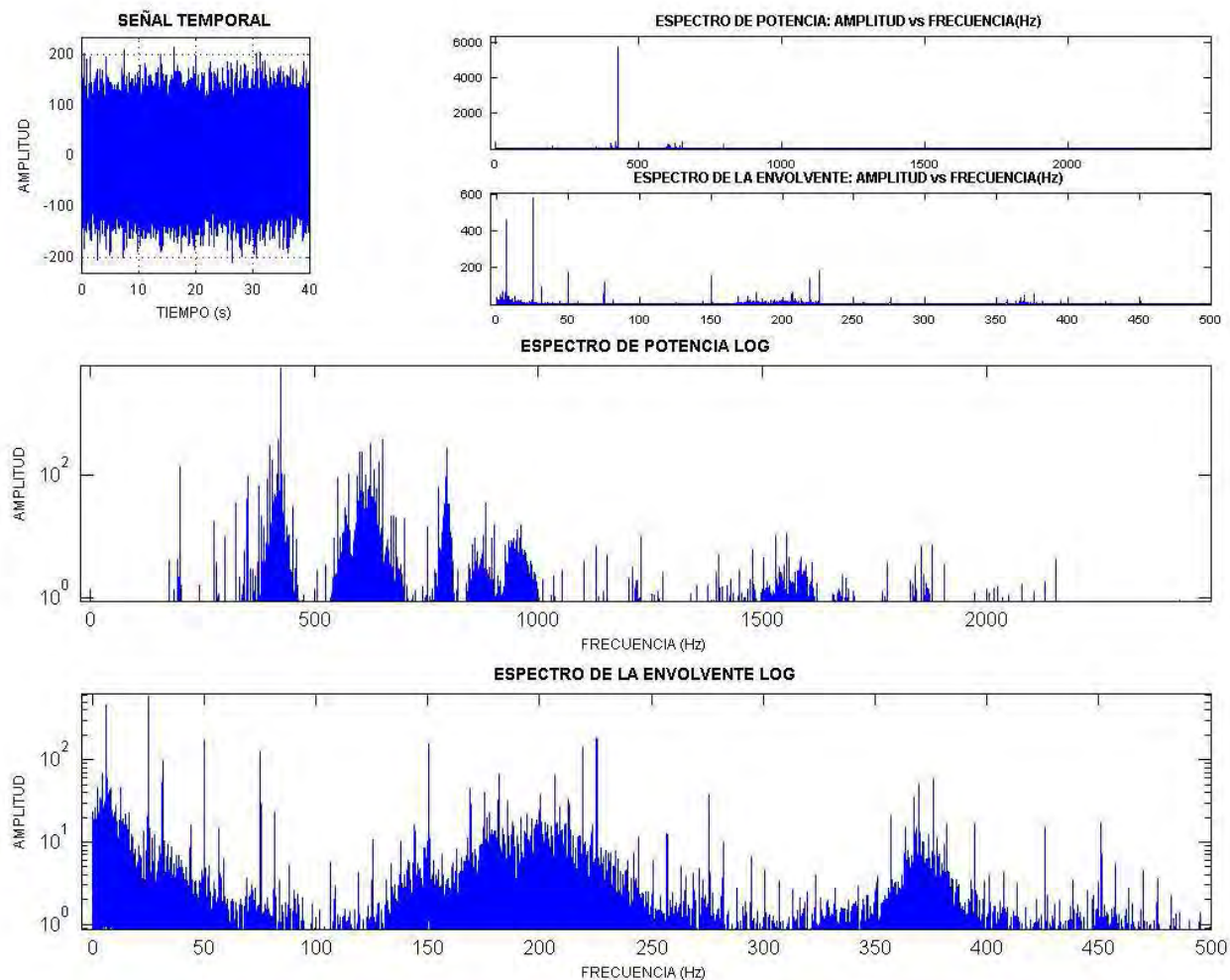
Punto 10

Velocidad (r.p.m) 1500



Media	-1.442651
Desviación Típica:	46.996056
Mediana:	-1.464844
Valor Máximo:	202.636720
Valor Mínimo:	-204.589840
Valor de Pico:	204.589840
Valor de Pico a Pico:	407.226560
Kurtosis:	3.199369
Sesgo:	0.014224
Valor Eficaz:	47.017019
Factor de Forma:	1.261943
Factor de Cresta:	4.351400
Varianza:	2208.629257
Valor Medio:	37.272351
Moda:	-1.509229
Potencia del Espectro:	2210.600068

## ANEXO A

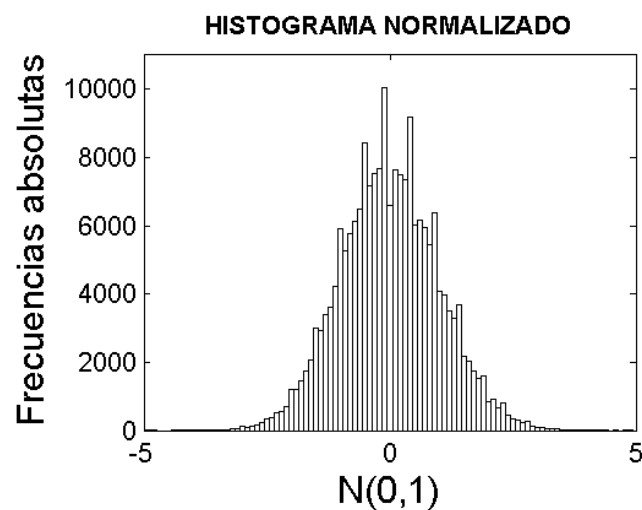


## ANEXO A

Reductora Sin Carcasa

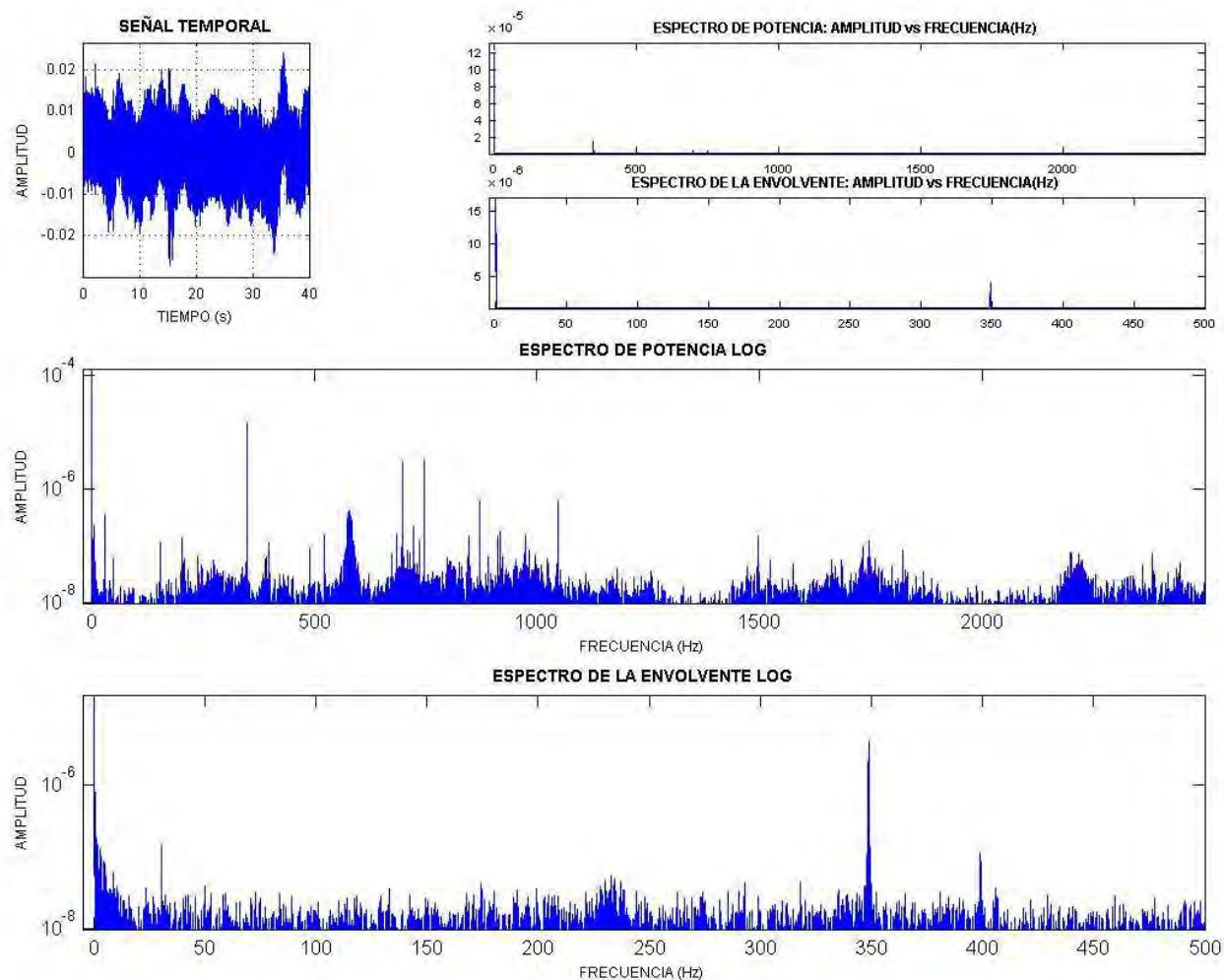
Punto 11

Velocidad (r.p.m) 0



Media	0.003054
Desviación Típica:	0.003803
Mediana:	0.003090
Valor Máximo:	0.021478
Valor Mínimo:	-0.012053
Valor de Pico:	0.021478
Valor de Pico a Pico:	0.033531
Kurtosis:	2.977569
Sesgo:	0.018964
Valor Eficaz:	0.004877
Factor de Forma:	1.274450
Factor de Cresta:	4.403941
Varianza:	0.000014
Valor Medio:	0.003943
Moda:	0.003163
Potencia del Espectro:	0.000024

## ANEXO A

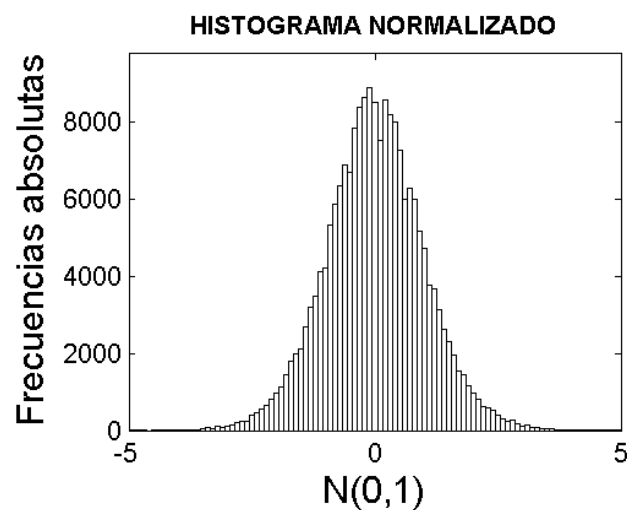


## ANEXO A

Reductora Sin Carcasa

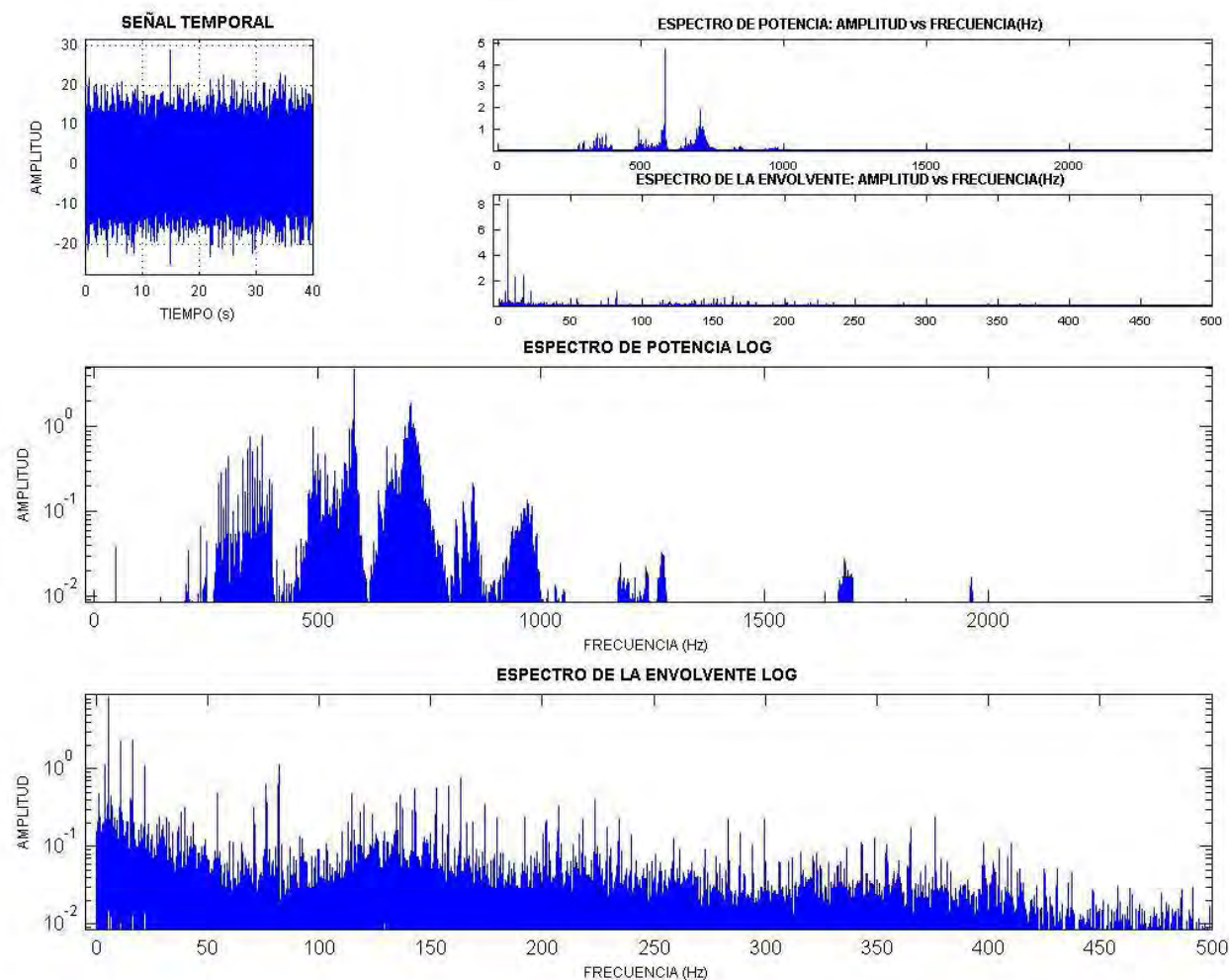
Punto 11

Velocidad (r.p.m) 300



Media	-0.448786
Desviación Típica:	4.678218
Mediana:	-0.463558
Valor Máximo:	21.787233
Valor Mínimo:	-23.023388
Valor de Pico:	23.023388
Valor de Pico a Pico:	44.810621
Kurtosis:	3.648686
Sesgo:	0.017904
Valor Eficaz:	4.699578
Factor de Forma:	1.294994
Factor de Cresta:	4.899033
Varianza:	21.885720
Valor Medio:	3.629637
Moda:	-0.493102
Potencia del Espectro:	22.086035

## ANEXO A

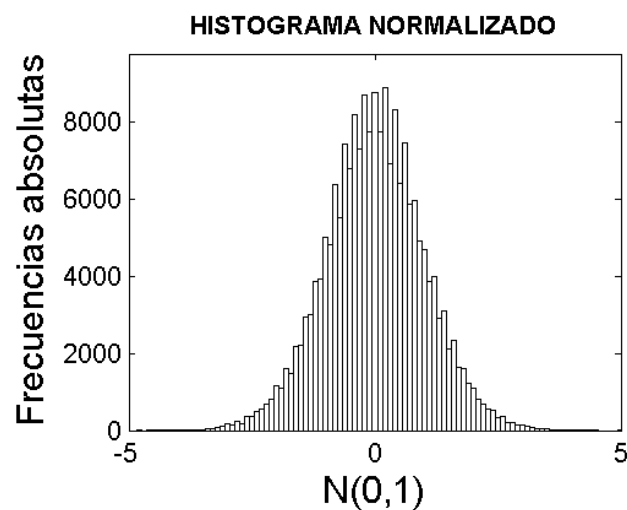


## ANEXO A

Reductora Sin Carcasa

Punto 11

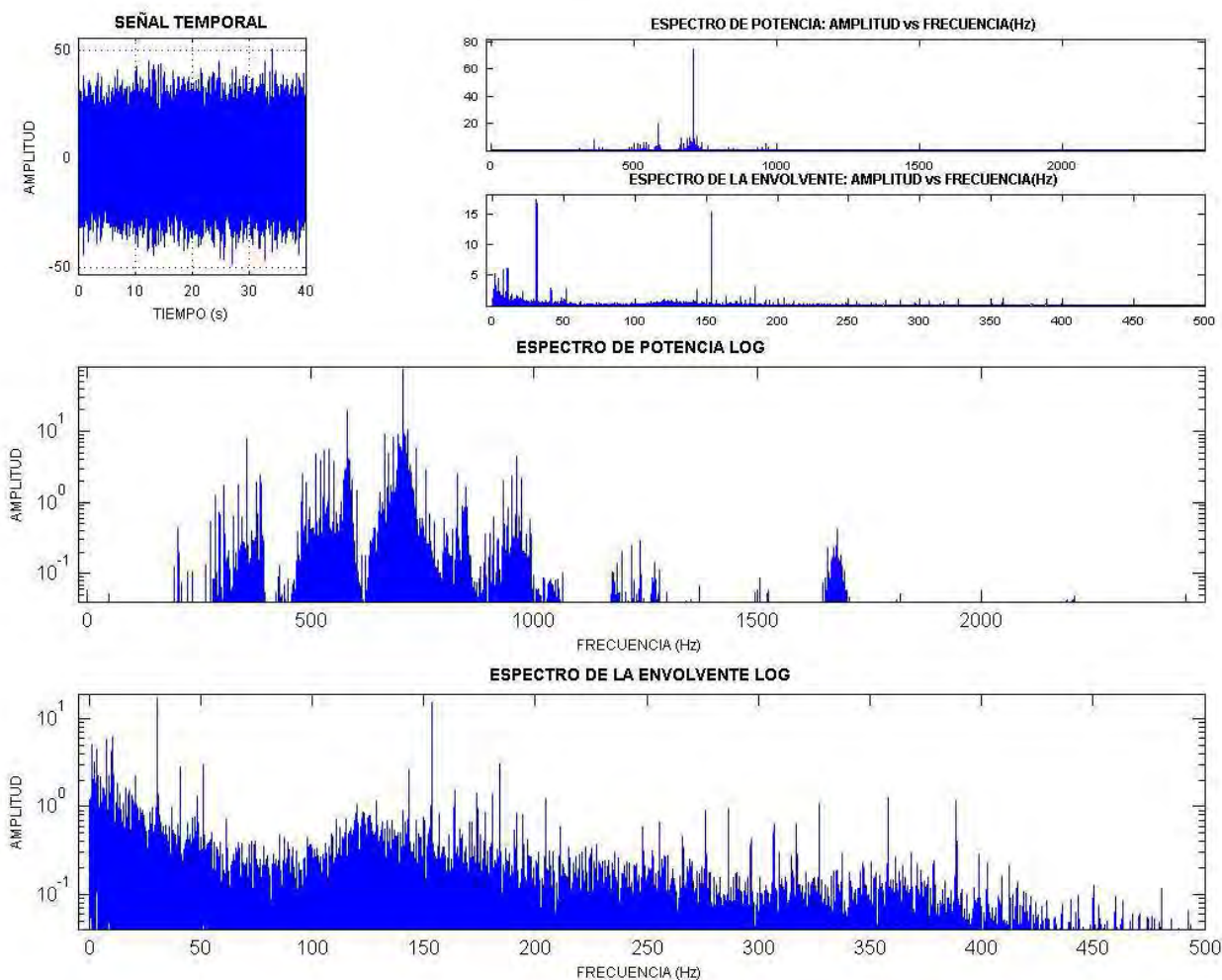
Velocidad (r.p.m) 600



Media	-0.453769
Desviación Típica:	9.566656
Mediana:	-0.463558
Valor Máximo:	39.402443
Valor Mínimo:	-43.728985
Valor de Pico:	43.728985
Valor de Pico a Pico:	83.131428
Kurtosis:	3.300483
Sesgo:	0.014711
Valor Eficaz:	9.577173
Factor de Forma:	1.210483
Factor de Cresta:	4.565960
Varianza:	91.520907
Valor Medio:	7.917009
Moda:	-0.483136
Potencia del Espectro:	91.722238



## ANEXO A

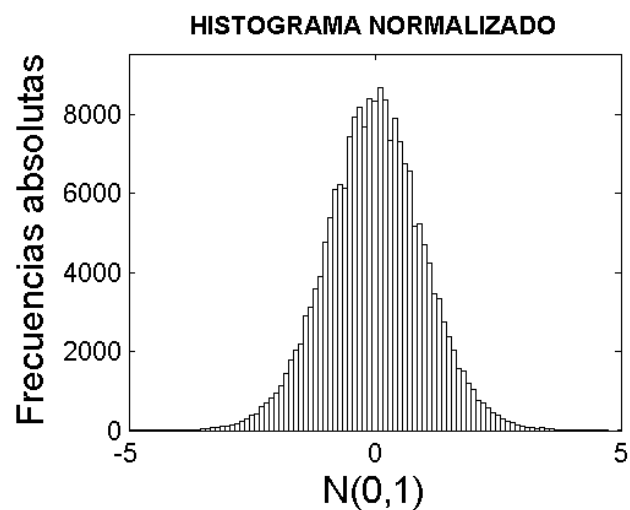


## ANEXO A

Reductora Sin Carcasa

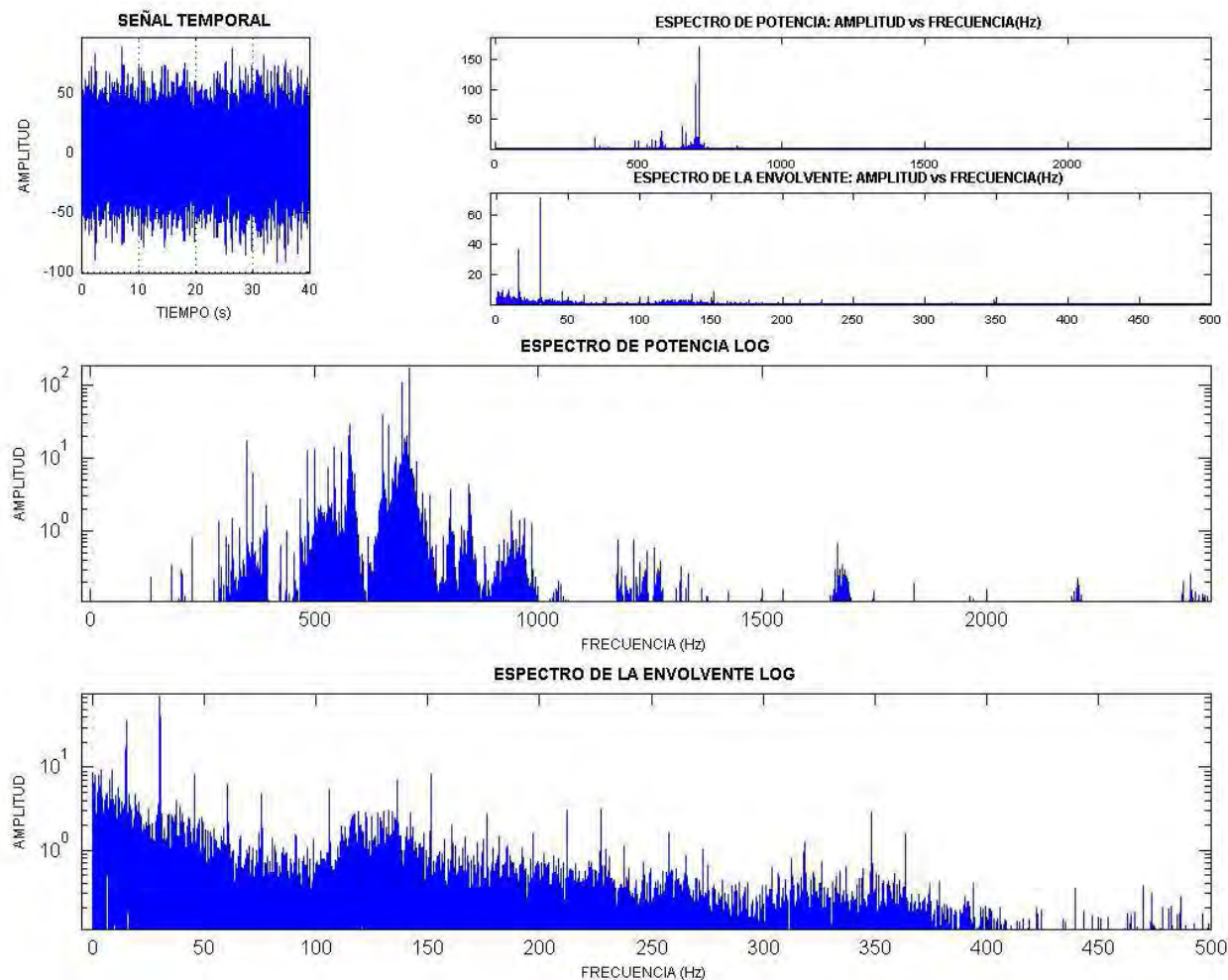
Punto 11

Velocidad (r.p.m) 900



Media	-0.456929
Desviación Típica:	16.596248
Mediana:	-0.618078
Valor Máximo:	83.594986
Valor Mínimo:	-89.312203
Valor de Pico:	89.312203
Valor de Pico a Pico:	172.907189
Kurtosis:	3.637251
Sesgo:	-0.002789
Valor Eficaz:	16.602123
Factor de Forma:	1.272335
Factor de Cresta:	5.379565
Varianza:	275.435460
Valor Medio:	13.057160
Moda:	-0.940374
Potencia del Espectro:	275.630472

## ANEXO A

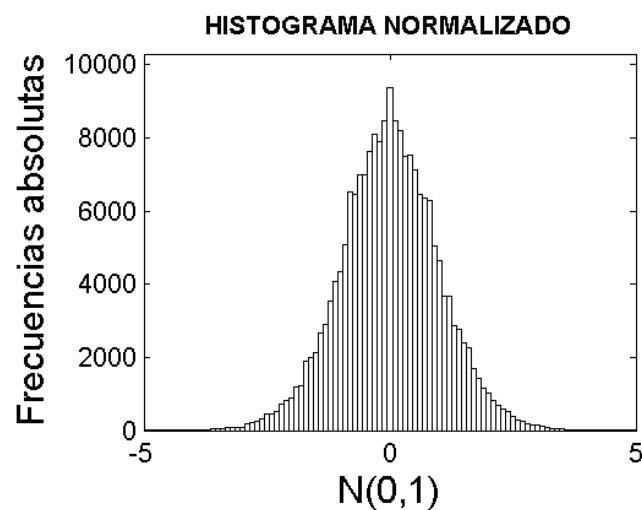


## ANEXO A

Reductora Sin Carcasa

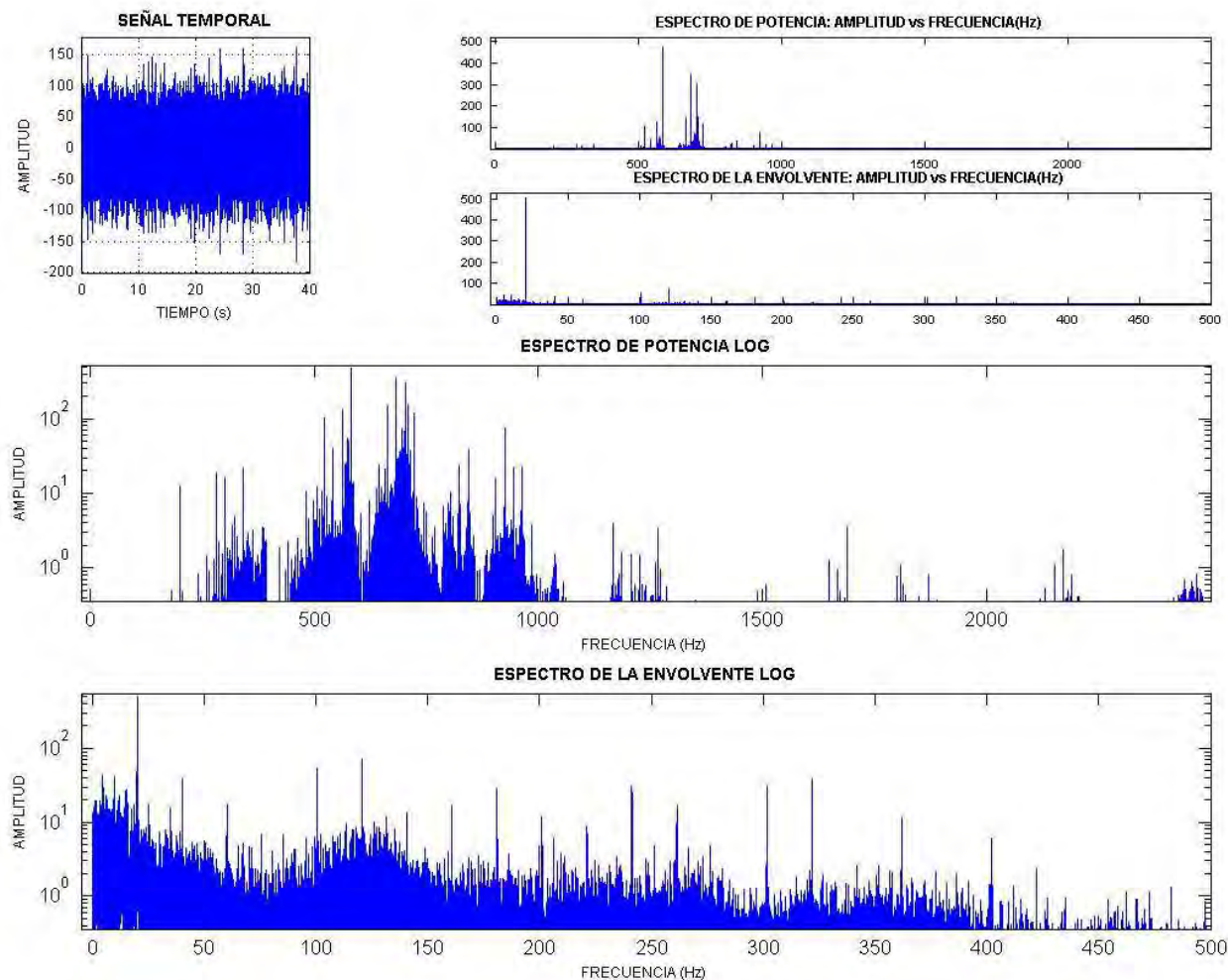
Punto 11

Velocidad (r.p.m) 1200



Media	-1.434351
Desviación Típica:	29.634994
Mediana:	-1.953125
Valor Máximo:	148.925780
Valor Mínimo:	-146.484380
Valor de Pico:	148.925780
Valor de Pico a Pico:	295.410160
Kurtosis:	3.436786
Sesgo:	-0.006953
Valor Eficaz:	29.668946
Factor de Forma:	1.268551
Factor de Cresta:	5.019584
Varianza:	878.232897
Valor Medio:	23.394646
Moda:	-2.990674
Potencia del Espectro:	880.246347

## ANEXO A

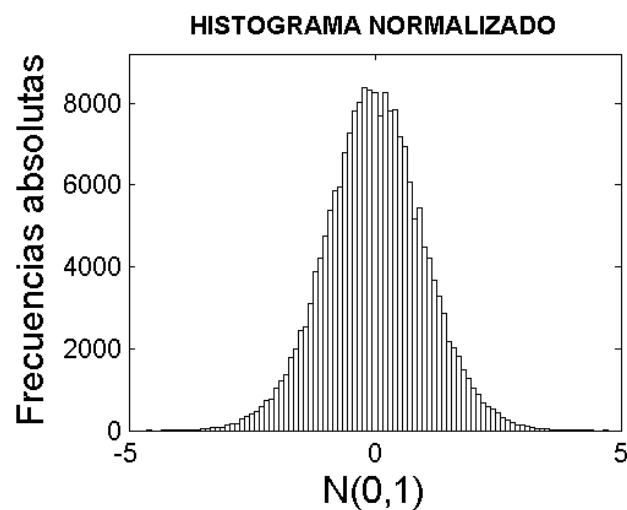


## ANEXO A

Reductora Sin Carcasa

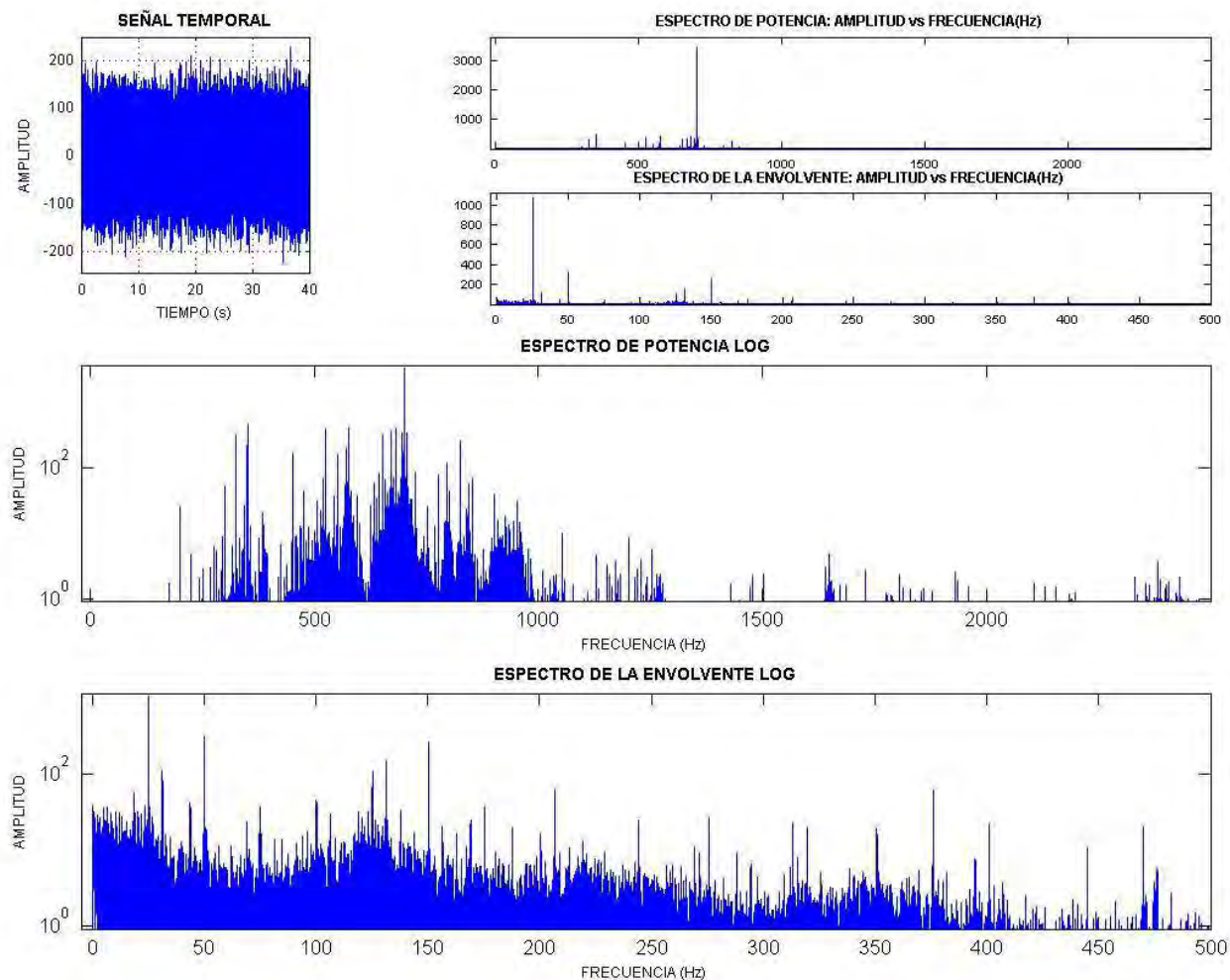
Punto 11

Velocidad (r.p.m) 1500



Media	-1.410400
Desviación Típica:	47.994897
Mediana:	-1.464844
Valor Máximo:	196.289060
Valor Mínimo:	-188.476560
Valor de Pico:	196.289060
Valor de Pico a Pico:	384.765620
Kurtosis:	3.224524
Sesgo:	0.015607
Valor Eficaz:	48.014416
Factor de Forma:	1.266300
Factor de Cresta:	4.088128
Varianza:	2303.510097
Valor Medio:	37.923318
Moda:	-1.573731
Potencia del Espectro:	2305.384151

## ANEXO A



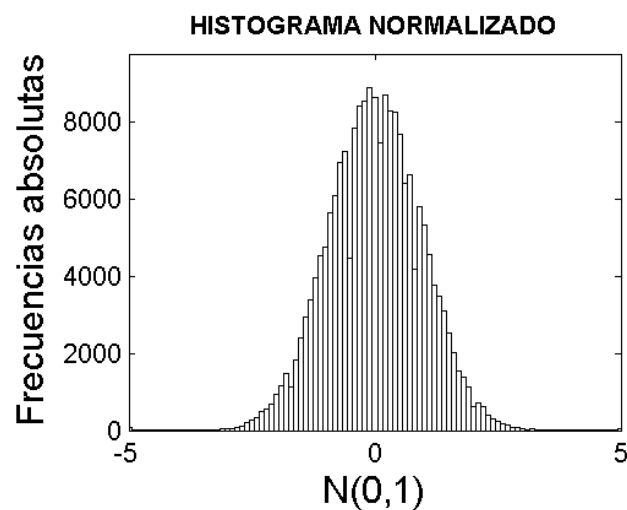


## ANEXO A

Reductora Sin Carcasa

Punto 12

Velocidad (r.p.m) 0



Media -0.001499

Desviación Típica: 0.004086

Mediana: -0.001545

Valor Máximo: 0.014988

Valor Mínimo: -0.017152

Valor de Pico: 0.017152

Valor de Pico a Pico: 0.032140

Kurtosis: 2.944458

Sesgo: -0.045560

Valor Eficaz: 0.004352

Factor de Forma: 1.261867

Factor de Cresta: 3.941091

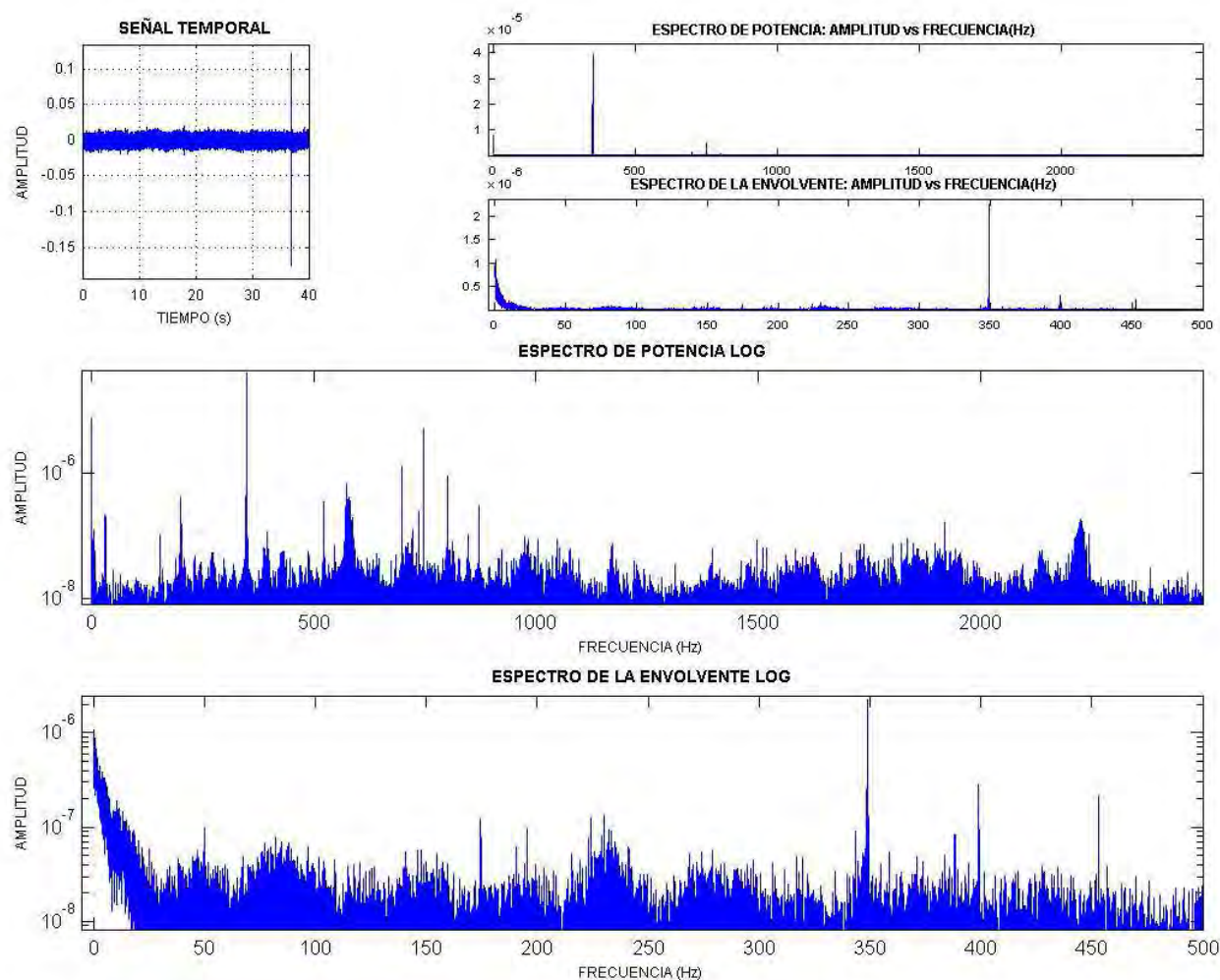
Varianza: 0.000017

Valor Medio: 0.003456

Moda: -0.001637

Potencia del Espectro: 0.000019

## ANEXO A

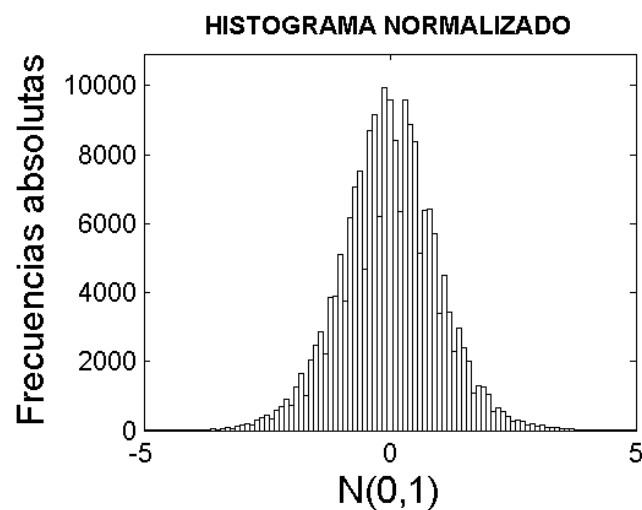


## ANEXO A

Reductora Sin Carcasa

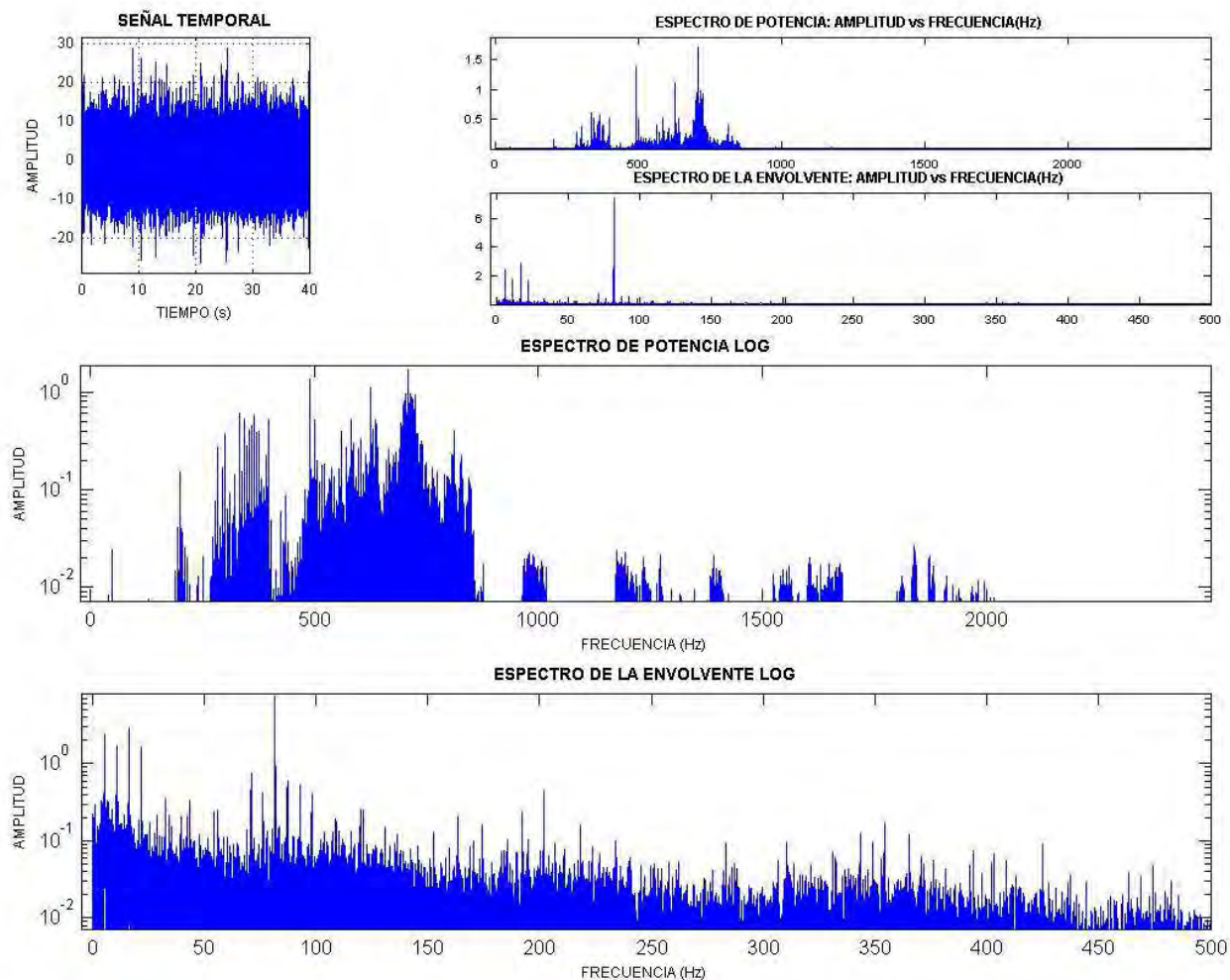
Punto 12

Velocidad (r.p.m) 300



Media	-0.447666
Desviación Típica:	4.195587
Mediana:	-0.463558
Valor Máximo:	24.105024
Valor Mínimo:	-22.405311
Valor de Pico:	24.105024
Valor de Pico a Pico:	46.510335
Kurtosis:	3.884429
Sesgo:	0.024767
Valor Eficaz:	4.219298
Factor de Forma:	1.285823
Factor de Cresta:	5.713041
Varianza:	17.602954
Valor Medio:	3.281850
Moda:	-0.495343
Potencia del Espectro:	17.802479

## ANEXO A

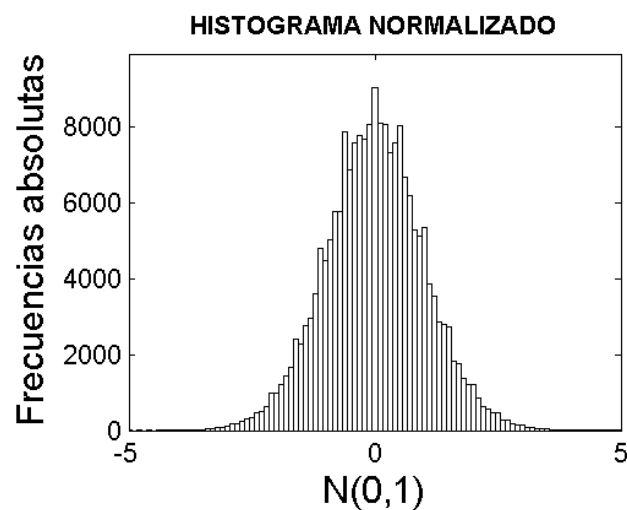


## ANEXO A

Reductora Sin Carcasa

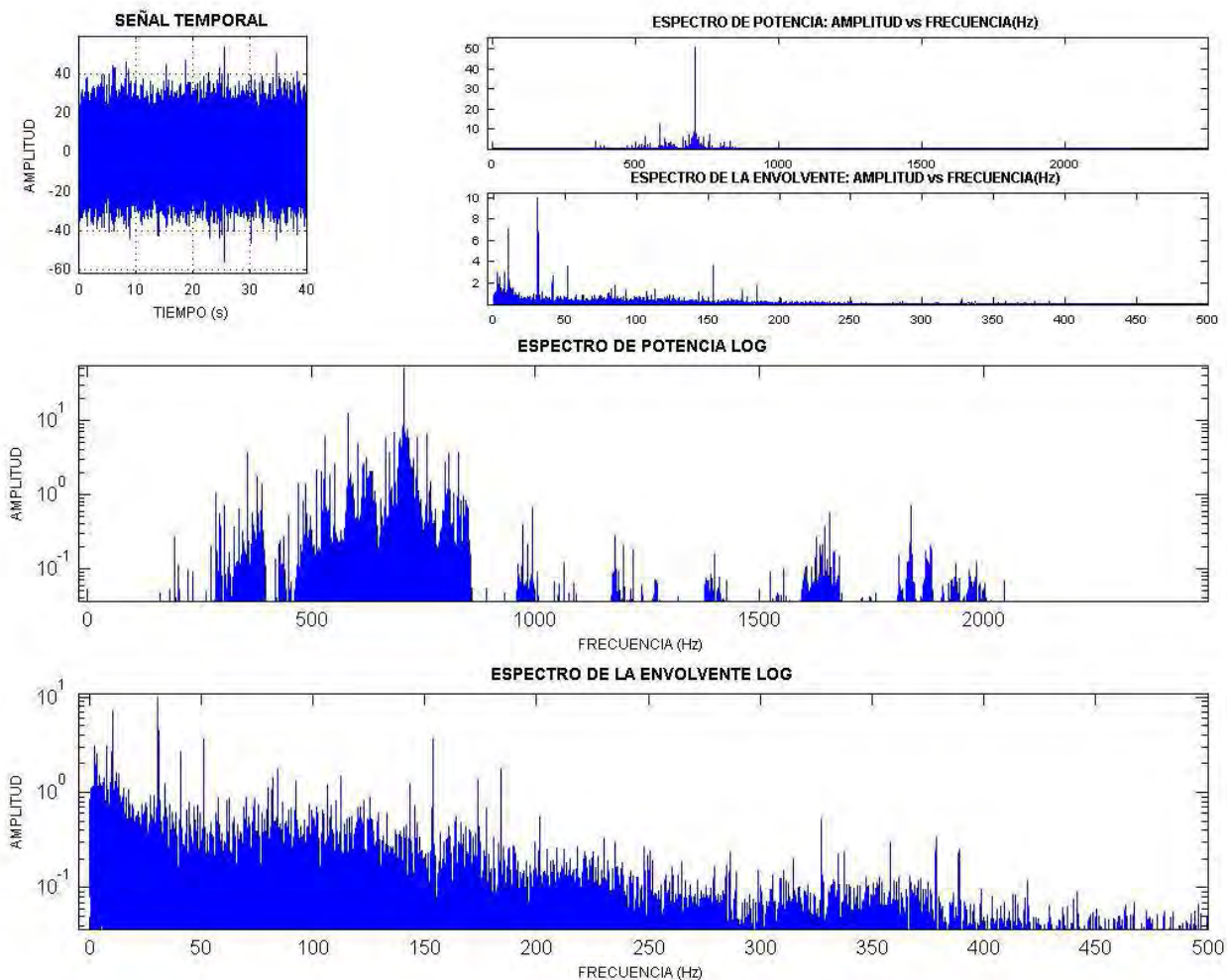
Punto 12

Velocidad (r.p.m) 600



Media	-0.447836
Desviación Típica:	9.825720
Mediana:	-0.463558
Valor Máximo:	38.011768
Valor Mínimo:	-38.938884
Valor de Pico:	38.938884
Valor de Pico a Pico:	76.950652
Kurtosis:	3.123944
Sesgo:	0.004947
Valor Eficaz:	9.835675
Factor de Forma:	1.305075
Factor de Cresta:	3.958944
Varianza:	96.544778
Valor Medio:	7.541329
Moda:	-0.495003
Potencia del Espectro:	96.740508

## ANEXO A

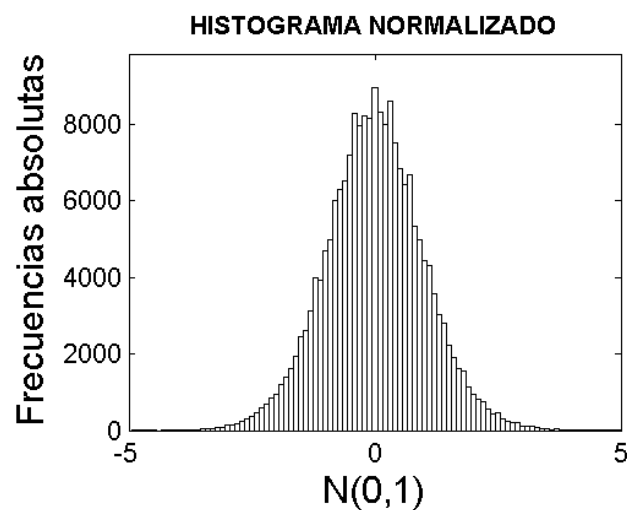


## ANEXO A

Reductora Sin Carcasa

Punto 12

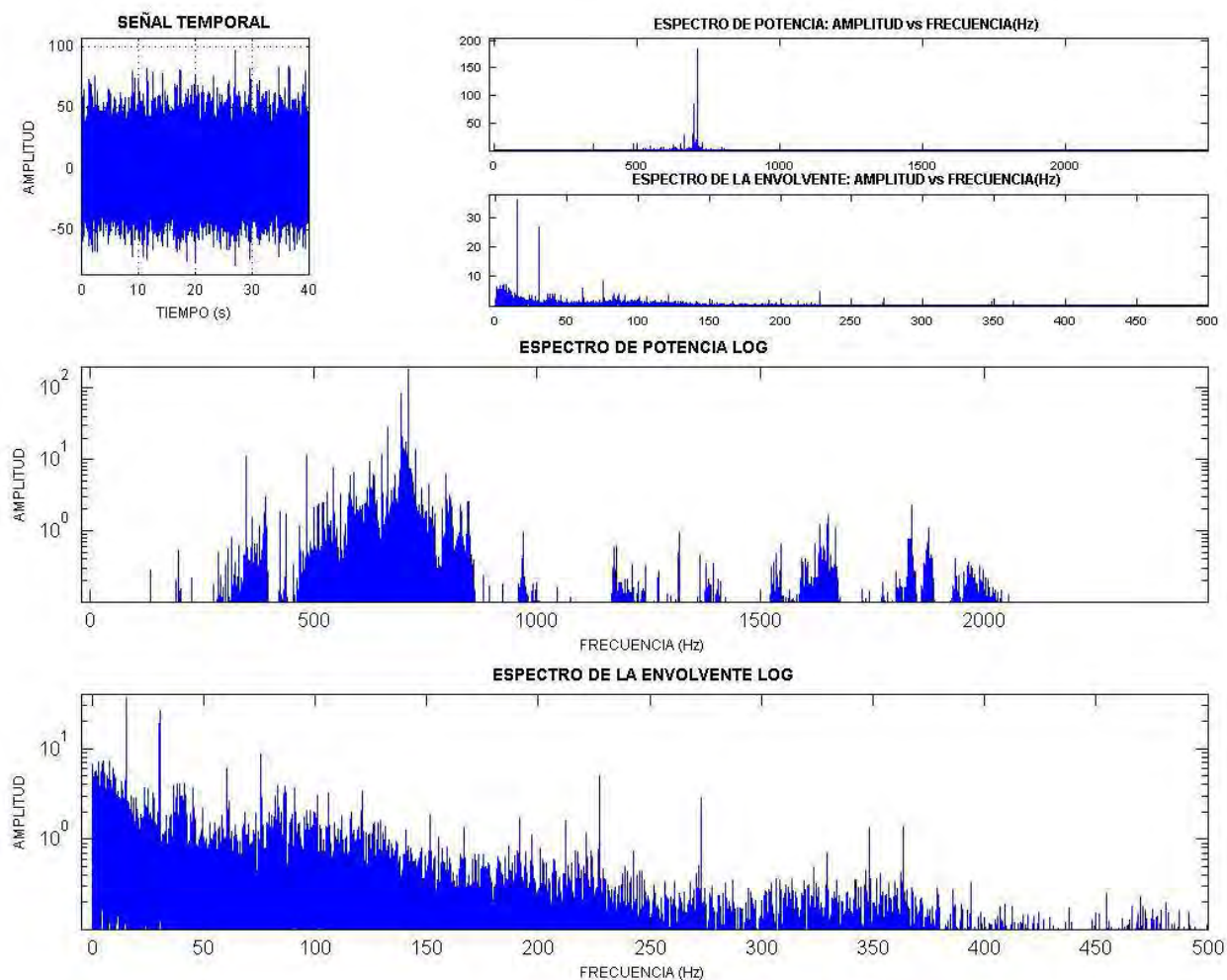
Velocidad (r.p.m) 900



Media	-0.432685
Desviación Típica:	15.664234
Mediana:	-0.618078
Valor Máximo:	75.714498
Valor Mínimo:	-68.143048
Valor de Pico:	75.714498
Valor de Pico a Pico:	143.857546
Kurtosis:	3.560495
Sesgo:	0.060463
Valor Eficaz:	15.669817
Factor de Forma:	1.263663
Factor de Cresta:	4.831869
Varianza:	245.368213
Valor Medio:	12.401682
Moda:	-0.988862
Potencia del Espectro:	245.543161



## ANEXO A

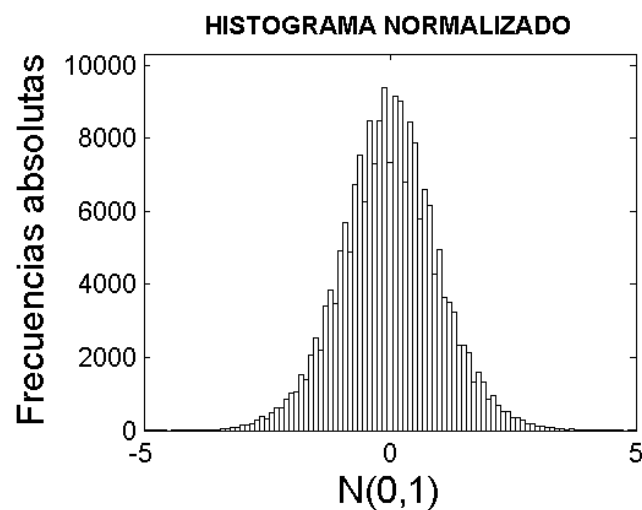


## ANEXO A

Reductora Sin Carcasa

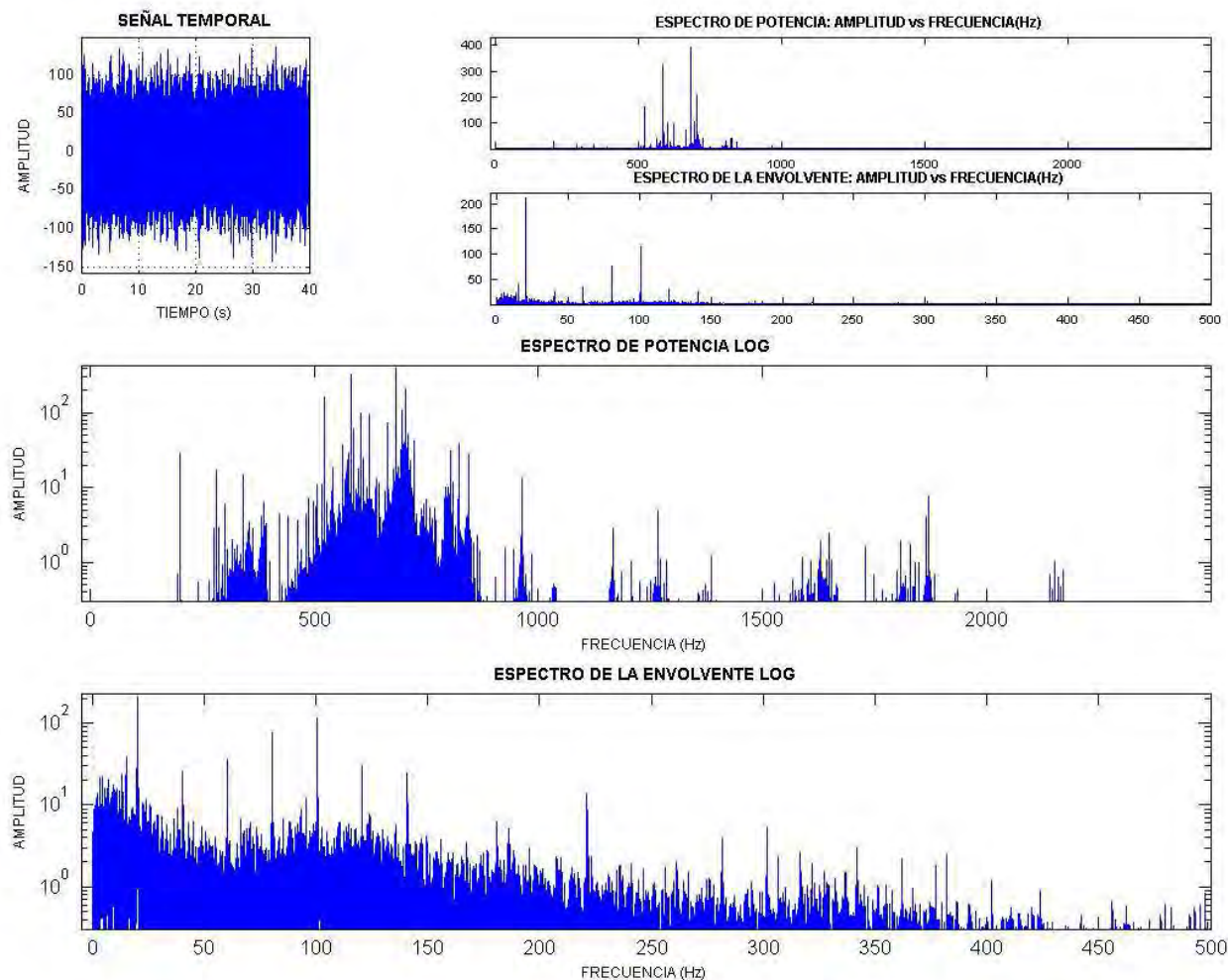
Punto 12

Velocidad (r.p.m) 1200



Media	-1.446704
Desviación Típica:	28.094285
Mediana:	-1.464844
Valor Máximo:	126.953130
Valor Mínimo:	-133.300780
Valor de Pico:	133.300780
Valor de Pico a Pico:	260.253910
Kurtosis:	3.522597
Sesgo:	0.009167
Valor Eficaz:	28.130808
Factor de Forma:	1.308555
Factor de Cresta:	4.738605
Varianza:	789.288859
Valor Medio:	21.502642
Moda:	-1.501123
Potencia del Espectro:	791.342348

## ANEXO A

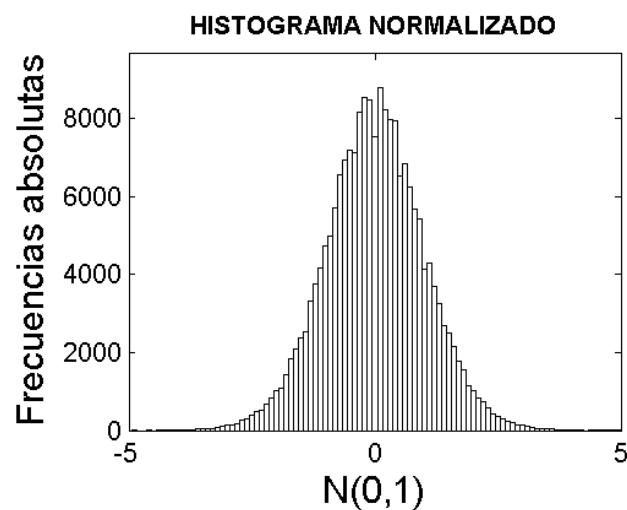


## ANEXO A

Reductora Sin Carcasa

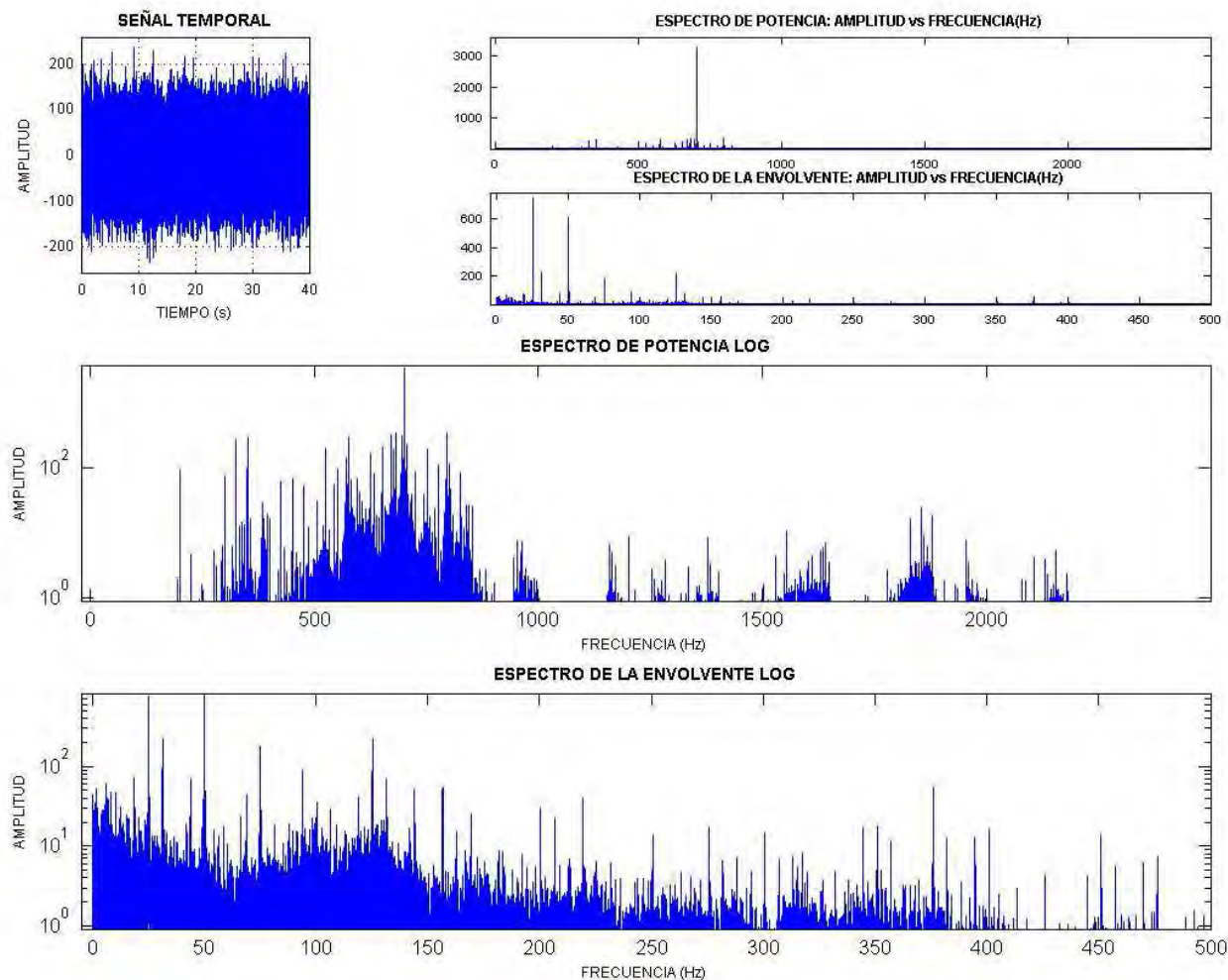
Punto 12

Velocidad (r.p.m) 1500



Media	-1.401025
Desviación Típica:	47.542650
Mediana:	-1.464844
Valor Máximo:	209.960940
Valor Mínimo:	-210.937500
Valor de Pico:	210.937500
Valor de Pico a Pico:	420.898440
Kurtosis:	3.426909
Sesgo:	0.007152
Valor Eficaz:	47.562100
Factor de Forma:	1.266433
Factor de Cresta:	4.434991
Varianza:	2260.303546
Valor Medio:	37.566668
Moda:	-1.592481
Potencia del Espectro:	2262.153403

## ANEXO A

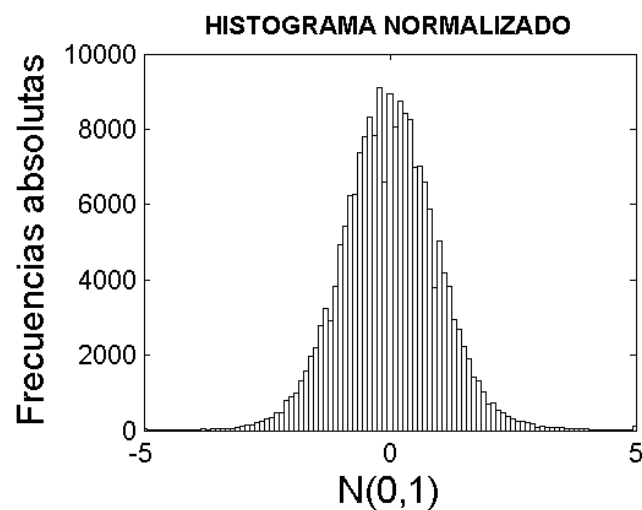


## ANEXO A

Reductora Sin Carcasa

Punto 13

Velocidad (r.p.m) 0



Media -0.000739

Desviación Típica: 0.005392

Mediana: -0.000773

Valor Máximo: 0.020860

Valor Mínimo: -0.023023

Valor de Pico: 0.023023

Valor de Pico a Pico: 0.043884

Kurtosis: 3.153112

Sesgo: 0.001386

Valor Eficaz: 0.005442

Factor de Forma: 1.177665

Factor de Cresta: 4.230467

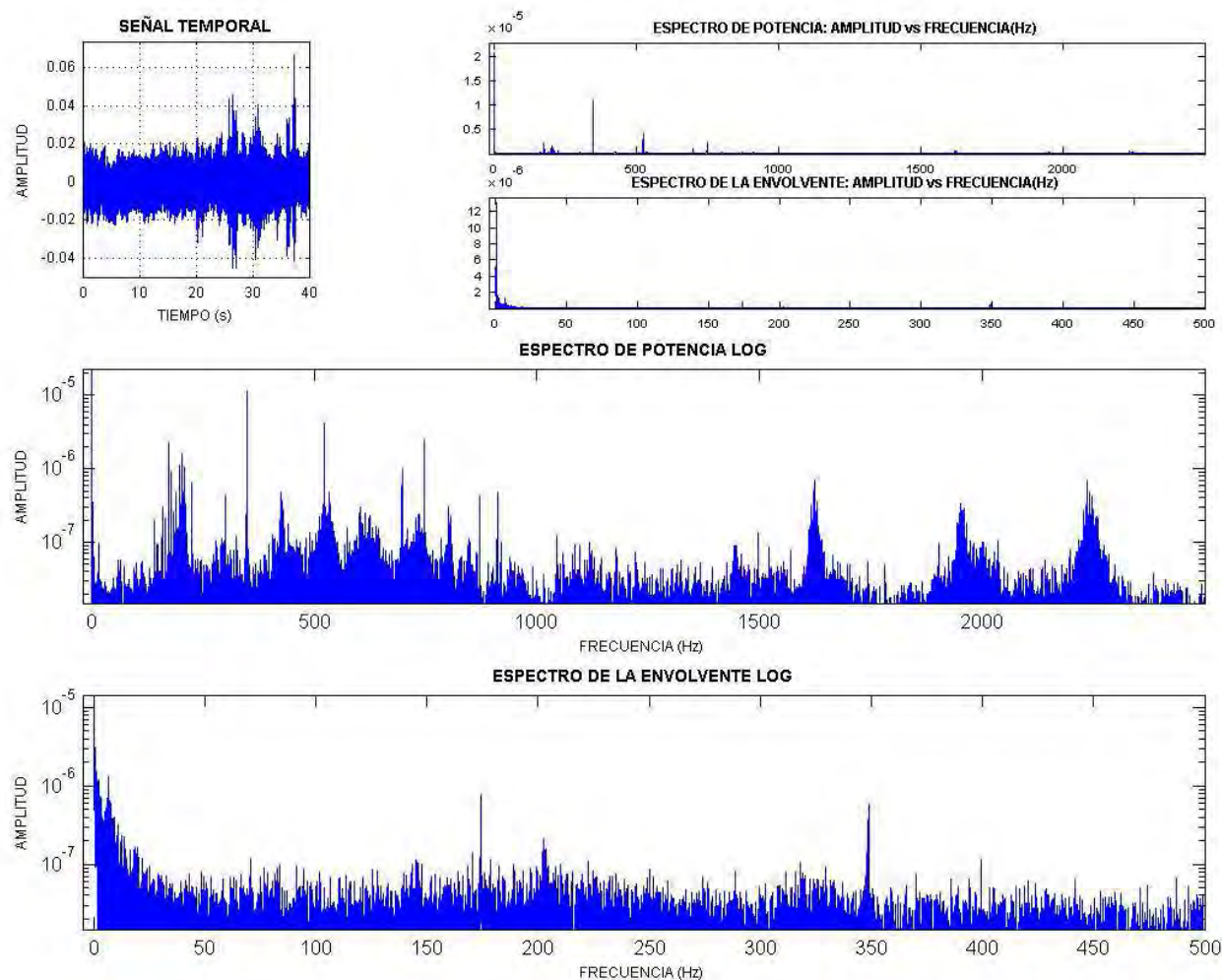
Varianza: 0.000029

Valor Medio: 0.004692

Moda: -0.000840

Potencia del Espectro: 0.000030

## ANEXO A



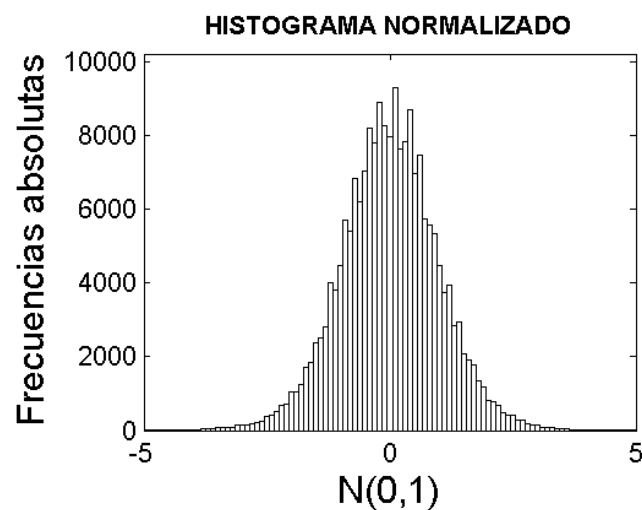


## ANEXO A

Reductora Sin Carcasa

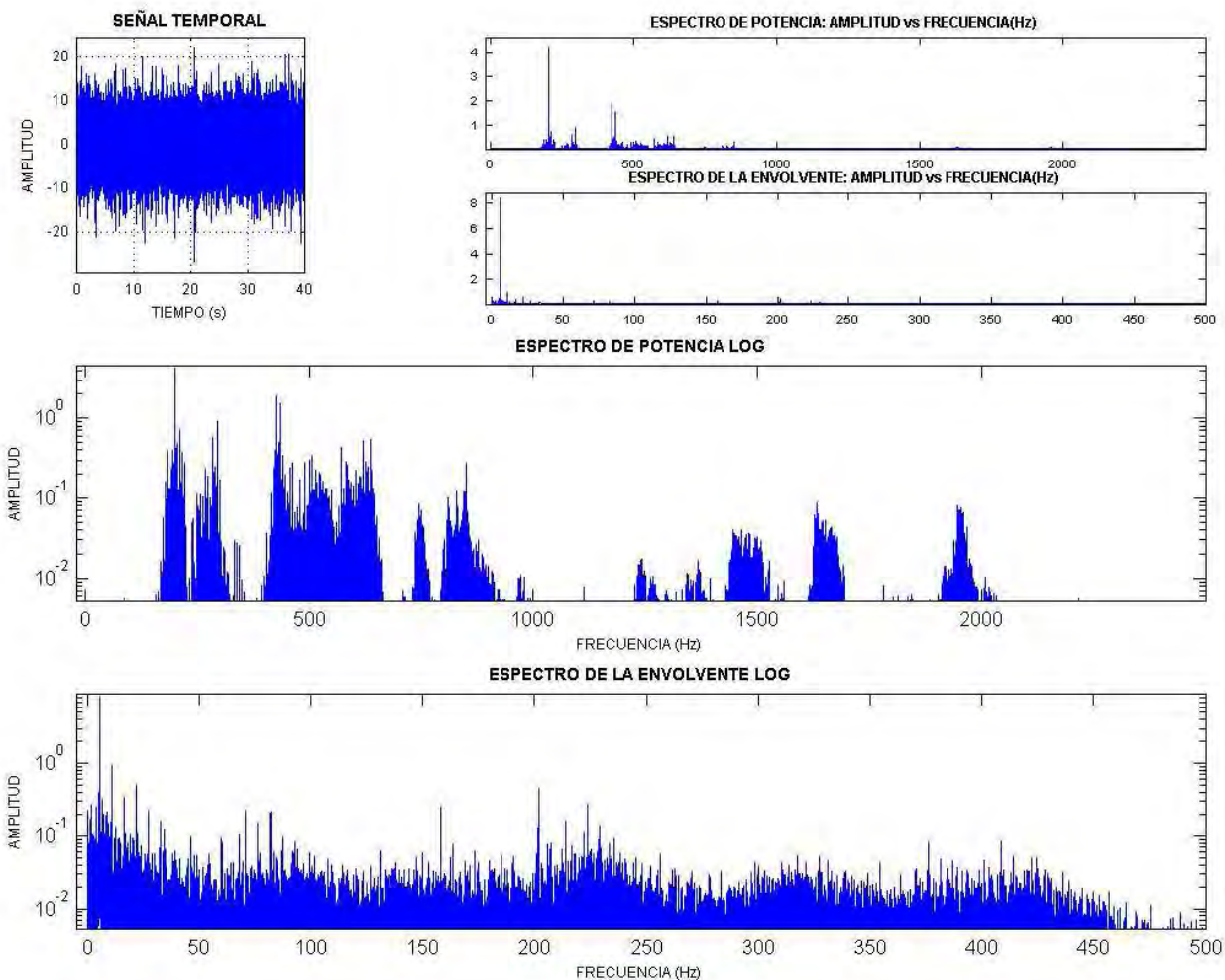
Punto 13

Velocidad (r.p.m) 300



Media	-0.135132
Desviación Típica:	3.586576
Mediana:	-0.146484
Valor Máximo:	17.822266
Valor Mínimo:	-21.337891
Valor de Pico:	21.337891
Valor de Pico a Pico:	39.160157
Kurtosis:	3.659074
Sesgo:	-0.002696
Valor Eficaz:	3.589031
Factor de Forma:	1.281069
Factor de Cresta:	5.945307
Varianza:	12.863525
Valor Medio:	2.802144
Moda:	-0.169189
Potencia del Espectro:	12.881142

## ANEXO A

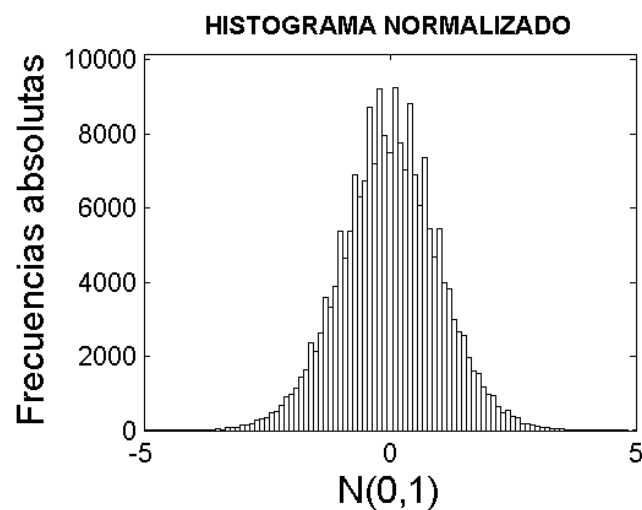


## ANEXO A

Reductora Sin Carcasa

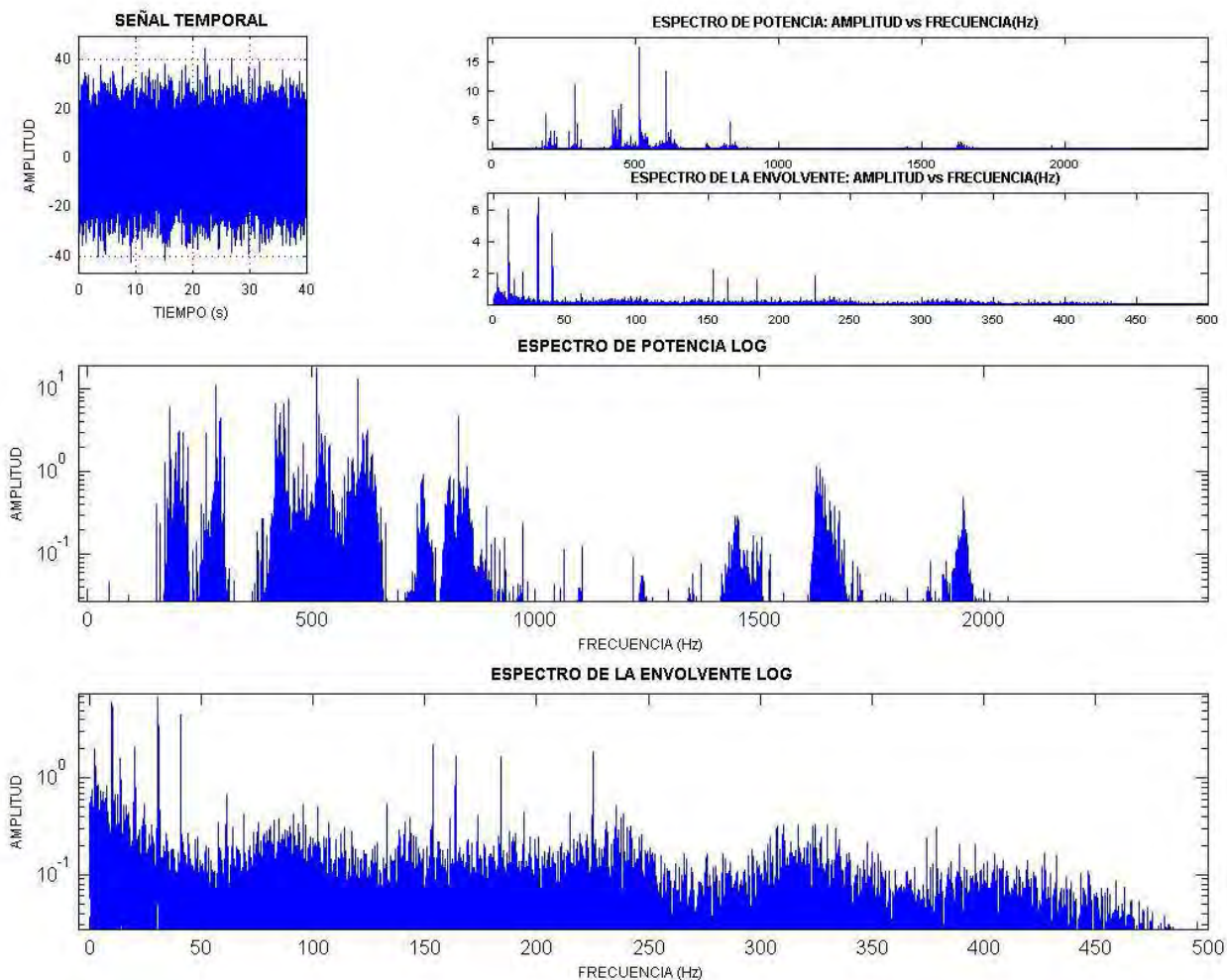
Punto 13

Velocidad (r.p.m) 600



Media	-0.455083
Desviación Típica:	8.391392
Mediana:	-0.463558
Valor Máximo:	37.857249
Valor Mínimo:	-40.020520
Valor de Pico:	40.020520
Valor de Pico a Pico:	77.877769
Kurtosis:	3.380998
Sesgo:	-0.023670
Valor Eficaz:	8.403514
Factor de Forma:	1.291278
Factor de Cresta:	4.762356
Varianza:	70.415462
Valor Medio:	6.510350
Moda:	-0.480509
Potencia del Espectro:	70.619042

## ANEXO A

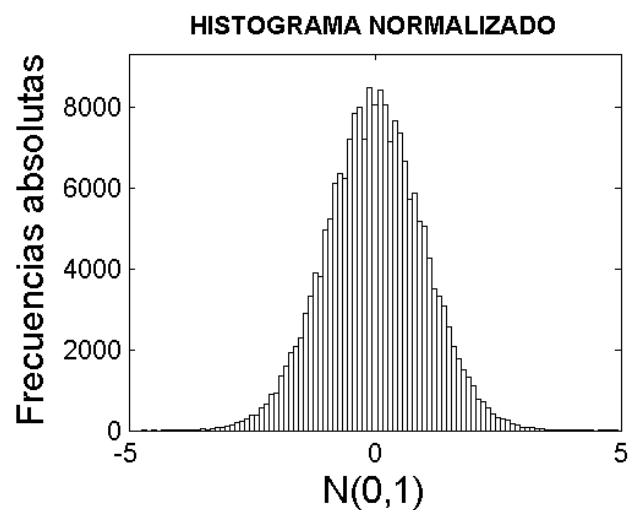


## ANEXO A

Reductora Sin Carcasa

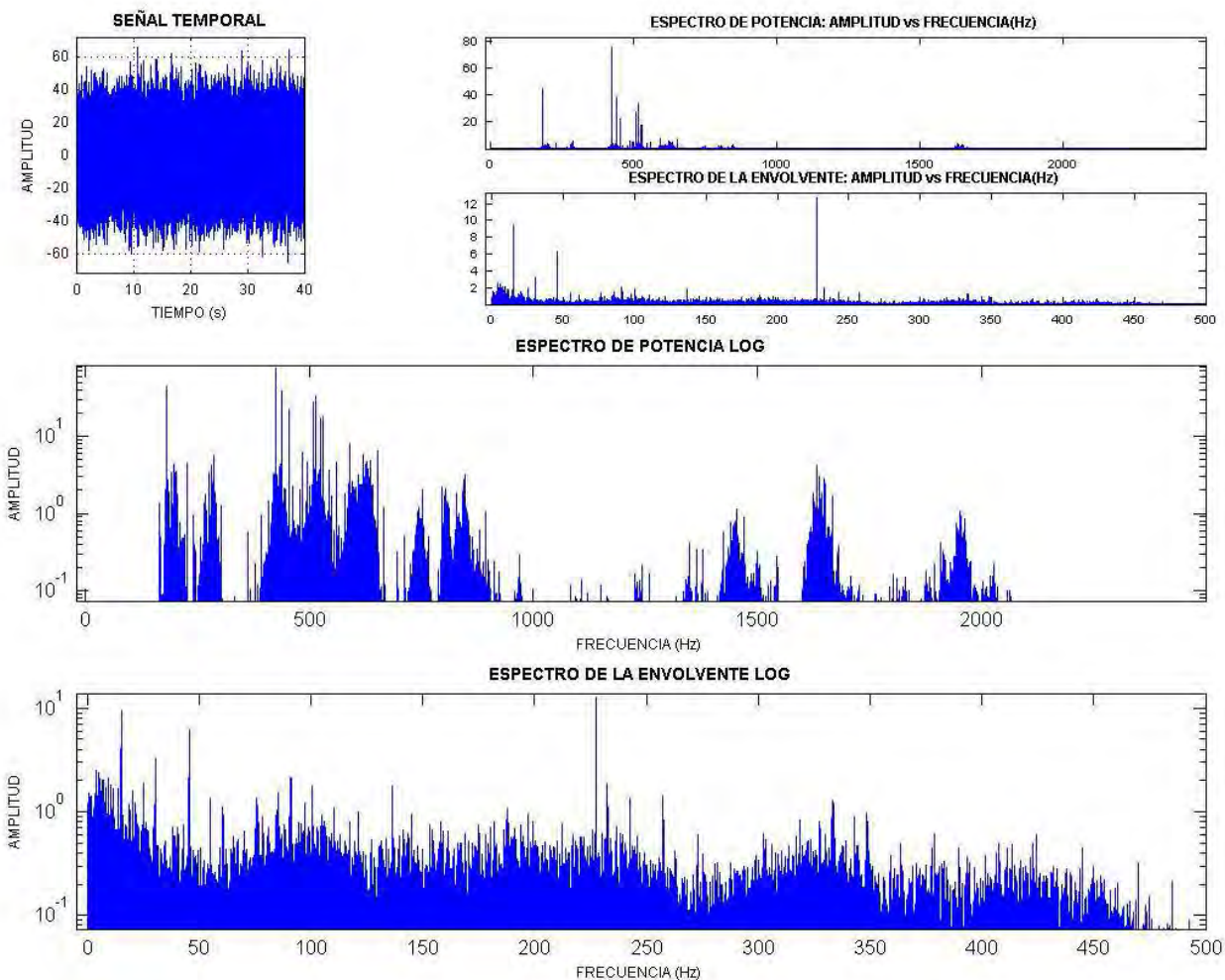
Punto 13

Velocidad (r.p.m) 900



Media	-0.445526
Desviación Típica:	13.547502
Mediana:	-0.618078
Valor Máximo:	54.081784
Valor Mínimo:	-57.481210
Valor de Pico:	57.481210
Valor de Pico a Pico:	111.562994
Kurtosis:	3.158383
Sesgo:	-0.000840
Valor Eficaz:	13.554487
Factor de Forma:	1.261017
Factor de Cresta:	4.240751
Varianza:	183.534800
Valor Medio:	10.750701
Moda:	-0.963181
Potencia del Espectro:	183.724116

## ANEXO A

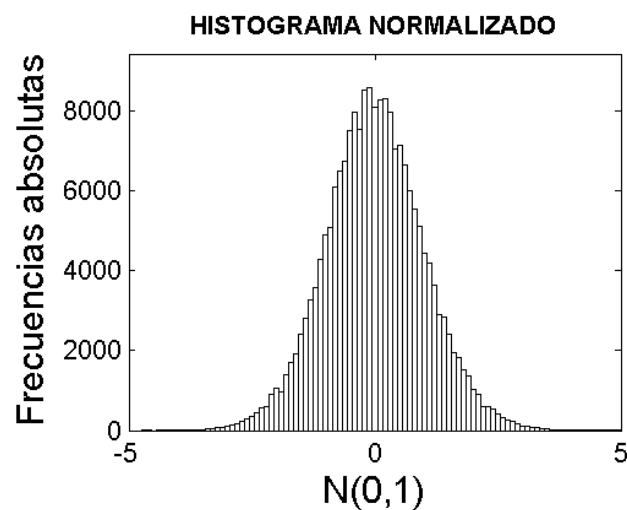


## ANEXO A

Reductora Sin Carcasa

Punto 13

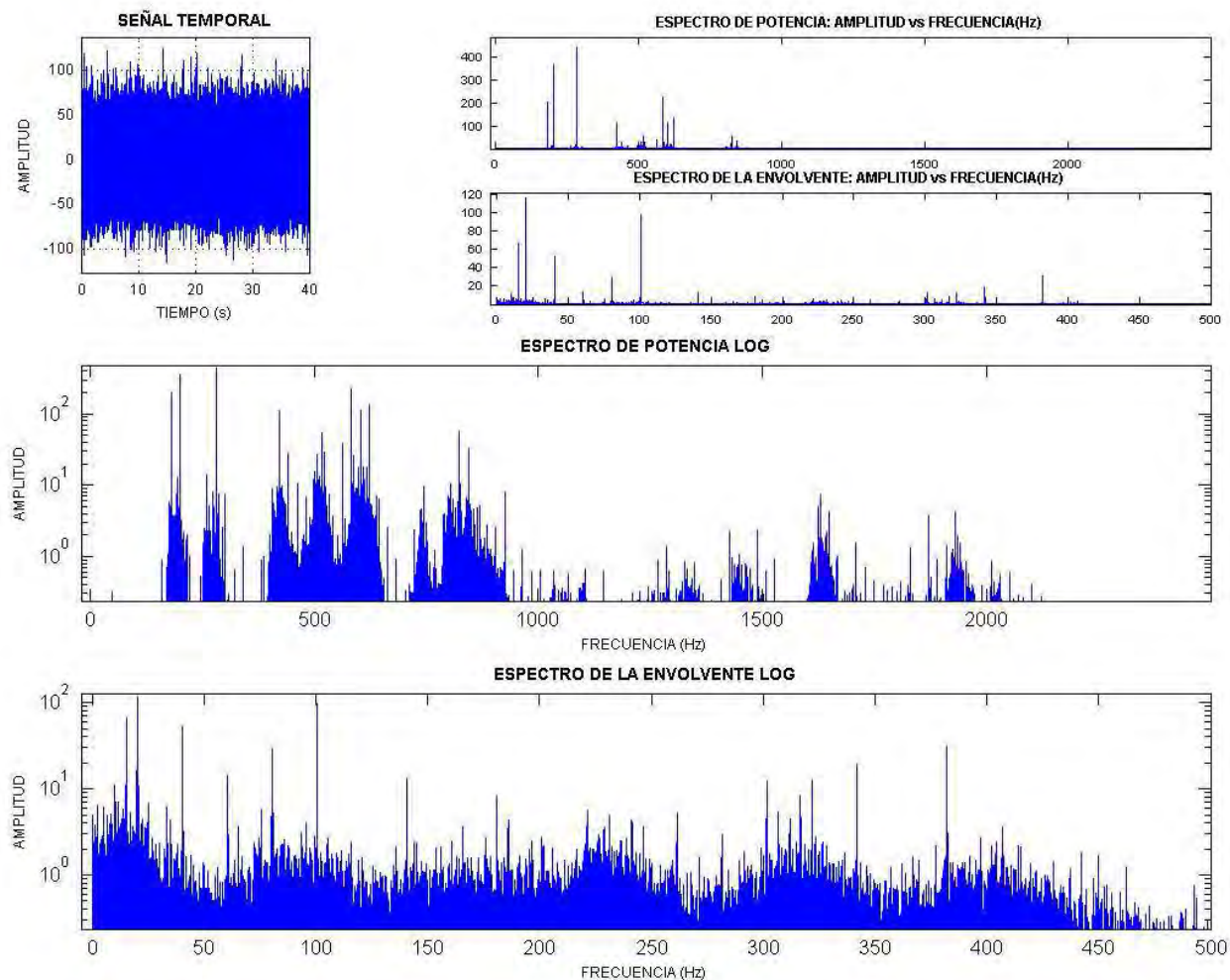
Velocidad (r.p.m) 1200



Media	-1.443726
Desviación Típica:	24.176395
Mediana:	-1.464844
Valor Máximo:	119.140630
Valor Mínimo:	-107.421880
Valor de Pico:	119.140630
Valor de Pico a Pico:	226.562510
Kurtosis:	3.458359
Sesgo:	0.066476
Valor Eficaz:	24.218861
Factor de Forma:	1.263596
Factor de Cresta:	4.919333
Varianza:	584.498090
Valor Medio:	19.170637
Moda:	-1.507080
Potencia del Espectro:	586.553209



## ANEXO A

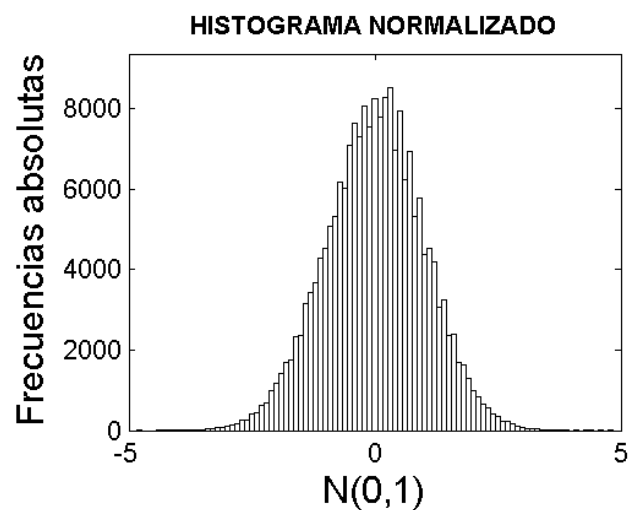


## ANEXO A

Reductora Sin Carcasa

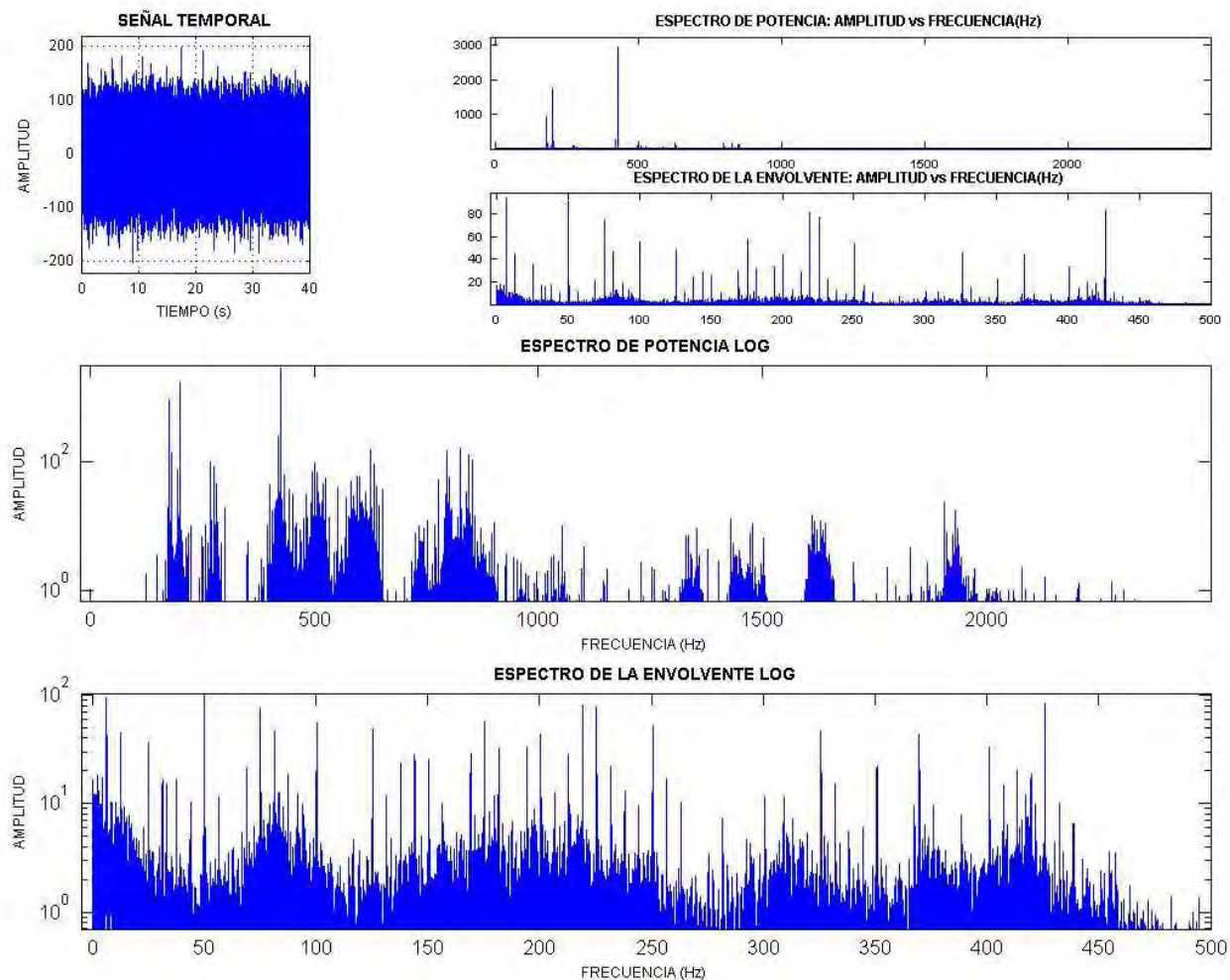
Punto 13

Velocidad (r.p.m) 1500



Media	-1.421704
Desviación Típica:	40.905117
Mediana:	-0.488281
Valor Máximo:	168.945310
Valor Mínimo:	-173.339840
Valor de Pico:	173.339840
Valor de Pico a Pico:	342.285150
Kurtosis:	3.098426
Sesgo:	-0.068189
Valor Eficaz:	40.928794
Factor de Forma:	1.231555
Factor de Cresta:	4.235156
Varianza:	1673.228571
Valor Medio:	33.246965
Moda:	1.378564
Potencia del Espectro:	1675.166153

# ANEXO A

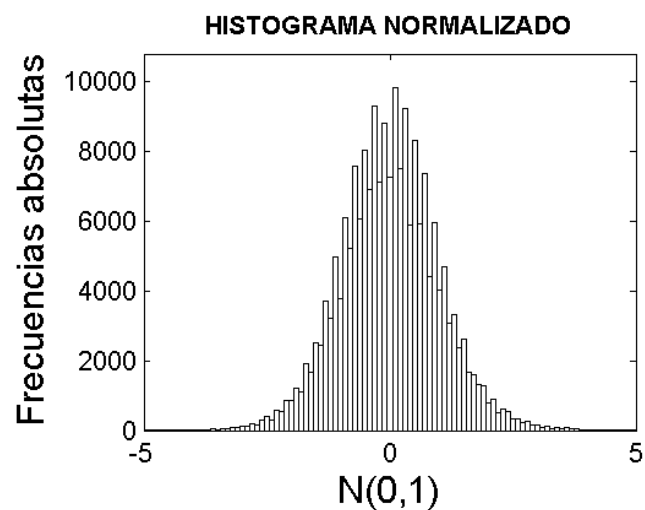


## ANEXO A

Reductora Sin Carcasa

Punto 14

Velocidad (r.p.m) 0



Media 0.000353

Desviación Típica: 0.004474

Mediana: 0.000309

Valor Máximo: 0.018851

Valor Mínimo: -0.016997

Valor de Pico: 0.018851

Valor de Pico a Pico: 0.035848

Kurtosis: 2.951880

Sesgo: 0.026963

Valor Eficaz: 0.004488

Factor de Forma: 1.087483

Factor de Cresta: 4.200675

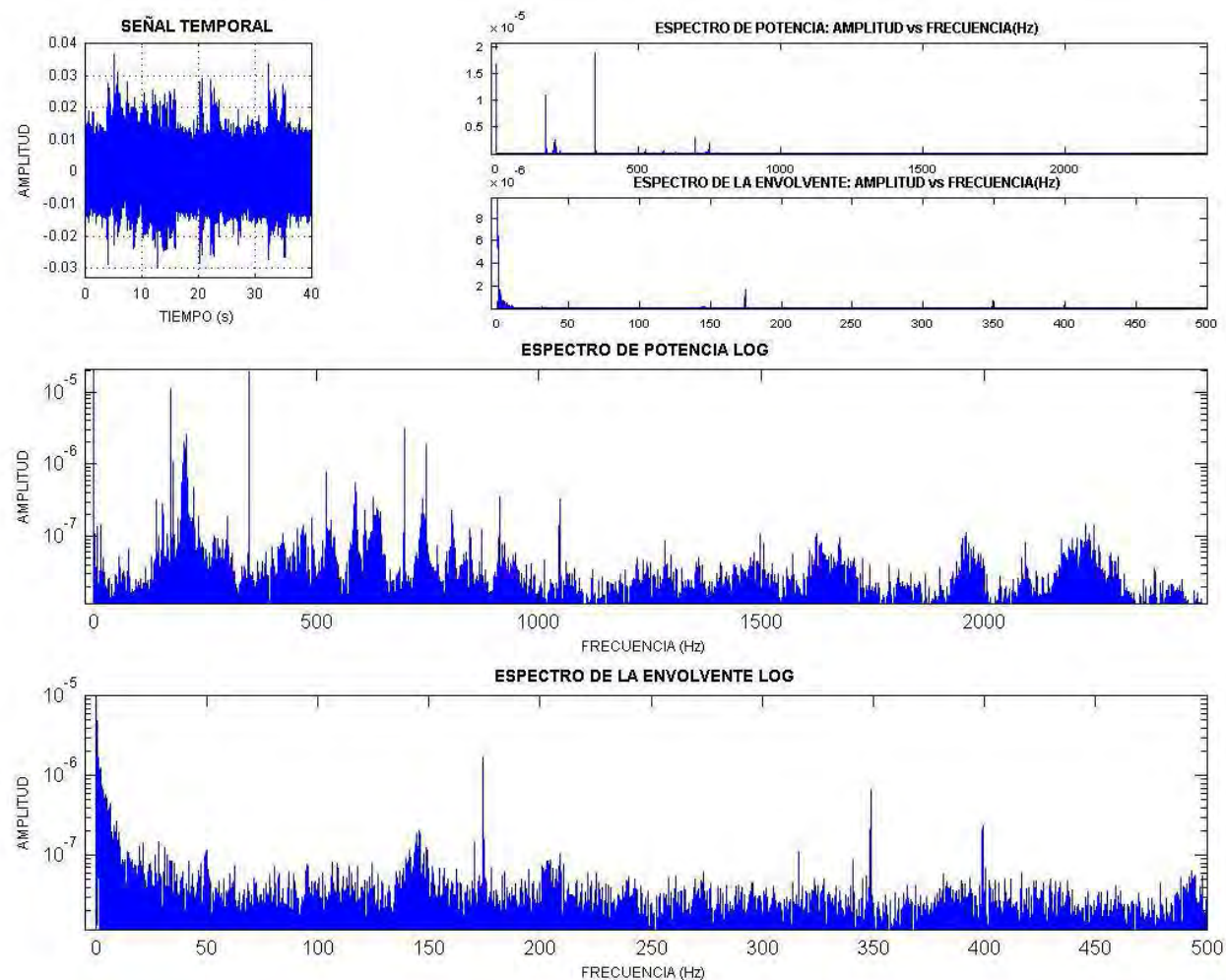
Varianza: 0.000020

Valor Medio: 0.004230

Moda: 0.000222

Potencia del Espectro: 0.000020

## ANEXO A

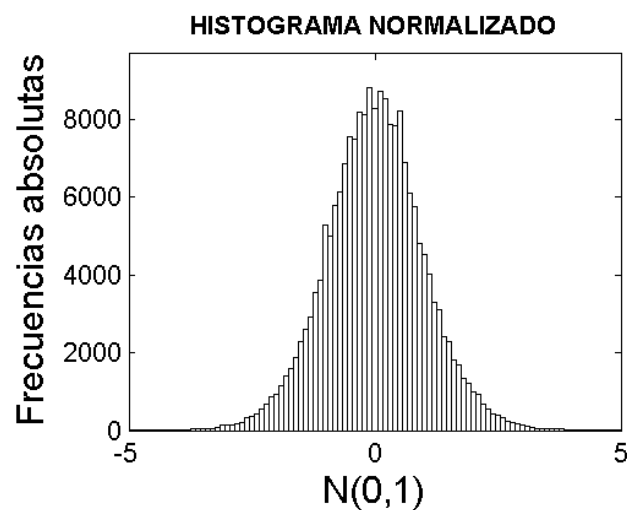


## ANEXO A

Reductora Sin Carcasa

Punto 14

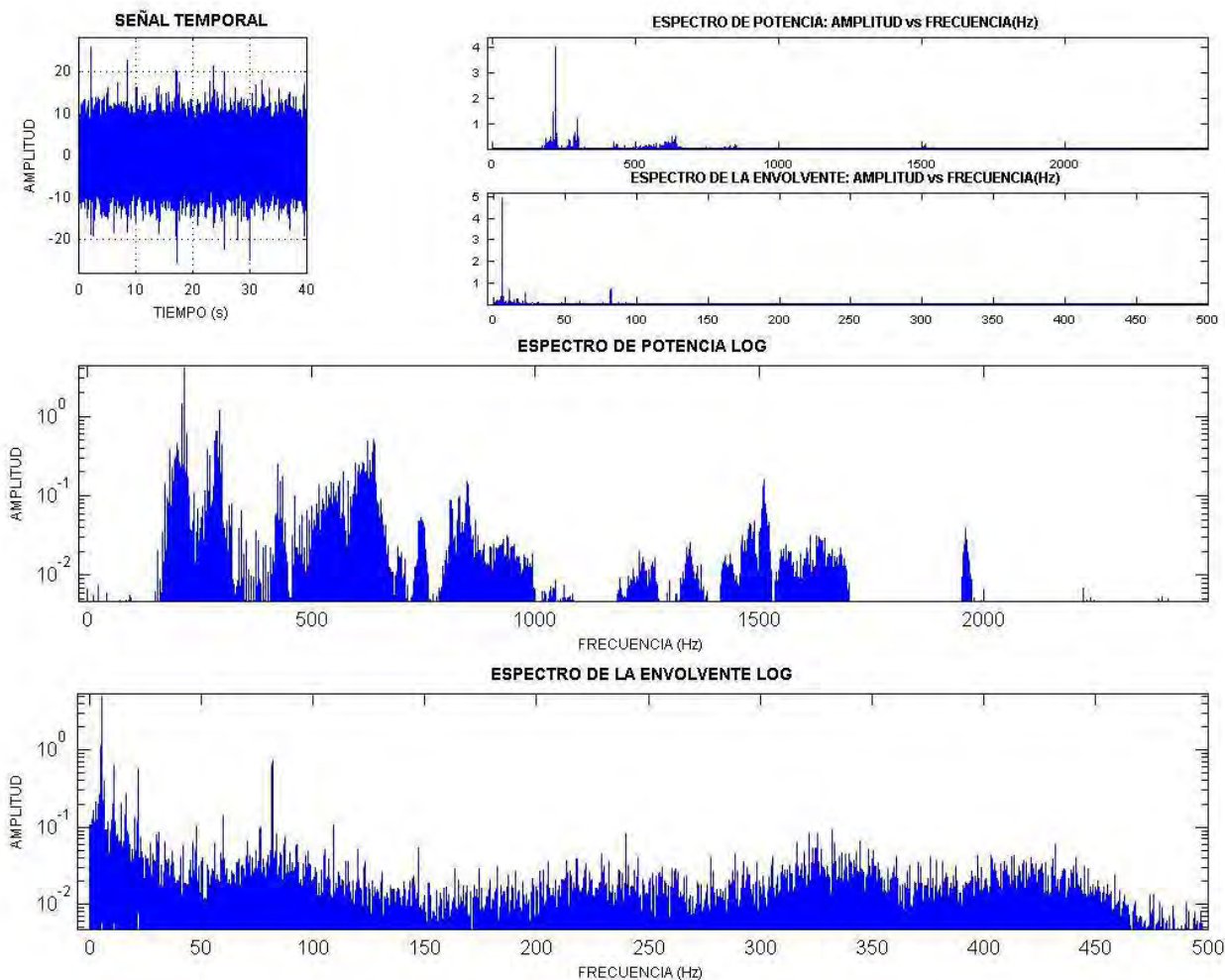
Velocidad (r.p.m) 300



Media	-0.143281
Desviación Típica:	3.434525
Mediana:	-0.146484
Valor Máximo:	25.732422
Valor Mínimo:	-19.091797
Valor de Pico:	25.732422
Valor de Pico a Pico:	44.824219
Kurtosis:	3.786017
Sesgo:	0.071699
Valor Eficaz:	3.437427
Factor de Forma:	1.283794
Factor de Cresta:	7.485955
Varianza:	11.795964
Valor Medio:	2.678242
Moda:	-0.152891
Potencia del Espectro:	11.815903



## ANEXO A



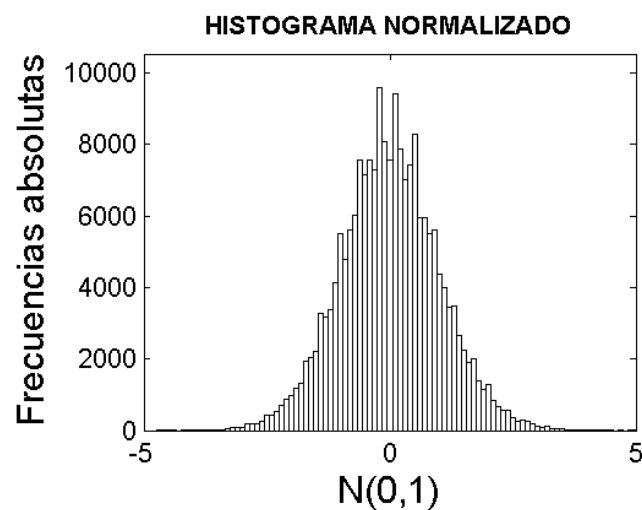


## ANEXO A

Reductora Sin Carcasa

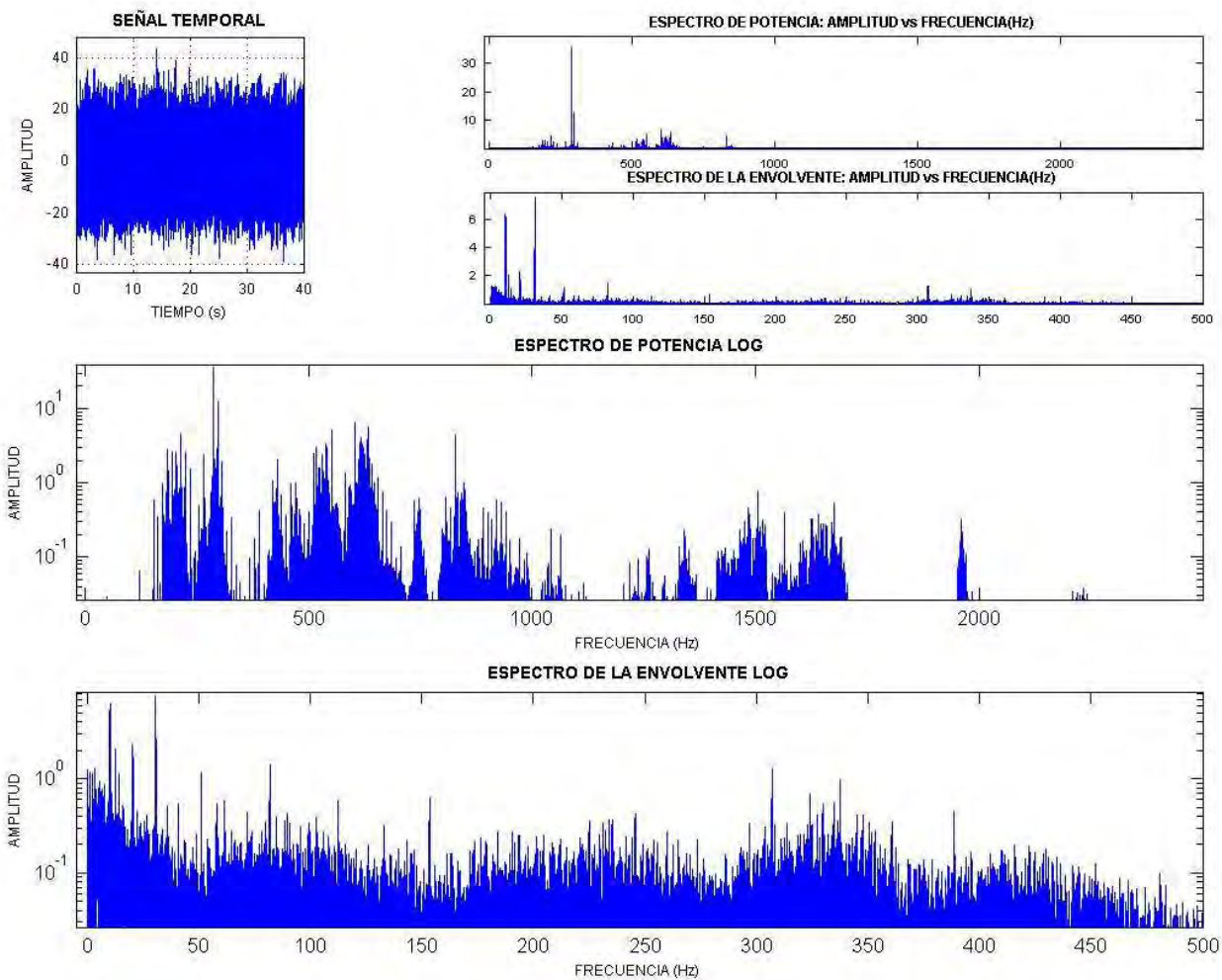
Punto 14

Velocidad (r.p.m) 600



Media	-0.449551
Desviación Típica:	8.310414
Mediana:	-0.463558
Valor Máximo:	35.539458
Valor Mínimo:	-38.011768
Valor de Pico:	38.011768
Valor de Pico a Pico:	73.551226
Kurtosis:	3.353317
Sesgo:	0.020697
Valor Eficaz:	8.322357
Factor de Forma:	1.298118
Factor de Cresta:	4.567428
Varianza:	69.062975
Valor Medio:	6.412994
Moda:	-0.491573
Potencia del Espectro:	69.261618

## ANEXO A

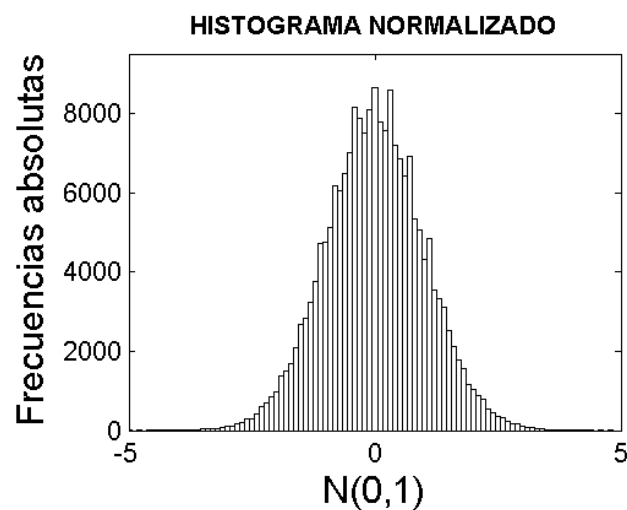


## ANEXO A

Reductora Sin Carcasa

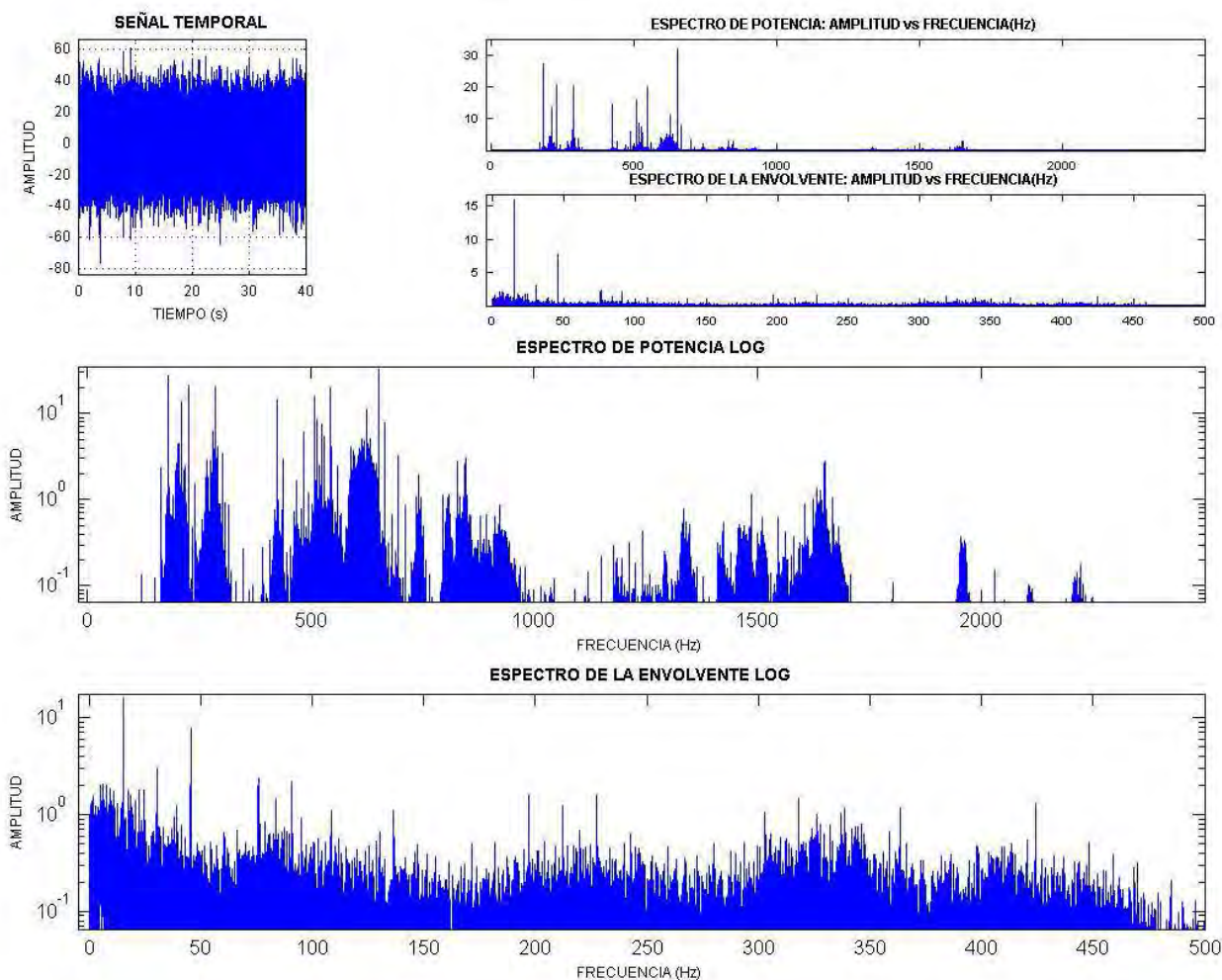
Punto 14

Velocidad (r.p.m) 900



Media	-0.467398
Desviación Típica:	13.066367
Mediana:	-0.463558
Valor Máximo:	54.545342
Valor Mínimo:	-76.023536
Valor de Pico:	76.023536
Valor de Pico a Pico:	130.568878
Kurtosis:	3.274851
Sesgo:	-0.000434
Valor Eficaz:	13.074398
Factor de Forma:	1.290271
Factor de Cresta:	5.814687
Varianza:	170.729950
Valor Medio:	10.135034
Moda:	-0.455879
Potencia del Espectro:	170.939874

## ANEXO A

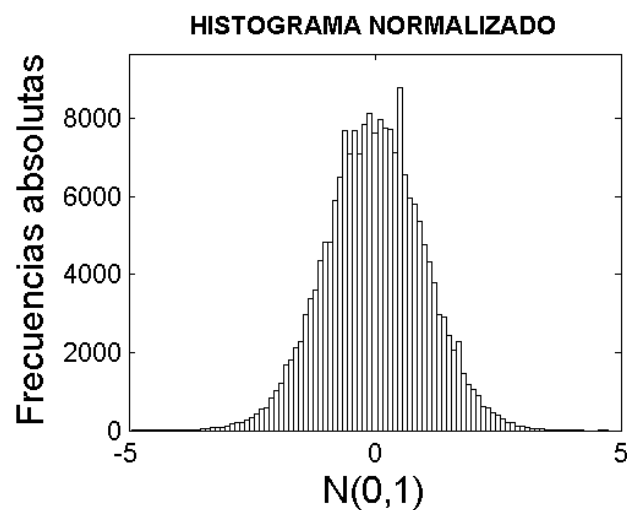


## ANEXO A

Reductora Sin Carcasa

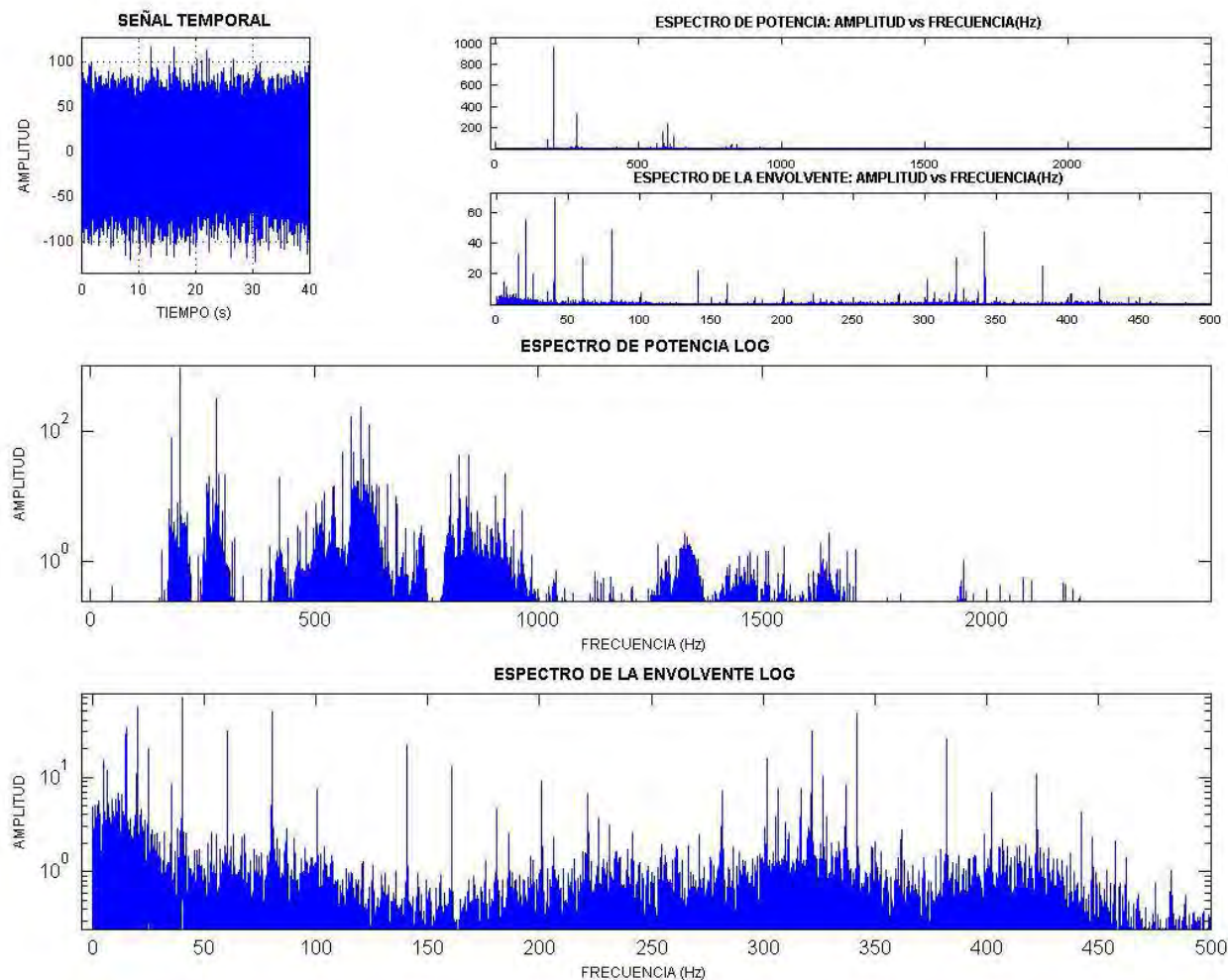
Punto 14

Velocidad (r.p.m) 1200



Media	-1.416162
Desviación Típica:	25.439748
Mediana:	-0.976563
Valor Máximo:	100.585940
Valor Mínimo:	-104.492190
Valor de Pico:	104.492190
Valor de Pico a Pico:	205.078130
Kurtosis:	3.174020
Sesgo:	-0.026851
Valor Eficaz:	25.478500
Factor de Forma:	1.291395
Factor de Cresta:	4.101191
Varianza:	647.180796
Valor Medio:	19.735115
Moda:	-0.097363
Potencia del Espectro:	649.153953

## ANEXO A

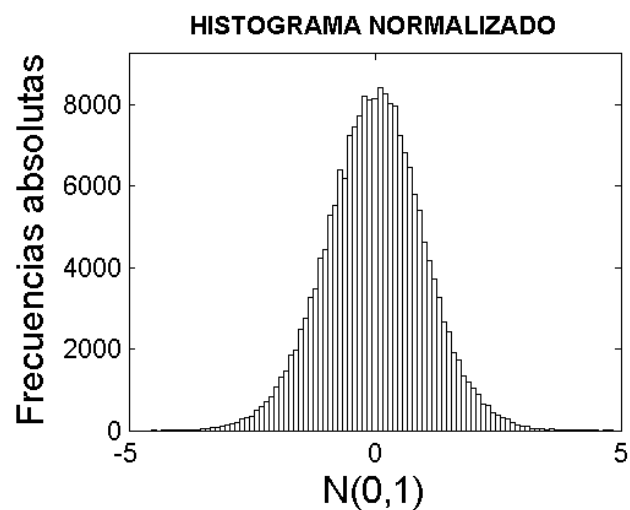


## ANEXO A

Reductora Sin Carcasa

Punto 14

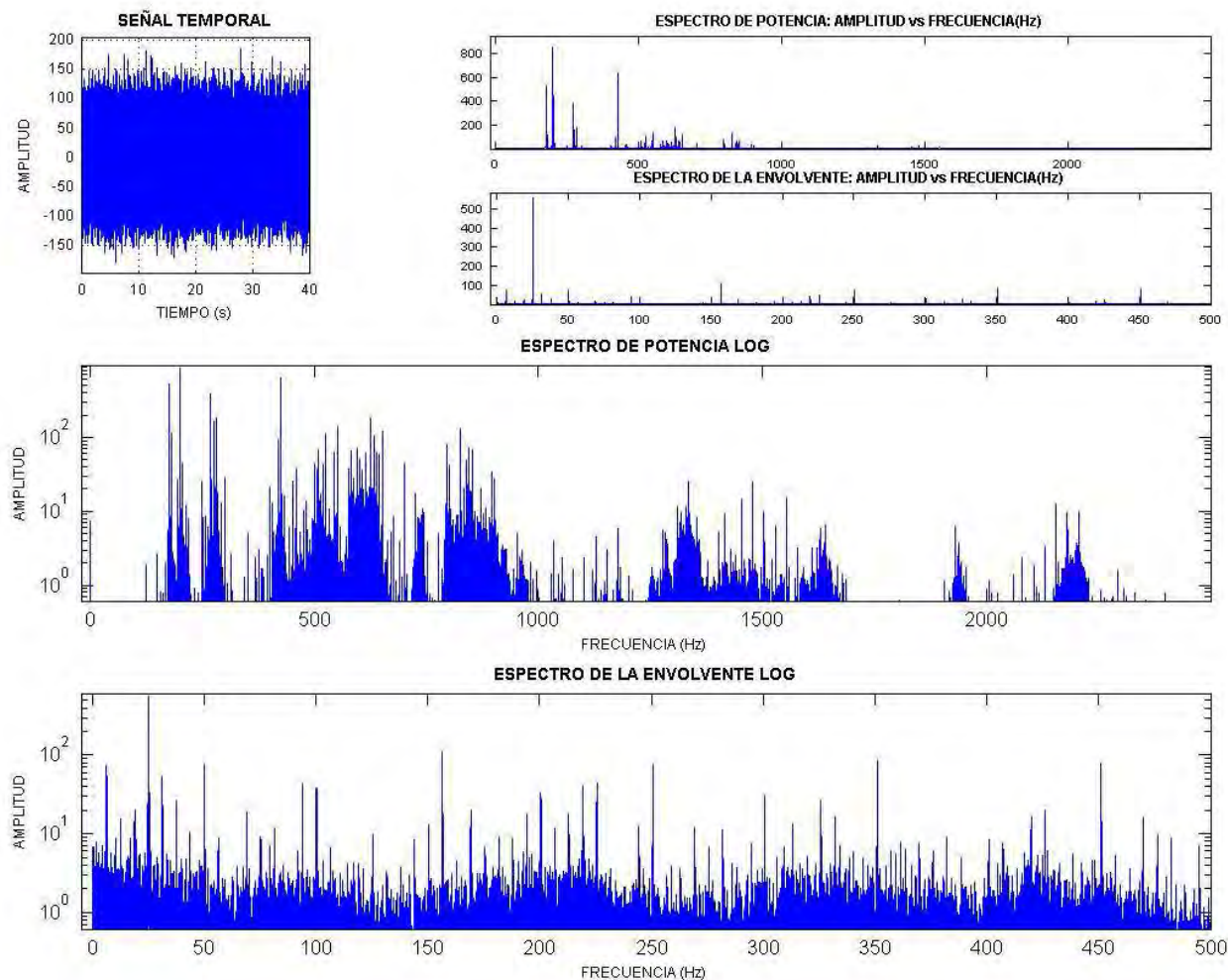
Velocidad (r.p.m) 1500



Media	-1.446143
Desviación Típica:	38.933988
Mediana:	-1.220703
Valor Máximo:	149.414060
Valor Mínimo:	-149.414060
Valor de Pico:	149.414060
Valor de Pico a Pico:	298.828120
Kurtosis:	3.238241
Sesgo:	-0.035758
Valor Eficaz:	38.959864
Factor de Forma:	1.265839
Factor de Cresta:	3.835077
Varianza:	1515.855448
Valor Medio:	30.780352
Moda:	-0.769824
Potencia del Espectro:	1517.870983



## ANEXO A

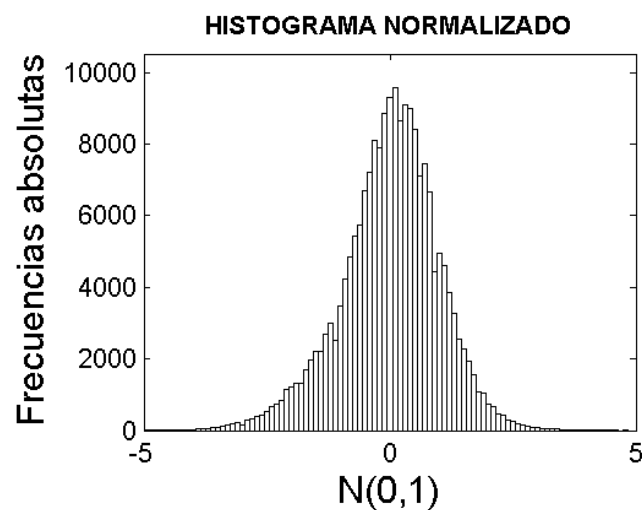


## ANEXO A

Reductora Sin Carcasa

Punto 15

Velocidad (r.p.m) 0



Media 0.000232

Desviación Típica: 0.005125

Mediana: 0.000309

Valor Máximo: 0.020551

Valor Mínimo: -0.030595

Valor de Pico: 0.030595

Valor de Pico a Pico: 0.051146

Kurtosis: 3.028224

Sesgo: -0.099340

Valor Eficaz: 0.005130

Factor de Forma: 1.224179

Factor de Cresta: 5.964136

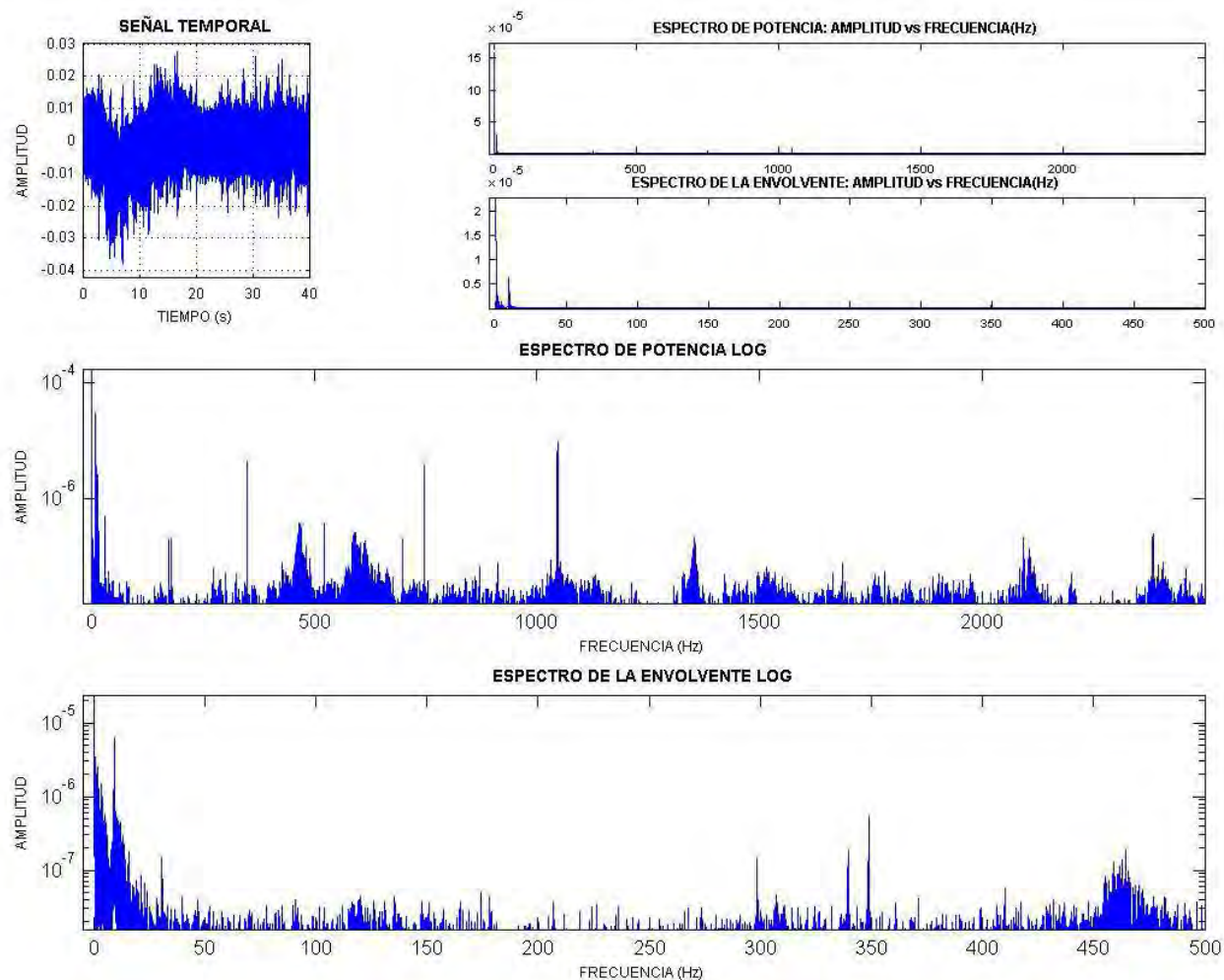
Varianza: 0.000026

Valor Medio: 0.004764

Moda: 0.000463

Potencia del Espectro: 0.000026

## ANEXO A

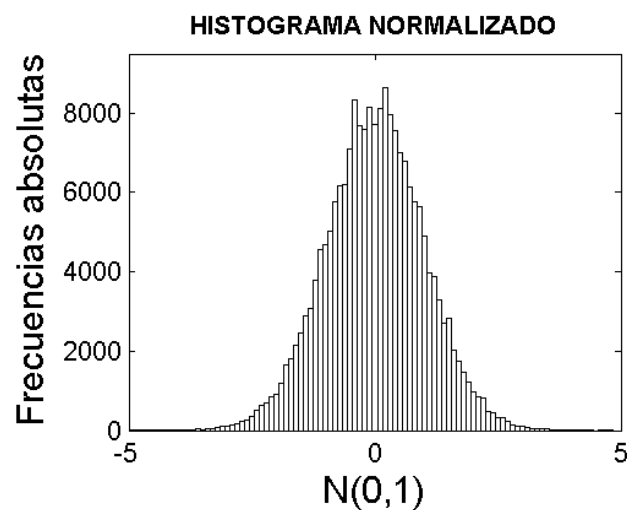


## ANEXO A

Reductora Sin Carcasa

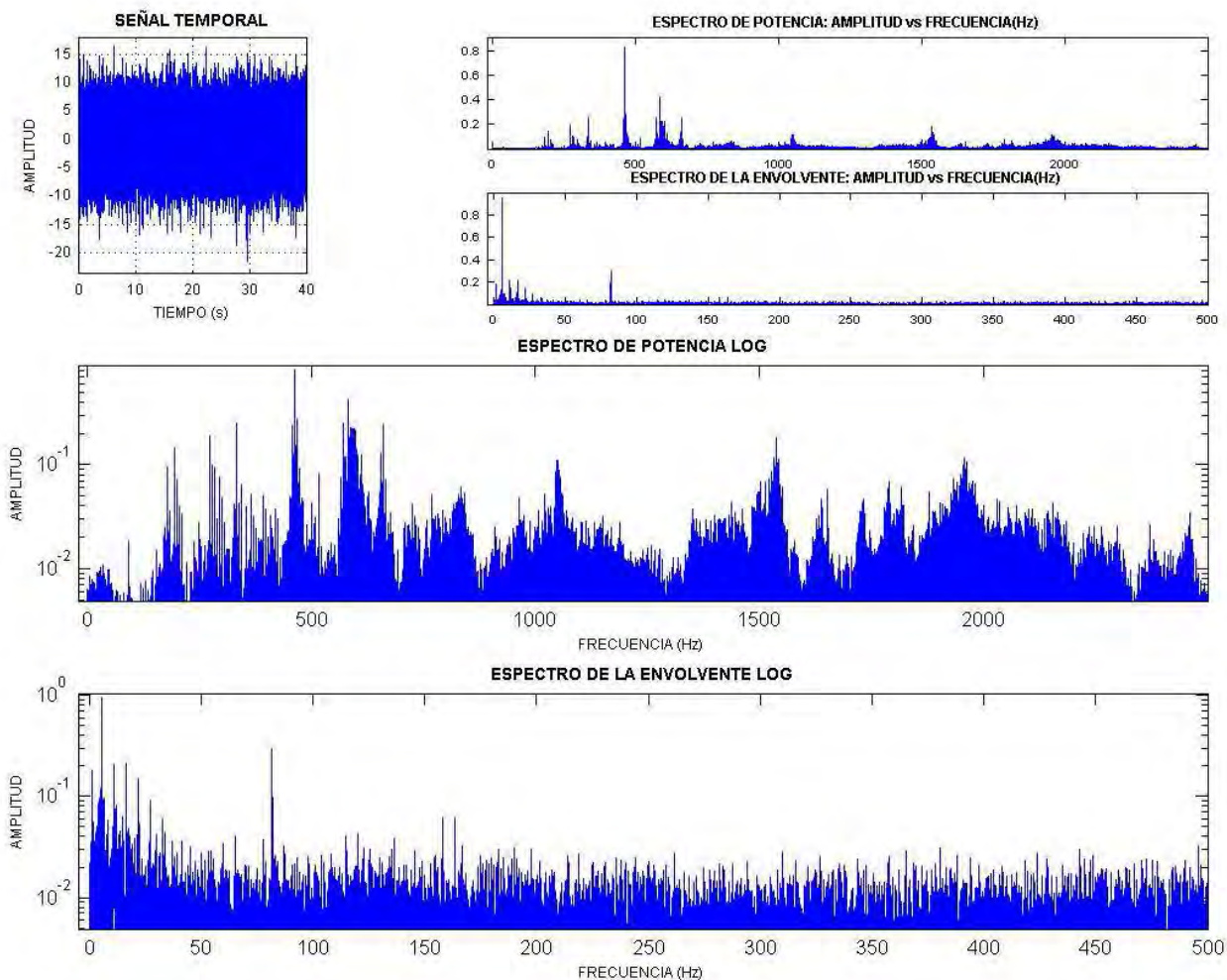
Punto 15

Velocidad (r.p.m) 300



Media	-0.134265
Desviación Típica:	3.513086
Mediana:	-0.146484
Valor Máximo:	14.941406
Valor Mínimo:	-17.724609
Valor de Pico:	17.724609
Valor de Pico a Pico:	32.666015
Kurtosis:	3.307110
Sesgo:	-0.052607
Valor Eficaz:	3.515563
Factor de Forma:	1.272463
Factor de Cresta:	5.041756
Varianza:	12.341771
Valor Medio:	2.763123
Moda:	-0.170923
Potencia del Espectro:	12.359181

## ANEXO A

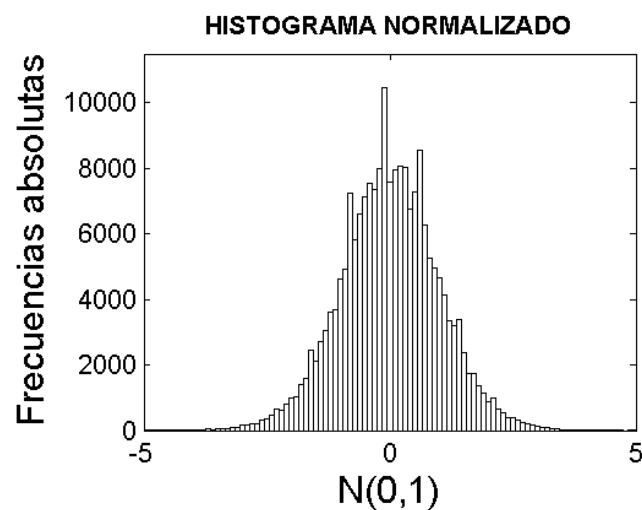


## ANEXO A

Reductora Sin Carcasa

Punto 15

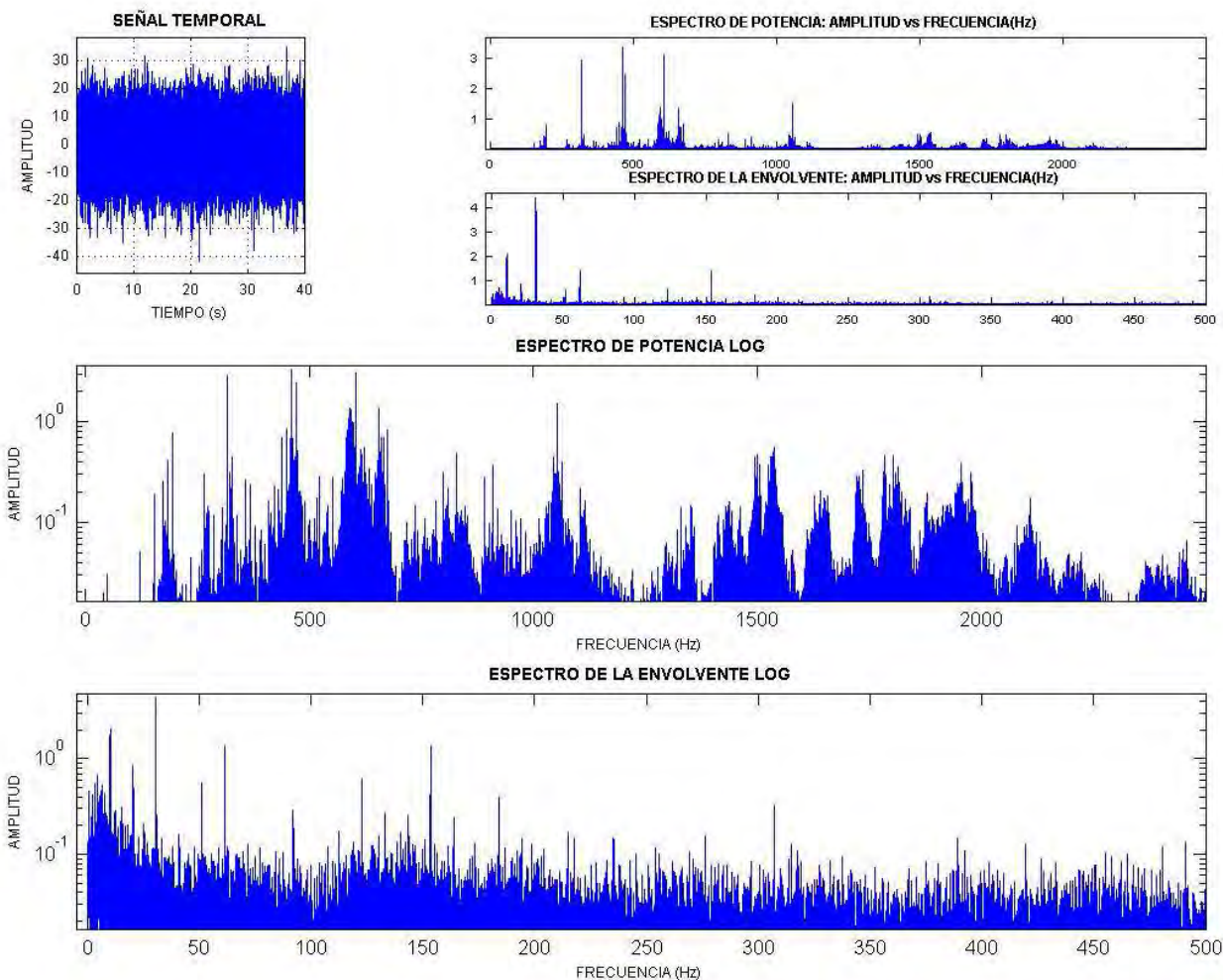
Velocidad (r.p.m) 600



Media	-0.449342
Desviación Típica:	6.517806
Mediana:	-0.463558
Valor Máximo:	30.594838
Valor Mínimo:	-33.376187
Valor de Pico:	33.376187
Valor de Pico a Pico:	63.971025
Kurtosis:	3.483126
Sesgo:	-0.047311
Valor Eficaz:	6.533114
Factor de Forma:	1.301989
Factor de Cresta:	5.108772
Varianza:	42.481792
Valor Medio:	5.018209
Moda:	-0.491990
Potencia del Espectro:	42.681577



## ANEXO A



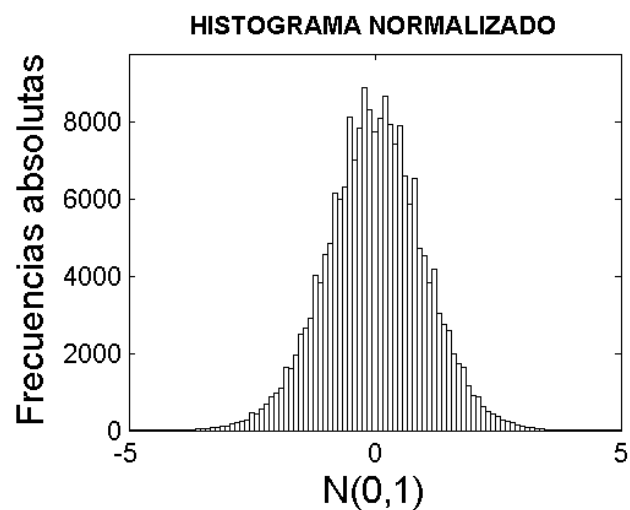


## ANEXO A

Reductora Sin Carcasa

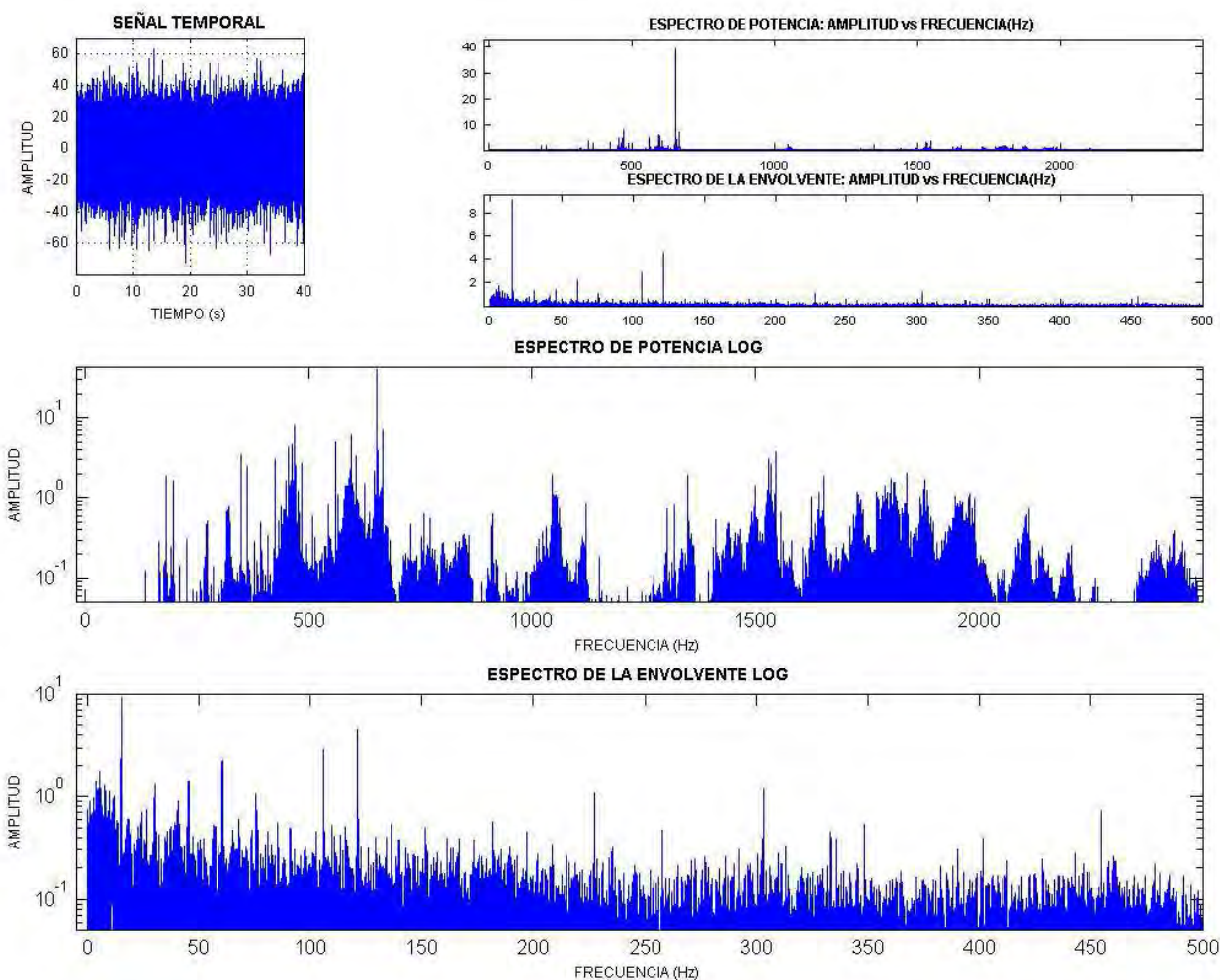
Punto 15

Velocidad (r.p.m) 900



Media	-0.473509
Desviación Típica:	11.178294
Mediana:	-0.463558
Valor Máximo:	45.119660
Valor Mínimo:	-52.382071
Valor de Pico:	52.382071
Valor de Pico a Pico:	97.501731
Kurtosis:	3.372288
Sesgo:	-0.034097
Valor Eficaz:	11.188039
Factor de Forma:	1.265068
Factor de Cresta:	4.681971
Varianza:	124.954257
Valor Medio:	8.845009
Moda:	-0.443656
Potencia del Espectro:	125.172220

# ANEXO A

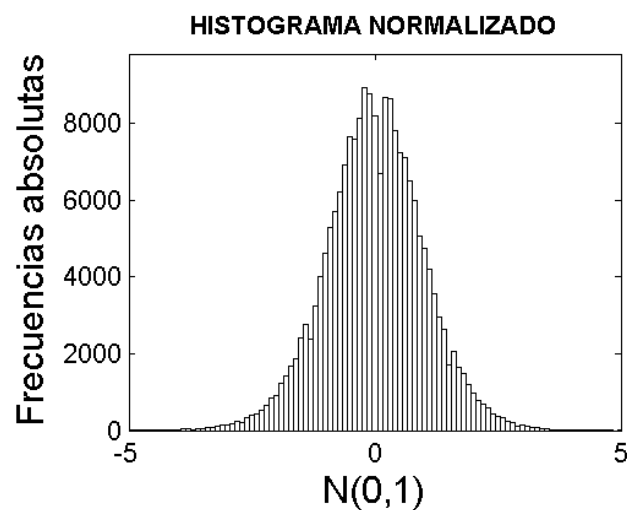


## ANEXO A

Reductora Sin Carcasa

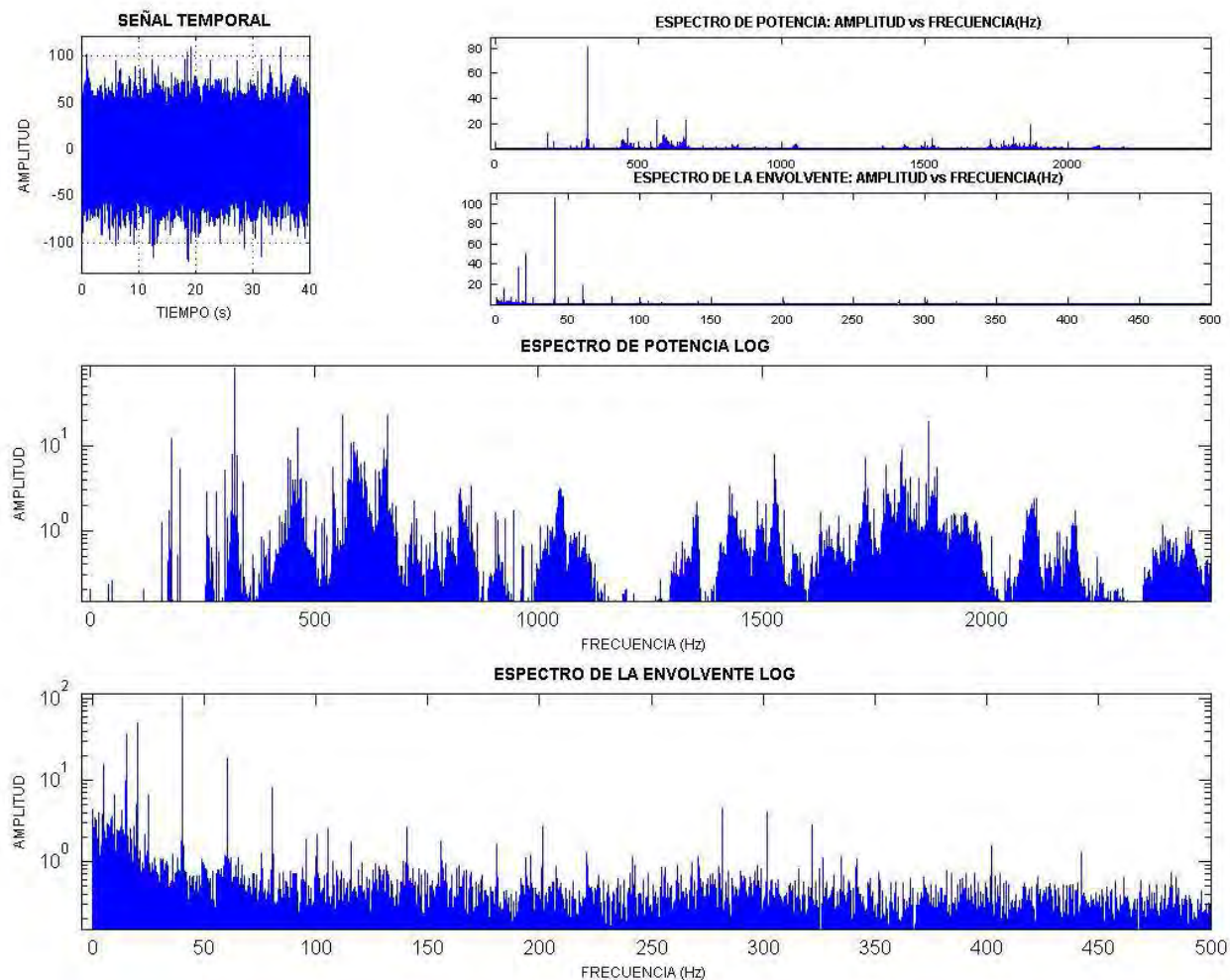
Punto 15

Velocidad (r.p.m) 1200



Media	-1.415747
Desviación Típica:	18.849280
Mediana:	-1.464844
Valor Máximo:	102.539060
Valor Mínimo:	-91.308594
Valor de Pico:	102.539060
Valor de Pico a Pico:	193.847654
Kurtosis:	3.716174
Sesgo:	-0.015534
Valor Eficaz:	18.901902
Factor de Forma:	1.264608
Factor de Cresta:	5.424801
Varianza:	355.295340
Valor Medio:	14.953674
Moda:	-1.563037
Potencia del Espectro:	357.281915

## ANEXO A

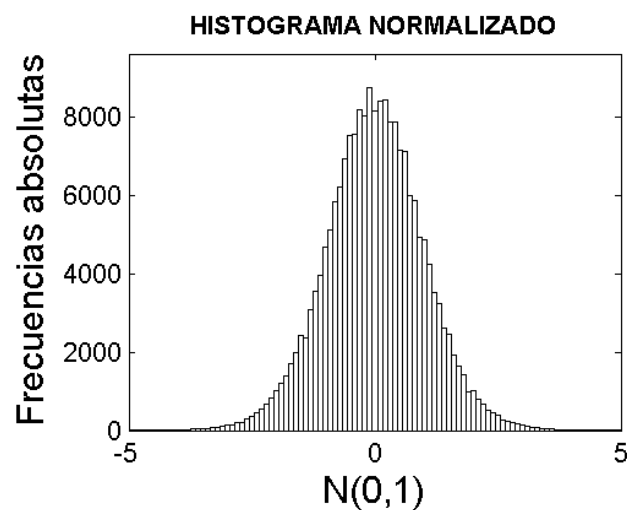


## ANEXO A

Reductora Sin Carcasa

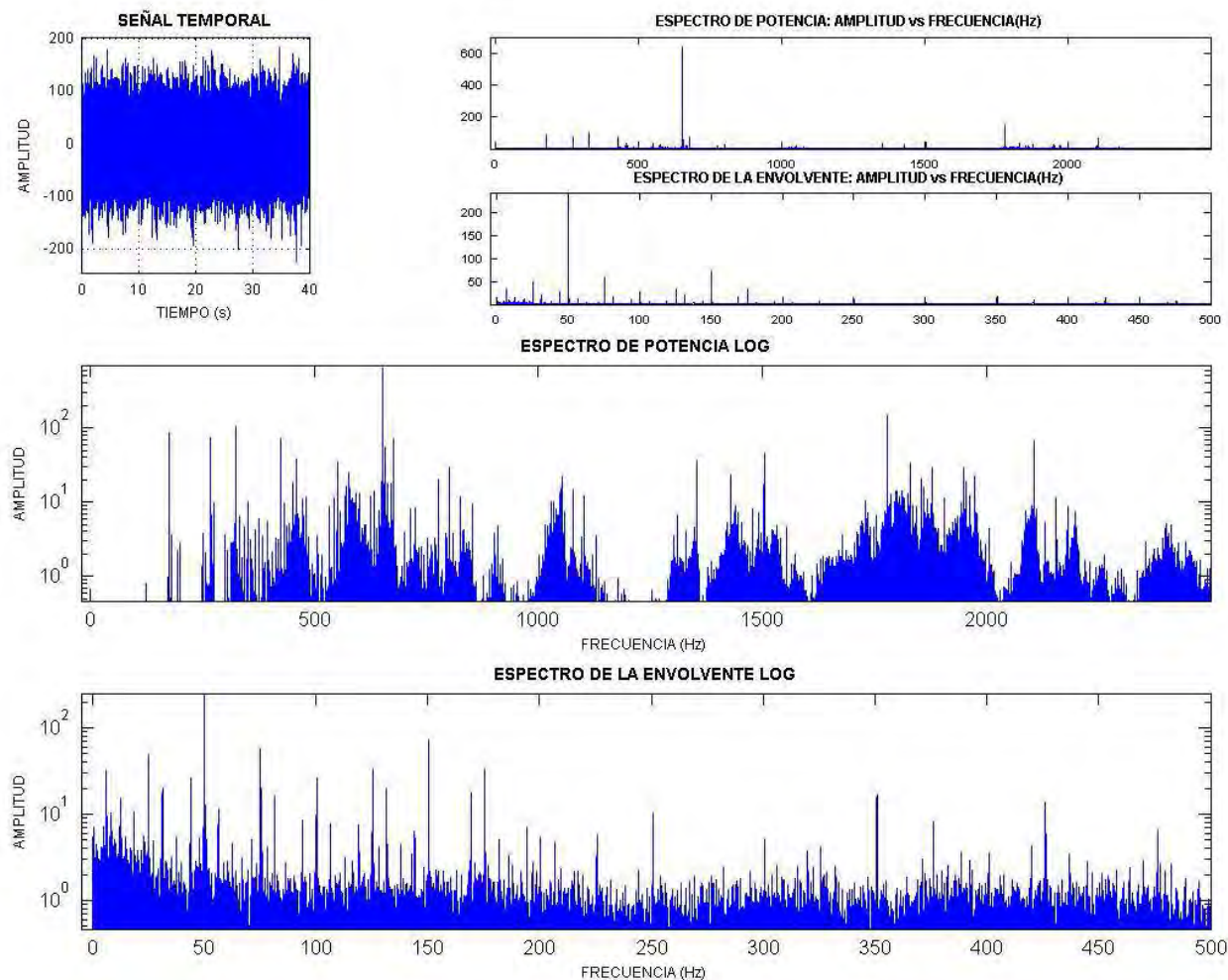
Punto 15

Velocidad (r.p.m) 1500



Media	-1.371582
Desviación Típica:	34.166382
Mediana:	-1.953125
Valor Máximo:	167.968750
Valor Mínimo:	-187.988280
Valor de Pico:	187.988280
Valor de Pico a Pico:	355.957030
Kurtosis:	3.610383
Sesgo:	-0.016701
Valor Eficaz:	34.193048
Factor de Forma:	1.284655
Factor de Cresta:	5.497851
Varianza:	1167.341628
Valor Medio:	26.622361
Moda:	-3.116211
Potencia del Espectro:	1169.164498

## ANEXO A

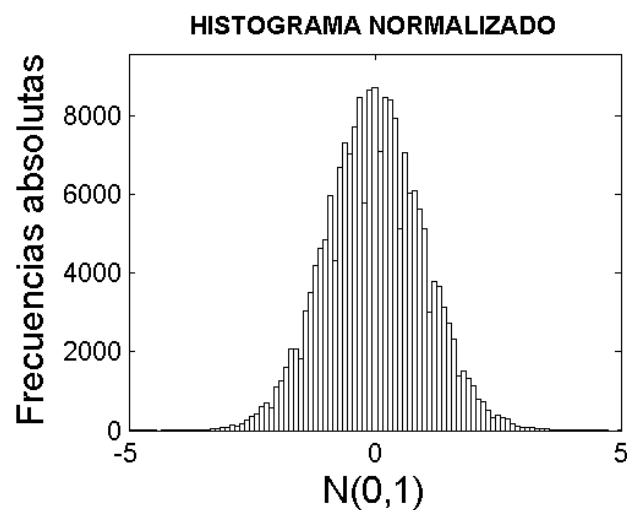


## ANEXO A

Reductora Sin Carcasa

Punto 16

Velocidad (r.p.m) 0



Media -0.000315

Desviación Típica: 0.003997

Mediana: -0.000309

Valor Máximo: 0.016843

Valor Mínimo: -0.022251

Valor de Pico: 0.022251

Valor de Pico a Pico: 0.039093

Kurtosis: 3.094858

Sesgo: -0.062104

Valor Eficaz: 0.004010

Factor de Forma: 1.144182

Factor de Cresta: 5.549461

Varianza: 0.000016

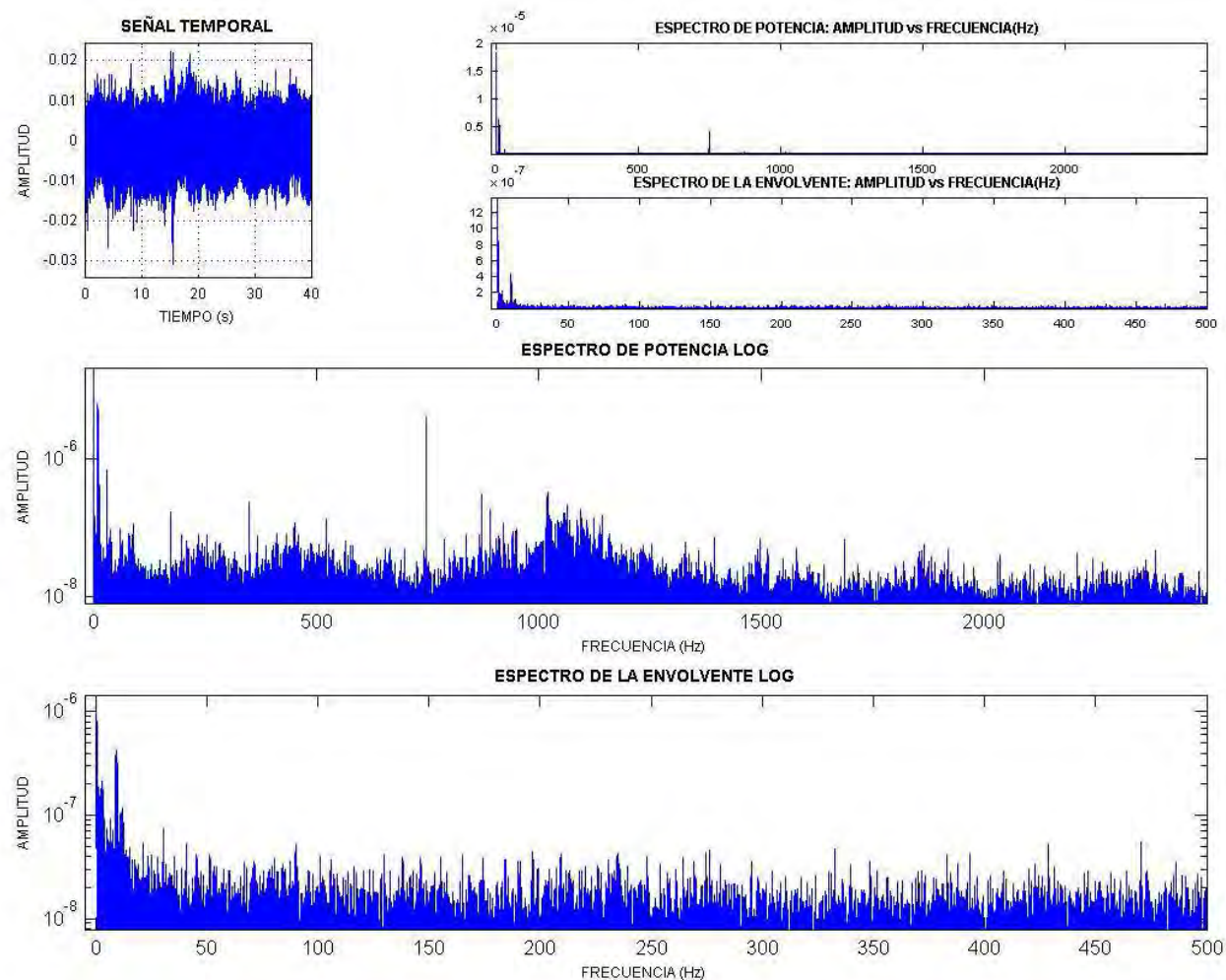
Valor Medio: 0.003526

Moda: -0.000297

Potencia del Espectro: 0.000016



## ANEXO A

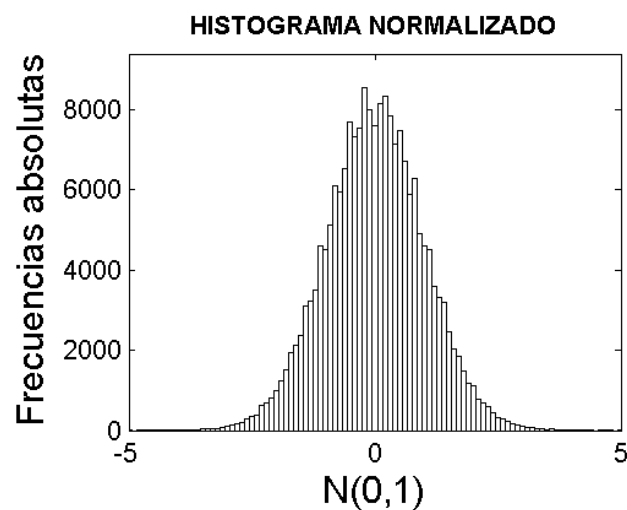


## ANEXO A

Reductora Sin Carcasa

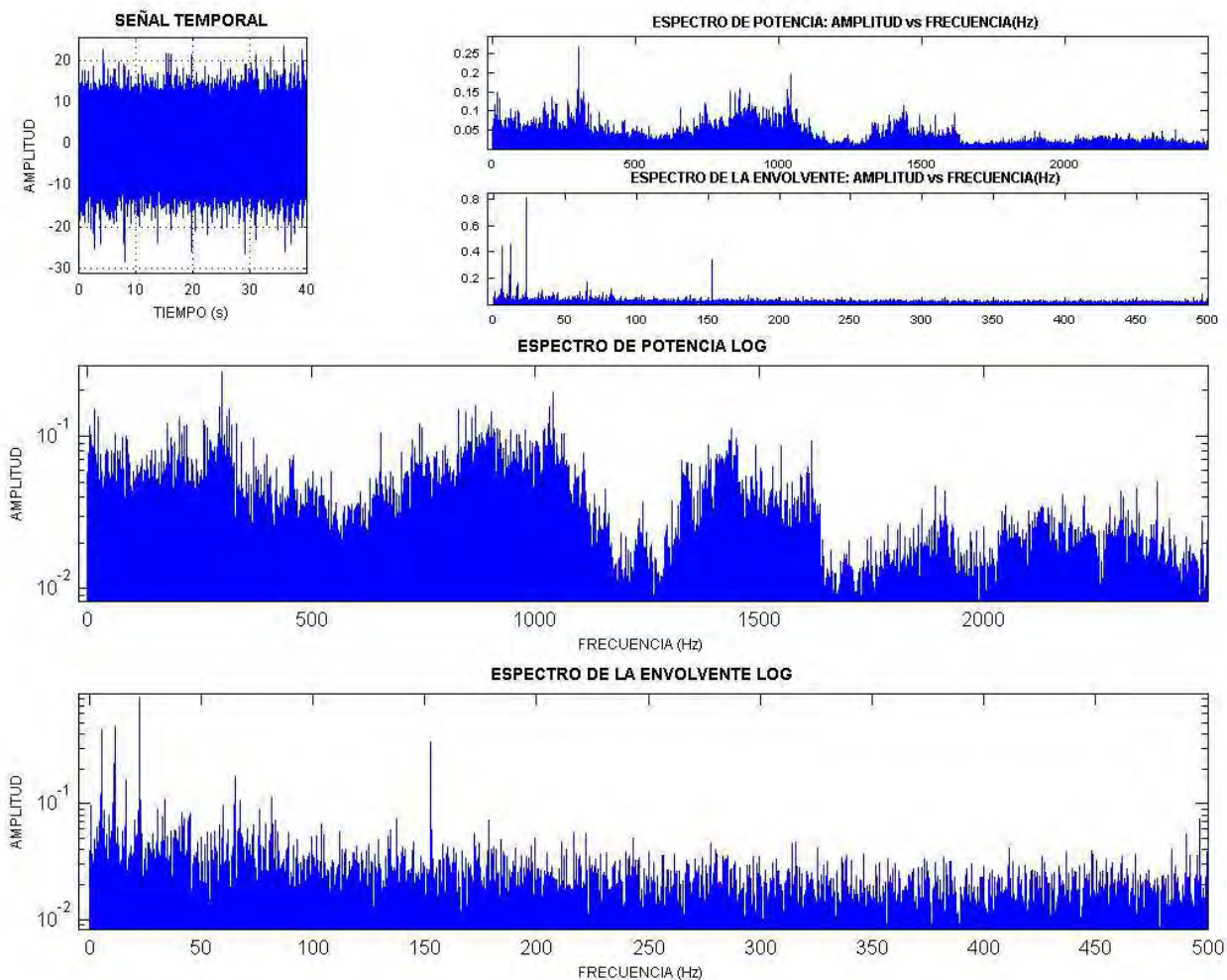
Punto 16

Velocidad (r.p.m) 300



Media	-0.167209
Desviación Típica:	4.619139
Mediana:	-0.146484
Valor Máximo:	18.505859
Valor Mínimo:	-25.439453
Valor de Pico:	25.439453
Valor de Pico a Pico:	43.945312
Kurtosis:	3.269380
Sesgo:	-0.022084
Valor Eficaz:	4.622049
Factor de Forma:	1.284261
Factor de Cresta:	5.503934
Varianza:	21.336448
Valor Medio:	3.599737
Moda:	-0.105034
Potencia del Espectro:	21.363340

## ANEXO A

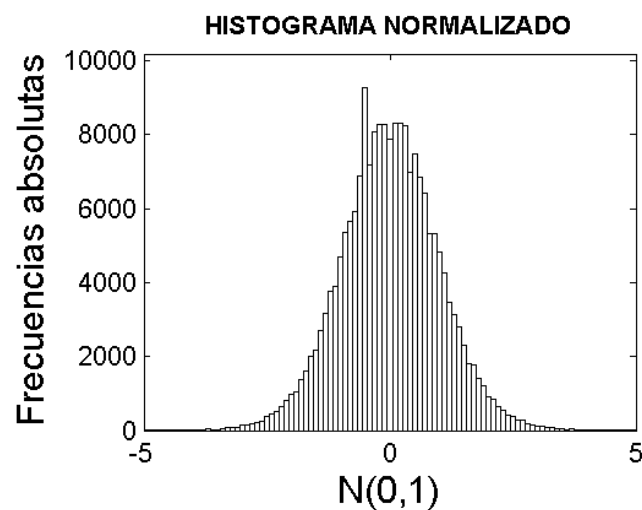


## ANEXO A

Reductora Sin Carcasa

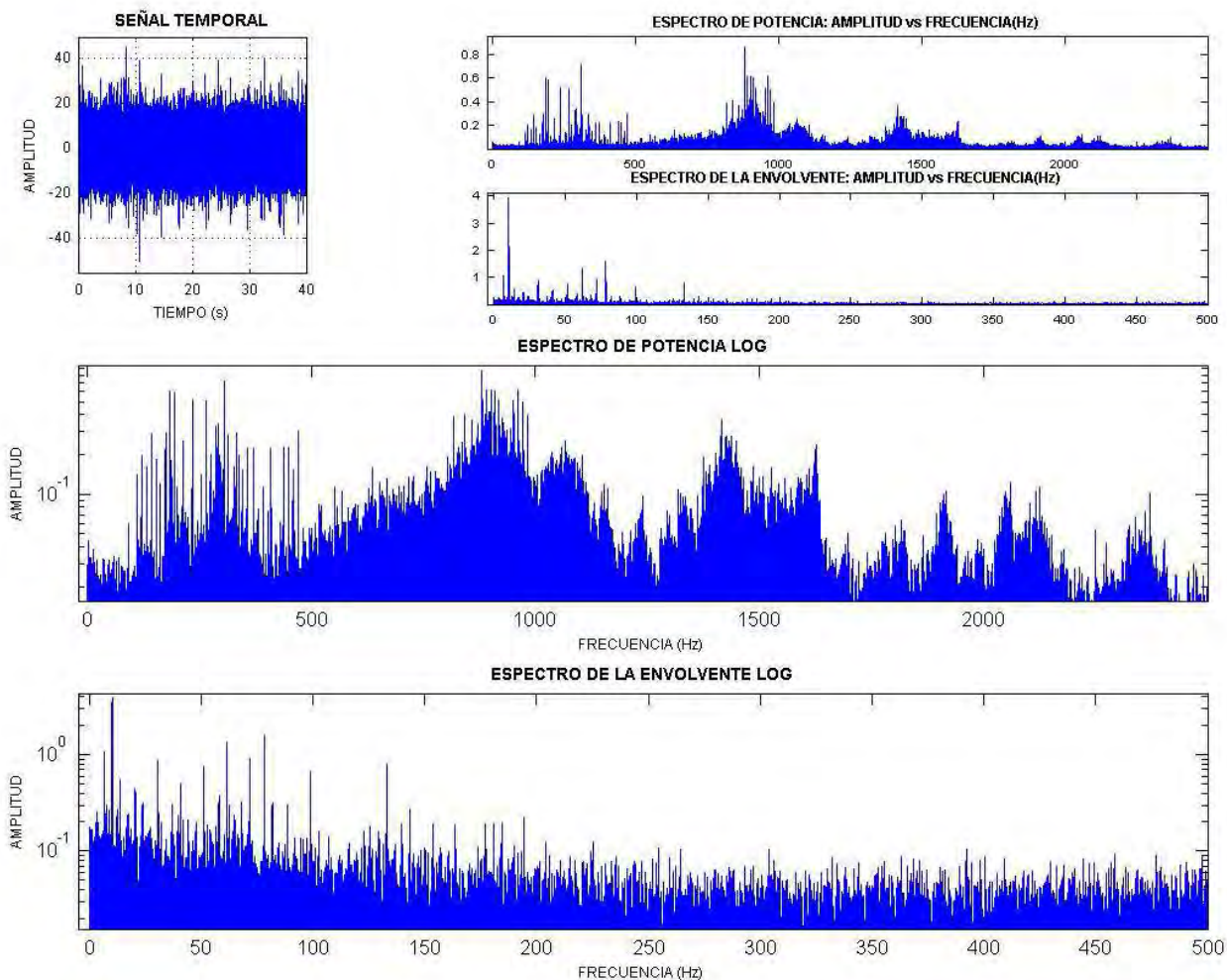
Punto 16

Velocidad (r.p.m) 600



Media	-0.466463
Desviación Típica:	6.300358
Mediana:	-0.463558
Valor Máximo:	36.930133
Valor Mínimo:	-31.212915
Valor de Pico:	36.930133
Valor de Pico a Pico:	68.143048
Kurtosis:	3.528818
Sesgo:	0.024529
Valor Eficaz:	6.317445
Factor de Forma:	1.294484
Factor de Cresta:	5.845739
Varianza:	39.694506
Valor Medio:	4.880956
Moda:	-0.457748
Potencia del Espectro:	39.910109

## ANEXO A

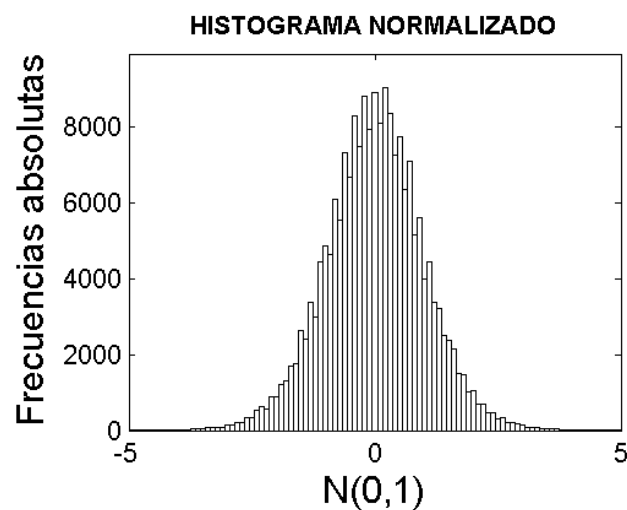


## ANEXO A

Reductora Sin Carcasa

Punto 16

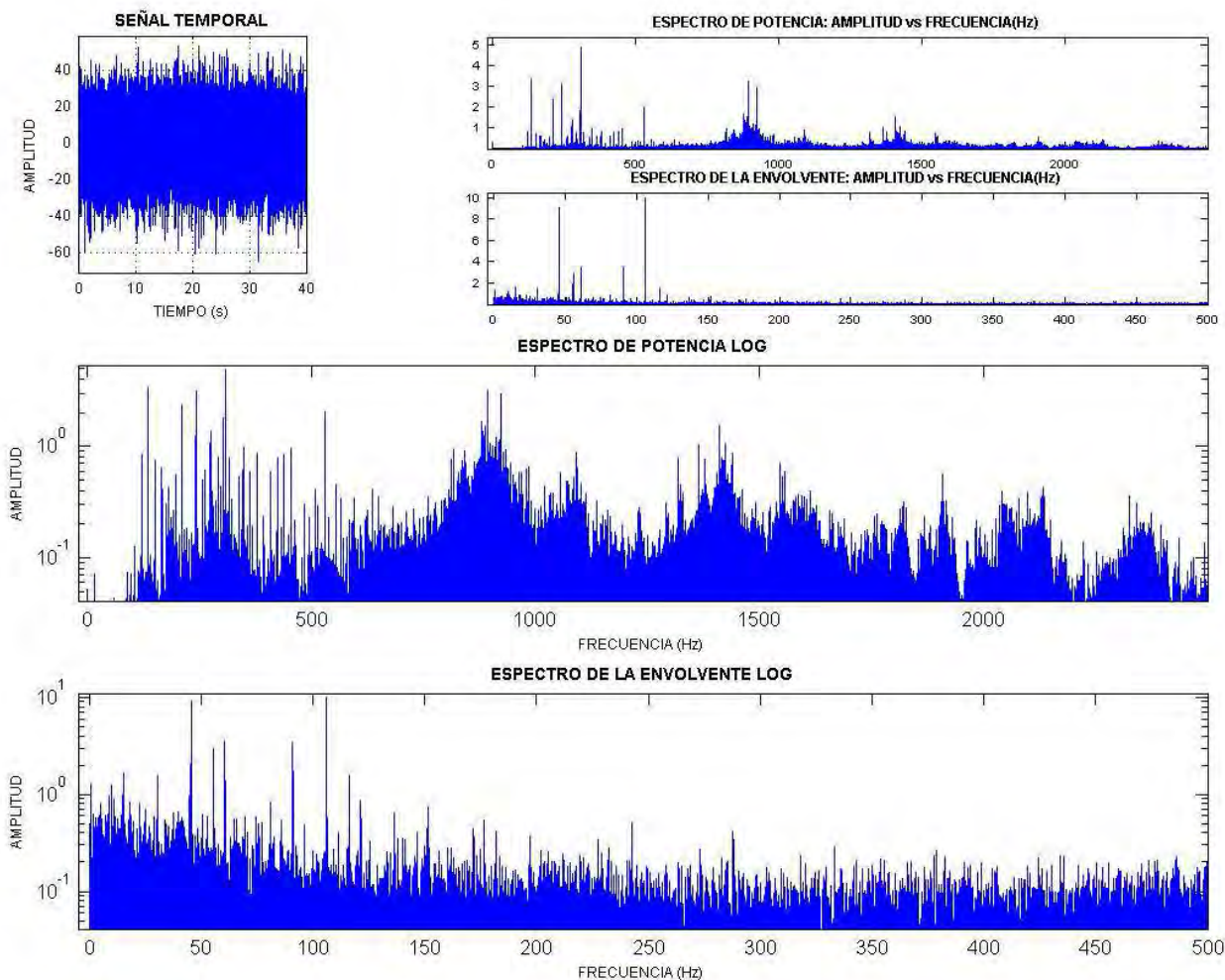
Velocidad (r.p.m) 900



Media	-0.421931
Desviación Típica:	10.222622
Mediana:	-0.463558
Valor Máximo:	45.119660
Valor Mínimo:	-59.644482
Valor de Pico:	59.644482
Valor de Pico a Pico:	104.764142
Kurtosis:	3.643197
Sesgo:	-0.045207
Valor Eficaz:	10.231071
Factor de Forma:	1.300448
Factor de Cresta:	5.829740
Varianza:	104.502010
Valor Medio:	7.868246
Moda:	-0.546813
Potencia del Espectro:	104.674810



## ANEXO A



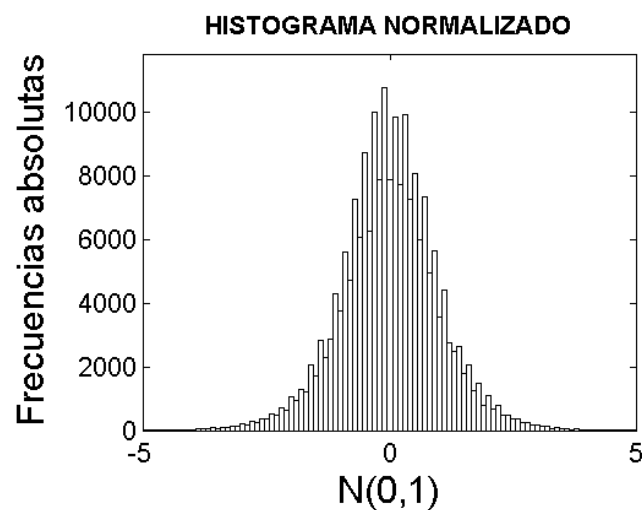


## ANEXO A

Reductora Sin Carcasa

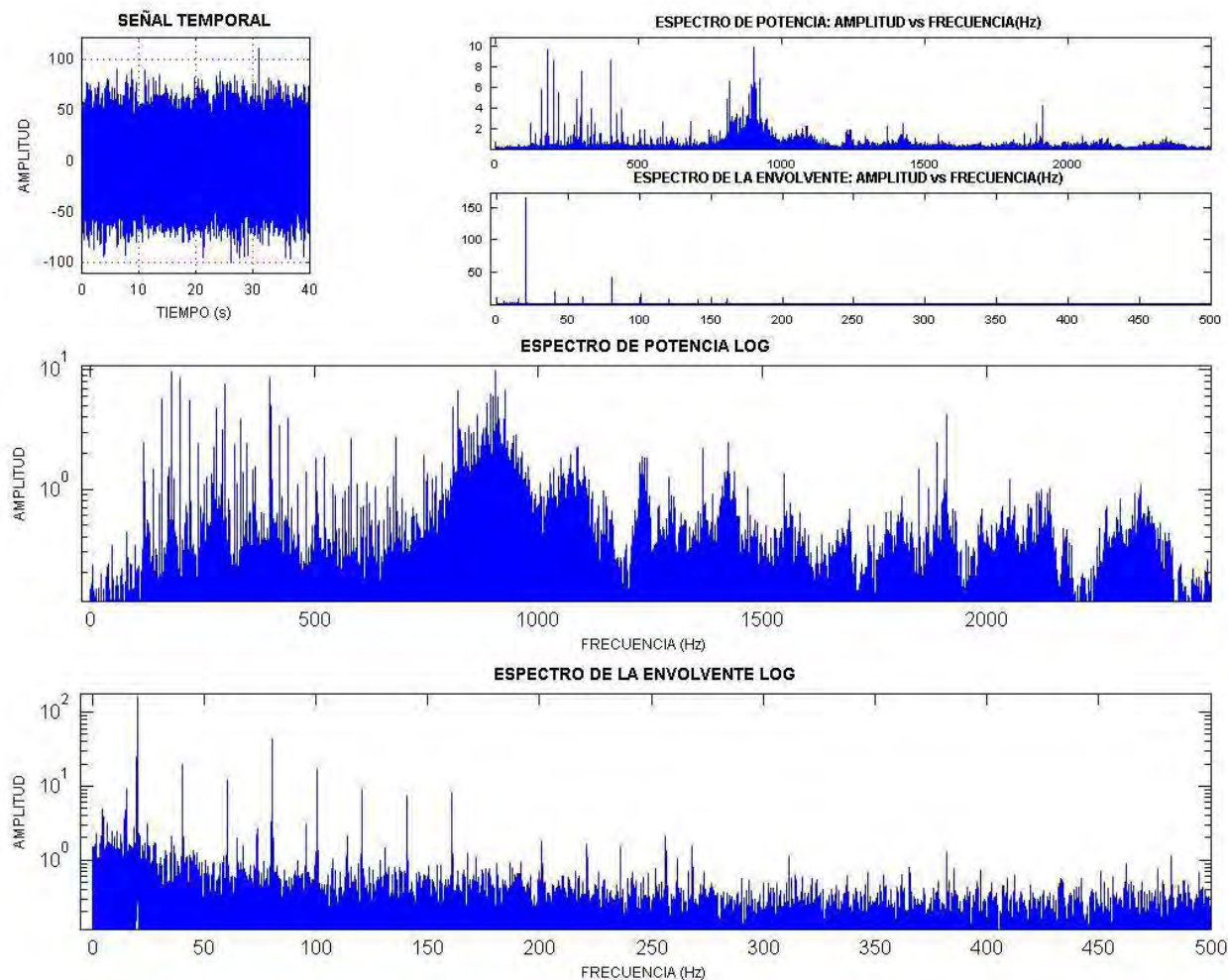
Punto 16

Velocidad (r.p.m) 1200



Media	-1.419800
Desviación Típica:	16.699259
Mediana:	-1.464844
Valor Máximo:	86.914063
Valor Mínimo:	-93.261719
Valor de Pico:	93.261719
Valor de Pico a Pico:	180.175782
Kurtosis:	4.269133
Sesgo:	-0.006368
Valor Eficaz:	16.759091
Factor de Forma:	1.290732
Factor de Cresta:	5.564843
Varianza:	278.865250
Valor Medio:	12.988408
Moda:	-1.554932
Potencia del Espectro:	280.867138

## ANEXO A

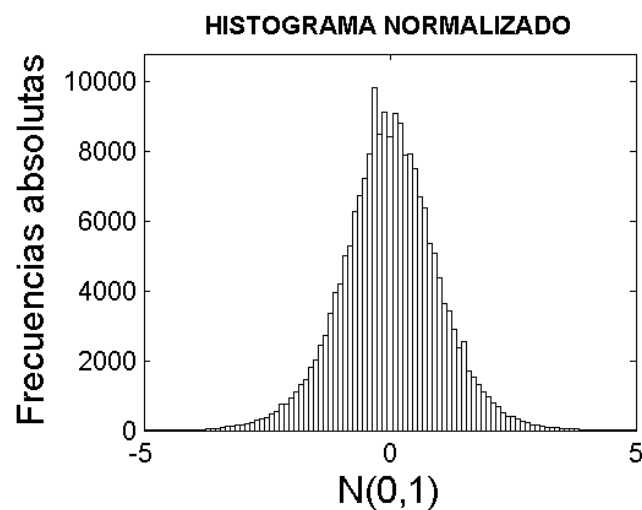


## ANEXO A

Reductora Sin Carcasa

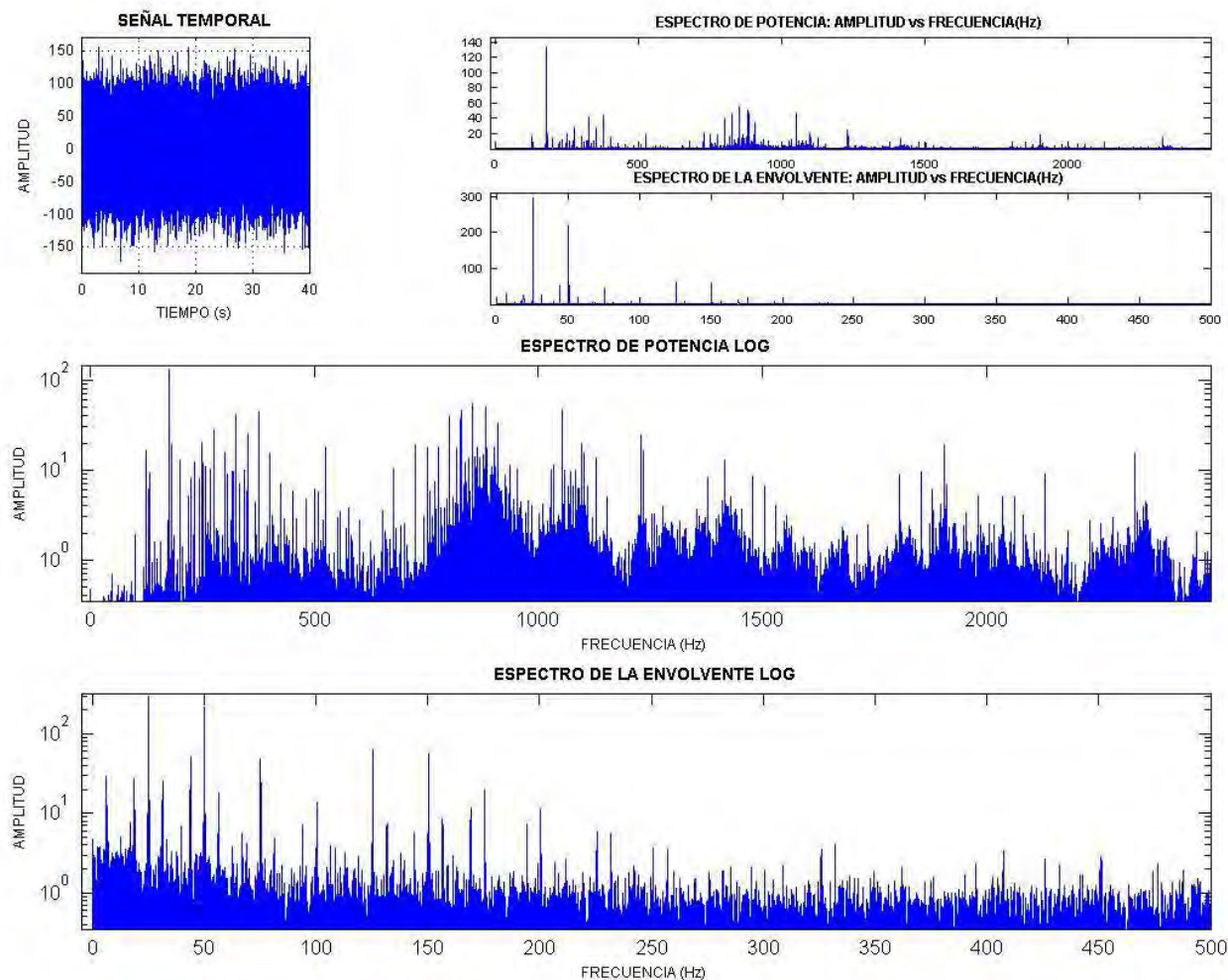
Punto 16

Velocidad (r.p.m) 1500



Media	-1.282935
Desviación Típica:	29.205546
Mediana:	-1.464844
Valor Máximo:	155.761720
Valor Mínimo:	-151.855470
Valor de Pico:	155.761720
Valor de Pico a Pico:	307.617190
Kurtosis:	4.001812
Sesgo:	-0.030439
Valor Eficaz:	29.232981
Factor de Forma:	1.287727
Factor de Cresta:	5.328287
Varianza:	852.963915
Valor Medio:	22.702761
Moda:	-1.828662
Potencia del Espectro:	854.567188

# ANEXO A

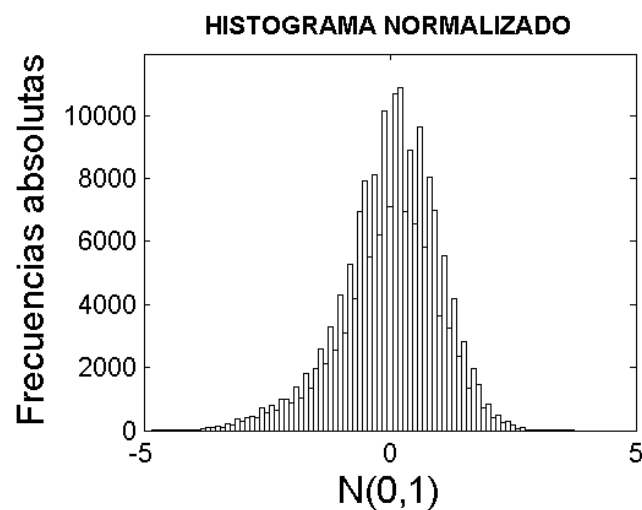


## ANEXO A

Reductora Sin Carcasa

Punto 17

Velocidad (r.p.m) 0



Media -0.000152

Desviación Típica: 0.002530

Mediana: -0.000155

Valor Máximo: 0.009271

Valor Mínimo: -0.010044

Valor de Pico: 0.010044

Valor de Pico a Pico: 0.019315

Kurtosis: 2.956027

Sesgo: -0.034190

Valor Eficaz: 0.002535

Factor de Forma: 0.893333

Factor de Cresta: 3.962801

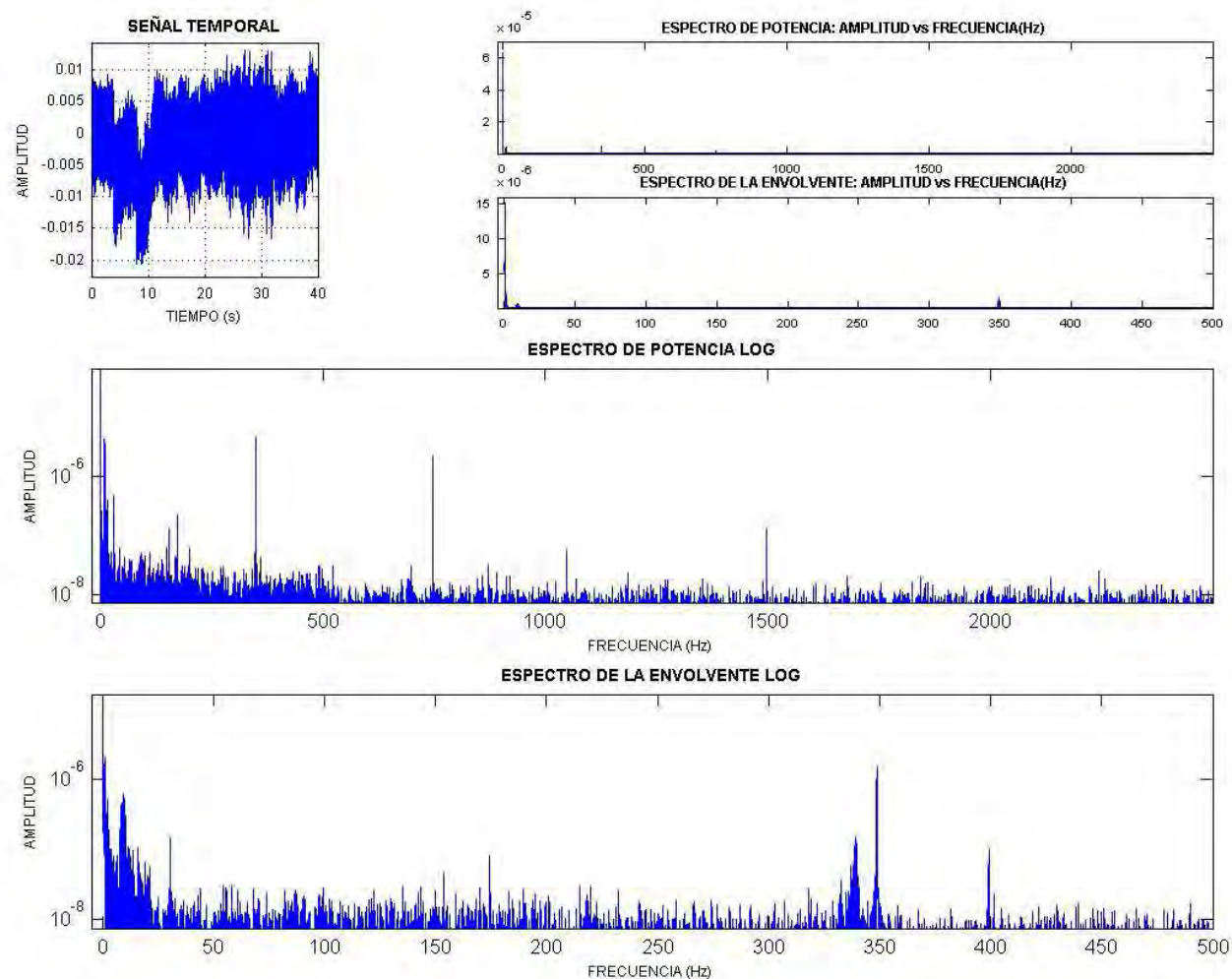
Varianza: 0.000006

Valor Medio: 0.003232

Moda: -0.000160

Potencia del Espectro: 0.000006

## ANEXO A

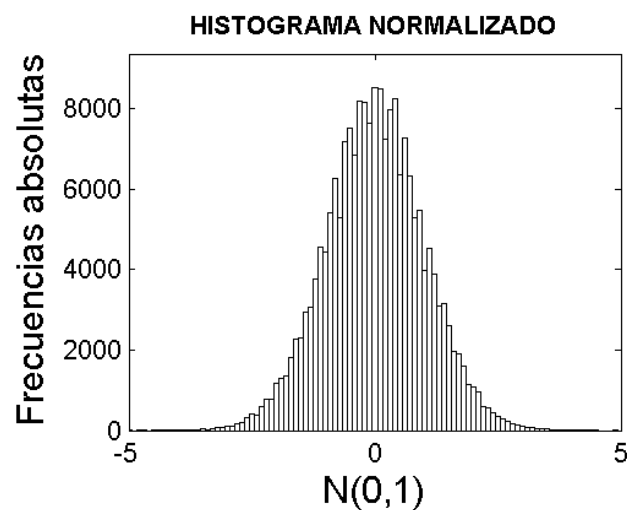


## ANEXO A

Reductora Sin Carcasa

Punto 17

Velocidad (r.p.m) 300



Media -0.040593

Desviación Típica: 1.030774

Mediana: -0.046356

Valor Máximo: 4.388351

Valor Mínimo: -3.878437

Valor de Pico: 4.388351

Valor de Pico a Pico: 8.266787

Kurtosis: 3.131691

Sesgo: 0.006035

Valor Eficaz: 1.031547

Factor de Forma: 1.267508

Factor de Cresta: 4.254145

Varianza: 1.062495

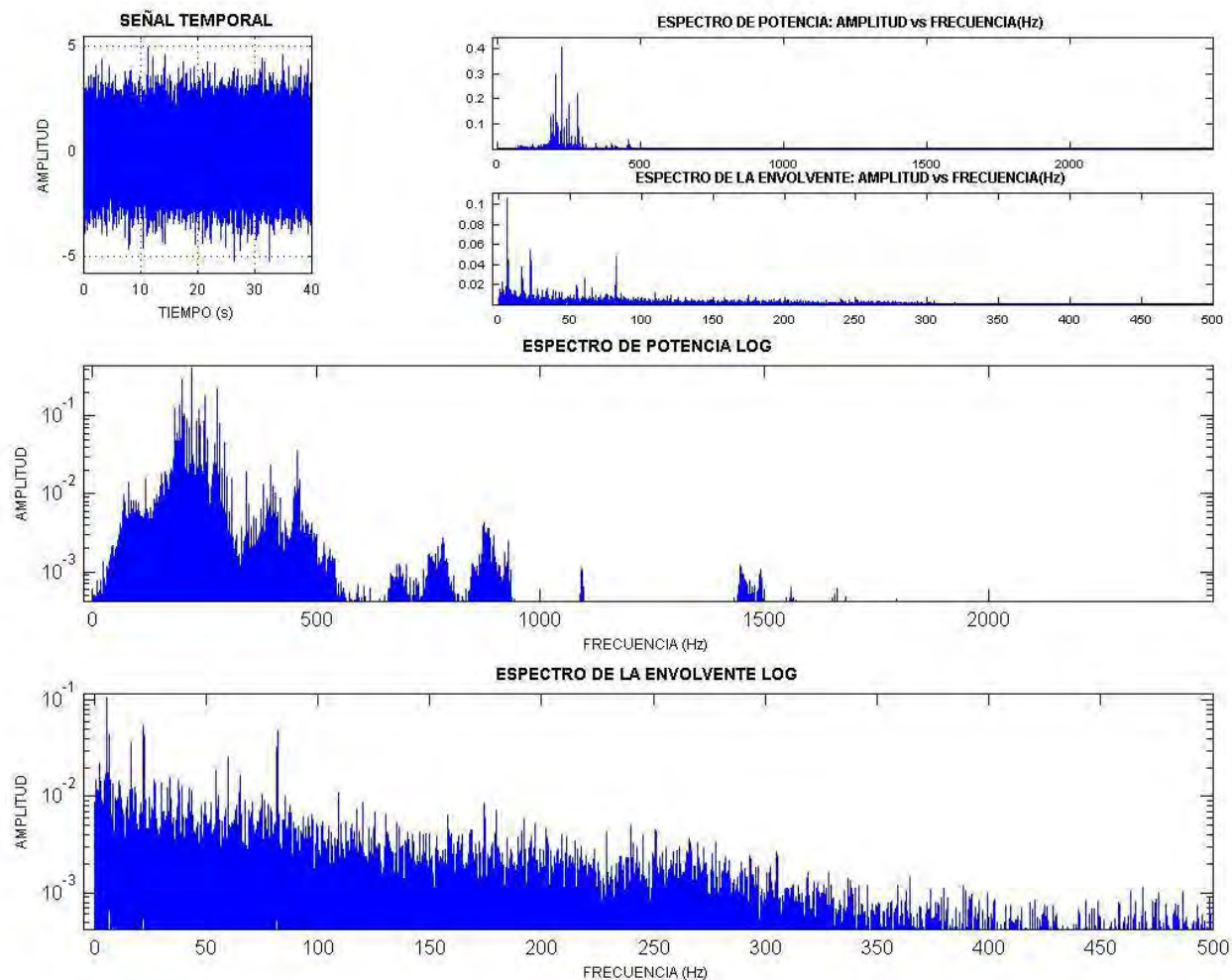
Valor Medio: 0.814440

Moda: -0.057881

Potencia del Espectro: 1.064089



## ANEXO A

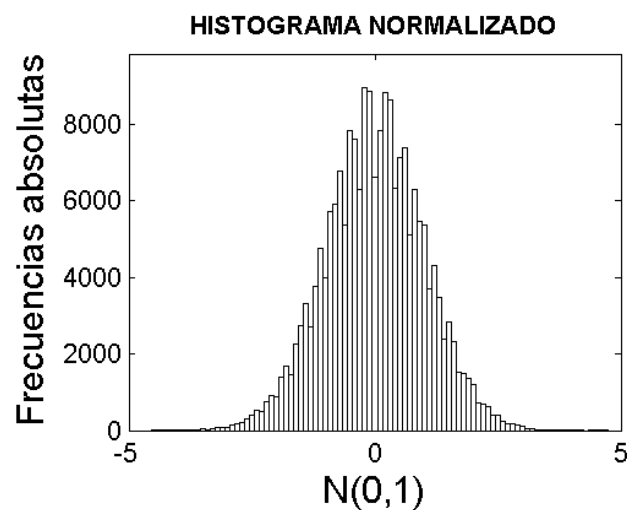


## ANEXO A

Reductora Sin Carcasa

Punto 17

Velocidad (r.p.m) 600



Media -0.144316

Desviación Típica: 1.836491

Mediana: -0.146484

Valor Máximo: 8.154297

Valor Mínimo: -7.568359

Valor de Pico: 8.154297

Valor de Pico a Pico: 15.722656

Kurtosis: 3.074586

Sesgo: -0.007997

Valor Eficaz: 1.842107

Factor de Forma: 1.277538

Factor de Cresta: 4.426613

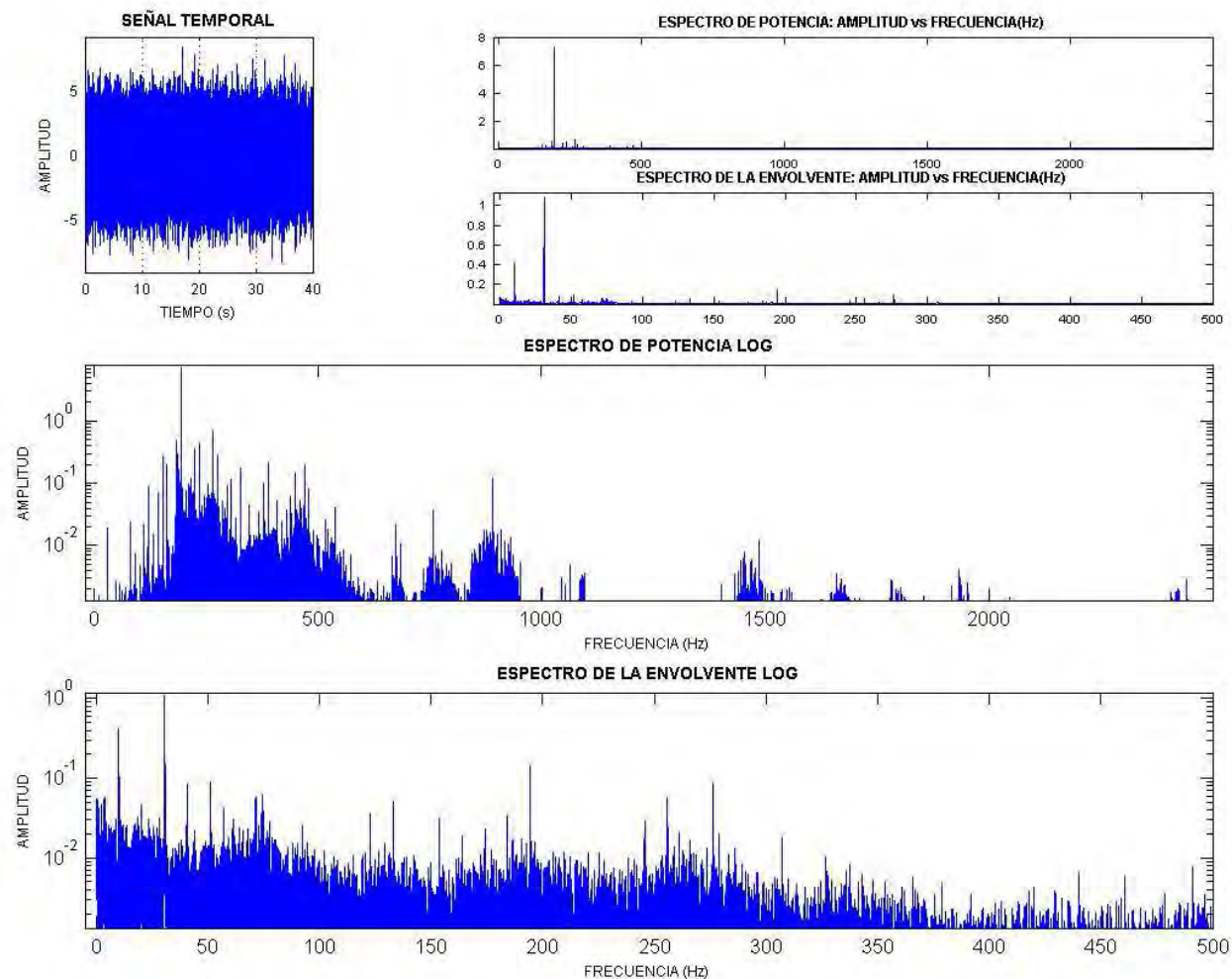
Varianza: 3.372701

Valor Medio: 1.442506

Moda: -0.150820

Potencia del Espectro: 3.393359

## ANEXO A

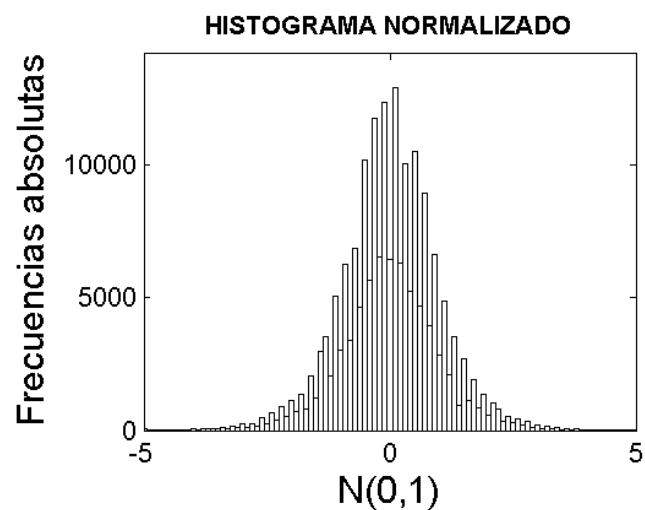


## ANEXO A

Reductora Sin Carcasa

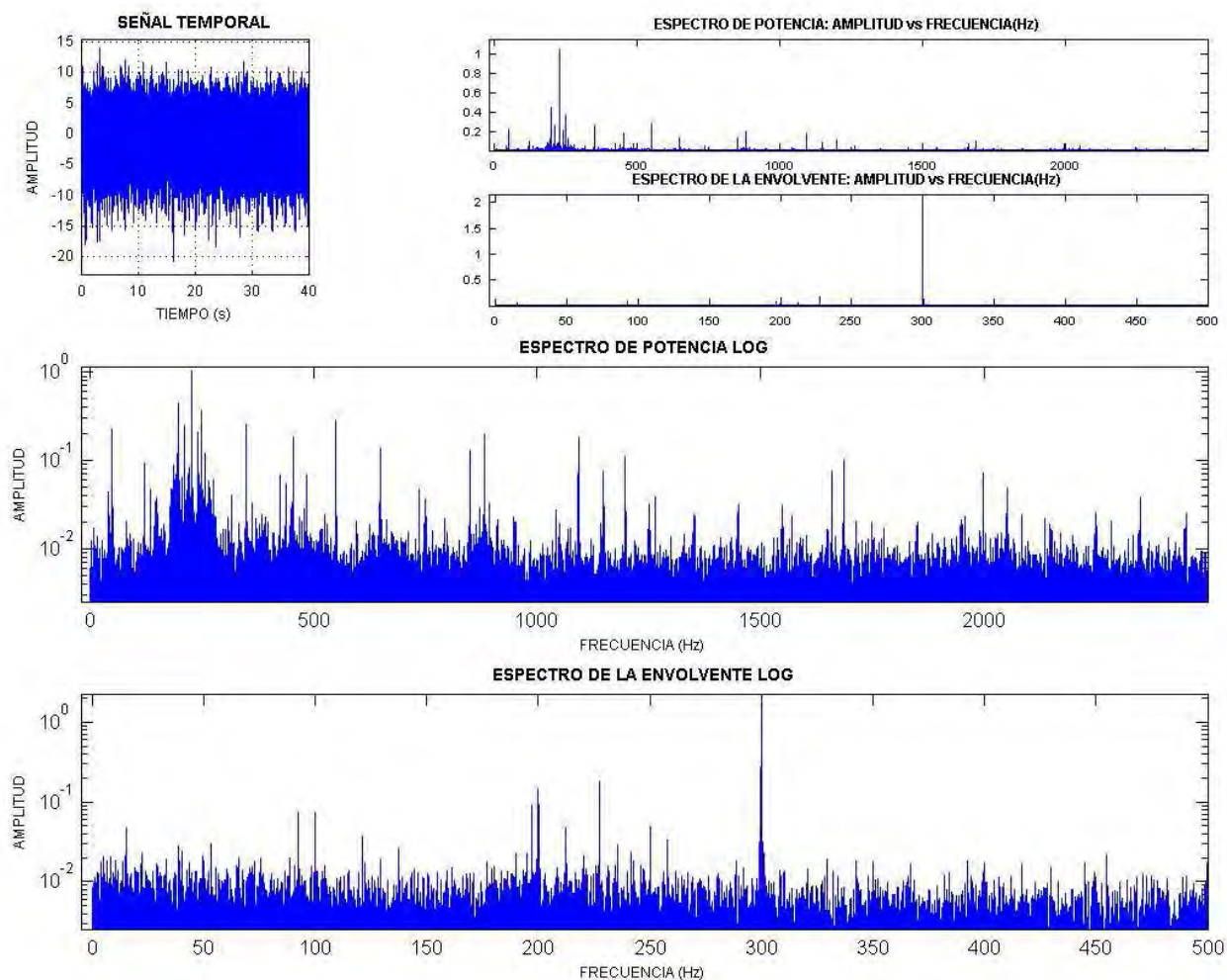
Punto 17

Velocidad (r.p.m) 900



Media	-0.932741
Desviación Típica:	2.385646
Mediana:	-0.927116
Valor Máximo:	14.061264
Valor Mínimo:	-17.924248
Valor de Pico:	17.924248
Valor de Pico a Pico:	31.985512
Kurtosis:	5.312100
Sesgo:	-0.191767
Valor Eficaz:	2.561450
Factor de Forma:	1.331364
Factor de Cresta:	6.997696
Varianza:	5.691305
Valor Medio:	1.924151
Moda:	-0.915867
Potencia del Espectro:	6.561026

## ANEXO A

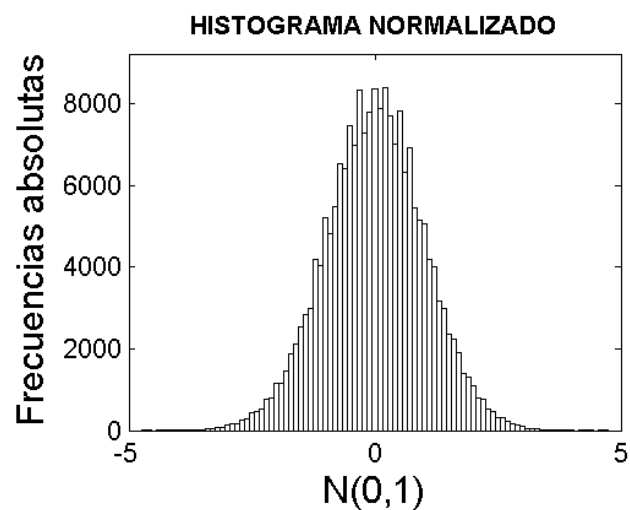


## ANEXO A

Reductora Sin Carcasa

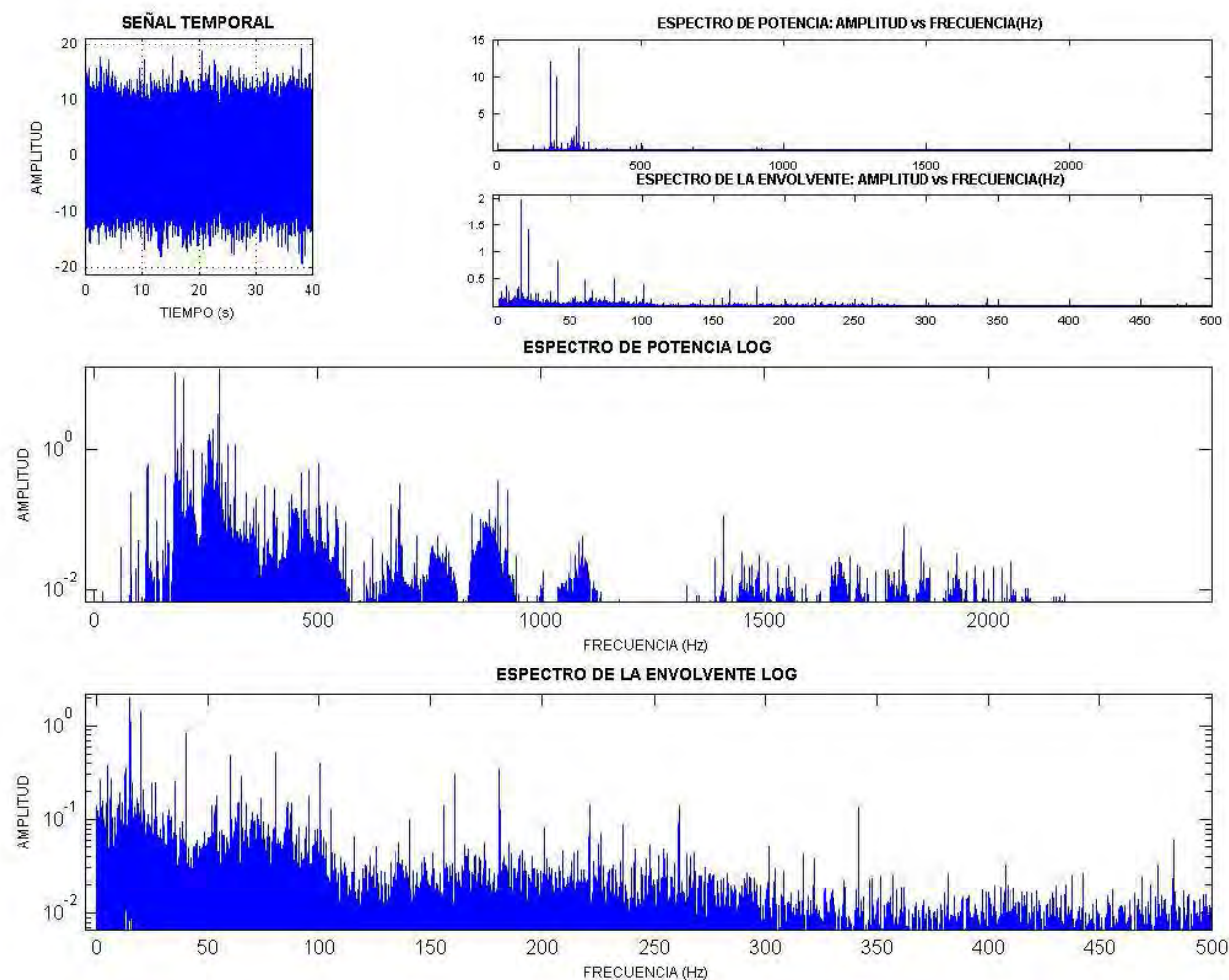
Punto 17

Velocidad (r.p.m) 1200



Media	-0.149038
Desviación Típica:	4.250132
Mediana:	-0.097656
Valor Máximo:	17.529297
Valor Mínimo:	-15.966797
Valor de Pico:	17.529297
Valor de Pico a Pico:	33.496094
Kurtosis:	2.989806
Sesgo:	-0.013729
Valor Eficaz:	4.252638
Factor de Forma:	1.305300
Factor de Cresta:	4.121982
Varianza:	18.063621
Valor Medio:	3.259889
Moda:	0.005107
Potencia del Espectro:	18.084931

## ANEXO A



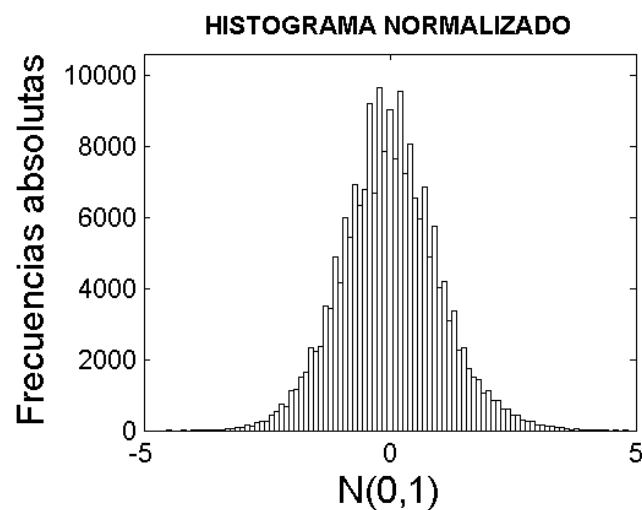


## ANEXO A

Reductora Sin Carcasa

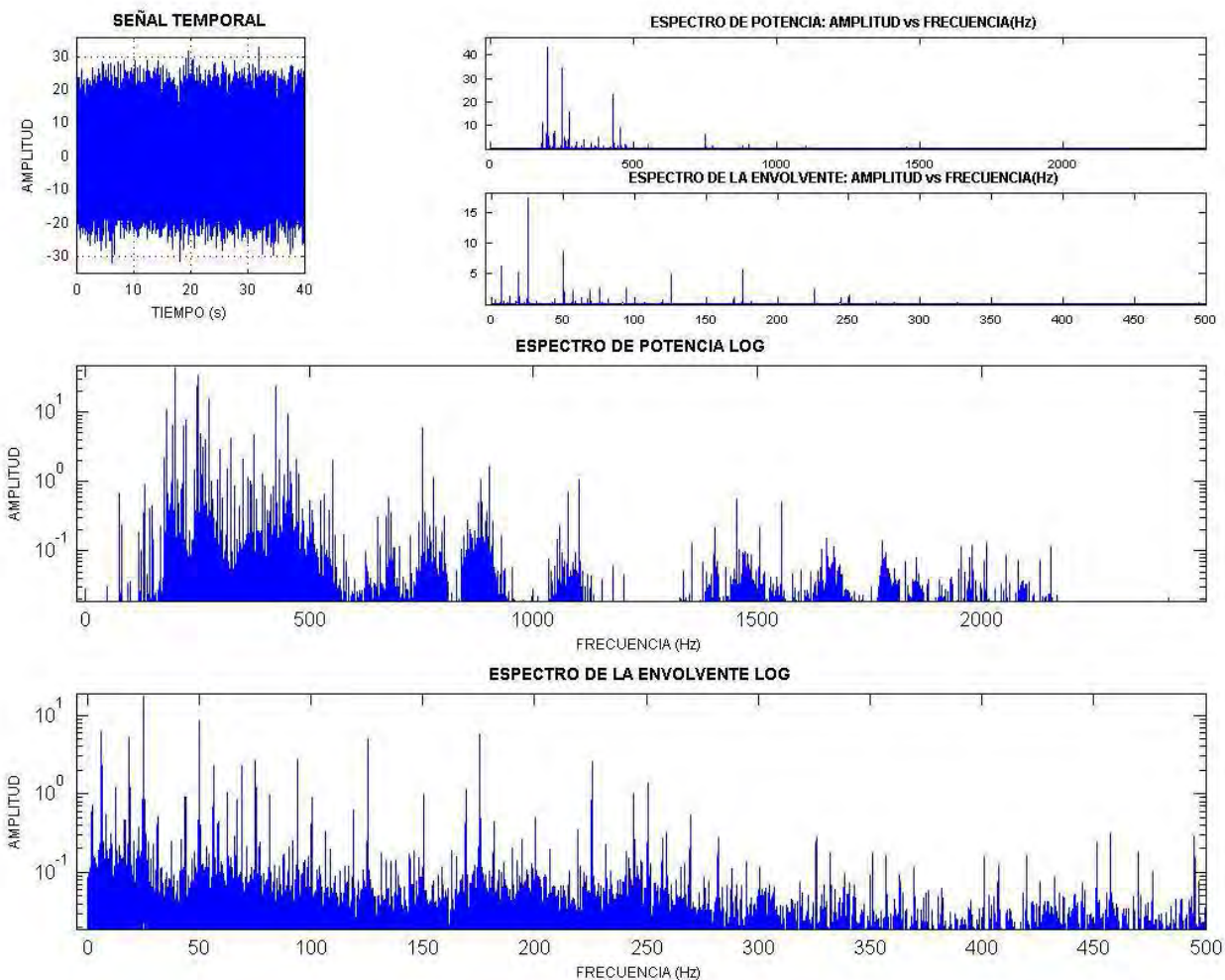
Punto 17

Velocidad (r.p.m) 1500



Media	-0.452881
Desviación Típica:	6.870919
Mediana:	-0.618078
Valor Máximo:	26.577334
Valor Mínimo:	-26.731853
Valor de Pico:	26.731853
Valor de Pico a Pico:	53.309187
Kurtosis:	3.287533
Sesgo:	0.093584
Valor Eficaz:	6.885657
Factor de Forma:	1.276509
Factor de Cresta:	3.882252
Varianza:	47.209531
Valor Medio:	5.394589
Moda:	-0.948471
Potencia del Espectro:	47.412272

## ANEXO A

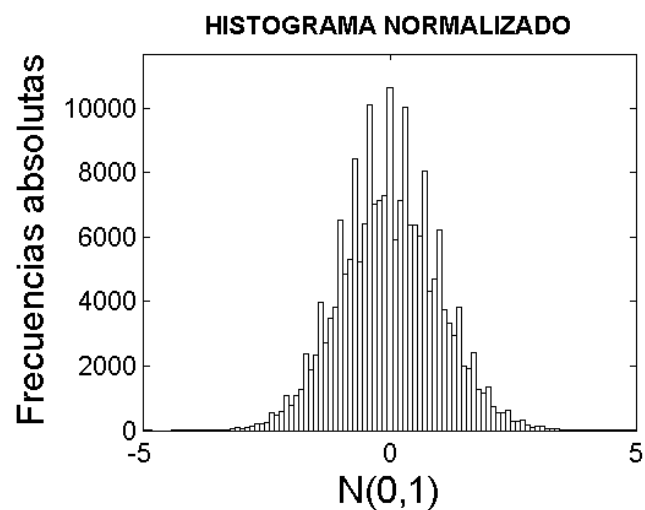


## ANEXO A

Reductora Sin Carcasa

Punto 18

Velocidad (r.p.m) 0



Media -0.001391

Desviación Típica: 0.003251

Mediana: -0.001391

Valor Máximo: 0.010198

Valor Mínimo: -0.015452

Valor de Pico: 0.015452

Valor de Pico a Pico: 0.025650

Kurtosis: 2.942465

Sesgo: -0.019450

Valor Eficaz: 0.003536

Factor de Forma: 1.247486

Factor de Cresta: 4.369625

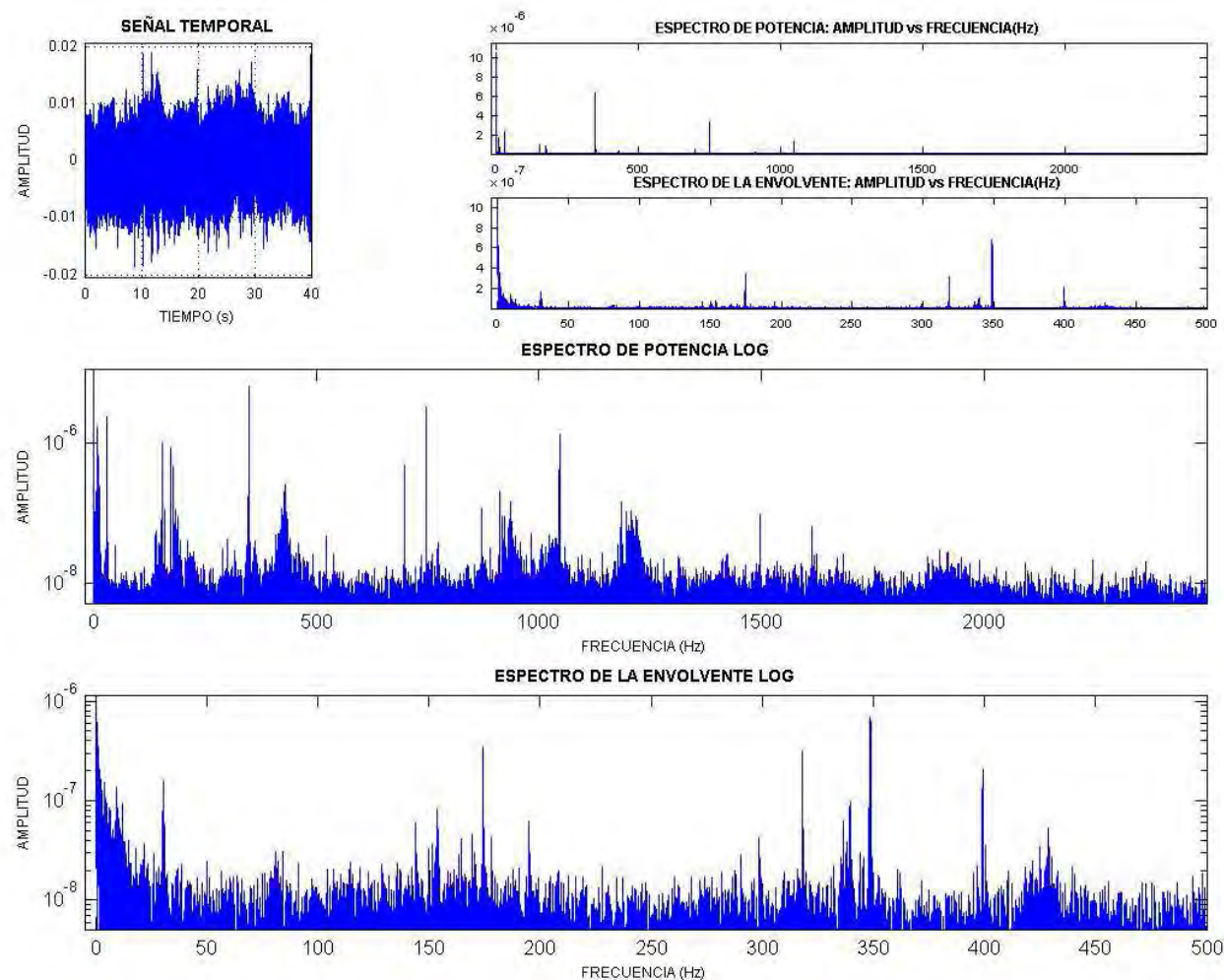
Varianza: 0.000011

Valor Medio: 0.002840

Moda: -0.001390

Potencia del Espectro: 0.000013

## ANEXO A

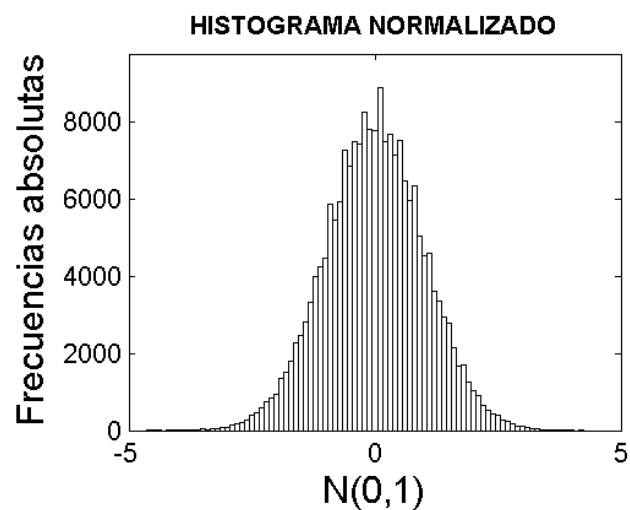


## ANEXO A

Reductora Sin Carcasa

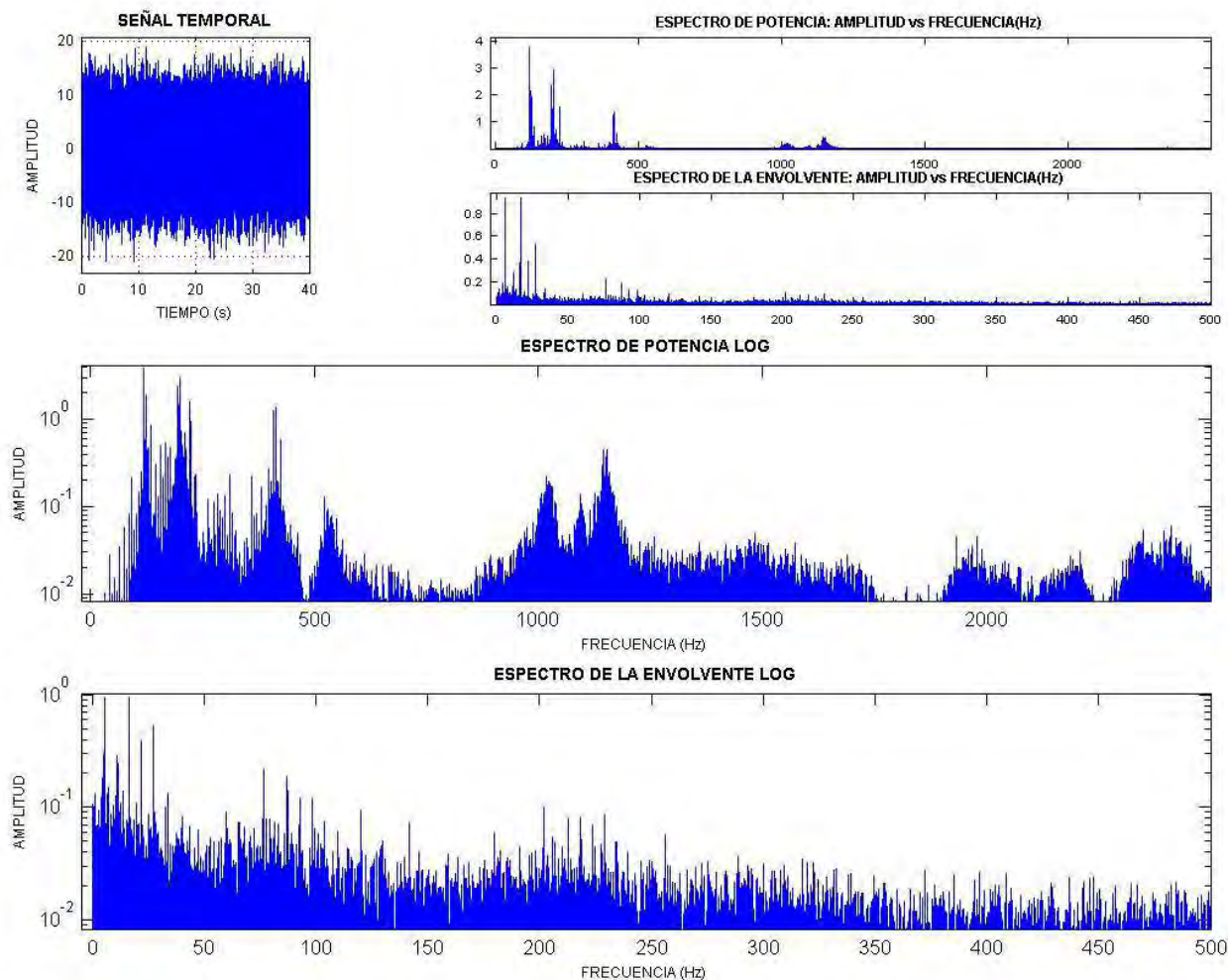
Punto 18

Velocidad (r.p.m) 300



Media	-0.138823
Desviación Típica:	4.528662
Mediana:	-0.146484
Valor Máximo:	17.919922
Valor Mínimo:	-20.605469
Valor de Pico:	20.605469
Valor de Pico a Pico:	38.525391
Kurtosis:	3.129483
Sesgo:	0.025868
Valor Eficaz:	4.530676
Factor de Forma:	1.256091
Factor de Cresta:	4.547990
Varianza:	20.508780
Valor Medio:	3.607542
Moda:	-0.161807
Potencia del Espectro:	20.527027

## ANEXO A

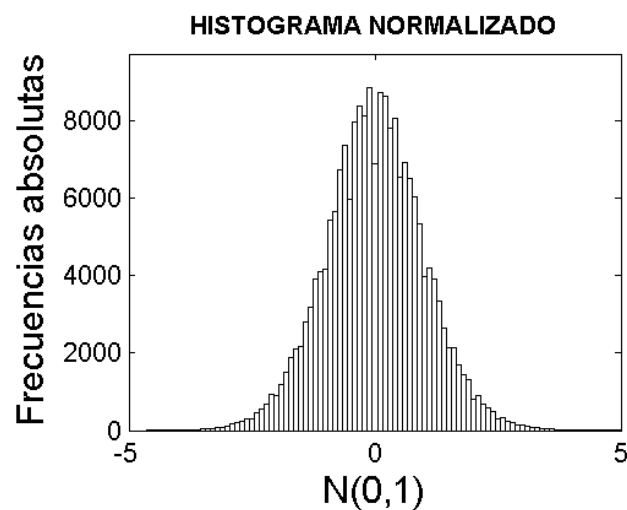


## ANEXO A

Reductora Sin Carcasa

Punto 18

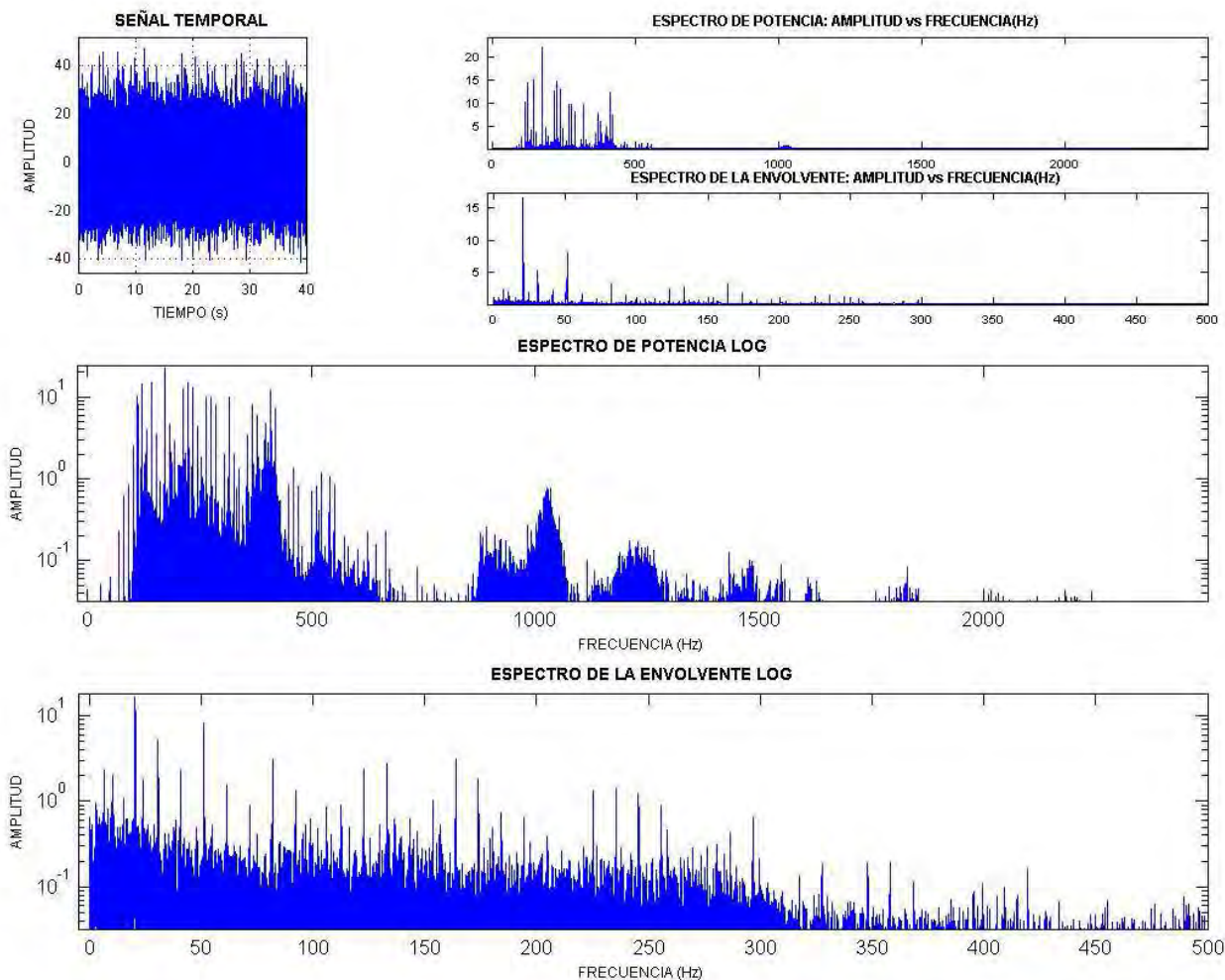
Velocidad (r.p.m) 600



Media	-0.461596
Desviación Típica:	8.918647
Mediana:	-0.463558
Valor Máximo:	44.347063
Valor Mínimo:	-40.484078
Valor de Pico:	44.347063
Valor de Pico a Pico:	84.831141
Kurtosis:	3.386239
Sesgo:	0.003272
Valor Eficaz:	8.930361
Factor de Forma:	1.267696
Factor de Cresta:	4.965876
Varianza:	79.542260
Valor Medio:	7.045620
Moda:	-0.467483
Potencia del Espectro:	79.751354



## ANEXO A

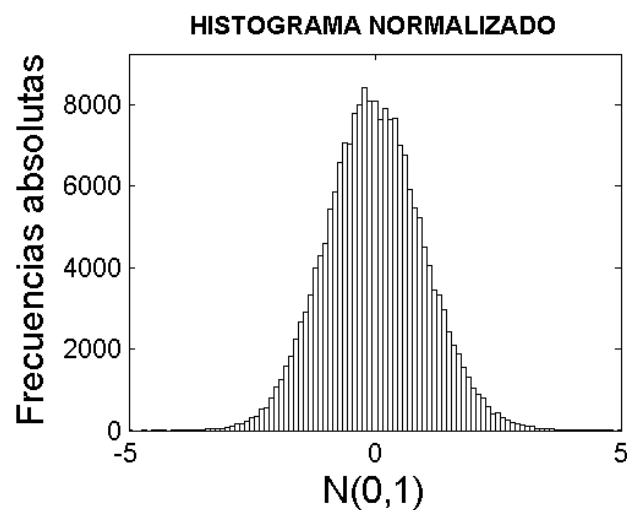


## ANEXO A

Reductora Sin Carcasa

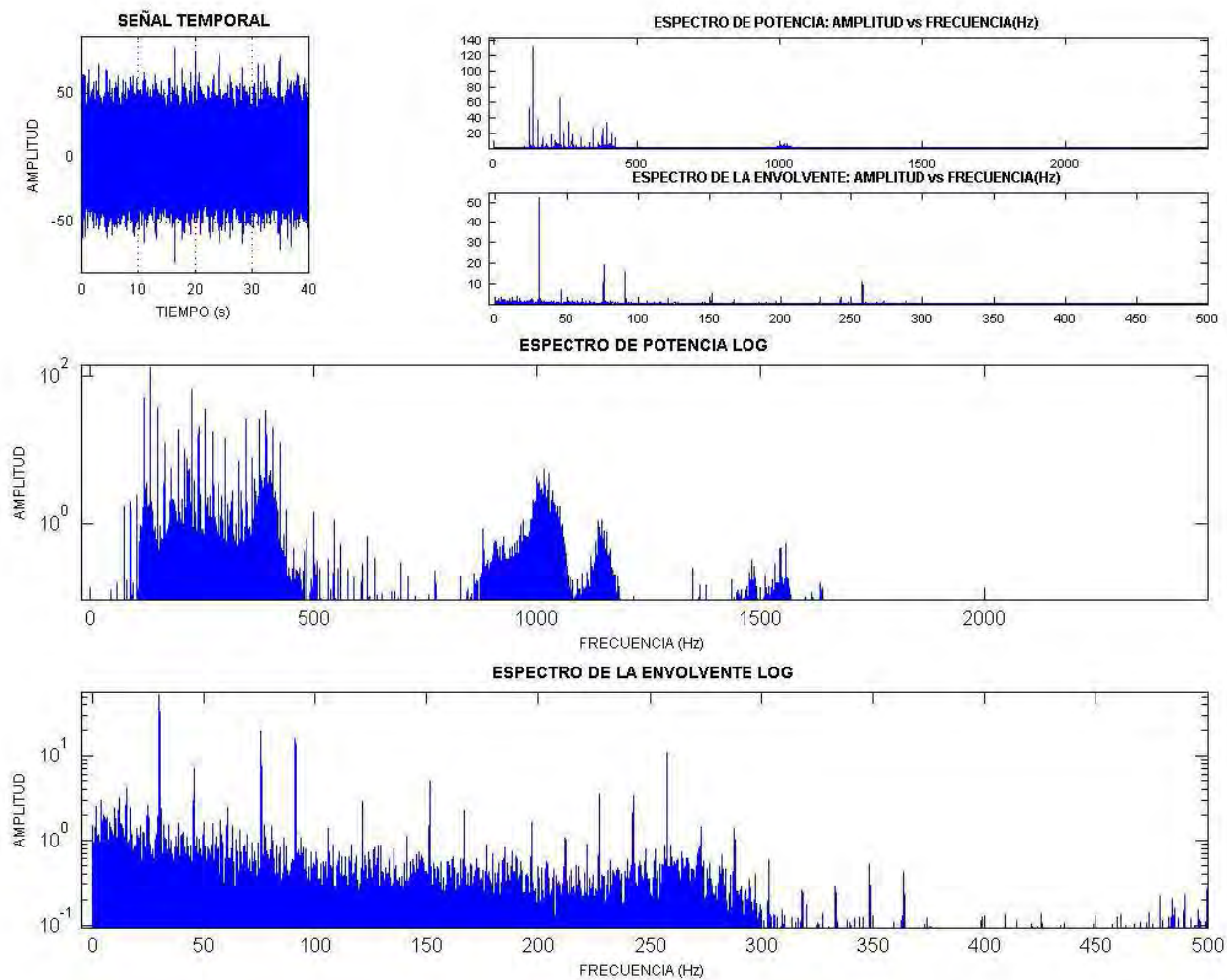
Punto 18

Velocidad (r.p.m) 900



Media	-0.446206
Desviación Típica:	15.397189
Mediana:	-0.772597
Valor Máximo:	73.396707
Valor Mínimo:	-62.425831
Valor de Pico:	73.396707
Valor de Pico a Pico:	135.822538
Kurtosis:	3.233230
Sesgo:	0.111173
Valor Eficaz:	15.403269
Factor de Forma:	1.270510
Factor de Cresta:	4.765009
Varianza:	237.073436
Valor Medio:	12.125302
Moda:	-1.425379
Potencia del Espectro:	237.260682

## ANEXO A

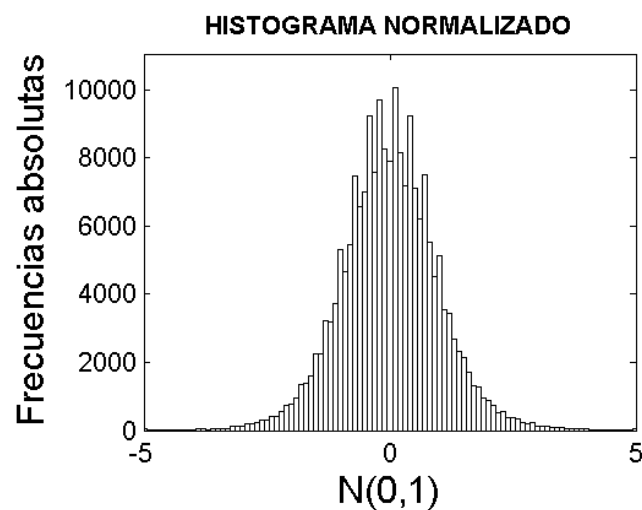


## ANEXO A

Reductora Sin Carcasa

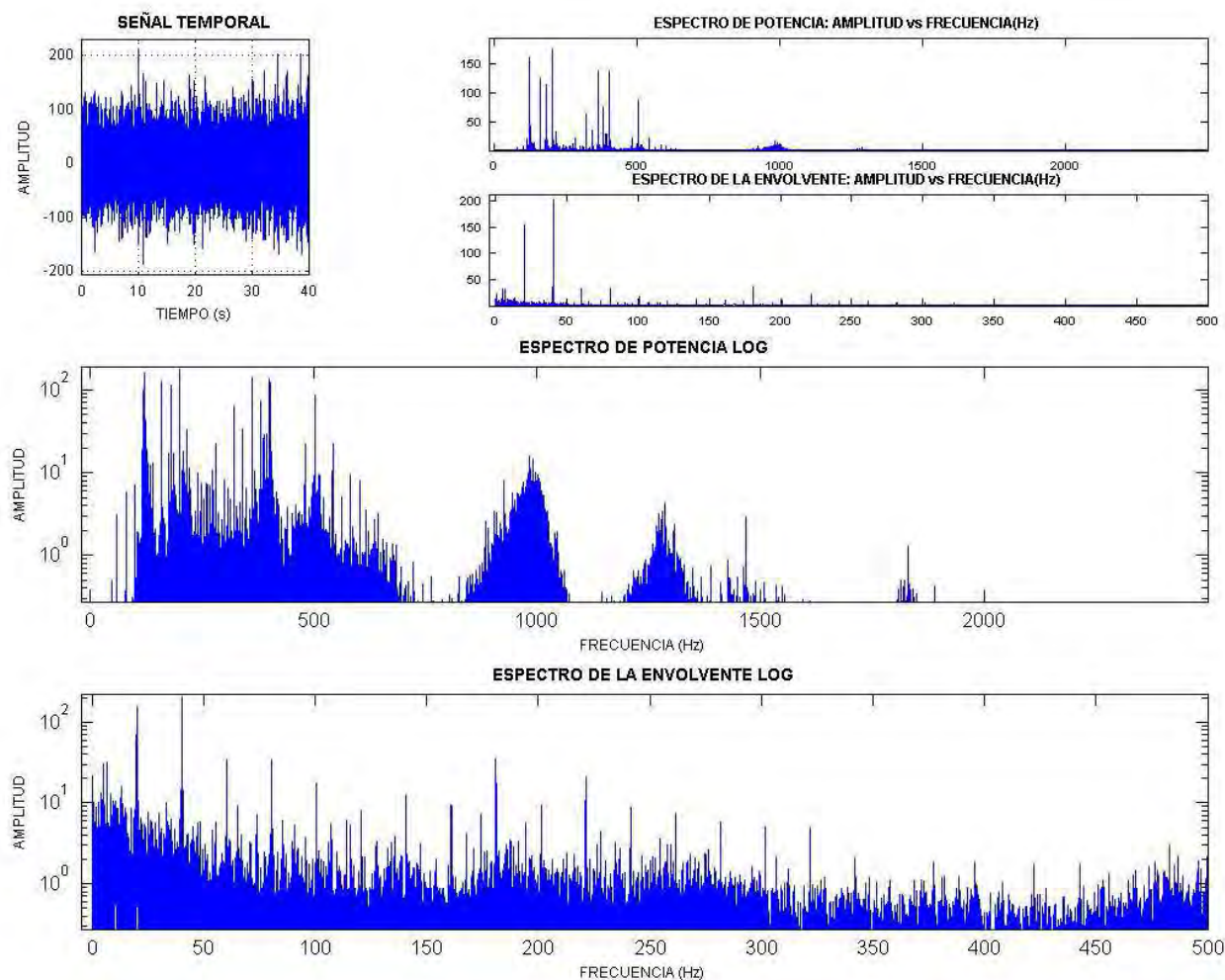
Punto 18

Velocidad (r.p.m) 1200



Media	-1.462622
Desviación Típica:	26.537099
Mediana:	-1.953125
Valor Máximo:	132.812500
Valor Mínimo:	-163.574220
Valor de Pico:	163.574220
Valor de Pico a Pico:	296.386720
Kurtosis:	4.484102
Sesgo:	0.049204
Valor Eficaz:	26.576713
Factor de Forma:	1.329999
Factor de Cresta:	6.154795
Varianza:	704.217633
Valor Medio:	20.006775
Moda:	-2.934131
Potencia del Espectro:	706.321686

## ANEXO A

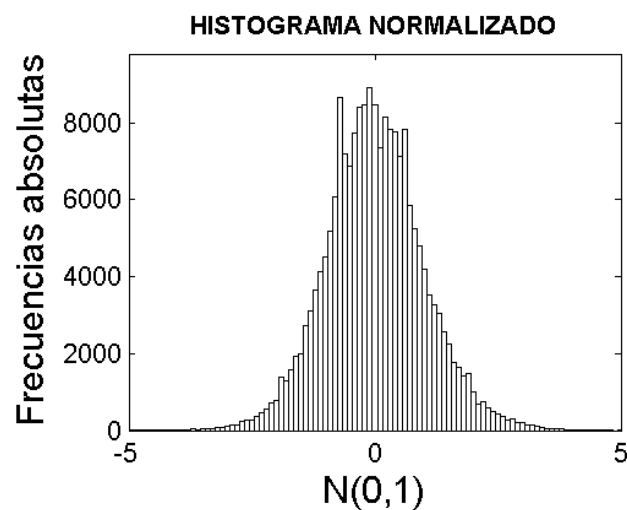


## ANEXO A

Reductora Sin Carcasa

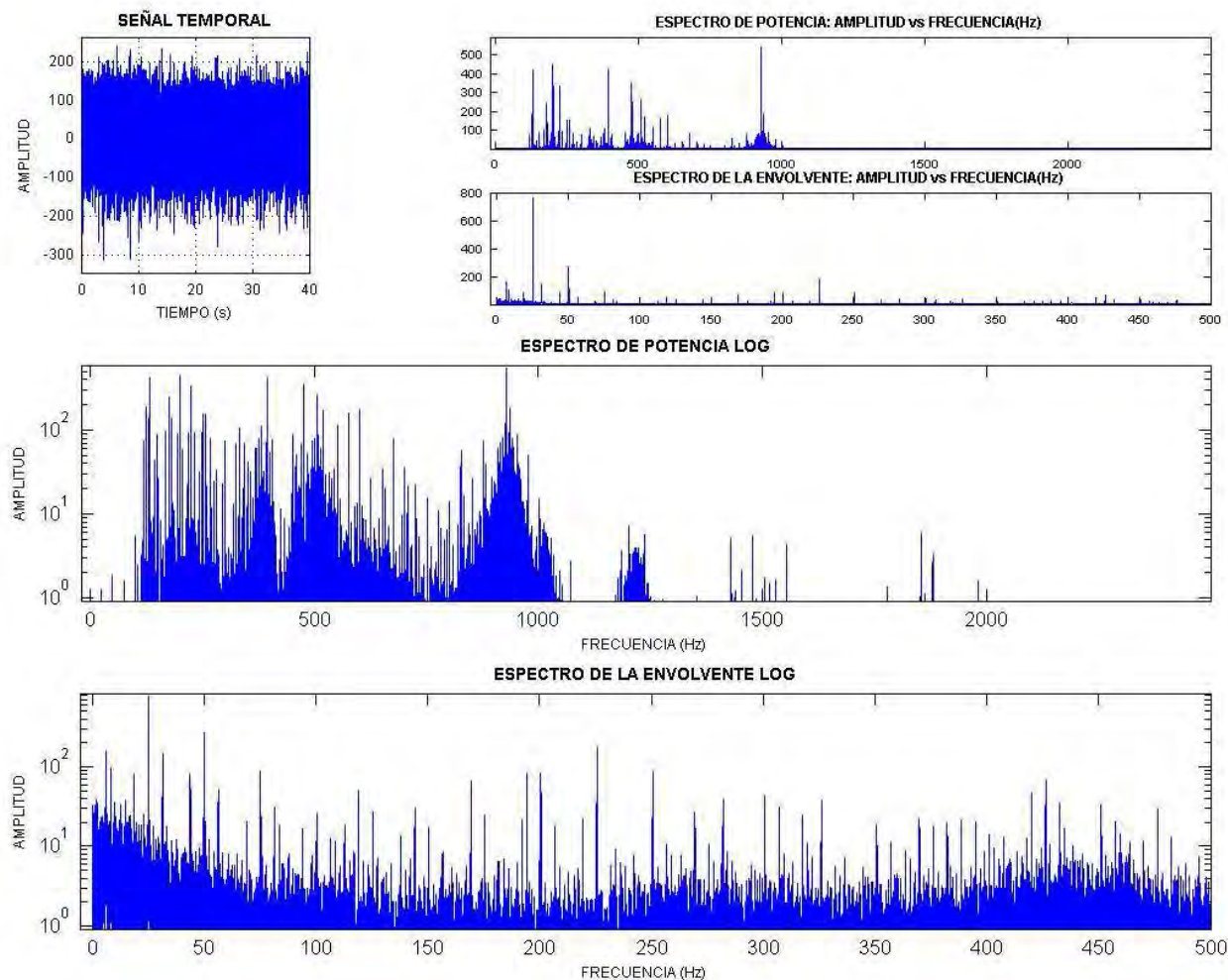
Punto 18

Velocidad (r.p.m) 1500



Media	-4.572074
Desviación Típica:	46.378378
Mediana:	-6.180775
Valor Máximo:	213.236750
Valor Mínimo:	-313.674350
Valor de Pico:	313.674350
Valor de Pico a Pico:	526.911100
Kurtosis:	3.814602
Sesgo:	0.142785
Valor Eficaz:	46.602042
Factor de Forma:	1.253054
Factor de Cresta:	6.730914
Varianza:	2150.953977
Valor Medio:	37.237348
Moda:	-9.398178
Potencia del Espectro:	2171.750290

## ANEXO A



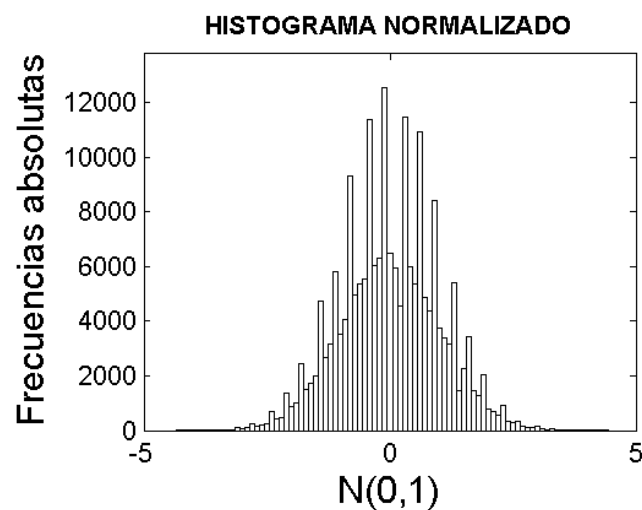


## ANEXO A

Reductora Con Carcasa

Punto 1

Velocidad (r.p.m) 0



Media -0.000639

Desviación Típica: 0.002003

Mediana: -0.000618

Valor Máximo: 0.008344

Valor Mínimo: -0.008344

Valor de Pico: 0.008344

Valor de Pico a Pico: 0.016688

Kurtosis: 3.054247

Sesgo: 0.003552

Valor Eficaz: 0.002102

Factor de Forma: 1.275002

Factor de Cresta: 3.969383

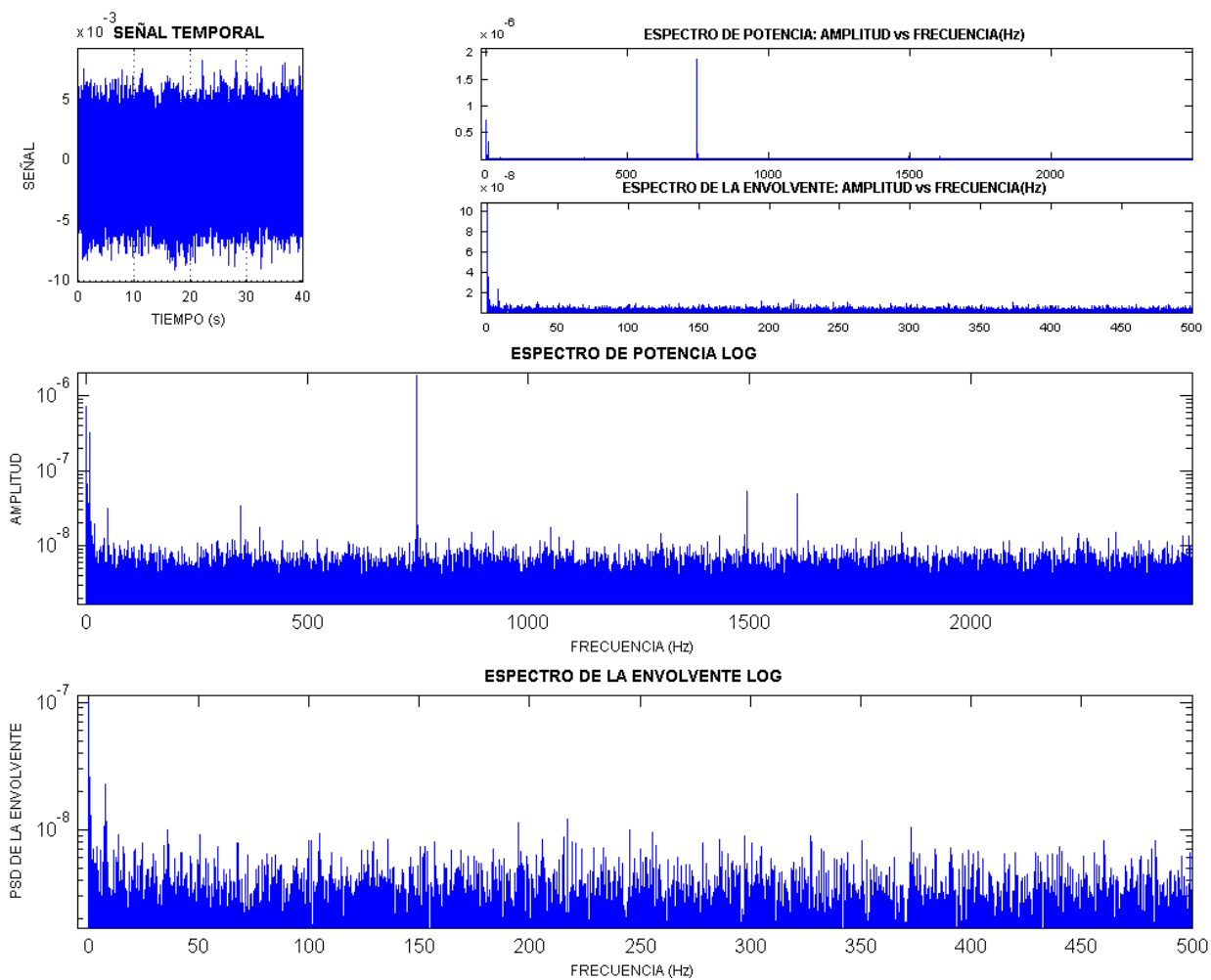
Varianza: 0.000004

Valor Medio: 0.001651

Moda: -0.000575

Potencia del Espectro: 0.000004

# ANEXO A

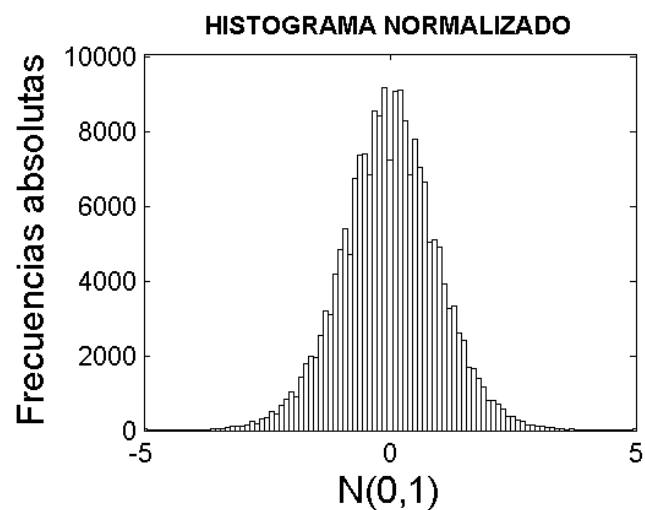


## ANEXO A

Reductora Con Carcasa

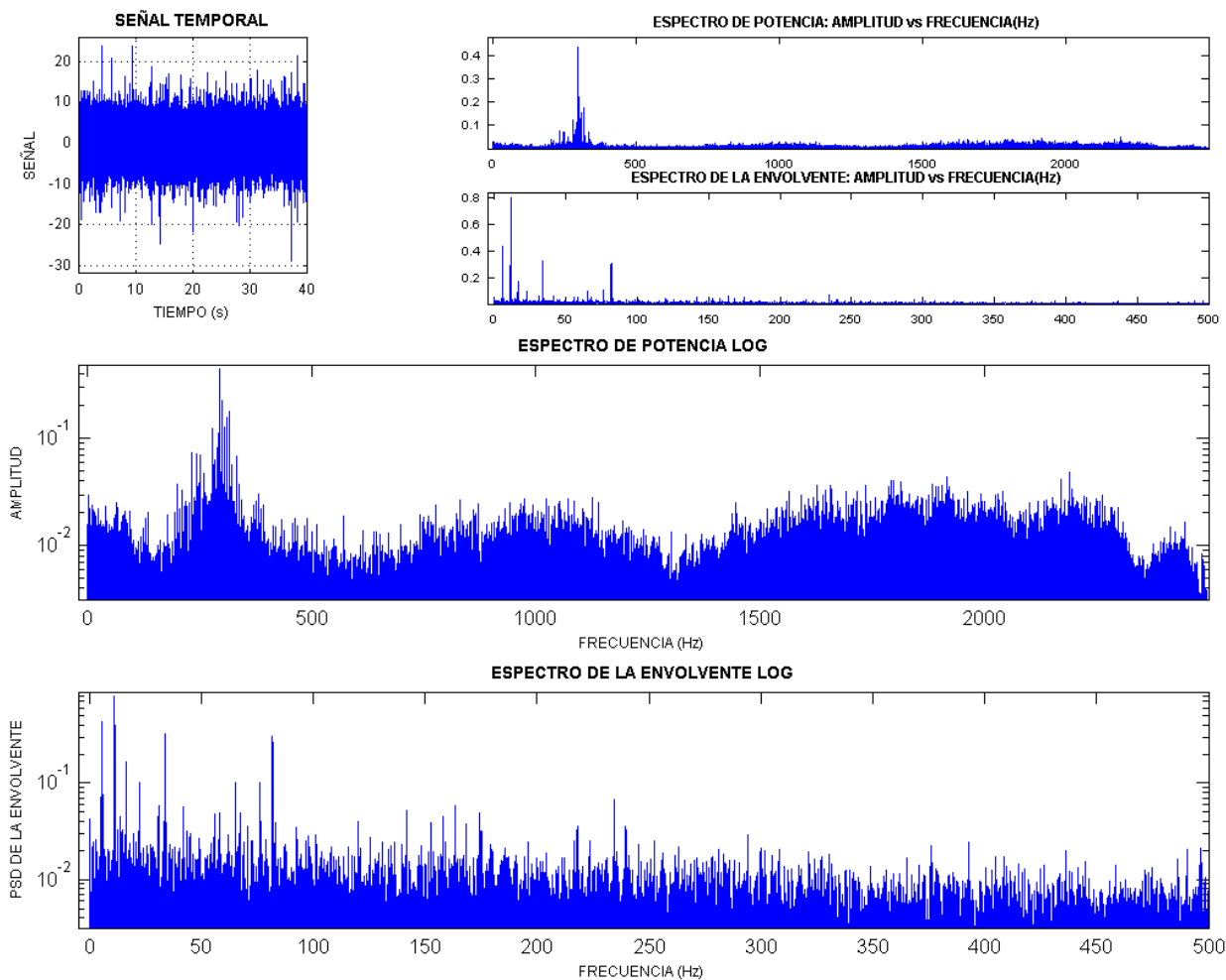
Punto 1

Velocidad (r.p.m) 300



Media	-0.156917
Desviación Típica:	2.896541
Mediana:	-0.146484
Valor Máximo:	15.087891
Valor Mínimo:	-18.603516
Valor de Pico:	18.603516
Valor de Pico a Pico:	33.691407
Kurtosis:	3.995673
Sesgo:	-0.041734
Valor Eficaz:	2.900716
Factor de Forma:	1.334519
Factor de Cresta:	6.413423
Varianza:	8.389948
Valor Medio:	2.174445
Moda:	-0.125620
Potencia del Espectro:	8.414151

## ANEXO A

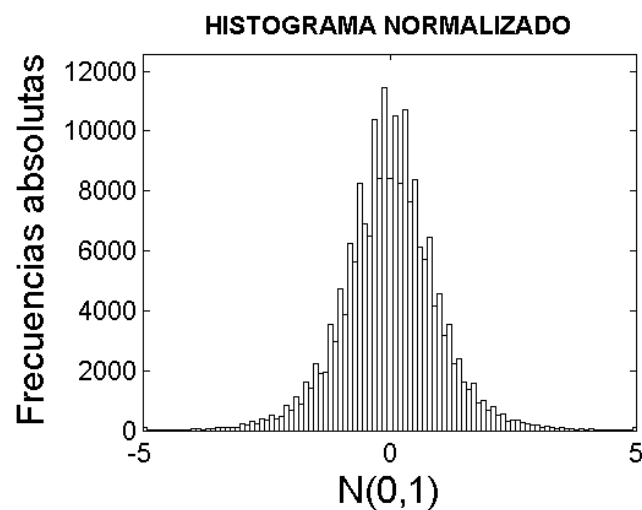


## ANEXO A

Reductora Con Carcasa

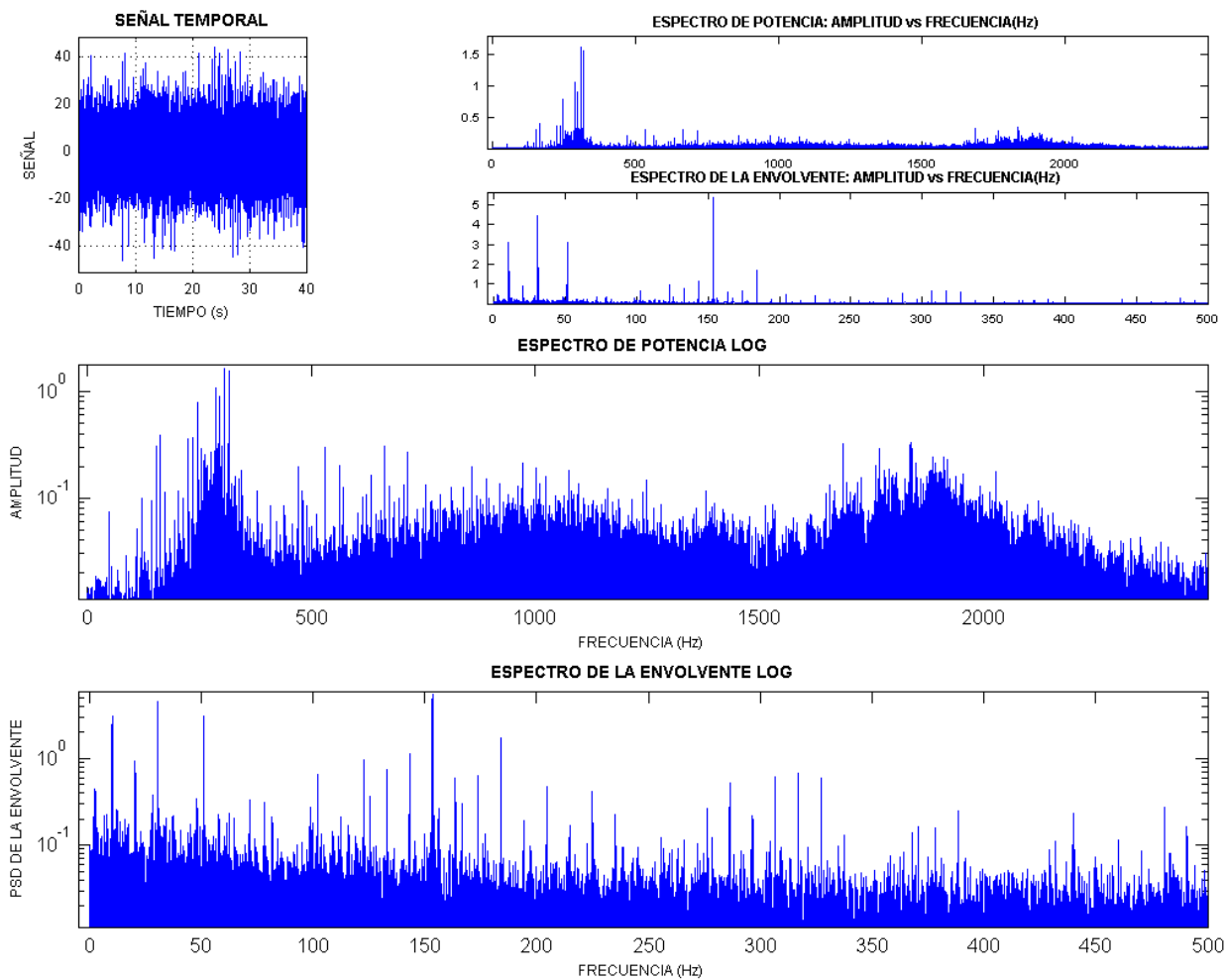
Punto 1

Velocidad (r.p.m) 600



Media	-0.455670
Desviación Típica:	5.397329
Mediana:	-0.463558
Valor Máximo:	40.484078
Valor Mínimo:	-33.839745
Valor de Pico:	40.484078
Valor de Pico a Pico:	74.323823
Kurtosis:	5.198685
Sesgo:	-0.031822
Valor Eficaz:	5.416395
Factor de Forma:	1.367390
Factor de Cresta:	7.474358
Varianza:	29.131158
Valor Medio:	3.961624
Moda:	-0.479335
Potencia del Espectro:	29.337336

## ANEXO A

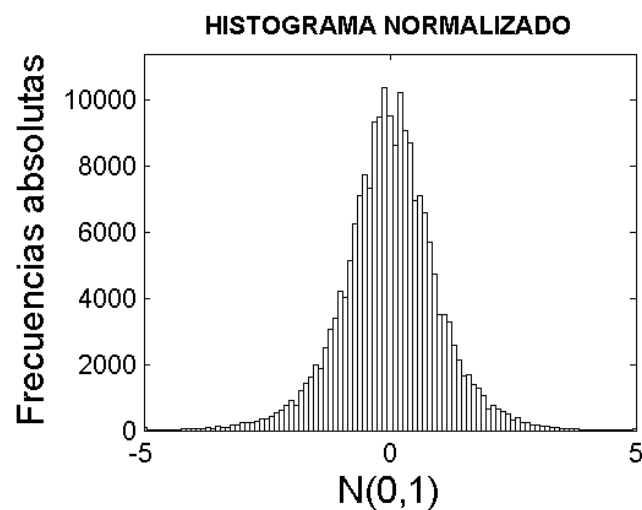


## ANEXO A

Reductora Con Carcasa

Punto 1

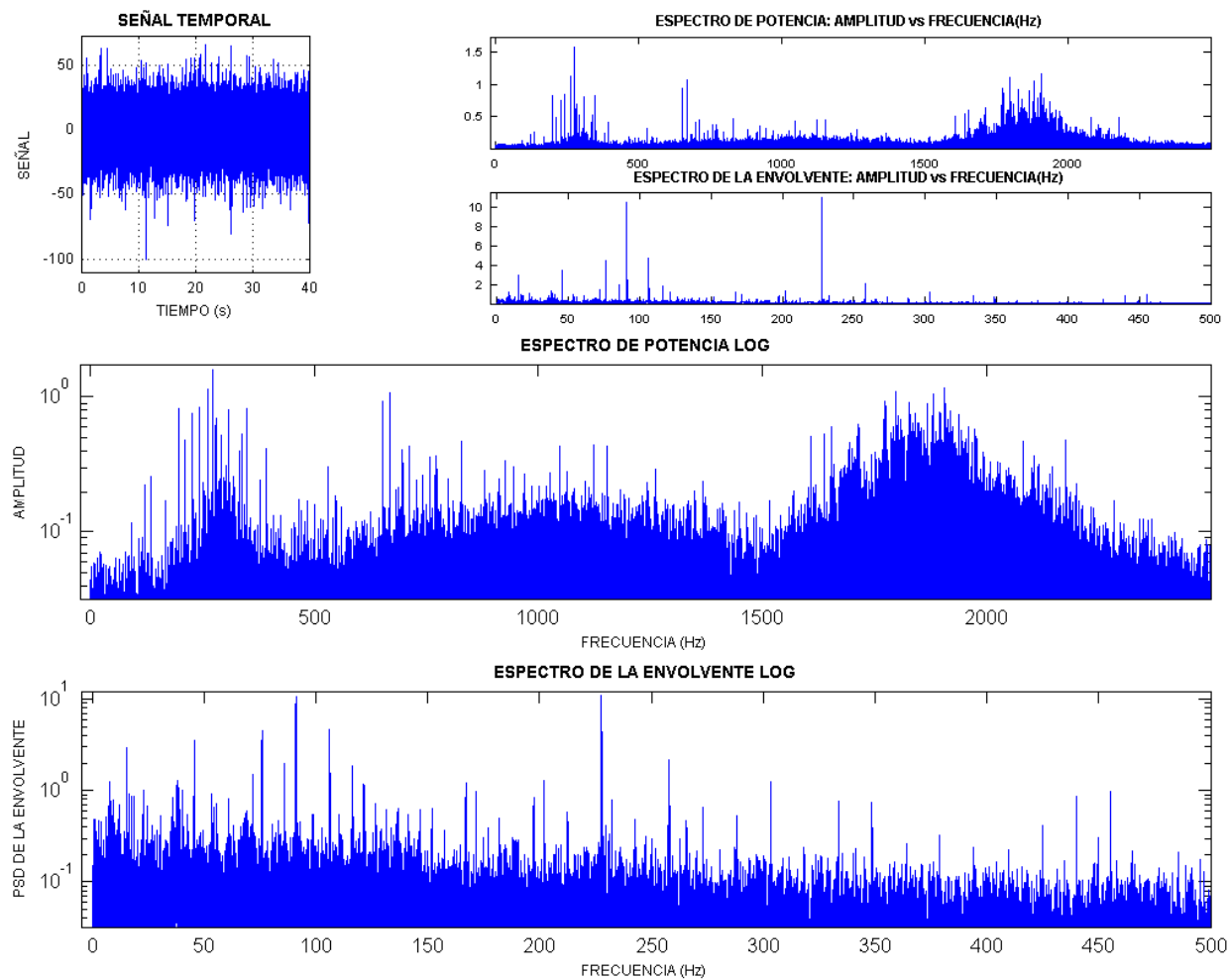
Velocidad (r.p.m) 900



Media	-0.494153
Desviación Típica:	8.978312
Mediana:	-0.463558
Valor Máximo:	62.734869
Valor Mínimo:	-69.379203
Valor de Pico:	69.379203
Valor de Pico a Pico:	132.114072
Kurtosis:	5.042084
Sesgo:	-0.133037
Valor Eficaz:	8.991676
Factor de Forma:	1.352987
Factor de Cresta:	7.715937
Varianza:	80.610082
Valor Medio:	6.646845
Moda:	-0.402368
Potencia del Espectro:	80.850239



## ANEXO A

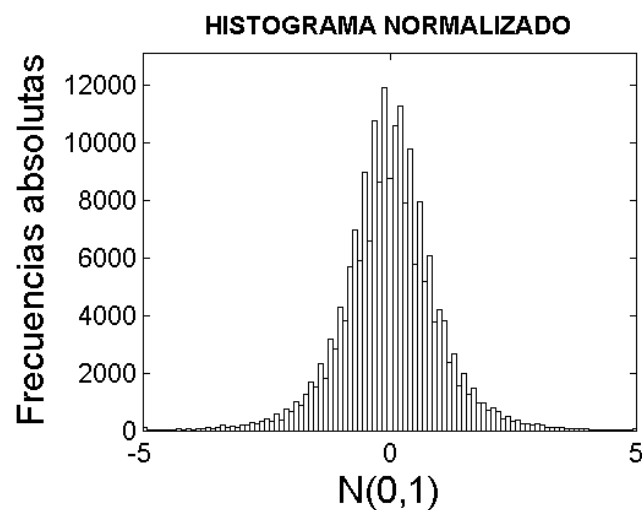


## ANEXO A

Reductora Con Carcasa

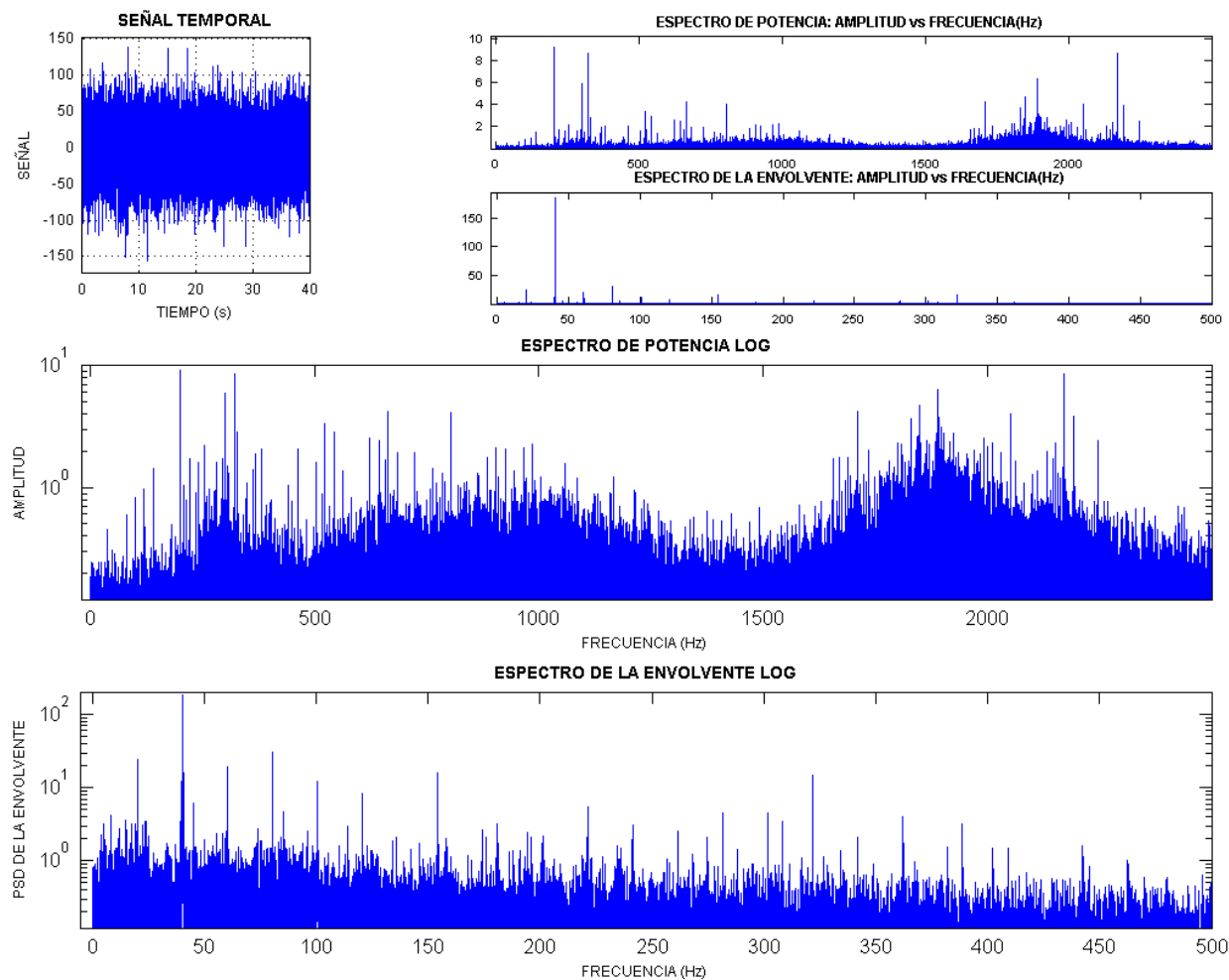
Punto 1

Velocidad (r.p.m) 1200



Media	-1.441724
Desviación Típica:	17.683492
Mediana:	-1.464844
Valor Máximo:	117.675780
Valor Mínimo:	-121.582030
Valor de Pico:	121.582030
Valor de Pico a Pico:	239.257810
Kurtosis:	5.951726
Sesgo:	-0.004857
Valor Eficaz:	17.741726
Factor de Forma:	1.399112
Factor de Cresta:	6.852886
Varianza:	312.705898
Valor Medio:	12.683369
Moda:	-1.511084
Potencia del Espectro:	314.768830

## ANEXO A

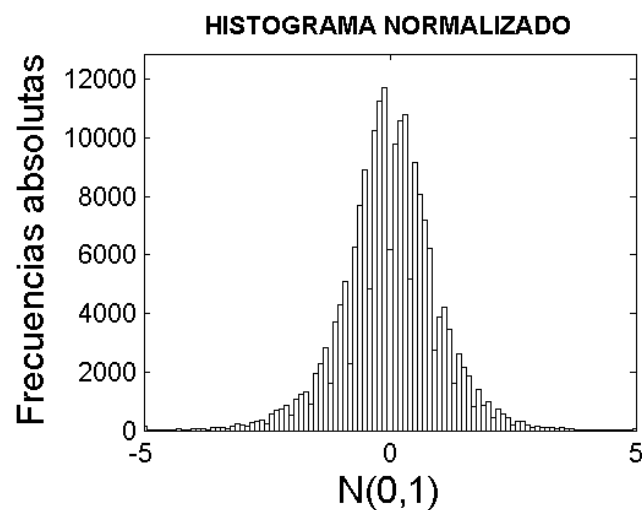


## ANEXO A

Reductora Con Carcasa

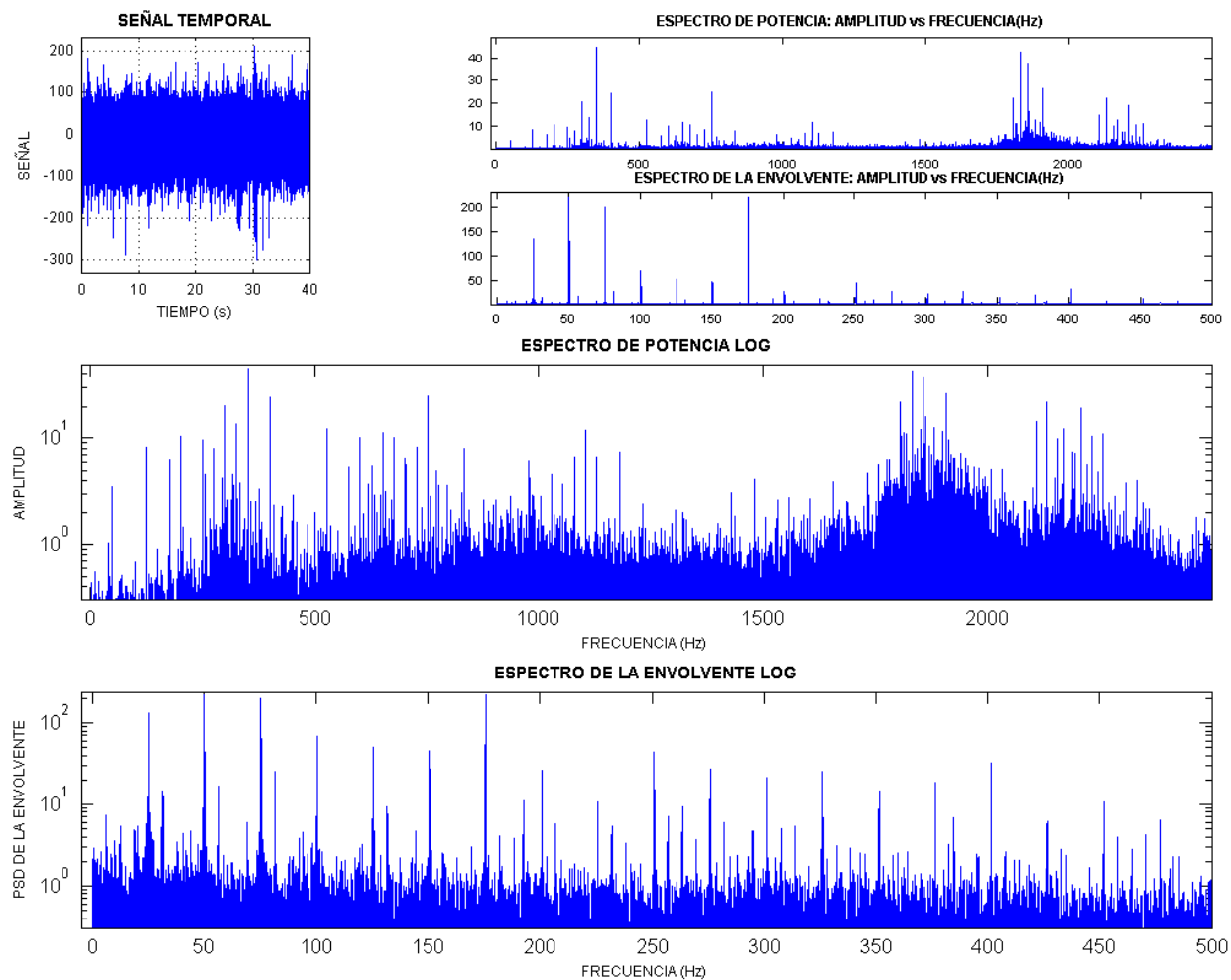
Punto 1

Velocidad (r.p.m) 1500



Media	-4.371662
Desviación Típica:	27.238255
Mediana:	-4.635581
Valor Máximo:	182.332870
Valor Mínimo:	-219.417520
Valor de Pico:	219.417520
Valor de Pico a Pico:	401.750390
Kurtosis:	5.977445
Sesgo:	-0.304859
Valor Eficaz:	27.586172
Factor de Forma:	1.357540
Factor de Cresta:	7.953895
Varianza:	741.922546
Valor Medio:	20.323888
Moda:	-5.163420
Potencia del Espectro:	760.996882

## ANEXO A

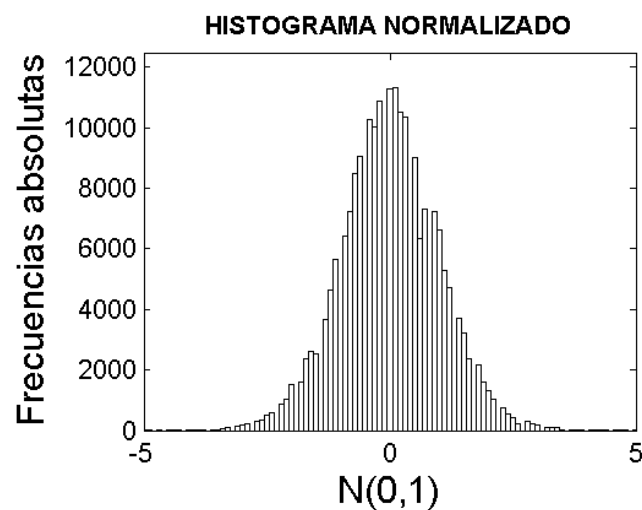


## ANEXO A

Reductora Con Carcasa

Punto 2

Velocidad (r.p.m) 0



Media -0.027514

Desviación Típica: 0.037101

Mediana: -0.029297

Valor Máximo: 0.151367

Valor Mínimo: -0.190430

Valor de Pico: 0.190430

Valor de Pico a Pico: 0.341797

Kurtosis: 3.396516

Sesgo: 0.051275

Valor Eficaz: 0.046189

Factor de Forma: 1.216055

Factor de Cresta: 4.122806

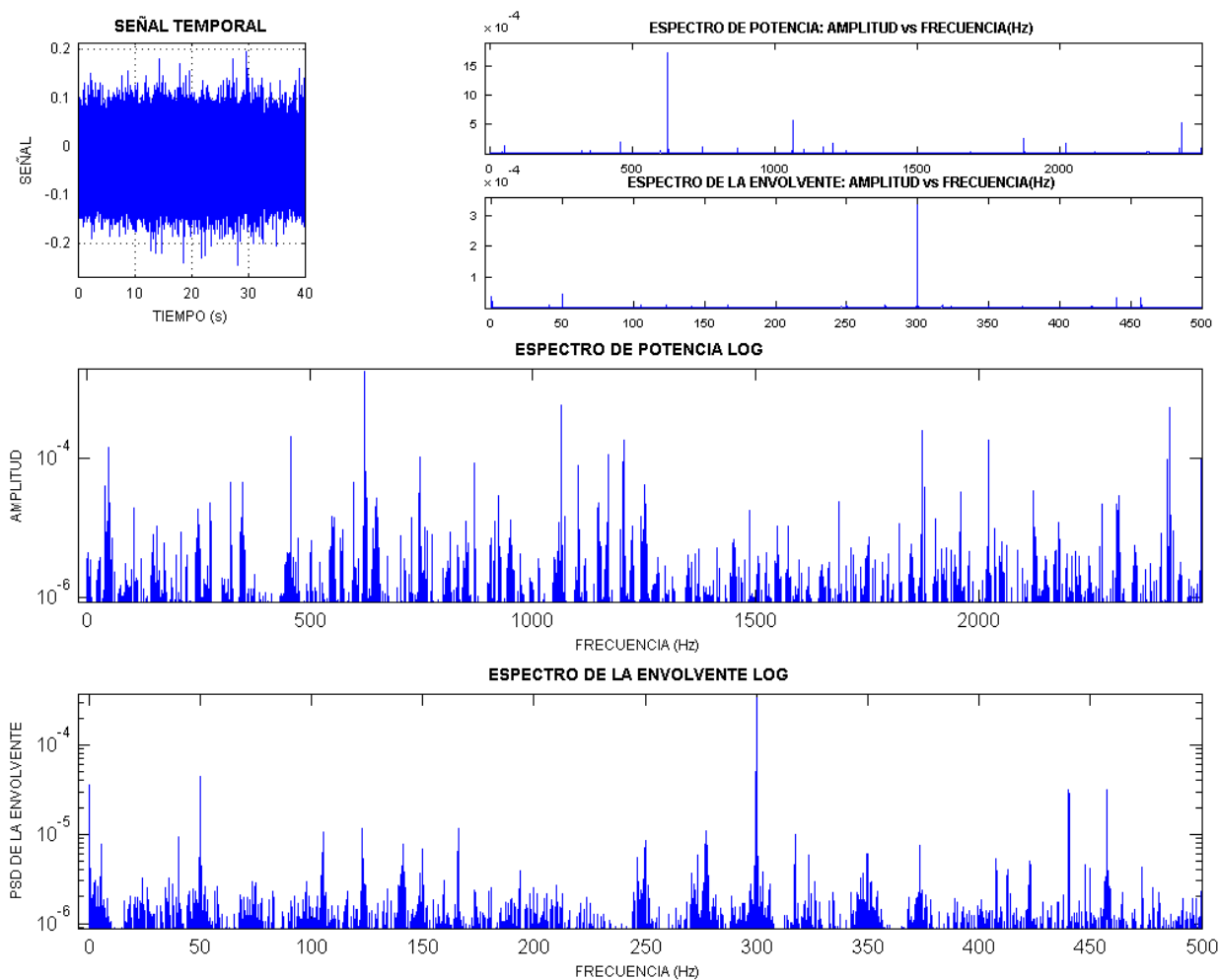
Varianza: 0.001376

Valor Medio: 0.038030

Moda: -0.032862

Potencia del Espectro: 0.002133

## ANEXO A



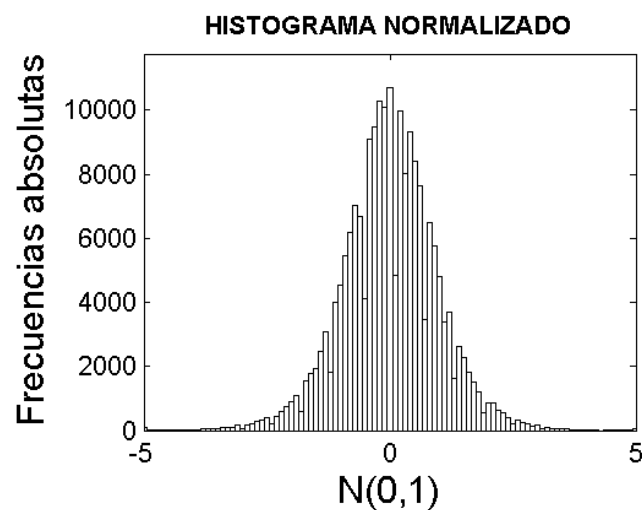


## ANEXO A

Reductora Con Carcasa

Punto 2

Velocidad (r.p.m) 300



Media -0.287979

Desviación Típica: 0.894907

Mediana: -0.292969

Valor Máximo: 7.128906

Valor Mínimo: -7.177734

Valor de Pico: 7.177734

Valor de Pico a Pico: 14.306641

Kurtosis: 4.979966

Sesgo: -0.094106

Valor Eficaz: 0.940080

Factor de Forma: 1.326534

Factor de Cresta: 7.635241

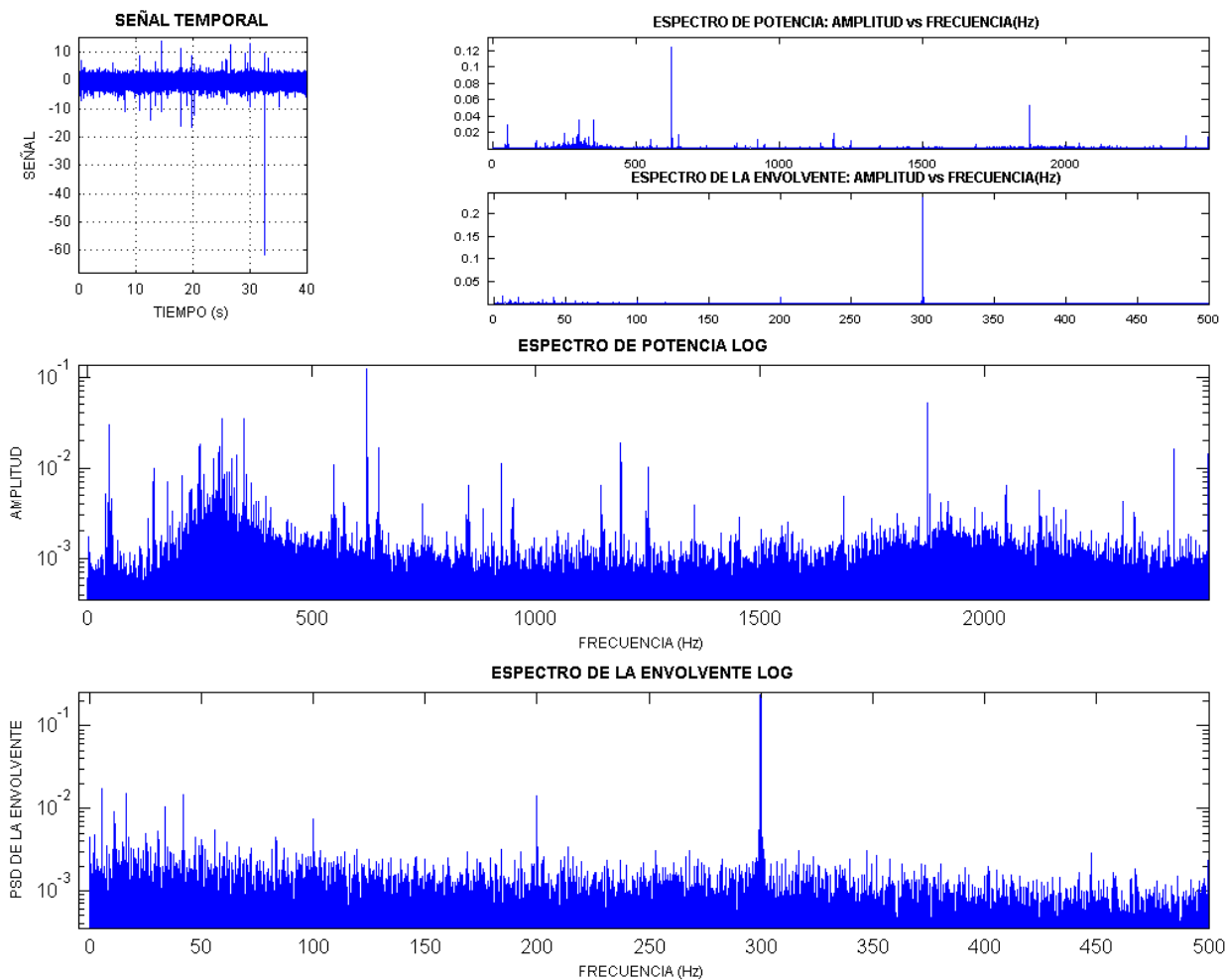
Varianza: 0.800858

Valor Medio: 0.708827

Moda: -0.302949

Potencia del Espectro: 0.883750

# ANEXO A

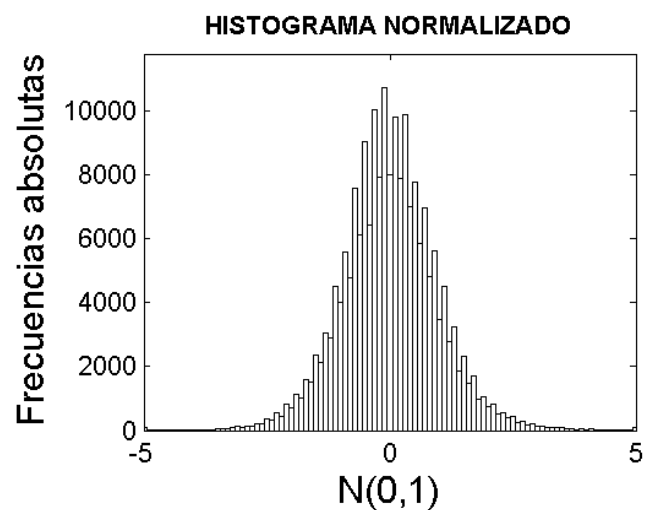


## ANEXO A

Reductora Con Carcasa

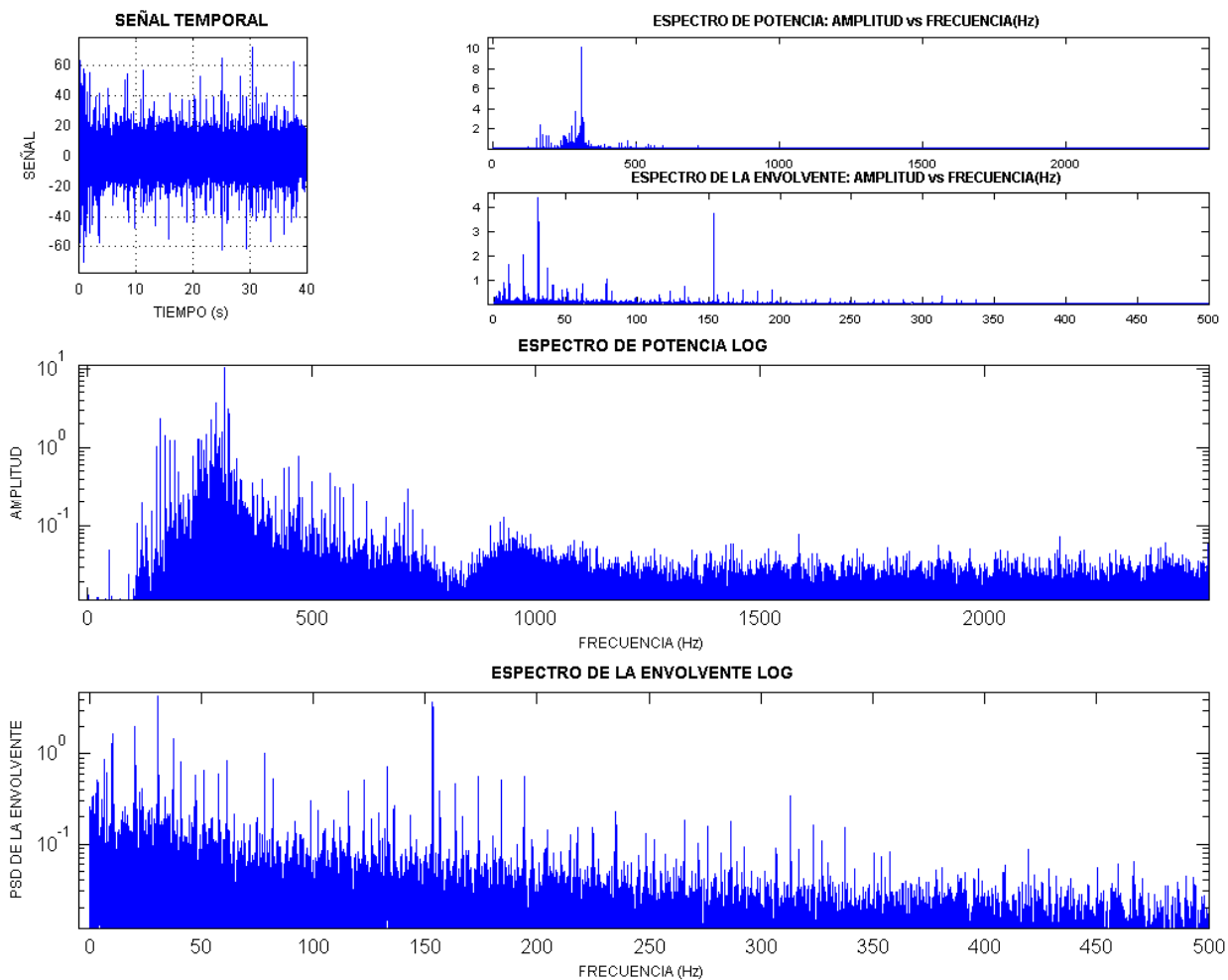
Punto 2

Velocidad (r.p.m) 600



Media	-0.450061
Desviación Típica:	5.841561
Mediana:	-0.463558
Valor Máximo:	63.043908
Valor Mínimo:	-69.997280
Valor de Pico:	69.997280
Valor de Pico a Pico:	133.041188
Kurtosis:	14.506094
Sesgo:	0.058666
Valor Eficaz:	5.858727
Factor de Forma:	1.433223
Factor de Cresta:	11.947523
Varianza:	34.123838
Valor Medio:	4.088617
Moda:	-0.490553
Potencia del Espectro:	34.324686

## ANEXO A

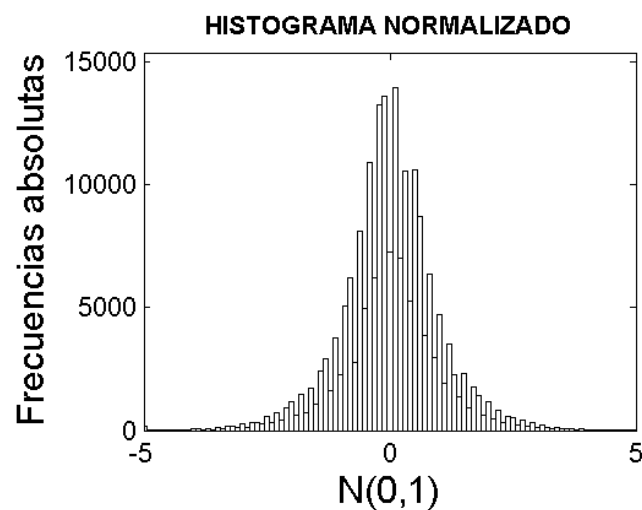


## ANEXO A

Reductora Con Carcasa

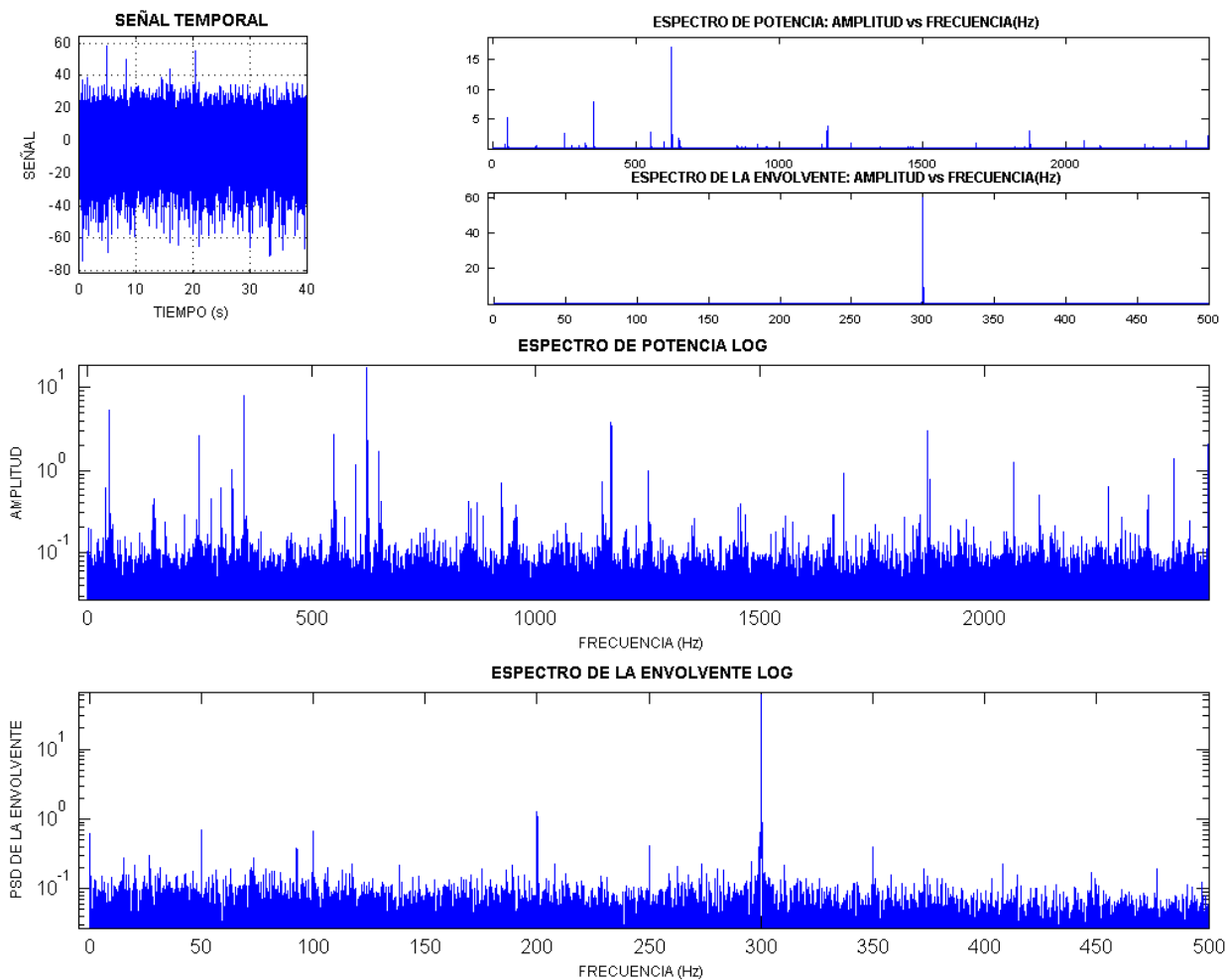
Punto 2

Velocidad (r.p.m) 900



Media	-3.054883
Desviación Típica:	7.614134
Mediana:	-2.929688
Valor Máximo:	39.062500
Valor Mínimo:	-73.730469
Valor de Pico:	73.730469
Valor de Pico a Pico:	112.792969
Kurtosis:	6.444994
Sesgo:	-0.386517
Valor Eficaz:	8.203929
Factor de Forma:	1.334154
Factor de Cresta:	8.987215
Varianza:	57.975035
Valor Medio:	6.149773
Moda:	-2.679297
Potencia del Espectro:	67.304445

# ANEXO A

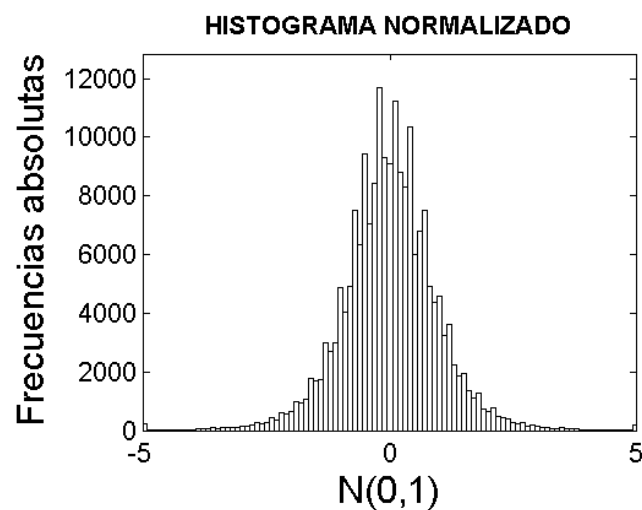


## ANEXO A

Reductora Con Carcasa

Punto 2

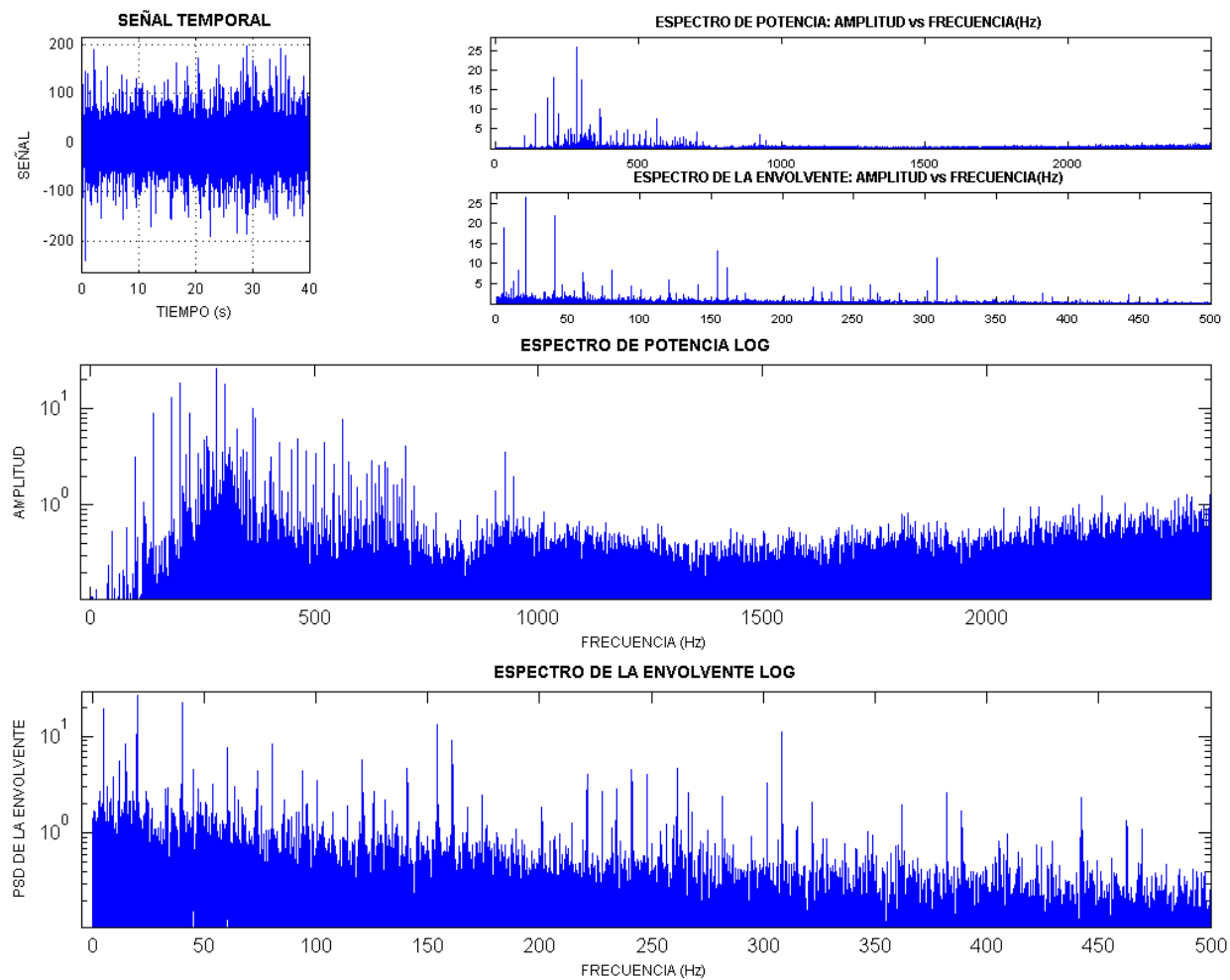
Velocidad (r.p.m) 1200



Media	-1.399829
Desviación Típica:	16.597206
Mediana:	-1.464844
Valor Máximo:	188.476560
Valor Mínimo:	-239.746090
Valor de Pico:	239.746090
Valor de Pico a Pico:	428.222650
Kurtosis:	11.782099
Sesgo:	-0.161728
Valor Eficaz:	16.655720
Factor de Forma:	1.398447
Factor de Cresta:	14.394220
Varianza:	275.467253
Valor Medio:	11.914009
Moda:	-1.594873
Potencia del Espectro:	277.413001



## ANEXO A

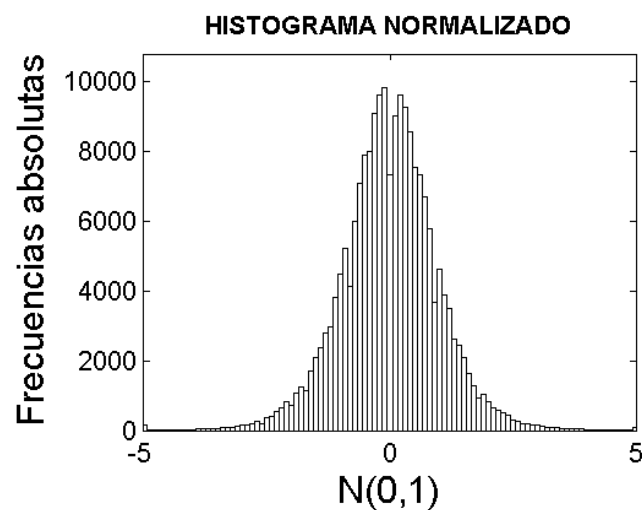


## ANEXO A

Reductora Con Carcasa

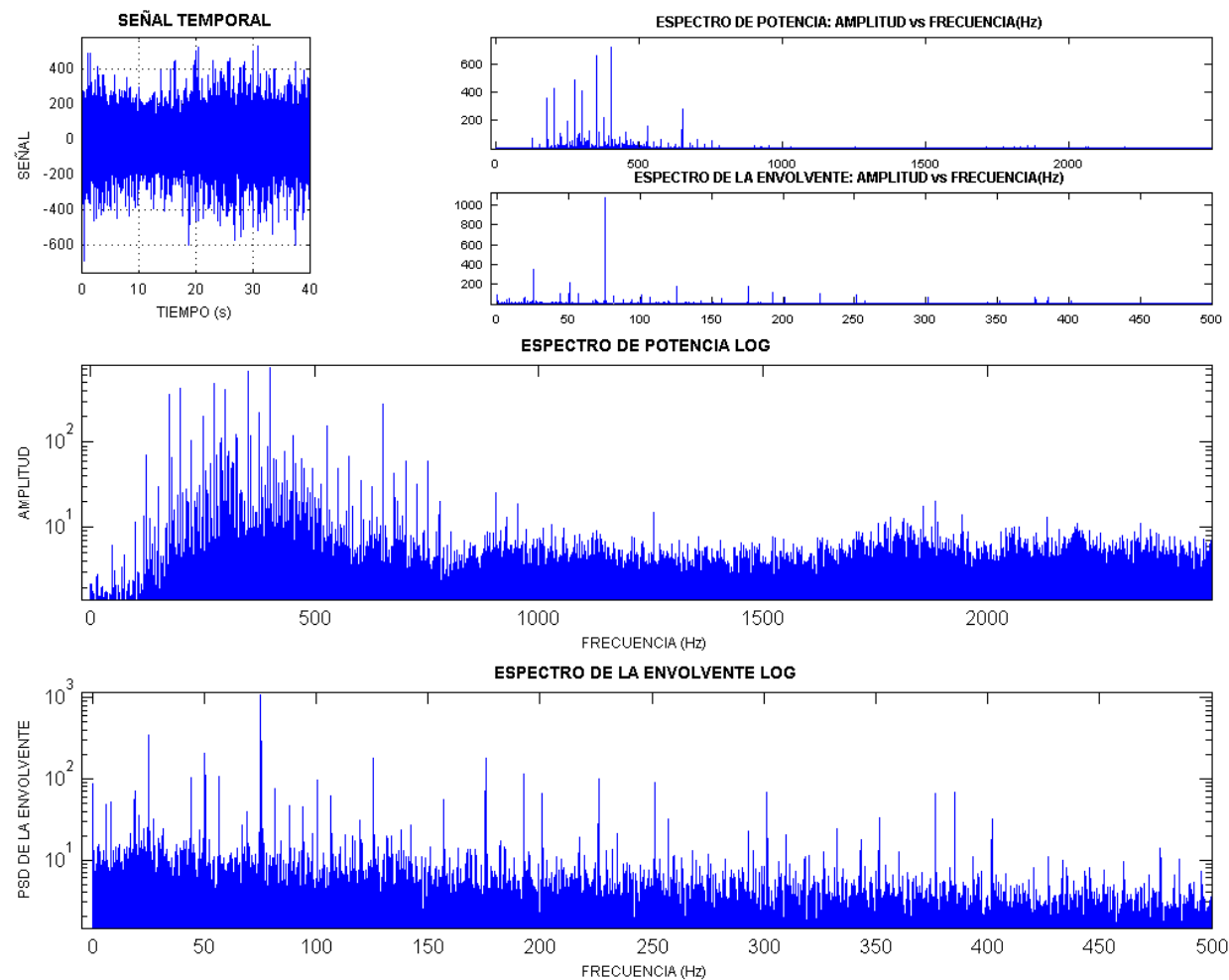
Punto 2

Velocidad (r.p.m) 1500



Media	-4.386342
Desviación Típica:	65.342487
Mediana:	-3.090388
Valor Máximo:	491.371640
Valor Mínimo:	-686.066060
Valor de Pico:	686.066060
Valor de Pico a Pico:	1177.437700
Kurtosis:	6.165754
Sesgo:	-0.117306
Valor Eficaz:	65.487916
Factor de Forma:	1.461477
Factor de Cresta:	10.476224
Varianza:	4269.640611
Valor Medio:	45.016680
Moda:	-0.498480
Potencia del Espectro:	4288.667123

## ANEXO A

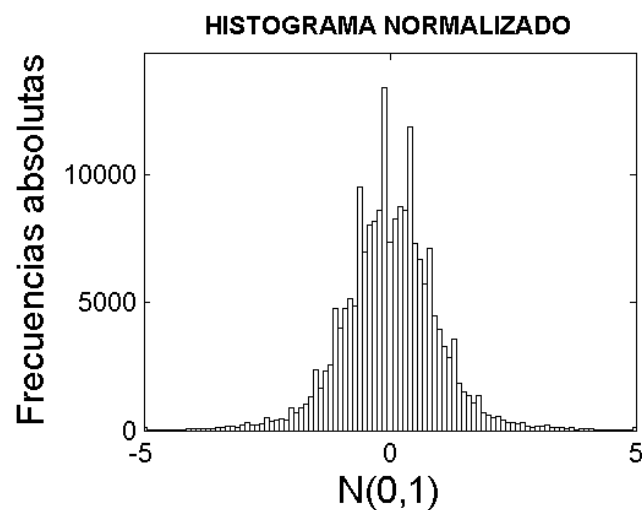


## ANEXO A

Reductora Con Carcasa

Punto 3

Velocidad (r.p.m) 0



Media -0.000388

Desviación Típica: 0.005171

Mediana: -0.000464

Valor Máximo: 0.018079

Valor Mínimo: -0.018851

Valor de Pico: 0.018851

Valor de Pico a Pico: 0.036930

Kurtosis: 2.988092

Sesgo: 0.001742

Valor Eficaz: 0.005185

Factor de Forma: 2.245596

Factor de Cresta: 3.635781

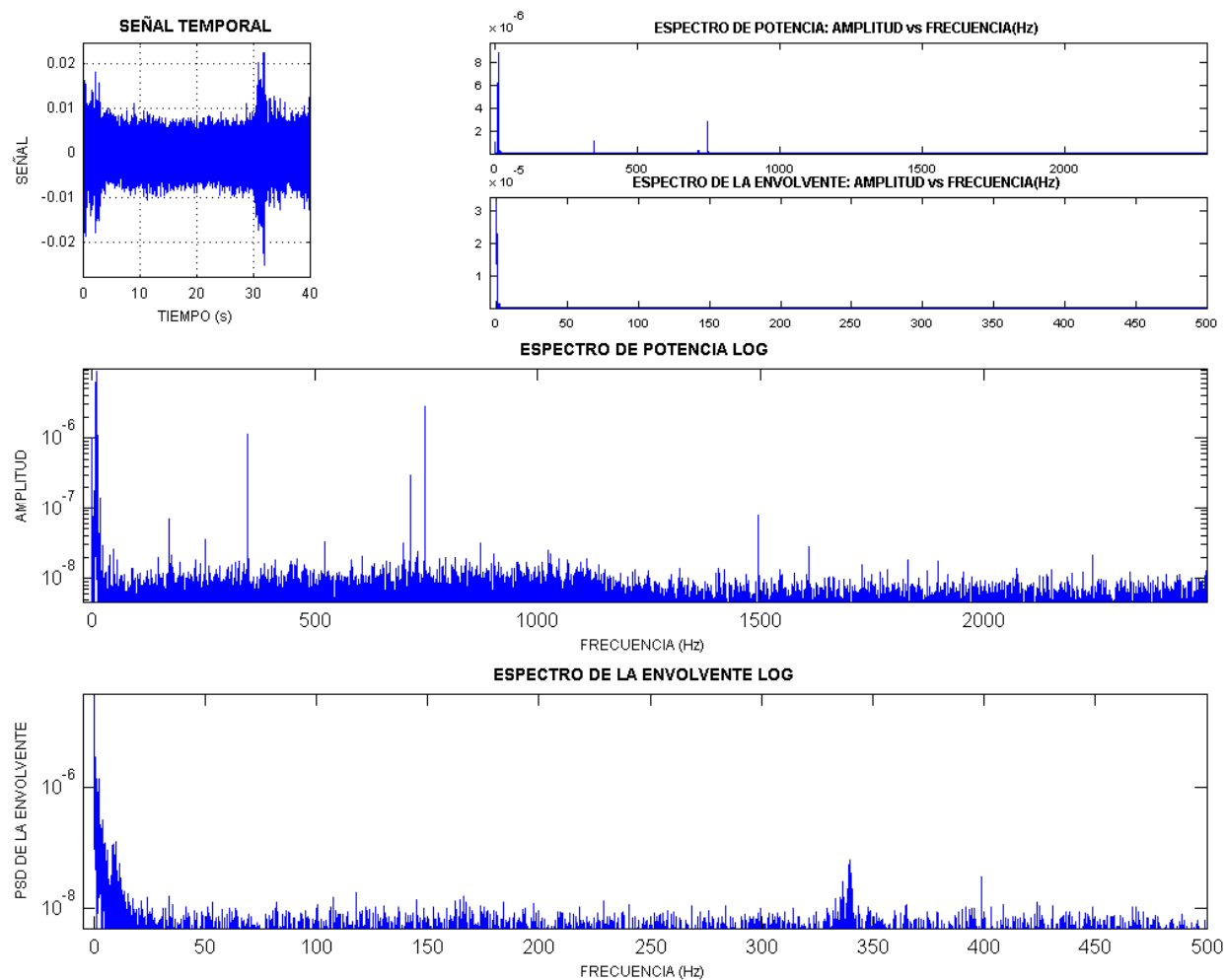
Varianza: 0.000027

Valor Medio: 0.002522

Moda: -0.000614

Potencia del Espectro: 0.000027

# ANEXO A

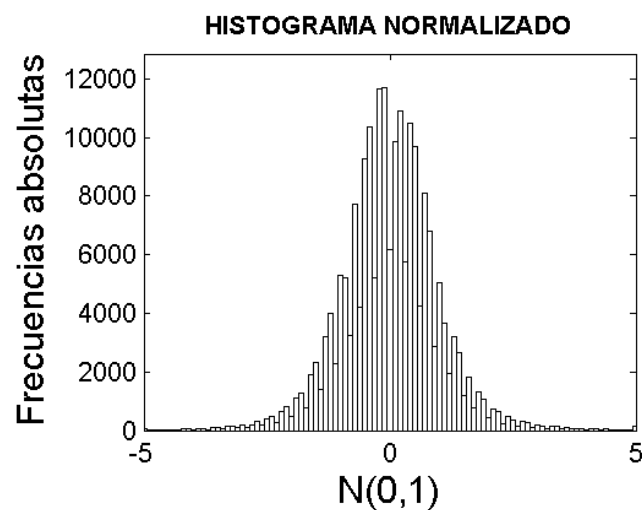


## ANEXO A

Reductora Con Carcasa

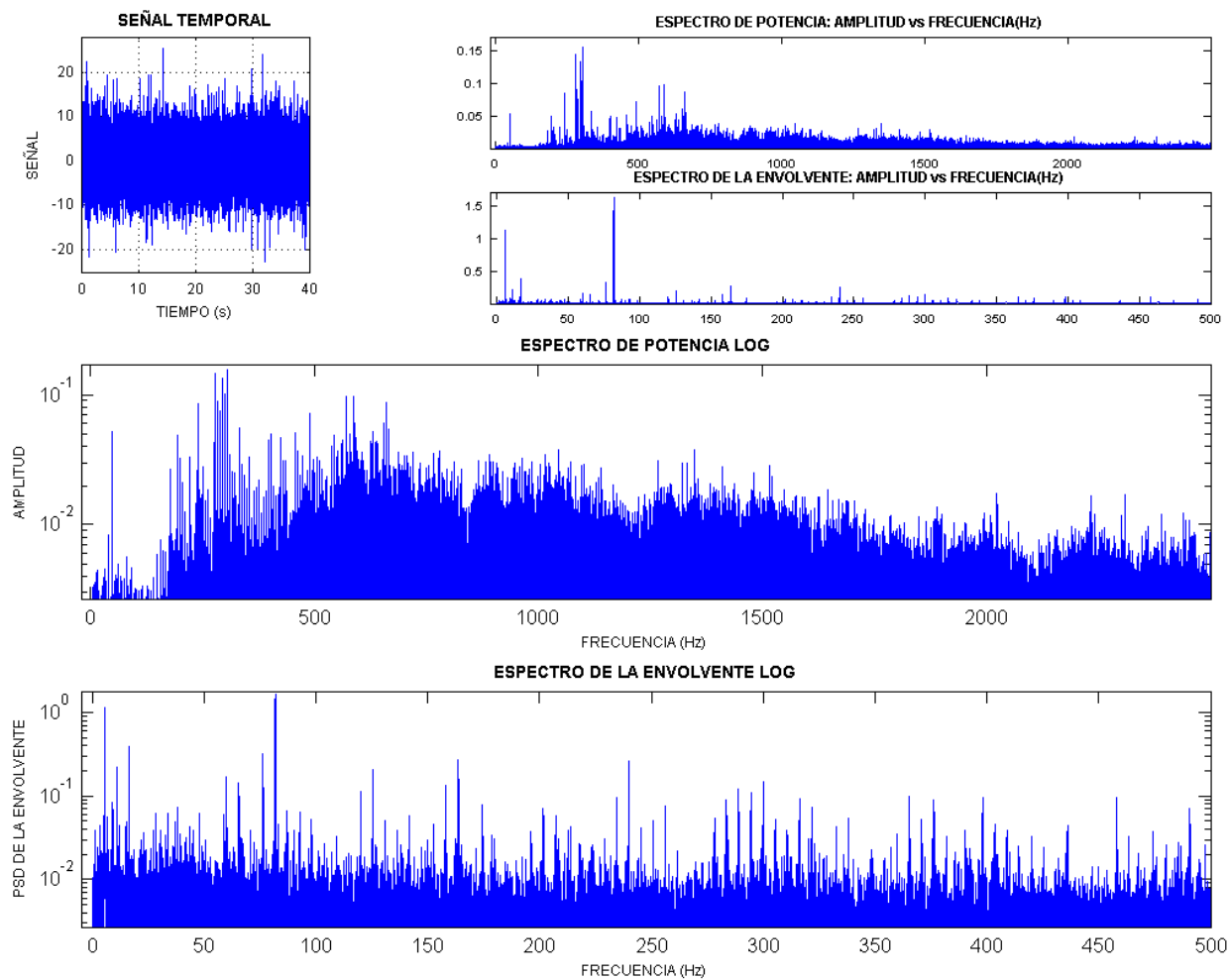
Punto 3

Velocidad (r.p.m) 300



Media	-0.456203
Desviación Típica:	2.584028
Mediana:	-0.463558
Valor Máximo:	22.405311
Valor Mínimo:	-21.787233
Valor de Pico:	22.405311
Valor de Pico a Pico:	44.192544
Kurtosis:	6.372358
Sesgo:	0.103446
Valor Eficaz:	2.623926
Factor de Forma:	1.358821
Factor de Cresta:	8.538850
Varianza:	6.677201
Valor Medio:	1.931127
Moda:	-0.478268
Potencia del Espectro:	6.884988

## ANEXO A

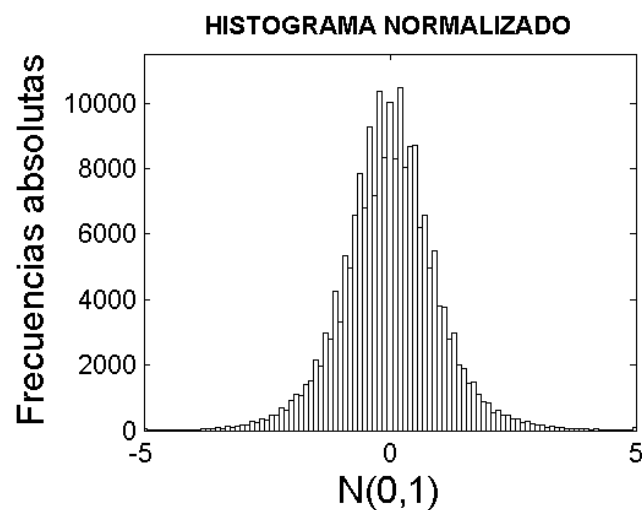


## ANEXO A

Reductora Con Carcasa

Punto 3

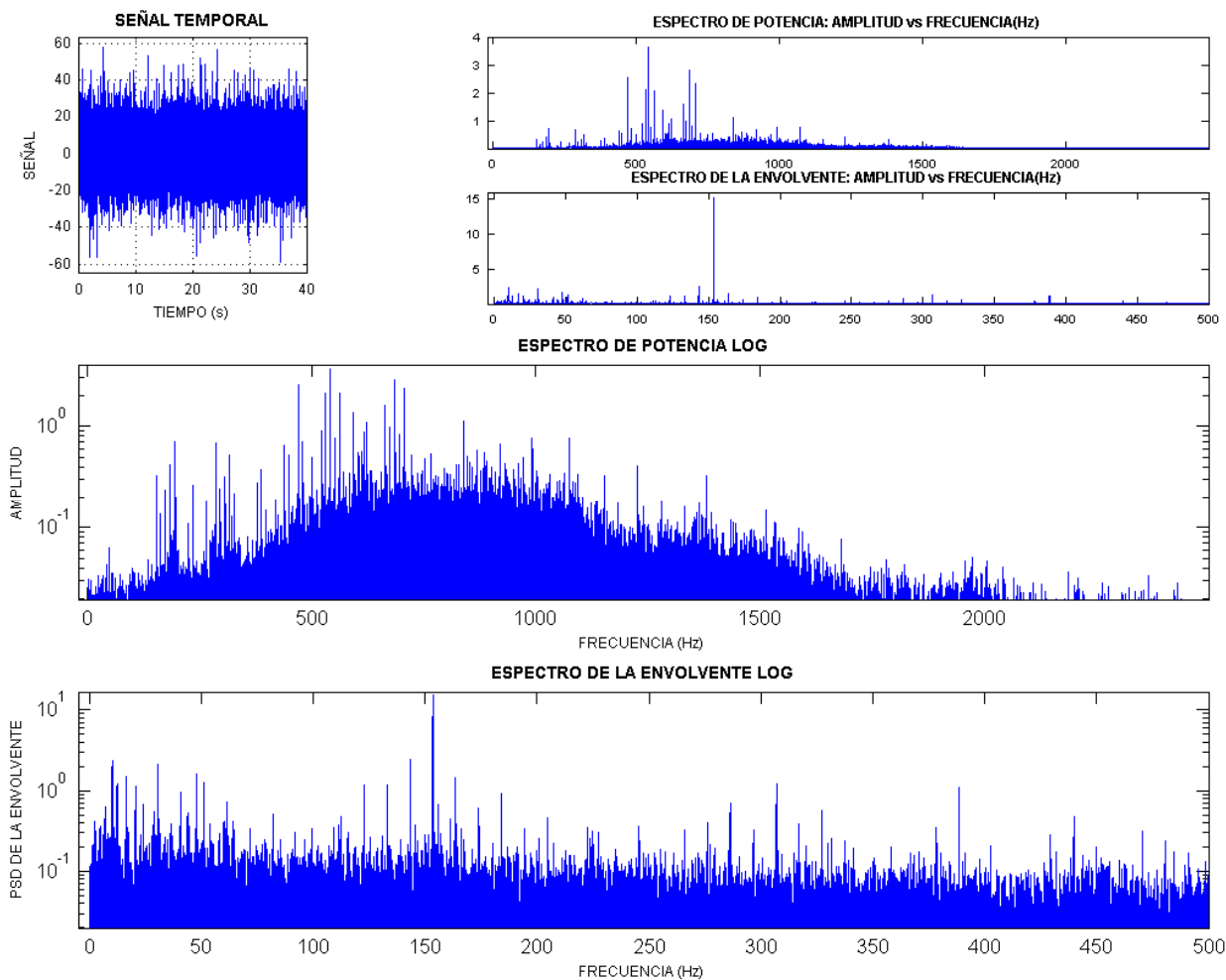
Velocidad (r.p.m) 600



Media	-0.422062
Desviación Típica:	7.141063
Mediana:	-0.463558
Valor Máximo:	46.201295
Valor Mínimo:	-56.554094
Valor de Pico:	56.554094
Valor de Pico a Pico:	102.755389
Kurtosis:	5.570073
Sesgo:	0.040503
Valor Eficaz:	7.153346
Factor de Forma:	1.360284
Factor de Cresta:	7.905964
Varianza:	50.994775
Valor Medio:	5.259040
Moda:	-0.546551
Potencia del Espectro:	51.170362



## ANEXO A

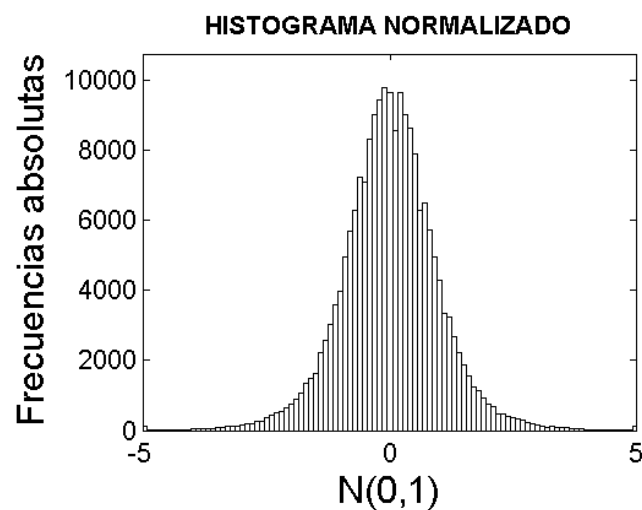


## ANEXO A

Reductora Con Carcasa

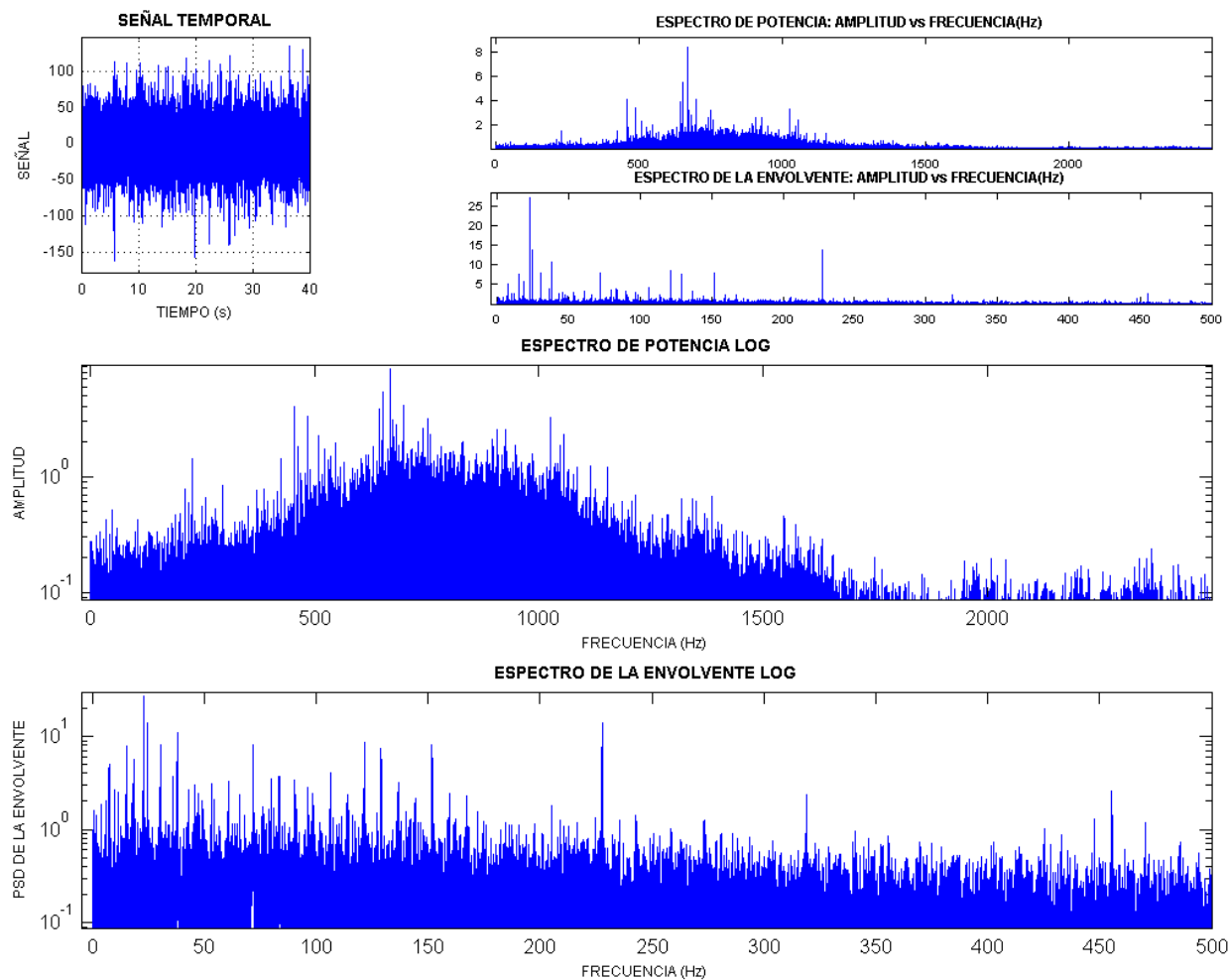
Punto 3

Velocidad (r.p.m) 900



Media	-1.524414
Desviación Típica:	14.373465
Mediana:	-1.464844
Valor Máximo:	83.007813
Valor Mínimo:	-110.839840
Valor de Pico:	110.839840
Valor de Pico a Pico:	193.847653
Kurtosis:	5.500779
Sesgo:	-0.059131
Valor Eficaz:	14.453719
Factor de Forma:	1.321813
Factor de Cresta:	7.668604
Varianza:	206.596482
Valor Medio:	10.936465
Moda:	-1.345703
Potencia del Espectro:	208.909990

## ANEXO A

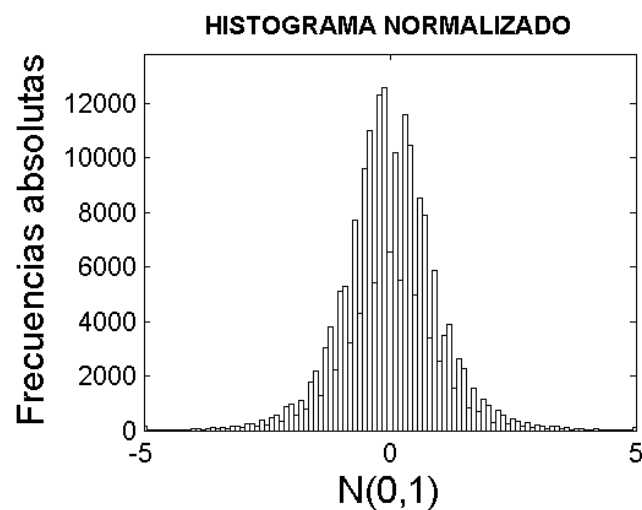


## ANEXO A

Reductora Con Carcasa

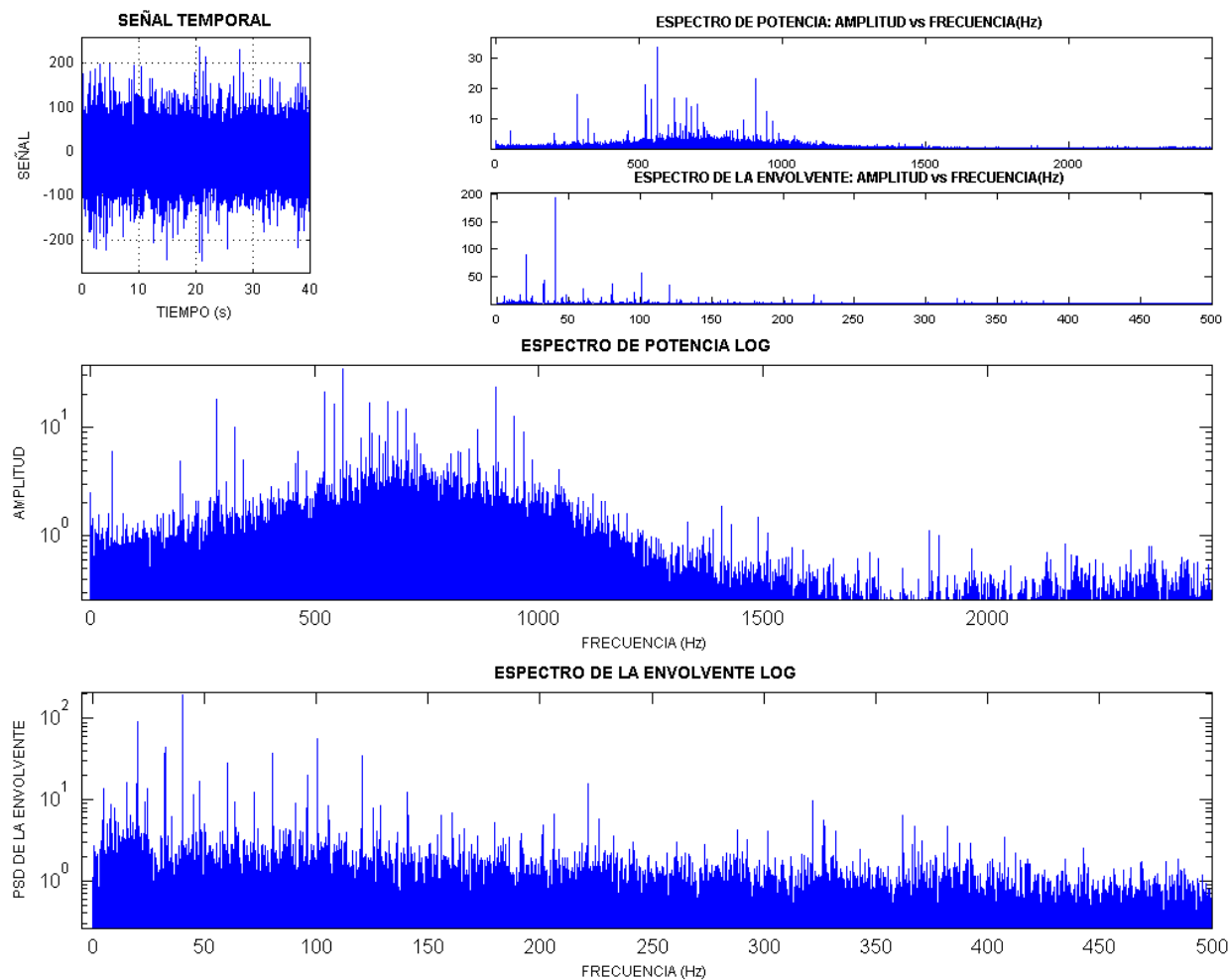
Punto 3

Velocidad (r.p.m) 1200



Media	-4.711528
Desviación Típica:	25.521849
Mediana:	-4.635581
Valor Máximo:	199.330000
Valor Mínimo:	-219.417520
Valor de Pico:	219.417520
Valor de Pico a Pico:	418.747520
Kurtosis:	7.682777
Sesgo:	-0.099871
Valor Eficaz:	25.952470
Factor de Forma:	1.372320
Factor de Cresta:	8.454591
Varianza:	651.364770
Valor Medio:	18.934566
Moda:	-4.483689
Potencia del Espectro:	673.530695

## ANEXO A

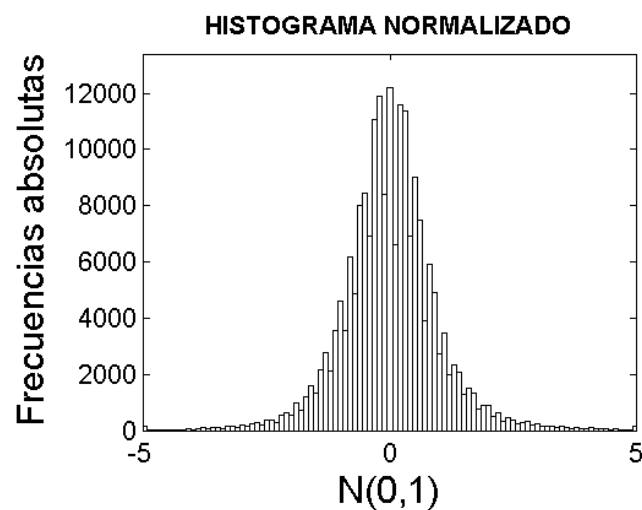


## ANEXO A

Reductora Con Carcasa

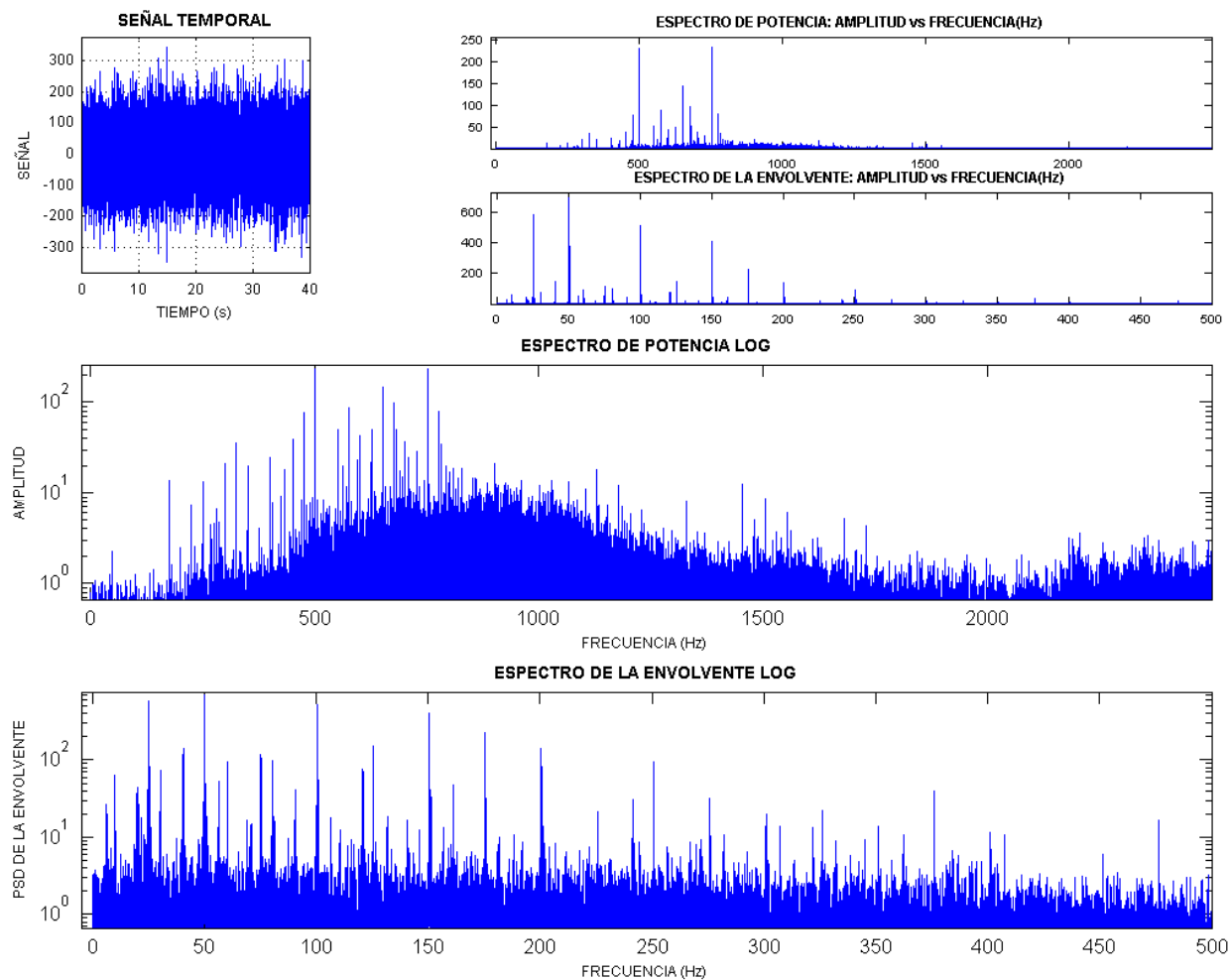
Punto 3

Velocidad (r.p.m) 1500



Media	-4.516833
Desviación Típica:	40.209934
Mediana:	-4.635581
Valor Máximo:	265.773340
Valor Mínimo:	-305.948380
Valor de Pico:	305.948380
Valor de Pico a Pico:	571.721720
Kurtosis:	6.222856
Sesgo:	0.118411
Valor Eficaz:	40.461831
Factor de Forma:	1.373705
Factor de Cresta:	7.561407
Varianza:	1616.838790
Valor Medio:	29.456385
Moda:	-4.873078
Potencia del Espectro:	1637.159731

## ANEXO A

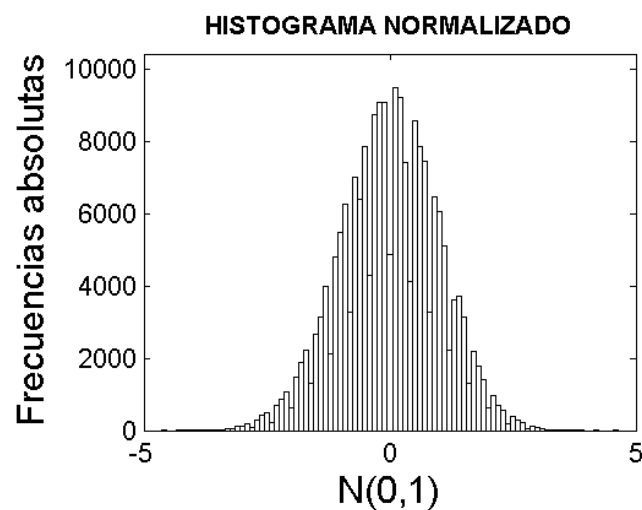


## ANEXO A

Reductora Con Carcasa

Punto 4

Velocidad (r.p.m) 0



Media -0.000329

Desviación Típica: 0.002428

Mediana: -0.000309

Valor Máximo: 0.008962

Valor Mínimo: -0.009889

Valor de Pico: 0.009889

Valor de Pico a Pico: 0.018851

Kurtosis: 2.963764

Sesgo: -0.016389

Valor Eficaz: 0.002450

Factor de Forma: 1.096938

Factor de Cresta: 4.035635

Varianza: 0.000006

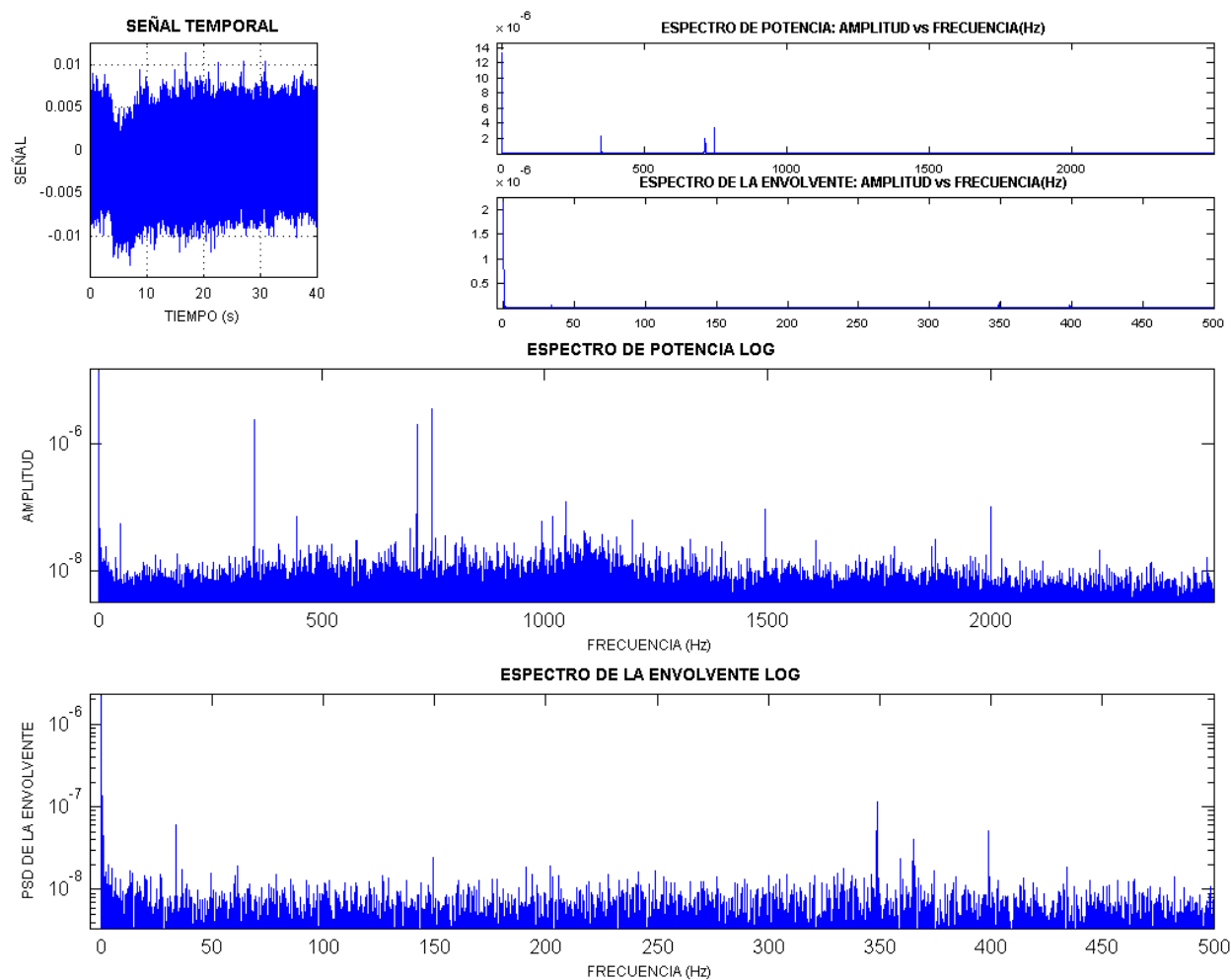
Valor Medio: 0.002320

Moda: -0.000269

Potencia del Espectro: 0.000006



# ANEXO A

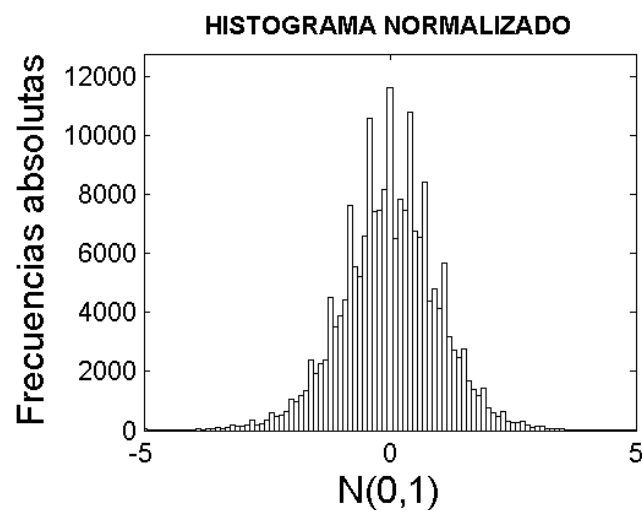


## ANEXO A

Reductora Con Carcasa

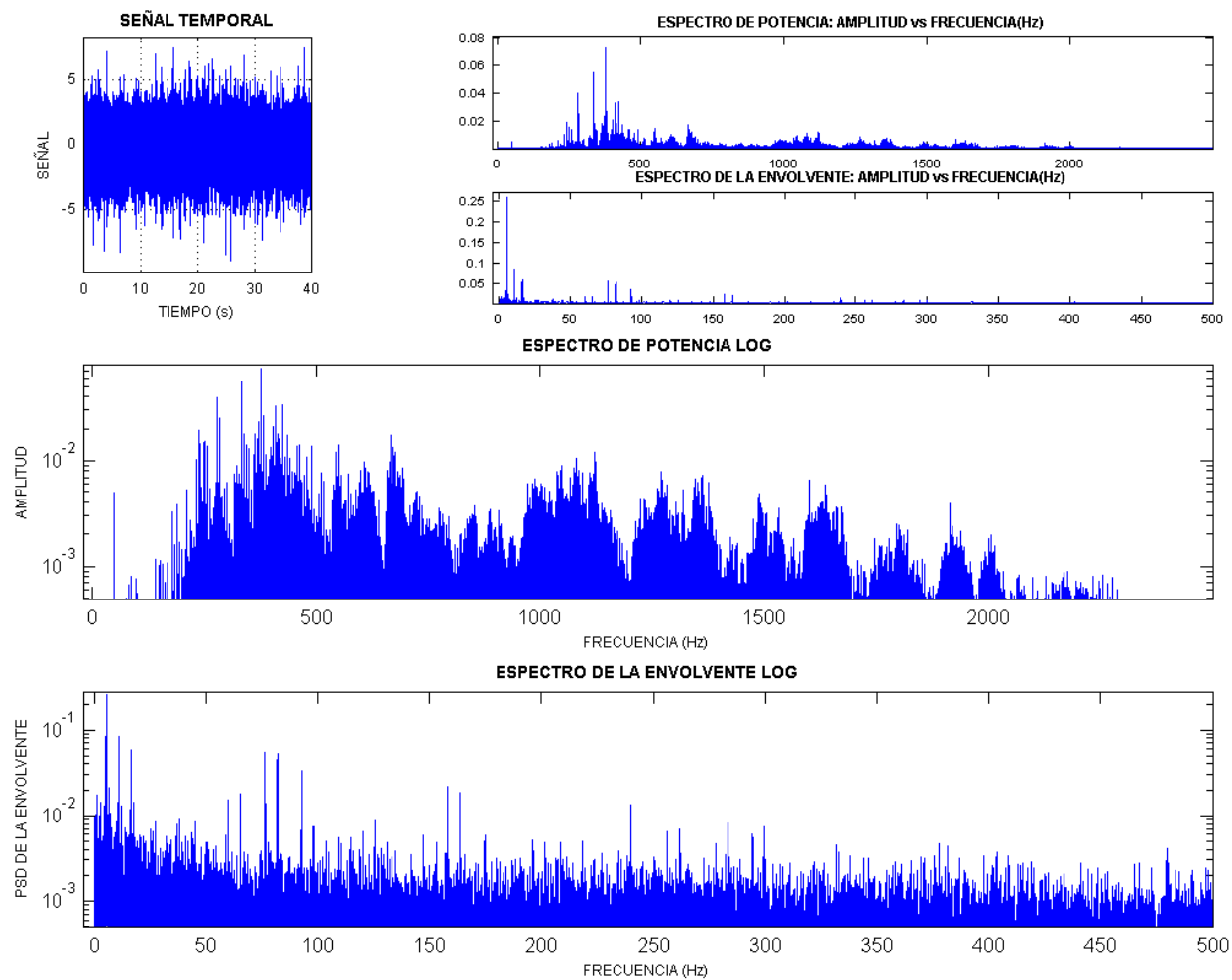
Punto 4

Velocidad (r.p.m) 300



Media	-0.141472
Desviación Típica:	1.106279
Mediana:	-0.146484
Valor Máximo:	5.664063
Valor Mínimo:	-8.203125
Valor de Pico:	8.203125
Valor de Pico a Pico:	13.867188
Kurtosis:	4.350513
Sesgo:	-0.180094
Valor Eficaz:	1.115261
Factor de Forma:	1.305082
Factor de Cresta:	7.355342
Varianza:	1.223854
Valor Medio:	0.854609
Moda:	-0.156509
Potencia del Espectro:	1.243807

## ANEXO A

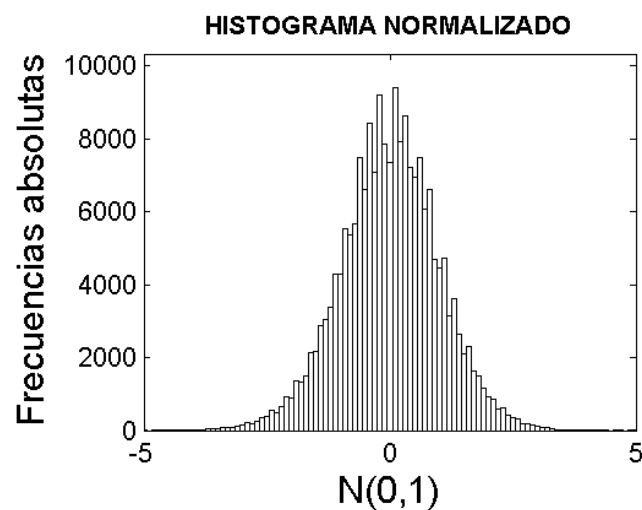


## ANEXO A

Reductora Con Carcasa

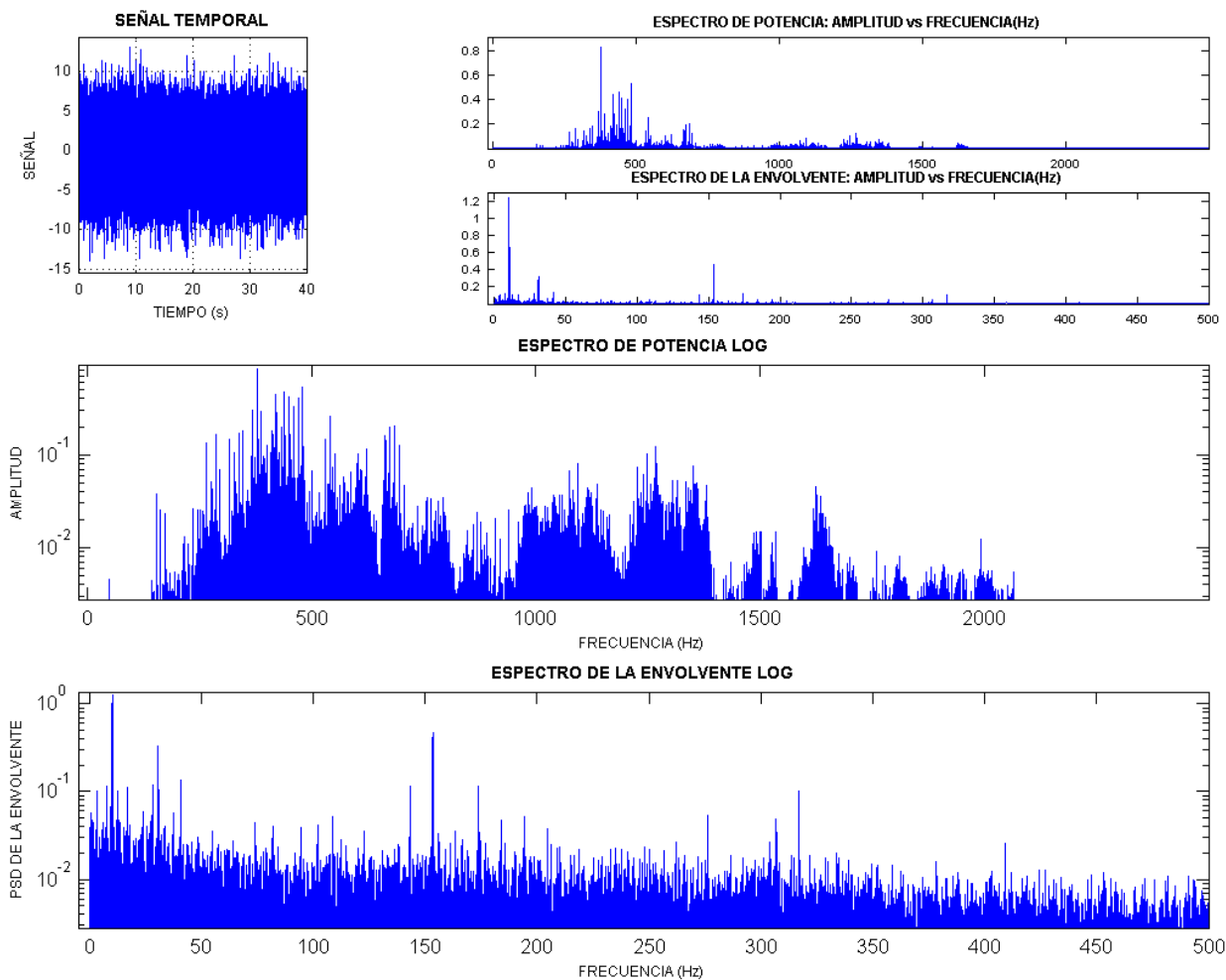
Punto 4

Velocidad (r.p.m) 600



Media	-0.139111
Desviación Típica:	2.648740
Mediana:	-0.097656
Valor Máximo:	10.888672
Valor Mínimo:	-14.013672
Valor de Pico:	14.013672
Valor de Pico a Pico:	24.902344
Kurtosis:	3.441500
Sesgo:	-0.095221
Valor Eficaz:	2.652324
Factor de Forma:	1.282362
Factor de Cresta:	5.283544
Varianza:	7.015823
Valor Medio:	2.068483
Moda:	-0.014746
Potencia del Espectro:	7.034824

## ANEXO A

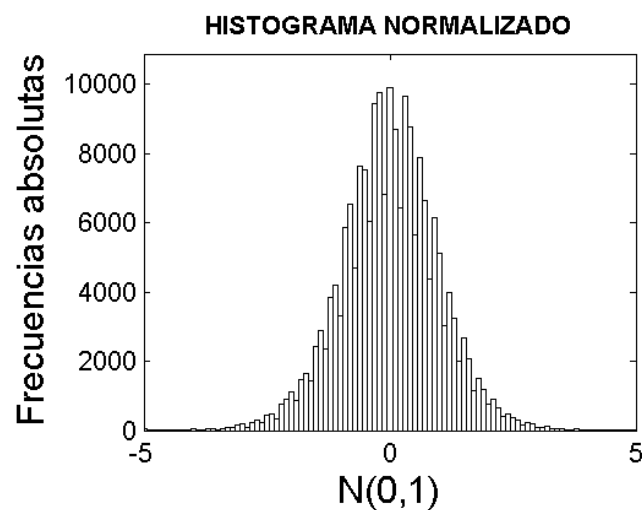


## ANEXO A

Reductora Con Carcasa

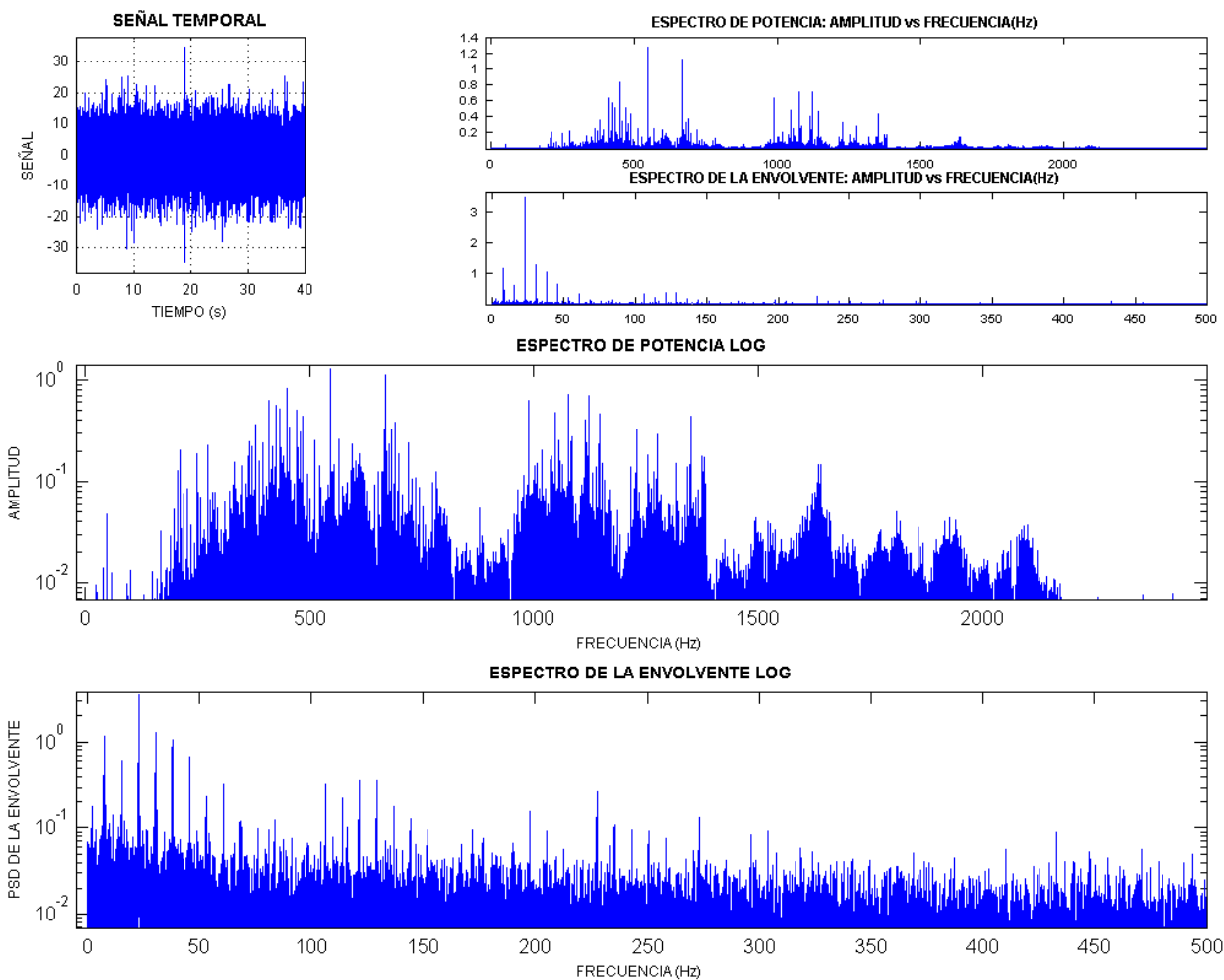
Punto 4

Velocidad (r.p.m) 900



Media	-0.459958
Desviación Típica:	4.033221
Mediana:	-0.463558
Valor Máximo:	21.014636
Valor Mínimo:	-24.105024
Valor de Pico:	24.105024
Valor de Pico a Pico:	45.119660
Kurtosis:	3.969322
Sesgo:	-0.114910
Valor Eficaz:	4.059263
Factor de Forma:	1.265957
Factor de Cresta:	5.938276
Varianza:	16.266871
Valor Medio:	3.206907
Moda:	-0.470759
Potencia del Espectro:	16.477619

## ANEXO A

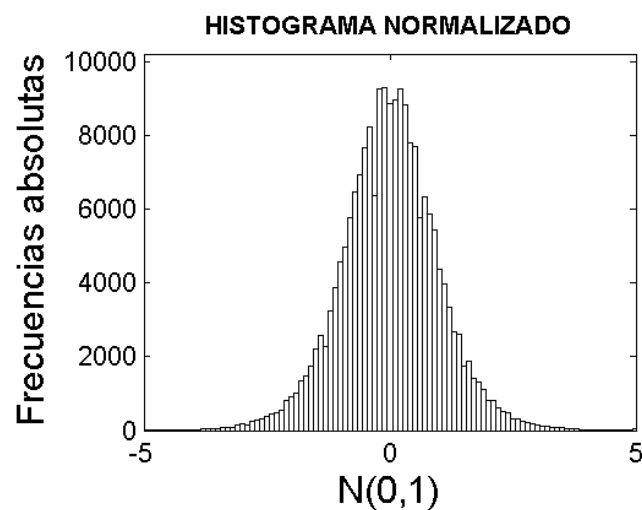


## ANEXO A

Reductora Con Carcasa

Punto 4

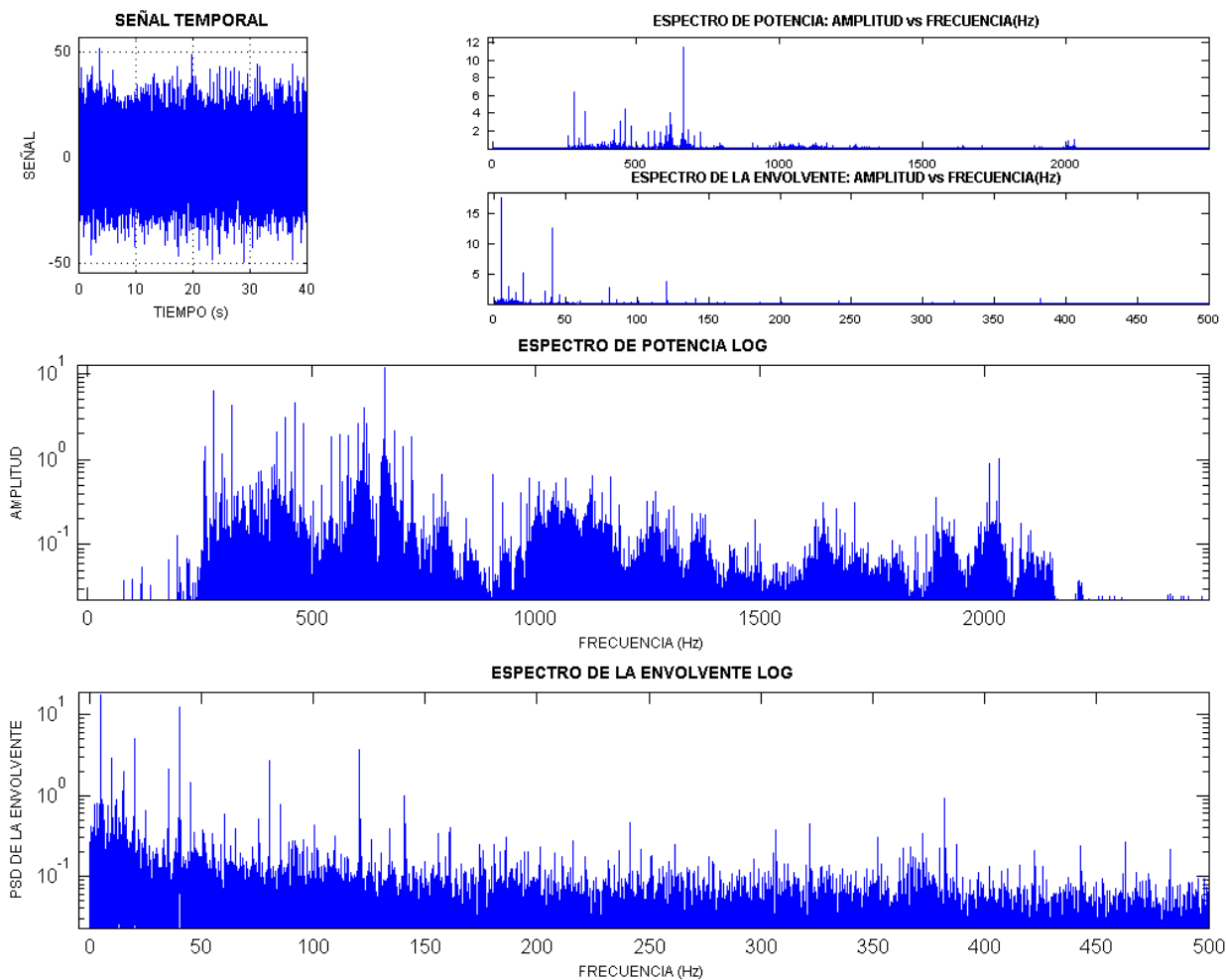
Velocidad (r.p.m) 1200



Media	-0.453561
Desviación Típica:	7.465419
Mediana:	-0.463558
Valor Máximo:	52.073032
Valor Mínimo:	-46.046776
Valor de Pico:	52.073032
Valor de Pico a Pico:	98.119808
Kurtosis:	4.908482
Sesgo:	0.047889
Valor Eficaz:	7.478998
Factor de Forma:	1.293620
Factor de Cresta:	6.962568
Varianza:	55.732476
Valor Medio:	5.782282
Moda:	-0.483553
Potencia del Espectro:	55.935406



## ANEXO A

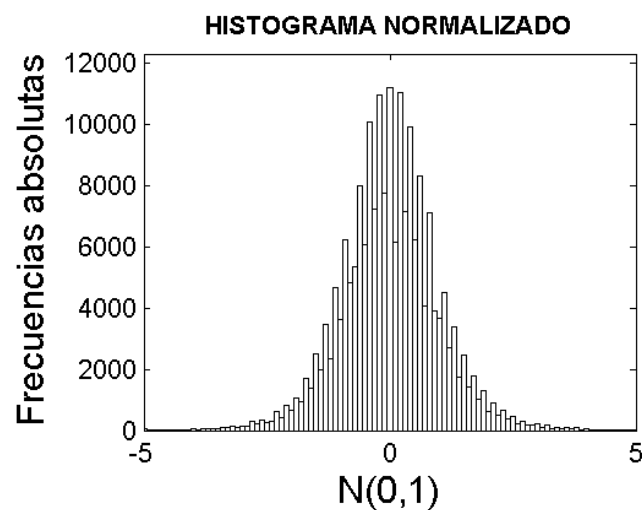


## ANEXO A

Reductora Con Carcasa

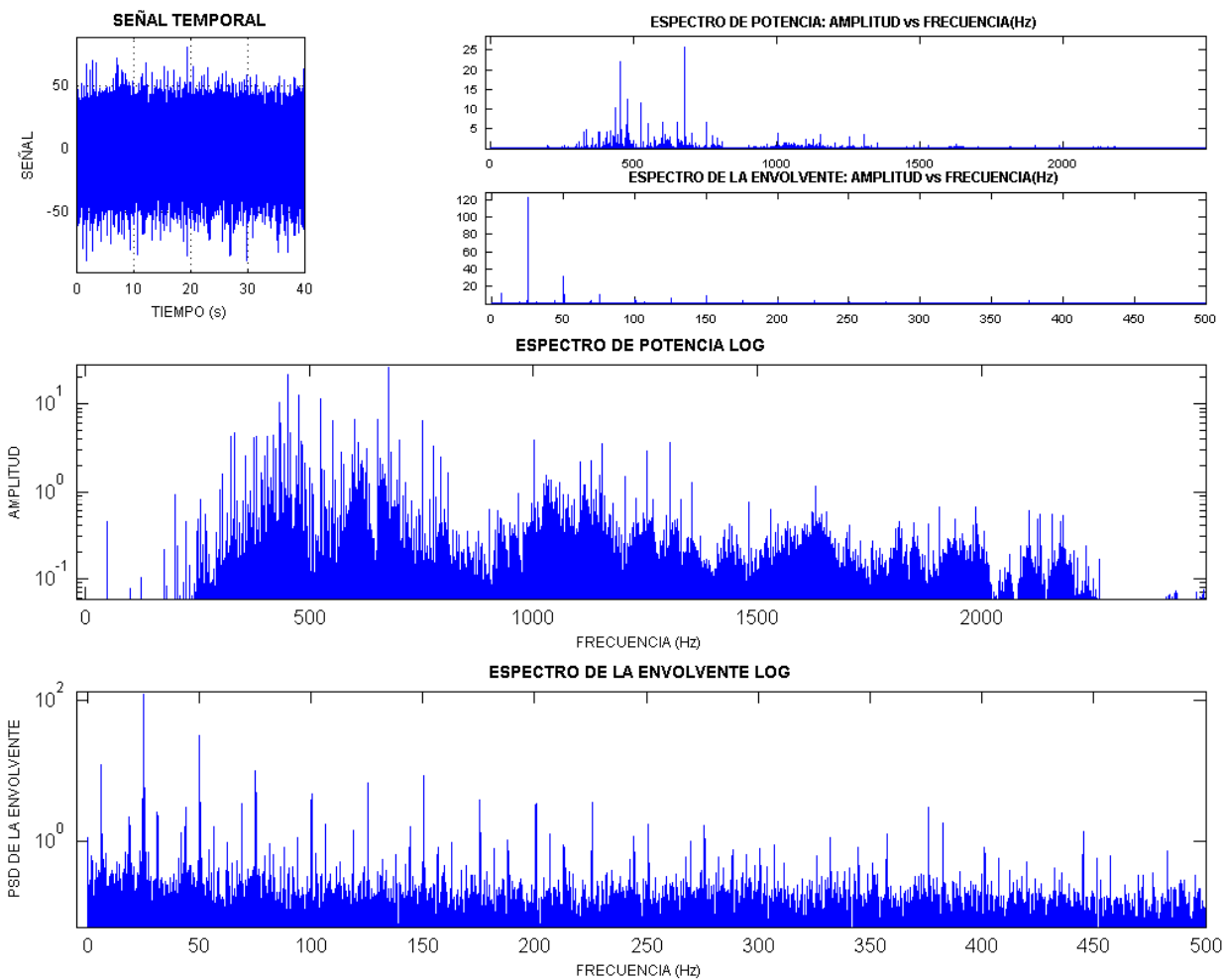
Punto 4

Velocidad (r.p.m) 1500



Media	-1.431323
Desviación Típica:	12.237656
Mediana:	-1.464844
Valor Máximo:	70.800781
Valor Mínimo:	-88.867188
Valor de Pico:	88.867188
Valor de Pico a Pico:	159.667969
Kurtosis:	4.691928
Sesgo:	-0.064659
Valor Eficaz:	12.320772
Factor de Forma:	1.336607
Factor de Cresta:	7.212794
Varianza:	149.760235
Valor Medio:	9.220310
Moda:	-1.531885
Potencia del Espectro:	151.801433

# ANEXO A

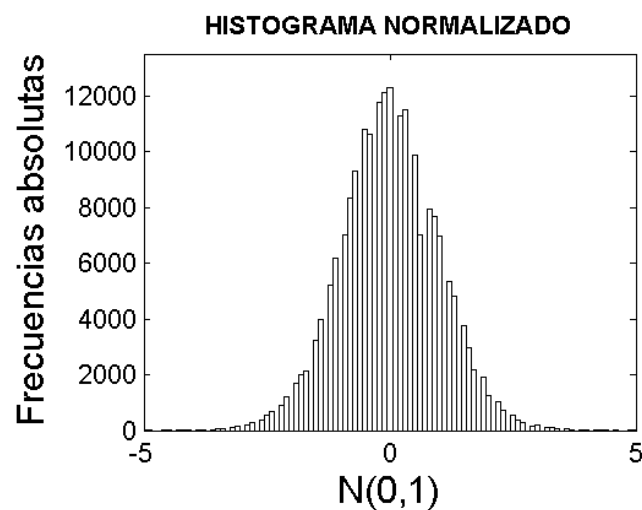


## ANEXO A

Reductora Con Carcasa

Punto 5

Velocidad (r.p.m) 0



Media -0.025975

Desviación Típica: 0.032785

Mediana: -0.024414

Valor Máximo: 0.131836

Valor Mínimo: -0.209961

Valor de Pico: 0.209961

Valor de Pico a Pico: 0.341797

Kurtosis: 3.473967

Sesgo: 0.011491

Valor Eficaz: 0.041827

Factor de Forma: 1.193949

Factor de Cresta: 5.019764

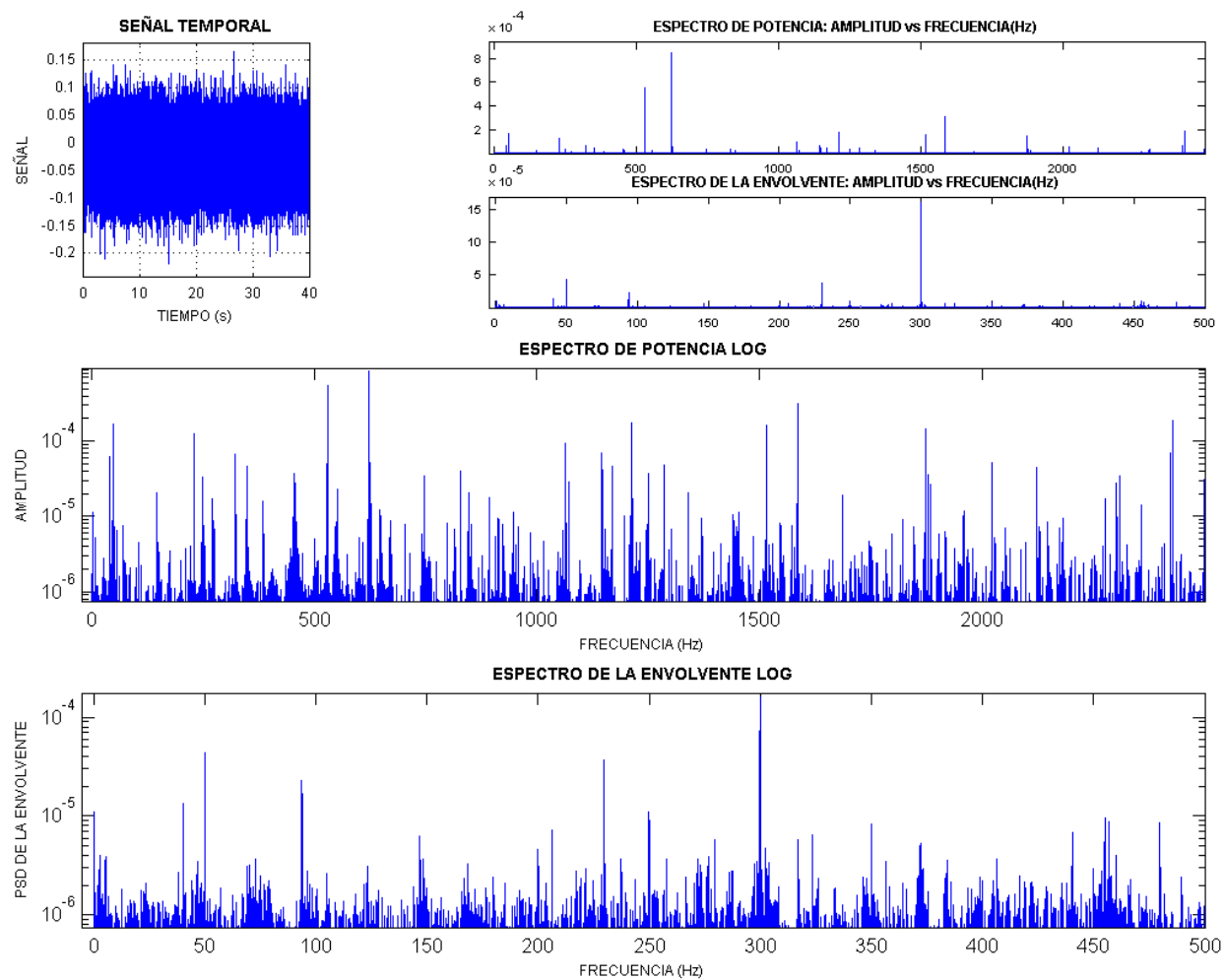
Varianza: 0.001075

Valor Medio: 0.035056

Moda: -0.021292

Potencia del Espectro: 0.001749

## ANEXO A

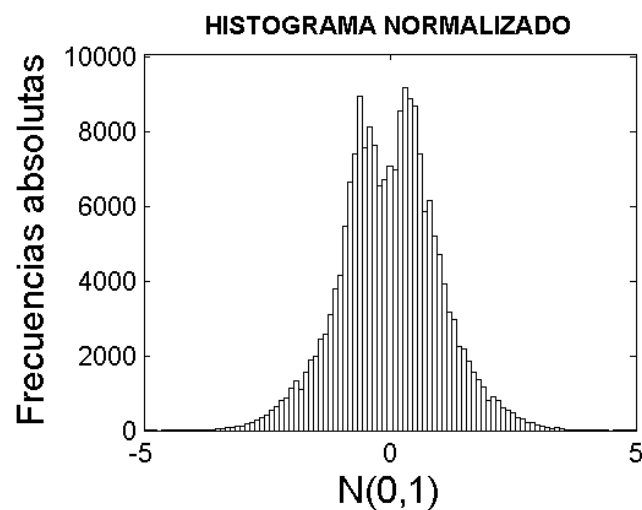


## ANEXO A

Reductora Con Carcasa

Punto 5

Velocidad (r.p.m) 300



Media -0.031800

Desviación Típica: 0.286221

Mediana: -0.029297

Valor Máximo: 1.328125

Valor Mínimo: -1.655273

Valor de Pico: 1.655273

Valor de Pico a Pico: 2.983398

Kurtosis: 3.527100

Sesgo: -0.003617

Valor Eficaz: 0.287975

Factor de Forma: 1.261021

Factor de Cresta: 5.747976

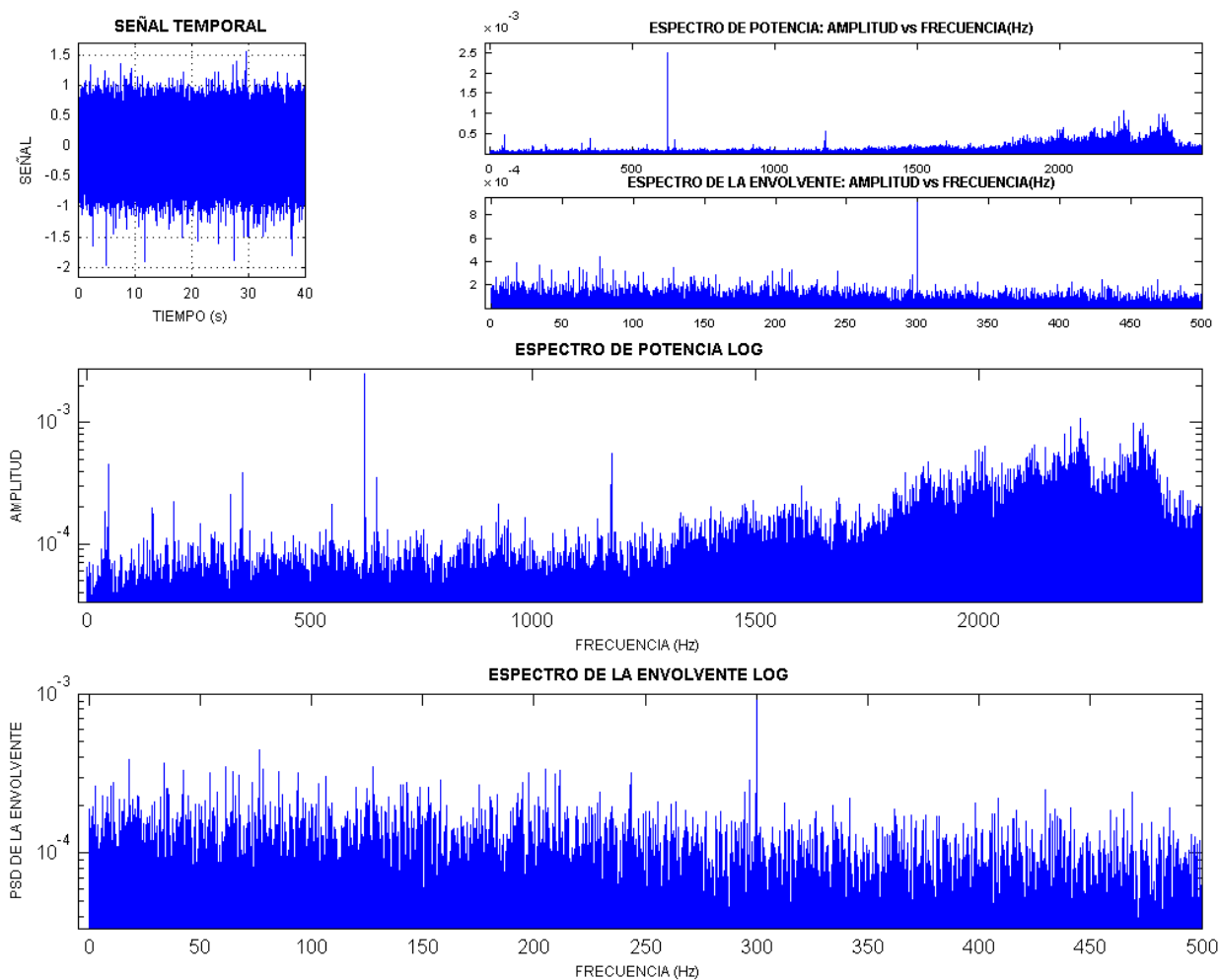
Varianza: 0.081922

Valor Medio: 0.228405

Moda: -0.024291

Potencia del Espectro: 0.082930

## ANEXO A

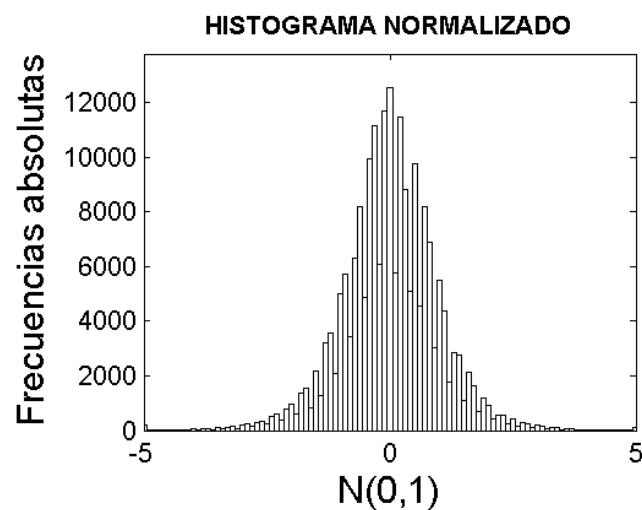


## ANEXO A

Reductora Con Carcasa

Punto 5

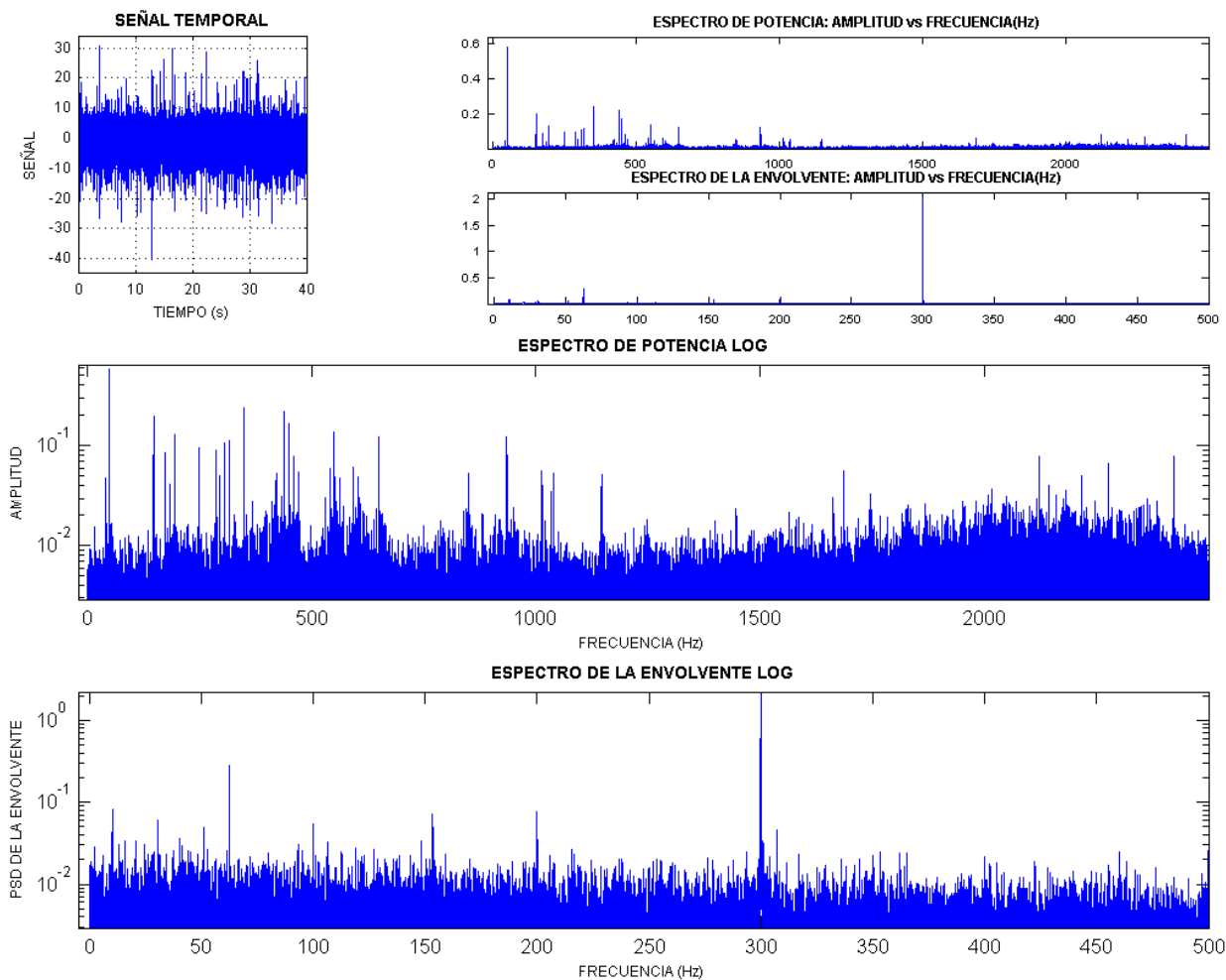
Velocidad (r.p.m) 600



Media	-0.872756
Desviación Típica:	2.506005
Mediana:	-0.927116
Valor Máximo:	30.594838
Valor Mínimo:	-26.422814
Valor de Pico:	30.594838
Valor de Pico a Pico:	57.017652
Kurtosis:	7.824642
Sesgo:	-0.153521
Valor Eficaz:	2.653573
Factor de Forma:	1.312366
Factor de Cresta:	11.529677
Varianza:	6.280060
Valor Medio:	2.022440
Moda:	-1.035836
Potencia del Espectro:	7.041449



# ANEXO A

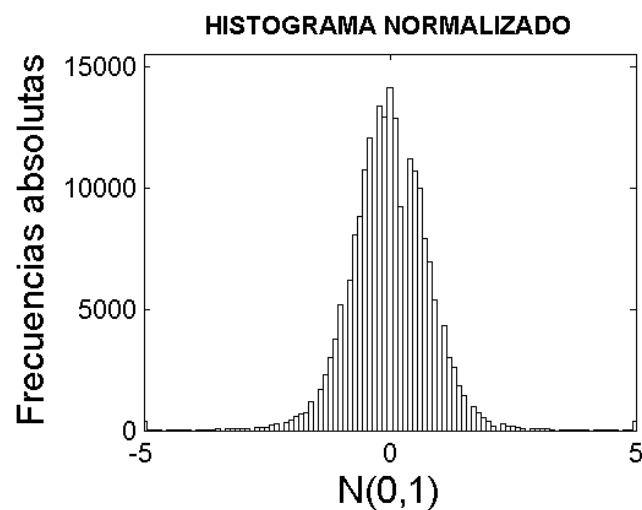


## ANEXO A

Reductora Con Carcasa

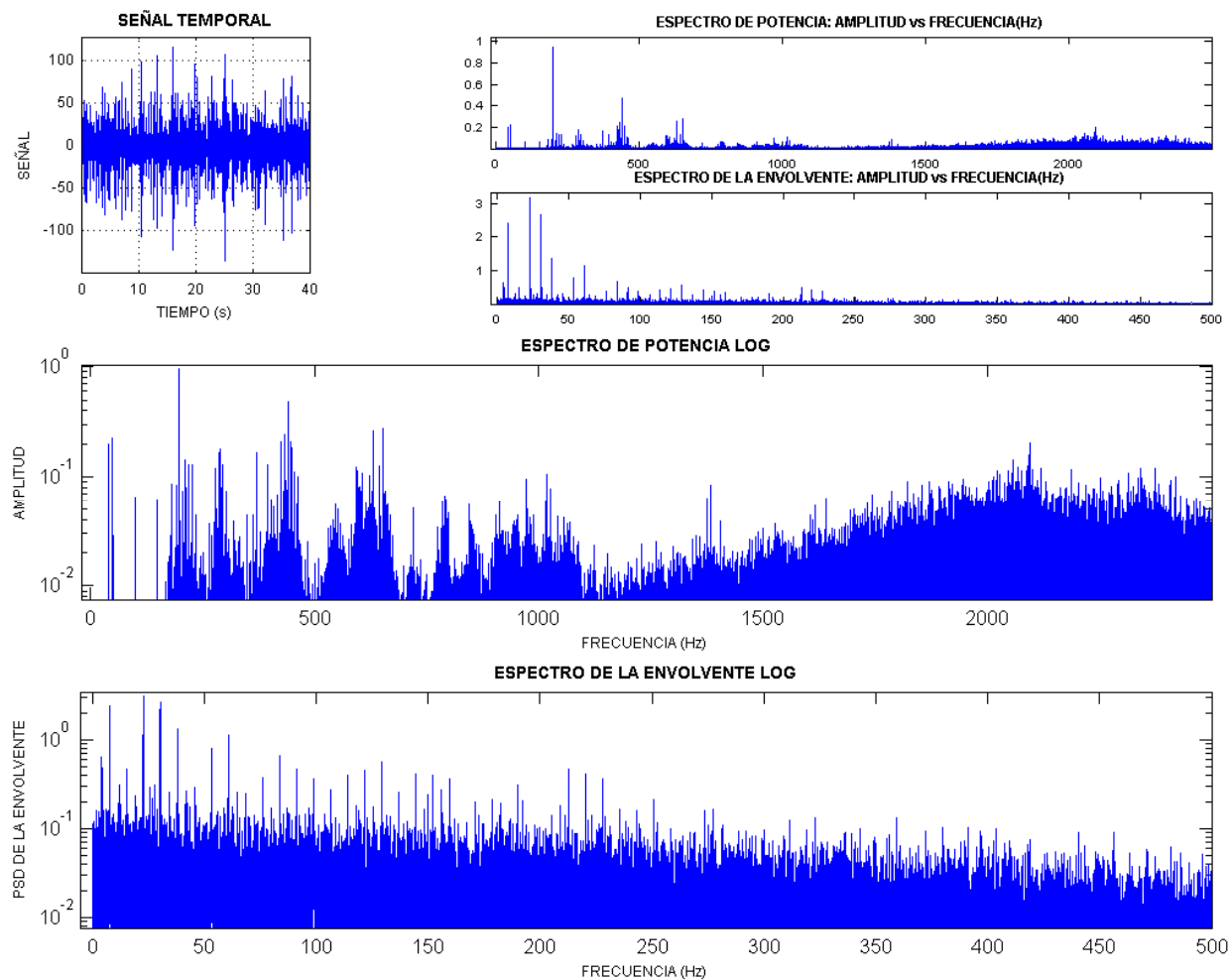
Punto 5

Velocidad (r.p.m) 900



Media	-1.451880
Desviación Típica:	4.070723
Mediana:	-1.464844
Valor Máximo:	68.359375
Valor Mínimo:	-72.753906
Valor de Pico:	72.753906
Valor de Pico a Pico:	141.113281
Kurtosis:	46.622694
Sesgo:	-0.799733
Valor Eficaz:	4.321795
Factor de Forma:	1.490170
Factor de Cresta:	16.834186
Varianza:	16.570788
Valor Medio:	2.900759
Moda:	-1.490772
Potencia del Espectro:	18.677914

## ANEXO A

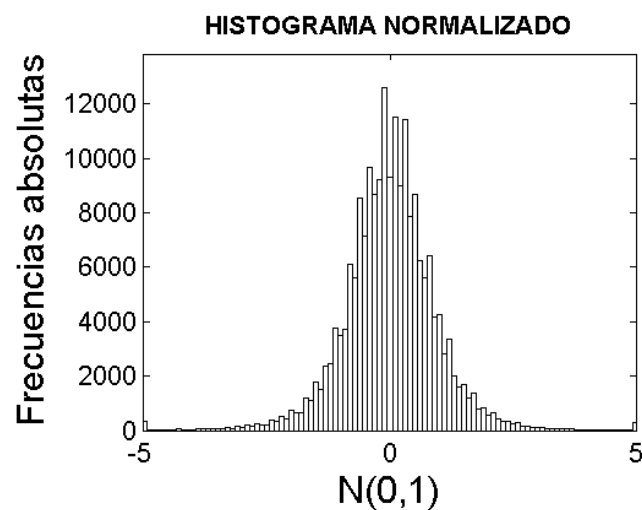


## ANEXO A

Reductora Con Carcasa

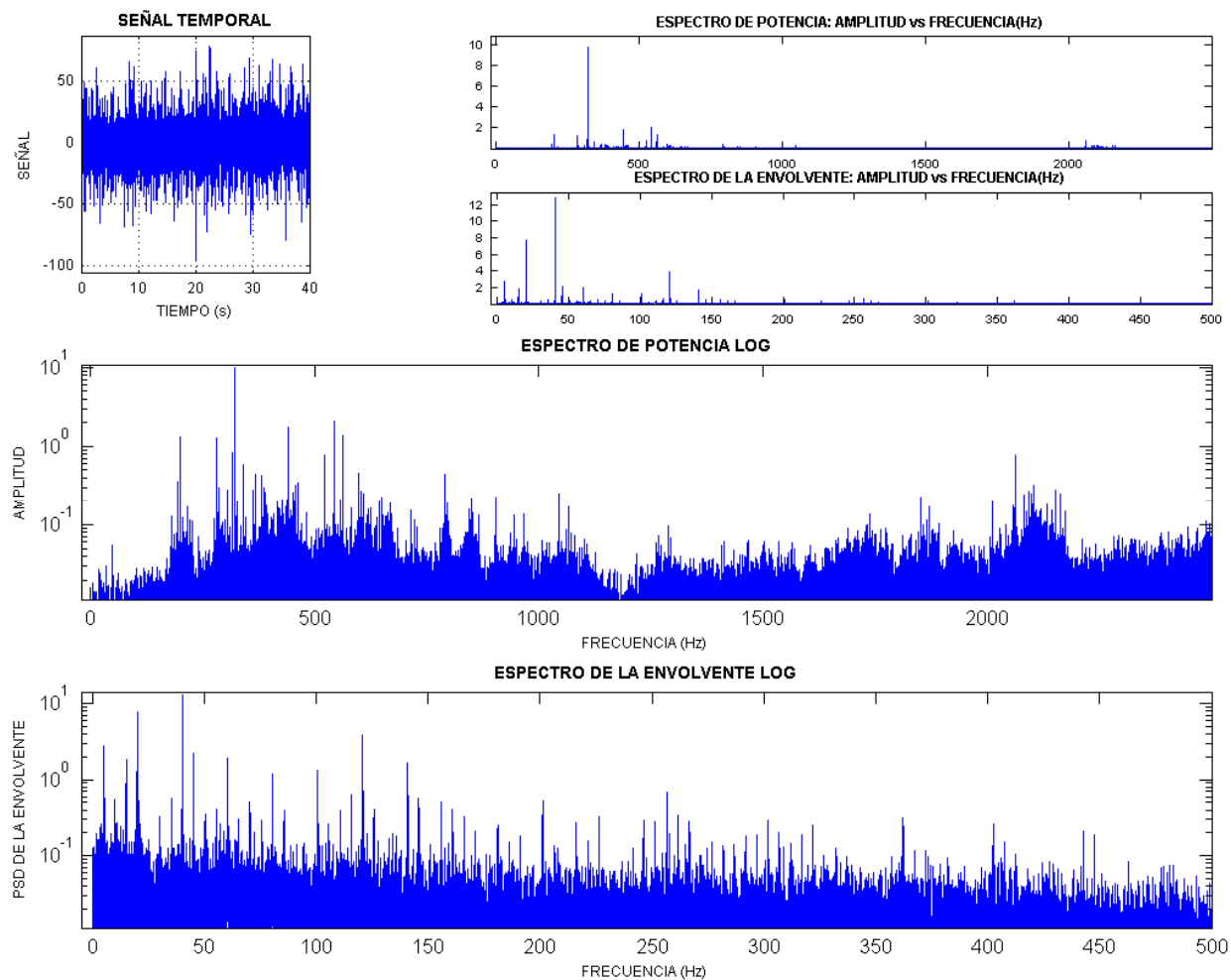
Punto 5

Velocidad (r.p.m) 1200



Media	-0.454843
Desviación Típica:	5.327702
Mediana:	-0.463558
Valor Máximo:	60.880637
Valor Mínimo:	-67.679490
Valor de Pico:	67.679490
Valor de Pico a Pico:	128.560127
Kurtosis:	15.052710
Sesgo:	-0.315125
Valor Eficaz:	5.346950
Factor de Forma:	1.437482
Factor de Cresta:	12.657589
Varianza:	28.384407
Valor Medio:	3.721325
Moda:	-0.480988
Potencia del Espectro:	28.589870

## ANEXO A

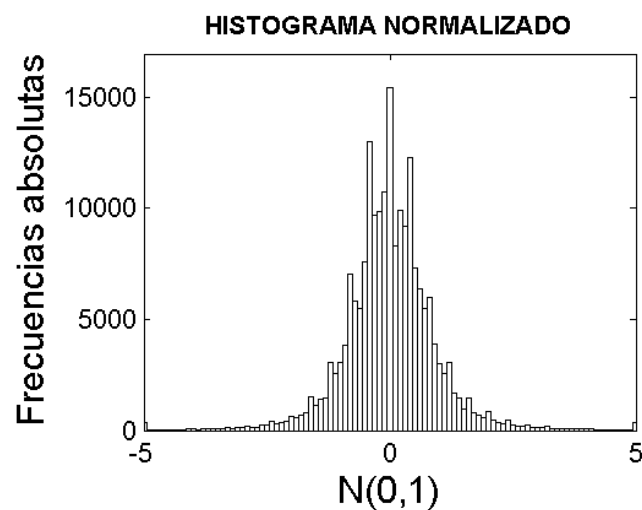


## ANEXO A

Reductora Con Carcasa

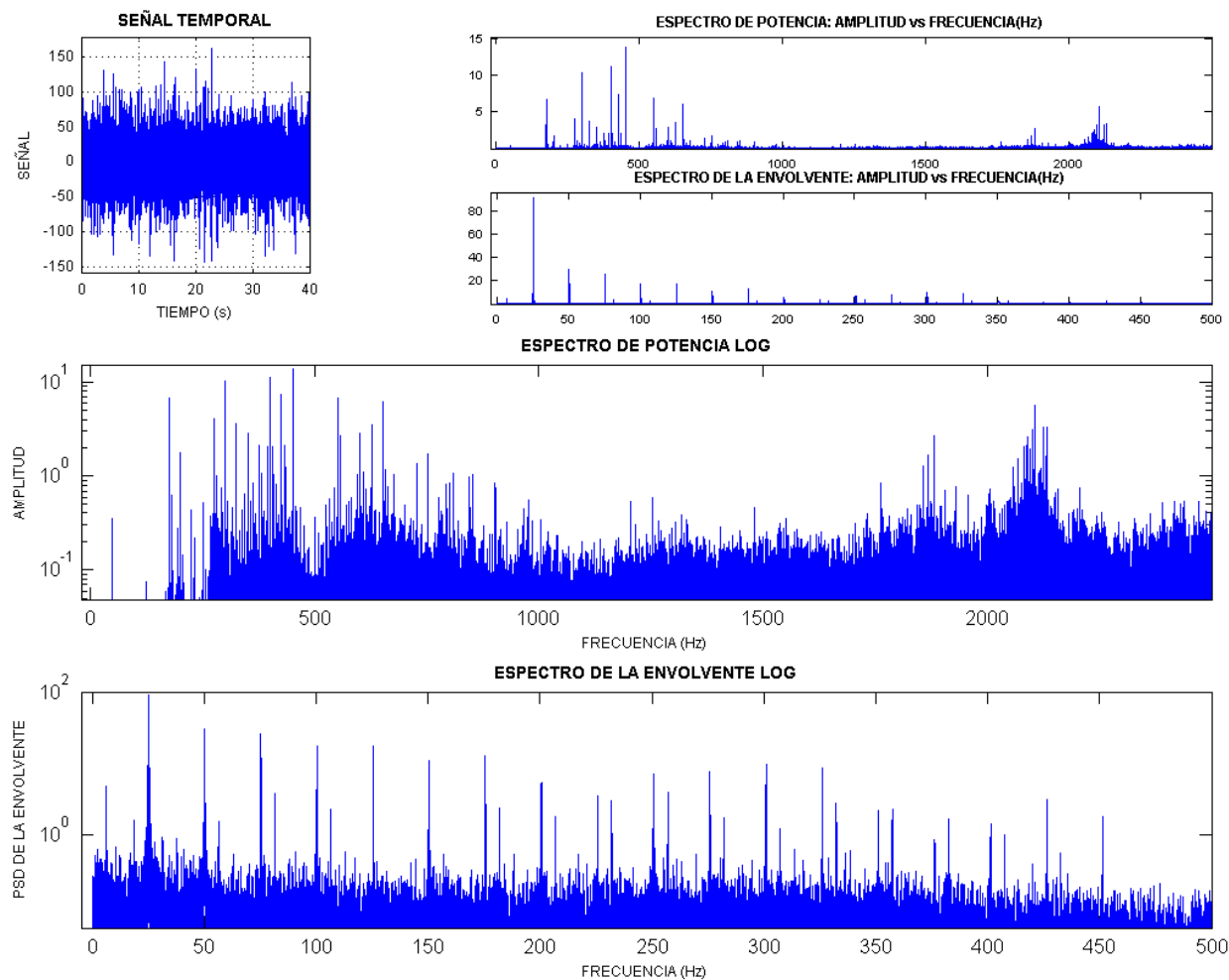
Punto 5

Velocidad (r.p.m) 1500



Media	-1.445557
Desviación Típica:	10.956476
Mediana:	-1.464844
Valor Máximo:	131.835940
Valor Mínimo:	-107.910160
Valor de Pico:	131.835940
Valor de Pico a Pico:	239.746100
Kurtosis:	13.107600
Sesgo:	0.102562
Valor Eficaz:	11.051153
Factor de Forma:	1.464475
Factor de Cresta:	11.929609
Varianza:	120.044356
Valor Medio:	7.546814
Moda:	-1.503418
Potencia del Espectro:	122.127987

## ANEXO A

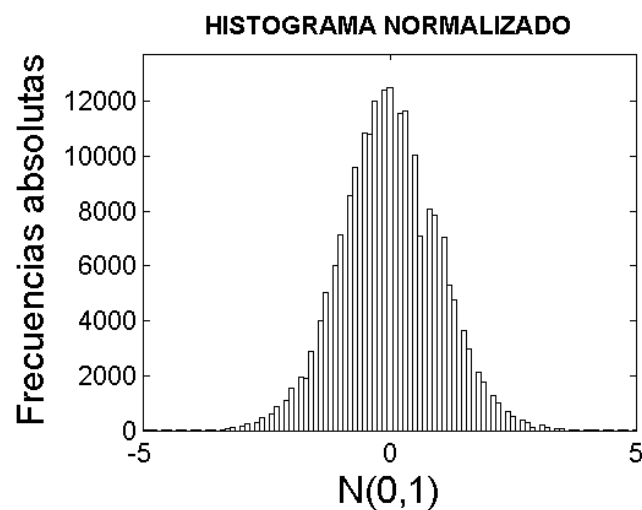


## ANEXO A

Reductora Con Carcasa

Punto 6

Velocidad (r.p.m) 0



Media -0.025645

Desviación Típica: 0.033352

Mediana: -0.024414

Valor Máximo: 0.131836

Valor Mínimo: -0.180664

Valor de Pico: 0.180664

Valor de Pico a Pico: 0.312500

Kurtosis: 3.324076

Sesgo: 0.087508

Valor Eficaz: 0.042071

Factor de Forma: 1.221125

Factor de Cresta: 4.294249

Varianza: 0.001112

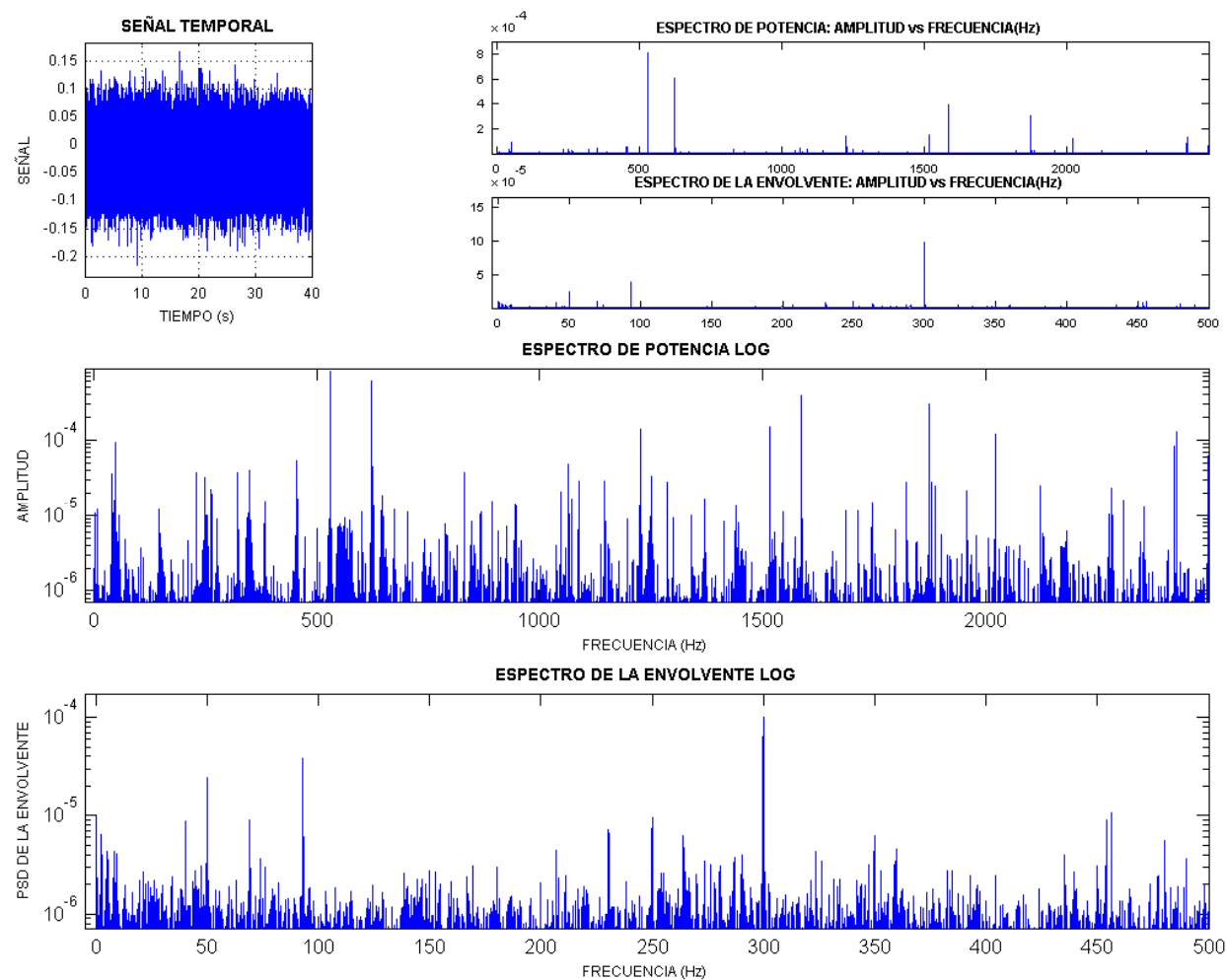
Valor Medio: 0.034469

Moda: -0.021952

Potencia del Espectro: 0.001770



## ANEXO A

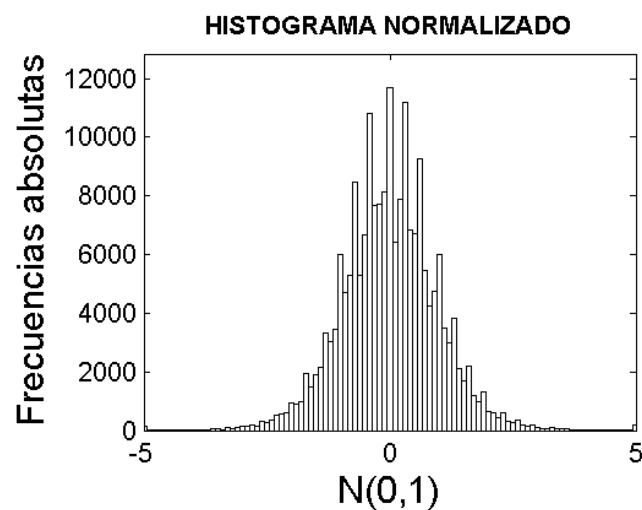


## ANEXO A

Reductora Con Carcasa

Punto 6

Velocidad (r.p.m) 300



Media -0.148540

Desviación Típica: 1.076567

Mediana: -0.146484

Valor Máximo: 8.886719

Valor Mínimo: -9.033203

Valor de Pico: 9.033203

Valor de Pico a Pico: 17.919922

Kurtosis: 4.642187

Sesgo: -0.008168

Valor Eficaz: 1.086739

Factor de Forma: 1.266099

Factor de Cresta: 8.312210

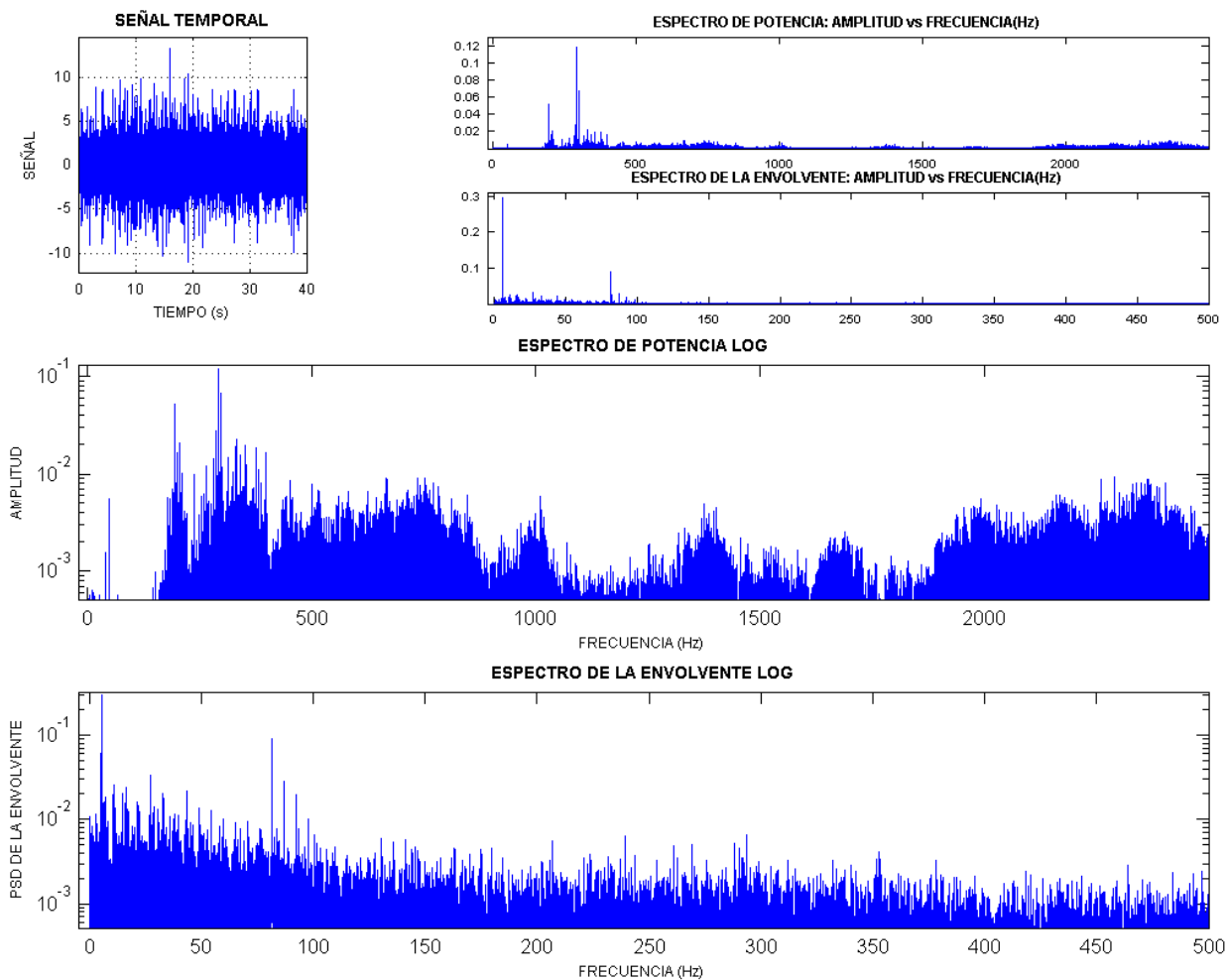
Varianza: 1.158995

Valor Medio: 0.858707

Moda: -0.142373

Potencia del Espectro: 1.181002

## ANEXO A

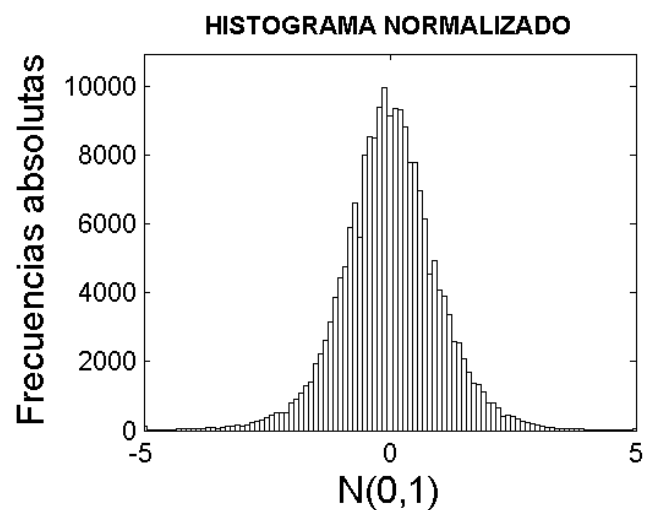


## ANEXO A

Reductora Con Carcasa

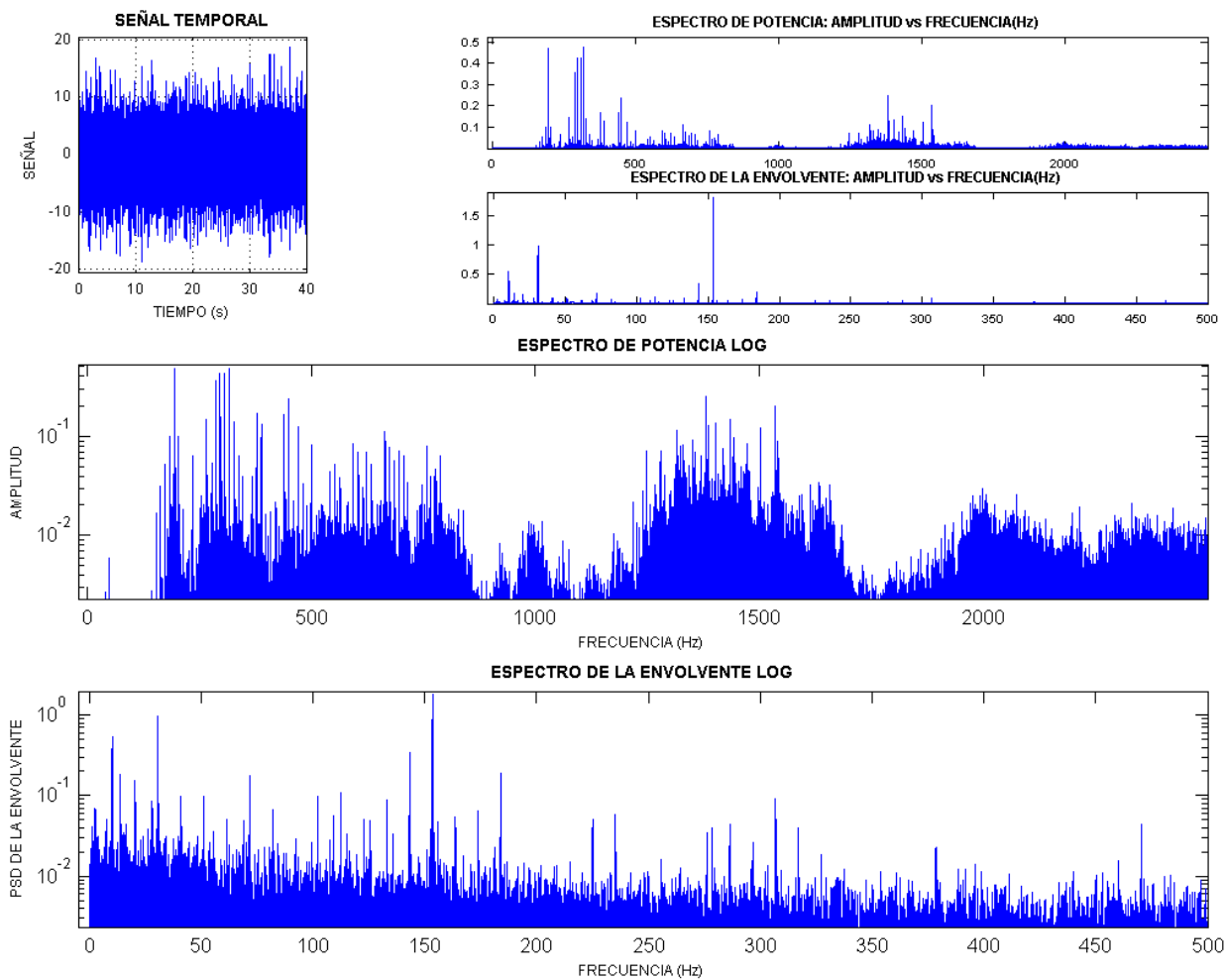
Punto 6

Velocidad (r.p.m) 600



Media	-0.146760
Desviación Típica:	2.457341
Mediana:	-0.195313
Valor Máximo:	16.796875
Valor Mínimo:	-16.796875
Valor de Pico:	16.796875
Valor de Pico a Pico:	33.593750
Kurtosis:	5.372988
Sesgo:	-0.092324
Valor Eficaz:	2.461659
Factor de Forma:	1.360857
Factor de Cresta:	6.823397
Varianza:	6.038527
Valor Medio:	1.809115
Moda:	-0.292417
Potencia del Espectro:	6.059763

## ANEXO A

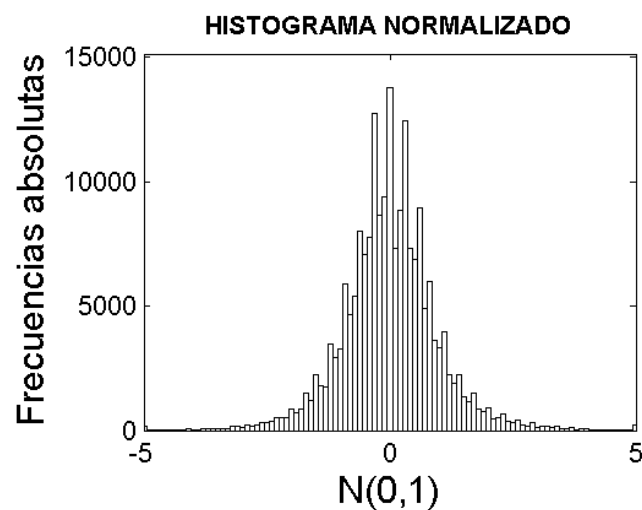


## ANEXO A

Reductora Con Carcasa

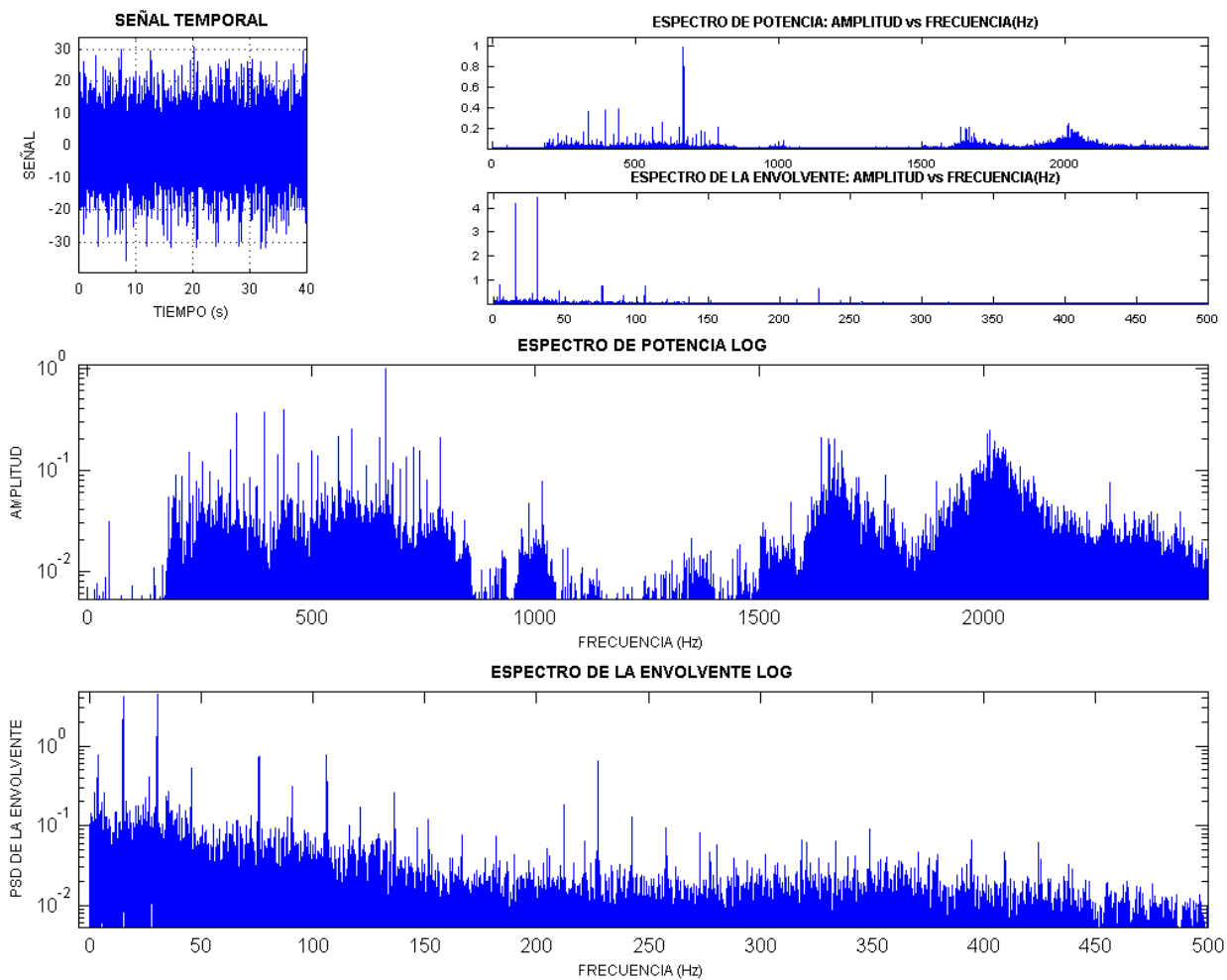
Punto 6

Velocidad (r.p.m) 900



Media	-0.449713
Desviación Típica:	3.577333
Mediana:	-0.463558
Valor Máximo:	28.122528
Valor Mínimo:	-31.367435
Valor de Pico:	31.367435
Valor de Pico a Pico:	59.489963
Kurtosis:	7.023009
Sesgo:	0.141988
Valor Eficaz:	3.605400
Factor de Forma:	1.369126
Factor de Cresta:	8.700126
Varianza:	12.797308
Valor Medio:	2.633757
Moda:	-0.491248
Potencia del Espectro:	12.998910

## ANEXO A

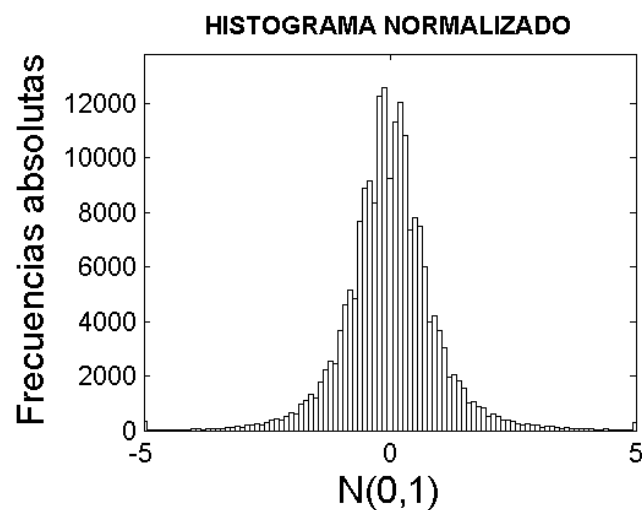


## ANEXO A

Reductora Con Carcasa

Punto 6

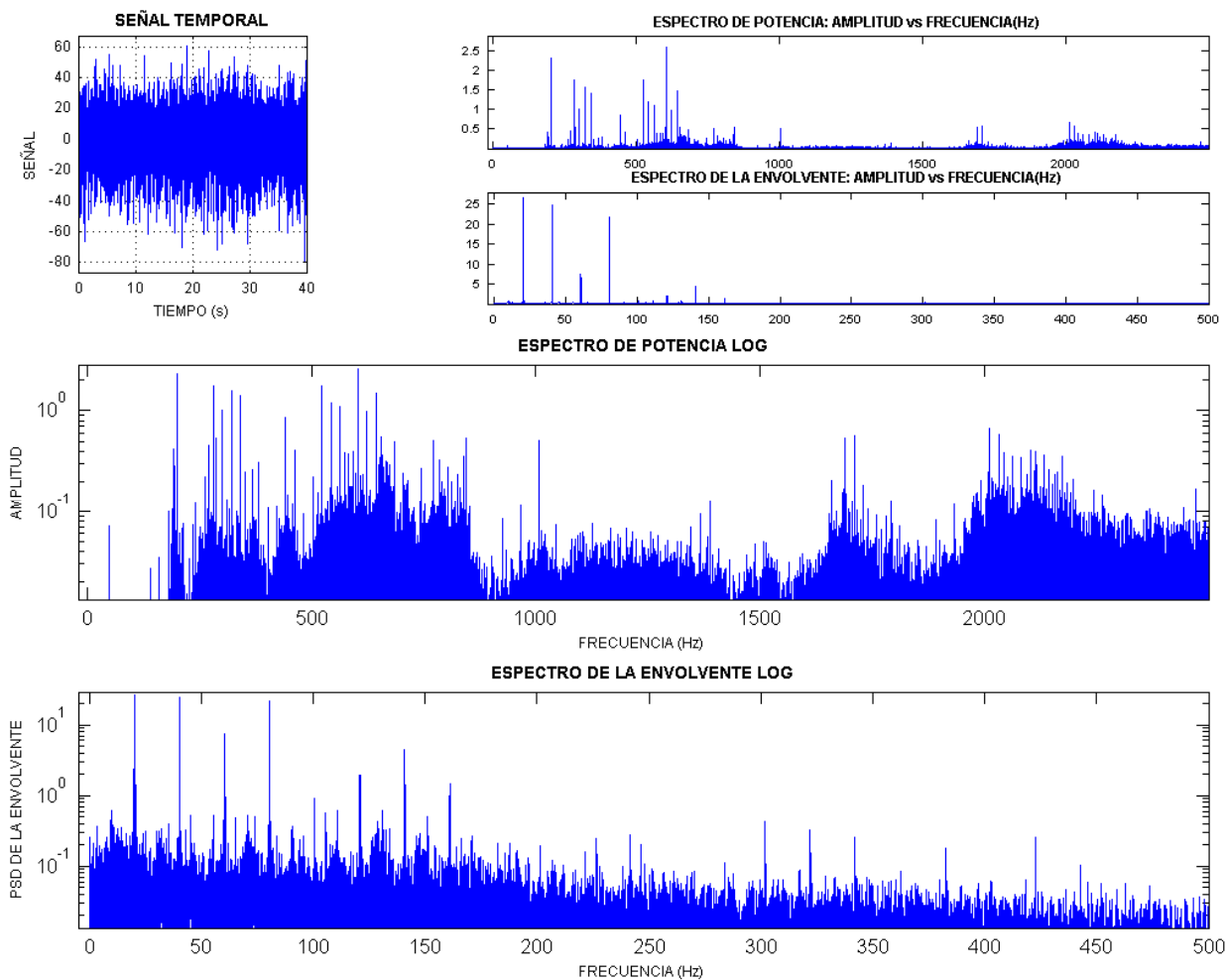
Velocidad (r.p.m) 1200



Media	-0.464169
Desviación Típica:	5.752470
Mediana:	-0.463558
Valor Máximo:	51.918513
Valor Mínimo:	-66.597854
Valor de Pico:	66.597854
Valor de Pico a Pico:	118.516367
Kurtosis:	11.267624
Sesgo:	-0.148537
Valor Eficaz:	5.771023
Factor de Forma:	1.450046
Factor de Cresta:	11.540042
Varianza:	33.090912
Valor Medio:	3.981235
Moda:	-0.462337
Potencia del Espectro:	33.304710



## ANEXO A

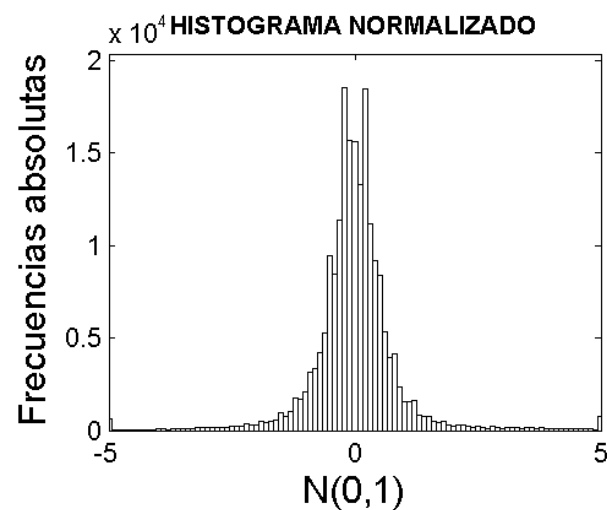


## ANEXO A

Reductora Con Carcasa

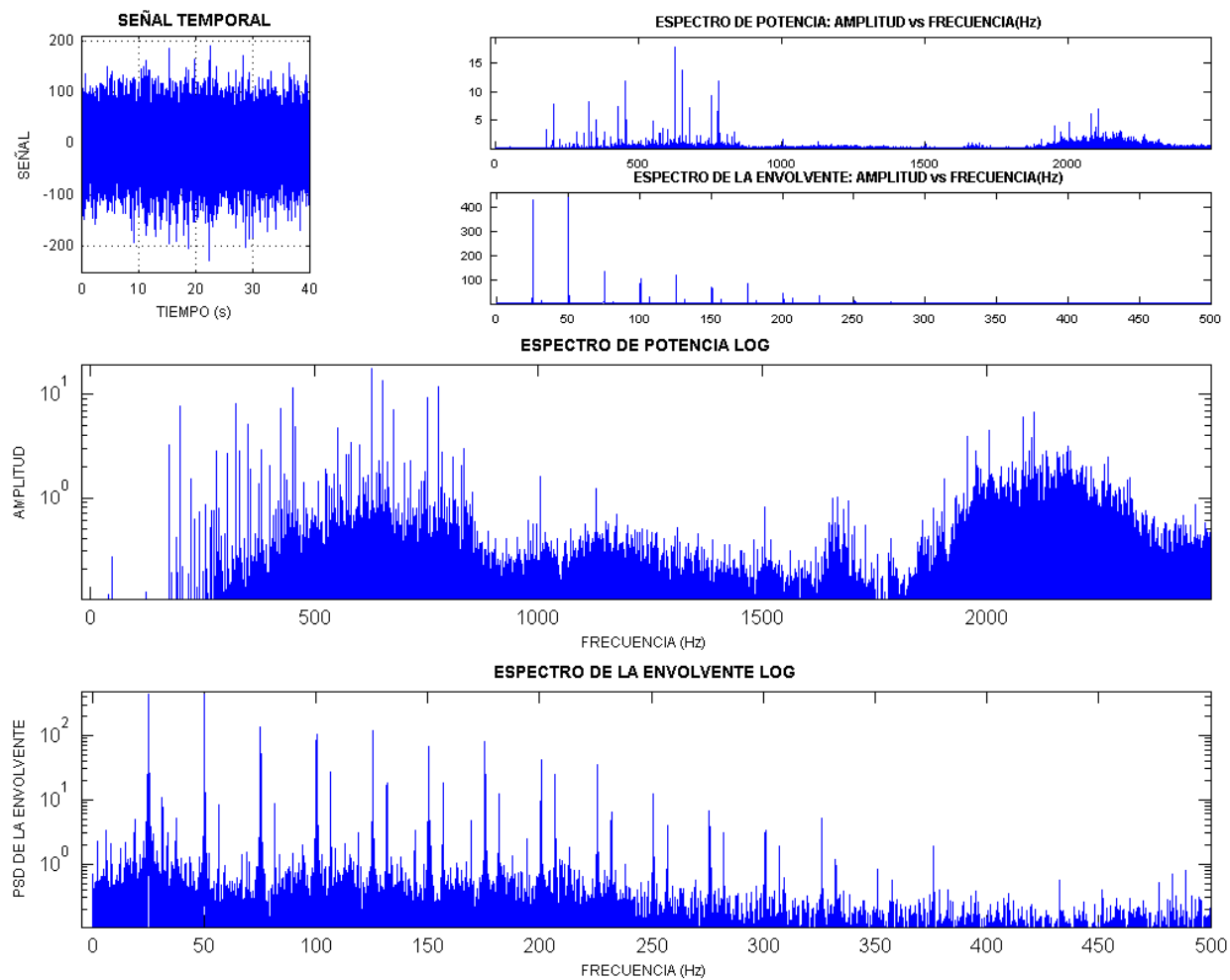
Punto 6

Velocidad (r.p.m) 1500



Media	-1.412988
Desviación Típica:	15.813596
Mediana:	-1.464844
Valor Máximo:	135.742190
Valor Mínimo:	-164.062500
Valor de Pico:	164.062500
Valor de Pico a Pico:	299.804690
Kurtosis:	17.748993
Sesgo:	0.042663
Valor Eficaz:	15.876203
Factor de Forma:	1.698427
Factor de Cresta:	10.333862
Varianza:	250.069803
Valor Medio:	9.348098
Moda:	-1.568555
Potencia del Espectro:	252.053835

## ANEXO A

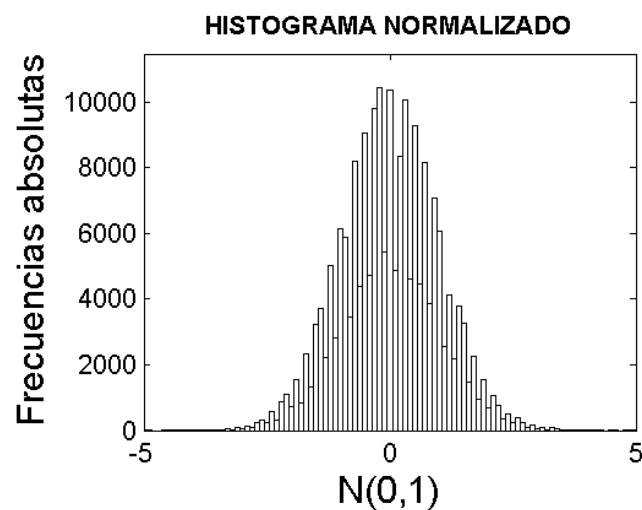


## ANEXO A

Reductora Con Carcasa

Punto 7

Velocidad (r.p.m) 0



Media -0.000478

Desviación Típica: 0.002301

Mediana: -0.000464

Valor Máximo: 0.008808

Valor Mínimo: -0.010198

Valor de Pico: 0.010198

Valor de Pico a Pico: 0.019006

Kurtosis: 3.001988

Sesgo: -0.011102

Valor Eficaz: 0.002350

Factor de Forma: 1.185147

Factor de Cresta: 4.339747

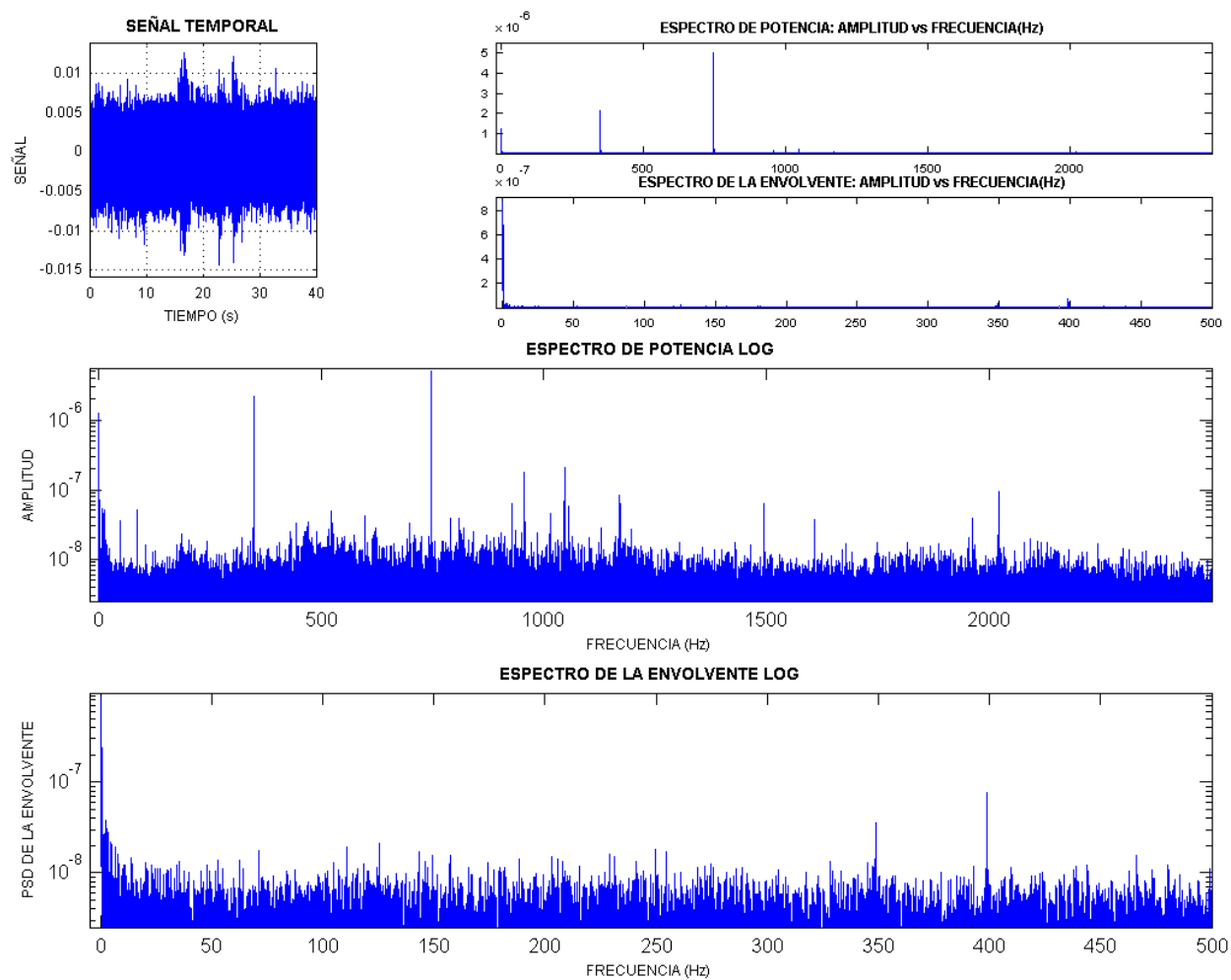
Varianza: 0.000005

Valor Medio: 0.001991

Moda: -0.000436

Potencia del Espectro: 0.000006

## ANEXO A

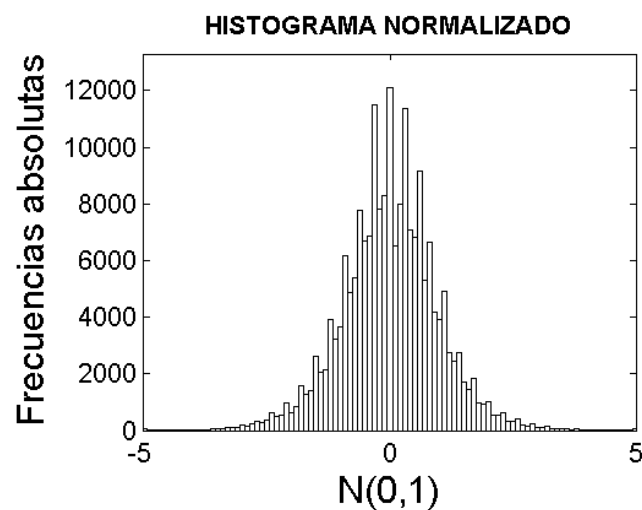


## ANEXO A

Reductora Con Carcasa

Punto 7

Velocidad (r.p.m) 300



Media -0.137993

Desviación Típica: 1.133039

Mediana: -0.146484

Valor Máximo: 8.398438

Valor Mínimo: -6.835938

Valor de Pico: 8.398438

Valor de Pico a Pico: 15.234375

Kurtosis: 4.515163

Sesgo: -0.001192

Valor Eficaz: 1.141383

Factor de Forma: 1.315372

Factor de Cresta: 7.358127

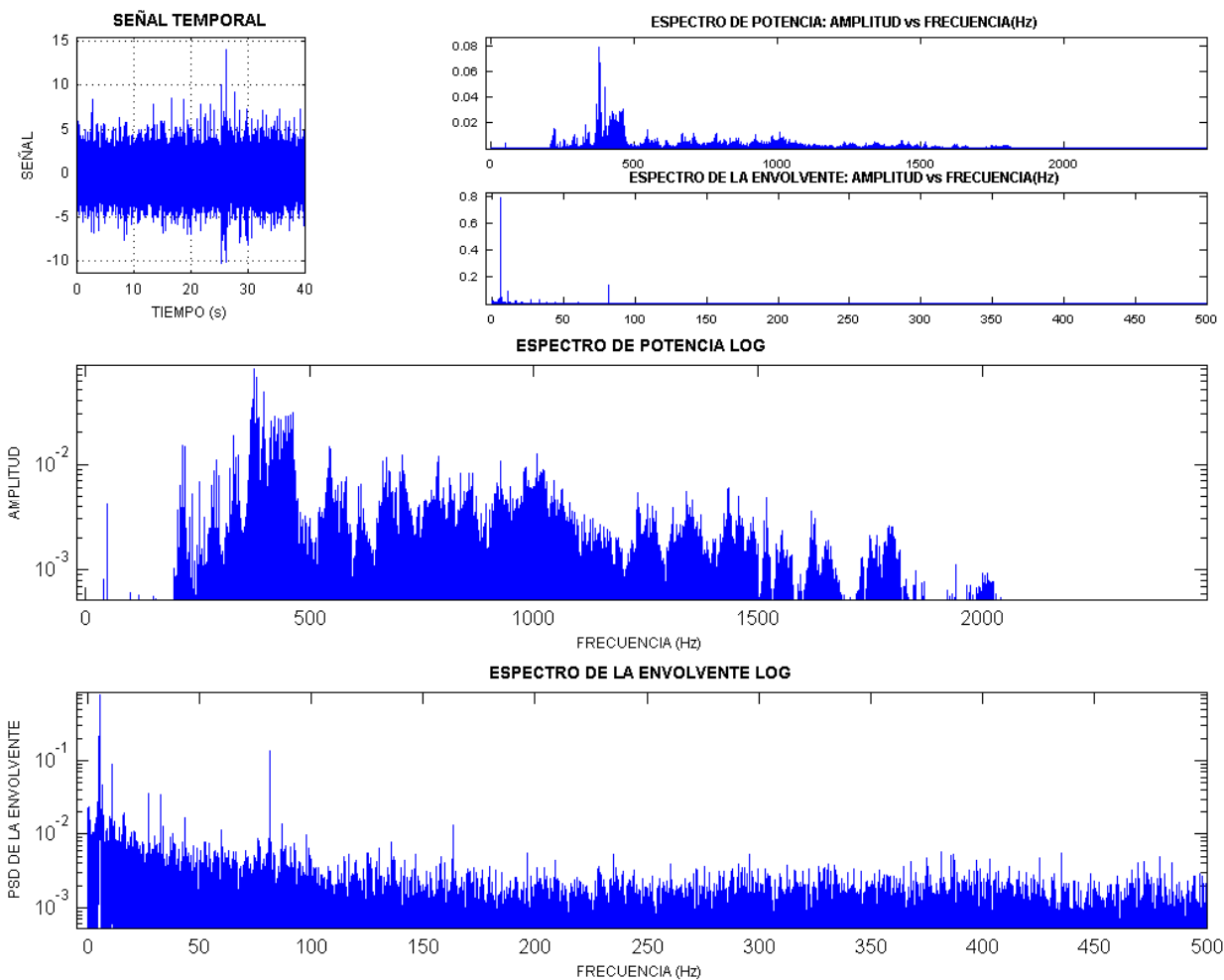
Varianza: 1.283776

Valor Medio: 0.868268

Moda: -0.163467

Potencia del Espectro: 1.302754

## ANEXO A

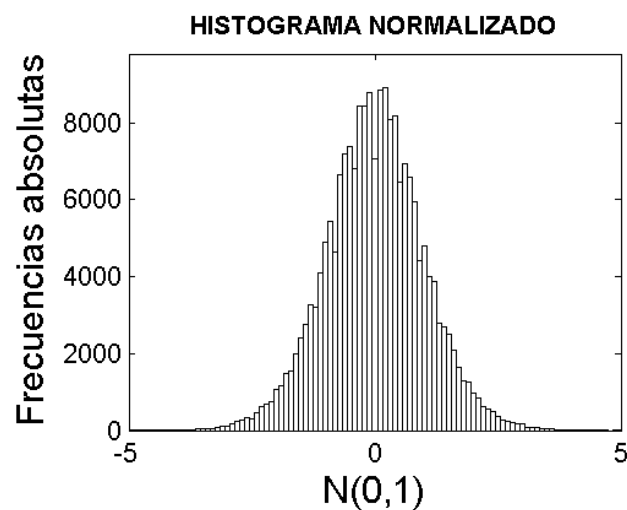


## ANEXO A

Reductora Con Carcasa

Punto 7

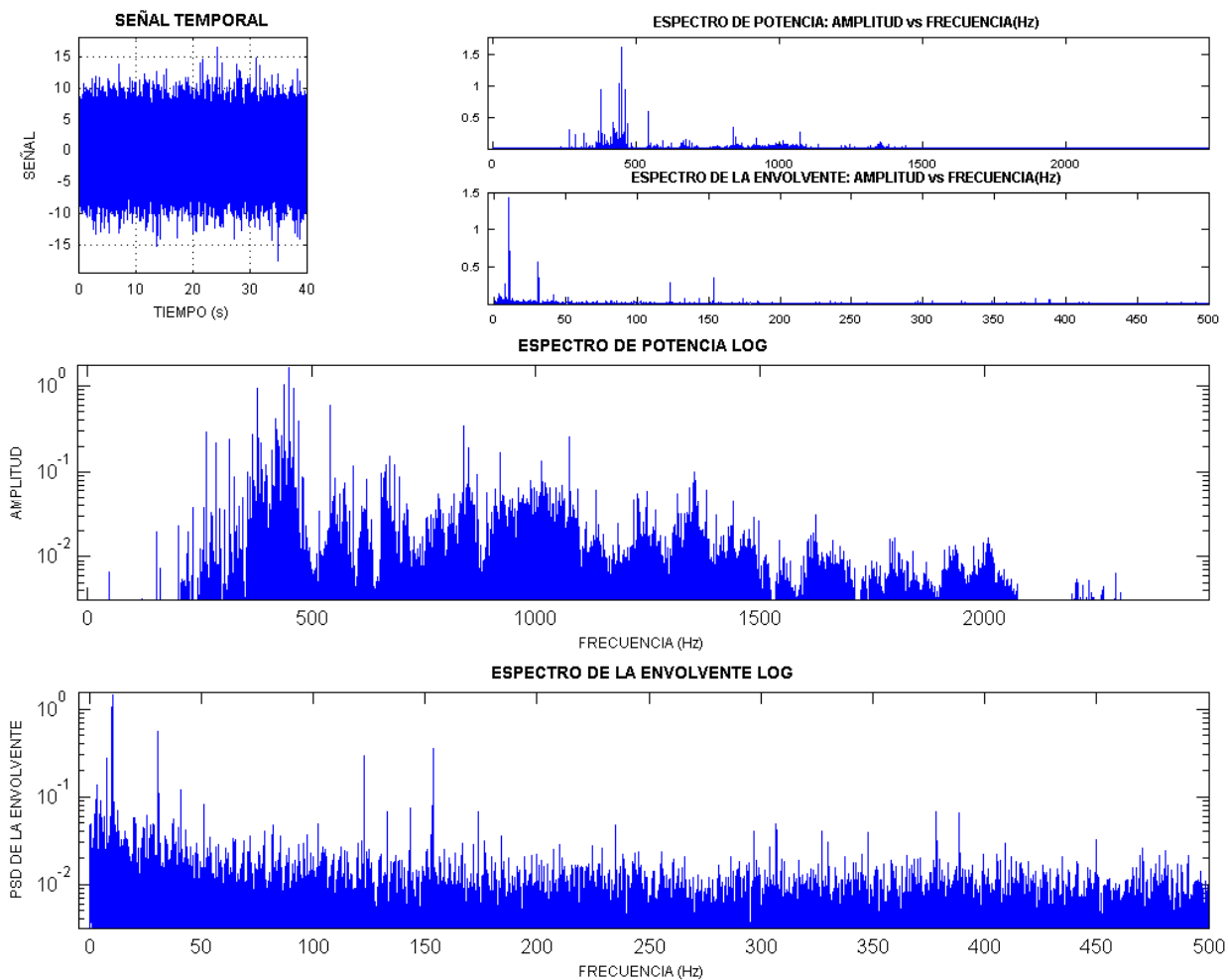
Velocidad (r.p.m) 600



Media	-0.142485
Desviación Típica:	2.800111
Mediana:	-0.146484
Valor Máximo:	11.914063
Valor Mínimo:	-13.281250
Valor de Pico:	13.281250
Valor de Pico a Pico:	25.195313
Kurtosis:	3.524236
Sesgo:	-0.015037
Valor Eficaz:	2.803664
Factor de Forma:	1.273084
Factor de Cresta:	4.737105
Varianza:	7.840621
Valor Medio:	2.202583
Moda:	-0.154482
Potencia del Espectro:	7.860531



## ANEXO A

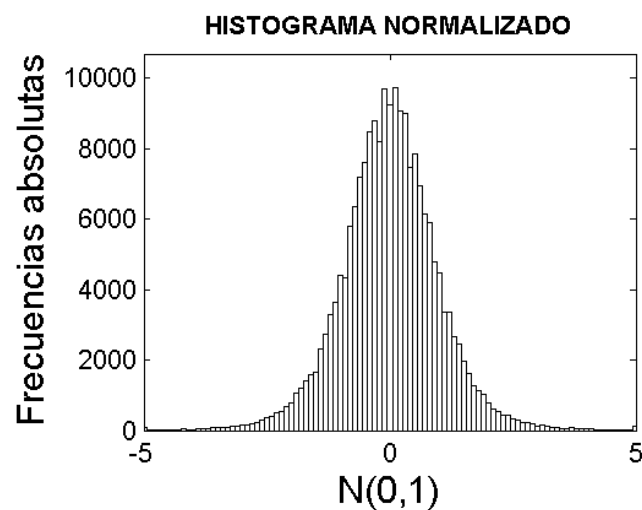


## ANEXO A

Reductora Con Carcasa

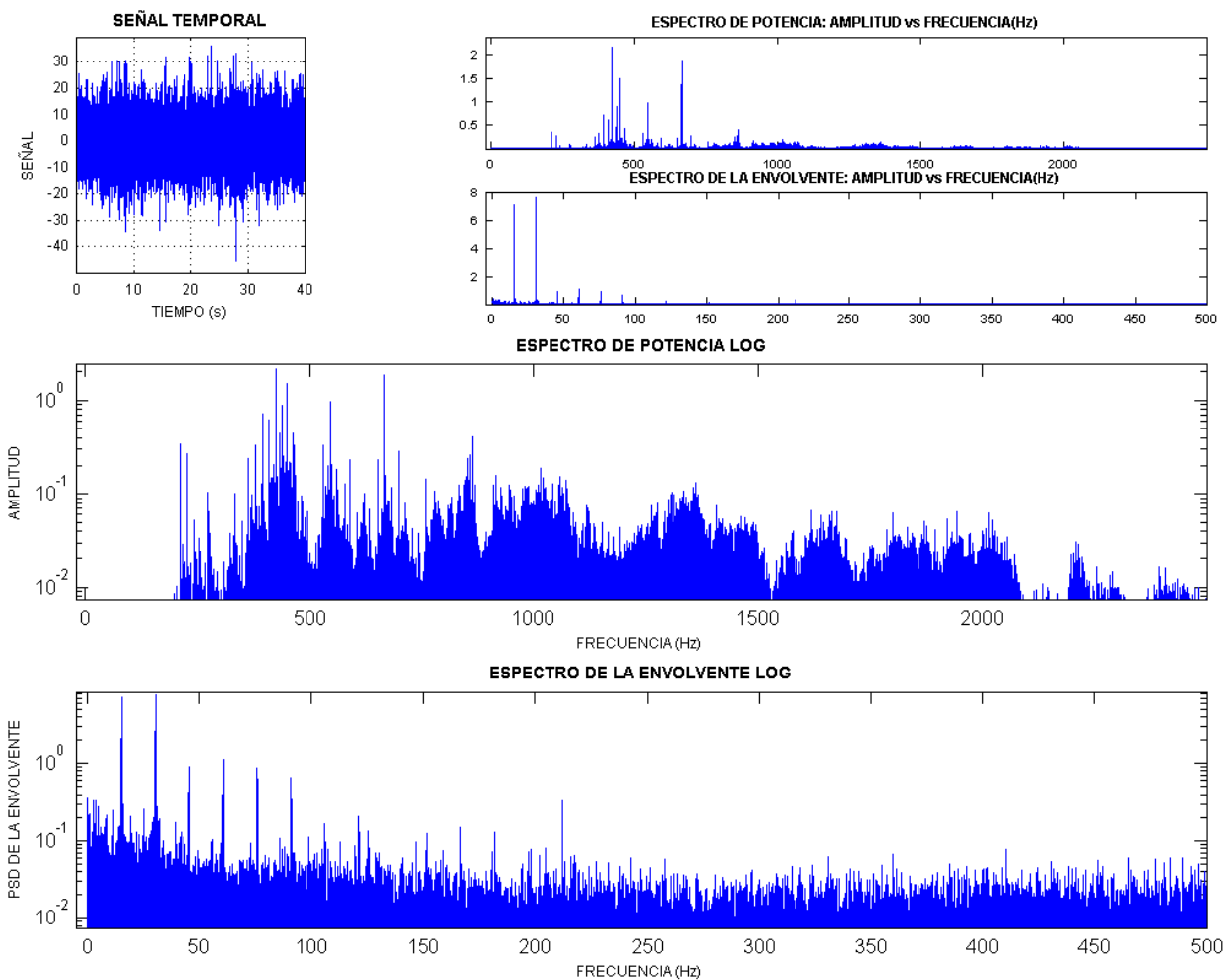
Punto 7

Velocidad (r.p.m) 900



Media	-0.136340
Desviación Típica:	4.033067
Mediana:	-0.097656
Valor Máximo:	25.341797
Valor Mínimo:	-24.218750
Valor de Pico:	25.341797
Valor de Pico a Pico:	49.560547
Kurtosis:	4.517615
Sesgo:	0.009069
Valor Eficaz:	4.035270
Factor de Forma:	1.249924
Factor de Cresta:	6.280075
Varianza:	16.265628
Valor Medio:	3.231997
Moda:	-0.020288
Potencia del Espectro:	16.283403

# ANEXO A

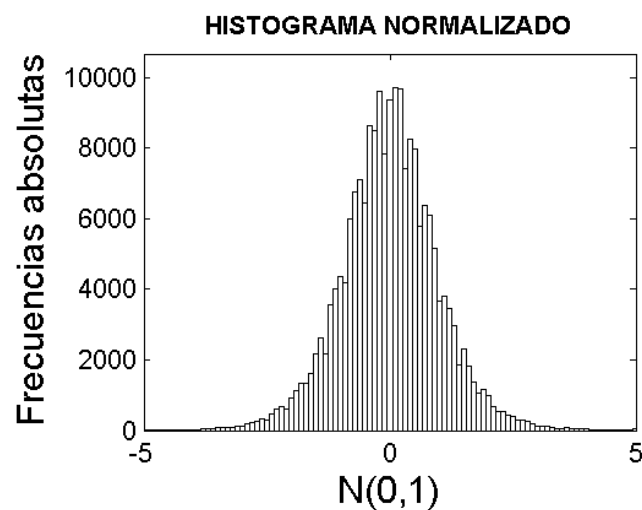


## ANEXO A

Reductora Con Carcasa

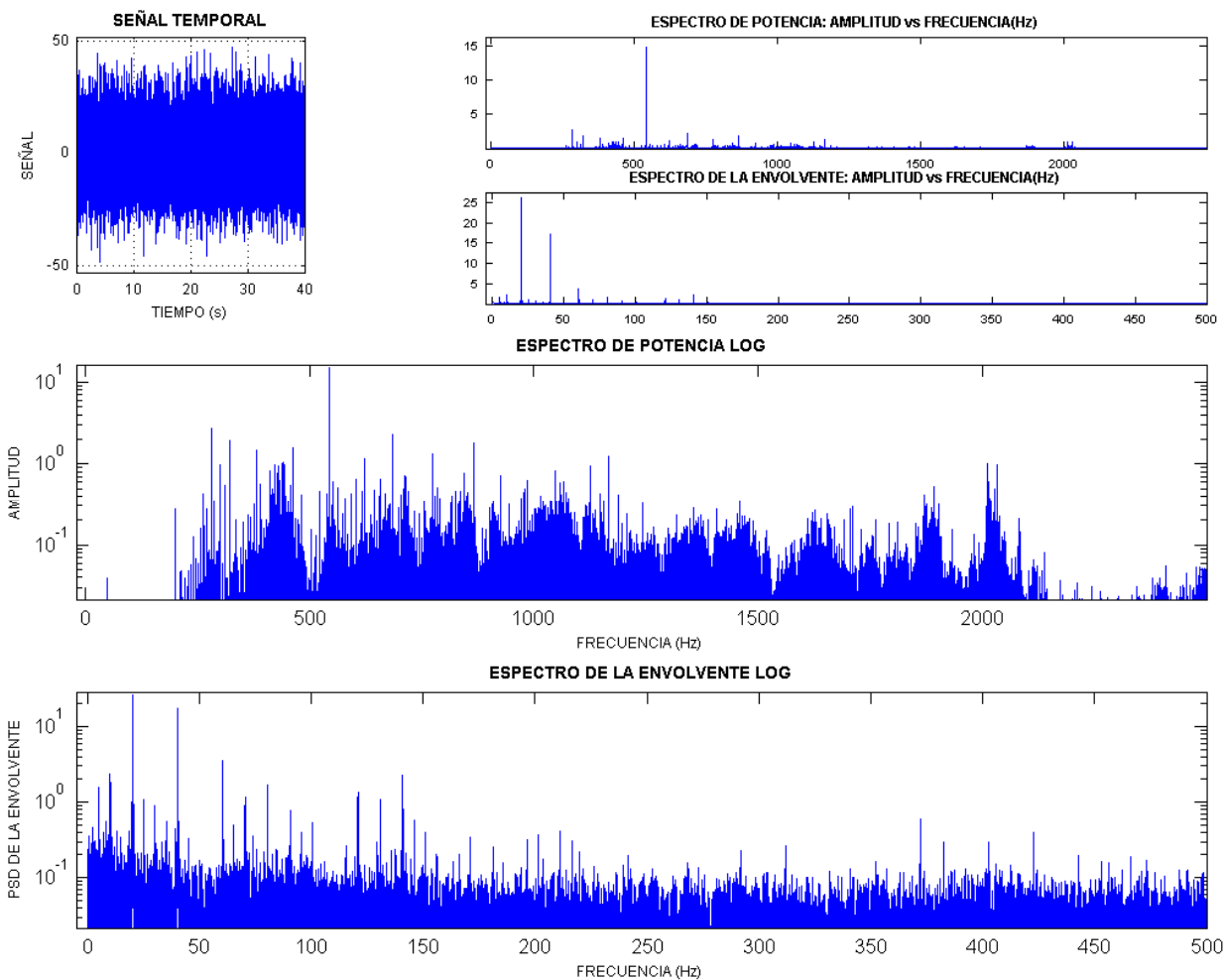
Punto 7

Velocidad (r.p.m) 1200



Media	-0.436108
Desviación Típica:	7.204665
Mediana:	-0.463558
Valor Máximo:	44.501582
Valor Mínimo:	-43.110908
Valor de Pico:	44.501582
Valor de Pico a Pico:	87.612490
Kurtosis:	4.399431
Sesgo:	0.070865
Valor Eficaz:	7.217672
Factor de Forma:	1.295692
Factor de Cresta:	6.165642
Varianza:	51.907200
Valor Medio:	5.571505
Moda:	-0.518459
Potencia del Espectro:	52.094795

# ANEXO A

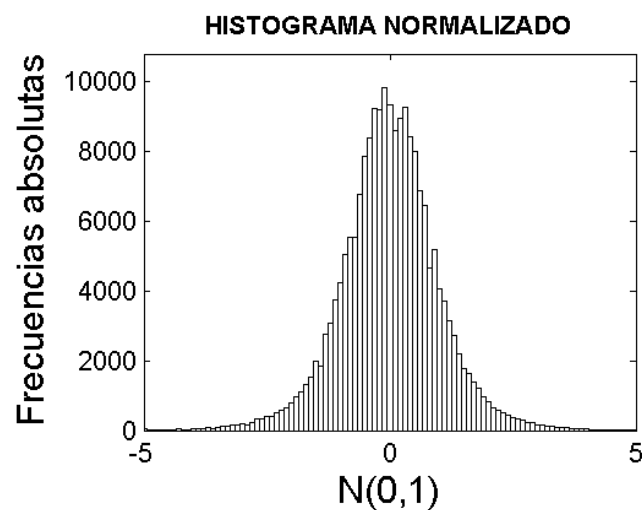


## ANEXO A

Reductora Con Carcasa

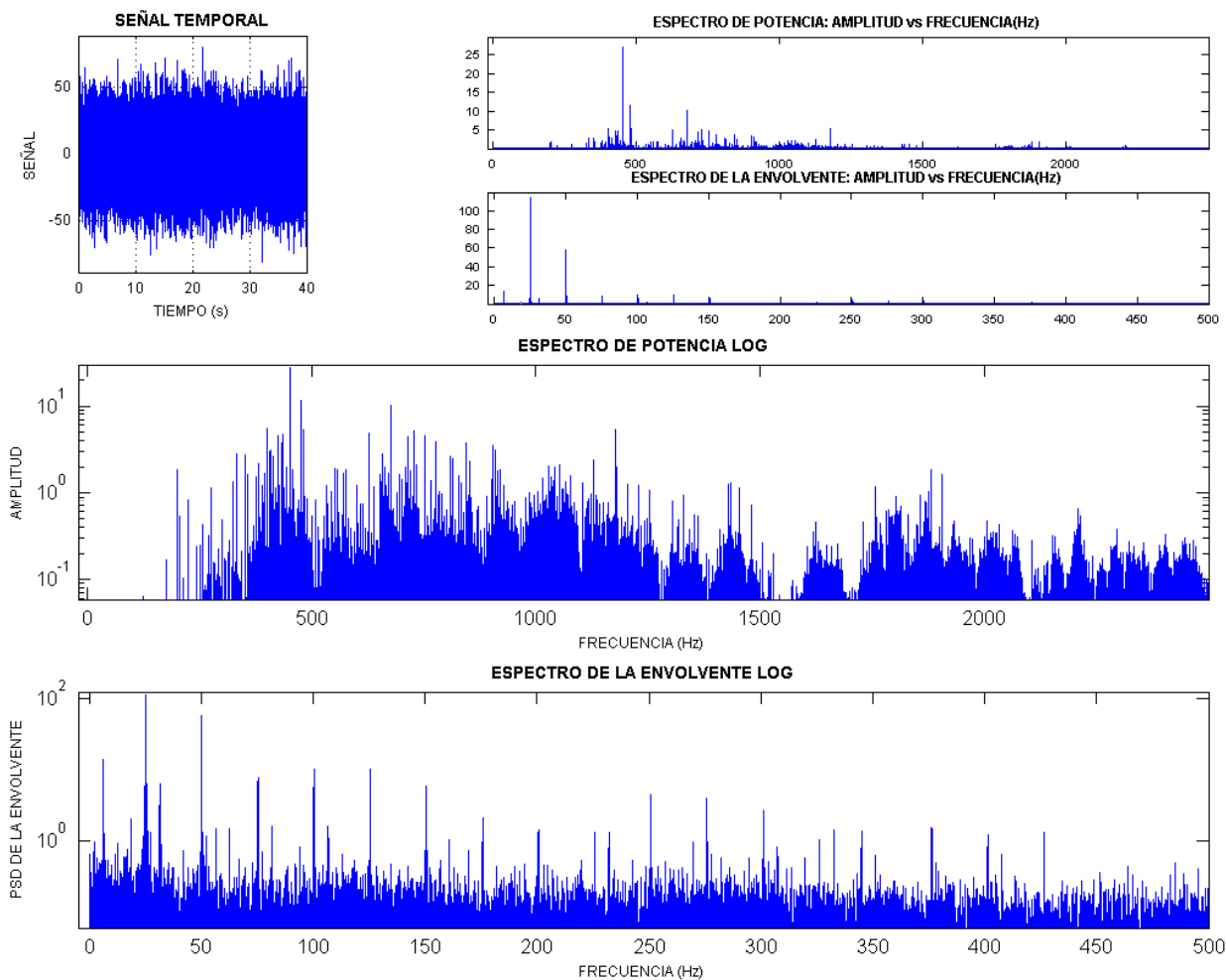
Punto 7

Velocidad (r.p.m) 1500



Media	-0.452286
Desviación Típica:	12.094114
Mediana:	-0.463558
Valor Máximo:	64.589102
Valor Mínimo:	-69.997280
Valor de Pico:	69.997280
Valor de Pico a Pico:	134.586382
Kurtosis:	4.648707
Sesgo:	-0.017768
Valor Eficaz:	12.102266
Factor de Forma:	1.331181
Factor de Cresta:	5.783816
Varianza:	146.267602
Valor Medio:	9.095002
Moda:	-0.486103
Potencia del Espectro:	146.464852

## ANEXO A

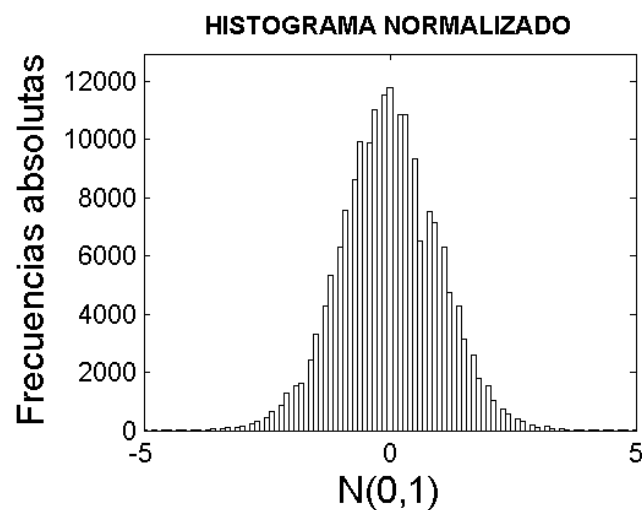


## ANEXO A

Reductora Con Carcasa

Punto 8

Velocidad (r.p.m) 0



Media -0.025207

Desviación Típica: 0.032590

Mediana: -0.024414

Valor Máximo: 0.122070

Valor Mínimo: -0.156250

Valor de Pico: 0.156250

Valor de Pico a Pico: 0.278320

Kurtosis: 3.250272

Sesgo: 0.065089

Valor Eficaz: 0.041200

Factor de Forma: 1.228414

Factor de Cresta: 3.792430

Varianza: 0.001062

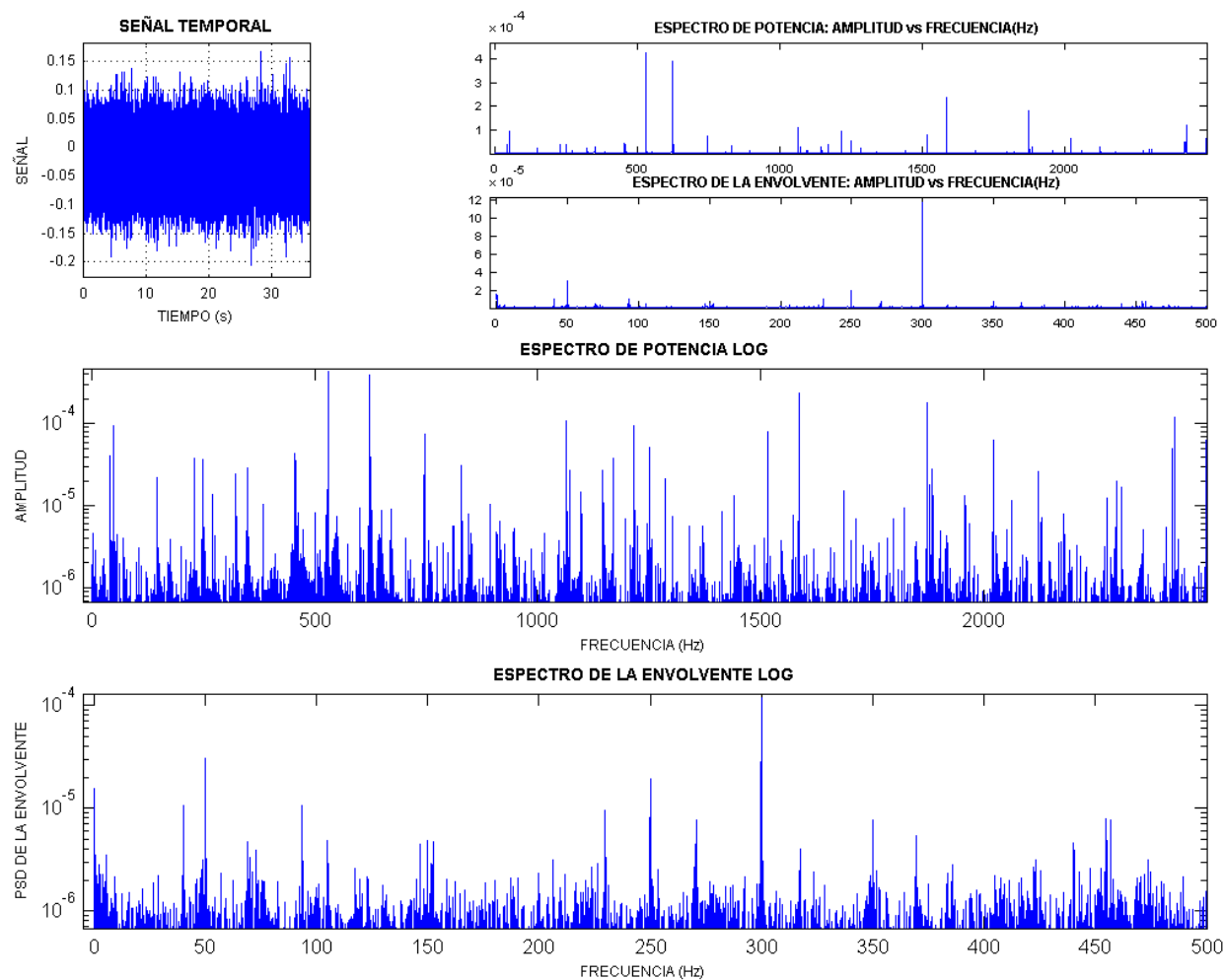
Valor Medio: 0.033568

Moda: -0.022828

Potencia del Espectro: 0.001697



## ANEXO A

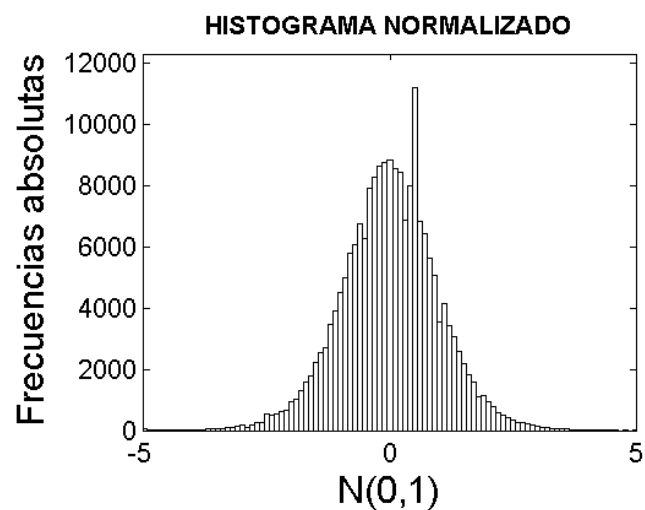


## ANEXO A

Reductora Con Carcasa

Punto 8

Velocidad (r.p.m) 300



Media -0.094676

Desviación Típica: 0.315266

Mediana: -0.092712

Valor Máximo: 1.622454

Valor Mínimo: -1.900588

Valor de Pico: 1.900588

Valor de Pico a Pico: 3.523042

Kurtosis: 4.109334

Sesgo: -0.108167

Valor Eficaz: 0.329168

Factor de Forma: 1.293451

Factor de Cresta: 5.773916

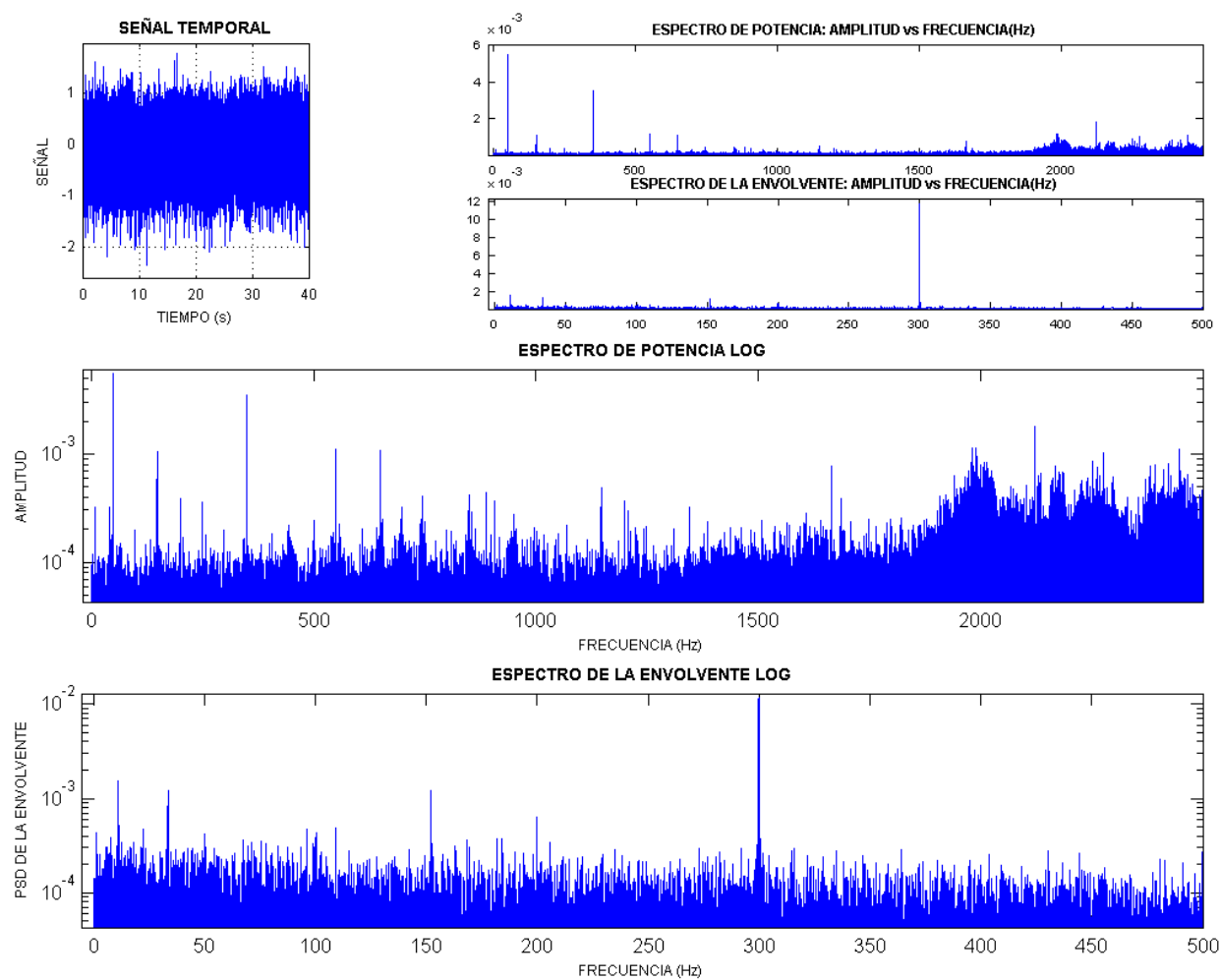
Varianza: 0.099393

Valor Medio: 0.254533

Moda: -0.088782

Potencia del Espectro: 0.108352

## ANEXO A

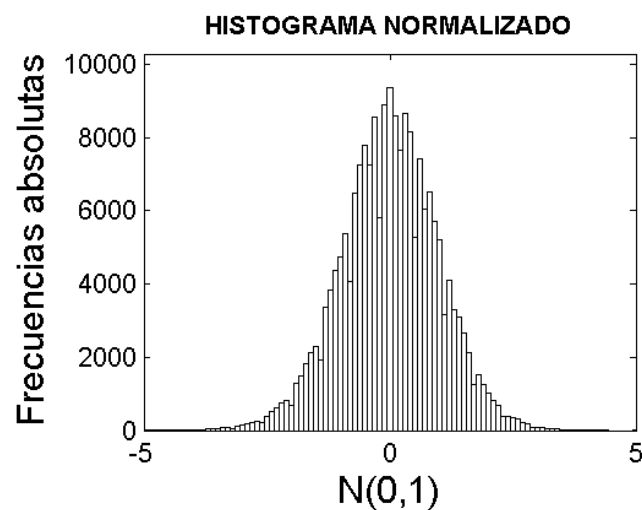


## ANEXO A

Reductora Con Carcasa

Punto 8

Velocidad (r.p.m) 600



Media -0.089671

Desviación Típica: 0.438934

Mediana: -0.092712

Valor Máximo: 2.086012

Valor Mínimo: -2.395050

Valor de Pico: 2.395050

Valor de Pico a Pico: 4.481062

Kurtosis: 3.448292

Sesgo: -0.088954

Valor Eficaz: 0.447990

Factor de Forma: 1.276003

Factor de Cresta: 5.346218

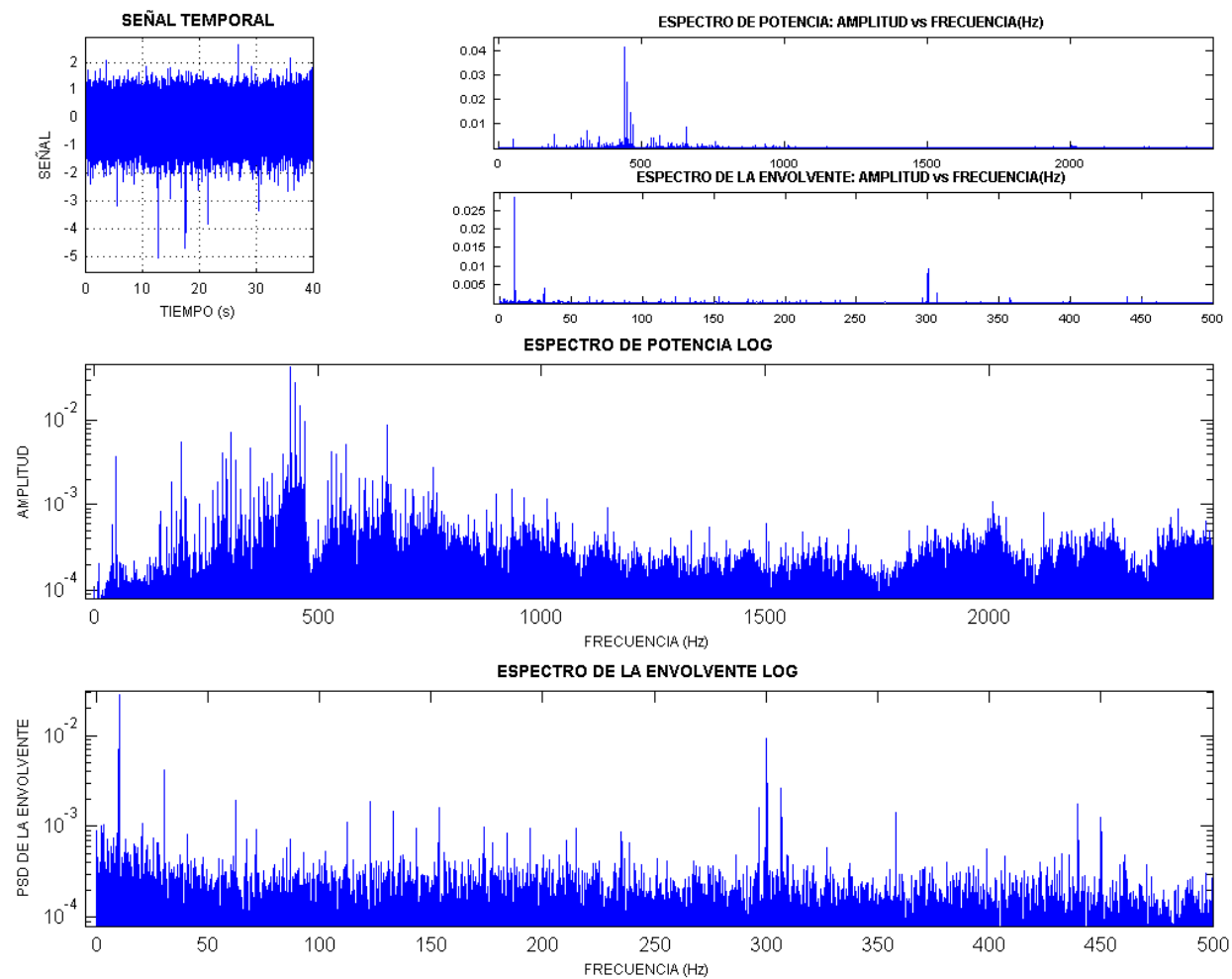
Varianza: 0.192663

Valor Medio: 0.351139

Moda: -0.098792

Potencia del Espectro: 0.200695

## ANEXO A

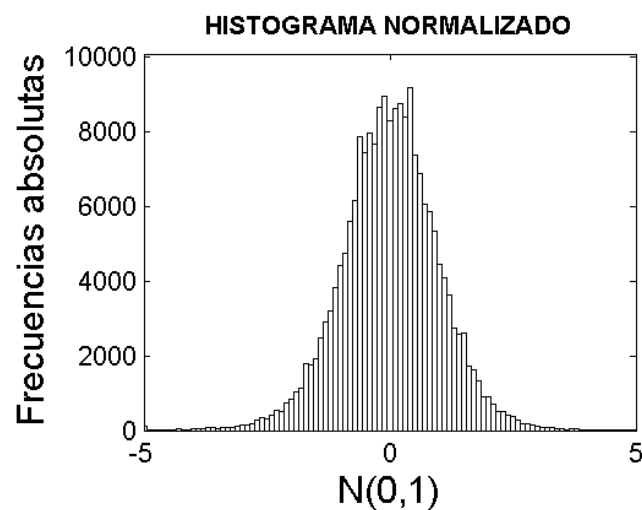


## ANEXO A

Reductora Con Carcasa

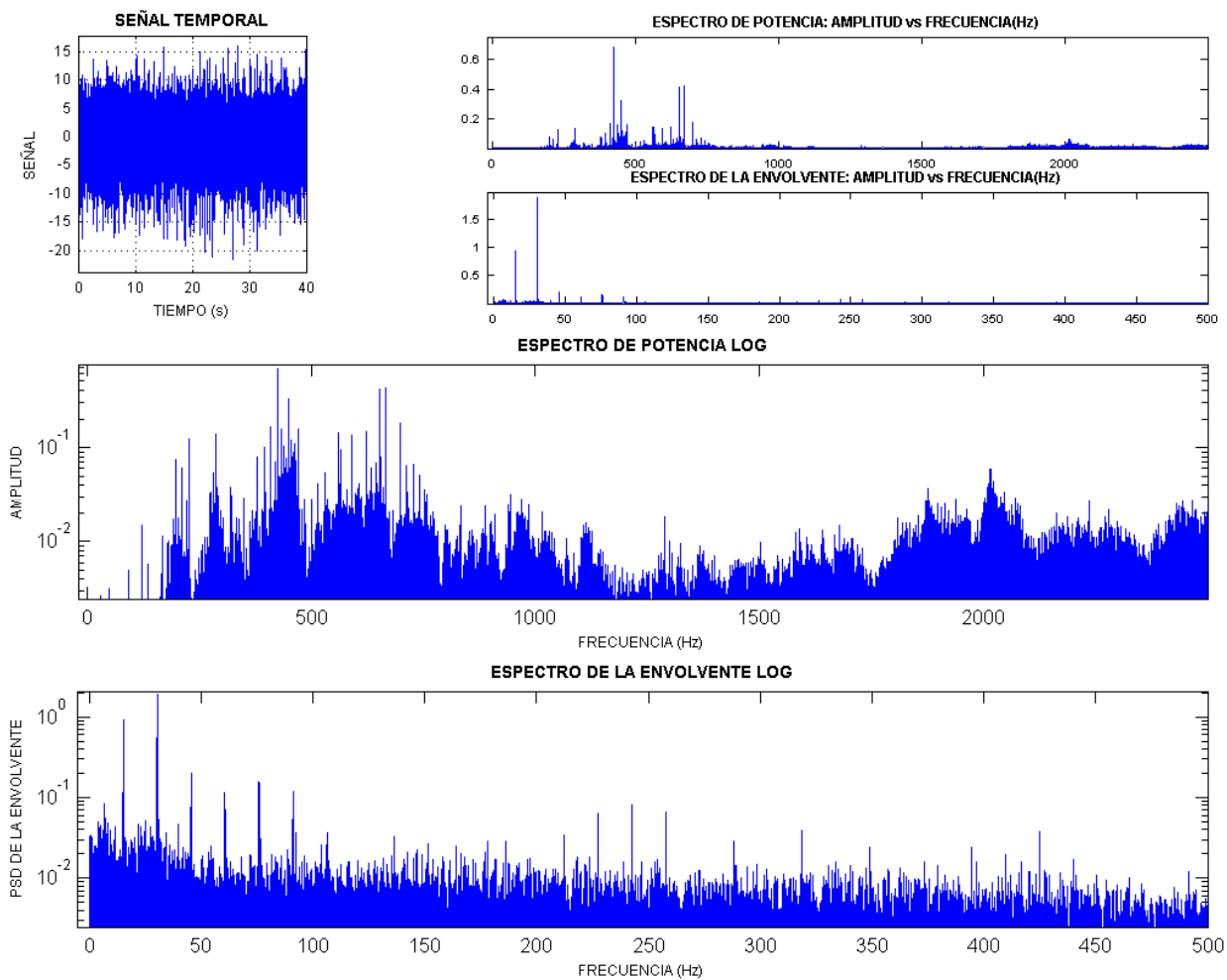
Punto 8

Velocidad (r.p.m) 900



Media	-0.145679
Desviación Típica:	2.429359
Mediana:	-0.146484
Valor Máximo:	13.525391
Valor Mínimo:	-19.970703
Valor de Pico:	19.970703
Valor de Pico a Pico:	33.496094
Kurtosis:	4.706661
Sesgo:	-0.169235
Valor Eficaz:	2.433663
Factor de Forma:	1.278502
Factor de Cresta:	8.206028
Varianza:	5.901787
Valor Medio:	1.904403
Moda:	-0.148096
Potencia del Espectro:	5.922714

## ANEXO A

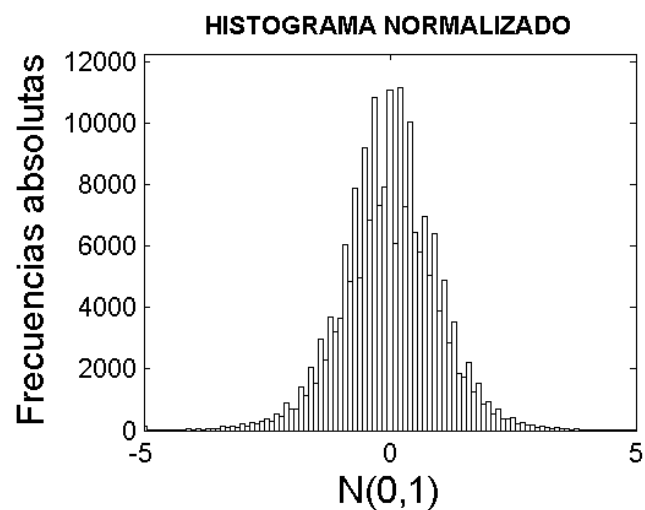


## ANEXO A

Reductora Con Carcasa

Punto 8

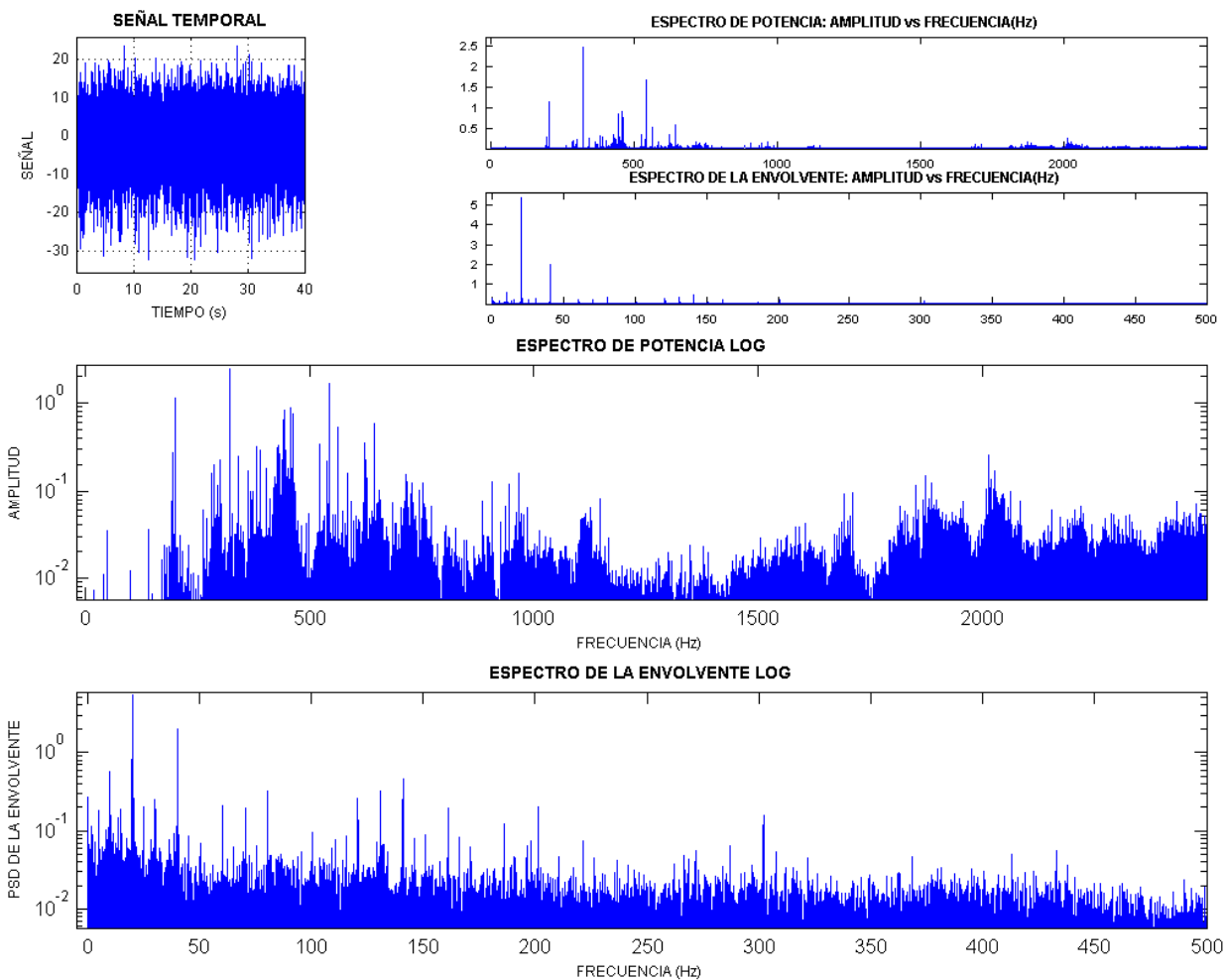
Velocidad (r.p.m) 1200



Media	-0.444398
Desviación Típica:	3.658615
Mediana:	-0.463558
Valor Máximo:	19.160403
Valor Mínimo:	-29.358683
Valor de Pico:	29.358683
Valor de Pico a Pico:	48.519086
Kurtosis:	5.340632
Sesgo:	-0.245009
Valor Eficaz:	3.685415
Factor de Forma:	1.282645
Factor de Cresta:	7.966181
Varianza:	13.385465
Valor Medio:	2.875141
Moda:	-0.501879
Potencia del Espectro:	13.582285



## ANEXO A

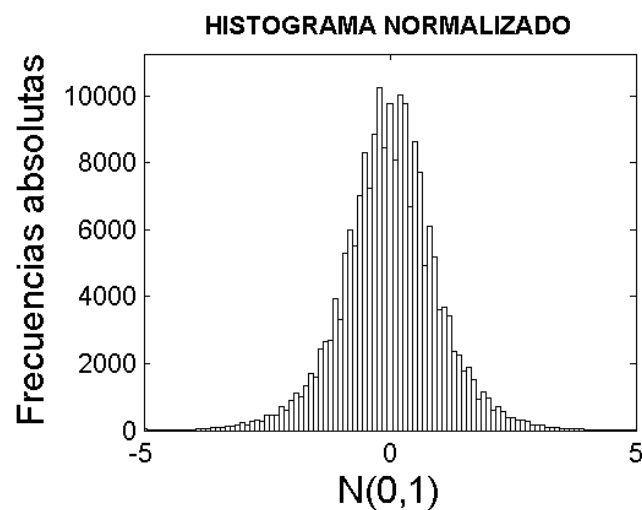


## ANEXO A

Reductora Con Carcasa

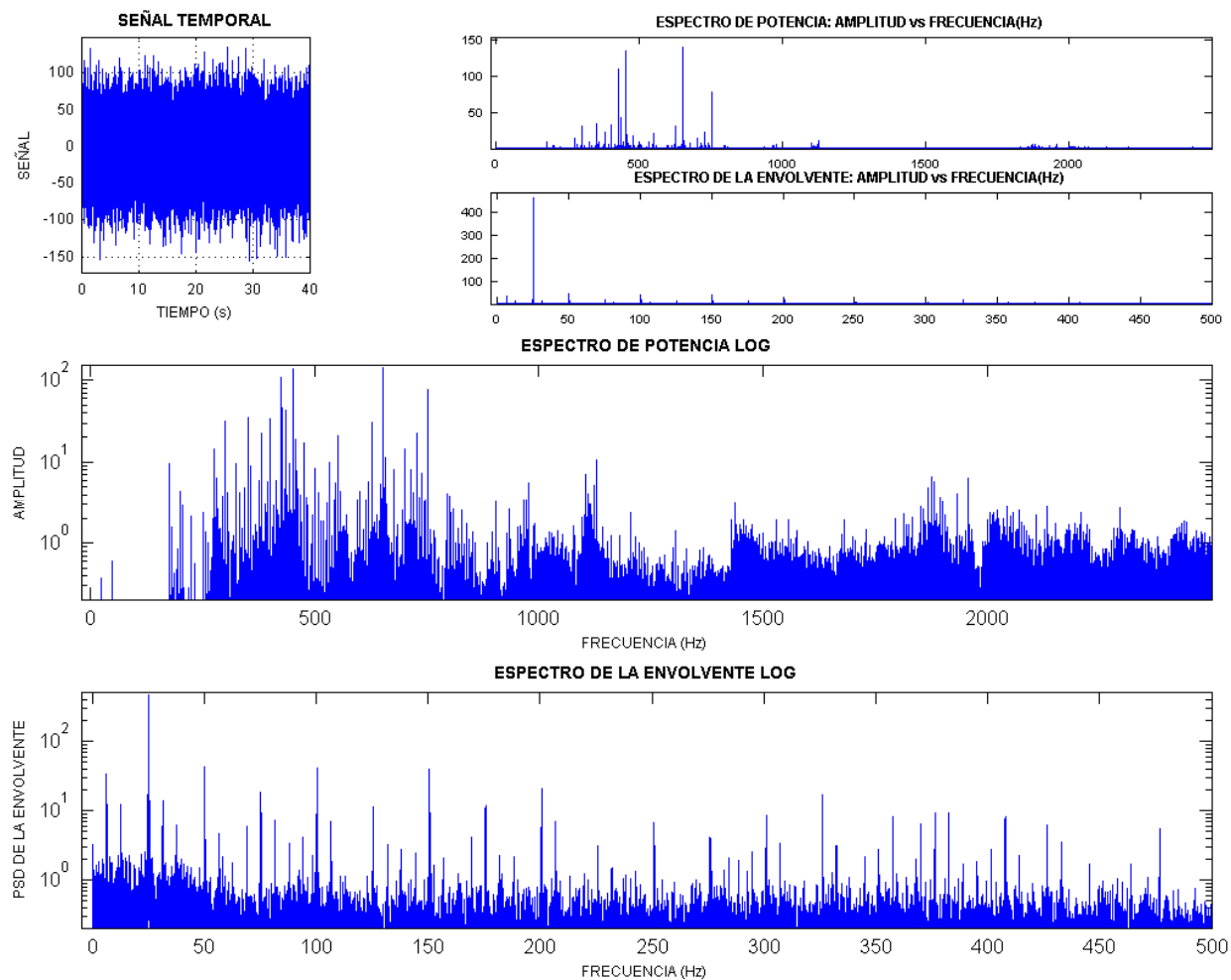
Punto 8

Velocidad (r.p.m) 1500



Media	-1.486499
Desviación Típica:	23.350514
Mediana:	-1.464844
Valor Máximo:	133.789060
Valor Mínimo:	-154.296880
Valor de Pico:	154.296880
Valor de Pico a Pico:	288.085940
Kurtosis:	4.700230
Sesgo:	-0.087973
Valor Eficaz:	23.397199
Factor de Forma:	1.374570
Factor de Cresta:	6.594673
Varianza:	545.246517
Valor Medio:	17.025308
Moda:	-1.421533
Potencia del Espectro:	547.428934

# ANEXO A

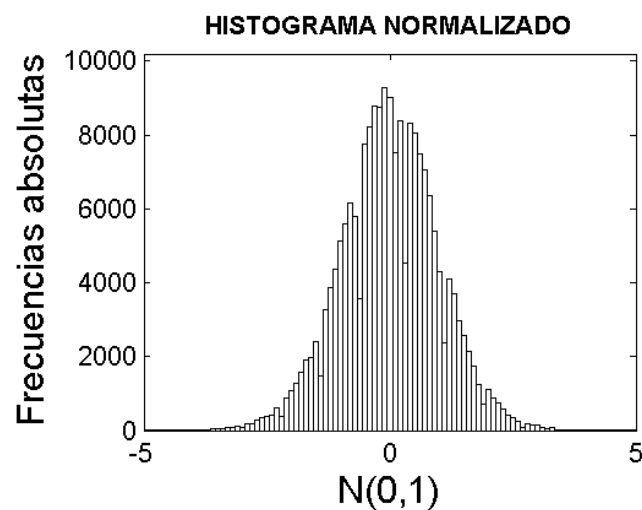


## ANEXO A

Reductora Con Carcasa

Punto 9

Velocidad (r.p.m) 0



Media -0.000323

Desviación Típica: 0.002452

Mediana: -0.000309

Valor Máximo: 0.010044

Valor Mínimo: -0.009889

Valor de Pico: 0.010044

Valor de Pico a Pico: 0.019933

Kurtosis: 3.021199

Sesgo: -0.020035

Valor Eficaz: 0.002473

Factor de Forma: 1.088324

Factor de Cresta: 4.061010

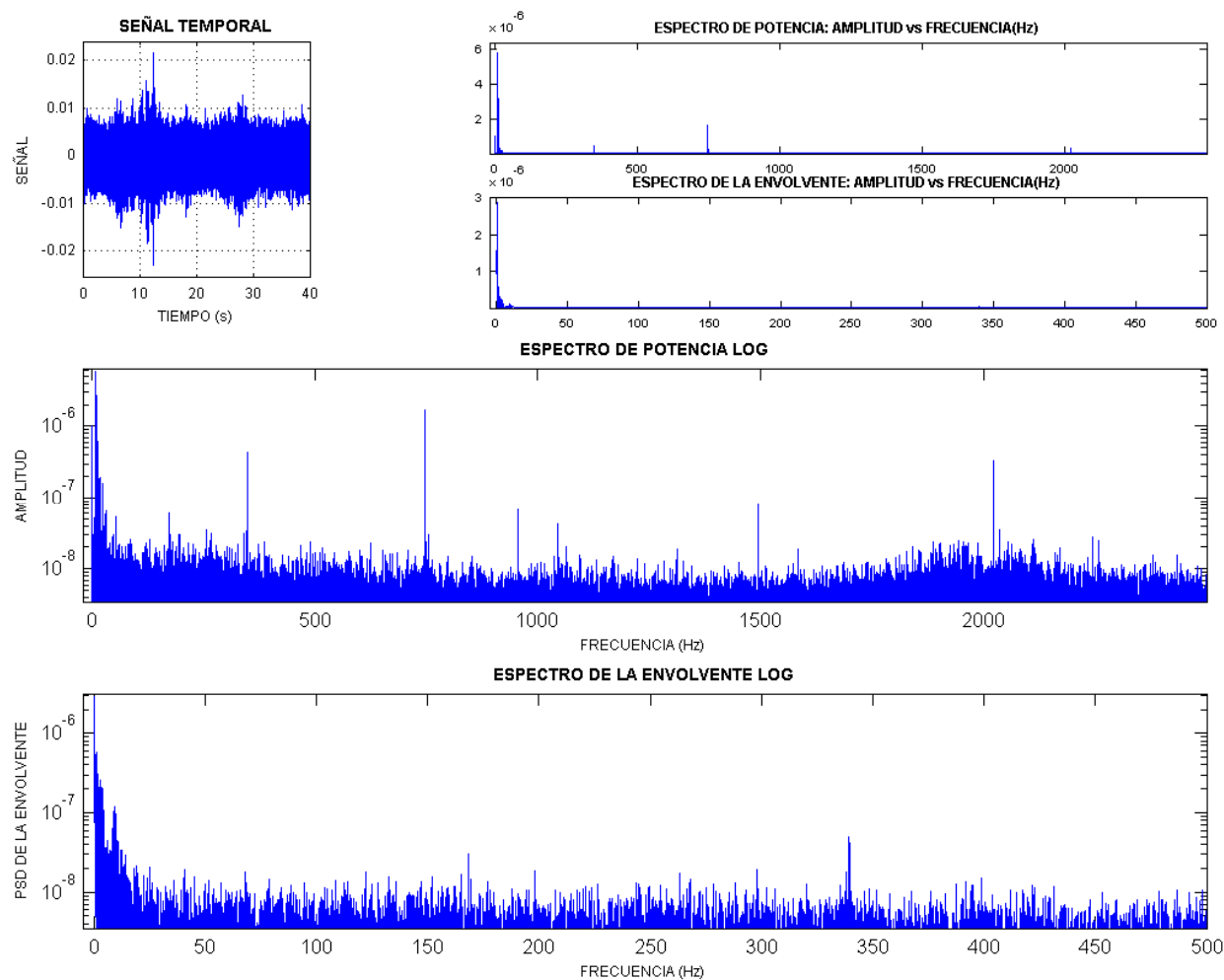
Varianza: 0.000006

Valor Medio: 0.002319

Moda: -0.000281

Potencia del Espectro: 0.000006

## ANEXO A

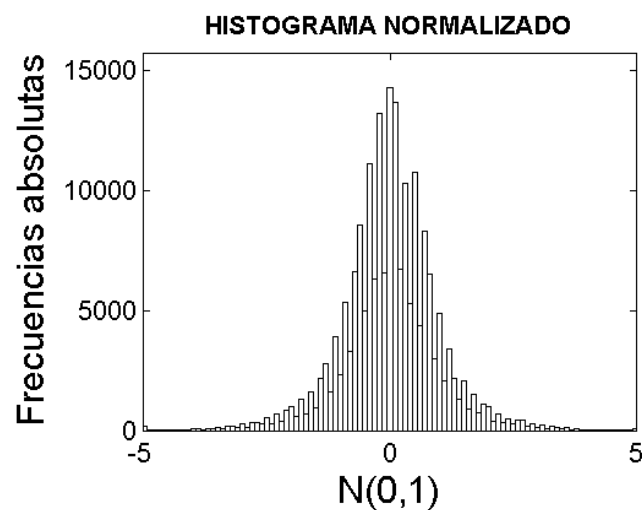


## ANEXO A

Reductora Con Carcasa

Punto 9

Velocidad (r.p.m) 300



Media -0.095780

Desviación Típica: 0.242243

Mediana: -0.092712

Valor Máximo: 1.467934

Valor Mínimo: -2.116916

Valor de Pico: 2.116916

Valor de Pico a Pico: 3.584850

Kurtosis: 6.394555

Sesgo: -0.187652

Valor Eficaz: 0.260486

Factor de Forma: 1.344104

Factor de Cresta: 8.126806

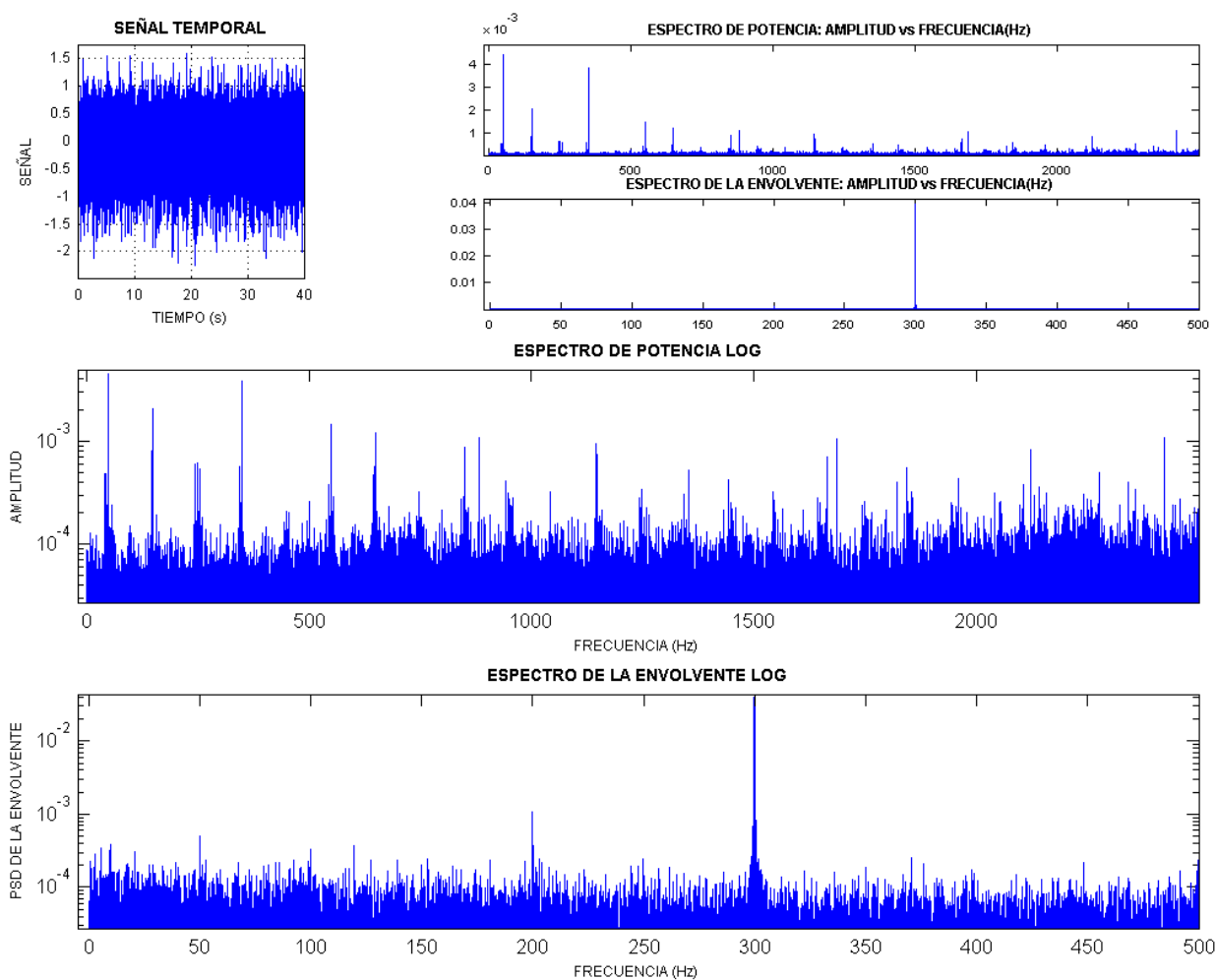
Varianza: 0.058682

Valor Medio: 0.193803

Moda: -0.086574

Potencia del Espectro: 0.067853

## ANEXO A

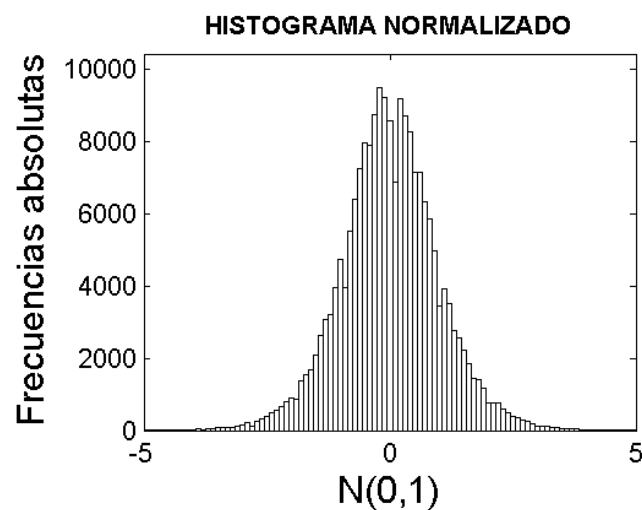


## ANEXO A

Reductora Con Carcasa

Punto 9

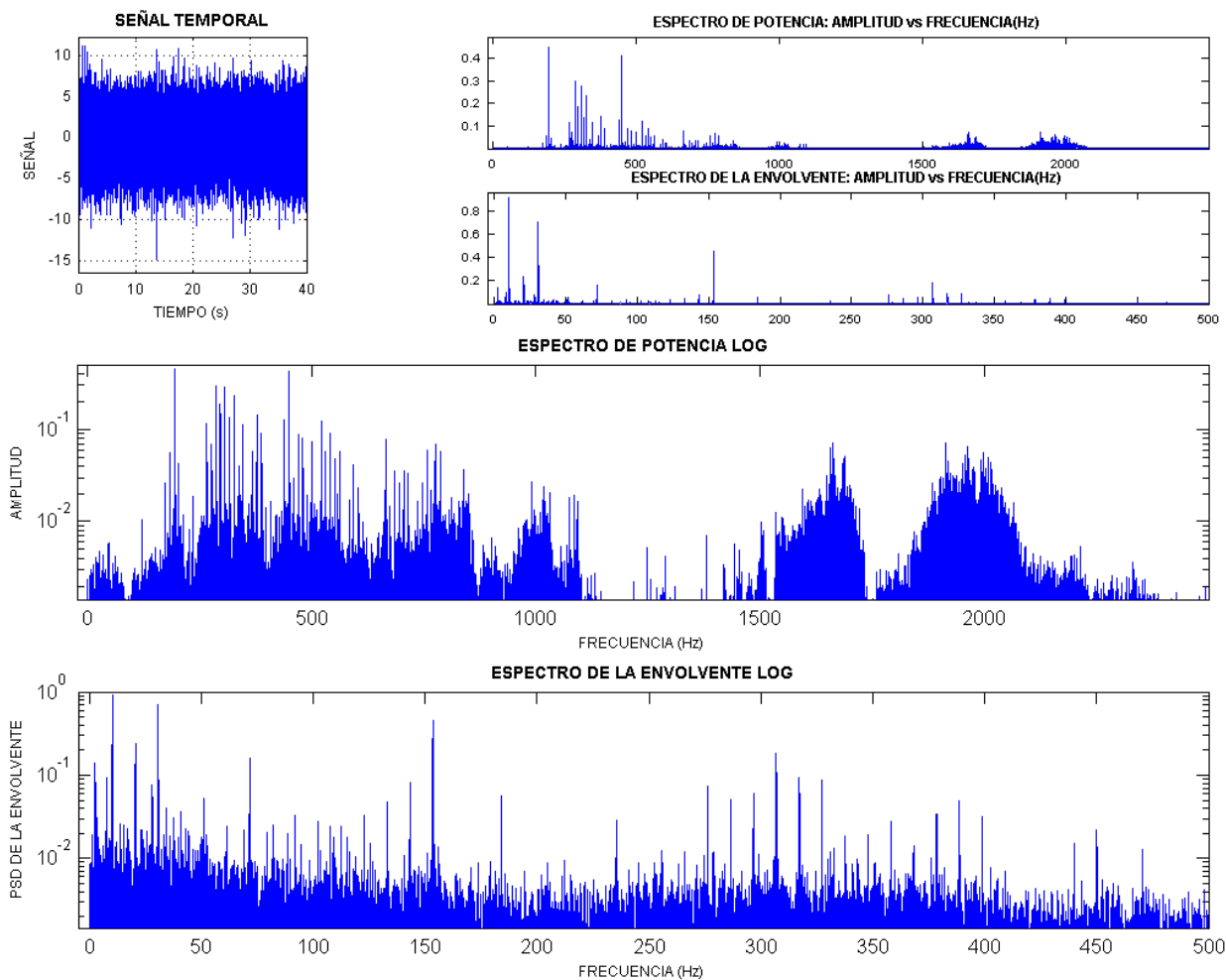
Velocidad (r.p.m) 600



Media	-0.153196
Desviación Típica:	1.922704
Mediana:	-0.146484
Valor Máximo:	11.132813
Valor Mínimo:	-11.035156
Valor de Pico:	11.132813
Valor de Pico a Pico:	22.167969
Kurtosis:	4.270863
Sesgo:	0.013131
Valor Eficaz:	1.928750
Factor de Forma:	1.317737
Factor de Cresta:	5.772036
Varianza:	3.696791
Valor Medio:	1.463798
Moda:	-0.133062
Potencia del Espectro:	3.720076



## ANEXO A

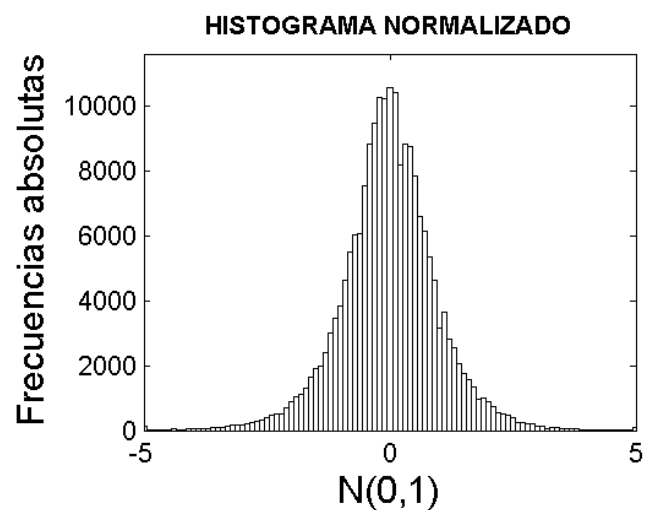


## ANEXO A

Reductora Con Carcasa

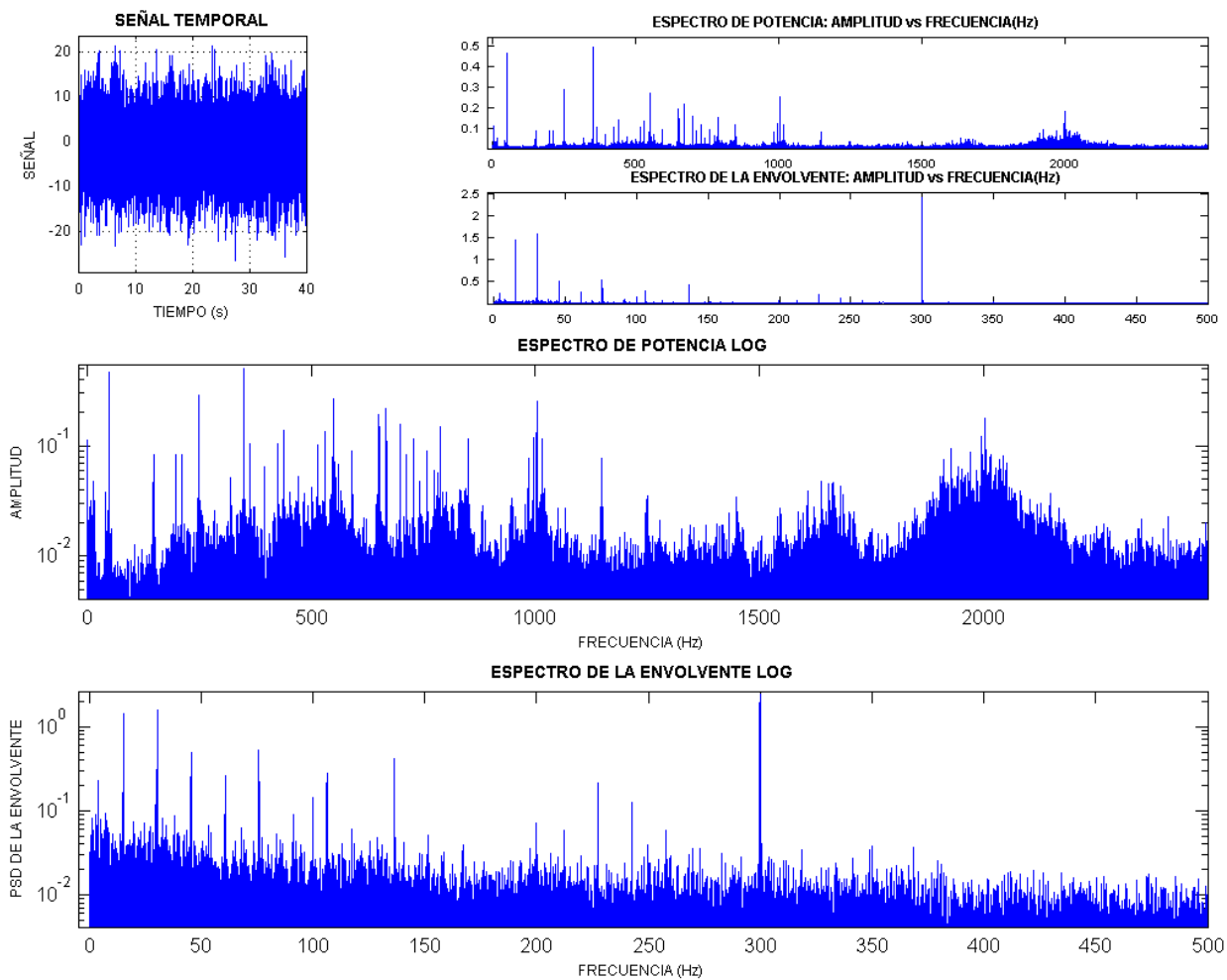
Punto 9

Velocidad (r.p.m) 900



Media	-0.879184
Desviación Típica:	3.191354
Mediana:	-0.927116
Valor Máximo:	20.396559
Valor Mínimo:	-22.868869
Valor de Pico:	22.868869
Valor de Pico a Pico:	43.265428
Kurtosis:	5.608432
Sesgo:	-0.104745
Valor Eficaz:	3.310166
Factor de Forma:	1.386738
Factor de Cresta:	6.908678
Varianza:	10.184742
Valor Medio:	2.389575
Moda:	-1.022980
Potencia del Espectro:	10.957198

## ANEXO A

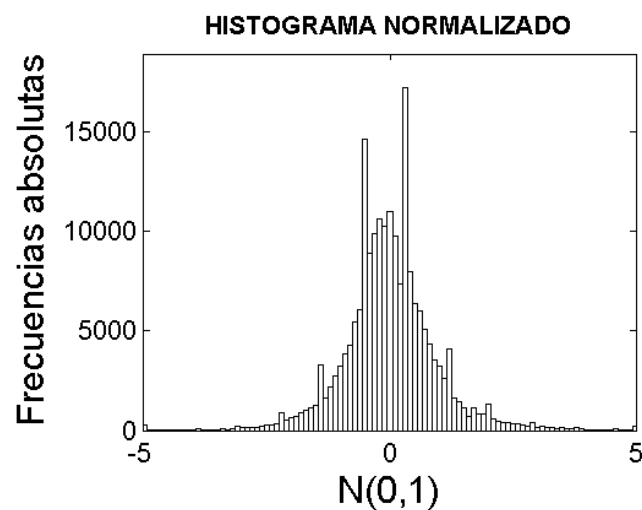


## ANEXO A

Reductora Con Carcasa

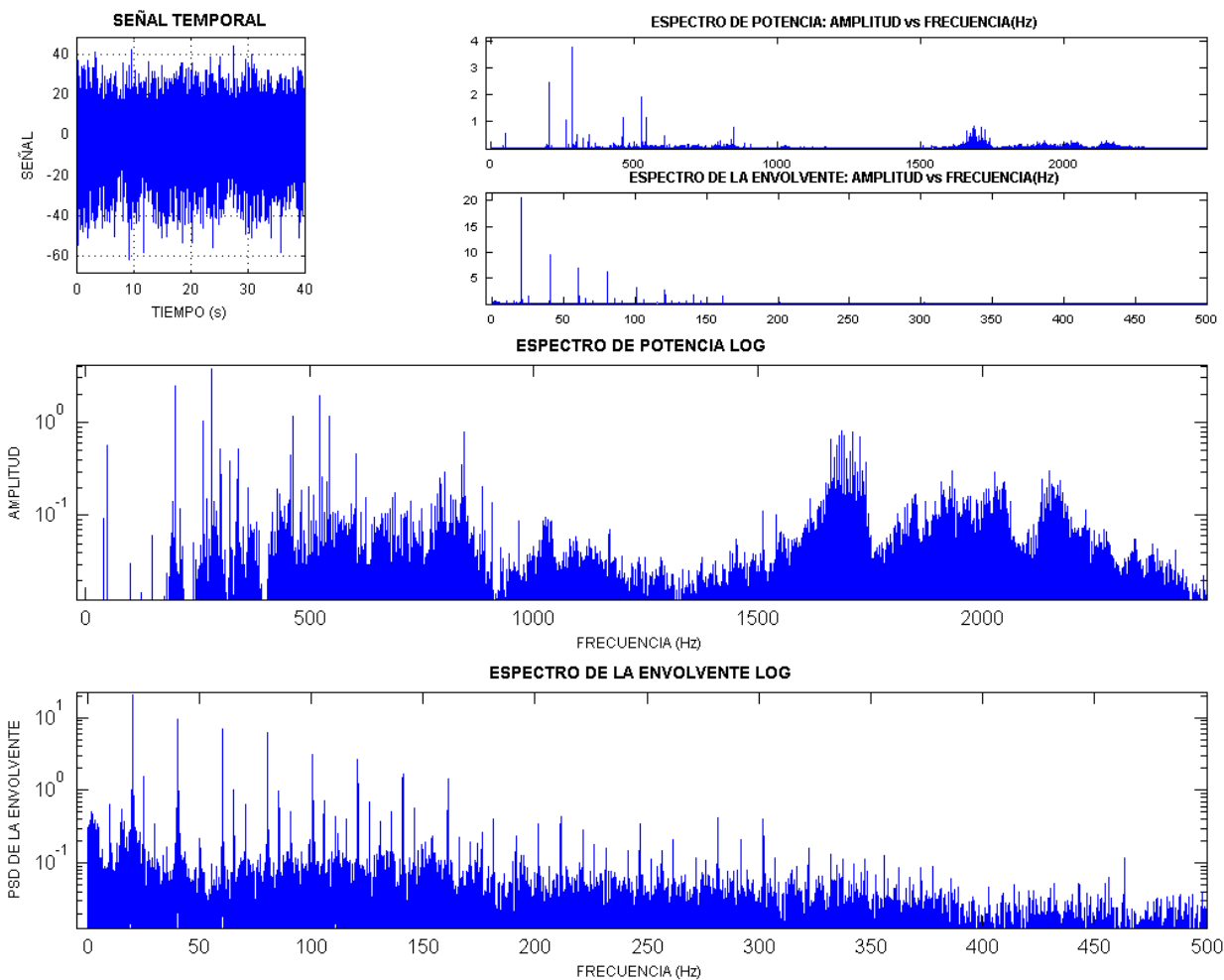
Punto 9

Velocidad (r.p.m) 1200



Media	-1.411084
Desviación Típica:	5.680206
Mediana:	-1.464844
Valor Máximo:	41.503906
Valor Mínimo:	-54.687500
Valor de Pico:	54.687500
Valor de Pico a Pico:	96.191406
Kurtosis:	10.369378
Sesgo:	0.037576
Valor Eficaz:	5.852716
Factor de Forma:	1.453480
Factor de Cresta:	9.343952
Varianza:	32.264744
Valor Medio:	4.029373
Moda:	-1.572363
Potencia del Espectro:	34.254289

## ANEXO A

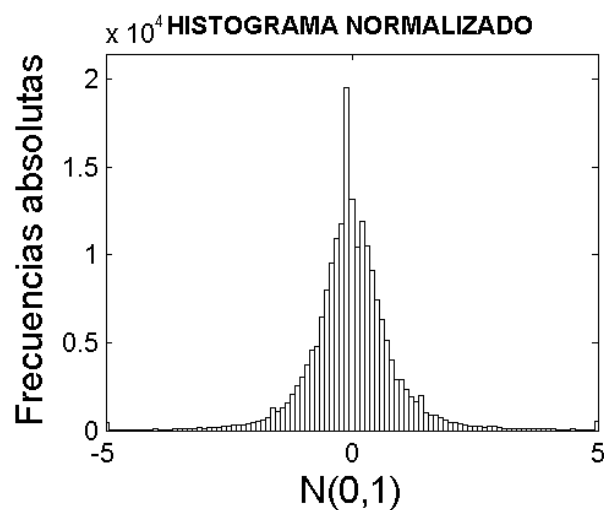


## ANEXO A

Reductora Con Carcasa

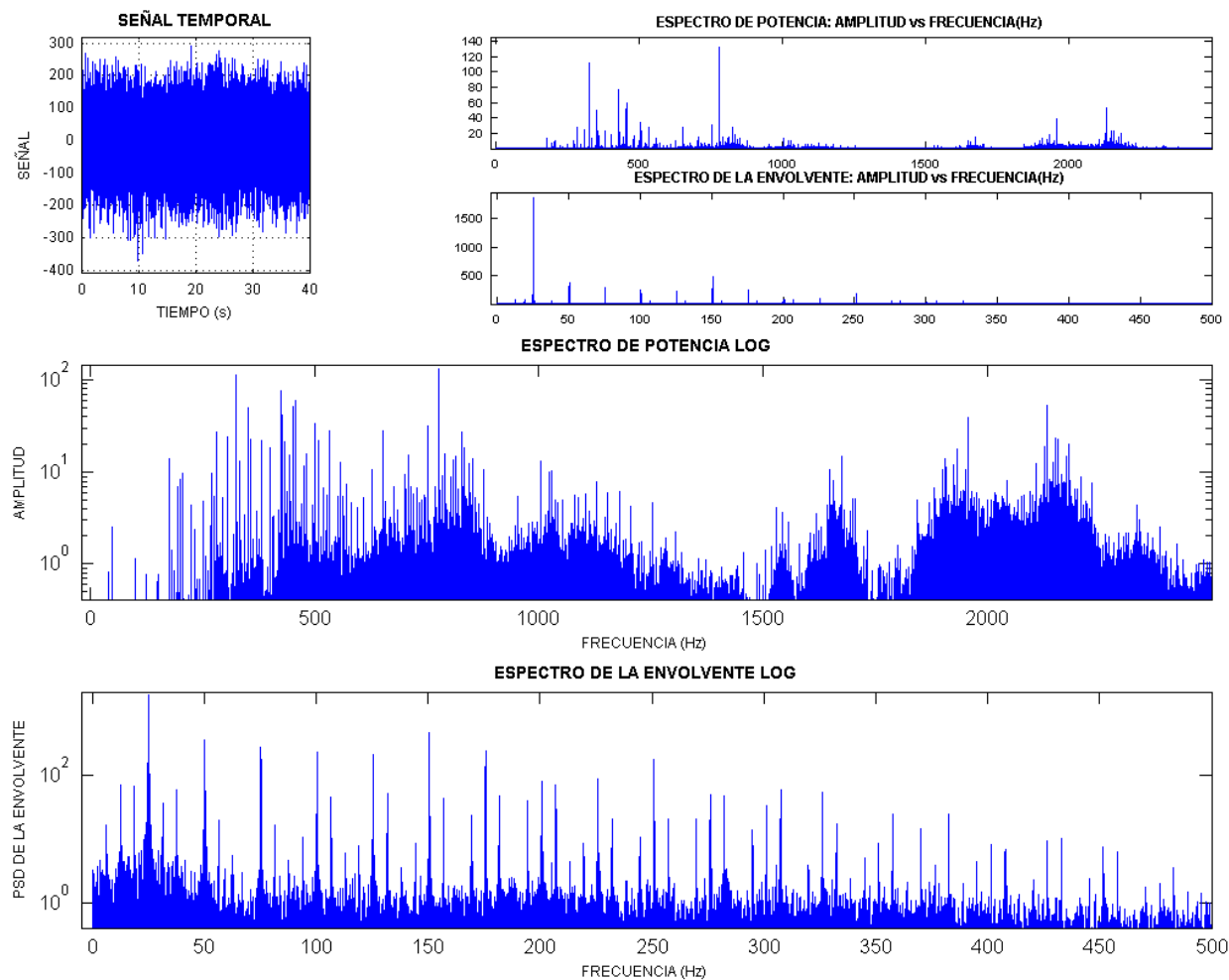
Punto 9

Velocidad (r.p.m) 1500



Media	-4.543720
Desviación Típica:	32.429280
Mediana:	-4.635581
Valor Máximo:	268.863730
Valor Mínimo:	-298.222410
Valor de Pico:	298.222410
Valor de Pico a Pico:	567.086140
Kurtosis:	12.189975
Sesgo:	0.220606
Valor Eficaz:	32.745244
Factor de Forma:	1.555680
Factor de Cresta:	9.107350
Varianza:	1051.658200
Valor Medio:	21.055506
Moda:	-4.819305
Potencia del Espectro:	1072.251006

## ANEXO A

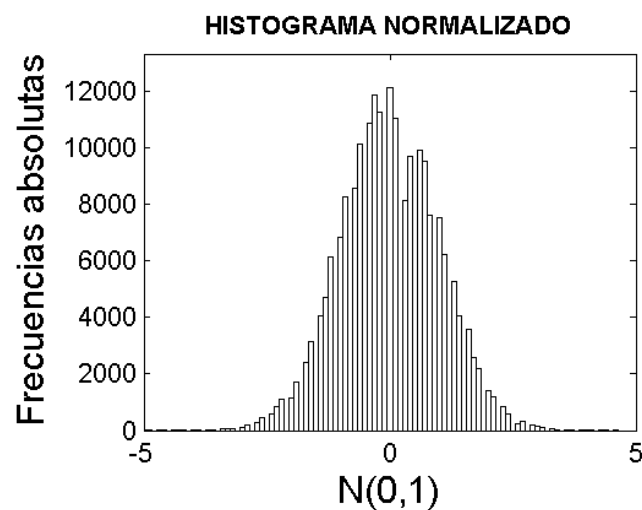


## ANEXO A

Reductora Con Carcasa

Punto 10

Velocidad (r.p.m) 0



Media -0.001421

Desviación Típica: 0.003416

Mediana: -0.001465

Valor Máximo: 0.010742

Valor Mínimo: -0.014160

Valor de Pico: 0.014160

Valor de Pico a Pico: 0.024902

Kurtosis: 2.929543

Sesgo: -0.021324

Valor Eficaz: 0.003700

Factor de Forma: 1.245509

Factor de Cresta: 3.826868

Varianza: 0.000012

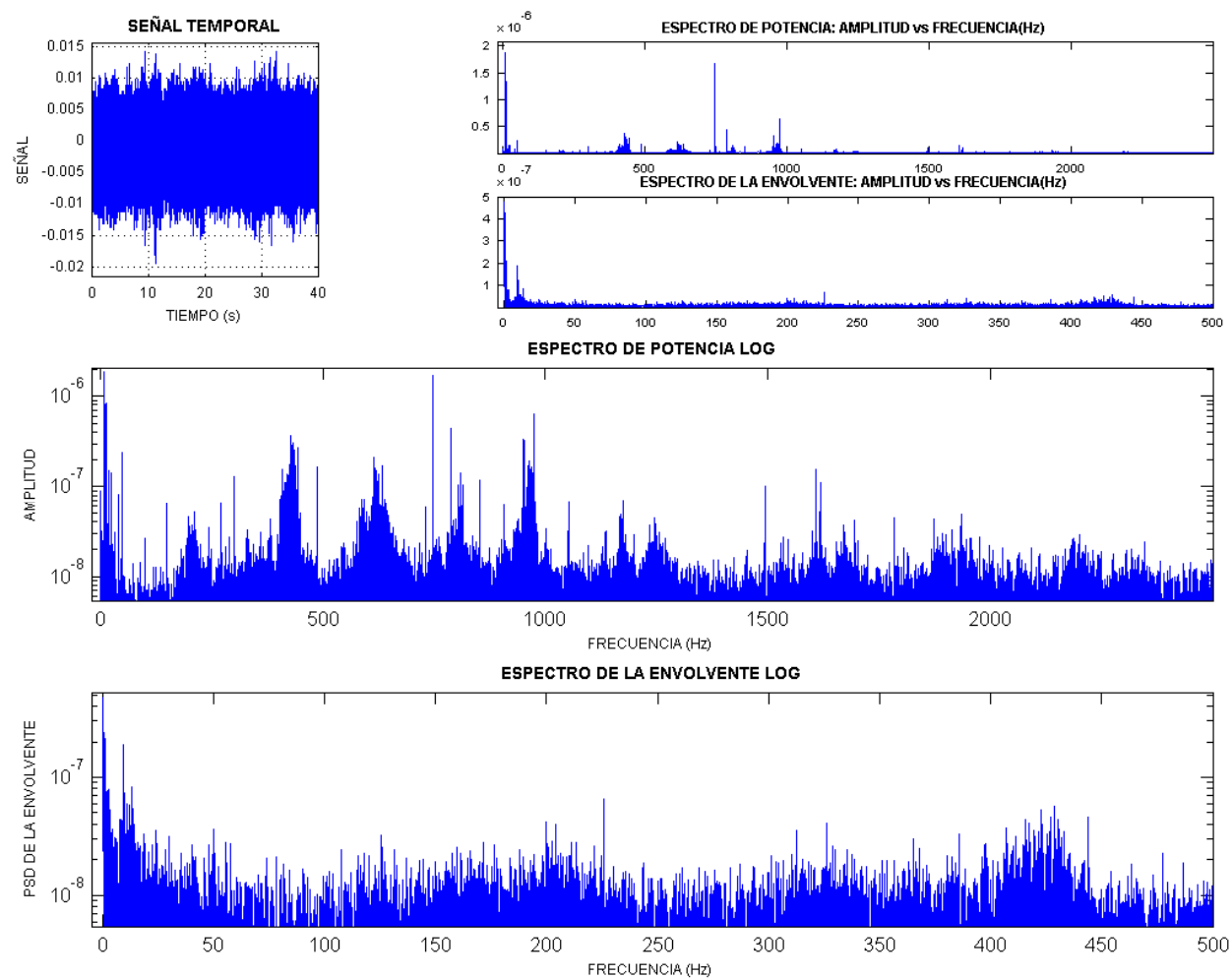
Valor Medio: 0.002974

Moda: -0.001552

Potencia del Espectro: 0.000014



## ANEXO A

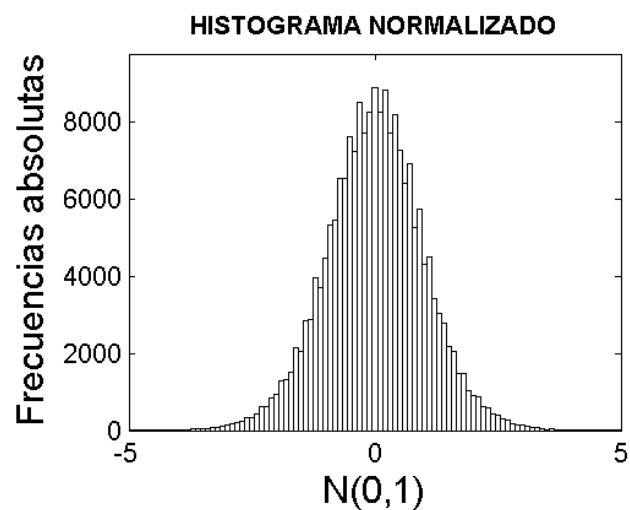


## ANEXO A

Reductora Con Carcasa

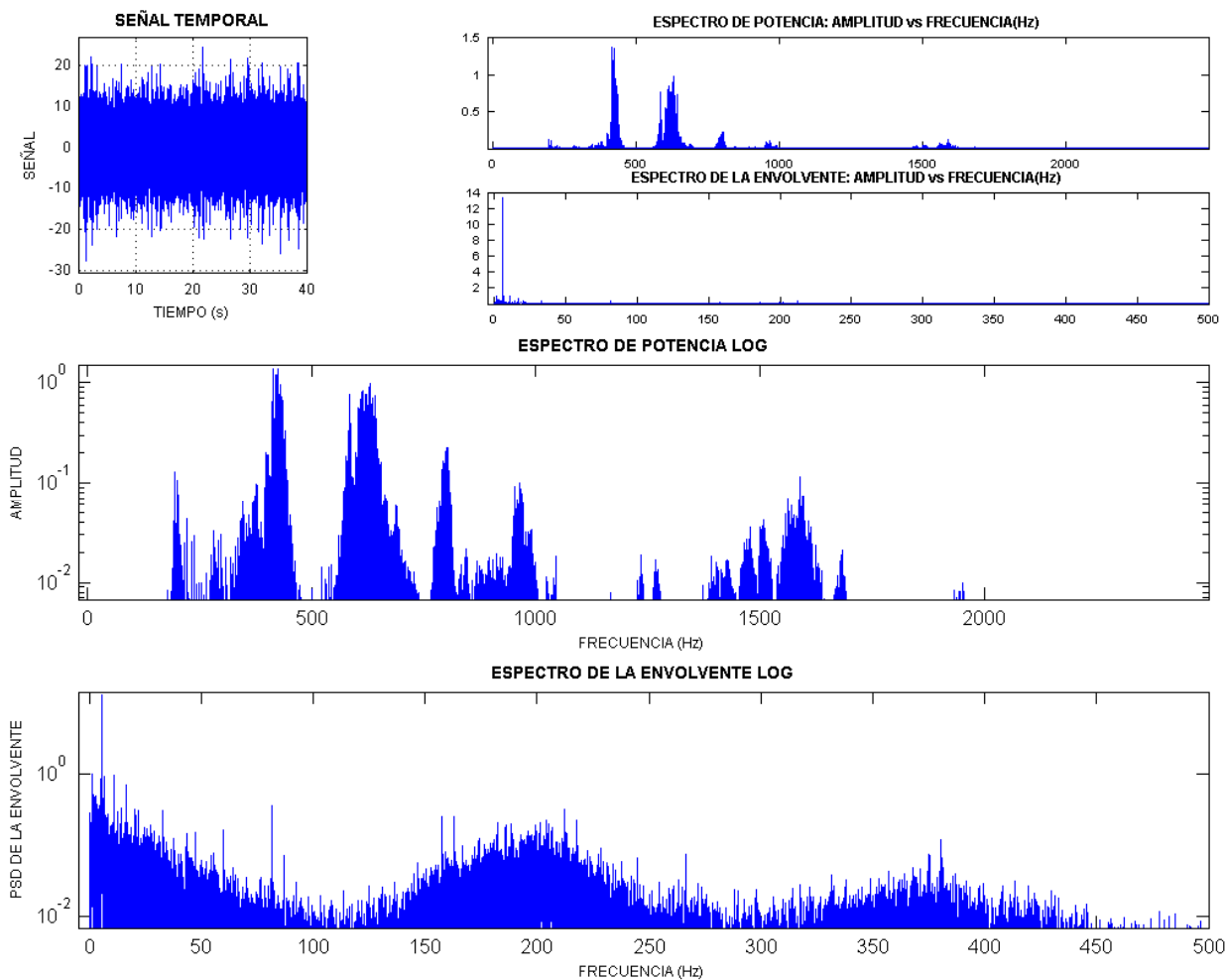
Punto 10

Velocidad (r.p.m) 300



Media	-0.144958
Desviación Típica:	4.276930
Mediana:	-0.146484
Valor Máximo:	21.875000
Valor Mínimo:	-27.587891
Valor de Pico:	27.587891
Valor de Pico a Pico:	49.462891
Kurtosis:	3.968180
Sesgo:	-0.061604
Valor Eficaz:	4.279279
Factor de Forma:	1.334866
Factor de Cresta:	6.446855
Varianza:	18.292131
Valor Medio:	3.206728
Moda:	-0.149536
Potencia del Espectro:	18.312229

## ANEXO A

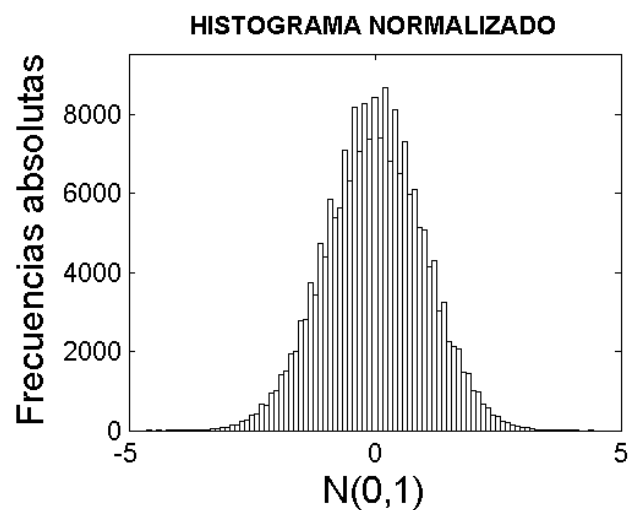


## ANEXO A

Reductora Con Carcasa

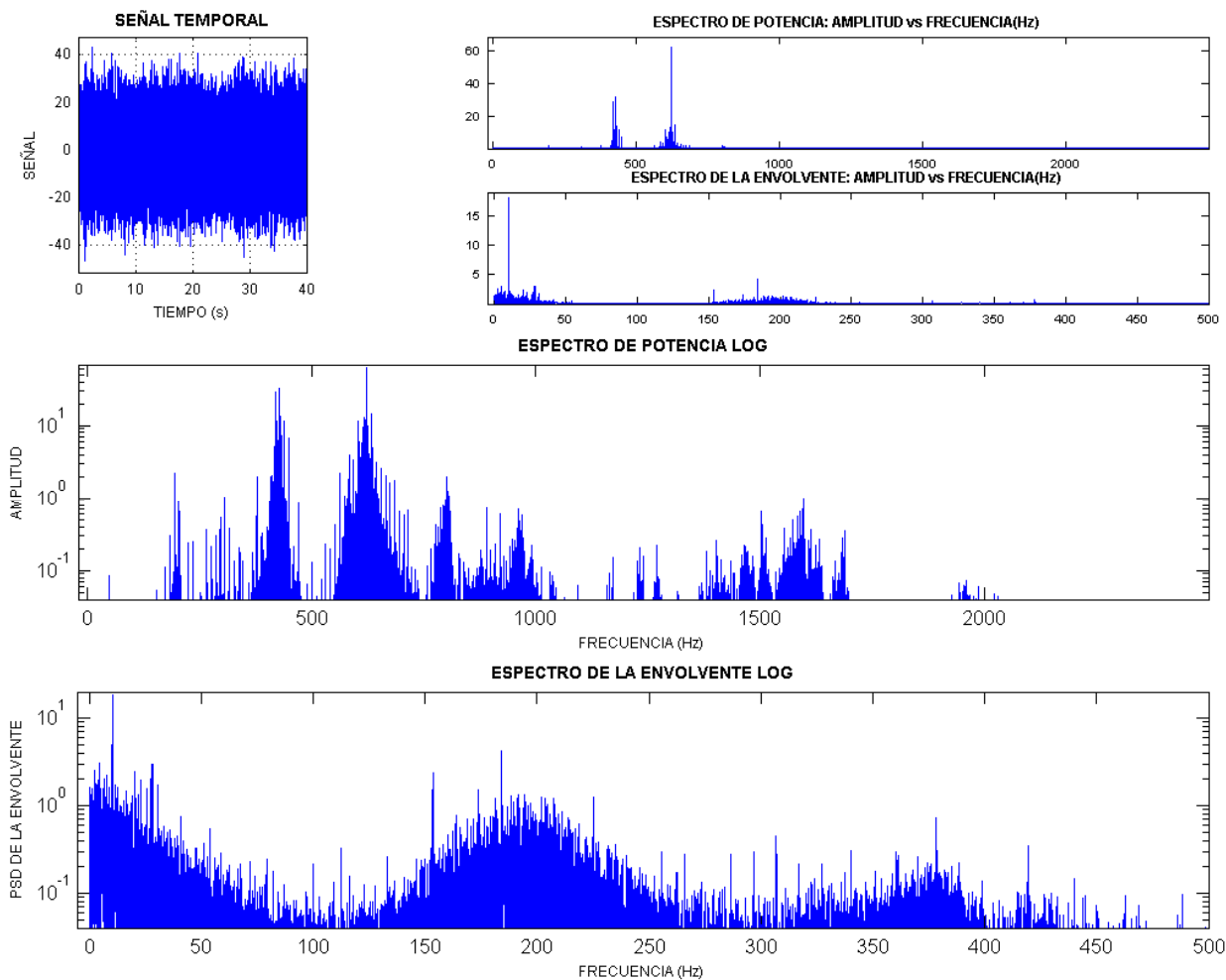
Punto 10

Velocidad (r.p.m) 600



Media	-0.454357
Desviación Típica:	10.057544
Mediana:	-0.463558
Valor Máximo:	43.265427
Valor Mínimo:	-46.819373
Valor de Pico:	46.819373
Valor de Pico a Pico:	90.084800
Kurtosis:	3.001350
Sesgo:	-0.034400
Valor Eficaz:	10.067550
Factor de Forma:	1.260126
Factor de Cresta:	4.650523
Varianza:	101.154190
Valor Medio:	7.993139
Moda:	-0.481961
Potencia del Espectro:	101.355572

# ANEXO A

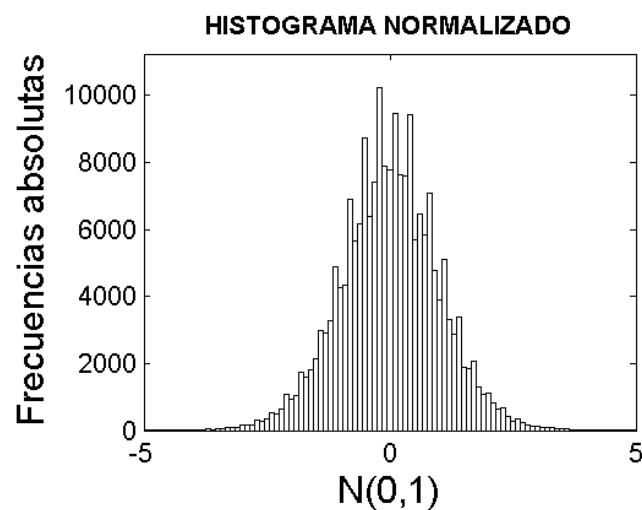


## ANEXO A

Reductora Con Carcasa

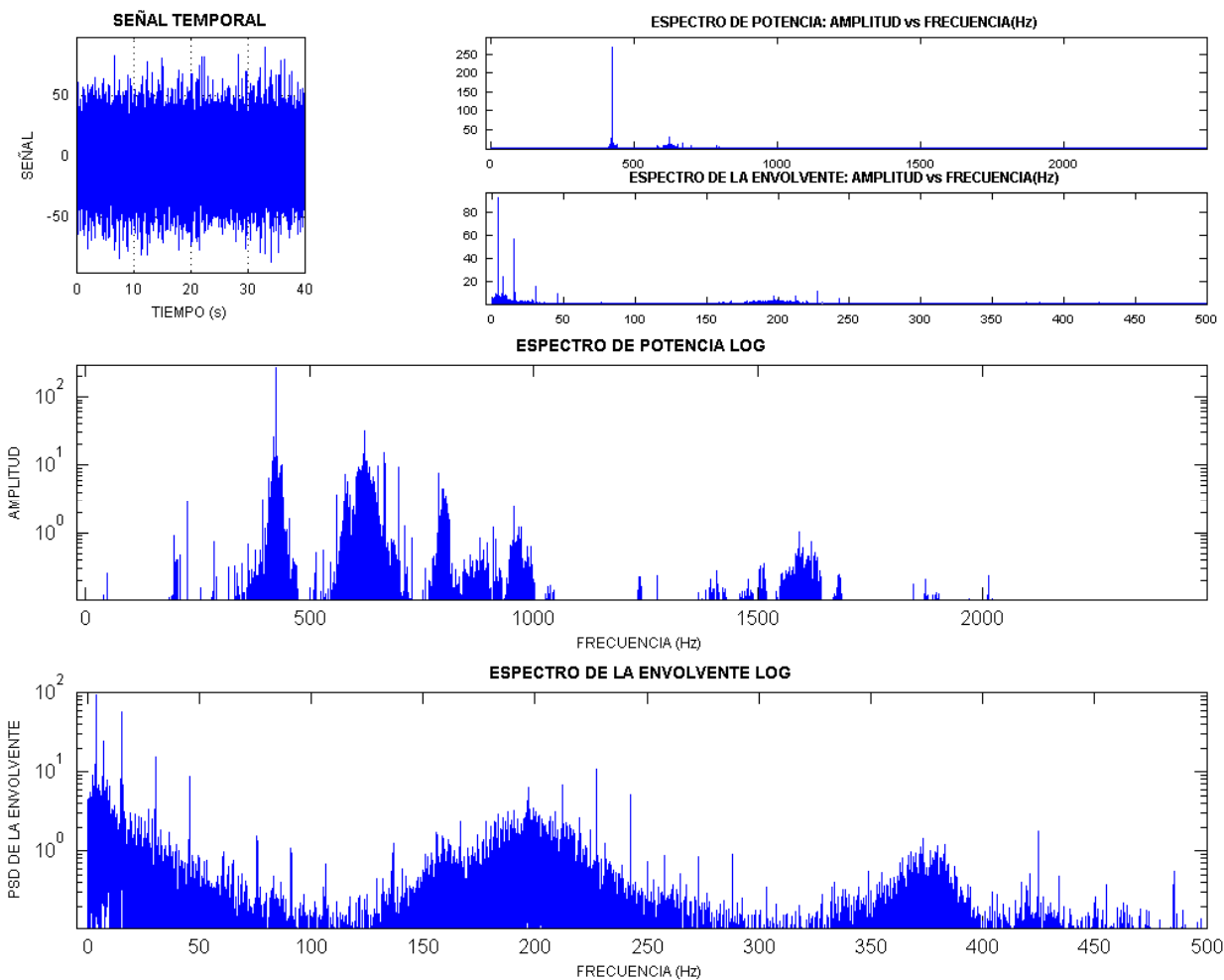
Punto 10

Velocidad (r.p.m) 900



Media	-1.422192
Desviación Típica:	15.660829
Mediana:	-1.464844
Valor Máximo:	64.941406
Valor Mínimo:	-75.683594
Valor de Pico:	75.683594
Valor de Pico a Pico:	140.625000
Kurtosis:	3.354195
Sesgo:	-0.024549
Valor Eficaz:	15.724883
Factor de Forma:	1.236559
Factor de Cresta:	4.812983
Varianza:	245.261566
Valor Medio:	12.720867
Moda:	-1.550147
Potencia del Espectro:	247.271934

# ANEXO A

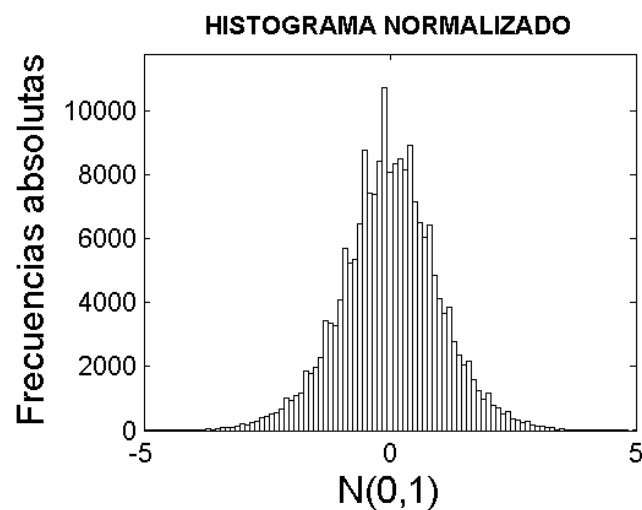


## ANEXO A

Reductora Con Carcasa

Punto 10

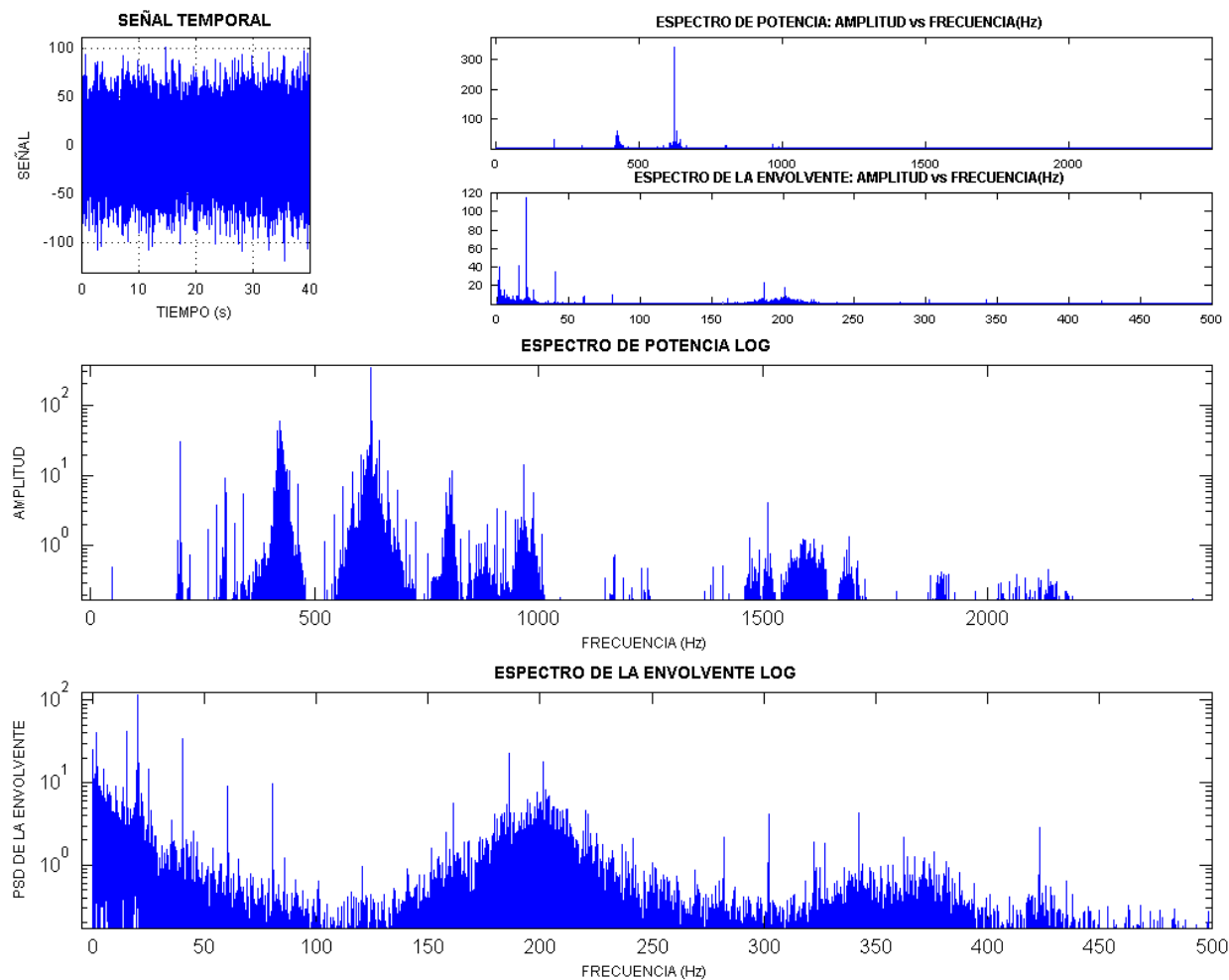
Velocidad (r.p.m) 1200



Media	-1.373755
Desviación Típica:	21.488145
Mediana:	-1.464844
Valor Máximo:	94.238281
Valor Mínimo:	-107.910160
Valor de Pico:	107.910160
Valor de Pico a Pico:	202.148441
Kurtosis:	3.654548
Sesgo:	-0.034359
Valor Eficaz:	21.531477
Factor de Forma:	1.350254
Factor de Cresta:	5.011740
Varianza:	461.740375
Valor Medio:	15.981790
Moda:	-1.647022
Potencia del Espectro:	463.604490



# ANEXO A

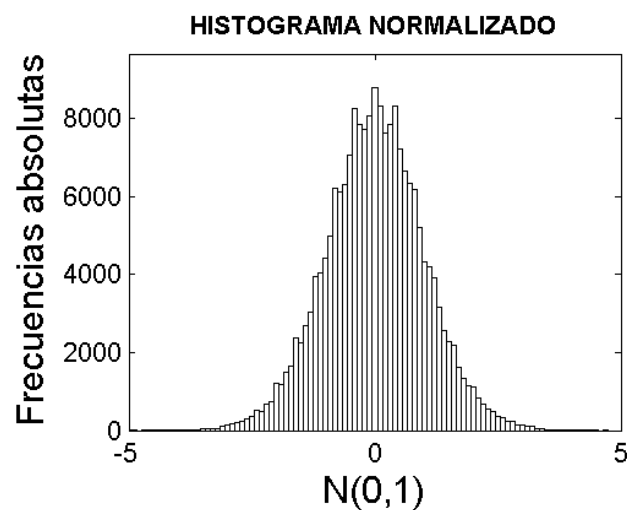


## ANEXO A

Reductora Con Carcasa

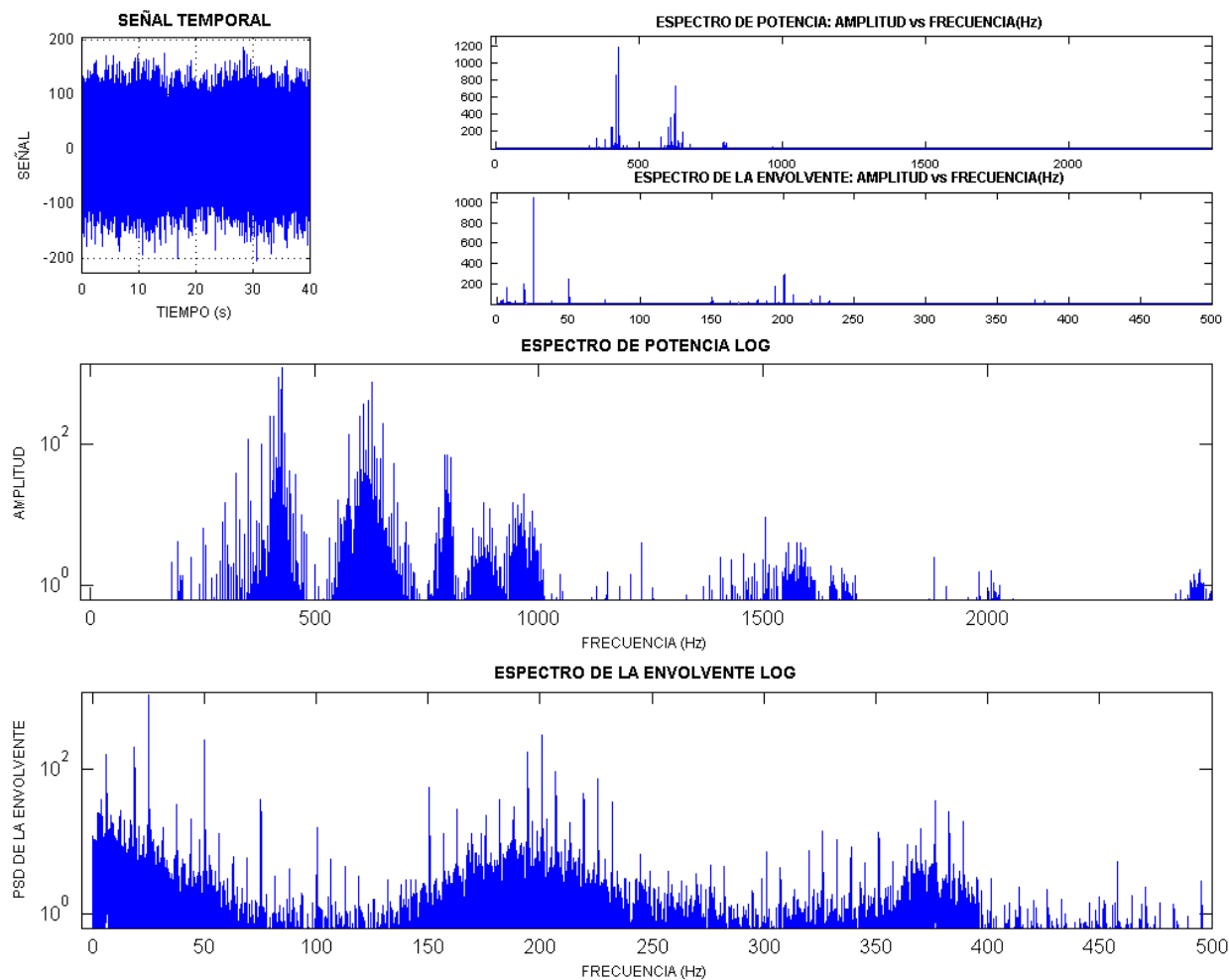
Punto 10

Velocidad (r.p.m) 1500



Media	-1.421191
Desviación Típica:	40.289945
Mediana:	-0.976563
Valor Máximo:	160.644530
Valor Mínimo:	-177.246090
Valor de Pico:	177.246090
Valor de Pico a Pico:	337.890620
Kurtosis:	3.283277
Sesgo:	0.007859
Valor Eficaz:	40.313996
Factor de Forma:	1.273016
Factor de Cresta:	4.396639
Varianza:	1623.279662
Valor Medio:	31.680393
Moda:	-0.087305
Potencia del Espectro:	1625.218283

# ANEXO A

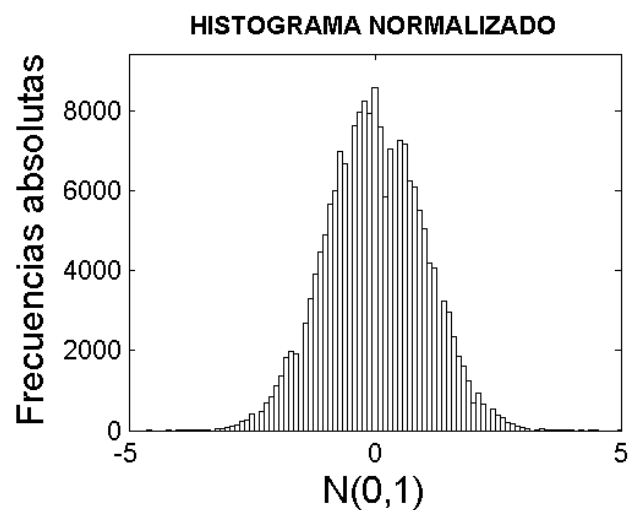


## ANEXO A

Reductora Con Carcasa

Punto 11

Velocidad (r.p.m) 0



Media -0.001462

Desviación Típica: 0.004223

Mediana: -0.001465

Valor Máximo: 0.015625

Valor Mínimo: -0.018066

Valor de Pico: 0.018066

Valor de Pico a Pico: 0.033691

Kurtosis: 2.973008

Sesgo: -0.000744

Valor Eficaz: 0.004468

Factor de Forma: 1.207909

Factor de Cresta: 4.043087

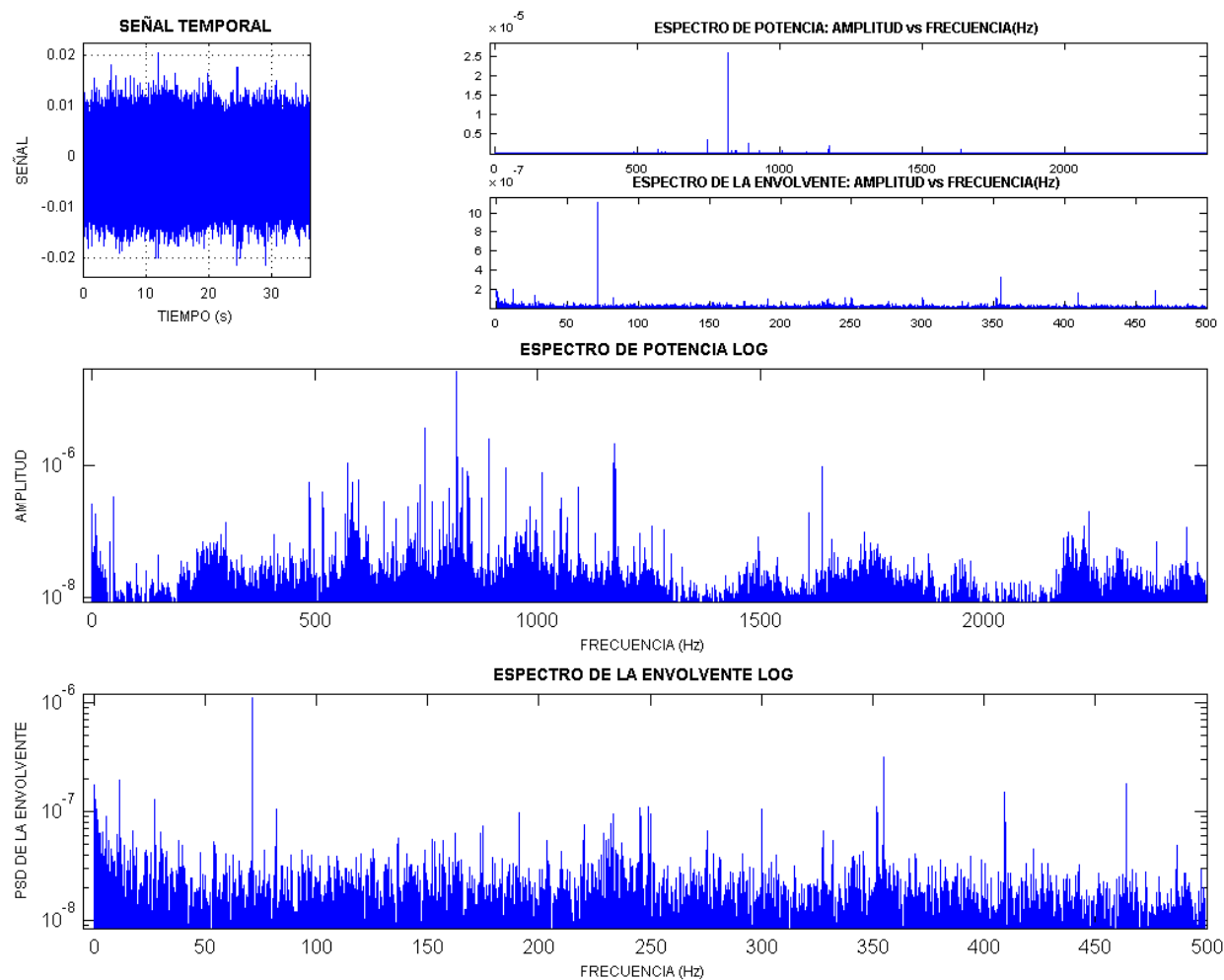
Varianza: 0.000018

Valor Medio: 0.003707

Moda: -0.001470

Potencia del Espectro: 0.000020

# ANEXO A

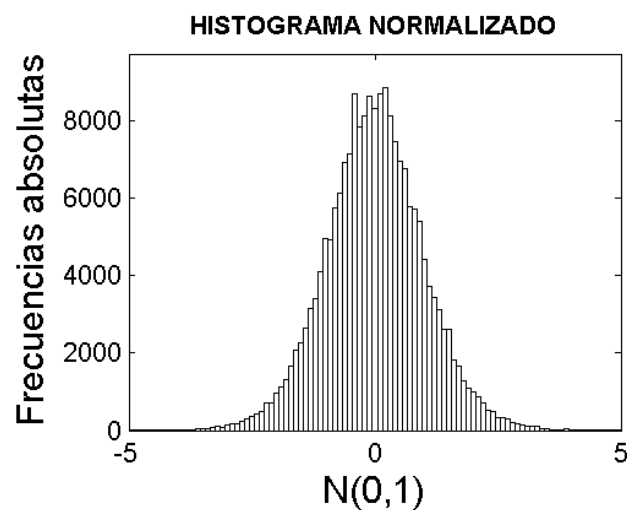


## ANEXO A

Reductora Con Carcasa

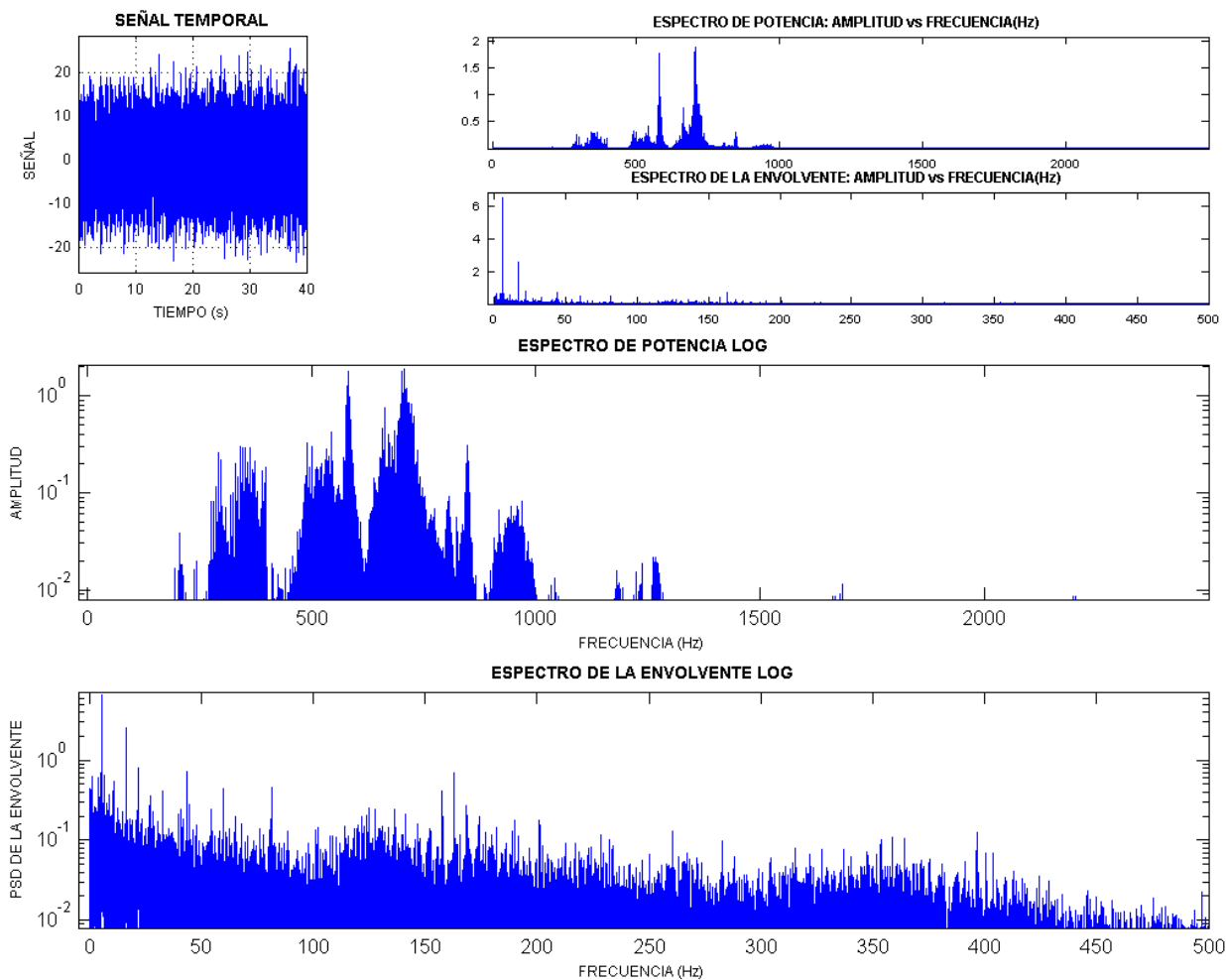
Punto 11

Velocidad (r.p.m) 300



Media	-0.145681
Desviación Típica:	4.387857
Mediana:	-0.146484
Valor Máximo:	19.384766
Valor Mínimo:	-19.384766
Valor de Pico:	19.384766
Valor de Pico a Pico:	38.769532
Kurtosis:	3.561060
Sesgo:	0.032159
Valor Eficaz:	4.390165
Factor de Forma:	1.262530
Factor de Cresta:	4.415498
Varianza:	19.253288
Valor Medio:	3.479111
Moda:	-0.148091
Potencia del Espectro:	19.273549

## ANEXO A

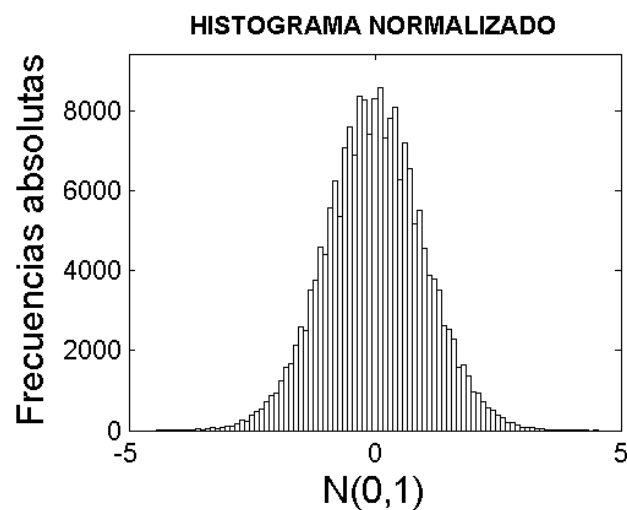


## ANEXO A

Reductora Con Carcasa

Punto 11

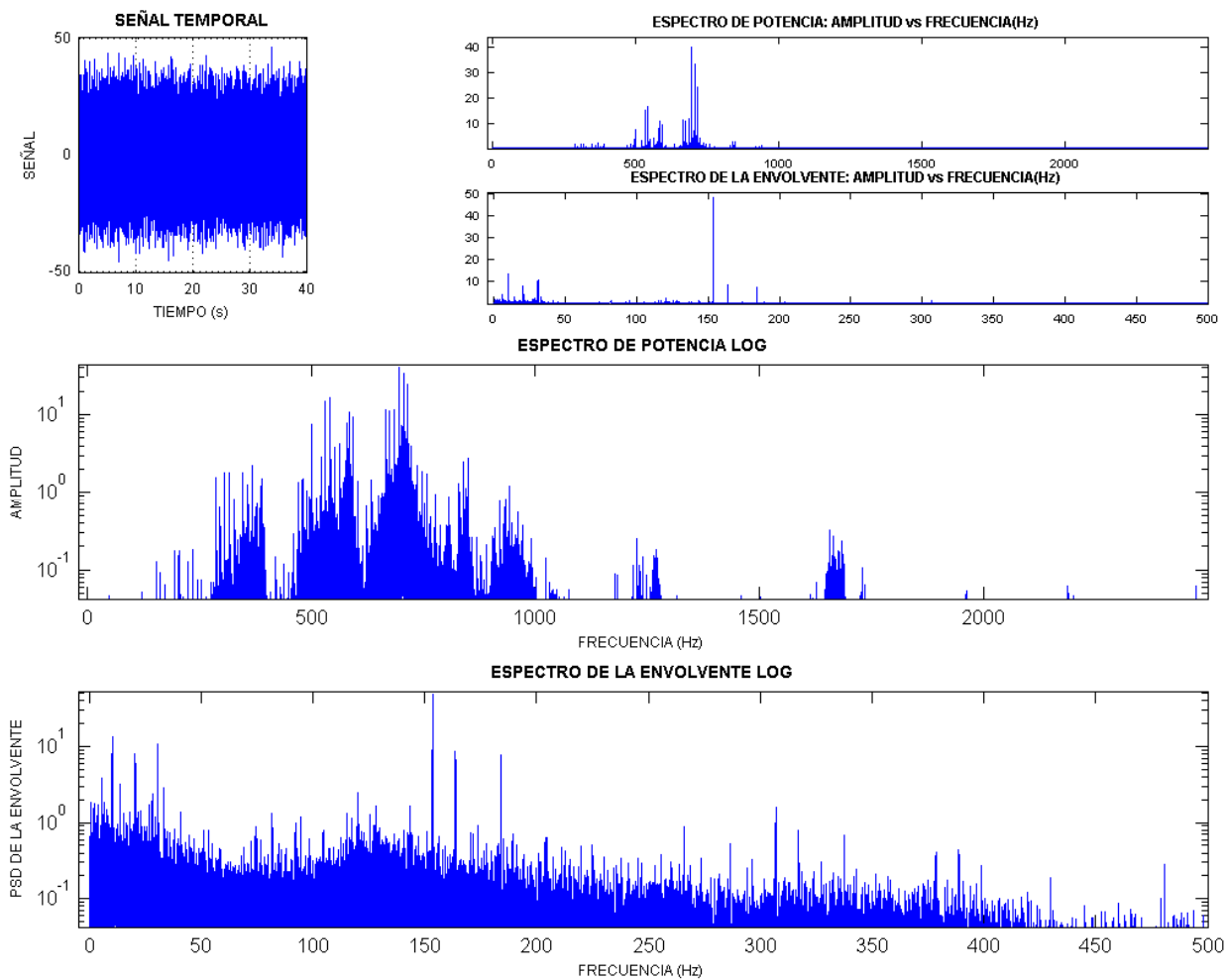
Velocidad (r.p.m) 600



Media	-0.445603
Desviación Típica:	10.394981
Mediana:	-0.618078
Valor Máximo:	41.256675
Valor Mínimo:	-42.029272
Valor de Pico:	42.029272
Valor de Pico a Pico:	83.285947
Kurtosis:	3.165007
Sesgo:	0.009444
Valor Eficaz:	10.404267
Factor de Forma:	1.273053
Factor de Cresta:	4.039619
Varianza:	108.055621
Valor Medio:	8.175978
Moda:	-0.963027
Potencia del Espectro:	108.248780



## ANEXO A

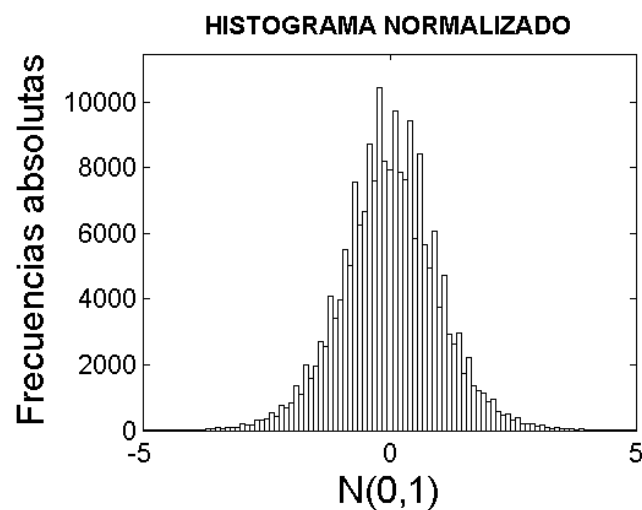


## ANEXO A

Reductora Con Carcasa

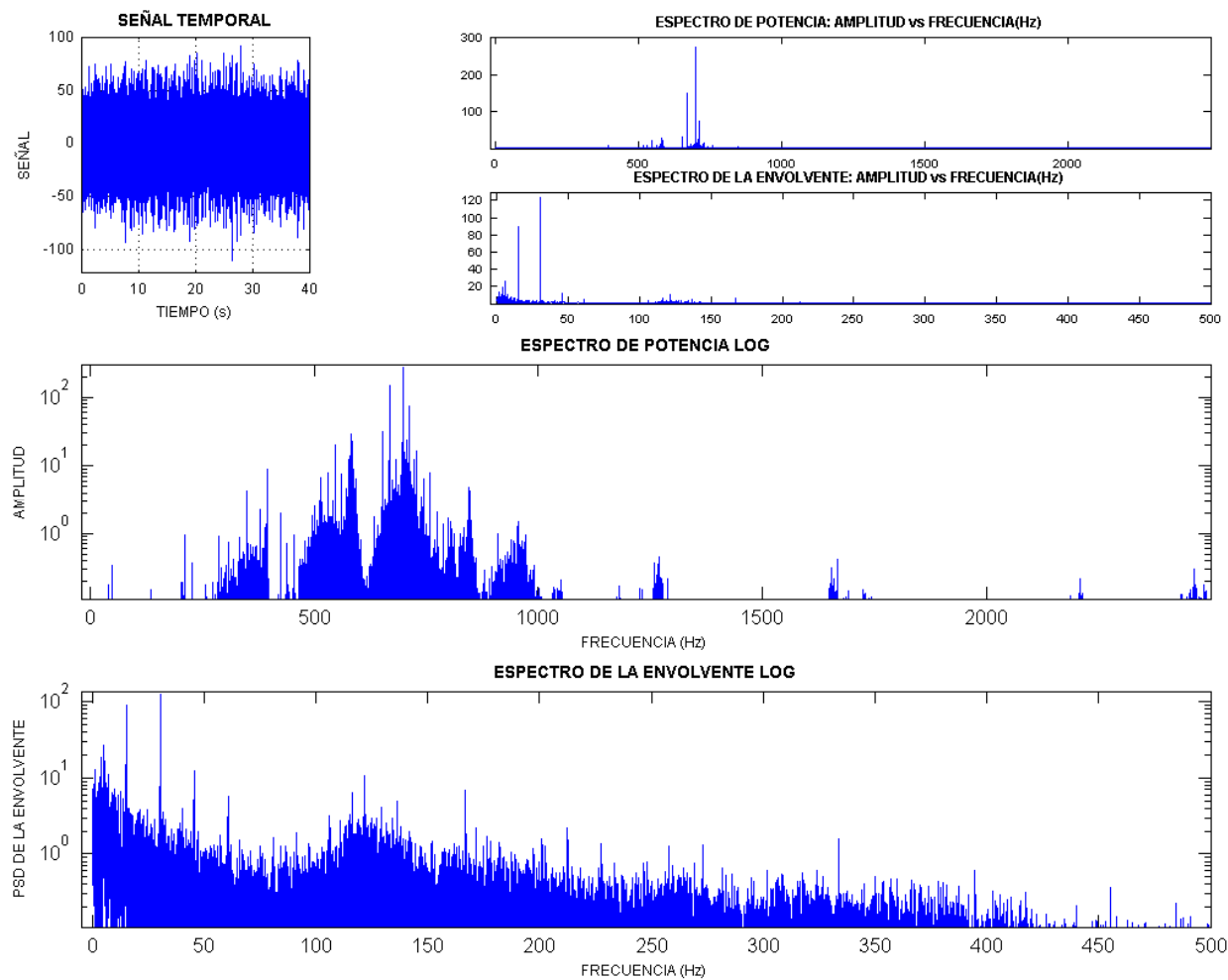
Punto 11

Velocidad (r.p.m) 900



Media	-1.412964
Desviación Típica:	15.917675
Mediana:	-1.464844
Valor Máximo:	74.218750
Valor Mínimo:	-79.101563
Valor de Pico:	79.101563
Valor de Pico a Pico:	153.320313
Kurtosis:	3.667039
Sesgo:	-0.003785
Valor Eficaz:	15.979868
Factor de Forma:	1.251565
Factor de Cresta:	4.950076
Varianza:	253.372385
Valor Medio:	12.782756
Moda:	-1.568604
Potencia del Espectro:	255.356183

## ANEXO A

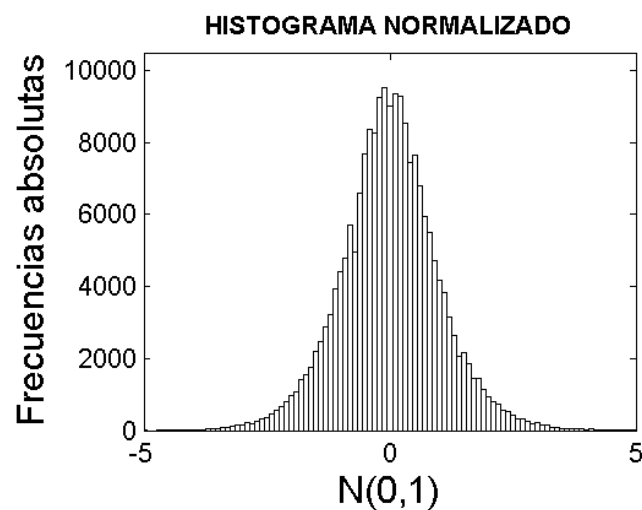


## ANEXO A

Reductora Con Carcasa

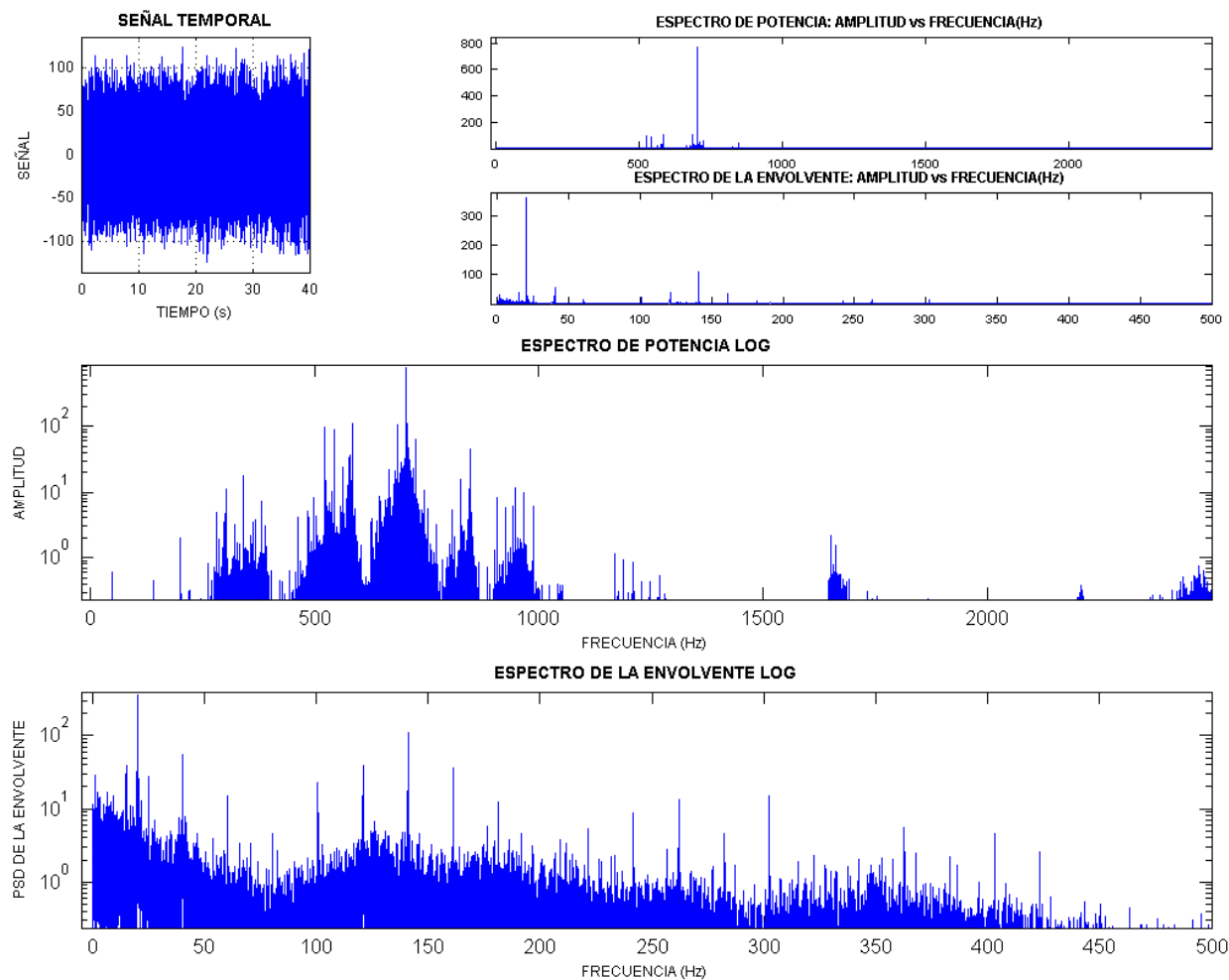
Punto 11

Velocidad (r.p.m) 1200



Media	-1.376685
Desviación Típica:	24.904077
Mediana:	-1.464844
Valor Máximo:	114.257810
Valor Mínimo:	-110.839840
Valor de Pico:	114.257810
Valor de Pico a Pico:	225.097650
Kurtosis:	3.967936
Sesgo:	0.071218
Valor Eficaz:	24.941477
Factor de Forma:	1.349590
Factor de Cresta:	4.581036
Varianza:	620.213041
Valor Medio:	18.495698
Moda:	-1.641162
Potencia del Espectro:	622.077291

## ANEXO A

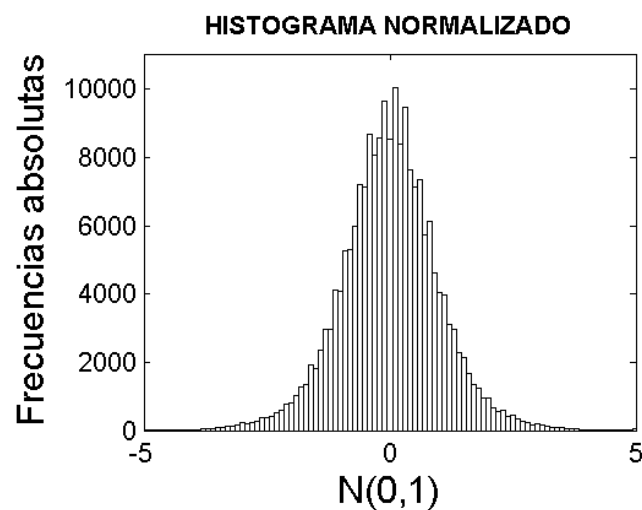


## ANEXO A

Reductora Con Carcasa

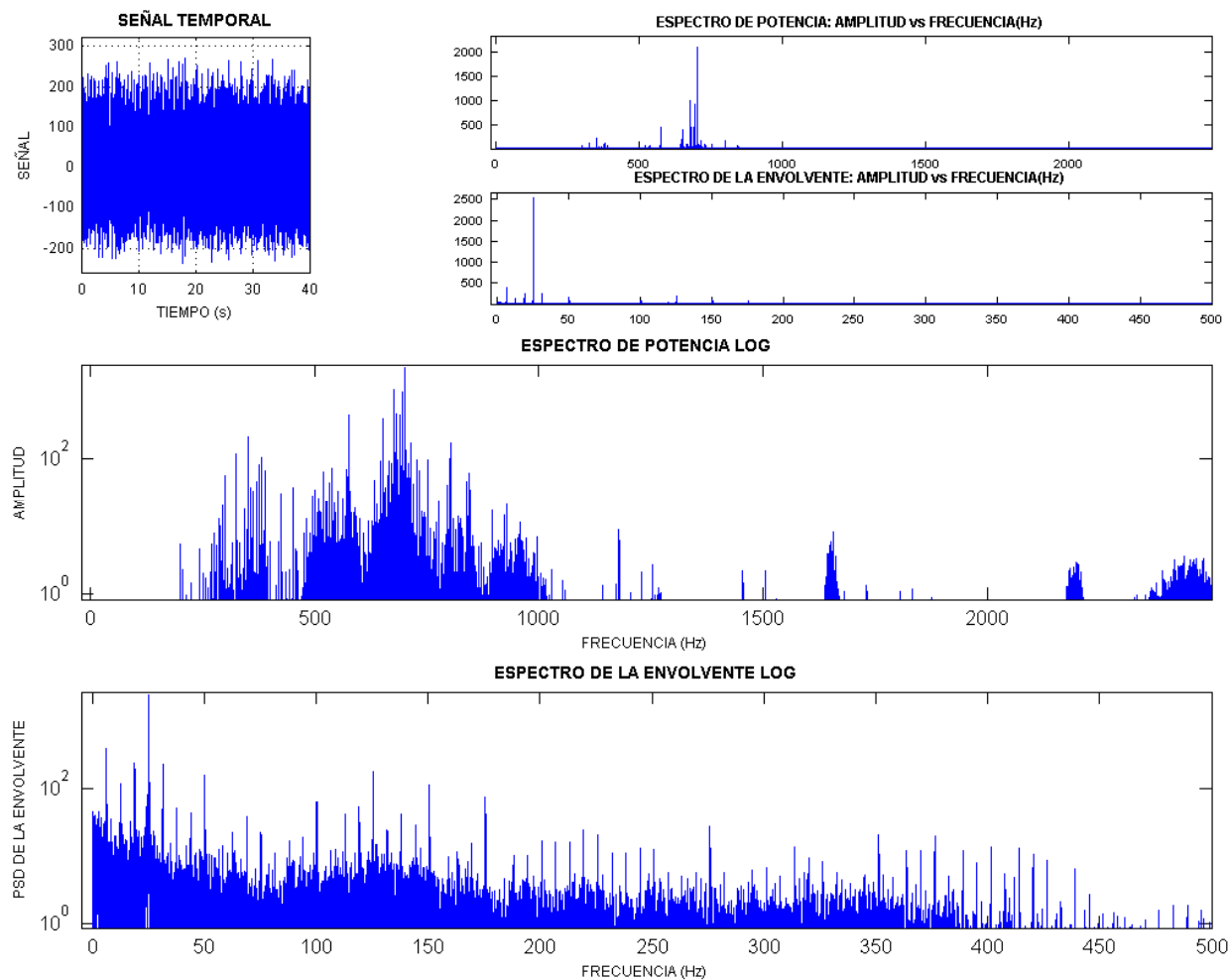
Punto 11

Velocidad (r.p.m) 1500



Media	-1.402930
Desviación Típica:	47.770974
Mediana:	-1.464844
Valor Máximo:	294.433590
Valor Mínimo:	-223.144530
Valor de Pico:	294.433590
Valor de Pico a Pico:	517.578120
Kurtosis:	4.075538
Sesgo:	0.043235
Valor Eficaz:	47.790376
Factor de Forma:	1.372079
Factor de Cresta:	6.160939
Varianza:	2282.065910
Valor Medio:	34.892124
Moda:	-1.588672
Potencia del Espectro:	2283.920018

## ANEXO A

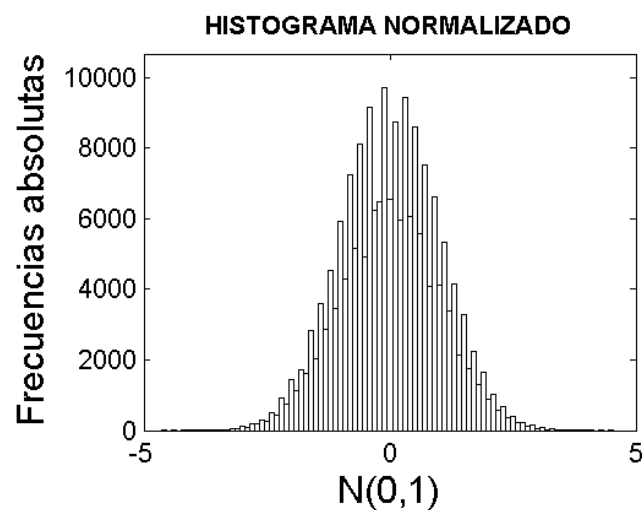


## ANEXO A

Reductora Con Carcasa

Punto 12

Velocidad (r.p.m) 0



Media -0.000448

Desviación Típica: 0.003690

Mediana: -0.000464

Valor Máximo: 0.013907

Valor Mínimo: -0.016997

Valor de Pico: 0.016997

Valor de Pico a Pico: 0.030904

Kurtosis: 2.966126

Sesgo: -0.033888

Valor Eficaz: 0.003717

Factor de Forma: 1.192718

Factor de Cresta: 4.573261

Varianza: 0.000014

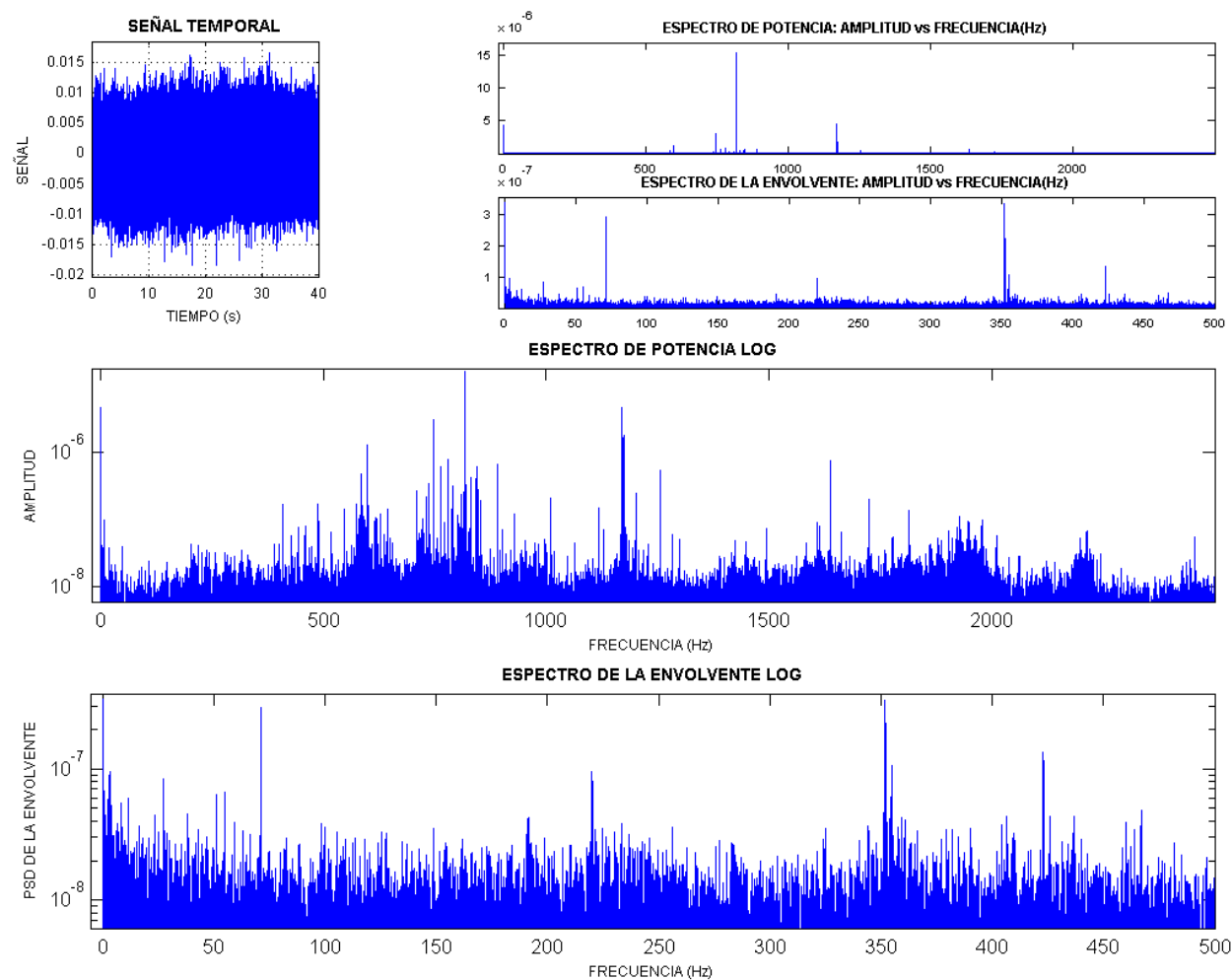
Valor Medio: 0.003123

Moda: -0.000496

Potencia del Espectro: 0.000014



# ANEXO A

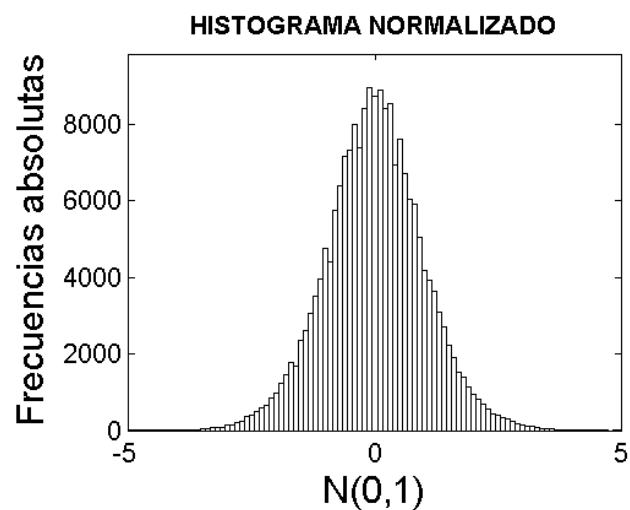


## ANEXO A

Reductora Con Carcasa

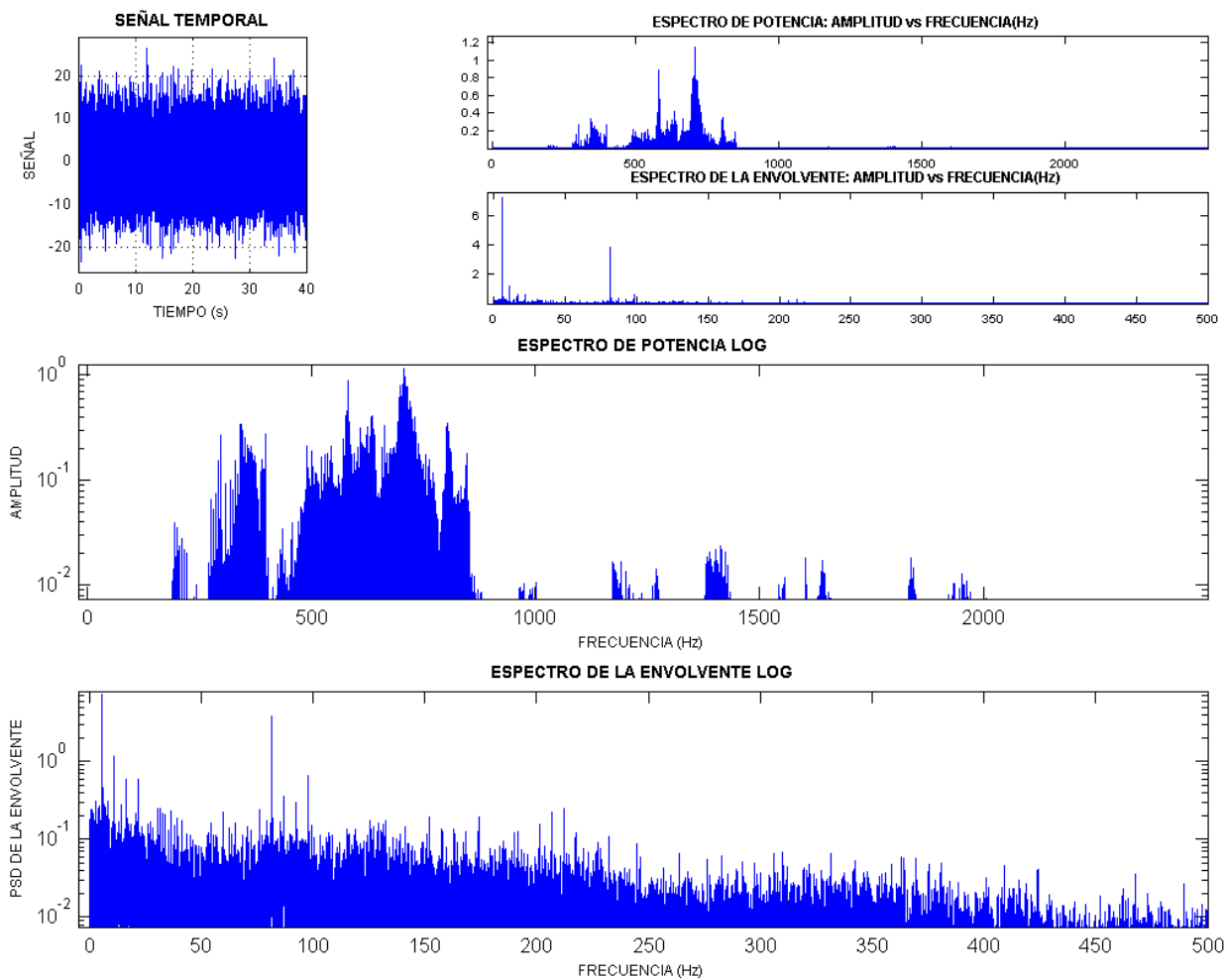
Punto 12

Velocidad (r.p.m) 300



Media	-0.144038
Desviación Típica:	4.270279
Mediana:	-0.146484
Valor Máximo:	22.509766
Valor Mínimo:	-23.388672
Valor de Pico:	23.388672
Valor de Pico a Pico:	45.898438
Kurtosis:	3.707554
Sesgo:	0.035264
Valor Eficaz:	4.272601
Factor de Forma:	1.273669
Factor de Cresta:	5.474107
Varianza:	18.235280
Valor Medio:	3.354755
Moda:	-0.151377
Potencia del Espectro:	18.255115

## ANEXO A

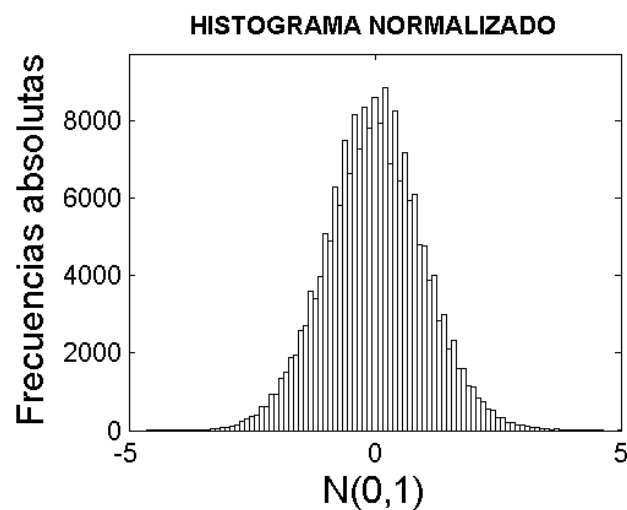


## ANEXO A

Reductora Con Carcasa

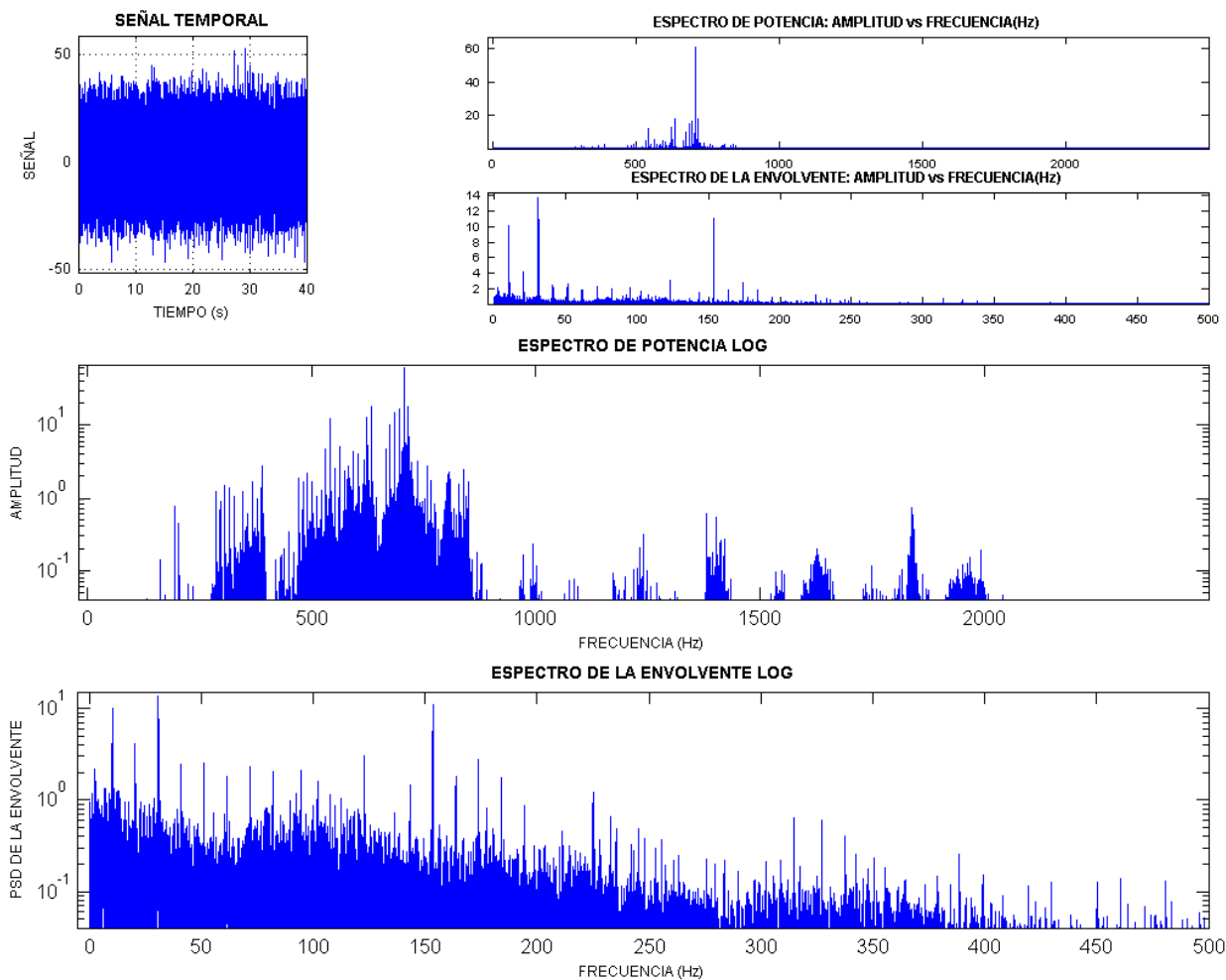
Punto 12

Velocidad (r.p.m) 600



Media	-0.448276
Desviación Típica:	10.295261
Mediana:	-0.463558
Valor Máximo:	42.029272
Valor Mínimo:	-39.556962
Valor de Pico:	42.029272
Valor de Pico a Pico:	81.586234
Kurtosis:	3.173930
Sesgo:	0.044757
Valor Eficaz:	10.304759
Factor de Forma:	1.302018
Factor de Cresta:	4.078627
Varianza:	105.992408
Valor Medio:	7.917725
Moda:	-0.494122
Potencia del Espectro:	106.188060

## ANEXO A

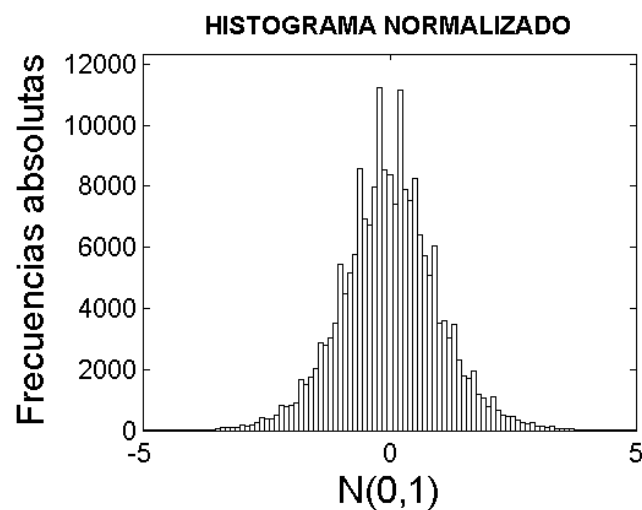


## ANEXO A

Reductora Con Carcasa

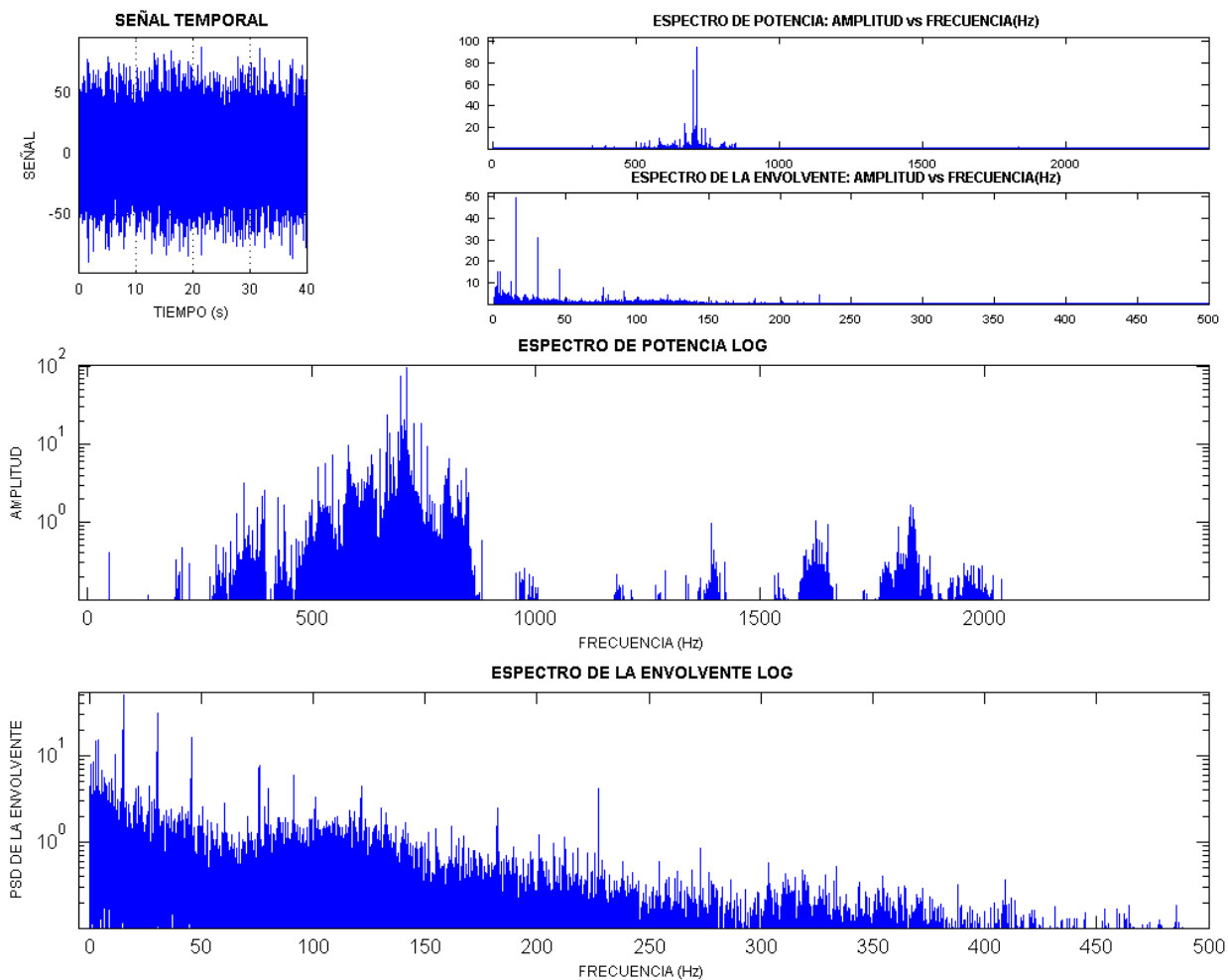
Punto 12

Velocidad (r.p.m) 900



Media	-1.411426
Desviación Típica:	16.127190
Mediana:	-1.464844
Valor Máximo:	77.636719
Valor Mínimo:	-87.890625
Valor de Pico:	87.890625
Valor de Pico a Pico:	165.527344
Kurtosis:	3.895124
Sesgo:	0.077183
Valor Eficaz:	16.188433
Factor de Forma:	1.321550
Factor de Cresta:	5.429224
Varianza:	260.086247
Valor Medio:	12.253369
Moda:	-1.571680
Potencia del Espectro:	262.065366

## ANEXO A

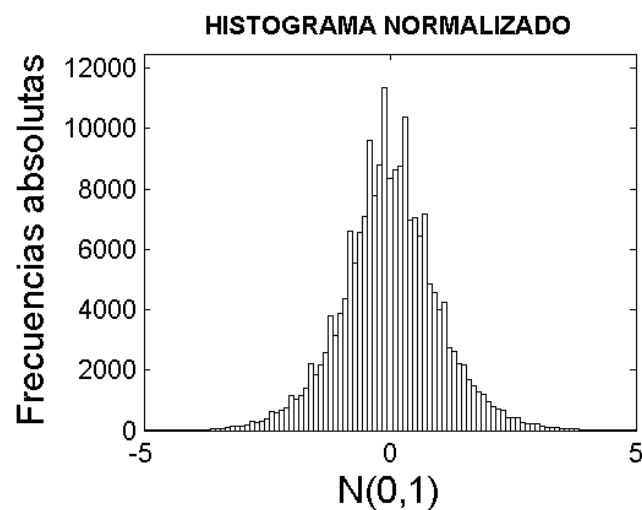


## ANEXO A

Reductora Con Carcasa

Punto 12

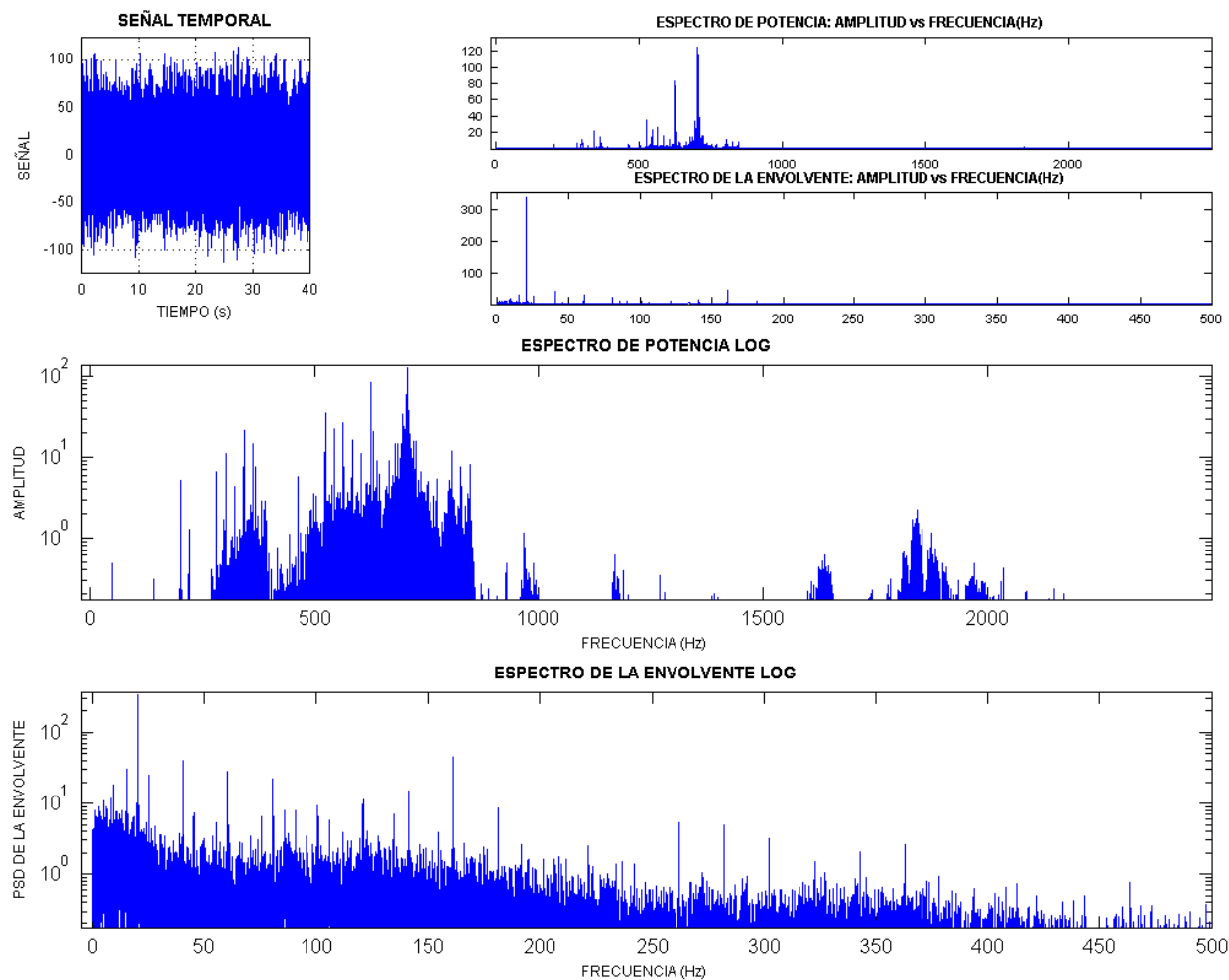
Velocidad (r.p.m) 1200



Media	-1.387646
Desviación Típica:	22.076434
Mediana:	-1.464844
Valor Máximo:	107.421880
Valor Mínimo:	-105.468750
Valor de Pico:	107.421880
Valor de Pico a Pico:	212.890630
Kurtosis:	4.162500
Sesgo:	0.037181
Valor Eficaz:	22.119452
Factor de Forma:	1.399350
Factor de Cresta:	4.856444
Varianza:	487.368948
Valor Medio:	15.827124
Moda:	-1.619238
Potencia del Espectro:	489.270143



# ANEXO A

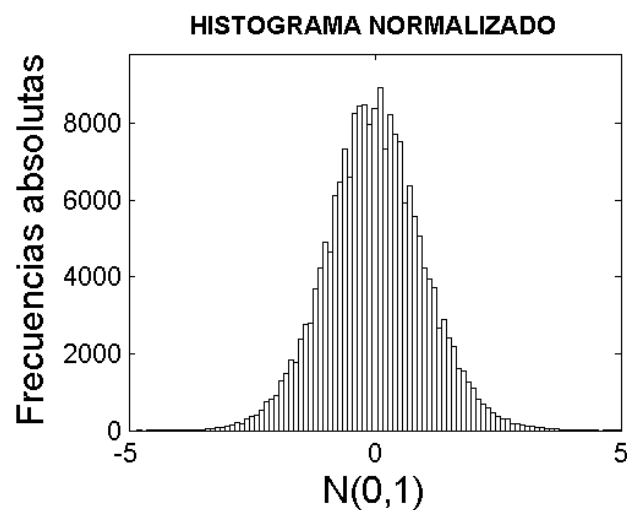


## ANEXO A

Reductora Con Carcasa

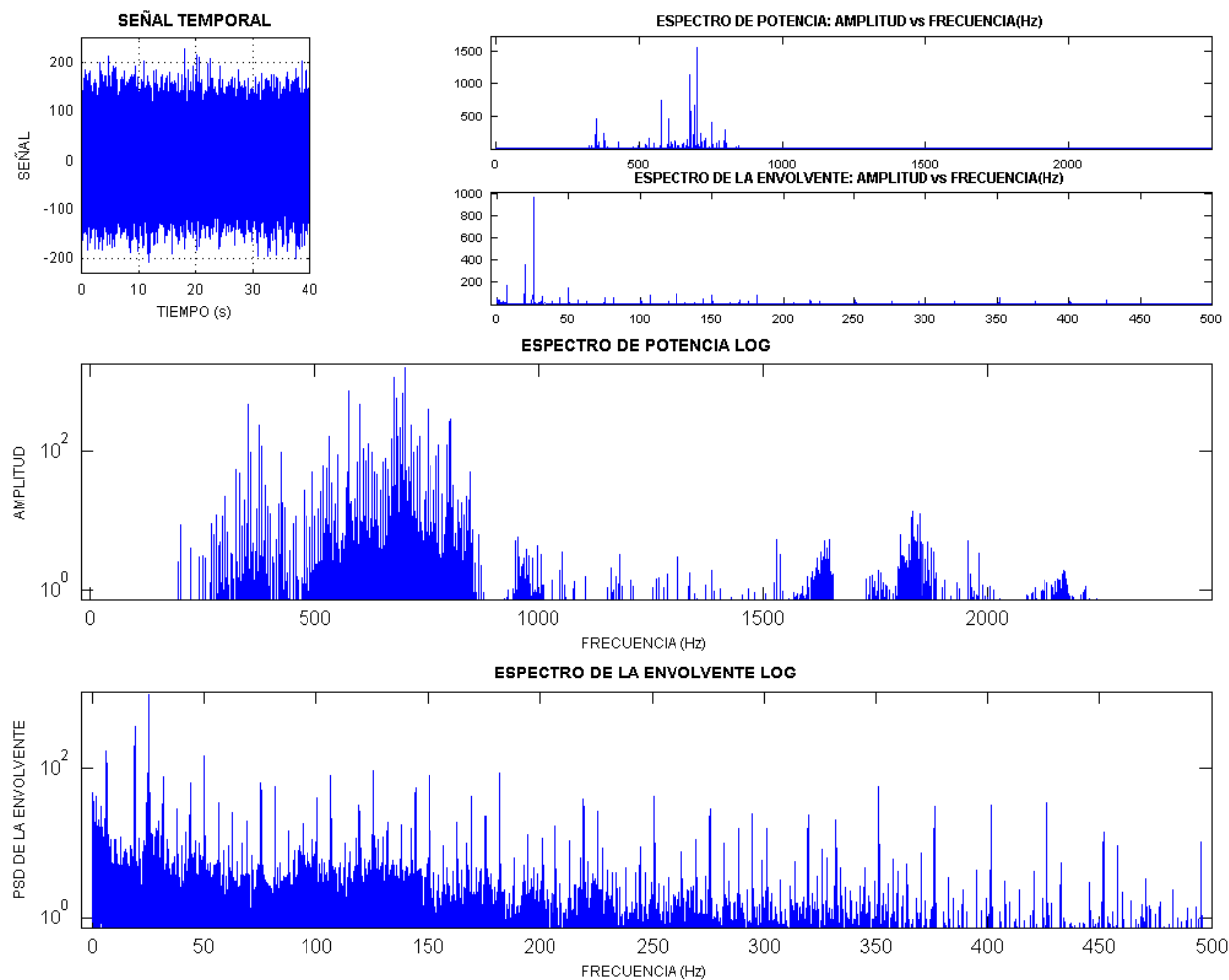
Punto 12

Velocidad (r.p.m) 1500



Media	-1.426172
Desviación Típica:	46.588270
Mediana:	-1.953125
Valor Máximo:	199.218750
Valor Mínimo:	-190.917970
Valor de Pico:	199.218750
Valor de Pico a Pico:	390.136720
Kurtosis:	3.199878
Sesgo:	0.073121
Valor Eficaz:	46.608930
Factor de Forma:	1.400750
Factor de Cresta:	4.274261
Varianza:	2170.466939
Valor Medio:	33.377957
Moda:	-3.007031
Potencia del Espectro:	2172.392382

# ANEXO A

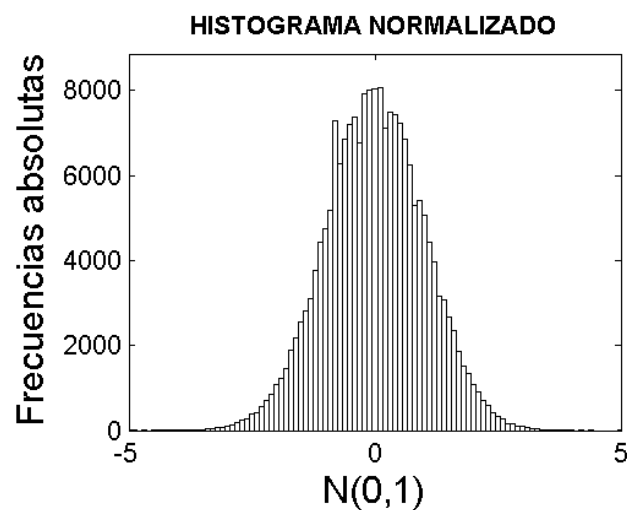


## ANEXO A

Reductora Con Carcasa

Punto 13

Velocidad (r.p.m) 0



Media -0.000481

Desviación Típica: 0.004553

Mediana: -0.000464

Valor Máximo: 0.017152

Valor Mínimo: -0.020860

Valor de Pico: 0.020860

Valor de Pico a Pico: 0.038012

Kurtosis: 3.109775

Sesgo: -0.017542

Valor Eficaz: 0.004578

Factor de Forma: 1.195776

Factor de Cresta: 4.556682

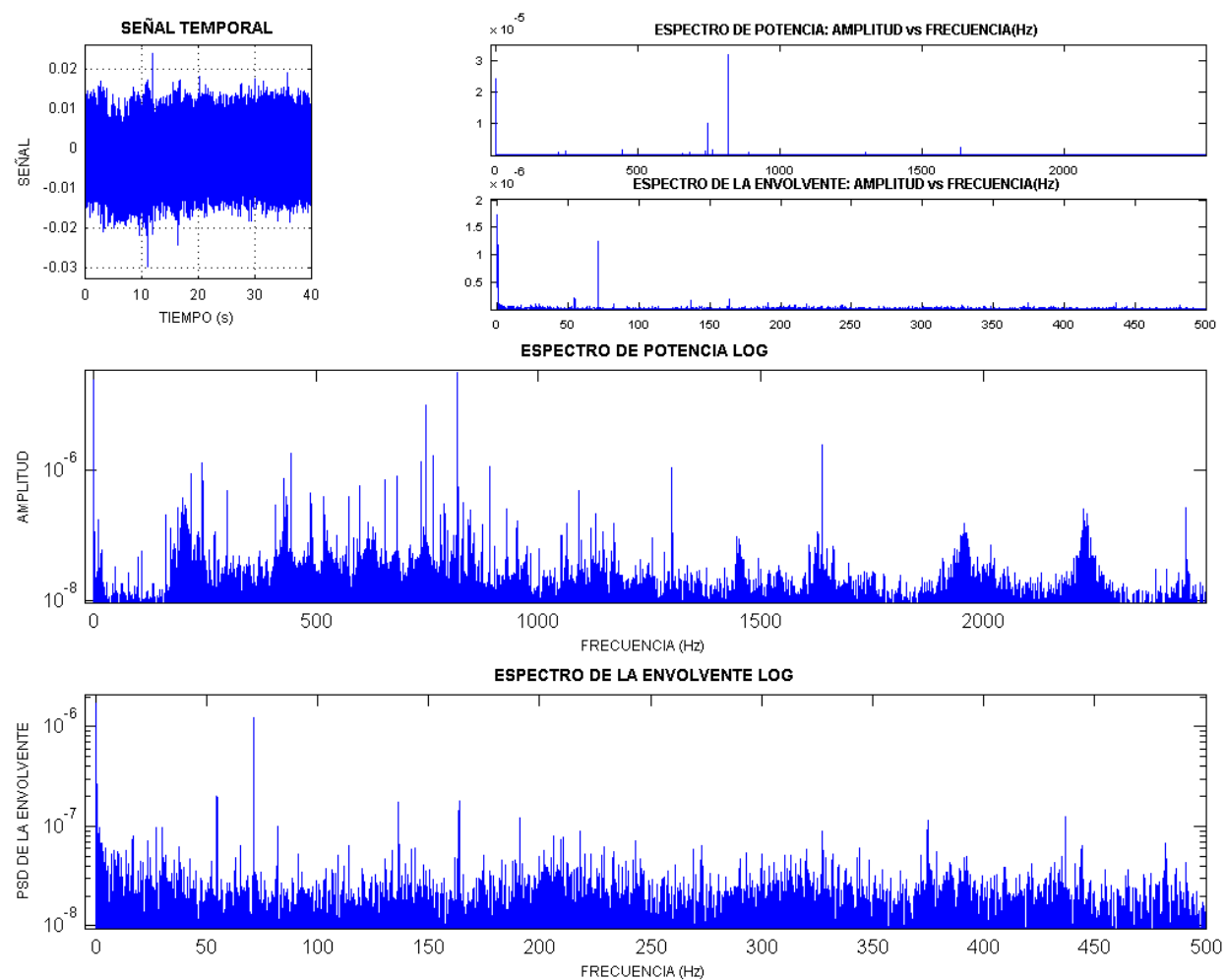
Varianza: 0.000021

Valor Medio: 0.003871

Moda: -0.000429

Potencia del Espectro: 0.000021

## ANEXO A

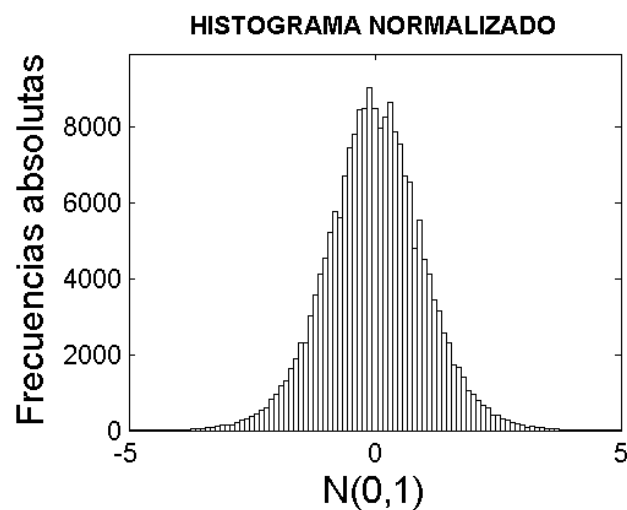


## ANEXO A

Reductora Con Carcasa

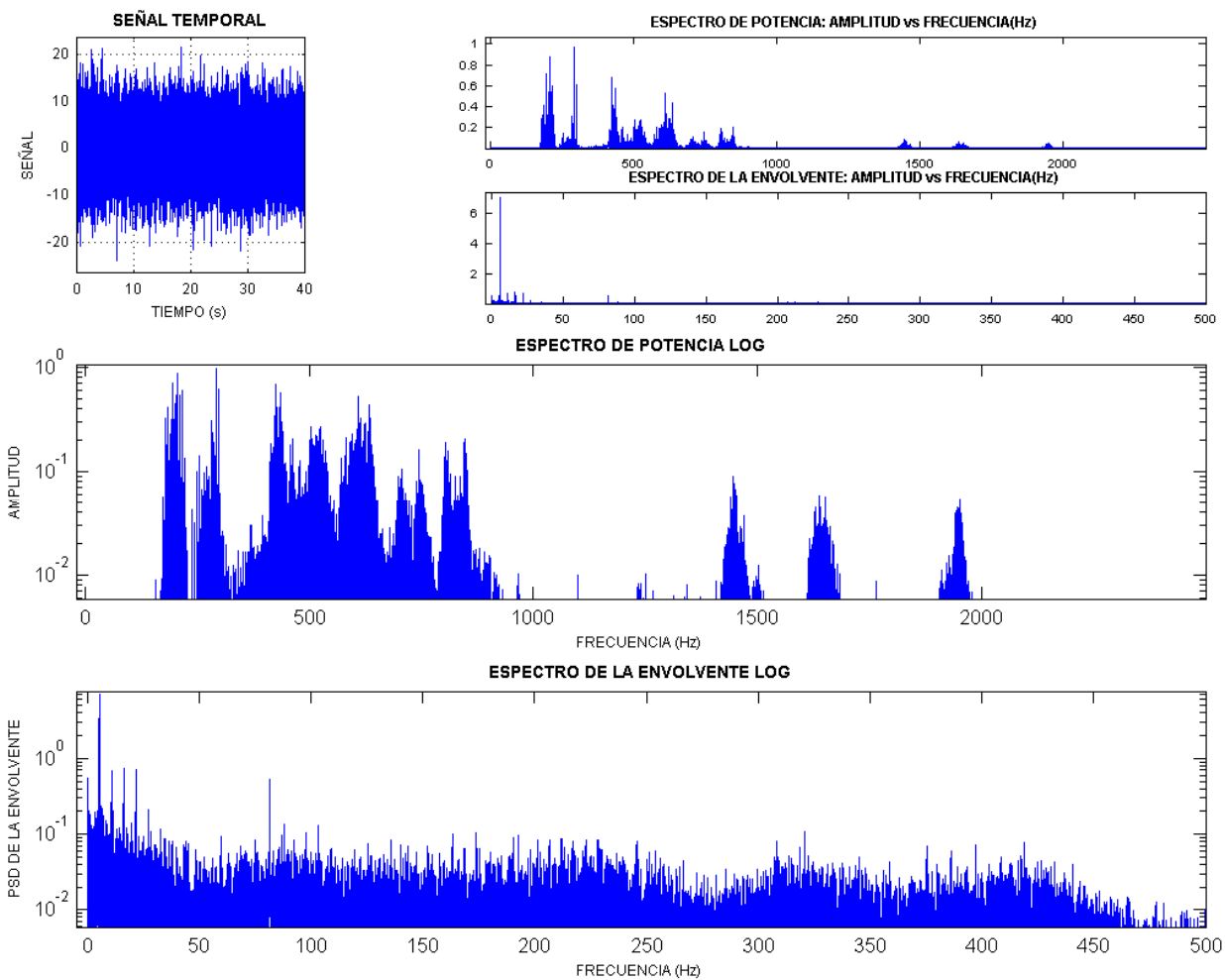
Punto 13

Velocidad (r.p.m) 300



Media	-0.141301
Desviación Típica:	4.298570
Mediana:	-0.195313
Valor Máximo:	20.898438
Valor Mínimo:	-20.703125
Valor de Pico:	20.898438
Valor de Pico a Pico:	41.601563
Kurtosis:	3.688357
Sesgo:	0.033607
Valor Eficaz:	4.300784
Factor de Forma:	1.446625
Factor de Cresta:	4.859216
Varianza:	18.477701
Valor Medio:	2.977758
Moda:	-0.303335
Potencia del Espectro:	18.496743

## ANEXO A

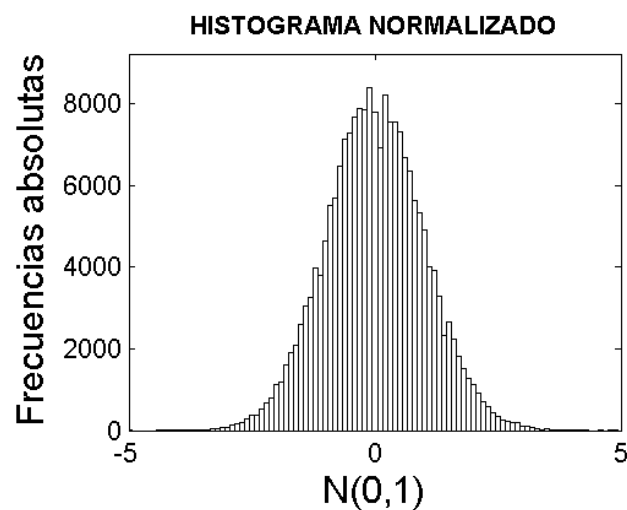


## ANEXO A

Reductora Con Carcasa

Punto 13

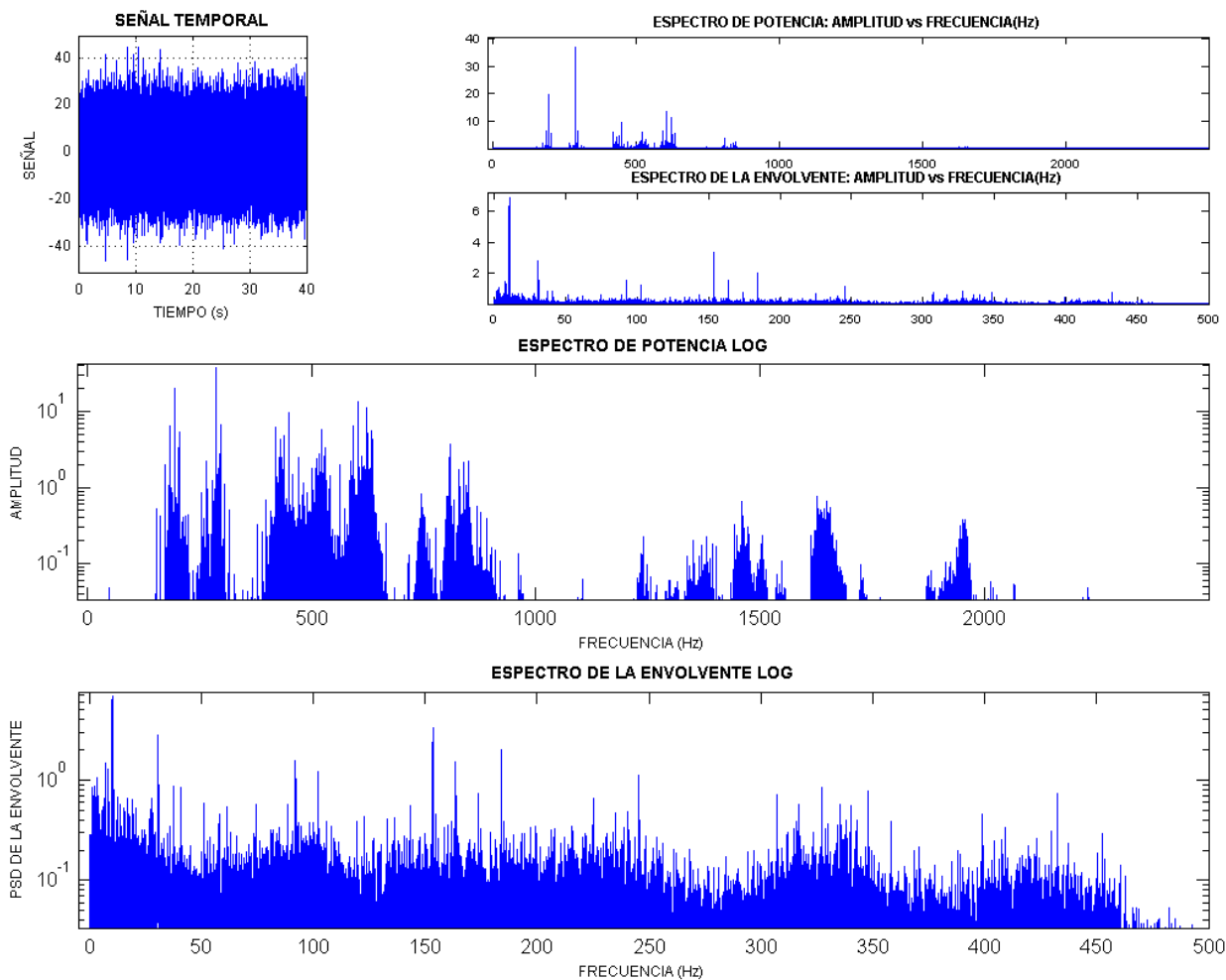
Velocidad (r.p.m) 600



Media	-0.443756
Desviación Típica:	9.117248
Mediana:	-0.618078
Valor Máximo:	35.075900
Valor Mínimo:	-39.093404
Valor de Pico:	39.093404
Valor de Pico a Pico:	74.169304
Kurtosis:	3.069669
Sesgo:	0.070435
Valor Eficaz:	9.127813
Factor de Forma:	1.255720
Factor de Cresta:	4.282888
Varianza:	83.124202
Valor Medio:	7.269427
Moda:	-0.966720
Potencia del Espectro:	83.316966



# ANEXO A

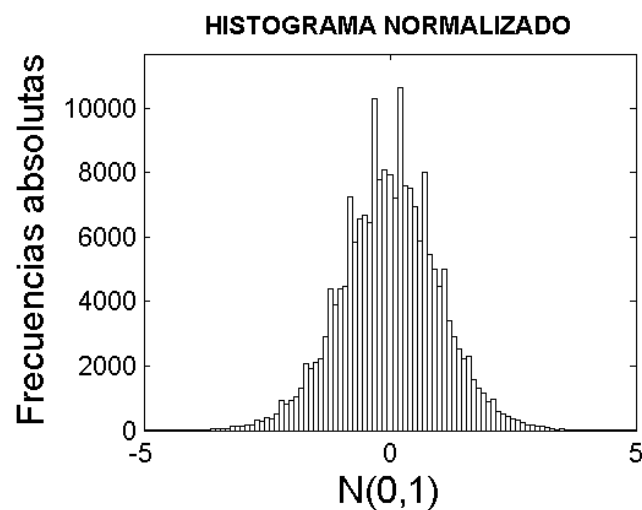


## ANEXO A

Reductora Con Carcasa

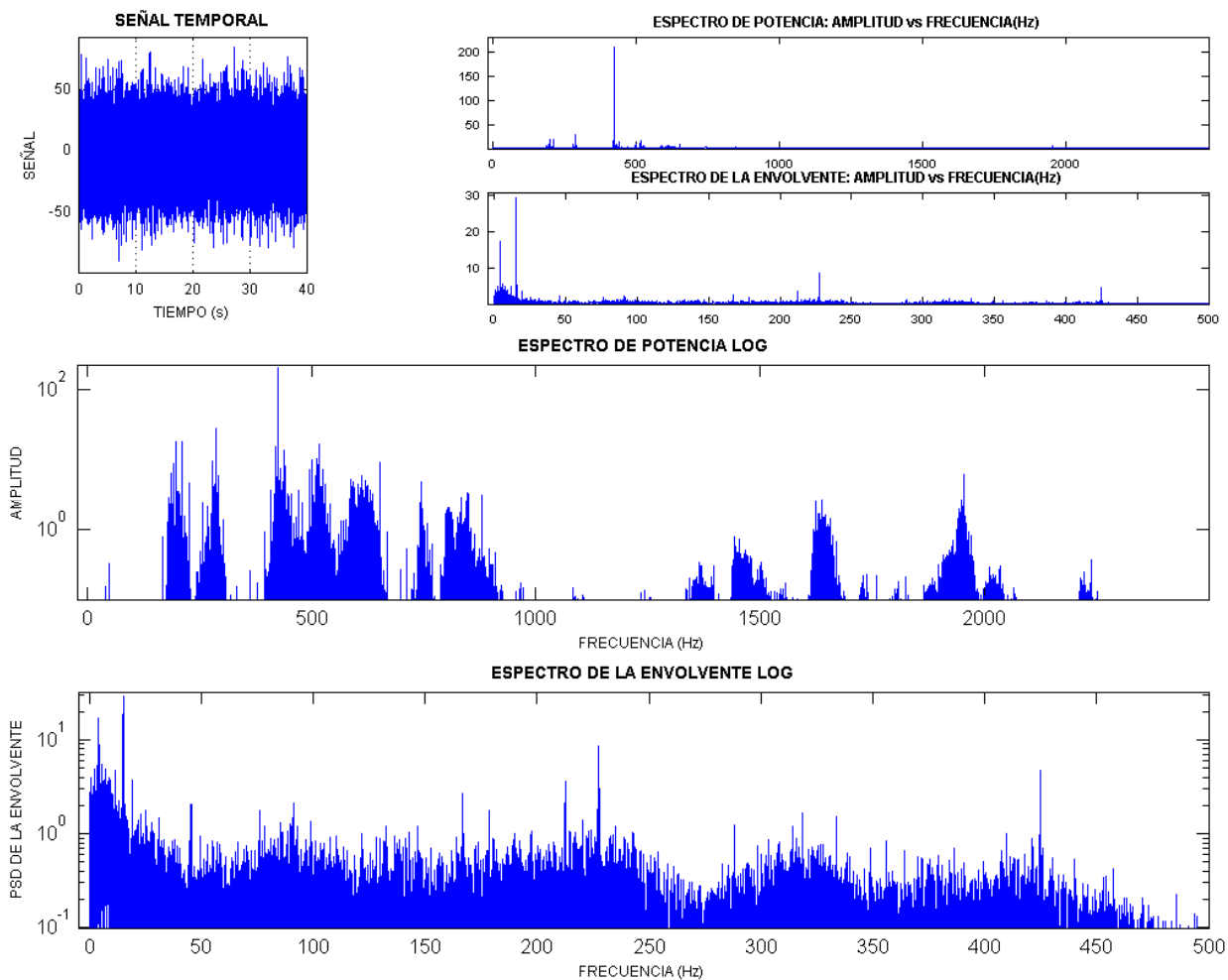
Punto 13

Velocidad (r.p.m) 900



Media	-1.416480
Desviación Típica:	15.305234
Mediana:	-1.464844
Valor Máximo:	77.636719
Valor Mínimo:	-71.777344
Valor de Pico:	77.636719
Valor de Pico a Pico:	149.414063
Kurtosis:	3.576711
Sesgo:	-0.045220
Valor Eficaz:	15.370260
Factor de Forma:	1.251332
Factor de Cresta:	5.051100
Varianza:	234.250182
Valor Medio:	12.288662
Moda:	-1.561572
Potencia del Espectro:	236.244884

## ANEXO A

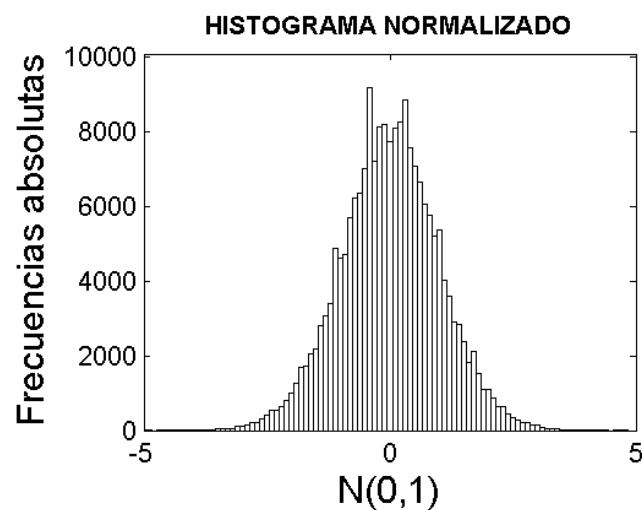


## ANEXO A

Reductora Con Carcasa

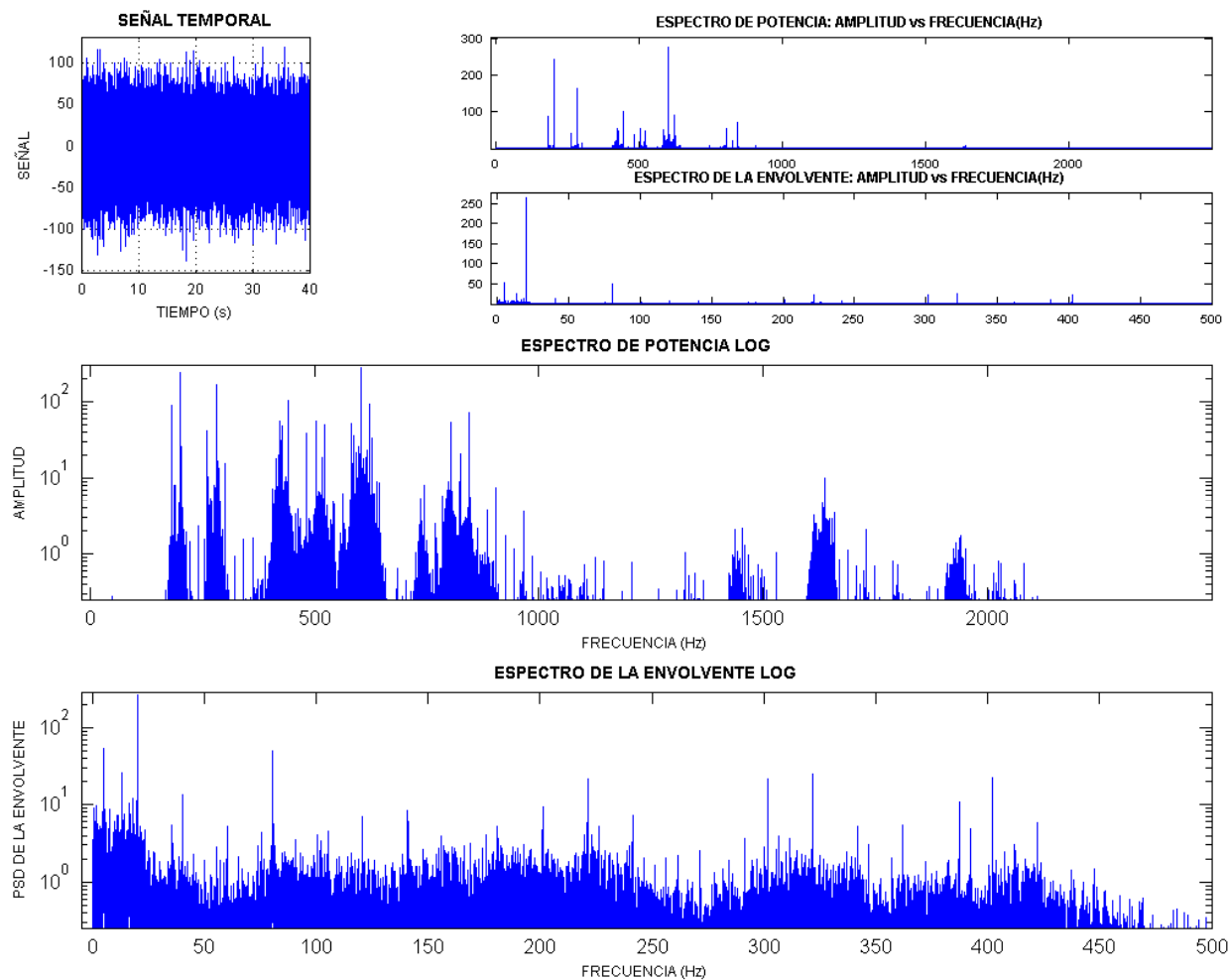
Punto 13

Velocidad (r.p.m) 1200



Media	-1.452319
Desviación Típica:	26.285324
Mediana:	-1.464844
Valor Máximo:	116.699220
Valor Mínimo:	-130.371090
Valor de Pico:	130.371090
Valor de Pico a Pico:	247.070310
Kurtosis:	3.507561
Sesgo:	-0.025180
Valor Eficaz:	26.324759
Factor de Forma:	1.330248
Factor de Cresta:	4.952413
Varianza:	690.918257
Valor Medio:	19.795923
Moda:	-1.489893
Potencia del Espectro:	692.992943

## ANEXO A

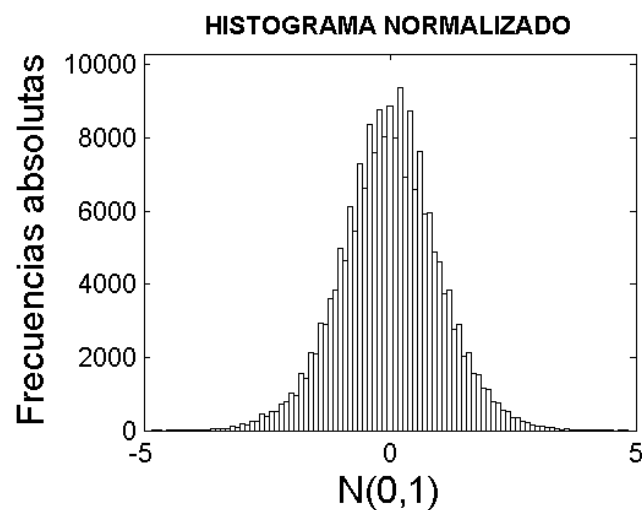


## ANEXO A

Reductora Con Carcasa

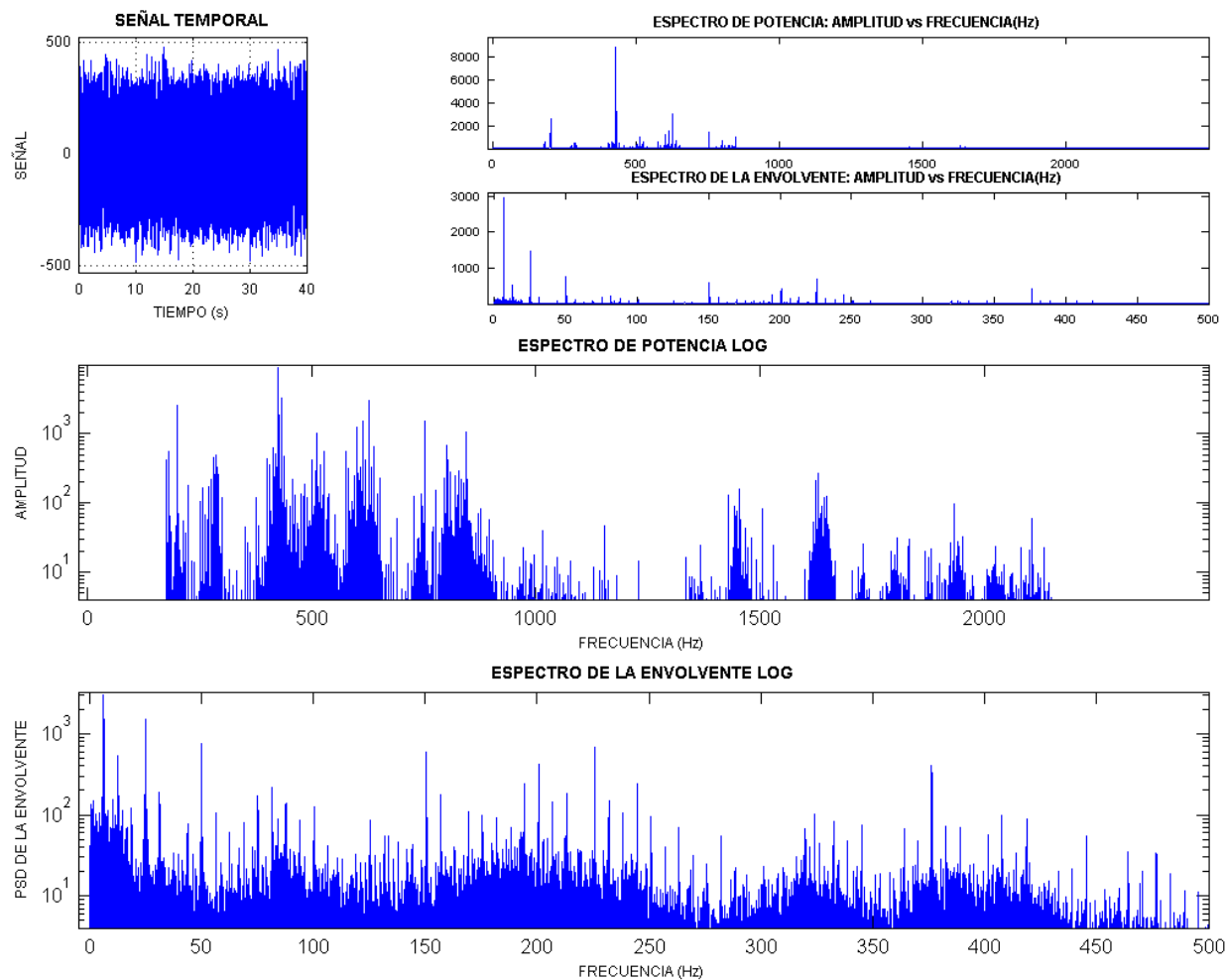
Punto 13

Velocidad (r.p.m) 1500



Media	-4.426903
Desviación Típica:	100.998595
Mediana:	-4.635581
Valor Máximo:	414.111950
Valor Mínimo:	-440.380240
Valor de Pico:	440.380240
Valor de Pico a Pico:	854.492190
Kurtosis:	3.509640
Sesgo:	-0.058352
Valor Eficaz:	101.093044
Factor de Forma:	1.289292
Factor de Cresta:	4.356187
Varianza:	10200.716145
Valor Medio:	78.435484
Moda:	-5.052938
Potencia del Espectro:	10219.803579

## ANEXO A

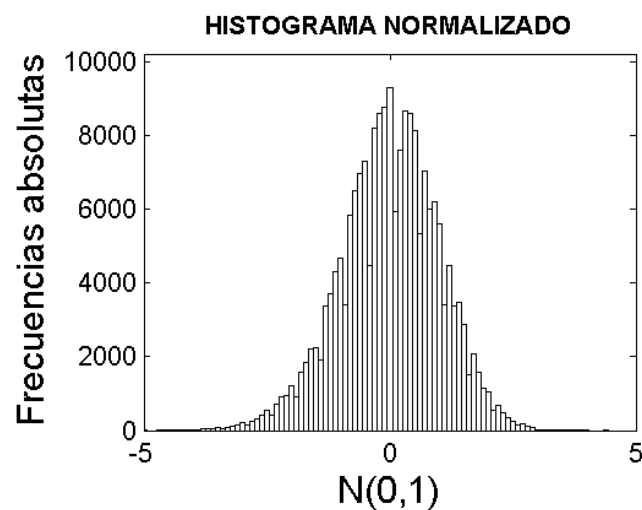


## ANEXO A

Reductora Con Carcasa

Punto 14

Velocidad (r.p.m) 0



Media -0.000420

Desviación Típica: 0.003826

Mediana: -0.000464

Valor Máximo: 0.013443

Valor Mínimo: -0.017461

Valor de Pico: 0.017461

Valor de Pico a Pico: 0.030904

Kurtosis: 2.958230

Sesgo: 0.015241

Valor Eficaz: 0.003849

Factor de Forma: 1.157508

Factor de Cresta: 4.536545

Varianza: 0.000015

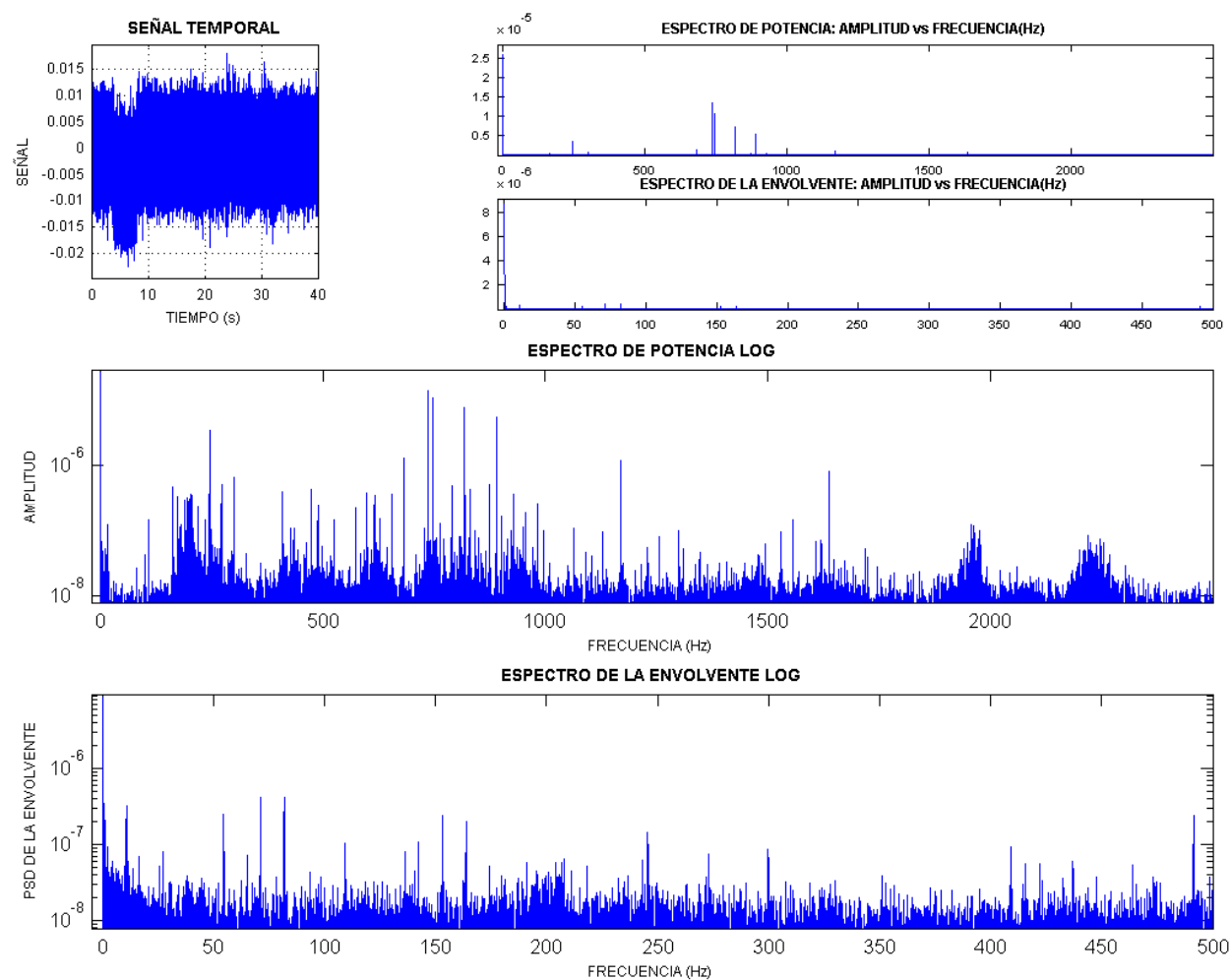
Valor Medio: 0.003486

Moda: -0.000551

Potencia del Espectro: 0.000015



## ANEXO A

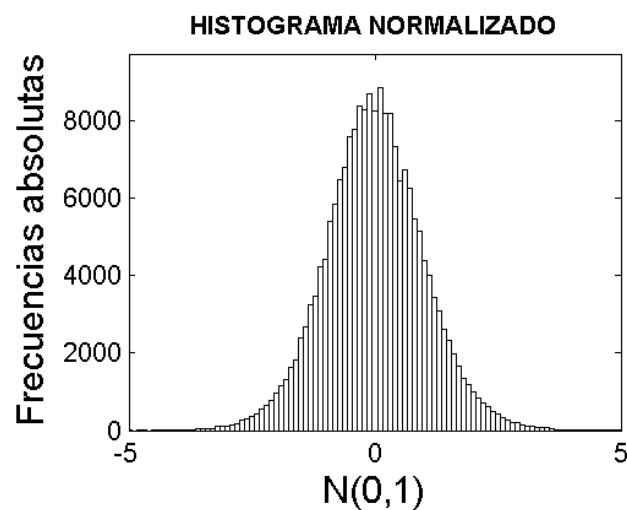


## ANEXO A

Reductora Con Carcasa

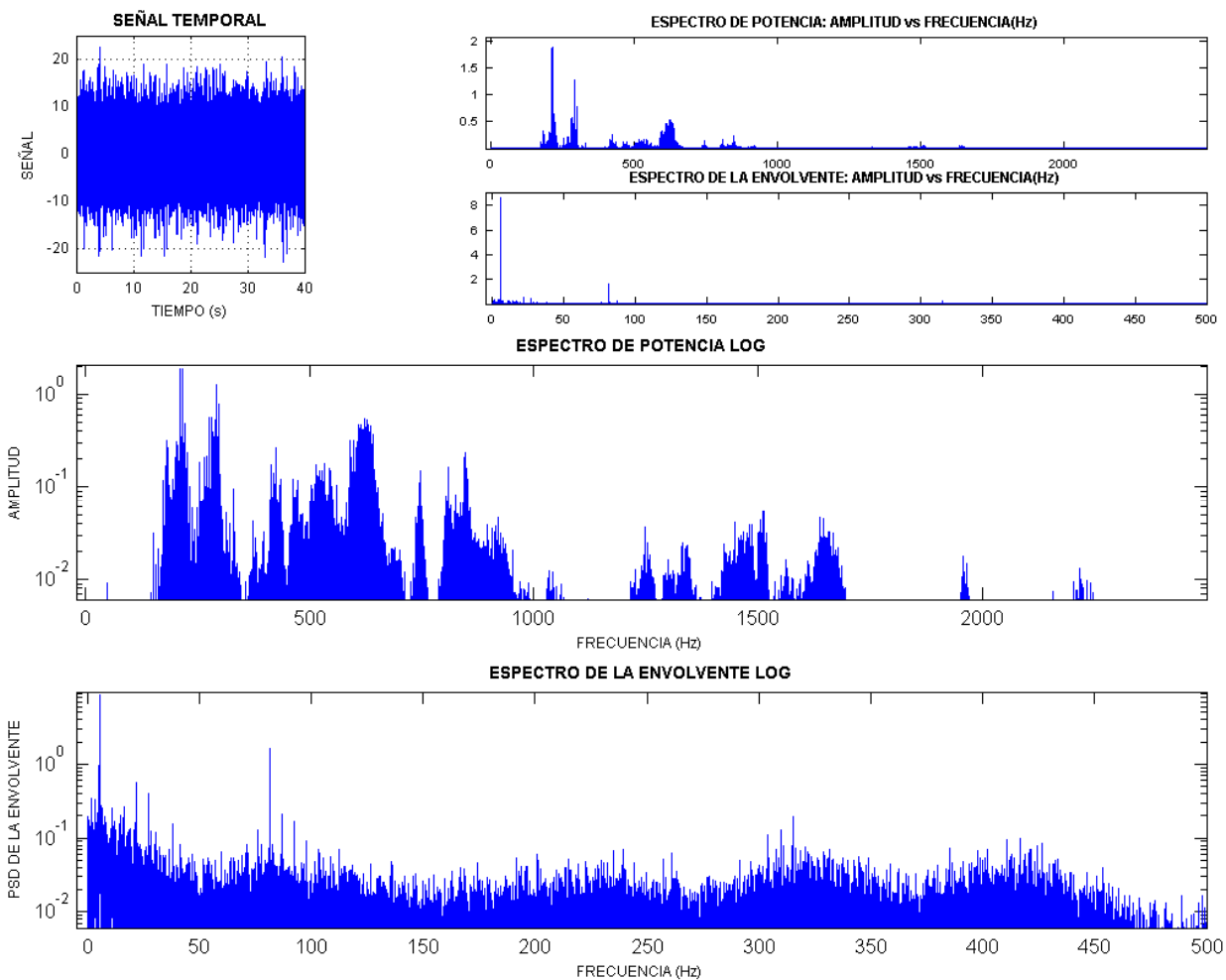
Punto 14

Velocidad (r.p.m) 300



Media	-0.132297
Desviación Típica:	4.032707
Mediana:	-0.146484
Valor Máximo:	18.945313
Valor Mínimo:	-21.630859
Valor de Pico:	21.630859
Valor de Pico a Pico:	40.576172
Kurtosis:	3.545258
Sesgo:	0.063673
Valor Eficaz:	4.034776
Factor de Forma:	1.329313
Factor de Cresta:	5.361105
Varianza:	16.262727
Valor Medio:	3.036308
Moda:	-0.174858
Potencia del Espectro:	16.279417

## ANEXO A

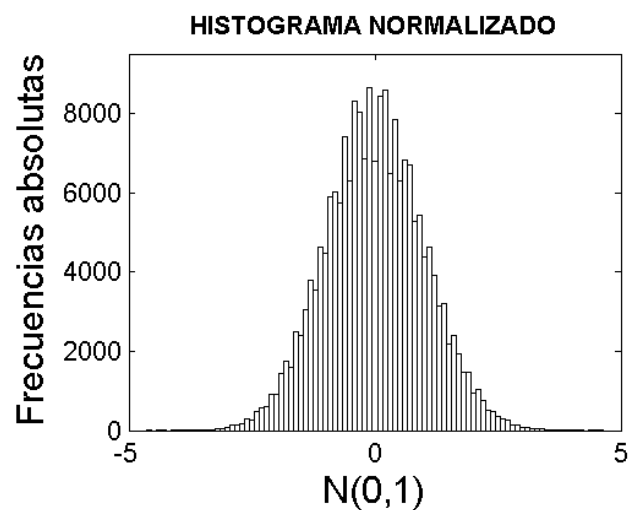


## ANEXO A

Reductora Con Carcasa

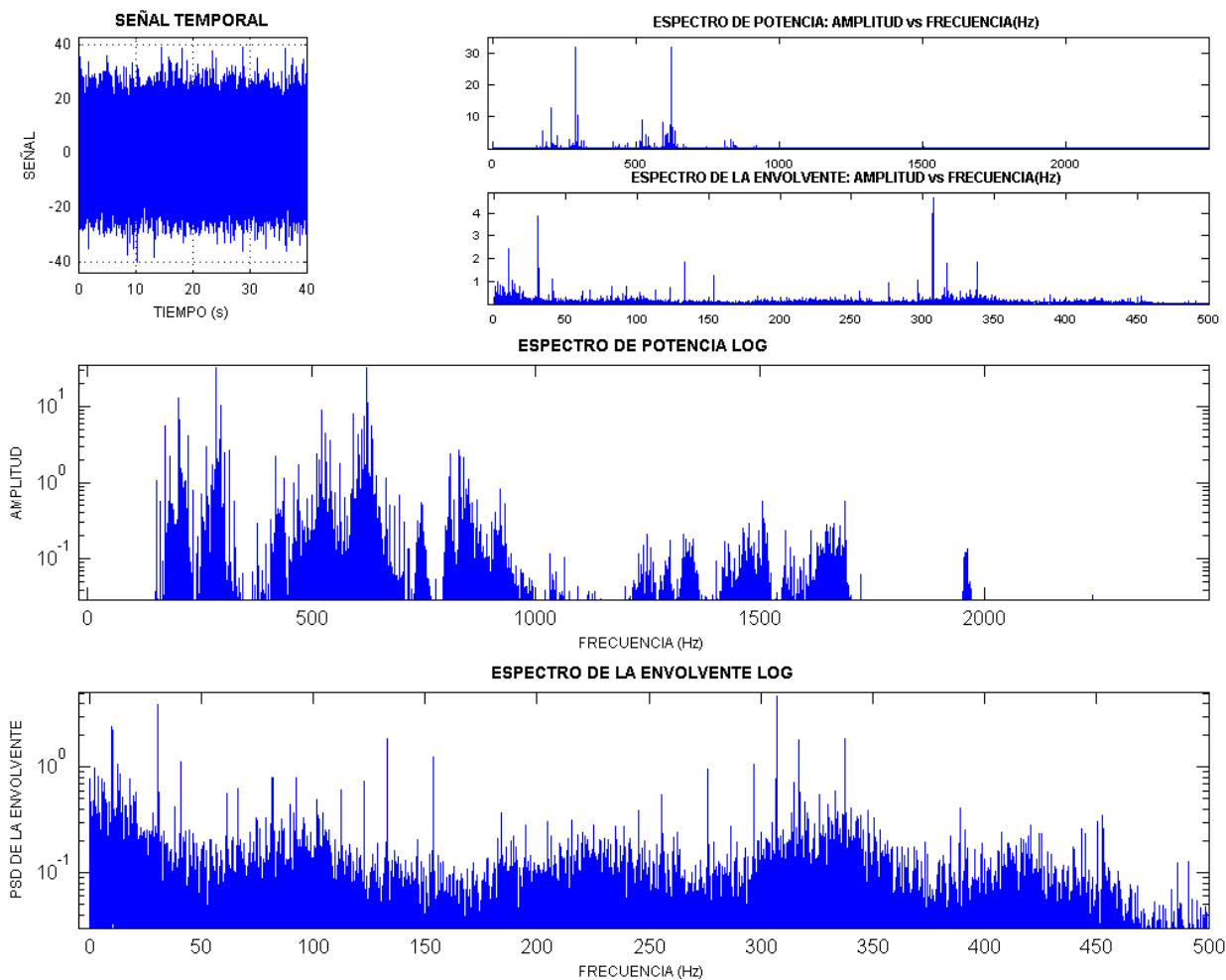
Punto 14

Velocidad (r.p.m) 600



Media	-0.455469
Desviación Típica:	8.788133
Mediana:	-0.618078
Valor Máximo:	35.384939
Valor Mínimo:	-35.075900
Valor de Pico:	35.384939
Valor de Pico a Pico:	70.460839
Kurtosis:	2.972311
Sesgo:	0.053677
Valor Eficaz:	8.799708
Factor de Forma:	1.272051
Factor de Cresta:	4.021149
Varianza:	77.231277
Valor Medio:	6.920005
Moda:	-0.943294
Potencia del Espectro:	77.434868

# ANEXO A

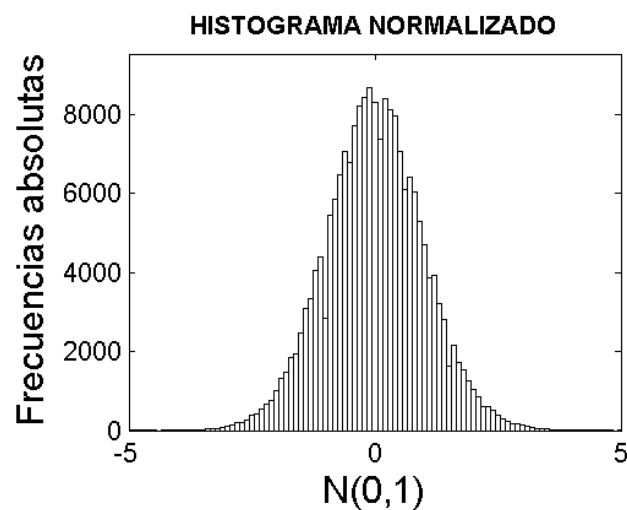


## ANEXO A

Reductora Con Carcasa

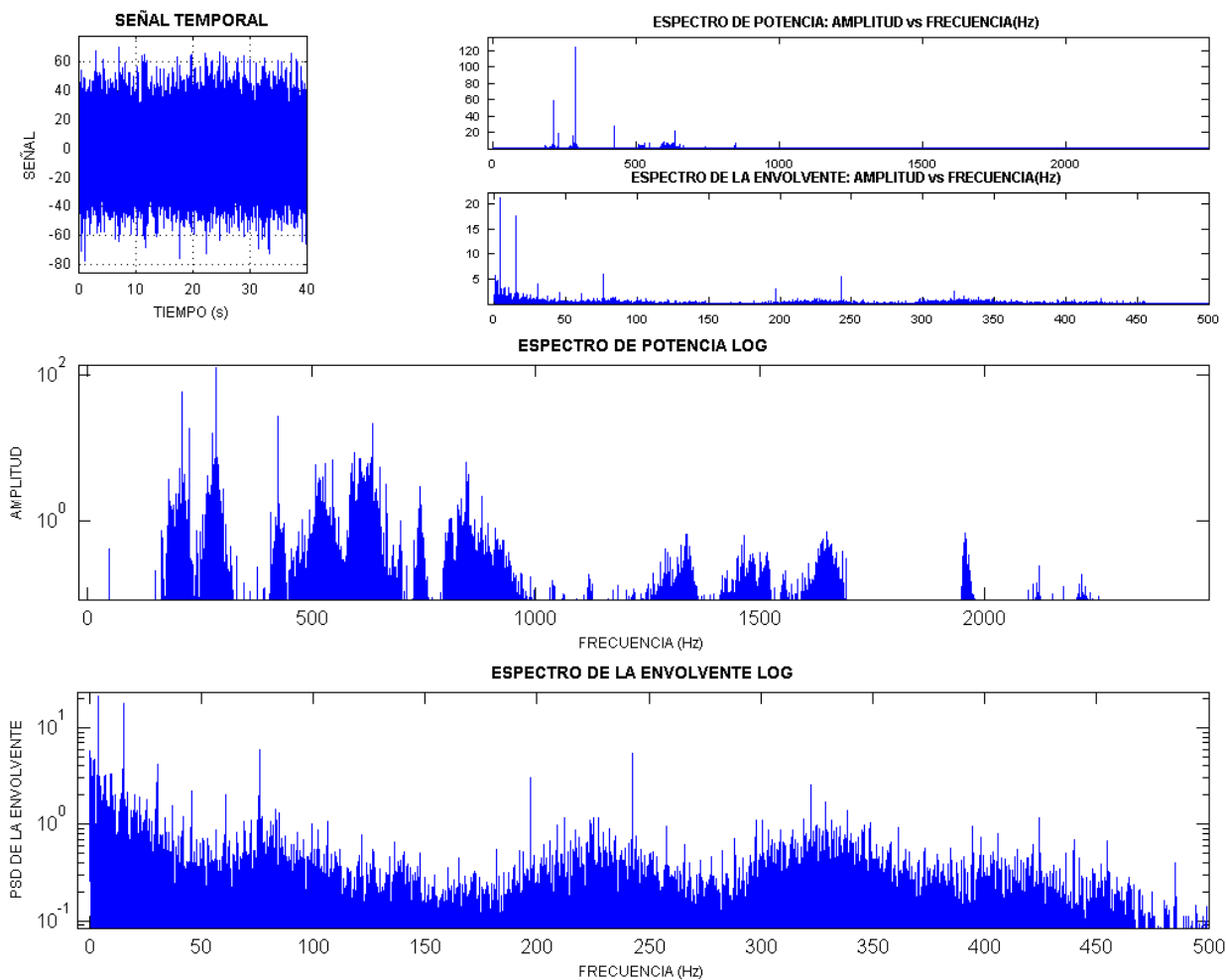
Punto 14

Velocidad (r.p.m) 900



Media	-1.404517
Desviación Típica:	14.157301
Mediana:	-1.464844
Valor Máximo:	67.382813
Valor Mínimo:	-77.636719
Valor de Pico:	77.636719
Valor de Pico a Pico:	145.019532
Kurtosis:	3.457374
Sesgo:	0.038198
Valor Eficaz:	14.226448
Factor de Forma:	1.243557
Factor de Cresta:	5.457210
Varianza:	200.429184
Valor Medio:	11.449971
Moda:	-1.585498
Potencia del Espectro:	202.391829

## ANEXO A

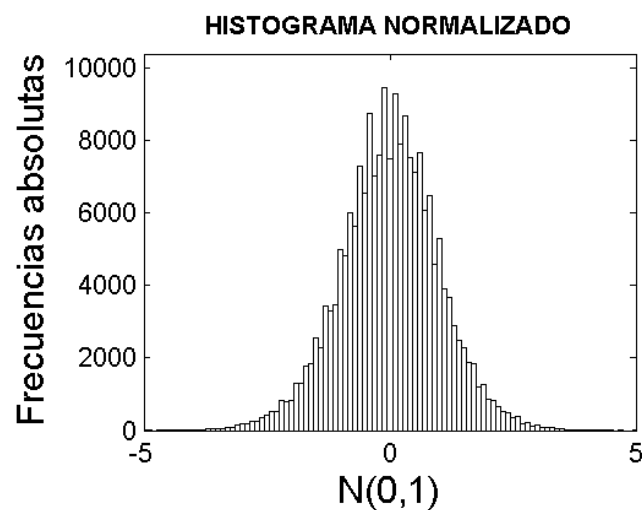


## ANEXO A

Reductora Con Carcasa

Punto 14

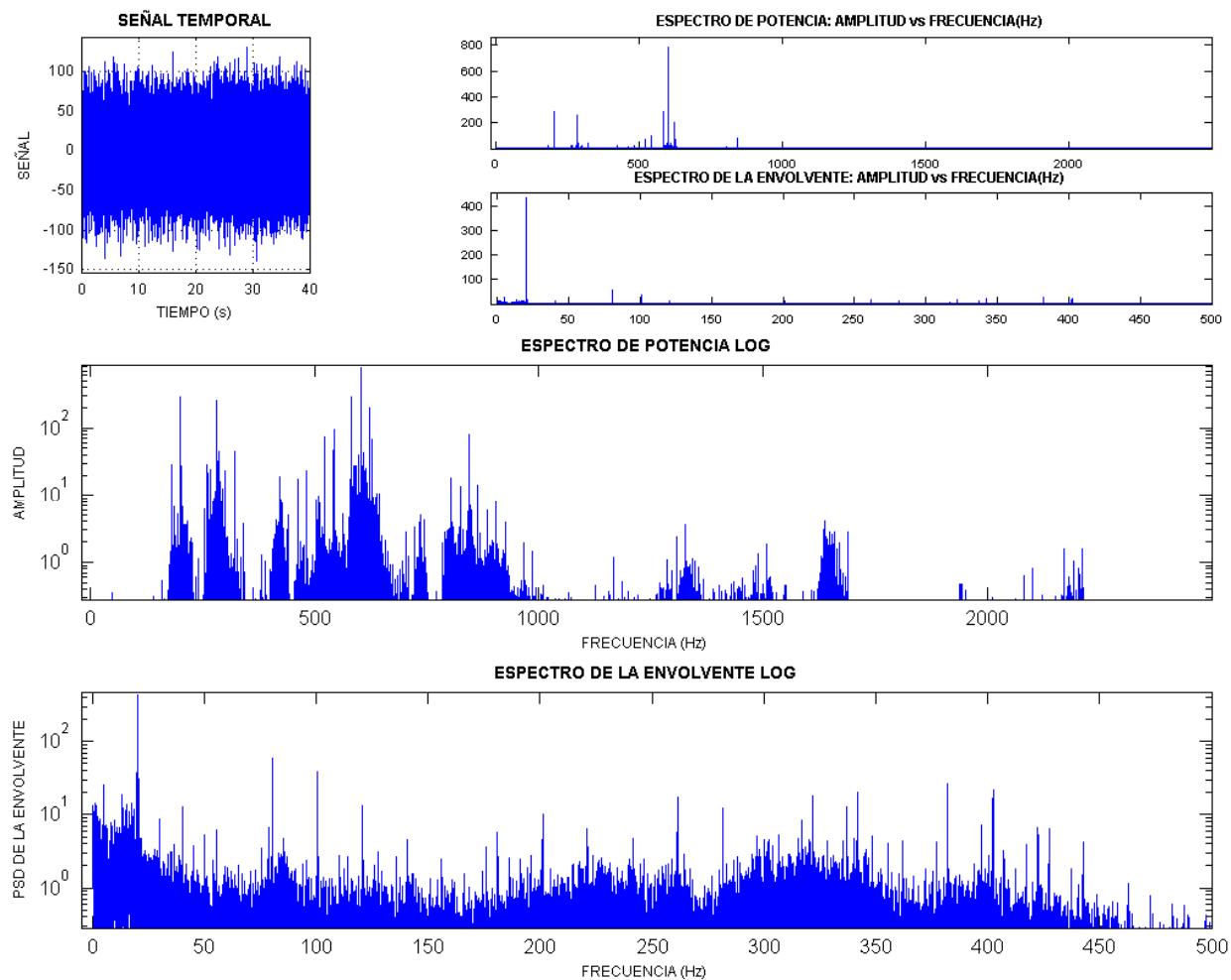
Velocidad (r.p.m) 1200



Media	-1.396533
Desviación Típica:	26.498705
Mediana:	-0.976563
Valor Máximo:	105.957030
Valor Mínimo:	-119.628910
Valor de Pico:	119.628910
Valor de Pico a Pico:	225.585940
Kurtosis:	3.453877
Sesgo:	-0.072652
Valor Eficaz:	26.534817
Factor de Forma:	1.280525
Factor de Cresta:	4.508375
Varianza:	702.181341
Valor Medio:	20.736289
Moda:	-0.136621
Potencia del Espectro:	704.096537



## ANEXO A

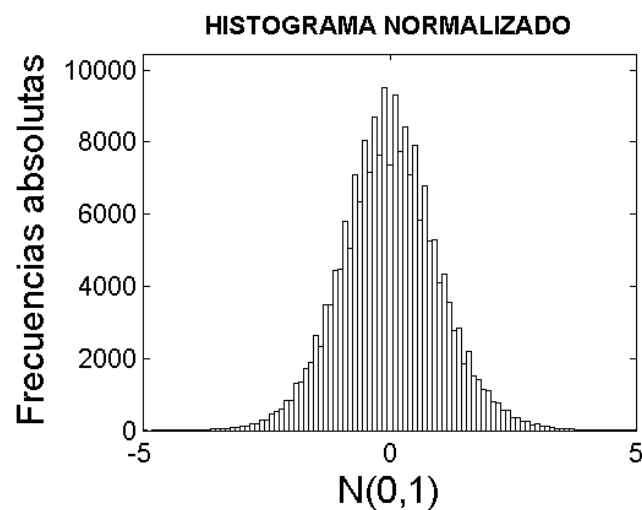


## ANEXO A

Reductora Con Carcasa

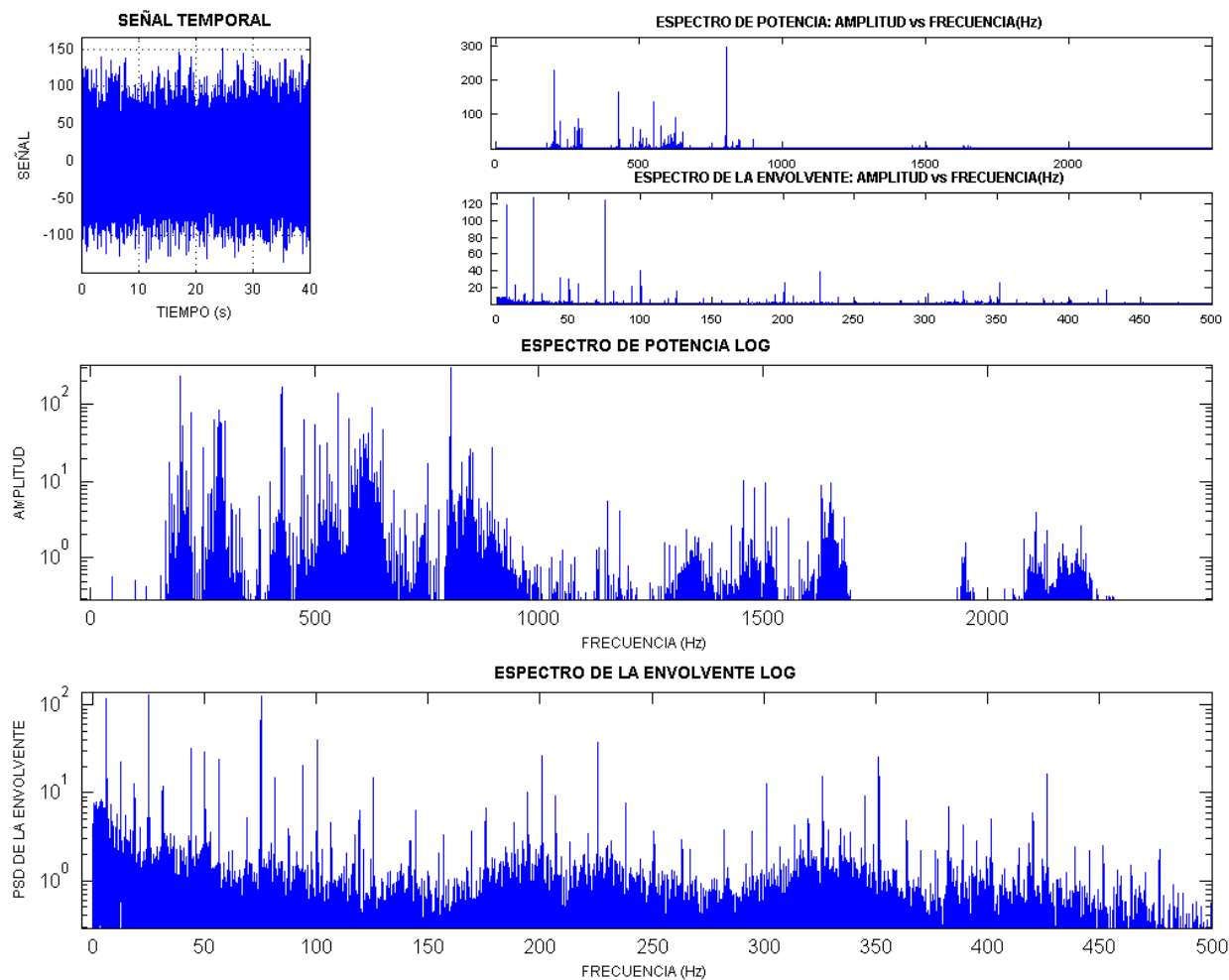
Punto 14

Velocidad (r.p.m) 1500



Media	-1.397070
Desviación Típica:	27.254993
Mediana:	-1.953125
Valor Máximo:	139.160160
Valor Mínimo:	-120.605470
Valor de Pico:	139.160160
Valor de Pico a Pico:	259.765630
Kurtosis:	3.628818
Sesgo:	0.099366
Valor Eficaz:	27.290096
Factor de Forma:	1.298631
Factor de Cresta:	5.099292
Varianza:	742.834649
Valor Medio:	21.024302
Moda:	-3.065234
Potencia del Espectro:	744.749313

## ANEXO A

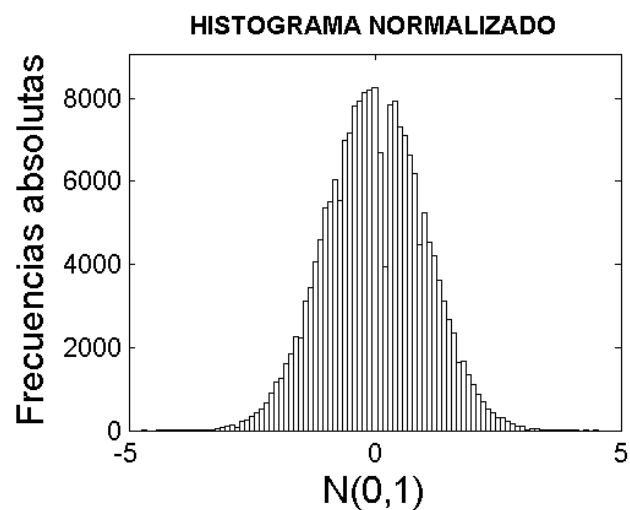


## ANEXO A

Reductora Con Carcasa

Punto 15

Velocidad (r.p.m) 0



Media -0.000350

Desviación Típica: 0.003074

Mediana: -0.000309

Valor Máximo: 0.011434

Valor Mínimo: -0.013134

Valor de Pico: 0.013134

Valor de Pico a Pico: 0.024569

Kurtosis: 3.009174

Sesgo: -0.033801

Valor Eficaz: 0.003093

Factor de Forma: 1.261918

Factor de Cresta: 4.245725

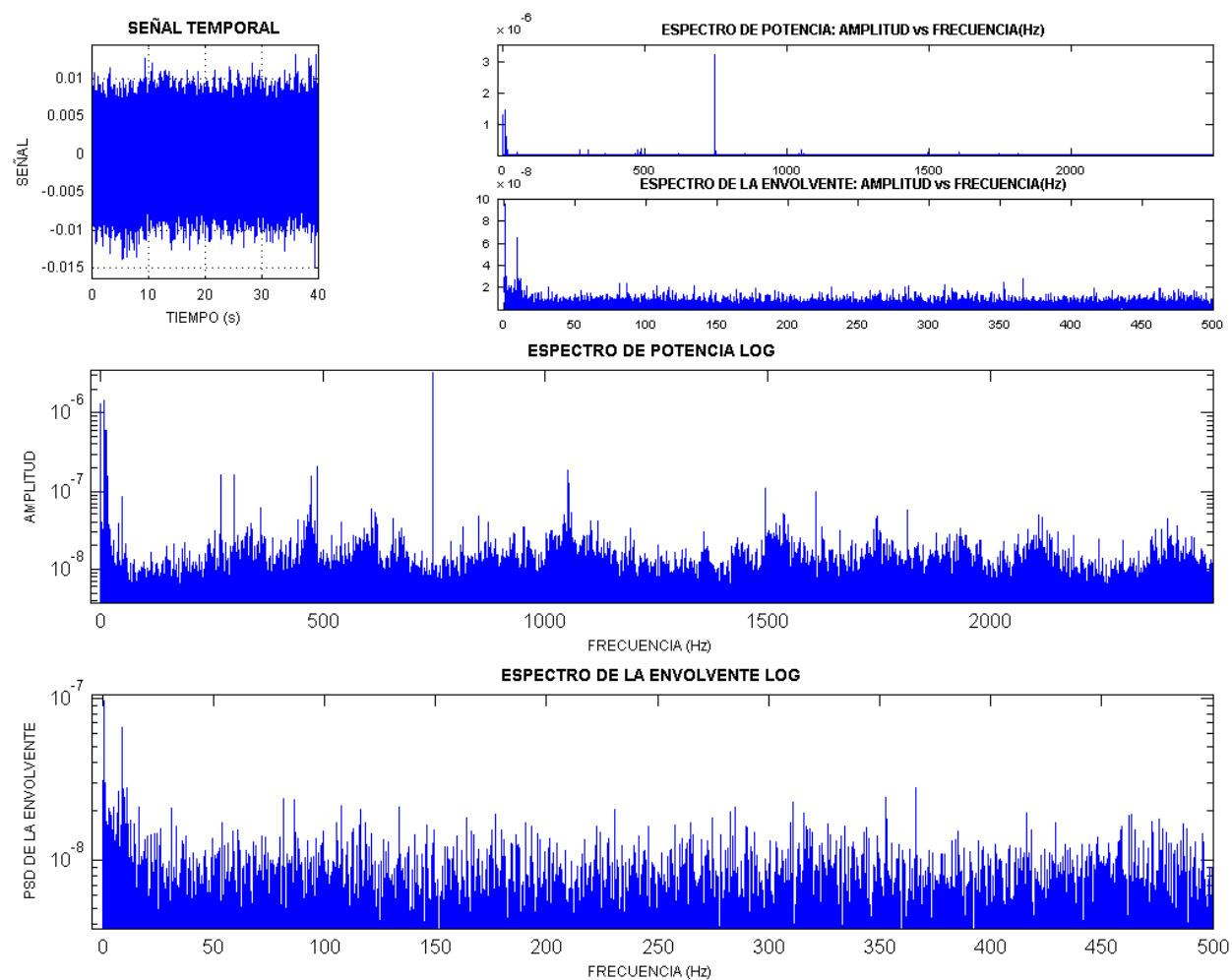
Varianza: 0.000009

Valor Medio: 0.002455

Moda: -0.000228

Potencia del Espectro: 0.000010

## ANEXO A

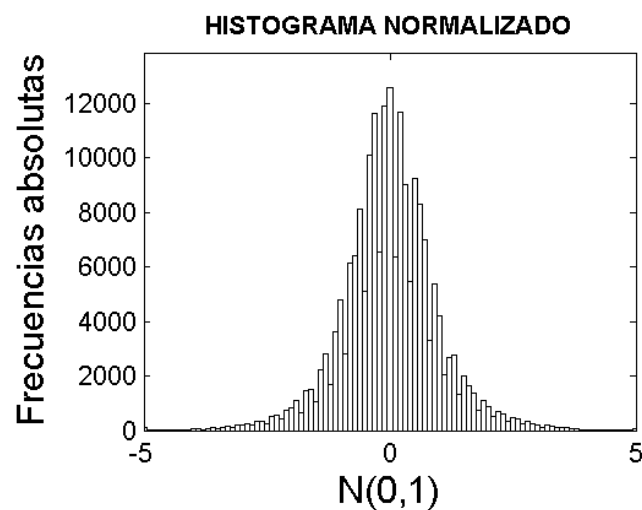


## ANEXO A

Reductora Con Carcasa

Punto 15

Velocidad (r.p.m) 300



Media -0.048395

Desviación Típica: 1.232691

Mediana: -0.061808

Valor Máximo: 7.092440

Valor Mínimo: -6.474362

Valor de Pico: 7.092440

Valor de Pico a Pico: 13.566802

Kurtosis: 3.689177

Sesgo: 0.040098

Valor Eficaz: 1.233610

Factor de Forma: 1.930573

Factor de Cresta: 5.749338

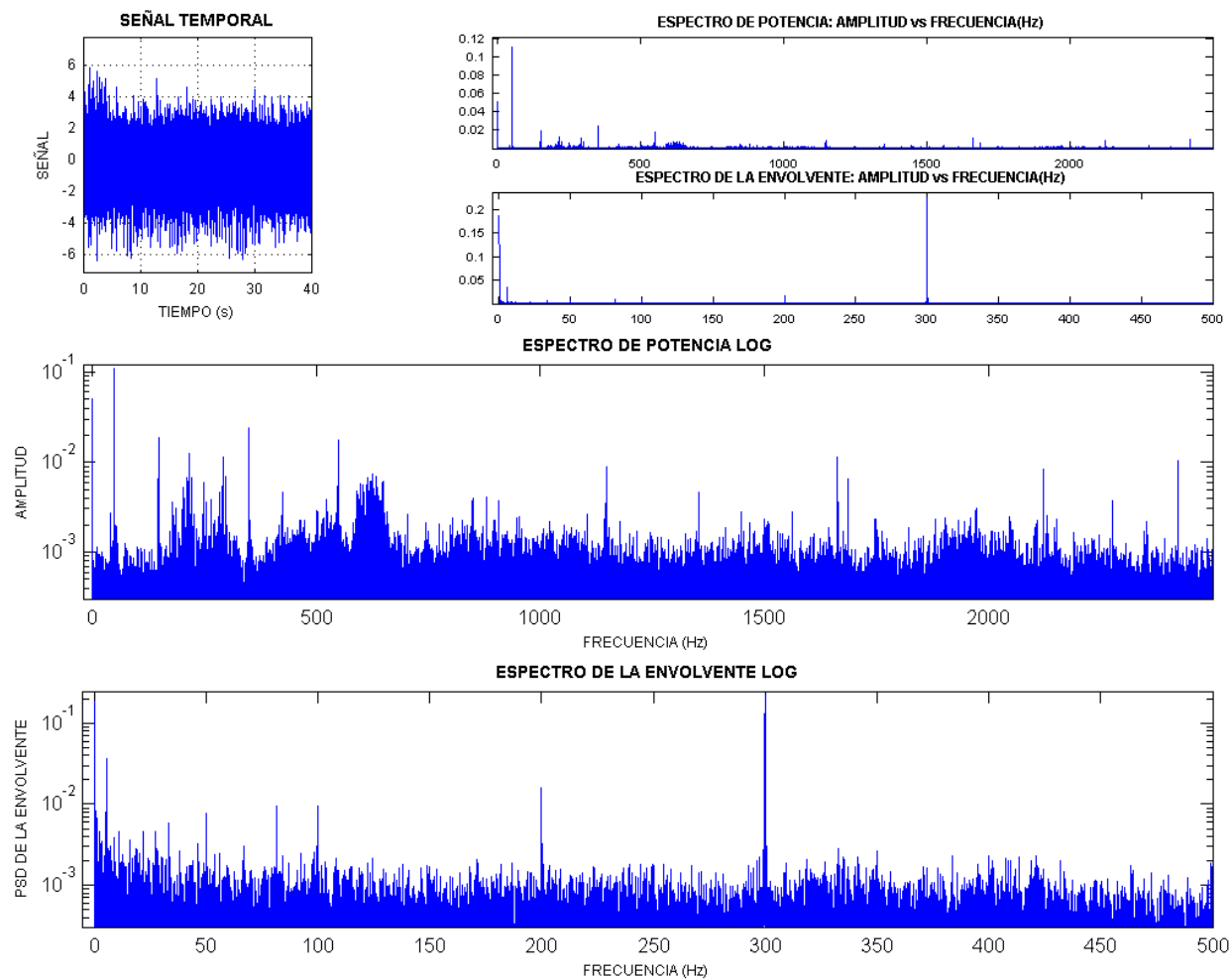
Varianza: 1.519527

Valor Medio: 0.650572

Moda: -0.088632

Potencia del Espectro: 1.521793

## ANEXO A

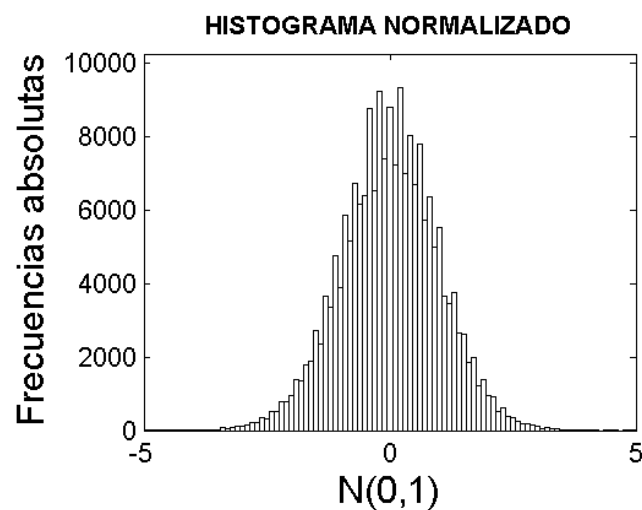


## ANEXO A

Reductora Con Carcasa

Punto 15

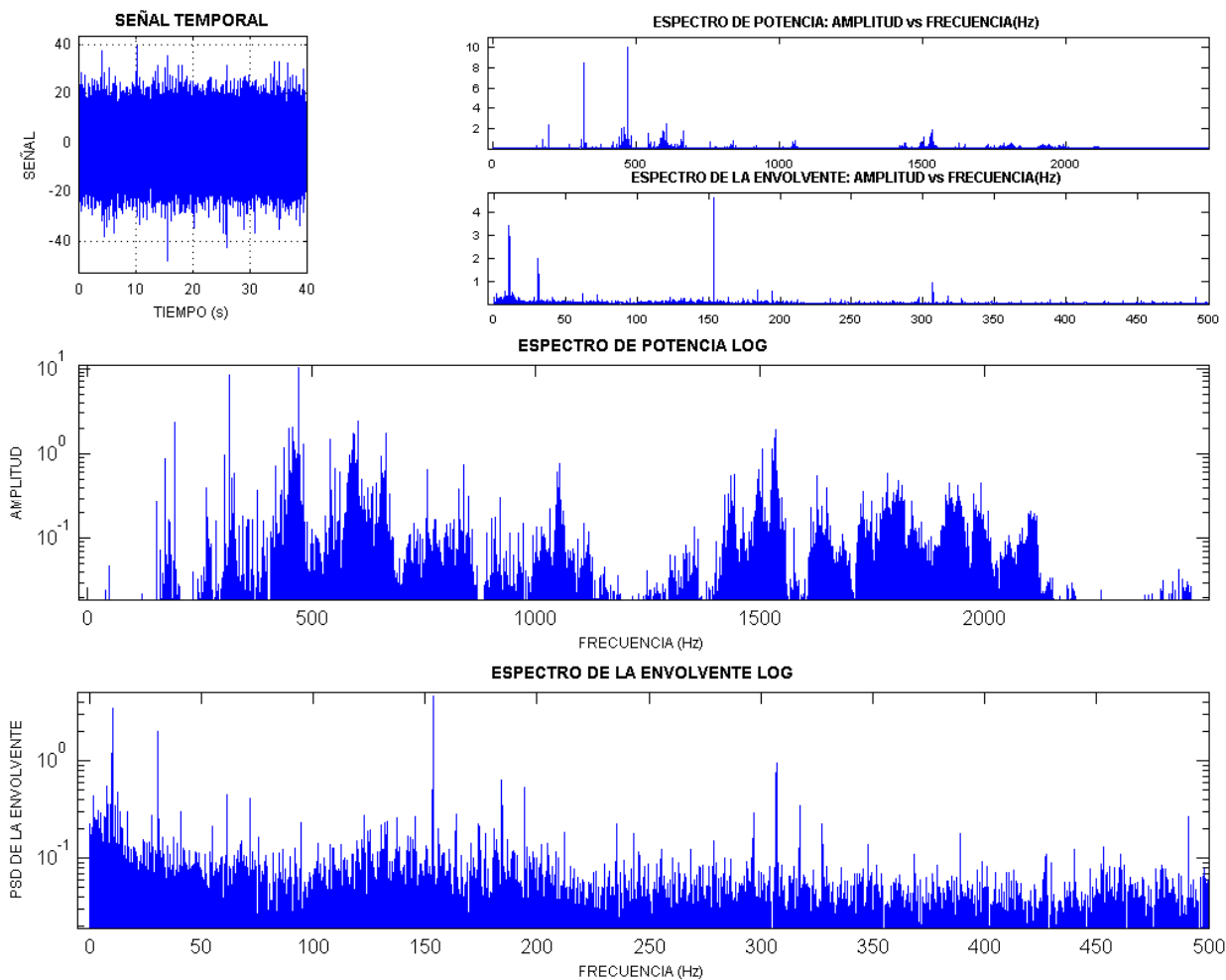
Velocidad (r.p.m) 600



Media	-0.471879
Desviación Típica:	6.763405
Mediana:	-0.463558
Valor Máximo:	28.431566
Valor Mínimo:	-28.895125
Valor de Pico:	28.895125
Valor de Pico a Pico:	57.326691
Kurtosis:	3.293810
Sesgo:	-0.041957
Valor Eficaz:	6.779678
Factor de Forma:	1.242766
Factor de Cresta:	4.262020
Varianza:	45.743651
Valor Medio:	5.455813
Moda:	-0.446916
Potencia del Espectro:	45.964033



# ANEXO A

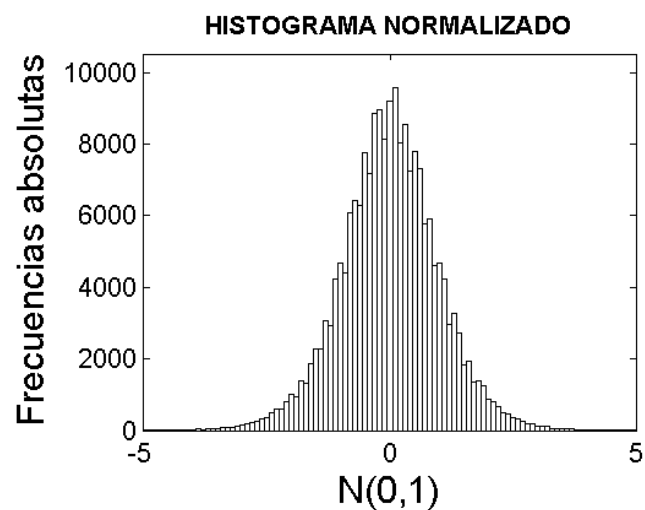


## ANEXO A

Reductora Con Carcasa

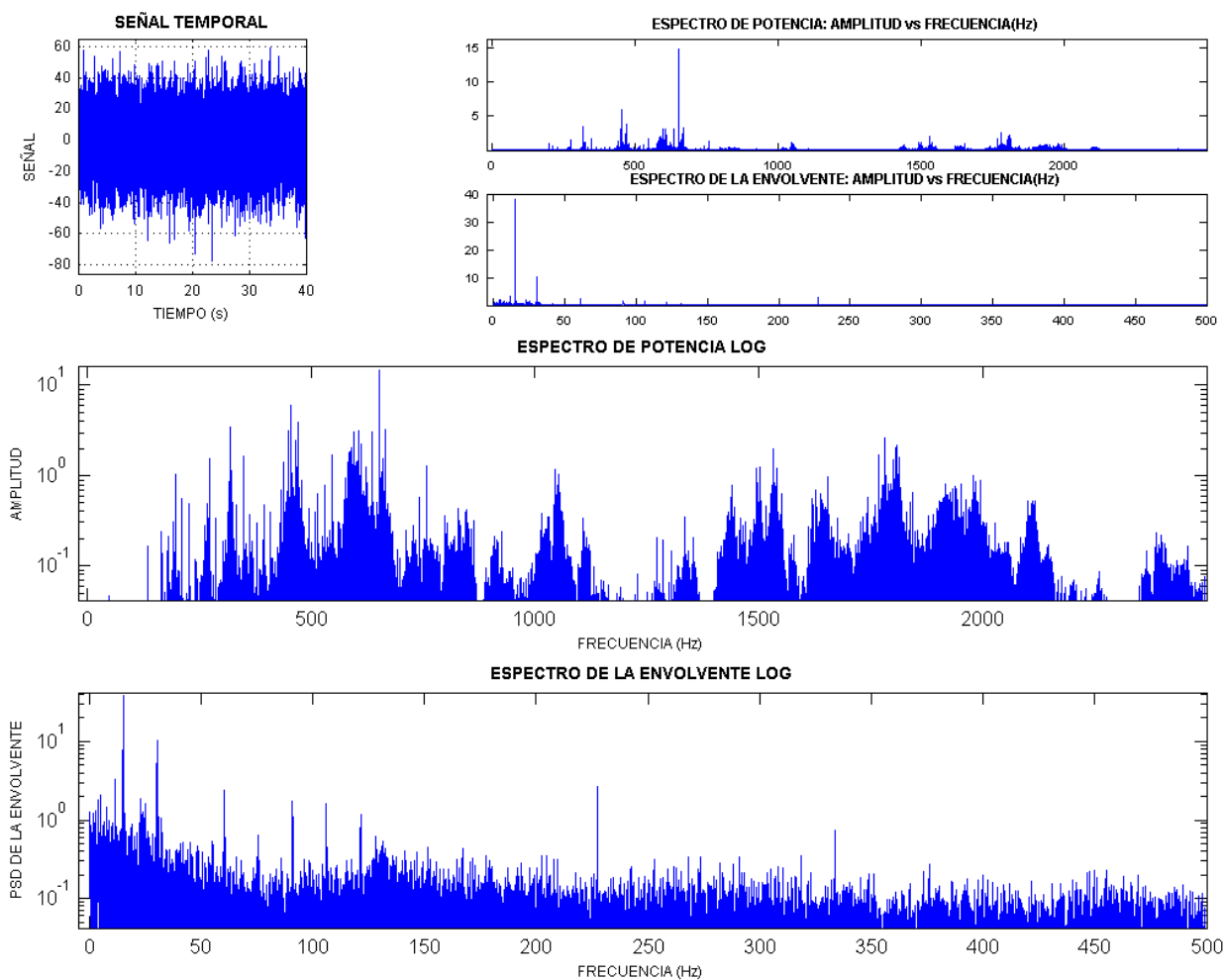
Punto 15

Velocidad (r.p.m) 900



Media	-0.488706
Desviación Típica:	9.812569
Mediana:	-0.463558
Valor Máximo:	57.481210
Valor Mínimo:	-57.017652
Valor de Pico:	57.481210
Valor de Pico a Pico:	114.498862
Kurtosis:	4.065146
Sesgo:	-0.036743
Valor Eficaz:	9.824486
Factor de Forma:	1.250695
Factor de Cresta:	5.850811
Varianza:	96.286512
Valor Medio:	7.859067
Moda:	-0.413262
Potencia del Espectro:	96.520531

## ANEXO A

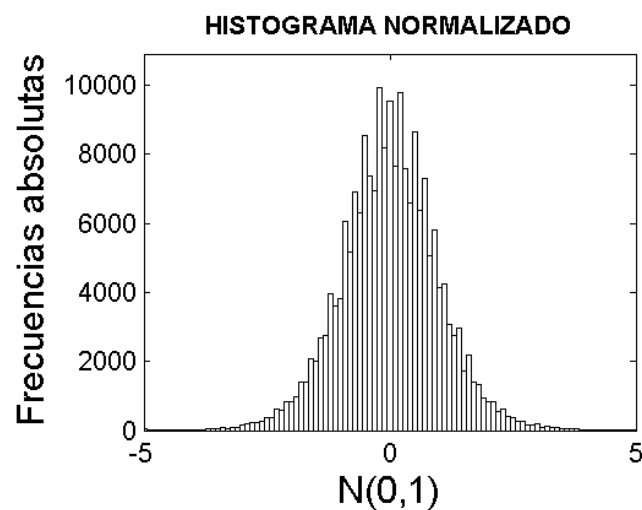


## ANEXO A

Reductora Con Carcasa

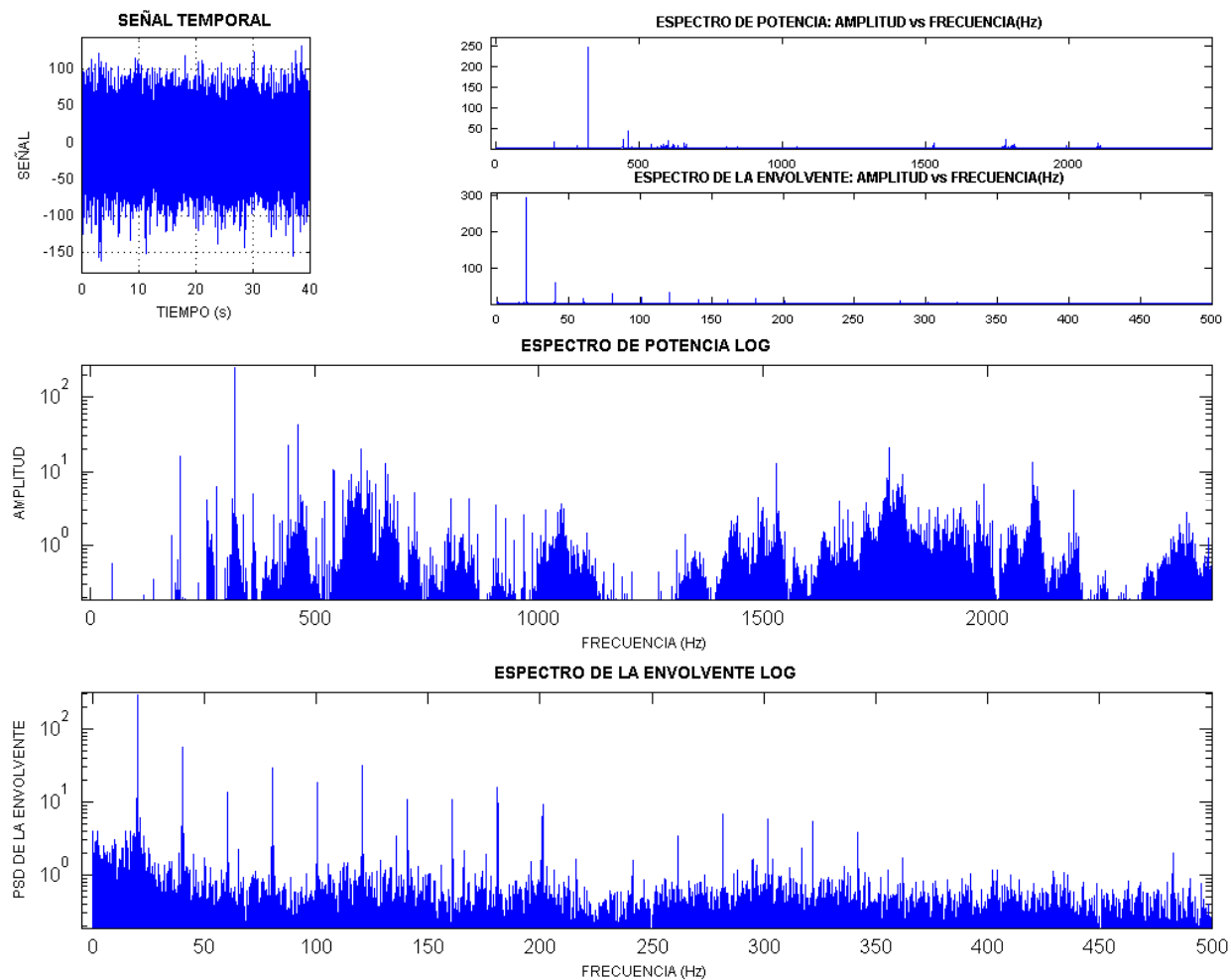
Punto 15

Velocidad (r.p.m) 1200



Media	-1.374561
Desviación Típica:	22.206953
Mediana:	-1.464844
Valor Máximo:	121.093750
Valor Mínimo:	-160.644530
Valor de Pico:	160.644530
Valor de Pico a Pico:	281.738280
Kurtosis:	4.639537
Sesgo:	-0.002440
Valor Eficaz:	22.248899
Factor de Forma:	1.332870
Factor de Cresta:	7.220336
Varianza:	493.148744
Valor Medio:	16.700076
Moda:	-1.645410
Potencia del Espectro:	495.013503

## ANEXO A

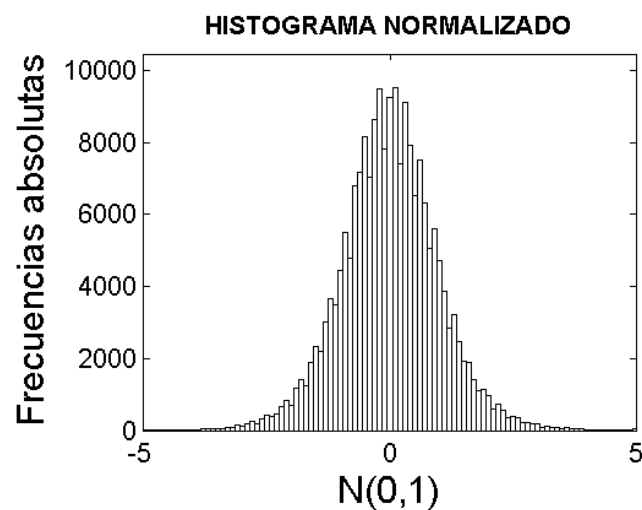


## ANEXO A

Reductora Con Carcasa

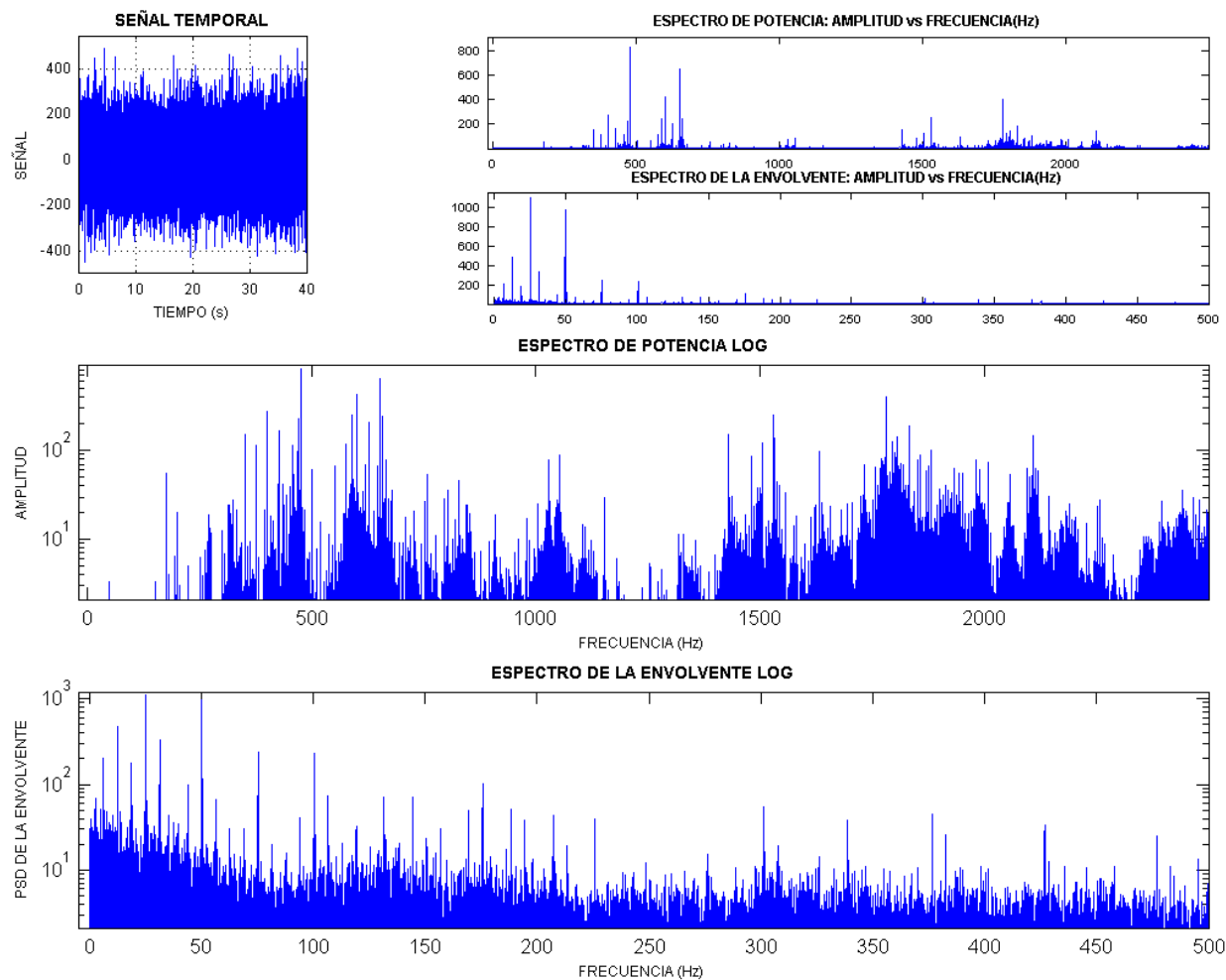
Punto 15

Velocidad (r.p.m) 1500



Media	-4.642844
Desviación Típica:	74.876496
Mediana:	-4.635581
Valor Máximo:	443.470630
Valor Mínimo:	-449.651400
Valor de Pico:	449.651400
Valor de Pico a Pico:	893.122030
Kurtosis:	4.423640
Sesgo:	0.032501
Valor Eficaz:	75.018433
Factor de Forma:	1.350575
Factor de Cresta:	5.993879
Varianza:	5606.489634
Valor Medio:	55.564506
Moda:	-4.621057
Potencia del Espectro:	5627.765309

# ANEXO A

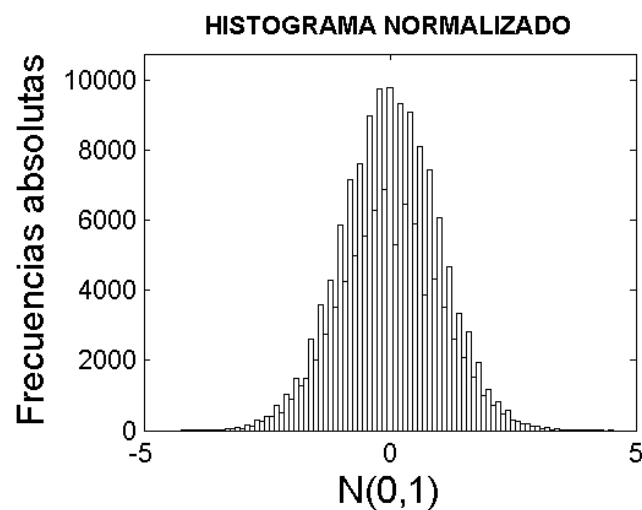


## ANEXO A

Reductora Con Carcasa

Punto 16

Velocidad (r.p.m) 0



Media -0.000429

Desviación Típica: 0.004175

Mediana: -0.000464

Valor Máximo: 0.016843

Valor Mínimo: -0.016225

Valor de Pico: 0.016843

Valor de Pico a Pico: 0.033067

Kurtosis: 2.921127

Sesgo: -0.012265

Valor Eficaz: 0.004197

Factor de Forma: 1.369896

Factor de Cresta: 4.013125

Varianza: 0.000017

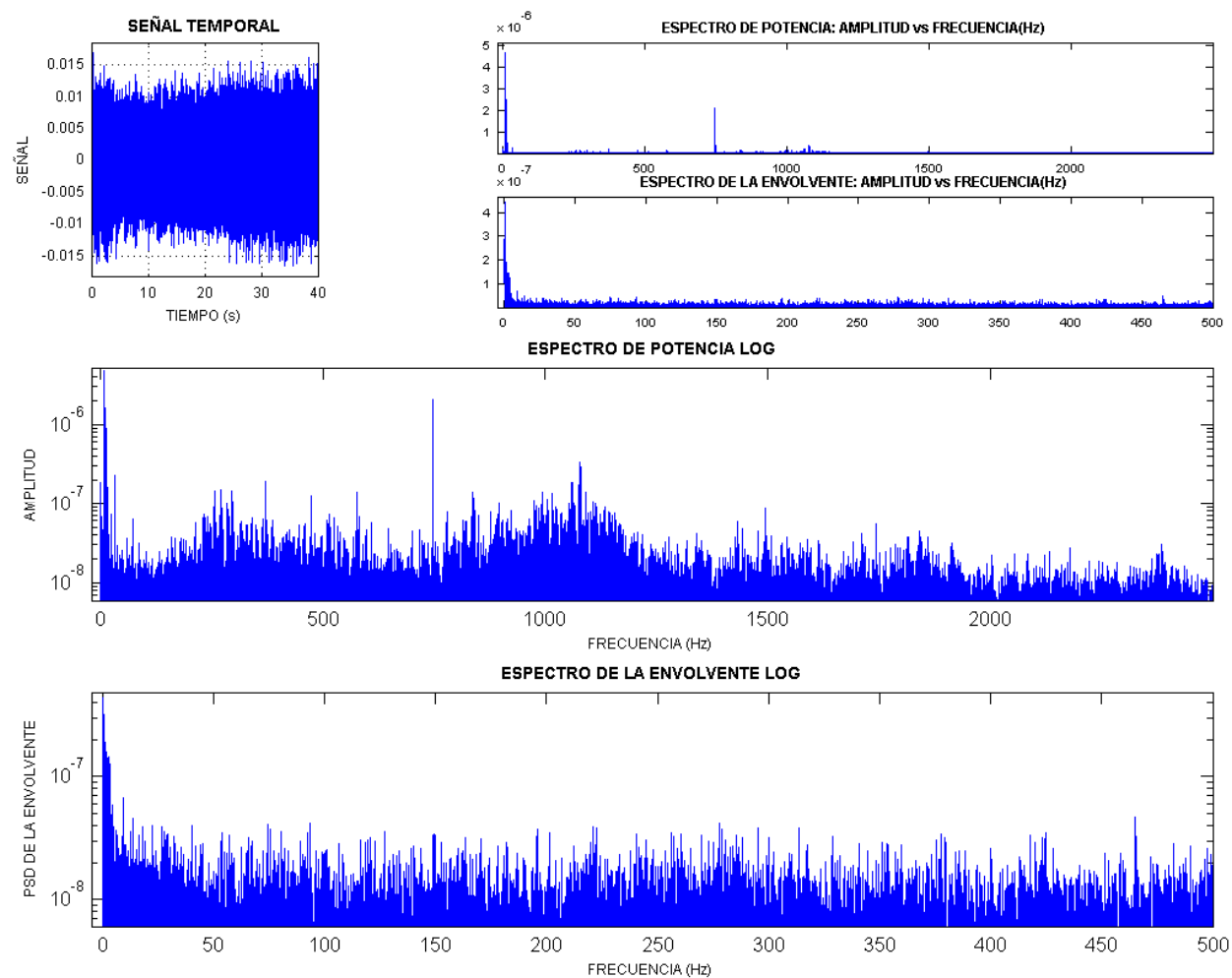
Valor Medio: 0.003090

Moda: -0.000533

Potencia del Espectro: 0.000018



## ANEXO A

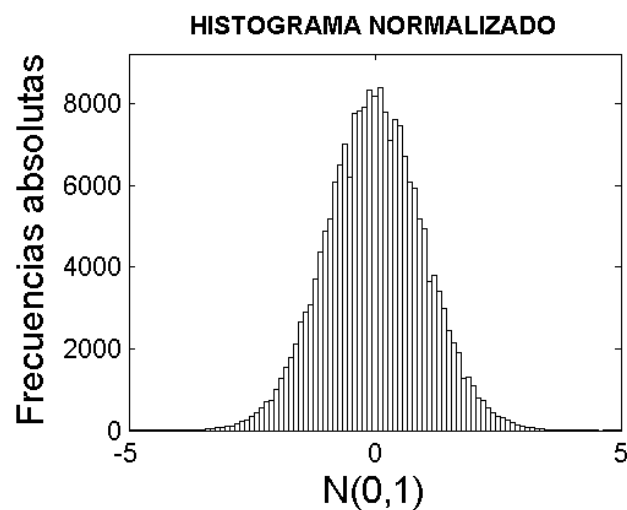


## ANEXO A

Reductora Con Carcasa

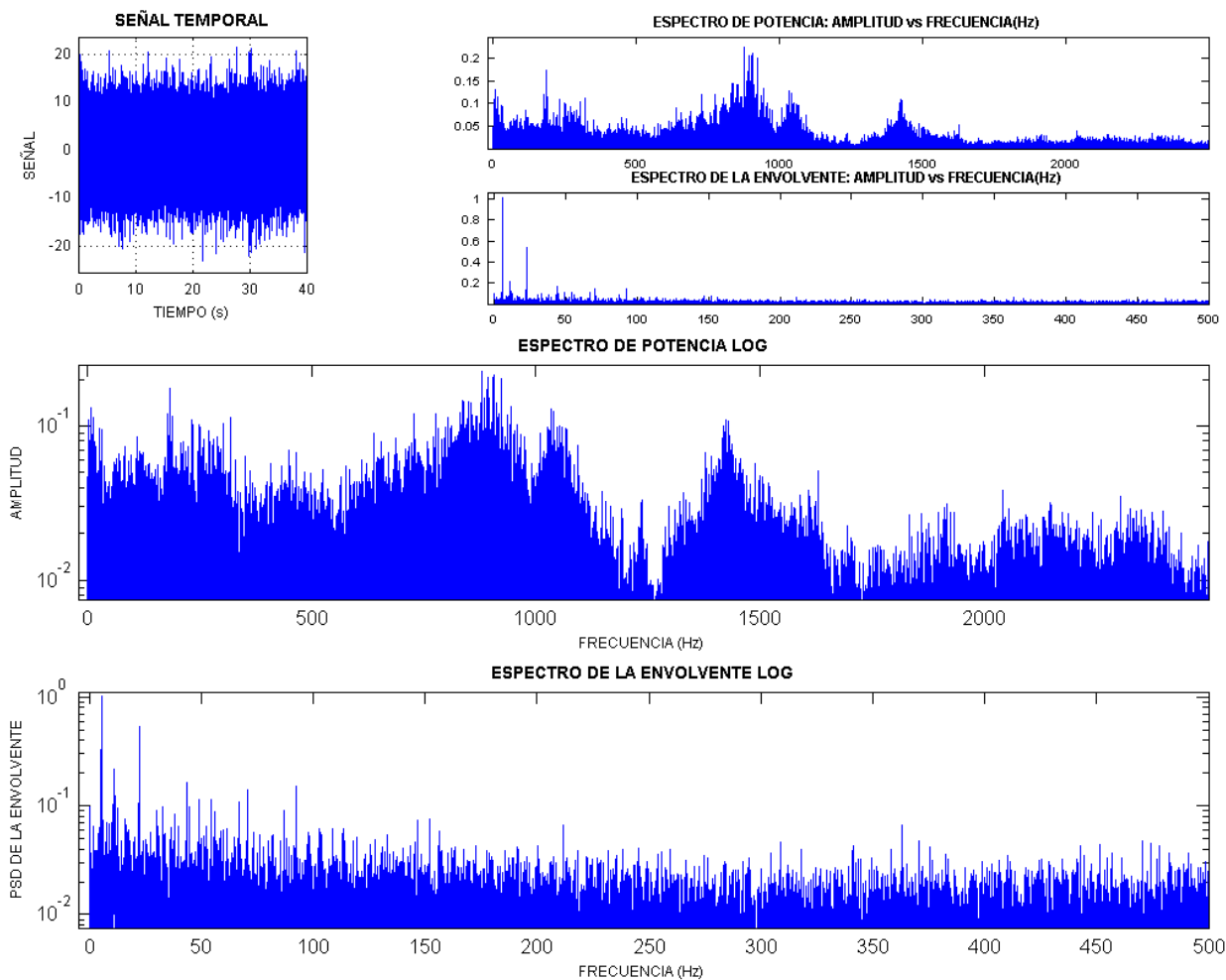
Punto 16

Velocidad (r.p.m) 300



Media	-0.146479
Desviación Típica:	4.454772
Mediana:	-0.146484
Valor Máximo:	20.019531
Valor Mínimo:	-17.480469
Valor de Pico:	20.019531
Valor de Pico a Pico:	37.500000
Kurtosis:	3.225054
Sesgo:	-0.007061
Valor Eficaz:	4.457068
Factor de Forma:	1.299435
Factor de Cresta:	4.491637
Varianza:	19.844990
Valor Medio:	3.431454
Moda:	-0.146494
Potencia del Espectro:	19.865454

## ANEXO A

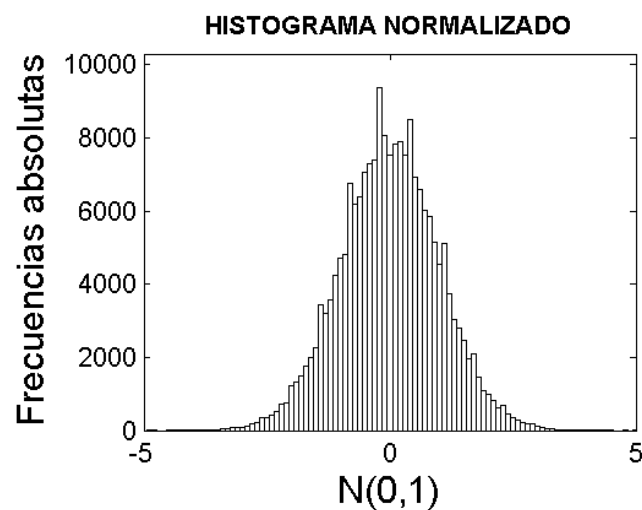


## ANEXO A

Reductora Con Carcasa

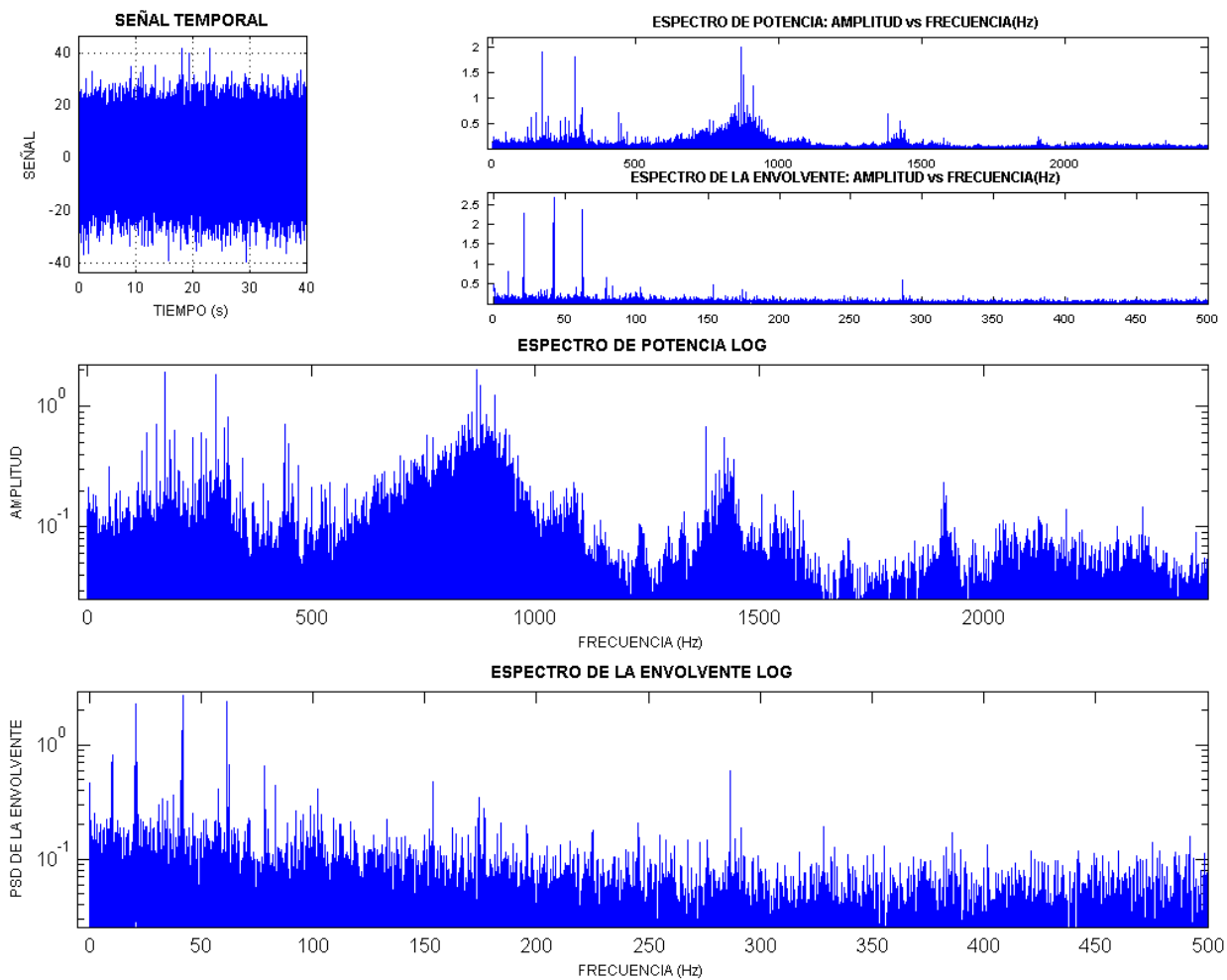
Punto 16

Velocidad (r.p.m) 600



Media	-0.501601
Desviación Típica:	8.035757
Mediana:	-0.618078
Valor Máximo:	33.067148
Valor Mínimo:	-36.621094
Valor de Pico:	36.621094
Valor de Pico a Pico:	69.688242
Kurtosis:	3.190442
Sesgo:	-0.023126
Valor Eficaz:	8.051197
Factor de Forma:	1.272773
Factor de Cresta:	4.548528
Varianza:	64.573391
Valor Medio:	6.329896
Moda:	-0.851031
Potencia del Espectro:	64.821766

## ANEXO A

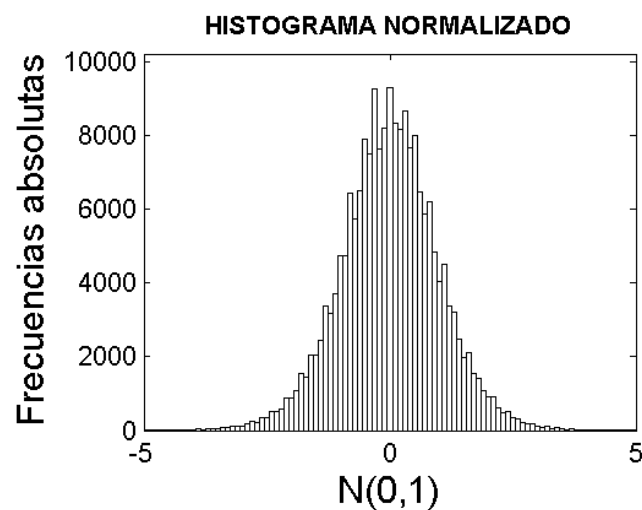


## ANEXO A

Reductora Con Carcasa

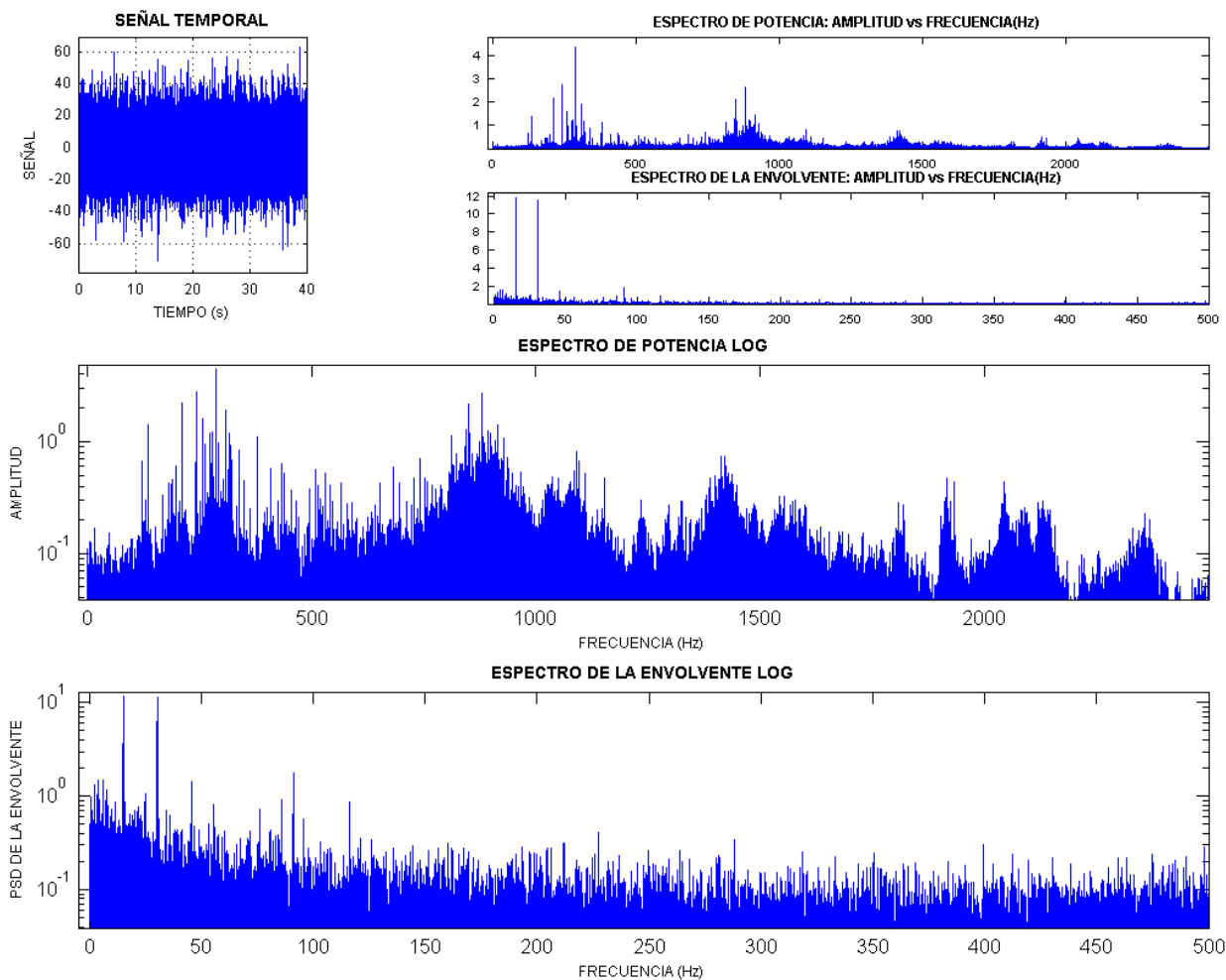
Punto 16

Velocidad (r.p.m) 900



Media	-0.419930
Desviación Típica:	9.916359
Mediana:	-0.386298
Valor Máximo:	48.673606
Valor Mínimo:	-57.790249
Valor de Pico:	57.790249
Valor de Pico a Pico:	106.463855
Kurtosis:	3.803518
Sesgo:	-0.021375
Valor Eficaz:	9.924999
Factor de Forma:	1.300815
Factor de Cresta:	5.822696
Varianza:	98.334180
Valor Medio:	7.630543
Moda:	-0.319036
Potencia del Espectro:	98.505604

## ANEXO A

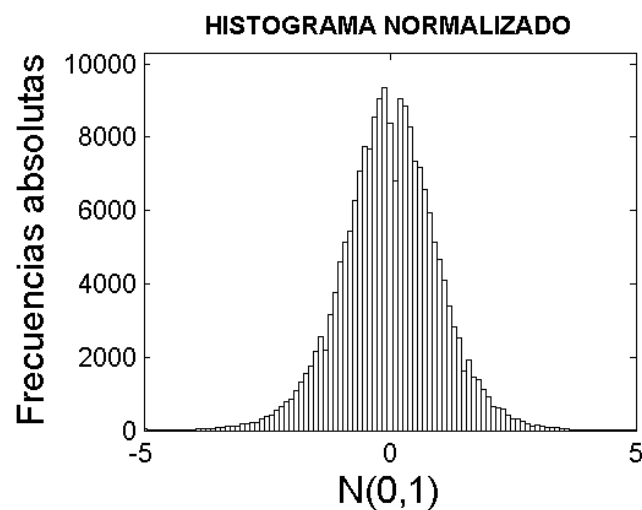


## ANEXO A

Reductora Con Carcasa

Punto 16

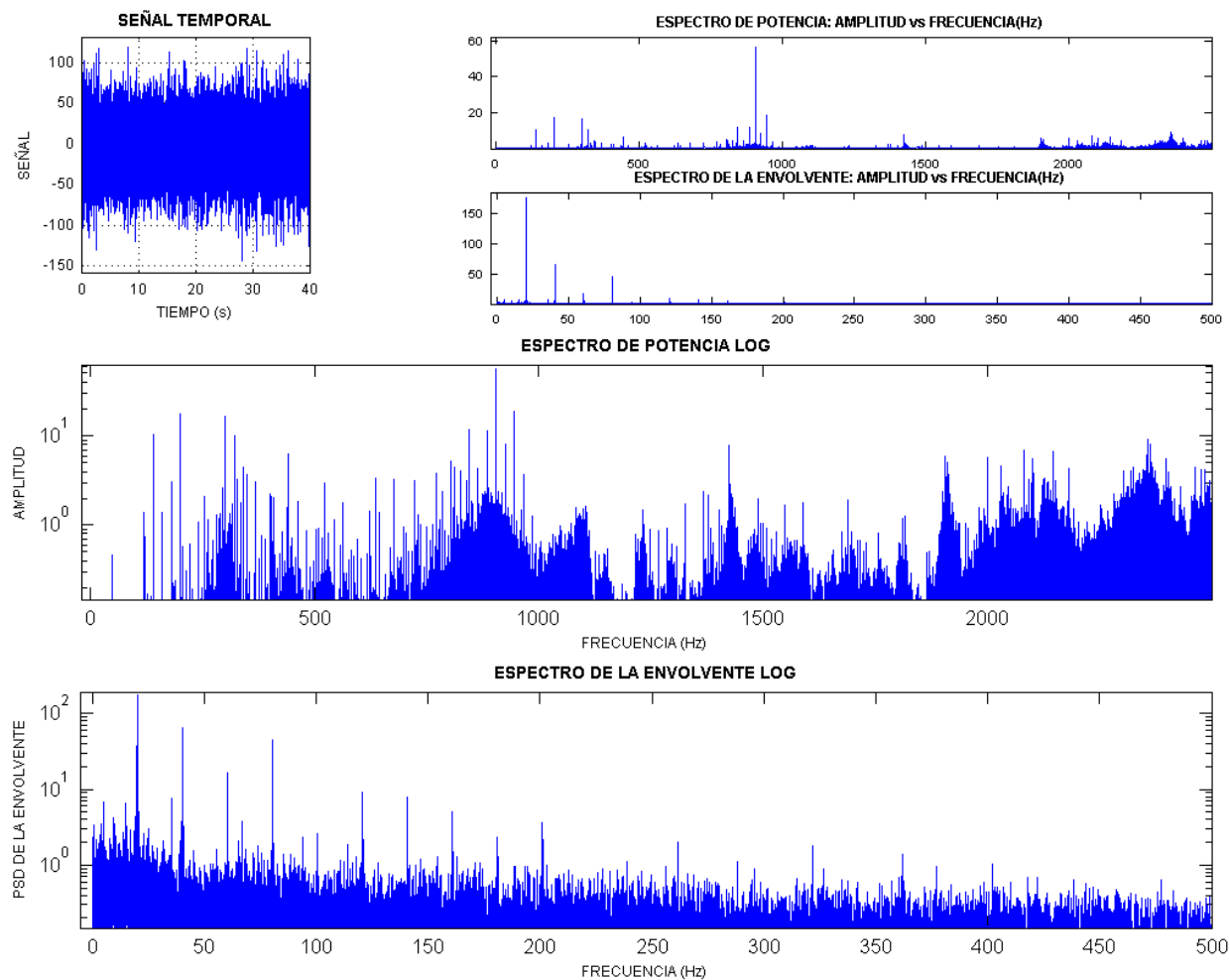
Velocidad (r.p.m) 1200



Media	-1.430127
Desviación Típica:	19.802785
Mediana:	-1.464844
Valor Máximo:	116.699220
Valor Mínimo:	-130.371090
Valor de Pico:	130.371090
Valor de Pico a Pico:	247.070310
Kurtosis:	4.551464
Sesgo:	-0.120798
Valor Eficaz:	19.853865
Factor de Forma:	1.350145
Factor de Cresta:	6.566535
Varianza:	392.150283
Valor Medio:	14.710806
Moda:	-1.534277
Potencia del Espectro:	394.175938



## ANEXO A

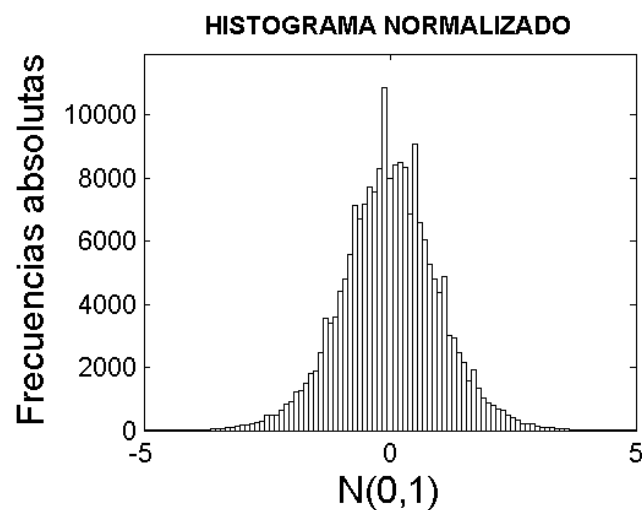


## ANEXO A

Reductora Con Carcasa

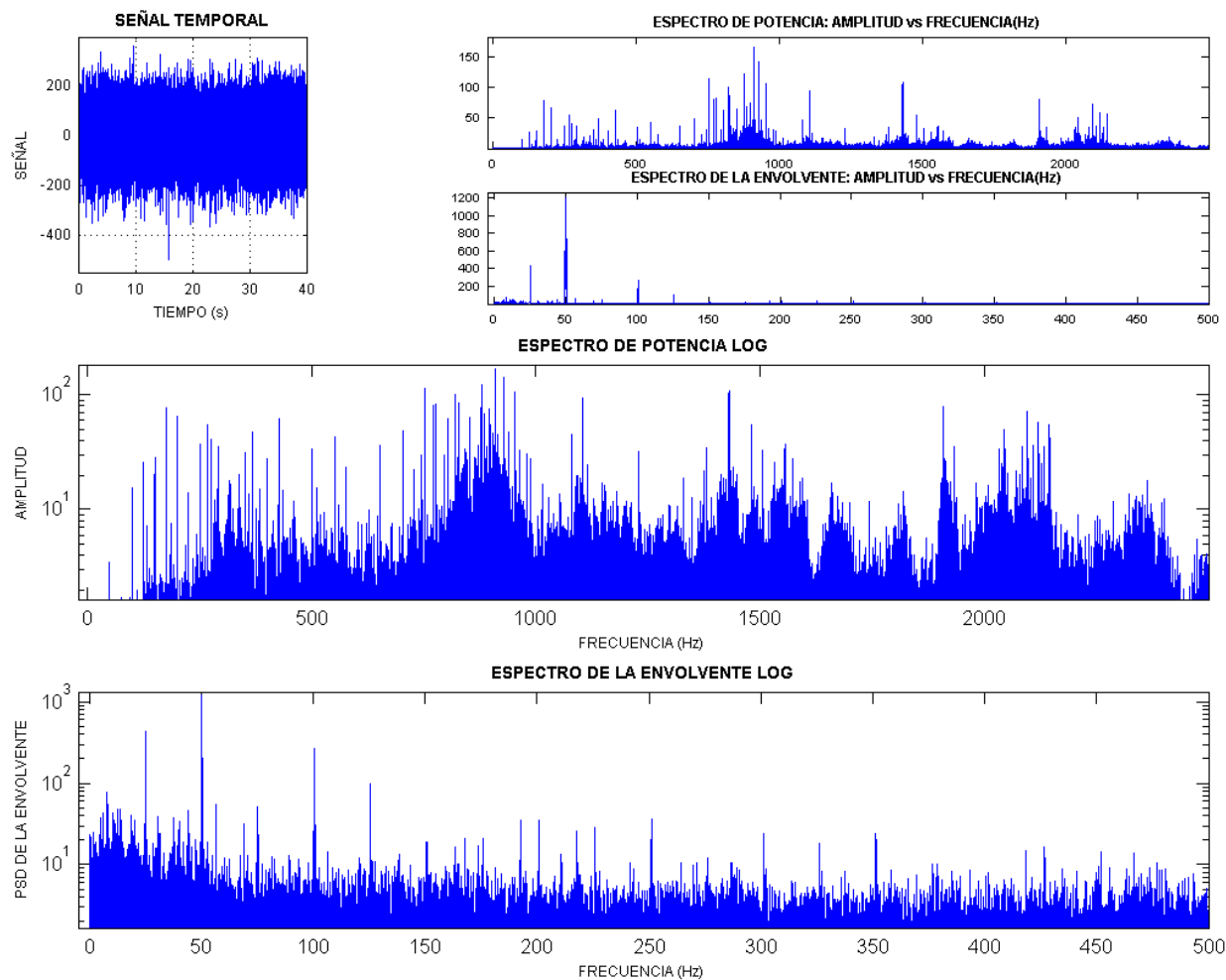
Punto 16

Velocidad (r.p.m) 1500



Media	-4.395149
Desviación Típica:	65.000427
Mediana:	-4.635581
Valor Máximo:	288.951250
Valor Mínimo:	-352.304190
Valor de Pico:	352.304190
Valor de Pico a Pico:	641.255440
Kurtosis:	3.834367
Sesgo:	-0.038016
Valor Eficaz:	65.147230
Factor de Forma:	1.309622
Factor de Cresta:	5.407815
Varianza:	4225.055493
Valor Medio:	49.749138
Moda:	-5.116446
Potencia del Espectro:	4244.161578

## ANEXO A

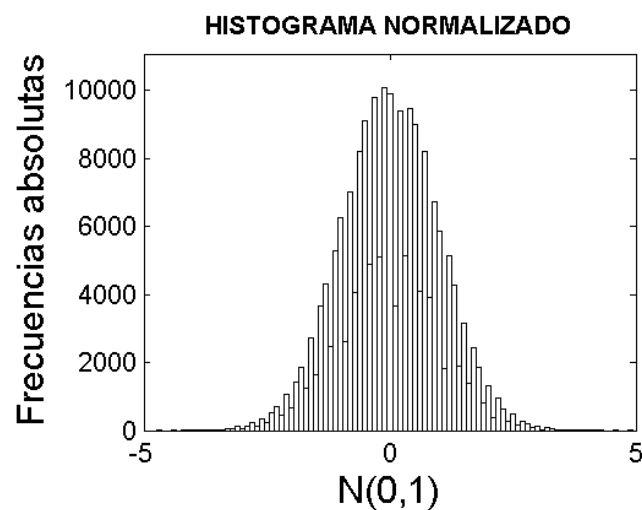


## ANEXO A

Reductora Con Carcasa

Punto 17

Velocidad (r.p.m) 0



Media -0.000384

Desviación Típica: 0.002398

Mediana: -0.000464

Valor Máximo: 0.010353

Valor Mínimo: -0.012053

Valor de Pico: 0.012053

Valor de Pico a Pico: 0.022405

Kurtosis: 3.162654

Sesgo: -0.043464

Valor Eficaz: 0.002428

Factor de Forma: 1.212611

Factor de Cresta: 4.963166

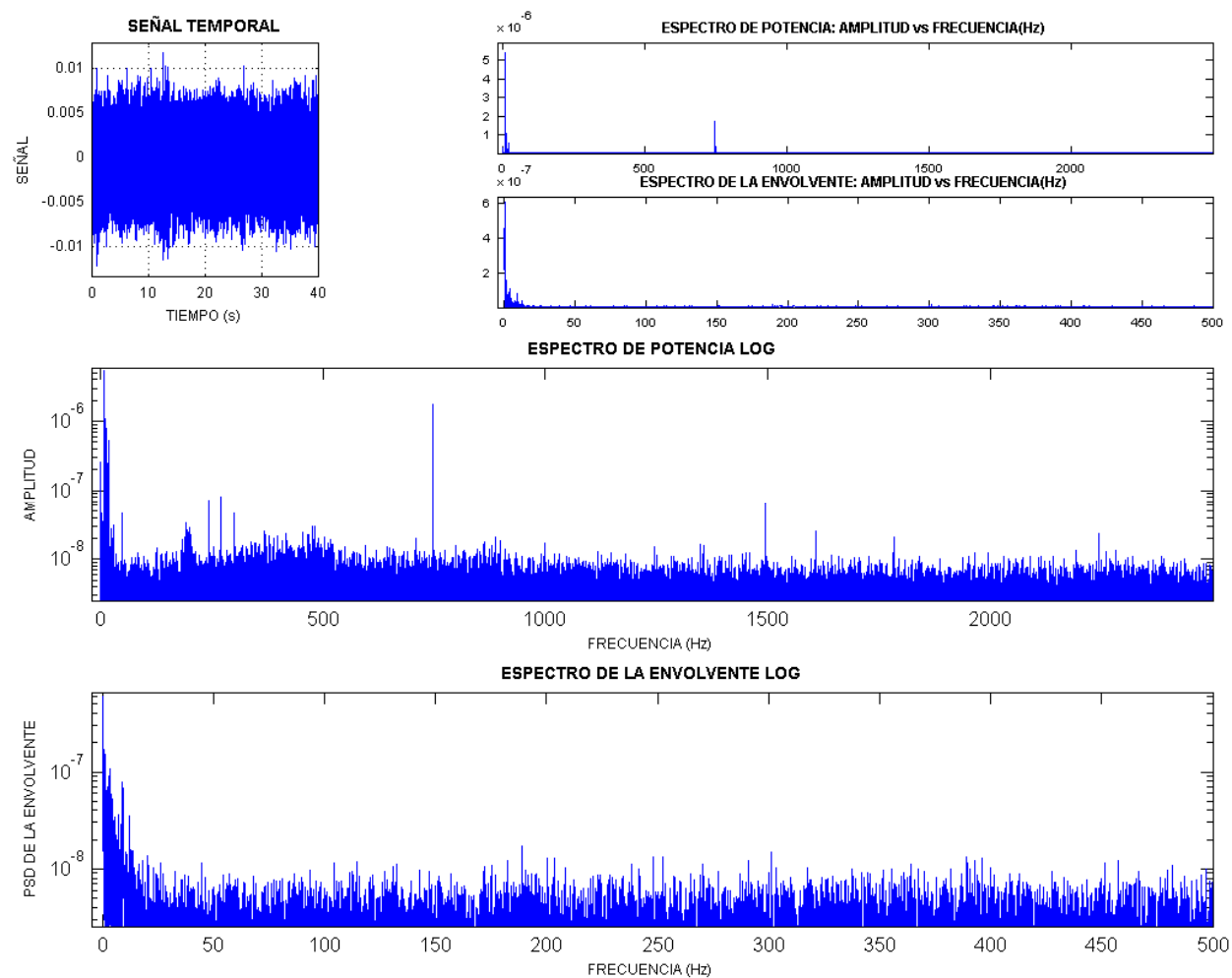
Varianza: 0.000006

Valor Medio: 0.002009

Moda: -0.000622

Potencia del Espectro: 0.000006

## ANEXO A

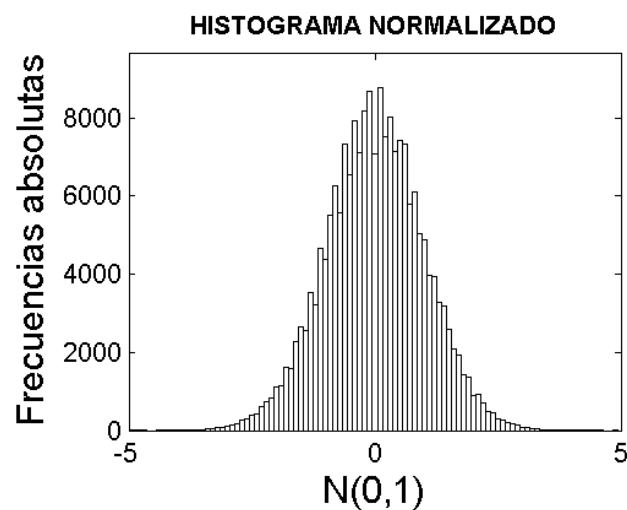


## ANEXO A

Reductora Con Carcasa

Punto 17

Velocidad (r.p.m) 300



Media -0.042506

Desviación Típica: 1.021188

Mediana: -0.046356

Valor Máximo: 4.295639

Valor Mínimo: -4.264735

Valor de Pico: 4.295639

Valor de Pico a Pico: 8.560374

Kurtosis: 3.183460

Sesgo: -0.021760

Valor Eficaz: 1.022047

Factor de Forma: 1.269619

Factor de Cresta: 4.202975

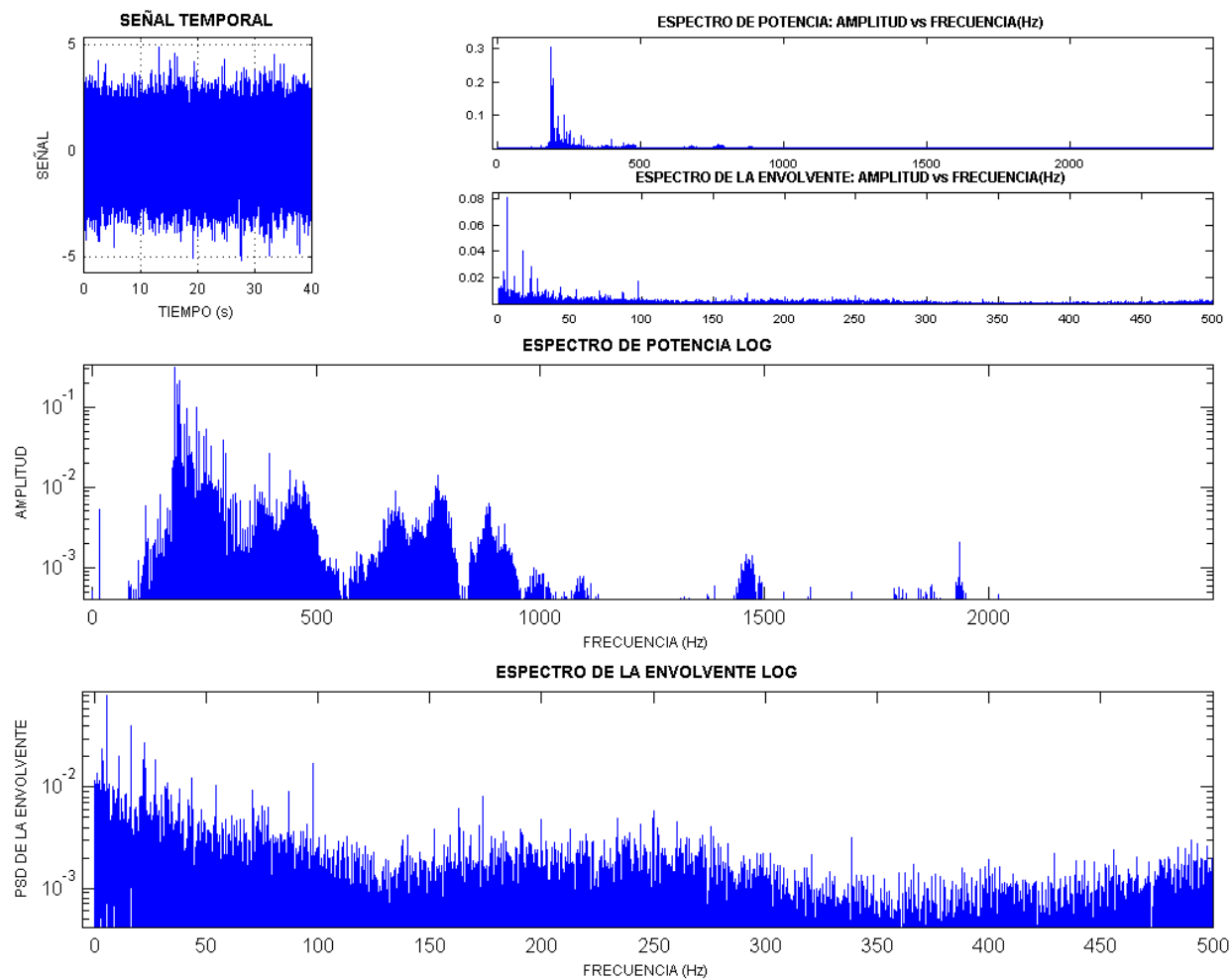
Varianza: 1.042826

Valor Medio: 0.805393

Moda: -0.054056

Potencia del Espectro: 1.044580

## ANEXO A

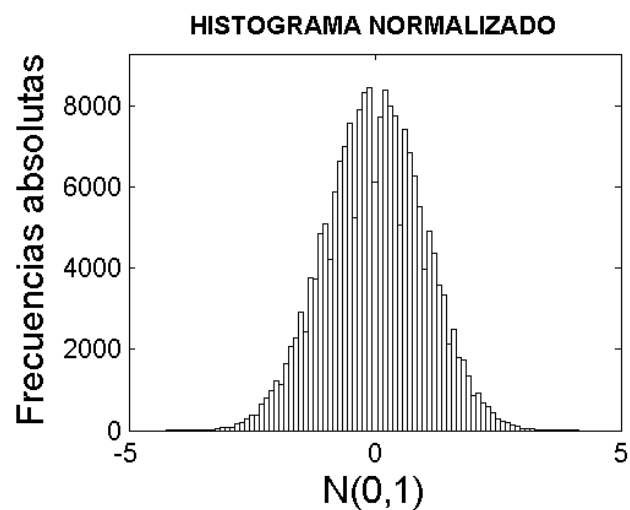


## ANEXO A

Reductora Con Carcasa

Punto 17

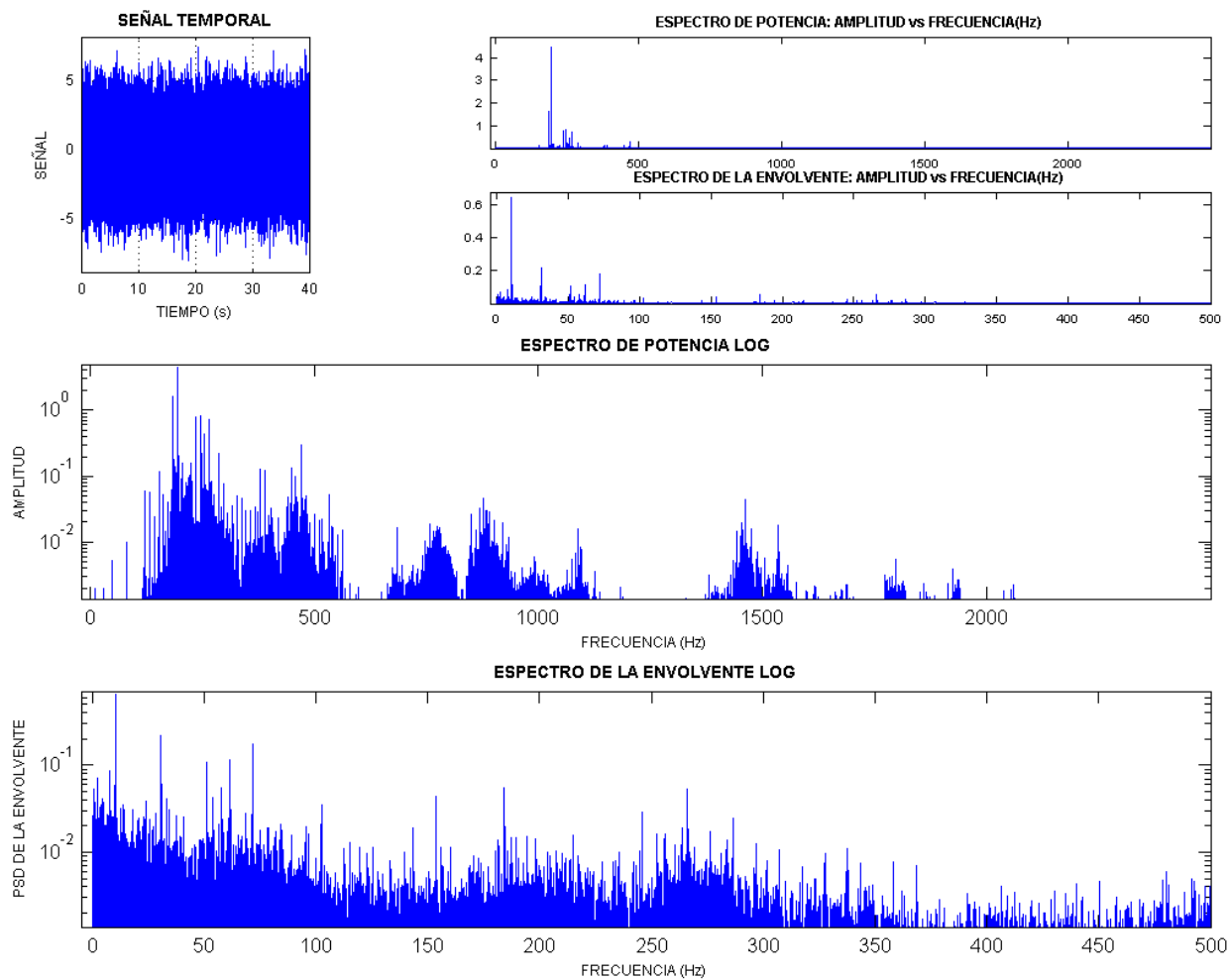
Velocidad (r.p.m) 600



Media	-0.140142
Desviación Típica:	1.885185
Mediana:	-0.146484
Valor Máximo:	6.542969
Valor Mínimo:	-7.324219
Valor de Pico:	7.324219
Valor de Pico a Pico:	13.867188
Kurtosis:	2.899002
Sesgo:	-0.026180
Valor Eficaz:	1.890340
Factor de Forma:	1.267767
Factor de Cresta:	3.874552
Varianza:	3.553922
Valor Medio:	1.491350
Moda:	-0.159170
Potencia del Espectro:	3.573384



## ANEXO A

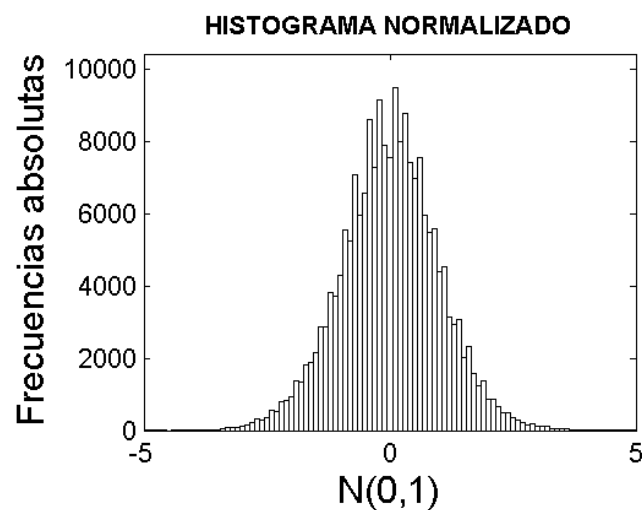


## ANEXO A

Reductora Con Carcasa

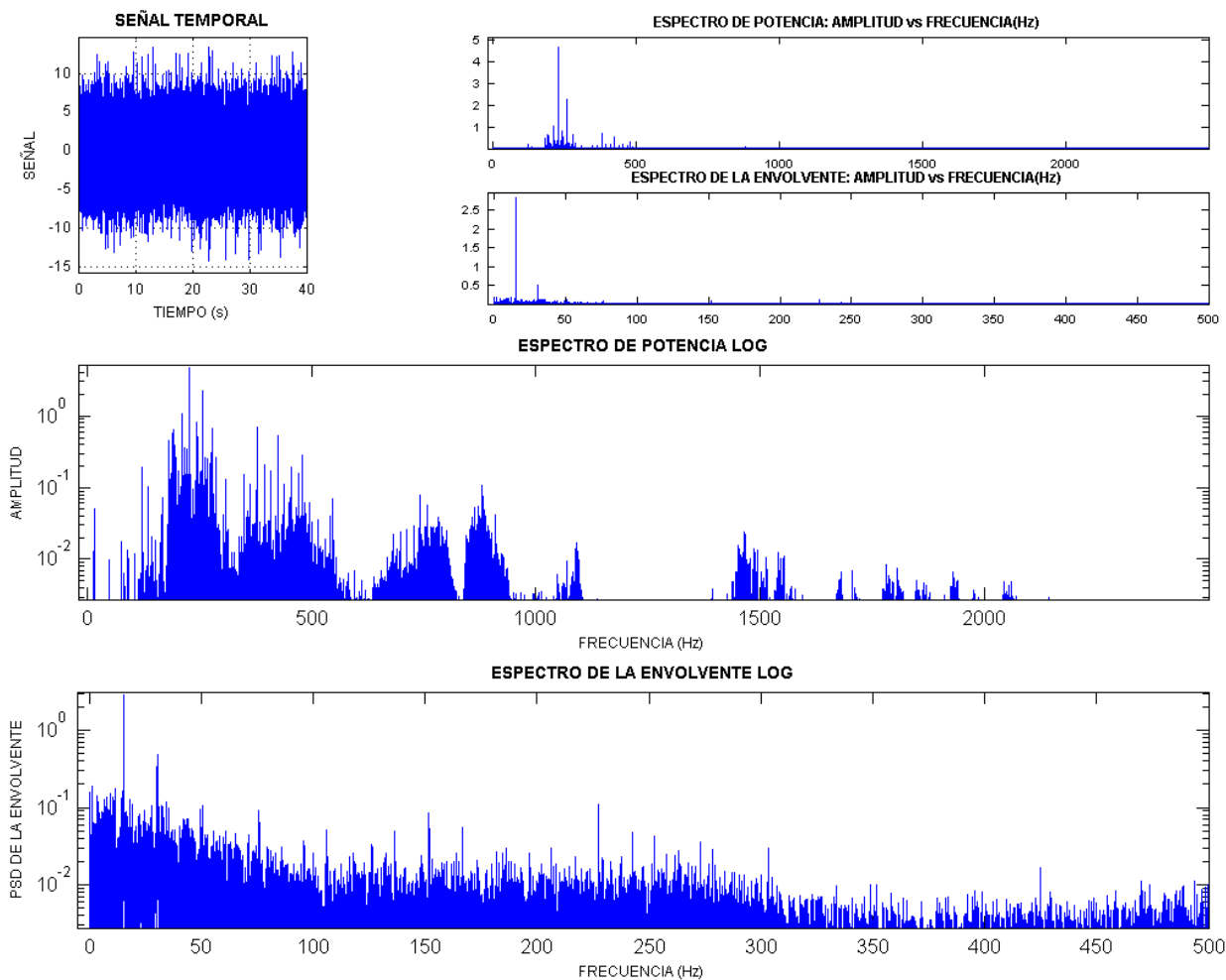
Punto 17

Velocidad (r.p.m) 900



Media	-0.139761
Desviación Típica:	2.511371
Mediana:	-0.146484
Valor Máximo:	12.451172
Valor Mínimo:	-10.253906
Valor de Pico:	12.451172
Valor de Pico a Pico:	22.705078
Kurtosis:	3.533996
Sesgo:	-0.028844
Valor Eficaz:	2.515195
Factor de Forma:	1.221740
Factor de Cresta:	4.950381
Varianza:	6.306987
Valor Medio:	2.059759
Moda:	-0.159932
Potencia del Espectro:	6.326204

# ANEXO A

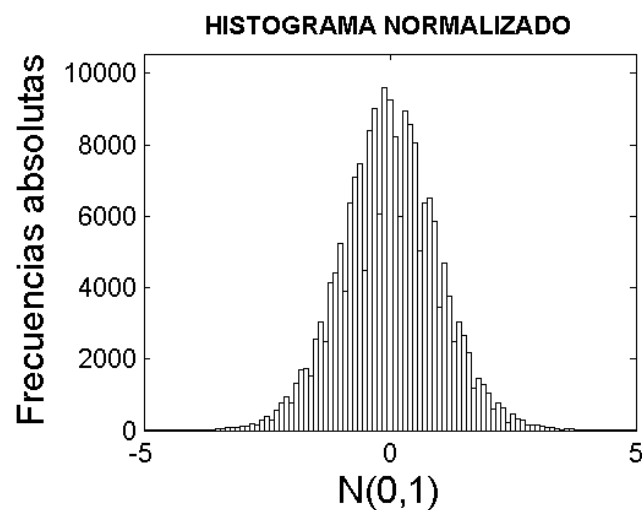


## ANEXO A

Reductora Con Carcasa

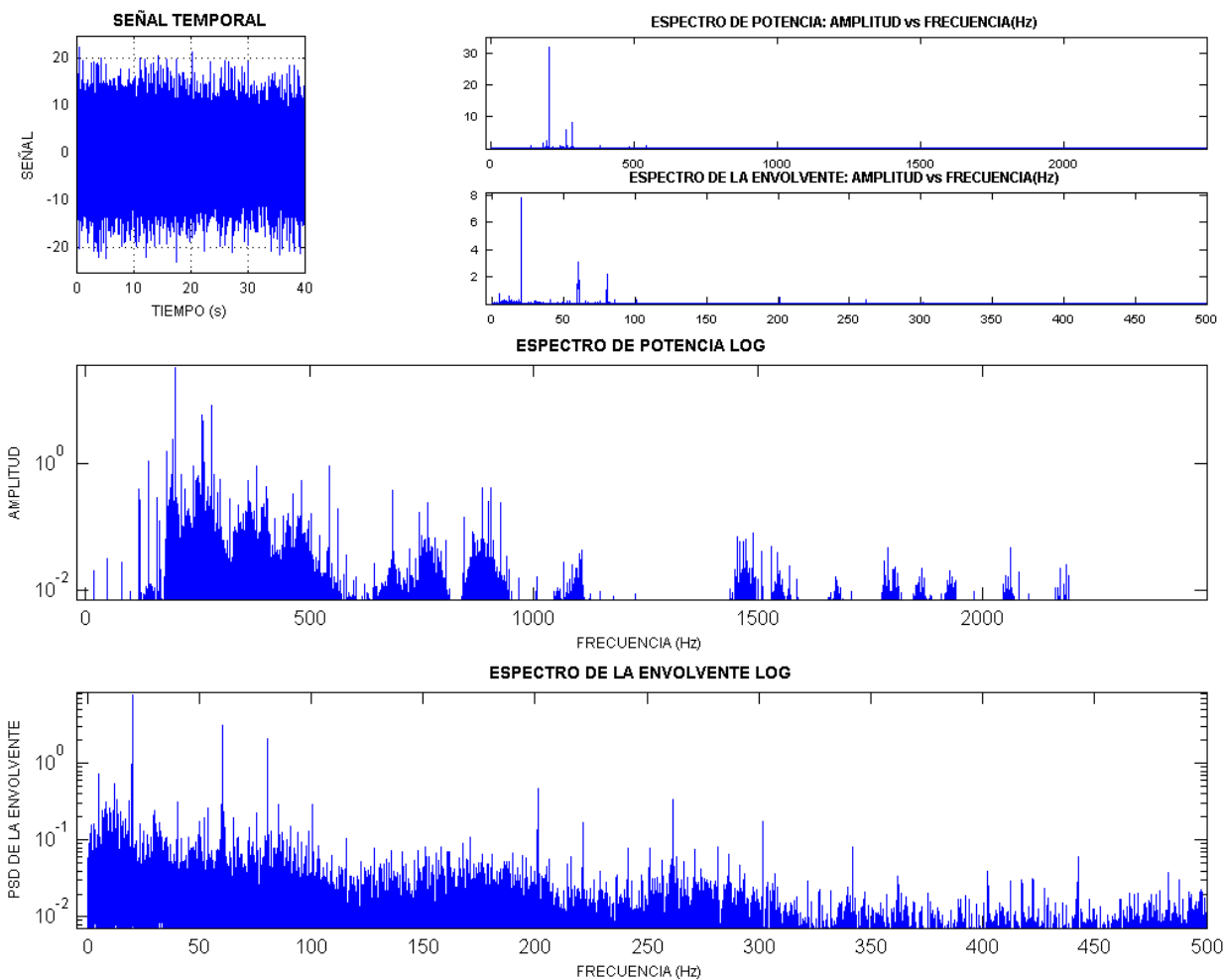
Punto 17

Velocidad (r.p.m) 1200



Media	-0.457424
Desviación Típica:	4.295269
Mediana:	-0.463558
Valor Máximo:	22.250791
Valor Mínimo:	-21.941752
Valor de Pico:	22.250791
Valor de Pico a Pico:	44.192543
Kurtosis:	3.609912
Sesgo:	0.013574
Valor Eficaz:	4.319450
Factor de Forma:	1.297196
Factor de Cresta:	5.151302
Varianza:	18.449332
Valor Medio:	3.330675
Moda:	-0.475827
Potencia del Espectro:	18.657646

# ANEXO A

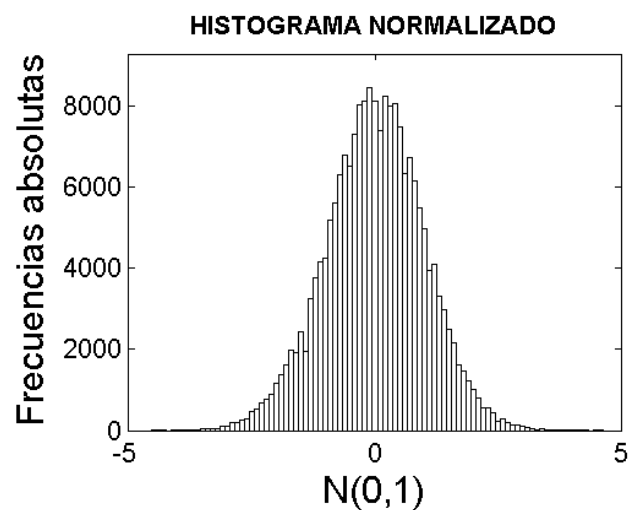


## ANEXO A

Reductora Con Carcasa

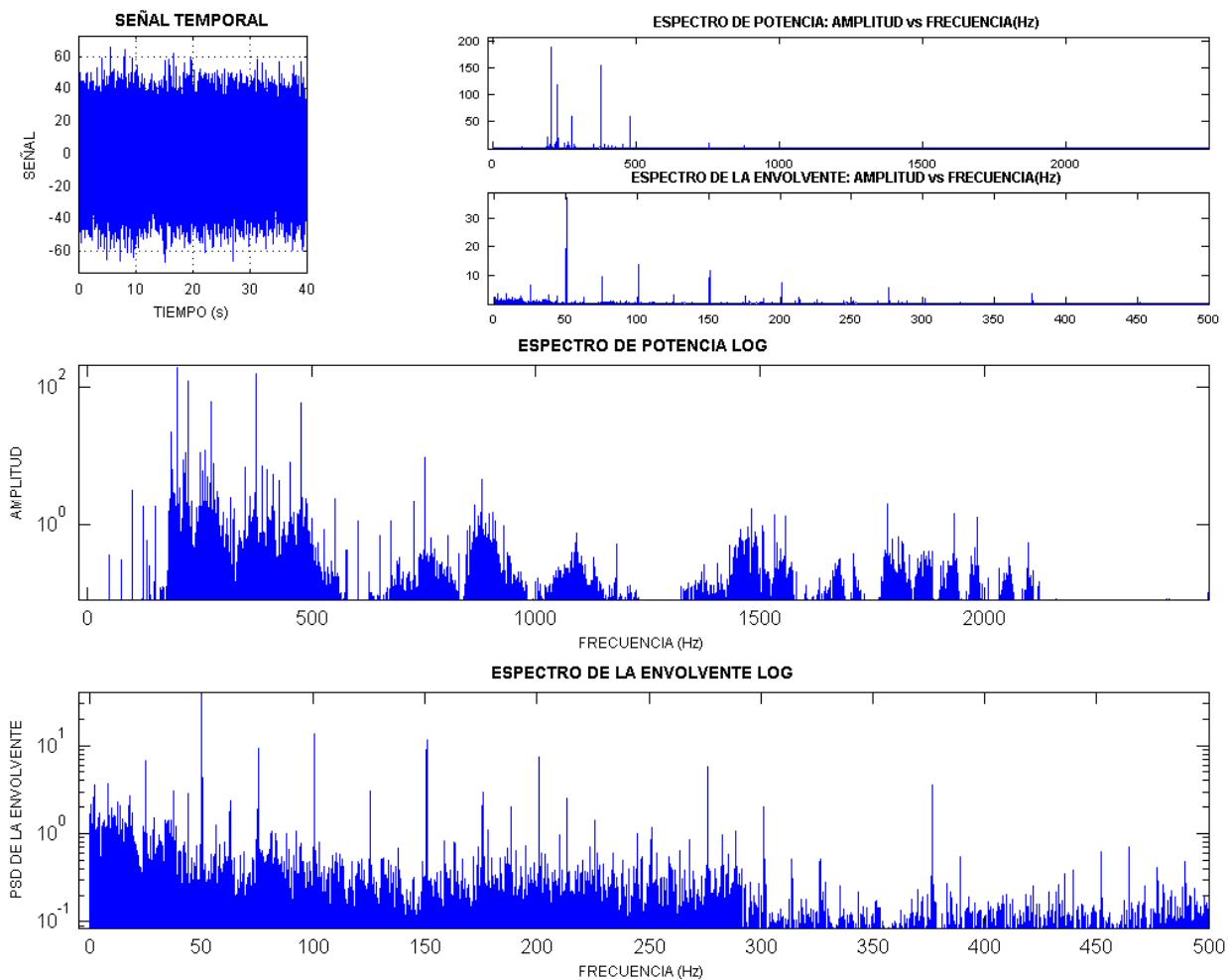
Punto 17

Velocidad (r.p.m) 1500



Media	-1.382349
Desviación Típica:	14.014571
Mediana:	-1.464844
Valor Máximo:	53.222656
Valor Mínimo:	-58.593750
Valor de Pico:	58.593750
Valor de Pico a Pico:	111.816406
Kurtosis:	3.197464
Sesgo:	-0.037388
Valor Eficaz:	14.082232
Factor de Forma:	1.219606
Factor de Cresta:	4.160828
Varianza:	196.408201
Valor Medio:	11.555198
Moda:	-1.629834
Potencia del Espectro:	198.309269

## ANEXO A

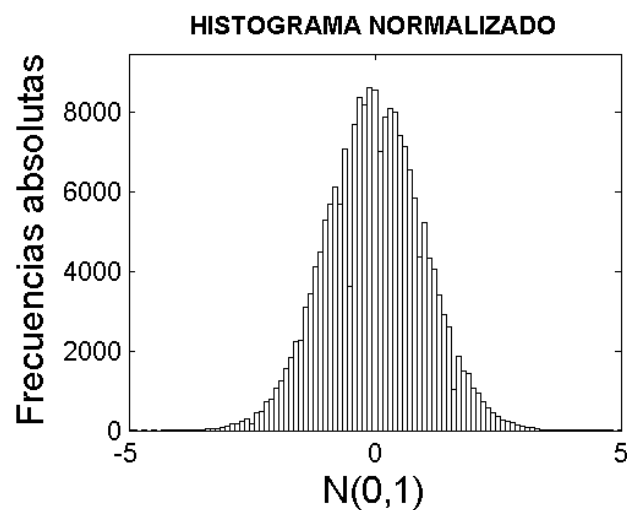


## ANEXO A

Reductora Con Carcasa

Punto 18

Velocidad (r.p.m) 0



Media -0.000427

Desviación Típica: 0.002867

Mediana: -0.000464

Valor Máximo: 0.013289

Valor Mínimo: -0.012362

Valor de Pico: 0.013289

Valor de Pico a Pico: 0.025650

Kurtosis: 3.195975

Sesgo: 0.085740

Valor Eficaz: 0.002898

Factor de Forma: 1.203675

Factor de Cresta: 4.585136

Varianza: 0.000008

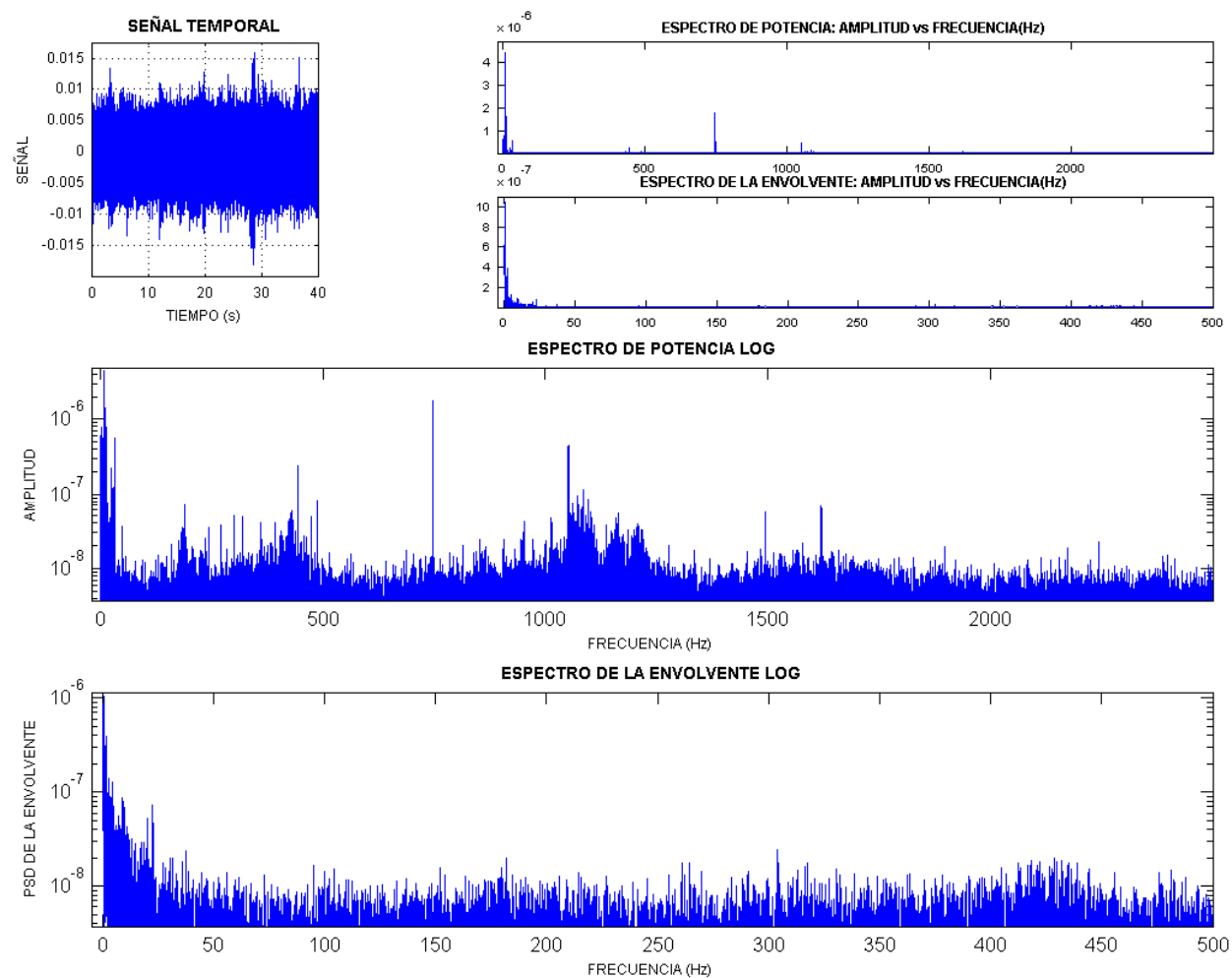
Valor Medio: 0.002427

Moda: -0.000536

Potencia del Espectro: 0.000008



## ANEXO A

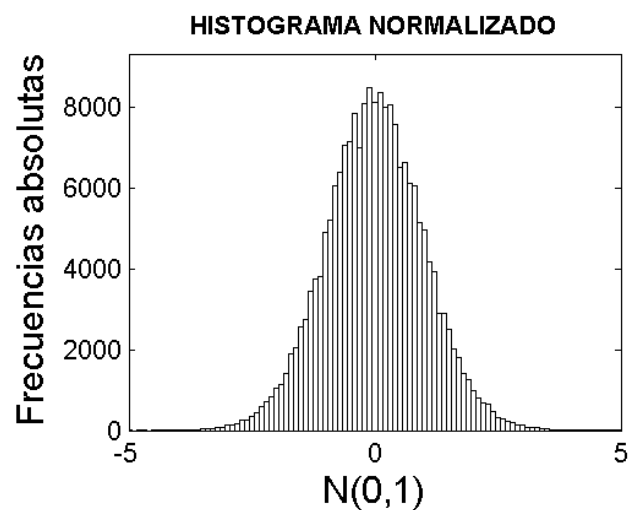


## ANEXO A

Reductora Con Carcasa

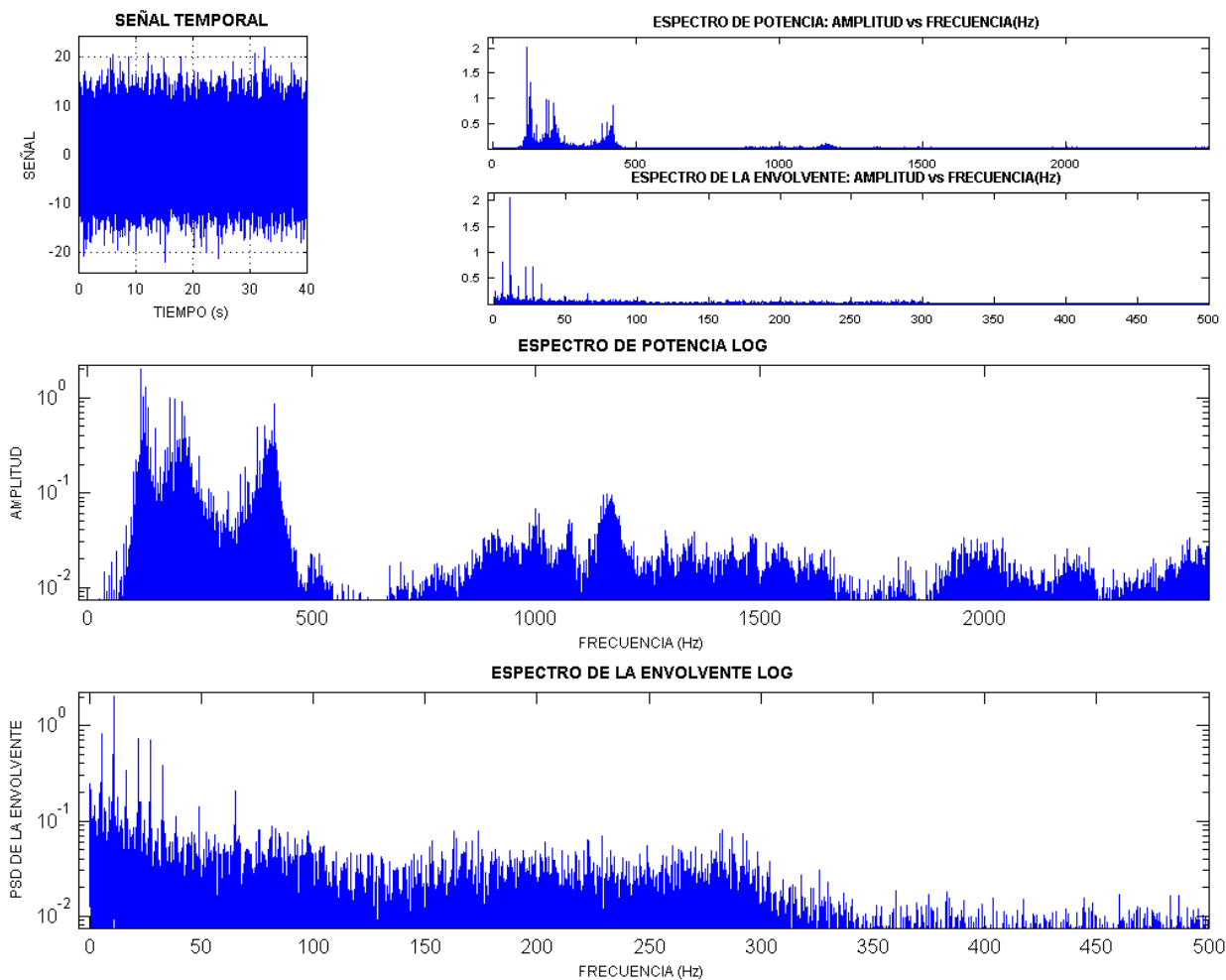
Punto 18

Velocidad (r.p.m) 300



Media	-0.135464
Desviación Típica:	4.287792
Mediana:	-0.195313
Valor Máximo:	17.138672
Valor Mínimo:	-20.703125
Valor de Pico:	20.703125
Valor de Pico a Pico:	37.841797
Kurtosis:	3.296268
Sesgo:	0.021524
Valor Eficaz:	4.289825
Factor de Forma:	1.253612
Factor de Cresta:	4.826101
Varianza:	18.385164
Valor Medio:	3.424455
Moda:	-0.315010
Potencia del Espectro:	18.402595

# ANEXO A

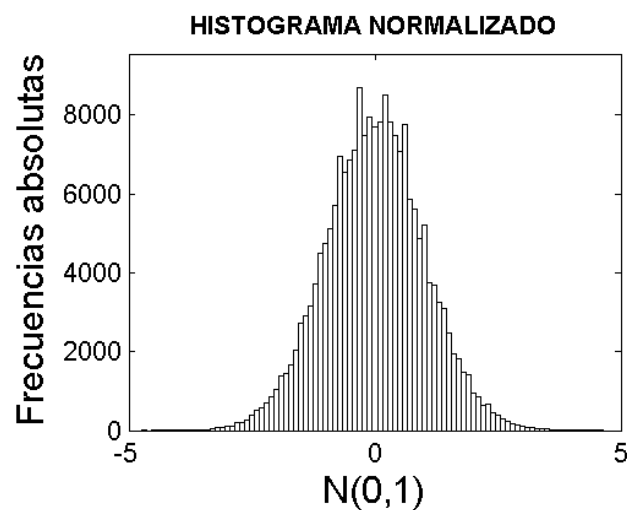


## ANEXO A

Reductora Con Carcasa

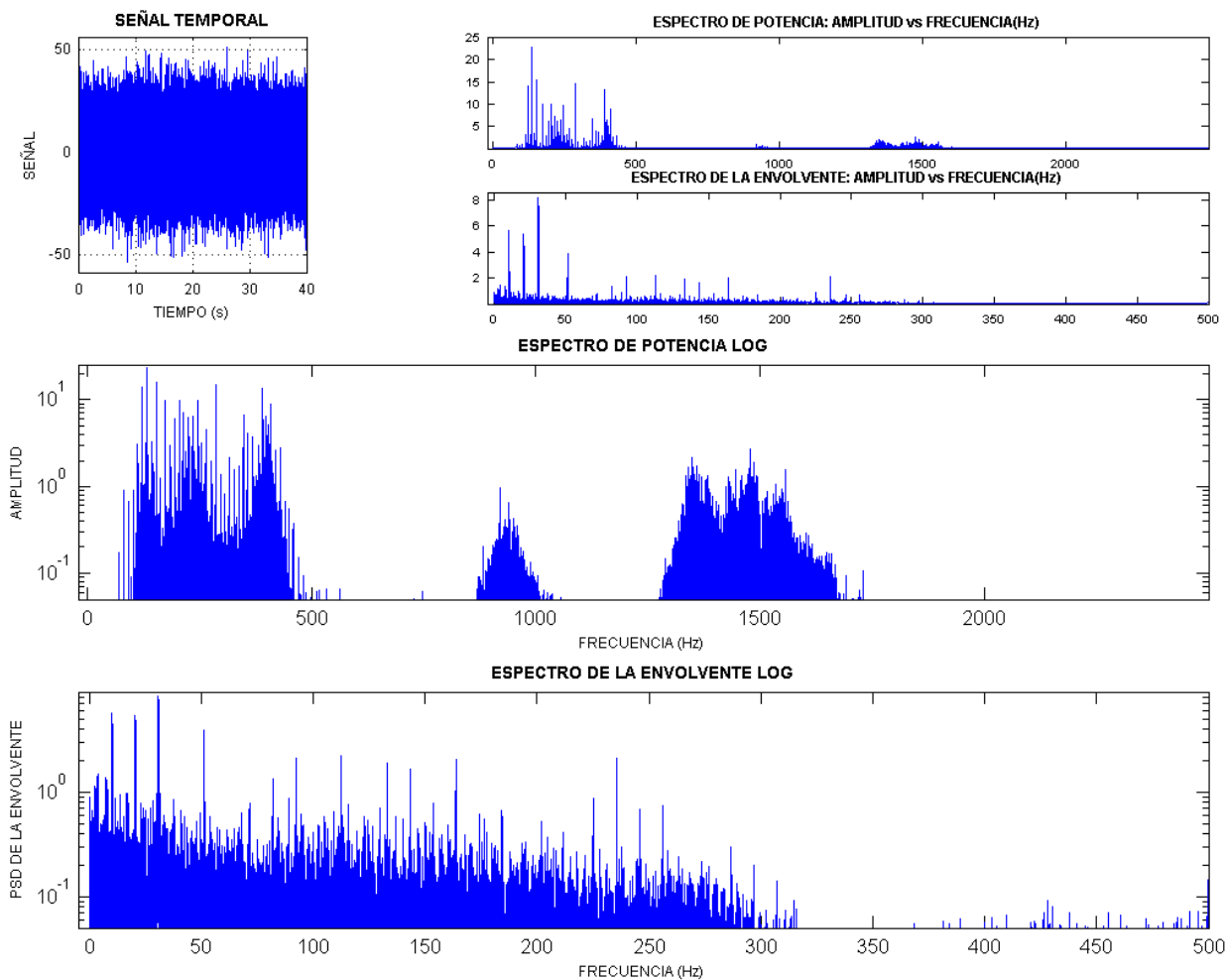
Punto 18

Velocidad (r.p.m) 600



Media	-0.457323
Desviación Típica:	11.119664
Mediana:	-0.463558
Valor Máximo:	44.810621
Valor Mínimo:	-40.484078
Valor de Pico:	44.810621
Valor de Pico a Pico:	85.294699
Kurtosis:	3.093406
Sesgo:	0.024298
Valor Eficaz:	11.128786
Factor de Forma:	1.256100
Factor de Cresta:	4.026551
Varianza:	123.646924
Valor Medio:	8.863472
Moda:	-0.476028
Potencia del Espectro:	123.849886

## ANEXO A

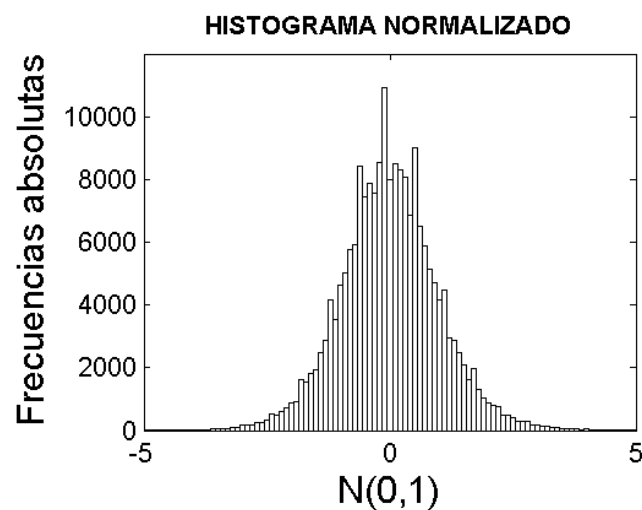


## ANEXO A

Reductora Con Carcasa

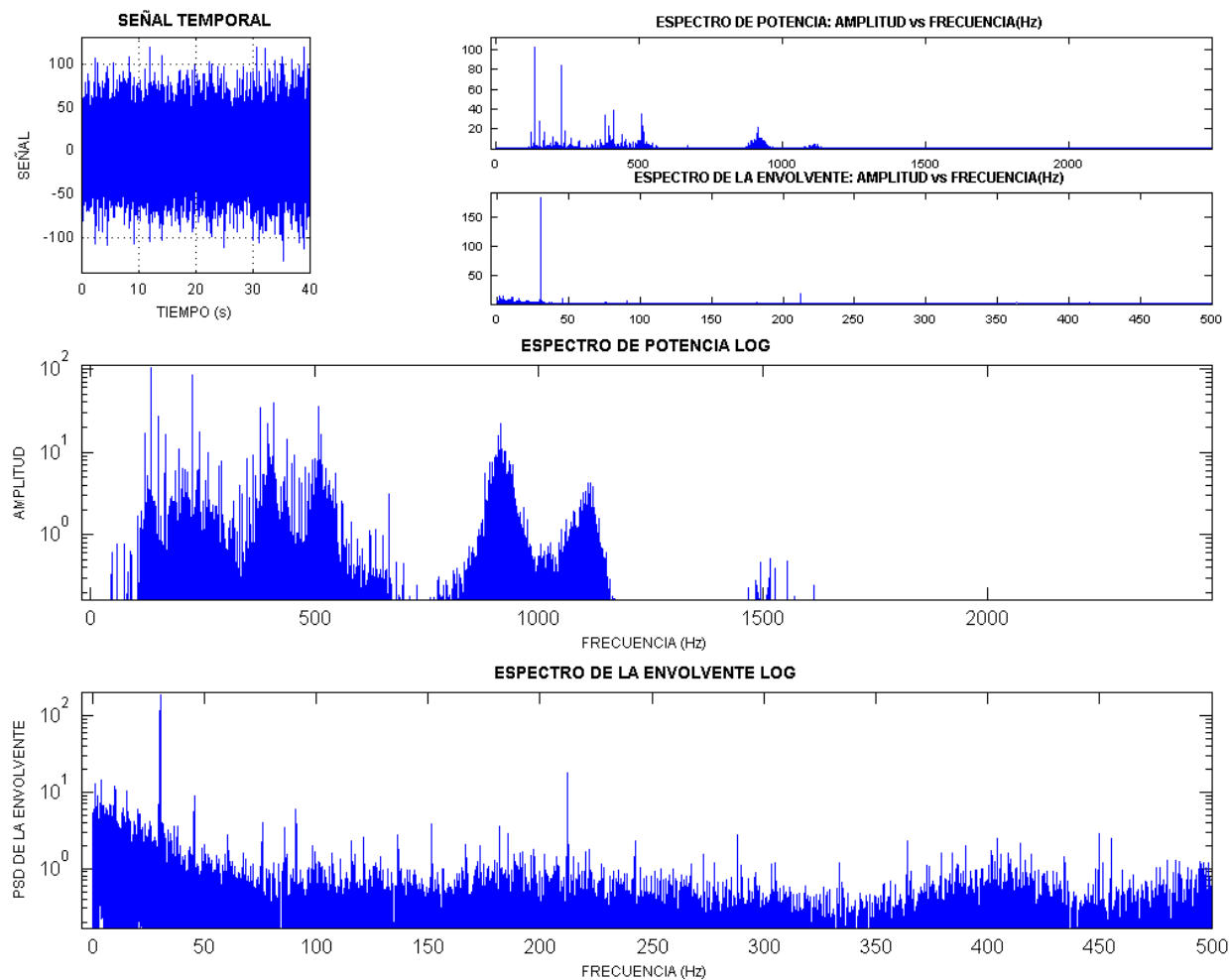
Punto 18

Velocidad (r.p.m) 900



Media	-1.401660
Desviación Típica:	20.416993
Mediana:	-1.953125
Valor Máximo:	106.933590
Valor Mínimo:	-107.421880
Valor de Pico:	107.421880
Valor de Pico a Pico:	214.355470
Kurtosis:	3.727927
Sesgo:	0.113922
Valor Eficaz:	20.464540
Factor de Forma:	1.302420
Factor de Cresta:	5.249171
Varianza:	416.853593
Valor Medio:	15.724480
Moda:	-3.056055
Potencia del Espectro:	418.797401

## ANEXO A

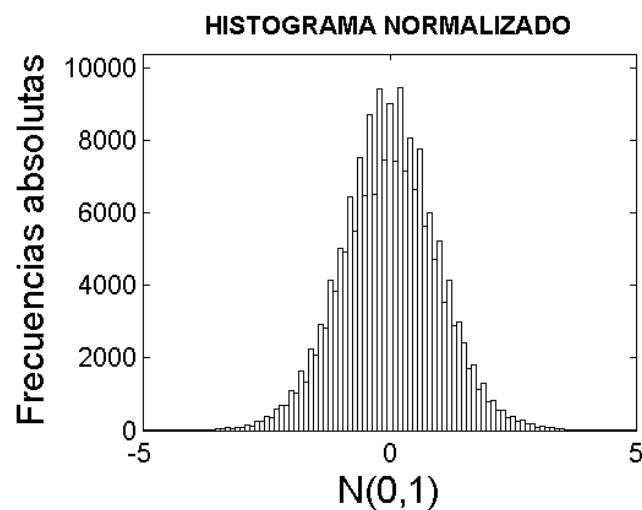


## ANEXO A

Reductora Con Carcasa

Punto 18

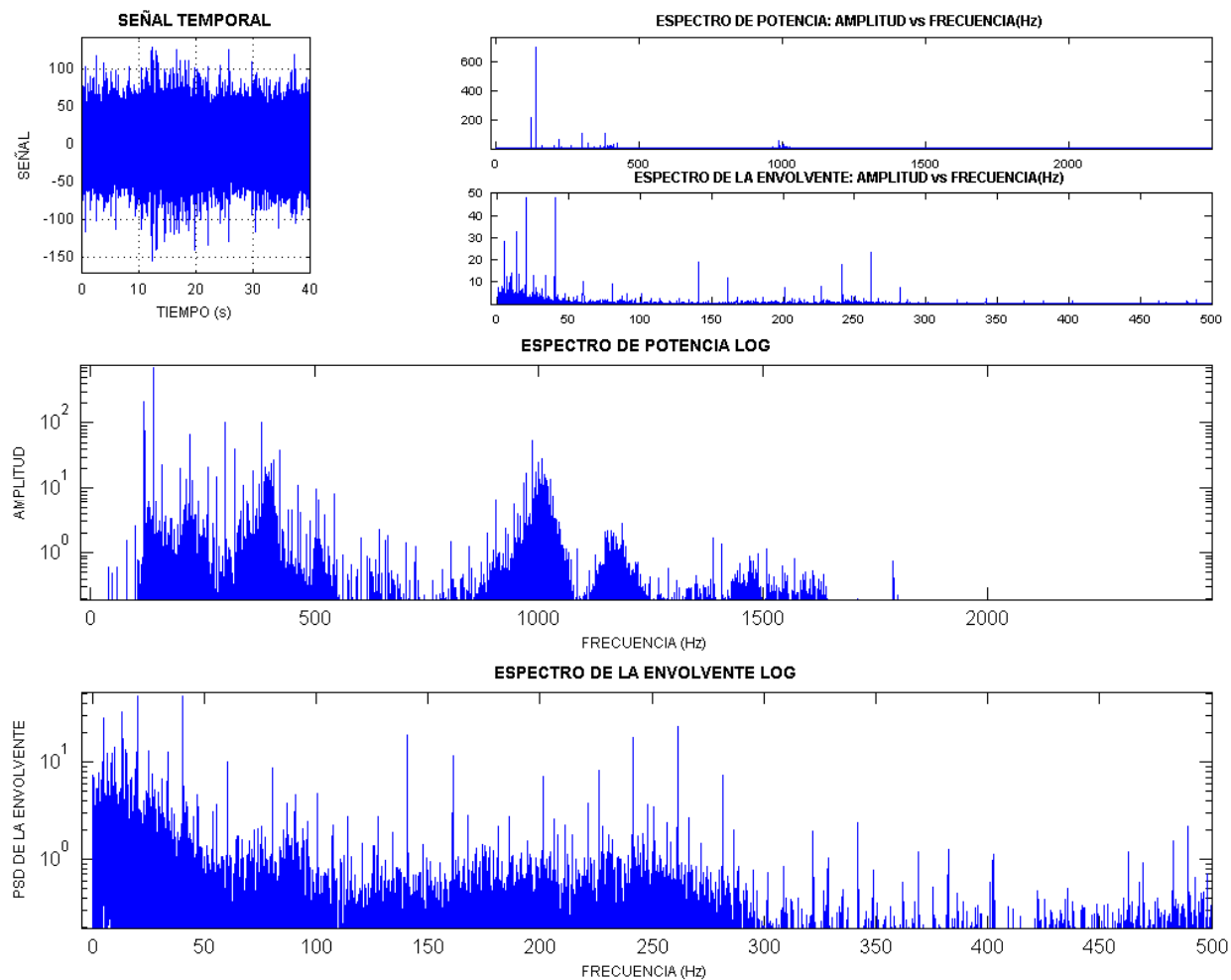
Velocidad (r.p.m) 1200



Media	-1.444141
Desviación Típica:	21.472238
Mediana:	-1.464844
Valor Máximo:	117.675780
Valor Mínimo:	-117.187500
Valor de Pico:	117.675780
Valor de Pico a Pico:	234.863280
Kurtosis:	3.661112
Sesgo:	0.047112
Valor Eficaz:	21.520212
Factor de Forma:	1.249785
Factor de Cresta:	5.468152
Varianza:	461.057021
Valor Medio:	17.233450
Moda:	-1.506250
Potencia del Espectro:	463.119511



## ANEXO A

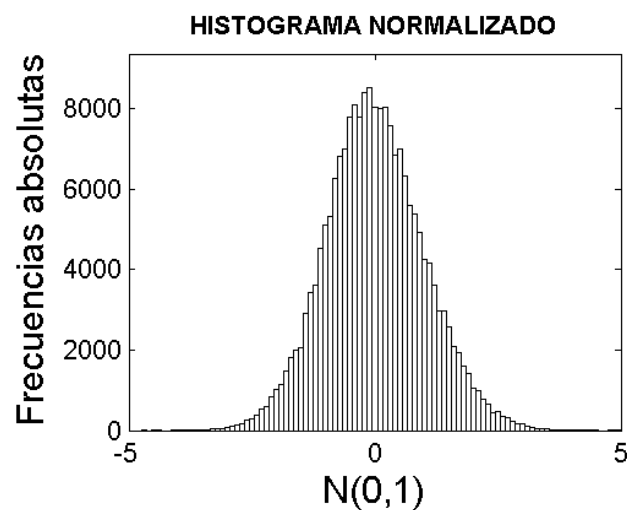


## ANEXO A

Reductora Con Carcasa

Punto 18

Velocidad (r.p.m) 1500



Media	-4.443050
Desviación Típica:	75.919804
Mediana:	-7.725969
Valor Máximo:	296.677220
Valor Mínimo:	-284.315660
Valor de Pico:	296.677220
Valor de Pico a Pico:	580.992880
Kurtosis:	3.115467
Sesgo:	0.156067
Valor Eficaz:	76.047808
Factor de Forma:	1.245882
Factor de Cresta:	3.901194
Varianza:	5763.816610
Valor Medio:	61.069606
Moda:	-14.291807
Potencia del Espectro:	5783.269116

# ANEXO A

